



الجمهورية العربية السورية  
وزارة التعليم العالي  
جامعة تشرين - كلية العلوم  
قسم علم الحيوان

# تطبيق التقانات الحيوية في معالجة بعض المواد الفعالة سطحياً في المنظفات في مياه الصرف لمدينة اللاذقية من أجل تنمية مستدامة

رسالة مقدمة لنيل درجة الدكتوراه في البيئة المائية  
إعداد

**لمى سليمان جرما**  
(ماجستير في البيئة المائية)

إشراف

**الدكتورة**  
**ابتسام معروف**

**الدكتور**  
**مفيد ياسين**

لجنة الحكم:

- د. محمد ياسين قصاب: أستاذ في قسم علم الحياة الحيوانية - كلية العلوم - جامعة تشرين. عضواً
- د. محمد مجاهد بطل: أستاذ في قسم علم الحياة الحيوانية - كلية العلوم - جامعة تشرين. عضواً
- د. محمد ناصر: أستاذ في قسم الكيمياء - كلية العلوم - جامعة تشرين. عضواً
- د. عدنان علي نظام: أستاذ في قسم علم الحياة النباتية - كلية العلوم - جامعة دمشق. عضواً
- د. مفيد ياسين: أستاذ مساعد في قسم الكيمياء التحليلية والغذائية - كلية الصيدلة - جامعة تشرين. عضواً
- ومشرفاً

المحتويات

الموضوع	الصفحة
ملخص	1
مقدمة	3
أهمية البحث	5
أهداف البحث	5
الفصل الأول: الدراسة المرجعية	6
أولاً. المعالجة بالتقانات الحيوية للمواد الفعالة سطحياً المتواجدة في مياه الصرف	7
1.1- المواد الفعالة سطحياً	7
1.1.1- مدخل	7
2.1.1- أنواع المنظفات	8
3.1.1- التركيب الكيميائي للمنظفات	10
1.3.1.1- المواد الفعالة سطحياً	10
1.1.3.1.1- آلية عمل المواد الفعالة سطحياً	12
2.1.3.1.1.1- المواد الفعالة سطحياً الشرجية (الكاتيونية)	13
3.1.3.1.1- المواد الفعالة سطحياً الشرسبية (الأيونية)	13
4.1.3.1.1- المواد الفعالة سطحياً اللاشردية (غير الأيونية)	14
5.1.3.1.1- المواد الفعالة سطحياً المتذبذبة	14
2.3.1.1- المواد المائلة	14
3.3.1.1- المواد المبيضة	16
4.3.1.1- الإنزيمات	16
5.3.1.1- المواد المضادة للرجوة	17
6.3.1.1- العطور	18
7.3.1.1- الأصبغة	18
8.3.1.1- المذيبات	18
9.3.1.1- عوامل منع إعادة الترسيب	18
10.3.1.1- عوامل مضادة للجراثيم	18
4.1.1- التأثيرات البيئية للمنظفات	19

20	..... 1.4.1.1- تأثير المواد الفعالة سطحياً في التربة
20	..... 2.4.1.1- تأثير المواد الفعالة سطحياً في المياه خواصها الفيزيوكيميائية
22	..... 3.4.1.1- تأثير المواد الفعالة سطحياً في الأحياء
25	..... 5.1.1- طرائق معالجة المنظفات
25	..... 1.5.1.1- الطرائق الآلية والكيميائية
26	..... 2.5.1.1- الطرائق الحيوية
28	..... 6.1.1- تفكيك المواد الفعالة سطحياً
28	..... 1.6.1.1- التفكيك الضوئي للمواد الفعالة سطحياً
29	..... 2.6.1.1- التفكيك الحيوي للمواد الفعالة سطحياً
33	..... 3.6.1.1- المواد الفعالة سطحياً المتجزئة (المتقسمة، المتشقة)
34	..... ثانياً. مياه الصرف
34	..... 1.2.1- تصنيف مياه الصرف
35	..... 2.2.1- طرائق معالجة مياه الصرف
36	..... ثالثاً. استعمال التقانات الحيوية في معالجة المواد الفعالة سطحياً في المنظفات
36	..... 1.3.1- مفهوم التقانات الحيوية ودورها
36	..... 2.3.1- الإصلاح الحيوي للمواد الفعالة سطحياً
37	..... 1.2.3.1- استعمال النظم الحيوية في تفكيك المواد الفعالة سطحياً
37	..... 1.1.2.3.1- الفطريات
38	..... 2.1.2.3.1- الطحالب
38	..... 3.1.2.3.1- الجراثيم
40	..... 4.1.2.3.1- استعمال المركبات الحيوية الفعالة سطحياً
45	..... 3.3.1- استعمال التقانة الحيوية في معالجة المواد الفعالة سطحياً
45	..... 1.3.3.1- استعمال الأحياء المعدلة وراثياً
46	..... 2.3.3.1- استعمال الإنزيمات
49	..... 3.3.3.1- العوامل الوراثية المتحكم في الإصلاح الحيوي للمواد الفعالة سطحياً
58	..... 4.3.1- الأهمية الاقتصادية لمعالجة مياه الصرف من أجل تنمية مستدامة
64	..... الفصل الثاني: مواد البحث وطرائقه
65	..... 1.2- مواقع الاعتيان في مدينة اللاذقية
65	..... 1.1.2- مصب الصرف في منطقة أفاميا
65	..... 2.1.2- مصب الصرف في منطقة الرمل الجنوبي

65	2.2- المواد والكواشف .....
65	1.2.2- المواد الكيميائية.....
66	2.2.2- المواد الفعالة سطحياً .....
66	3.2.2- المنظفات .....
67	4.2.2- أوساط الزرع .....
67	1.4.2.2- الأوساط الطبيعية .....
67	2.4.2.2- أوساط العزل والتنقية .....
71	3.4.2.2- الأوساط المغذية .....
71	4.4.2.2- الأوساط الخاصة بالدراسة .....
72	3.2- الأجهزة .....
72	4.2- الطرائق .....
84	الفصل الثالث: النتائج والمناقشة .....
85	1.3- الصفات الفيزيائية والكيميائية والحيوية لمياه الصرف .....
85	1.1.3- درجة الحرارة .....
85	2.1.3- درجات الحموضة .....
86	3.1.3- كمية الأكسجين المنحل .....
86	4.1.3- العيار القلوي والعيار القلوي الكامل .....
87	5.1.3- الإستهلاك الحيوي للأكسجين .....
88	6.1.3- الإستهلاك الكيميائي للأكسجين .....
88	7.1.3- القساوة الكلية .....
88	8.1.3- القساوة الكلسية .....
89	9.1.3- شوارد الكلسيوم .....
89	10.1.3- القساوة المغنيزية .....
90	11.1.3- شوارد المغنيزيوم .....
90	12.1.3- تركيز شوارد النترات .....
91	13.1.3- تركيز شوارد النتريت .....
92	14.1.3- تركيز شوارد الكبريتات .....
92	15.1.3- تركيز شاردة الأمونيوم .....
93	16.1.3- تركيز المواد الفعالة سطحياً .....
96	2.3- نتائج التفكيك الحيوي للمواد الفعالة سطحياً في أوساط زرعية صناعية سائلة .....



96	1.2.3- نتائج التفكيك الحيوي لمركبات LASs بتأثير تغير المصدر النتروجيني .....
	2.2.3- نتائج التفكيك الحيوي LASs في وسط صناعي يحتوي قيم الحدود الدنيا
97	والعظمى لمؤشرات مياه الصرف الصحي باللاذقية .....
	3.2.3- التفكيك الحيوي لسلفات دوديسيل الصوديوم في وسط صناعي سائل ومفكك من
103	قبل مزارع الجرثومية المعزولة في ظروف مختلفة .....
103	1.3.2.3- التفكيك الحيوي لتراكيز مختلفة من SDSs في وسط الزرع الصناعي ...
108	2.3.2.3- التفكيك الحيوي SDSs في درجات الحرارة المختلفة .....
	3.3.2.3- التفكيك الحيوي SDSs في وسط يحتويها بصفته مصدراً وحيداً للكربون
110	والكبريت بتأثير pH المختلفة .....
114	3.3- الدراسة الاحصائية للعلاقة بين التراكيز ونسبة تفكيك SDSs بتأثير الجراثيم المستعملة.
	4.3- التفكيك الحيوي لمركبات LASs في وسط يحتويها بصفته مصدراً وحيداً للكربون
118	والكبريت خلال أشهر مختلفة .....
122	5.3- التفكيك الحيوي SDSs في وسط صناعي سائل بتأثير الجراثيم المنتقاة مجتمعة .....
	6.3- التفكيك الحيوي للمواد الفعالة سطحياً في بعض أنواع المنظفات في وسط صناعي سائل
124	بتأثير الجراثيم المنتقاة .....
127	7.3- التفكيك الحيوي لمركبات C12-LASs في وسط صناعي سائل .....
130	8.3- التفكيك الحيوي C12-LASs بتأثير الجراثيم المنتقاة في وسط طبيعي من مياه الصرف..
130	1.8.3- وسط طبيعي من مياه الصرف الصحي المعقم بالحرارة .....
	2.8.3- التفكيك الحيوي لمركبات C12-LASs في وسط طبيعي غير معقم من مياه
138	الصرف .....
138	1.2.8.3- وسط طبيعي غير معقم من موقع أفاميا .....
150	2.2.8.3- وسط طبيعي (غير معقم) من موقع الرمل الجنوبي .....
161	9.3- الدراسة الوراثية الجزيئية لإحدى الجراثيم المنتقاة والمفككة للمواد الفعالة سطحياً .....
163	10.3- مقارنة بين نتائج الدراسة مع نتائج محطة معالجة السلمية .....
166	11.3- استبانة خاصة بالمنظفات المستعملة في اللاذقية .....
169	12.3- الدراسة الإحصائية .....
174	الاستنتاجات .....
176	المقترحات .....
177	الملحق .....

## ABSTRACT

## ملخص

يعدّ التلوث المائي من المشاكل المهمة على مستوى العالم، ويستمر العمل لإيجاد الطرائق المناسبة لمعالجته، وخاصةً تلوث المصادر المائية بمياه الصرف (صحي، زراعي، صناعي)، إذ استعملت طرائق المعالجة التقليدية التي تتضمن المعالجة الفيزيائية والكيميائية والحيوية، وتعتمد الطرائق الحديثة على استعمال التقانات الحيوية، ومن هنا تأتي أهمية هذا البحث في " تخفيض التلوث الناتج عن مياه الصرف بطرق بيوتكنولوجية، وإعادة استخدام المياه الناتجة، والمحافظة على التنوع الحيوي في البيئة السورية ضمن إطار التنمية المستدامة".

وقد تم التوصل للاستنتاجات الآتية:

- ١- إن مياه الصرف الصحي لمدينة اللاذقية ذات محتوى مرتفع من المواد العضوية المختلفة وخاصة المنظفات بشكل عام والمواد الفعّالة سطحياً، بشكل خاص.
- ٢- عزلت 8 مزارع جرثومية تنتمي إلى 5 أنواع منتمة لـ 4 أجناس من مياه الصرف الصحي، من موقعي الدراسة (أفاميا، والرمل الجنوبي) وهي *Salmonella enteritidis* و *Salmonella typhimurium* و *Staphylococcus epidermidis* 1 و *Staphylococcus epidermidis* 2 و *E.coli* 1 و *E.coli* 2 و *Pseudomonas aeruginosa* و *Pseudomonas sp*.
- ٣- أفضل نتائج تفكيك المواد الفعّالة سطحياً كانت بوجود النترات بصفتها مصدراً آزوتياً، وأفضل الجراثيم المفككة كانت *Pseudomonas.sp* ونسبة وصلت إلى 85.5%.
- ٤- فككت الجراثيم المعزولة سلفونات الألكيل بنزن الخطية LASS في حالتي (القيم الدنيا والعظمى) للمؤشرات الخاصة بمياه الصرف باللاذقية، ولكن بنسبة أعلى في حال الحدود الدنيا، وأفضل نسبة تفكيك 89% بوجود *Pseudomonas sp* (القيم الدنيا)، و 78% بوجود *Ps. aeruginosa* (القيم العظمى).
- ٥- أفضل نتائج تفكيك تراكيز مختلفة من سلفات دوديسيل الصوديوم SDSs كانت بوجود تراكيز منخفضة منها (100 - 200 - 300 - 400)، إذ تجاوزت نسبة التفكيك 75% بشكل عام.
- ٦- أفضل نتائج تفكيك تراكيز مختلفة من SDSs بتأثير درجة الحرارة (15-25-35)°C كانت عند الدرجة 35°C.
- ٧- أفضل نتائج تفكيك تراكيز مختلفة من SDSs مع تغيير درجة الحموضة كانت عند الدرجتين 5 و 6، وكانت *E.coli* 1 الأفضل تفكيكاً بنسبة 71% عند pH=6.
- ٨- أفضل نتائج تغييرات LASS في وسط يحويها بصفتها مصدراً وحيداً للكربون والكبريت خلال أشهر مختلفة كانت في شهر حزيران.

- ٩- فككت الجراثيم المعزولة والمنتقاة مجتمعة SDSs في وسط صناعي سائل بنسبة عالية في تركيز 500 ملغ/ل بشكل أفضل من تركيز 1000 ملغ/ل.
- ١٠- أفضل نسبة تفكيك للمواد الفعالة سطحياً التي تدخل في تركيب المنظفات (المستعملة محلياً) كانت في حال مسحوق الغسيل من برسيل ووصلت لـ 90% خلال أسبوع.
- ١١- استطاعت جميع الجراثيم المستعملة تفكيك LASs في وسط صناعي سائل بشكل منفرد ومجموعة.
- ١٢- استطاعت الجراثيم المعزولة تفكيك مركبات C12-LASs الموجودة في وسط طبيعي معقم بالحرارة، وأفضل نتائج التفكيك كانت بالدرجة 35°C، عند *Sal. taphimurium* بنسبة 92%.
- ١٣- استطاعت الجراثيم المعزولة تفكيك مركبات C12-LASs الموجودة في وسط طبيعي غير معقم بالحرارة (أفاميا)، وأفضل النتائج كانت بالدرجة 25°C، عند *Sal. enteritidis*، و *Pseudomonas sp*، بنسبة 91%. بينما كان أفضلها تفكيكاً في الرمل الجنوبي *Sta. epidermidis2* بنسبة 89%، وذلك في درجة الحرارة 35°C.
- ١٤- زادت نسبة تفكيك المواد الفعالة سطحياً، بواسطة الجراثيم المعزولة من مياه الصرف الصحي بالمقارنة مع نتائج محطة معالجة السلمية.
- ١٥- تبين نتائج الاستبيان وجود فروق جوهرية بين متوسط كمية المنظفات التي تصل إلى البيئة شهرياً في محافظة اللاذقية، وبين متوسط كمية المنظفات التي تبقى في المياه الناتجة عن محطة المعالجة في السلمية، وهذا يدل على أهمية معالجة مياه الصرف.
- ١٦- تبين هذه الدراسة الأهمية الاقتصادية لمعالجة مياه الصرف الصحي بتقليل التأثيرات البيئية السلبية الناجمة عن تلويث تلك المياه للمصادر البيئية المختلفة وخاصة المائية منها، إضافة لأنها تعدّ أقل كلفة مقارنة بالمصادر الأخرى لتوفير المياه.

## مقدمة Introduction

تعدّ المياه من أهم العناصر الأساسية التي تركز عليها حياة الإنسان، وفي مختلف النشاطات التي يقوم بها من زراعية أو صناعية أو غيرها، وتقدر كمية المياه الموجودة على الأرض بنحو 10973 مليار كيلو متر مكعب، تشكل المياه المالحة منها 97%، أما المياه العذبة فتشكل 3%، وهذه النسبة متغيرة نتيجة تزايد نسبة الأملاح في الكثير من البحيرات والأحواض المائية العذبة بسبب وصول مياه الصرف والملوثات والنشاطات المختلفة إليها. وتؤكد الدراسات أن الموارد المائية قابلة للاستنزاف، مع ذلك لم تأخذ المياه دوراً كافياً في عمليات التنمية، إذ أدى التزايد السكاني الكبير، وغير المنظم، إلى زيادة الطلب على المياه، مما سبب نشوء أزمات مائية حادة، ستؤدي إلى لجوء الإنسان إلى استعمال مياه البحر في المستقبل، بشكل كبير جداً، مقارنة بالوقت الحاضر (ESCWA, 2005(a)).

يقدر المخزون المائي من المياه المتجددة (الجوفية والسطحية) في العالم بمقدار 1368 مليون كم<sup>3</sup>، ويبلغ المعدل العالمي لنصيب الفرد من المياه المتجددة 7243 م<sup>3</sup> للفرد/السنة، ويشكل نصيب الفرد من الموارد المائية المتجددة في أفريقيا 4980 م<sup>3</sup> للفرد/السنة، وفي أوروبا الوسطى والغربية 4270 م<sup>3</sup> للفرد/السنة، ويصل نصيب الفرد في أمريكا الجنوبية إلى 35808 م<sup>3</sup> للفرد/السنة، أما في أمريكا الشمالية فهو 16368 م<sup>3</sup> للفرد/السنة، بينما يبلغ معدل نصيب الفرد في البلدان العربية 1745 م<sup>3</sup> للفرد/السنة فقط وهذه القيمة تختلف من بلد لآخر، إذ يبلغ نصيب الفرد في بعض الدول العربية 876 م<sup>3</sup> للفرد/السنة، وهو أقل من حد الفقر المائي 1000 م<sup>3</sup> للفرد/السنة، ويوجد في بعض البلدان العربية الأخرى عجز مائي كبير ومتزايد مع الزمن، خاصة أن الموارد المائية المتاحة تبلغ 274 مليون كم<sup>3</sup> فقط من الموارد المائية التقليدية المتجددة، ومن المتوقع أن تأخذ الموارد غير التقليدية دوراً مهماً، وتشمل هذه الموارد المياه المحلاة ومياه الصرف المختلفة (ESCWA, 2005(b)).

إن مصادر تلوث المياه مختلفة بأنواعه: التلوث الفيزيائي، والكيميائي، والحيوي (Smith, 1996; Siemering, 2004; Pfafflin & Ziegler, 2006)، وتشمل الملوثات:

- المخلفات الصناعية Industrial wastes.
- مياه الصرف Waste water.
- النفط Petroleum.
- البلاستيك Plastic.
- العناصر الثقيلة السامة Heavy elements.
- المبيدات الحشرية والأسمدة الكيميائية Pesticides and Fertilizers.

## - الملوثات الحرارية Thermal pollutants.

إن التلوث المائي من المشكلات المهمة على مستوى العالم، وتتضافر الجهود والمسااعي لإيجاد العديد من الطرائق التي تسمح بمعالجة المياه ولاسيما المصادر المائية الملوثة بمياه الصرف، وقد استعملت طرائق المعالجة التقليدية، وتتضمن المعالجة الفيزيائية والكيميائية والحيوية، ومن ضمنها الطرائق الحديثة التي تركز على استعمال التقانات الحيوية في معالجة مياه الصرف وأهمها استعمال النظم الحيوية Bio systems التي تعمل على تقليل تركيز الملوثات الموجودة في هذه المياه ذات الفوائد الاقتصادية والبيئية المهمة (Alexander, 1981; Tunay. 2004).

تتعرض المركبات الكيميائية العضوية التي توجد في الطبيعة إلى التفكيك الحيوي، الذي يعدّ مهماً وضرورياً، وتقوم أنواع جرثومية بتفكيك ملوثات محددة تحتاجها من أجل استقلالها، وتُعزل تلك الأنواع، بشكل مباشر، بتنميتها ضمن أوساط تحتوي مركبات محددة تقوم بتفكيكها ومعالجتها، ويعتمد تفكيك الملوثات العضوية بشكل كبير على النشاط الجرثومي (Leahy & Colwell, 1990; Deming and Baross, 1993).

تعدّ المنظفات من الملوثات المهمة الموجودة في مياه الصرف الصحي من الناحية الكمية والتأثير، التي تدخل في تركيبها المواد الفعّالة سطحياً، وتشكل مكوناً مهماً في تركيب المنظف، وتستعمل هذه المواد بشكل واسع في المواد المنظفة ولاسيما المنزلية، إذ بلغ استهلاكها في أوروبا وأمريكا الشمالية واليابان 950000 طن في العام 1994، وبلغ  $10^6 \times 2.5$  كغ شهرياً في العام 1996، ووصل حجم الإنتاج السنوي العالمي إلى 12 مليون طناً في العام 2003، وتجاوز 12.5 مليون طناً في العام 2006، وقد تجاوز في أوروبا الغربية وحدها 3 ملايين طن في العام 2007. وتعدّ مركبات الألكيل بنزن الخطية Linear Alkyl Benzen (LABs) وسلفونات الألكيل بنزن الخطية Linear Alkyl Benzen Sulphonats (LASs) أهم هذه المواد، وهي قابلة للتفكيك الحيوي بفعل مجموعة من الأحياء الدقيقة الموجودة في هذه المياه (Schuler, 2003; CESIO, 2008; Merrettig-Bruns & Jelen, 2009).

تمتلك المواد الفعّالة سطحياً، والقابلة للتفكيك الحيوي، تأثيرات كبيرة جداً عندما توجد في الأوساط المائية، فهي تسبب الرغوة عند معالجة مياه الصرف المنزلي مما يسبب مشكلات كبيرة بسبب عدم انحلال الأكسجين والمغذيات في المياه فتتشتت الأحياء اللاهوائية، كما أن بعض المواد الفعّالة سطحياً يكون ضعيف التفكيك الحيوي وبعضها الآخر جيد التفكيك (Merrettig-Bruns & Jelen, 2009).

تؤثر مركبات الألكيل بنزن الخطية وسلفوناتها في الأوساط المائية، وتسبب تغييراً في الخواص الفيزيائية والكيميائية للمياه، وتغيّر من نسبة مكوناته، وتؤثر بدورها في مجموعة كبيرة من الأحياء النباتية والحيوانية (OECD SIDS, 2002).

يؤثر التفكيك الحيوي بشكل جيد في عملية تحويل كميات كبيرة من المواد الفعّالة في الطبيعة إلى مركبات غير ملوثة، وقد استعملت هذه الخاصية في العديد من محطات المعالجة اعتماداً على خلايا أو إنزيمات مثبتة موجودة ضمن المفاعلات الحيوية Bio reactors (Jerabkova. et al, 1997, 1999).

تتفكك المواد الفعالة سطحياً بعدة طرائق منها الفيزيائية والكيميائية والحيوية، وتبين أن أعلى تركيز من مركبات الألكيل بنزن الخطية في البيئة، موجود في المياه التي تصل إلى محطات معالجة مياه الصرف الصحي، وتبين أن محطات المعالجة هذه يمكن أن تخفض مركبات الألكيل بنزن بنسبة 69-98% (Matthew & Malcolm, 2000).

يمكن حل مشكلة التلوث البيئي المائي، ولاسيما التلوث بمياه الصرف، عن طريق معالجتها قبل وصولها إلى الأحواض المائية بطريقة تعتمد على مجموعة من الخطوات لمعالجة هذه المياه وإعادة استعمالها في ري الأراضي، بالتوازي مع تزايد الحاجة إلى توفير مصادر مائية لتعويض النقص المتزايد خاصة في مياه الشرب، ويجب اتباع إدارة متكاملة للموارد المائية بتطبيق الأسس والتقنيات المناسبة لتحقيق الاستثمار الأفضل للموارد المائية المتوافرة، وترشيد استعمالها بما يكفل المحافظة عليها وحمايتها من التلوث والاستنزاف وتأمين المياه اللازمة لمختلف النشاطات (ESCWA, 2005(b)).

### أهمية البحث:

نظراً إلى أهمية المياه يجب حماية الموارد المائية من التلوث، والعمل على إنشاء محطات المعالجة المختلفة، مع استعمال طرائق حديثة في الري تعمل على ترشيد استهلاك المياه، ومن هنا تأتي أهمية هذا البحث في التركيز على:

" تخفيض التلوث الناتج عن مياه الصرف بطرائق بيوتكنولوجية، وإعادة استعمال المياه الناتجة،

والمحافظة على التنوع الحيوي في البيئة السورية ضمن إطار التنمية المستدامة".

يعدّ هذا البحث الأول على مستوى سورية من ناحية تطبيق التقانات الحيوية في معالجة التلوث الناتج عن المواد الفعالة سطحياً التي تدخل في تركيب المنظفات، والتي تعدّ من أهم الملوثات المتواجدة في مياه الصرف التي تصل للأحواض المائية المختلفة، باستعمال جراثيم معزولة عن مياه الصرف الصحي، وباستعمال تقانات حيوية متنوعة.

### أهداف البحث:

تجدر الإشارة إلى أن الموضوع يخدم قضايا التنمية بما يتفق مع أهداف وإستراتيجيات الخطة الخمسية العاشرة والحادية عشرة، التي تتفق مع أهداف الألفية الجديدة، بهدف:

١- تحديد طبيعة التلوث ودرجته، في بعض القنوات الرئيسية لمياه الصرف الصحي (الرمل الجنوبي وأفاميا) في مدينة اللاذقية وخاصة التلوث الناجم عن المنظفات.

٢- عزل وتنقية بعض السلالات الجرثومية المفككة للمنظفات، التي توجد بشكل طبيعي في مياه الصرف الصحي.

٣- تطبيق التقانات الحيوية في معالجة بعض المخلفات الموجودة في مياه الصرف.

٤- مقارنة وراثية جزيئية بين السلالات الجرثومية المستعملة.

- ٥- المقارنة بين نتائج المعالجة الحيوية، التي تحدث في إحدى محطات المعالجة في سورية، وبين نتائج تطبيق التقانات الحيوية في المختبر.
- ٦- دراسة أهمية تطبيق التقنية الحيوية في استدامة مياه الصرف بصفقتها مصدراً مائياً مستقبلياً.

# الفصل الأول

## الدراسة المرجعية

## المعالجة بالتقانات الحيوية للمواد الفعّالة سطحياً المتواجدة في مياه الصرف

### 1.1- المواد الفعّالة سطحياً Surfactants

تشكل المواد الفعّالة سطحياً Surfactants (Surface Active Agent) المكونات الأساسية التي تدخل في تركيب المنظفات Detergents، التي تؤدي دوراً مهماً جداً في حياة الإنسان لأنها مواد منظفة ومعقمة ومطهرة ومعطرة، وتتكون من مجموعة من المواد الكيميائية التي تمتلك خواصاً فيزيائية وكيميائية مميزة تعمل، جميعها معاً، للقيام بعملية التنظيف.

#### 1.1.1- مدخل :

تعود معرفة الإنسان بالمنظفات إلى السومريين القدماء الذين كانوا أول من عرف الصابون منذ نحو 2500 قبل الميلاد، وقد استعملت لأغراض طبية حتى القرن الثاني إذ بدأ استعمالها بصفاتها منظفاً بشكل واسع، وتطورت المنظفات كثيراً في القرن التاسع عشر عندما أجريت عملية السلفنة Sulphonation للزيوت المستعملة في تركيب الصابون، مثل: زيوت اللوز والزيتون والخروع وغيرها (Heller, 1984). وقد حصل نقص كبير في كميات الصابون في أثناء الحرب العالمية الأولى مما حفز البحث عن بدائل له، وبعد سلسلة من التجارب المختلفة أمكن الوصول إلى سلفونات الألكيل البنزن Alkyl benzene sulphonates التي ظهرت في ثلاثينيات القرن العشرين، وأصبحت المادة الفعّالة الأكثر استعمالاً، ولكن تبين أنه عند وصولها إلى مياه المجاري تشكل رغوة تؤثر في المعالجة في الأنهار، وبسبب المشكلات البيئية لأحد المركبات وهو Tetra propylene المقاوم للتفكيك الحيوي، فتح المجال لظهور مواد فعّالة سطحياً سالبة الشاردية (شرسبة) Anionic surfactants أكثر قابلية للتفكيك الحيوي، ولا تحتوي سلسلة ألكيل متفرعة وأدى هذا إلى اختفاء مشكلات الرغوة تقريباً، وهذه المواد ذات فائدة اقتصادية إضافة إلى ملائمتها للاعتبارات البيئية التي أصبحت ضرورية ومهمة جداً (Hager, 1999; Merrettig-Bruns & Jelen, 2009).

تتحدد قدرة المنظف على القيام بعمله بشكل فعال من تركيبه الكيميائي، وهناك الكثير من أنواع المنظفات مثل سوائل الجلي ومساحيق الغسيل والصابون والشامبو وغيرها، وازداد الإنتاج بشكل كبير لزيادة عدد السكان، وإلى زيادة الحاجة إلى استعمالها في الكثير من المجالات الصناعية، مما أدى إلى وجود كميات كبيرة منها في مياه الصرف التي تصل إلى المصادر المائية المختلفة وتلوثها وتغير نظامها الفيزيوكيميائي والحيوي (Cain, 1994; Giger & Alder, 2002)، ويوضح الجدول (1) النسب المئوية لمكونات سائل التنظيف.



تمتلك المواد الفعالة سطحياً، بشكل عام والصابون خاصة، القدرة على الانحلال في الماء والدسم، وتشكل مركبات سلفونات الألكيل بنزن الخطية Linear Alkyl Benzen Sulphonats LASs (أكثر المواد الفعالة سطحياً وجوداً في المنظفات) أكثر من 98% من مركبات الألكيل بنزن الخطية Linear Alkyl Benzen LABs، والشكل التجاري لمركبات LABs مكون من حلقة بنزينية ترتبط بها سلسلة ألكيلية ذات عدد مفرد من ذرات الكربون، مع زمرة سلفونية في الموقع باراً بالنسبة للسلسلة الألكيلية، تبلغ نقاوتها 87-94% وصيغتها  $C_6H_5(C_nH_{2n+1})$  و  $(n=10-16)$  وتبلغ انحلاليتها في الماء 0.041 ملغ/لتر في الدرجة 25°C (OECD SIDS, 2002).

الجدول 1: مكونات سائل التنظيف مع نسبها المئوية

مكونات سائل التنظيف	النسبة المئوية للمادة
مواد فعالة شرسبية	18-7
مواد فعالة لاشارية	30-15
صابون	22-10
مواد مالئة	8-0
مواد مساعدة على الانحلال	12-0
كحولات	12-8

يتطلب تصنيع أي منظف وجود عدد من المكونات، مثل: المواد الفعالة سطحياً، والمواد المالئة، والمواد المبيضة، والمواد المحسنة وغيرها، ويجب أن يحتوي أي منظف جزءاً أليفاً للماء وجزءاً كارهاً للماء، وتؤدي العناصر الداخلة في تركيب المنظف معاً أو بشكل مستقل الدور الأهم في عملية التنظيف، إضافة إلى مساعدة عدد من العوامل الأخرى، مثل: الفعل الآلي والتأثير الحراري وخواص الماء وغيرها، كما تؤدي درجة الحموضة دوراً مهماً في عملية التنظيف، ويؤثر غياب أيٍّ من هذه العوامل بشكل متفاوت في عملية التنظيف، للمنظف وظيفتان هما: 1- إزالة عسر الماء. 2- عملية التنظيف (Zoller, 2004).

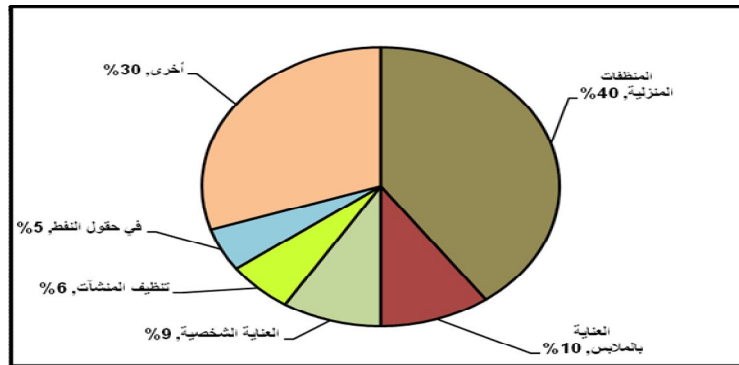
كانت الطريقة السابقة لتصنيع مركبات الألكيل بنزن الخطية تؤدي لتشكيل مركبات صعبة التفكيك الحيوي، مما أدى إلى تلويث المصادر المائية بشكل كبير، ويتم حالياً استعمال مركبات سلفونات الألكيل بنزن الخطية القابلة للتفكيك الحيوي (OECD SIDS, 2002).

تتمثل مواصفات المنظف الجيد بدرجات حرارة أدنى لعمله، وتوفير في الطاقة، وتلف أقل للألبسة، مع أقل كمية مياه مستعملة، وبأدنى كمية من الرغوة، وبالتأكيد صداقته للبيئة، أي قابليته للتفكيك الحيوي وتأثيره في صحة الإنسان (Miller. et al, 2001).

### 2.1.1- أنواع المنظفات Detergents kinds

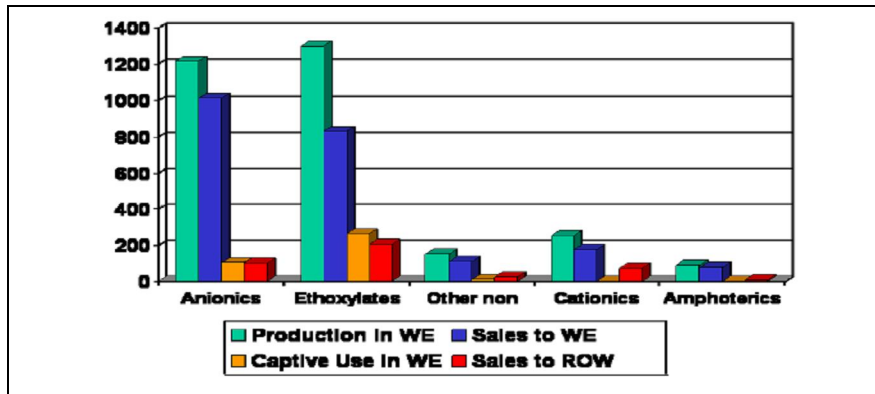
شهدت صناعة المنظفات، عالمياً ومحلياً، تطوراً مهماً وكبيراً بسبب الحاجة المستمرة لها بشكل عام، ونما سوق المنظفات السائلة بنسبة 60% في الولايات المتحدة الأمريكية و23% في أوروبا و17% في باقي دول

العالم، وتتنمي إليها المذيبات العضوية، والمواد الفعّالة سطحياً، والمواد المبيضة والصبغية، والمذيبات التي تعمل على إزالة الأوساخ، وأهم المذيبات العضوية المستعملة في التنظيف هي الهيدروكربونات ومشتقاتها، وتطور حجم السوق العالمي للمواد الفعّالة سطحياً من 2.2 مليون طن في عام 1995 إلى 4 ملايين طن في عام 1999 حتى وصل في العام 2003 إلى 12 مليون طن بمردود مادي بلغ 13 بليون يورو، وكانت أمريكا الشمالية الأكثر استهلاكاً للمواد الفعّالة سطحياً بنسبة 35%، تلتها آسيا ودول المحيط الهادي بنسبة 29%، ثم أوروبا الغربية 23%، وباقي دول العالم بنسبة 13%، مع العلم أنها تُنتج من النفط ولكن لا تكون سوى 0.1 % من الإنتاج العالمي للنفط (Holmberg. et al, 1992; Hauthal, 2004; Zoller, 2004; Chen and Wang, 2008; باسيل، 2003)، ويوضح الجدول 3 والشكلان 1، 2 نسبة الاستعمال والإنتاج للمنظفات والمواد الفعّالة سطحياً.



الشكل 1. نسبة استعمال المنظفات في مختلف النشاطات الحياتية في عام 2003.

(المصدر Hauthal, 2004)



الشكل 2. إنتاج المواد الفعّالة سطحياً في أوروبا الغربية وباقي دول العالم في العام 2007.

WE: أوروبا الغربية، ROW: باقي دول العالم

(المصدر Hager, 2008)

الجدول 2. كمية الإنتاج العالمي من المواد الفعّالة سطحياً في العام 2003.

المواد الفعّالة سطحياً	الإنتاج (مليون طن)
الصابون	9
الشاردية	4.5
غير الشاردية	1.7
المتذبذبة	0.1

أخرى	2.4
المجموع	18.2

(المصدر Hauthal, 2004)

تعدّ أنواع سلفونات الألكيل بنزن حالياً أهم مكون في تركيب المنظف، وتستعمل في سائل التنظيف ومساحيق الغسيل والمنظفات الصناعية، وتعدّ مادة سلفونات دوديسيل البنزن Dodecylbenzene Sulphonate الأكثر استعمالاً في تركيب أغلب المنظفات الصناعية، وتعود حاجة السوق للمنظفات لتطور في عادات المستهلكين لأنه يوجد ميل للتوفير في النفقات، وتخفيف الأثر البيئي السلبي (Zoller, 2004; Myers, 2005)، وأهم أسباب نجاح صناعة المنظفات هي:

- ١- ارتفاع ذوبانها.
- ٢- عدم تأثيرها بالنسيج والألوان.
- ٣- عدم ترك بقايا باستعمال المنظفات السائلة (باسيل، 2003).

### 3.1.1 التركيب الكيميائي للمنظفات Chemical composition of detergents

#### 1.3.1.1 المواد الفعالة سطحياً Surfactants

تتمتع المواد الفعالة سطحياً بأهمية كبيرة من الناحية العملية، إذ تدخل في الكثير من المجالات الاقتصادية، وتعود أهميتها لتشكيلها المحاليل بتخفيض التوتر السطحي، وفعاليتها السطحية العالية، أي لقدرة جزيئاتها على تشكيل الطبقات الإمتزازية السطحية، وتعمل أيضاً على تحسين تبلل السطوح المختلفة بالماء، والحصول على مستحلبات ثابتة إضافة إلى تأثيرها المنظف، وتنتج من المصادر البتروكيمياوية، وتتميز هذه بأنها غير مؤثرة في الغلاف الجوي فيما يخص ظاهرة الدفيئة وتتميز باستدامتها، وزيادتها في السوق العالمية بنسبة 3-4% وفي أوروبا بنسبة 2-3% (Miller. et al, 2001).

بيّنت الدراسات أهمية المواد الفعالة سطحياً في تفكيك بعض الملوثات الموجودة في البيئة، إذ استعمل Sutterlin وزملاؤه (2008) مواد فعالة سطحياً شاردية (أنيونية) Anionic Surfactants لتفكيك مركبات رباعي الأمونيوم Quaternary ammonium compounds (QACs) (مواد فعالة سطحياً كاتيونية)، واستعملت المواد الفعالة سطحياً في تفكيك ملوثات أخرى تجد طريقها إلى المياه الجوفية مثل تري كلورو اتيلين Trichloroethylene (TCE) وهو مذيب يحتوي عنصر الكلور الذي لوحظ في المياه الجوفية، ويمكن تفكيكه باستعمال مواد فعالة سطحياً مثل: بولي أوكسي إيثيلين أوكثيل فينيل إيثر polyoxyethylene octyl phenyl ether (Triton X-100) و مشتقات السوربيتان Tween 80، ومادة سيمبل غرين Simple Green<sup>TM</sup> (SG)، ويتبع ذلك استعمال مادة مؤكسدة هي برمنغنات البوتاسيوم KMnO<sub>4</sub> إضافة إلى نشاط الأحياء الموجودة في هذه المياه، واستعمل الباحث Tsai وزملاؤه (2008) المواد الفعالة سطحياً لقدرتها على تفكيك TCE بمشاركة الأحياء، وبيّنت التجربة أن مادة SG كانت الأكثر قدرة على تفكيك TCE بوجود الأحياء، وبلغت نسبة تفكيك هذه المادة 87.6% مقارنة بتركيزها الأصلي (40 ملغ/ل) بعد إضافة 1 غ/ل من مادة SG القابلة للتفكيك

الحيوي إلى المياه الجوفية لتأثيرها مع الأحياء الموجودة في تفكيك مادة TCE، ووصل التركيز النهائي إلى 4.96 ملغ/ل من مادة TCE في نهاية التجربة، بعد ذلك أجريت عملية أكسدة باستعمال برمنغنات البوتاسيوم فتحول 4.96 ملغ/ل إلى 0.69 ملغ/ل من مادة TCE و ازداد تركيز الكلور من الصفر إلى 0.88 ملغ/ل (Tsai. *et al*, 2009; Wang & Mulligan. 2004).

تبيّن أن بعض المواد الفعّالة سطحياً تستطيع تفكيك ملوثات ذات طبيعة فينولية، تدخل في تركيب المبيدات التي تصل إلى البيئة بسبب قدرتها على التأثير في الرابطة C-C فيها، من دون أن تنتج الفينول (Michizoe. *et al*, 2004; 2005).

وفي الدراسات الحديثة، استعملت المواد الفعّالة سطحياً في عملية استخلاص الحموض النووية Nucleic acids من الأنواع الجرثومية، وتبيّن عند استعمال مزيج من المواد الفعّالة سطحياً في المنظفات وبدرجة حموضة منخفضة تؤدي إلى ظهور التحلل الخلوي عند الميكوبكتريا *Mycobacteria*، وتم تطوير ثلاثة طرائق لعزل الرنا RNA من العديد من الأنواع الجرثومية باستعمال المنظفات، والمواد الفعّالة سطحياً المستعملة هي سلفات دوديسيل الصوديوم Sodium Dodecyl Sulphate SDSs و Tween 20 و Triton X-100، واعتمدت الطرائق على استعمال كل مادة فعّالة سطحياً على حدة، وأجري اختبارها على عدة أجناس جرثومية منها *Pseudomonas* و *Burkholderia* و *Agrobacterium* و *Escherichia* و *Edwardsiella* وهي سالبة بصبغة غرام إضافة إلى جنس *Bacillus* الموجبة بصبغة غرام، واستعملت مادة فعّالة أخرى هي تريزول TRIzol لعزل RNA من الأنواع السالبة بصبغة غرام وأعطت نتائج جيدة بوجود (0.5 - 1) مل من المادة في الوسط (Syn. *et al*, 1999).

تتميز المواد الفعّالة سطحياً بانحلاليتها الضعيفة في الماء، وقدرتها على تخفيض التوتر السطحي والتوتر بين الحدود الفاصلة بين الأطوار في المحاليل الممددة بوساطة امتزاز الجزيئات، وبقدرتها على تشكيل تجمعات غروية، عندما يصل تركيزها في المحلول إلى حد معين، وهذه التجمعات من نموذج الميسيلات Micelles، إذ تزداد انحلالية المادة الفعّالة، ويكون تركيز المادة الفعّالة سطحياً أكبر من التركيز الحديّ اللازم لتشكل الميسيلة. ولكي تكون المادة الفعّالة سطحياً قادرة على تشكيل الميسيلات، يجب أن تحتوي جزراً هيدروكربونياً طويلاً بشكل كافٍ ومجموعة قطبية بهدف الانحلالية بالماء والمواد اللاقطبية، وهذه الخاصة لا تُلاحظ في جميع المواد الفعّالة سطحياً إذ تغيب في حالة الكحولات الأليفاتية، فإذا احتوى المركب أقل من 7 ذرات كربون لا تتشكل الميسيلة بسبب قصر الجذر الهيدروكربوني وبسبب انحلالها في الماء بسهولة، وإذا كانت السلسلة ذات عدد كبير من ذرات الكربون لا تتشكل الميسيلة، ويعدّ تشكل الميسيلة ممكناً عندما يكون عدد ذرات الكربون أكبر من 7 ذرات (Davis. *et al*, 1992; Nelson, 2003).

تتصف المحاليل المائية للمواد الفعّالة سطحياً بقدرتها على امتزاز كميات كبيرة من الفحوم الهيدروجينية، والمواد قليلة الانحلال في الماء، عندما يصل تركيزها إلى حدود كبيرة، وتتشكل محاليل ثابتة وتدعى هذه

الظاهرة بالانحلال الغروي Solubilization، وتختلف قدرة تلك المواد على الحل الغروي بحسب طول الجذر الهيدروكربوني (Davis. et al, 1992).

هناك ميل للوصول إلى مواد تمتلك خواص الفعالية السطحية العالية، وتوافق التشريعات البيئية وتلك المتعلقة بالسمية، وتعدّ هذه المواد الجزء الأكثر أهمية في تركيب المنظف، وهي مواد كيميائية قابلة للانحلال في الماء، تمتلك القدرة على تخفيض التوتر السطحي للماء مما يزيد من القدرة على الانتشار بين السطوح، وتعمل على الترطيب وتشكيل المستحلبات والتنظيف، وتستعمل هذه المواد في الكثير من منتجات التنظيف المختلفة، مثل: الشامبو ومساحيق الغسيل وسوائل التنظيف وغيرها ومعظم المواد الفعالة سطحياً في الوقت الحاضر هي من أحد النوعين: أ- المواد الفعالة سطحياً الشاردية Anionic Surfactants، ب- المواد الفعالة سطحياً غير الشاردية Nonionic Surfactants والتي يعدّ تفكيكها الحيوي وتأثيراتها البيئية موضع بحث منذ عدة عقود (Cserhati. et al, 2002. YU. et al, 2008).

وتتميز المواد الفعالة سطحياً بالعديد من الوظائف وتمتلك تأثيراً مثبطاً في الجراثيم، وإلى ذلك تستعمل بصفتها مطهرات ومضادات للعفونة كما في حال المواد الفعالة سطحياً الشرجبية (Zoller, 2004).

#### 1.1.3.1.1- آلية عمل المواد الفعالة سطحياً:

تتضمن عملية التنظيف (Zoller, 2004):

- 1- الأوساخ: تختلف الأوساخ بحسب تركيبها الكيميائي وخواصها الفيزيائية.
  - 2- السطح المراد تنظيفه: مثل بشرة الجسم، الأنسجة، الجلود، الصوف وغيرها. ويحدث في البداية نفع للسطح المتسخ لإزالة الأوساخ ثم يغمر جيداً بالماء، وتتشكل منافسة بين قوى السطوح المتلامسة (الأوساخ، السطح، الماء)، وتحدث عملية إزالة الأوساخ بحسب مقدار هذه القوى. فإذا كانت القوى الموجودة بين السطح والأوساخ أصغر من باقي القوى فإن عملية إزالة الأوساخ تحدث.
  - 3- المنظف: يعمل المنظف على تعديل هذه القوى وتتم عملية التنظيف بشكل جيد.
- تعتمد عملية التنظيف على عمل المواد الفعالة سطحياً بمساعدة العوامل الآلية وفق الآتي:
- I. تعتمد على خاصية التوتر السطحي، إلى ذلك فإن نفع الأنسجة بالماء ومسحوق أو سائل التنظيف أمر ضروري، وكلما كانت قوة النقع أعلى كانت إزالة الأوساخ أسهل، والنقع هو عملية تفاعل بين جسيمات الأوساخ والمنظف وهو خطوة أساسية في عملية إزالة الأوساخ.
  - II. عند امتزاز جزيئات المنظف على سطح الألياف أو على السطوح المختلفة الأخرى، فإنها تؤلف طبقة امتزازية مميّهة بشكل جيد، مما يؤدي إلى نشوء ضغط يساعد على انفصال وفصل الجسيمات عن سطح الألياف وانتقالها إلى سائل الغسل.
  - III. يحمل باقي مكونات المنظف جزيئات الأوساخ بعيداً عن النسيج ويمنع عودتها للالتصاق بالنسيج مرة أخرى، إضافة إلى ذلك فإن منع الأوساخ من إعادة الترسيب، تعدّ خطوة مهمة إذا كان المنظف

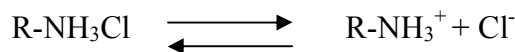
المستعمل ذا خاصية استحلاب جيدة تعمل على زيادة فعالية المنظف، بإضافة كميات قليلة من المواد المانعة لإعادة الترسيب وتعمل الرغبة أيضاً على منع إعادة الترسيب.

IV. الغسيل بالماء الأمر الذي يؤدي إلى إزالة الأوساخ بشكل نهائي.

هناك طرائق حديثة للتنظيف باستعمال الأمواج فوق الصوتية التي تعمل على فرقة الفقاعات الهوائية لضرب الأوساخ من النسيج من دون حركة آلية واستعمال أقل للطاقة والمنظف، لأن بنية المواد العضوية ذات الفعالية السطحية هي بنية مذبذبة Amphipatic، وتتألف من جزء كاره للماء Hydrophobic ويتألف عادة من سلسلة هيدروكربونية طويلة فيها بين 8 - 18 ذرة كربون، ويمكن أن تكون أليفاتية أو حلقية أو مختلطة، وجزء آخر أليف للماء Hydrophilic يتألف من زمرة شرسبية أو شرجبية أو لاشاردية أو مذبذبة، ومن هنا أمكن تصنيف المواد الفعالة سطحياً تبعاً لخصائص تركيبها (Davis. et al, 1992)، والتي تقسم بحسب زمرتها الوظيفية إلى:

#### 2.1.3.1.1.1 المواد الفعالة سطحياً الشرجبية (الكاتيونية) Cationic Surfactants.

تكتسب المواد العضوية الفعالة سطحياً عندما يدخل في تركيبها زمرة أليفة للماء شحنة موجبة، في أثناء وجودها في الماء، مما يجعلها أليفة للماء، وفق المعادلة:

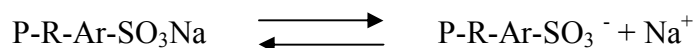


❖ يكون R جذر هيدروكربوني طويل.

تتميز بقدرتها على النقع، إضافة إلى تأثيرها الكابح لعمل الجراثيم مما عزز استعمالها بصفاتها مطهرات Disinfectants، ويبلغ مجمل إنتاجها 4% من الإنتاج العالمي للمواد الفعالة (Mori. et al, 2002)، وينتمي لهذه المجموعة مركب كلوريد بينزالكونيوم Benzalkonium chloride، وبروميد دي ميتيل دي أوكتاديسيل أمونيوم Di methyl di octadecyl ammonium bromide، كلوريد سينيل بيريدينيوم Cetyl Pyridinium Chloride (Zoller, 2004).

#### 3.1.3.1.1 المواد الفعالة سطحياً الشرسبية (الأنيونية) Anionic Surfactants:

تعدّ هذه المواد الجزء الأهم في تركيب المنظف، ويبلغ إنتاجها بين 60 - 70% من مجمل إنتاج المواد الفعالة سطحياً، وتحتوي هذه المواد زمرة تكسبها شحنة سالبة في الأوساط المائية، إذ تنتشر في الماء، وتشكل شوارد فعالة مشحونة بشحنة سالبة (Scott & Jones, 2000; Ikehata & Gamal El-Din, 2004)، وفق المعادلة:



❖ يكون R جذر هيدروكربوني طويل بين C<sub>10</sub>-C<sub>22</sub>.

لا بد أن يتراوح عدد ذرات الكربون بين 10 - 22 ذرة كربون لأن أملاح الحموض الدسمة ذات الوزن الجزيئي المنخفض تتحل بصورة جيدة في الماء، وهي غير فعالة سطحياً (Zoller, 2004).

وتعدّ أملاح سلفونات الألكيل بنزن الخطية (Linear Alkyl Benzen sulphonats (LASs، وسلفات الألكيل Alkylsulphates AS (سلفات دوديسيل الصوديوم Sodium Dodecyl Sulphate SDSs، سلفات لوريل الصوديوم Sodium lauryl sulphate SLS) أهمها (Zoller, 2004).

ليس LASs مركباً واحداً بل مزيج من 20 مركباً منها 18 مركباً فعالاً، وابتداءً من مركبات LASs التجارية، يمكن إنتاج مواد فعّالة سطحياً، ويبلغ متوسط استعمال الفرد منها 3 غ يومياً، ويتكون الشكل التجاري له من سلسلة ألكيل خطية تشمل 7 - 11 ذرة كربون، إضافة إلى حلقة بنزن ومجموعة سلفو  $SO_3$  بالموقع بارا بالنسبة لسلسلة الألكيل الخطية، أما بالنسبة لحلقة البنزن فهي تتغير موقعها بحسب الماكب Isomer ما عدا الموقع Phenyl 1 ومجموعة السلفونات في الموقع بارا (Sigollot & Nguyen, 1992; Mampel. *et al*, 1998; Espinoza Rodezno, 2004).

#### 4.1.3.1.1 - المواد الفعّالة سطحياً اللاشاردية (غير الأيونية) Non ionic Surfactants

تتميز باحتوائها زمرة عضوية قطبية ولكنها غير متشردة في المحاليل المائية المعتدلة، أي لا تشكل أي شوارد عند انحلالها في الماء، استعمالها في المنظفات قليل جداً لأنها سريعة التطاير، وهي تسبب تلوث الهواء، ومنتجات تفكيكها ذات تأثير سام للأحياء المائية، وتأثيرها سلبي في صحة الإنسان، وتشكل 25% من مجمل الإنتاج العالمي، ومن أمثلتها إيثوكسيالات الكحولات Alcohol Ethoxylates (AE)، وإيثوكسيالات ألكيل فينيل Alkyl Phenel Ethoxylates وغيرها (Barrachina. *et al*, 2002; Bettinetti & Provini, 2002).

#### 5.1.3.1.1 - المواد الفعّالة سطحياً المتذبذبة Amphoteric Surfactants

تتميز بكونها تتأثر بدرجة حموضة الوسط الذي توجد فيه، وتؤدي الدور الشرسبي، عندما تكون  $pH < 8$ ، والدور الشرجبي عندما تكون  $pH > 4$ ، وإلى ذلك فهي أهم المواد الفعّالة سطحياً التي تدخل في تركيب مواد التجميل، وتعدّ من أهمها مركبات البيتاين Betaines ومشتقات الإيميدازولين Imidazoline derivatives ويضاف إليها الغليكوليبيدات Glycolipids والحموض الدسمة Fatty acids والحموض الصفراوية Bile acids والصابونين Saponins، ويتم إنتاج هذه المواد غالباً في أوروبا الغربية بكميات تبلغ 33 طناً سنوياً (Zoller, 2004; Mileva & Exerowa, 2008).

إن تطوير أنواع جديدة من المركبات الفعّالة سطحياً وتحسين خواصها لتكون صديقة للبيئة، وذات كلفة مقبولة ليس من السهل تحقيقه، ولكن يمكن العمل على ذلك ابتداءً من مواد متوافرة مع محاولة تطويرها، مثل: مشتقات أوكسيد الإيثيلين لإسترات الغليسيرين وهي من مصدر نباتي وتنتمي إلى مجموعة المواد الفعّالة غير الشاردية (Miller. *et al*, 2001).

يوجد حالياً مطلب جديد يجب توافره في المنظف وهو عدم تأثيره التحسسي في بشرة الإنسان، إلى ذلك تضاف مادة فعّالة سطحية ثانوية إلى تركيب المنظف، تعمل على تحسين الخواص الفيزيائية والكيميائية والسمية للمادة الفعّالة الرئيسية، وعلى تحسين أدائه النهائي، مثل الليفينول LEVENOL وهو إستر الغليسيرول

متعدّد أوكسي إيثيلين ينتج عن تفاعل الغليسيرول وأكسيد الإيثيلين والحمض الدسم (ثلاثي الغليسريد)، ويوفر تفاعل هذه المكونات مجالاً واسعاً من المنتجات التي تتمتع بخواص تطبيقية من ناحية الرغبة واللزوجة والقدرة على الحل والاستحلاب والتلطيف والترطيب (Siscart, 2003).

### 2.3.1.1 - المواد المائلة Builders:

وهي مواد تضاف إلى المنظف لرفع قدرته على التنظيف، وتعمل على تغيير قساوة الماء ودرجة الحموضة وتنصف بخواص فيزيائية وكيميائية تتمثل بحمل السوائل وعملية التنظيف، وتولّد في محلول الغسيل طاقة شاردية كبيرة، تساعد على تحسين عمل المادة الفعّالة سطحياً، كما تتميز بقدرتها على إزالة الشوارد الموجبة الشائبة، ولاسيما شوارد الكالسيوم  $Ca^{+2}$  والمغنيزيوم  $Mg^{+2}$  التي تؤثر في عمل المواد الفعّالة سطحياً، إلى ذلك، فهي ذات أهمية كبيرة في تركيب المنظف ولاسيما في مساحيق الغسيل لأنها تخفف عسرة المياه، وتقلل من تأثير تلك الشوارد، مما يزيد من تأثير المنظف ويجعله أكثر فعالية، وتكوّن المواد المائلة مع هذه الشوارد الموجودة في الماء معقدات قابلة للذوبان في الماء، وتشكل في ماء الغسيل قدرة استحلابية ولها أثر داعم للمواد الفعّالة سطحياً، وتمنع عودة توضع الأوساخ على سطح الغسيل، وتمتلك وزناً جزيئياً مناسباً، وتحفّز التفاعلات السطحية البينية مع المواد غير القابلة للذوبان مثل ذرات الكربون، ويجري تطوير المواد المائلة لتتناسب مع الشروط البيئية (Davis. et al, 1992; YU. et al, 2008).

تعمل المواد المائلة على تثبيت اللون الأبيض للأنسجة، وتمنع تحول اللون الأبيض إلى رمادي (Graying)، ومن أهمها مركبات الزيوليت Zeolites والسيليكات Silicates والكربونات وأملاح البوراكس، إذ تحافظ المواد المائلة على التأثير المنظم لدرجة الحموضة pH، لأن فعالية التنظيف تقع ضمن مجال ضيق من pH القلوي، وتعدّ مادة ثلاثي بولي فوسفات الصوديوم Sodium Tripolyphosphate من أهم المواد المائلة لمساهمتها في عملية التنظيف بضبط درجة حموضة الوسط، واتحادها مع شوارد الكالسيوم والمغنيزيوم، واستبدلت بالزيوليت A في أروبة لأسباب بيئية (Guerjen, 2003; De Lucas. et al. 2004; Zhang. et al, 2007)، ويبين الجدول 3 تطور استعمال المواد المائلة في أروبة:

الجدول 3 بعض المواد المائلة التي تدخل في تركيب المنظف.

عام استعمالها في أروبة	المواد المائلة
1907	Na-Silicate + Soda ash
1933	Na-Diphosphate
1946	Na-Tripolyphosphate
1976	Zeolite A + Na-Tripolyphosphate
1983	Zeolite A + Soda ash + Cobuilder
1994	Zeolite A + special Silicate + Cobuilder
1994	Zeolite P

(المصدر Guerjen, 2003)

يتفاوت تأثير المواد المائلة في البيئة، وتختلف في سميتها وإمكان تأثيرها في صحة الإنسان والبيئة، فمن مركبات الفوسفات اللاعضوية Inorganic phosphates مركب ثلاثي بولي فوسفات الصوديوم الذي يعمل



بصفته مادة منعمة، وتعمل هذه المركبات عند وصولها إلى وسط الماء العذب على زيادة المغذيات (الفوسفات)، مما يؤدي إلى ظاهرة الاغتناء الغذائي (الازدهار) Bloom وهي زيادة مفرطة في الكتلة الحيوية للطحالب في المياه، وبالتالي لاستنفاد الأكسجين المنحل في الماء مما يؤدي إلى الموت الجماعي للأحياء في الماء، إلى ذلك يوصى باستعمال بدائل عن الفوسفات اللاعضوية مثل البدائل العضوية كالزيوليت Zeolites، الأقل ضرراً على الصحة، والفرق بينهما هو مبدأ العمل فعند الفوسفات تتكوّن المعقدات، أما عند الزيوليت فيحدث التبادل الشاردي (Bauer. et al. 1999; Guerjen, 2003).

إن أهم مادتين مالتين هما ثلاثي بولي فوسفات الصوديوم والزيوليت التي تعدّ الأفضل من الناحية البيئية (Ferani, 2003)، كما يوضح الجدول 4.

الجدول 4. مقارنة بين تريبولي فوسفات الصوديوم و الزيوليت.

المعايير البيئية	تريبولي فوسفات الصوديوم	الزيوليت
عديمة السمية	للثدييات، الحيوانات المائية والنباتات.	للثدييات، الحيوانات المائية والنباتات.
نظم المياه	تساهم في ظاهرة الإزهار مما يؤدي إلى موت الأحياء المائية وحدوث اختلال في التوازن البيئي للمياه.	لا تحدث تأثيرات سلبية في الأنهار والبحيرات والأحياء المائية والمياه الجوفية.
الصرف	يجب معالجة مياه الصرف كيميائياً وحيوياً.	بعد أن تؤدي عملها تصل إلى التربة والأحواض المائية.
أمور أخرى	لا توجد آثار سلبية في ارتباطها مع مكونات المنظف الأخرى.	لا توجد آثار سلبية في ارتباطها مع مكونات المنظف الأخرى.

### 3.3.1.1- المواد المبيضة Bleaching:

تساعد هذه المركبات على احتفاظ الأنسجة البيضاء بنضارتها، وتضاف حالياً مواد تنشط توليد الأكسجين الوليد فيها، مثل: الأوزون  $O_3$  والماء الأكسجيني  $H_2O_2$  بدائل عن تحت الكلورات، إذ تقلل من تلف الأنسجة والألياف مما يسمح ببقائها فترة أطول، وأهمها فوق بورات الصوديوم Sodium Perborate  $Na_2B_2O_4 \cdot 2H_2O_2$  (Davis. et al, 1992).

إن المبيّضات مفضلة بيئياً لأن سميتها منخفضة جداً على الإنسان والبيئة، أما تلك التي تحتوي أمينو تريازين Aminotriazine والسيتيلين Stilbene فإن لهما أثراً سلبياً على صحة الإنسان (Miller. et al, 2001).

تستعمل المبيّضات الضوئية في الوقت الحاضر، وتعتمد على الزمر القابلة للفلورة Fluorophores، وهي عبارة عن مواد عديمة اللون، قادرة على امتصاص الأشعة في المجال فوق البنفسجي القريب وتحويلها إلى أشعة مرئية ذات أمواج قصيرة (400-480) nm نانومتر، أي إلى تلك الأشعة التي تمتص من قبل الأجسام البيضاء والمصفرة. ويؤدي ذلك إلى تعويض الجزء الممتص من الأشعة المرئية وإكمال طيف الضوء المنعكس وإلى ذلك تبدو هذه الأجسام أكثر بياضاً مما هي عليه فعلاً، وتنتمي، أهمها، إلى فئة ثلاثي أزنيل

أمينو سيتيلين أو إلى الحلقات الكربونية Carbocycle، وتتعرض المبيضات لنوعين من التفكيك الكيميائي والضوئي، وتتحلل حيويًا بشكل سهل بغض النظر عن وجود محطات معالجة (Kasching, 2003).

#### 4.3.1.1 - الإنزيمات Enzymes:

تتميز الإنزيمات بقدرة على تفكيك المركبات العضوية، إلى ذلك تضاف كميات محددة منها إلى المنظفات لزيادة فعاليتها، وأهمها:

- الليباز Lipases (Glycerol ester hydroLASSes, E.C.3.1.1.3): من أهم الإنزيمات التي تدخل في مختلف الصناعات، إذ يحلل الزيوت والدهون (AL-Delamiy. 2002. Jensen. 2003). إن التفكيك الحيوي للبيدات محدود وتقوم بعض الأحياء الدقيقة بإنتاج عوامل حيوية تساعد الليدات على التفكك (Reetz, 2002).

يستعمل العديد من الأحياء الدقيقة الزيوت والشحوم الطبيعية بصفاتها مصدرًا للكربون من أجل نموها. وتنتج إنزيمات الليباز القادرة على تفكيك وحلمة الغليسيريدات الثلاثية إلى غليسيرول وحموض دسمة، وتضاف حالياً هذه الإنزيمات إلى تركيب المنظف فيحوّل الملوثات ذات الطبيعة الكارهة للماء إلى منتجات أقرب للأليفة للماء، أي أكثر انحلالية في الماء مما يسهل إزالتها عند الغسيل، ويعمل الإستراز Esterase والليباز Lipase على فك الرابطة الكيميائية Chemical bond نفسها، أما الاختلاف بينهما فيعود لتفكيك الإستراز إسترات الحموض العضوية الحولة بالماء، أما الليباز فيفكك إسترات الحموض العضوية غير الحولة بالماء وإنما في المستحلبات، ويكون عمله وفق المخطط الآتي (Van Dyke. et al, 1991):



TG = triglycerides, DG = diglyceride, MG = monoglyceride, FFA = free fatty acids

- السليلاز Cellulase (EC 3.2.1.4): يحافظ على النسيج جيداً لأطول فترة ممكنة لأنه يزيل الزغب الذي يتكون على الأنسجة، مع الاستعمال والغسل إلى ذلك تدعى سليلزات العناية بالنسيج وتساعد أيضاً في تحسين النظافة (Jensen, 2003).
- مجموعة الأميلاز Amylase: تحلمه جزيئات النشاء وتفكيكها عندما تكون ملتصقة بالأنسجة، مما يجعل عملية التنظيف أكثر سهولة، وإن تشكيل مزيج من إنزيمات الأميلاز مع البروتياز يوفر نظافة تامة (Jensen, 2003).
- مجموعة البروتياز Proteases: تفكيك البقايا البروتينية، وهي ذات فائدة كبيرة بسبب طبيعة البروتينات التي تستطيع الالتصاق بالأنسجة بقوة، مما يجعل عملية إزالتها صعبة جداً في حال غياب هذه الإنزيمات، ومن المهم الانتباه إلى عدم استعمال منظف يحتوي هذه الإنزيمات أثناء غسل المنتجات الصوفية والحريرية، لأنها تفك البروتينات الموجودة فيها (باسيل، 2003).

#### 5.3.1.1 - المواد المضادة للرغوة Antifoam Agents:

تتشكل الرغوة في أثناء عملية الغسيل بسبب عملية الخض، وتؤثر الكميات الكبيرة للرغوة في عملية التنظيف ثم يضاف القليل من بعض المركبات المضادة للرغوة إلى تركيب المنظف، لتسهم في الحفاظ على النسيج في أثناء عملية التنظيف، ومن أهم هذه المركبات مركب بوليميري ثنائي ميثيل سيلوكسان (PDMS) Poly di methyl siloxane، وهو سوائل سيليكونية Silicone fluids مدعومة بحبيبات السيليكا، ومن فوائد الرغوة منع إعادة ترسيب الأوساخ من جديد، ولا تزال الآلية الفعلية لمنع تشكل الرغوة عند إضافة تلك المواد غير واضحة، وتتميز مضادات الرغوة السيليكونية مقارنةً بمضادات الرغوة التقليدية المبنية على الصابون بأنها تظهر فعالية المضادات التقليدية في الماء العسر عند وجود نسبة عالية من شوارد الكالسيوم، أو بوجود كمية كبيرة من الأوساخ، وتندعم هذه الفعالية إذا كان الماء يسراً، وتبين أن قدرة الصابون على التحكم في الرغوة تقل في المنظفات الحاوية مواد فعالة شرسبية غير الألكيل بنزن سلفونات مثل سلفات الكحول الدسمة، وألفا سلفو إسترات الحموض الدسمة، وعلى عكس الصابون فإن مضادات الرغوة السيليكونية لا تتأثر بقساوة الماء، وبالتالي فهي فعالة في درجات الحرارة المختلفة، وتتميز بفعاليتها حتى لو كانت بكميات قليلة، يضاف إلى ذلك أن بعض المواد الفعالة سطحياً الأنيونية تمتلك خواصاً مضادة للرغوة مثل Alkyl Sulphates AS و Alkyl Ethoxylate Sulphates AES (Becker, 2003).

#### 6.3.1.1- العطور Fragrance:

يستعمل العطر لتحسين رائحة المنظف مما يعطي إحساساً أفضل بالنظافة. لا تؤثر العطور في عمل المنظف، ويمكن أن يسبب بعضها آثاراً جانبية على الأشخاص الذين يمتلكون حساسية تجاهها، ويجب أن تكون بنسبة منخفضة جداً، وأن يتمتع العطر بثبات عالٍ في درجات الحرارة المختلفة ويستعمل بتركيز بين 0.25-0.45% في أوروبا، أما في سورية فيبلغ 1% (Grimaux, 2003).

#### 7.3.1.1- الأصبغة Dyes:

تتفاوت تأثيراتها في صحة الإنسان والبيئة، وتكون أقل سمية كلما زادت قابليتها على الانحلال في الماء (Davis. et al, 1992).

#### 8.3.1.1- المذيبات Solvents:

تذيب البقايا العضوية، ويمكن أن تسبب زيادة غير صحية للمركبات العضوية في الهواء، ولكن يعدّ بعض أنواعها، مثل: إثيرات بروبيلين غليكول Propylene glycol ethers مقبولة بيئياً (Davis. et al, 1992; Field, 2002).

#### 9.3.1.1- عوامل منع إعادة الترسيب Anti-Redeposition-Agents:

يستطيع المنظف إزالة الأوساخ لكنه لا يستطيع الاحتفاظ بها في الماء، وهكذا تمنع هذه العوامل الأوساخ من العودة للنسيج أو السطح، يستعمل العديد من المواد مثل الملح الصوديومي لكاربوكسي ميثيل سيليلوز Sodium Salt of Carboxymethyl Cellulose (CMC) الذي يعدّ إضافة جيدة إلى تركيب المنظف لأنه يمنع

الترسيب على الألياف السليلوزية، ويوجد أيضاً مركب بولي فينيل بيروليديون (PolyVinyl Pyrrolidone (PVP وغيرها مثل النشاء Starch والسيليكا Silicates وأهمها أورثو سيليكات الصوديوم  $\text{Na}_4\text{SiO}_4$  وسيليكا الصوديوم المعدلة  $\text{Na}_6\text{Si}_2\text{O}_7$  وميتا سيليكات الصوديوم  $\text{Na}_2\text{SiO}_3$ ، وتعود أهمية السيليكا لقدرتها على إزالة عسر المغنيزيوم والحديد إضافة إلى دورها مانع أكسدة تحفظ المنظف وتمتلك قدرة ترطيبية، وتزيد قوة المنظف وذوبانه، وهي تستطيع تنظيم درجة حموضة الوسط أيضاً (Davis. *et al*, 1992).

#### 10.3.1.1- عوامل مضادة للجراثيم Antimicrobial-Agents.

تضاف هذه المواد إلى تركيب المنظف بسبب قدرتها على إتلاف الأحياء الدقيقة وفعلها المنظف وخواصها الأخرى، ويمكن أن تكون مواد فعالة سطحياً، علماً أن لبعضها أثراً بيئياً سلبياً، مثل: هيبو كلوريت الصوديوم Sodium hypochlorite والفورم ألدهايد Formaldehyde، وفوق بورات الصوديوم ويُضاف إليها منشط (Buhl & Hamilton, 2000).

#### 4.1.1- التأثيرات البيئية للمنظفات The environmental effects of detergents.

تعتمد الآثار المترتبة على استعمال المنظفات على عدة عوامل، منها طبيعة المواد المكونة للمنظف وتركيزها عند وصولها إلى المصادر الطبيعية ودرجة ثباتها في النبات أم الحيوان أو في أثناء عمل الجراثيم عليها لتفكيكها، أو بسبب تأثير العوامل الخارجية فيها مثل الضوء والحرارة وغيرها (Cserhati. *et al*, 2002).

وتقسم المنظفات إلى نوعين: الأول لا يحتاج إلى وقت طويل حتى يتفكك، وبالتالي فإن خطورتها ليست كبيرة لأنها لا تبقى في البيئة فترة طويلة إذا كان تركيزها ضمن الحدود المقبولة، أما النوع الثاني فهو أكثر ثباتاً، وبالتالي تحتاج فترة أطول لتفكيكها، وتسبب أضراراً بيئية كبيرة للمصادر الطبيعية والأحياء التي تعيش فيها، ويبقى أثرها السام فترة طويلة (Valles, 2000; Gilbert & Pettigrew, 2007).

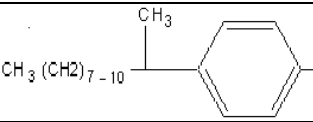
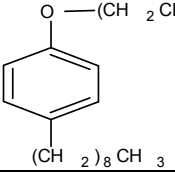
توجد مجموعة كبيرة من المواد الفعالة سطحياً المختلفة بحسب بنيتها مما يؤدي إلى وجود اختلاف في طريقة التعامل معها بيئياً، وبعضها يؤدي دوراً في تفكيك ملوثات بيئية أخرى في مثل الملوثات الفينولية phenolic pollutants، وتستعمل حالياً المواد الفعالة سطحياً الشرجبية بسبب دورها بصفتها معقّمت ومطريّات للنسج (Michizoe. *et al*, 2005).

ازداد الطلب على مركبات ألكيل بنزن المتفرعة التي يصعب أكسدة السلسلة الألكيلية فيها، مما يؤدي إلى بقائها في المياه فترة طويلة، كما يدفع إلى البحث عن طرائق تسمح بتفكيك تلك المواد ومن أهمها: التفكيك الحيوي السريع، والتفكيك بالأمواج الصوتية، والتفكيك الضوئي، والتفكيك الضوئي الحفزي (OECD SIDS, 2002).

تمتاز مركبات LASs بأنها أكثر قابلية للتفكيك الحيوي، وهي جيدة الإحلال في الماء وتصل إلى البيئة مع مراكباتها عبر الصناعات (منظفات مختلفة وغيرها) وللمياه عن طريق الحمأة الناتجة عن معالجة مياه الصرف (Tabor & Barber, 1996; Espinoza Rodezno, 2004).

بيّنت دراسات مختلفة أن تركيز المواد الفعّالة سطحياً الشرسبية يصل حتى 300 ملغ/لتر في مياه الصرف الصناعية، أما غير الشاردية فتصل حتى 30 ملغ/لتر، وإن تفكيكها الحيوي يتضمن توافر كمية كافية من الأكسجين الحيوي مما يؤدي إلى ارتفاع في كمية الإستهلاك الكيميائي للأكسجين COD، واستعملت الحمأة في معالجة هذه المواد، وتبين أنها تسبب تلوث المياه الجوفية، يبين الجدول 5 قيمة COD المعبرة عن تفكيك بعض المواد الفعّالة سطحياً (Zhang. *et al*, 1999; Petrovic & Barcelo, 2004; Bizukojc. *et al*, 2008).

الجدول 5. قيمة COD المعبرة عن تفكيك بعض المواد الفعّالة سطحياً.

رقم	المادة الفعّالة سطحياً	المجموعة التي تنتمي إليها المادة الفعّالة سطحياً	الصيغة الكيميائية	قيمة COD في مياه الصرف (ملغ O <sub>2</sub> /لتر)
A1	Sodium dodecyl sulphate (SDSs)	Alkyl sulphates (AS)	$\text{H}_3\text{C}-(\text{CH}_2)_{11}-\text{O}-\text{SO}_3\text{Na}$	735
A2	alkylbenzene sulphonate	Linear alkylbenzene sulphonates (LASs)		735
N1	Decaoxyethylene alkyl ether	Alcohol ethoxylates (AE)	$\text{H}_3\text{C}-(\text{CH}_2)_{11-13}-\text{O}-(\text{CH}_2\text{CH}_2\text{O})_{10}-\text{H}$	740
N2	Nonylphenylheptaaxyethylene glycol ether	Alkyl phenol ethoxylates (APE)		710
التأثير	-	-	-	750

#### 1.4.1.1- تأثير المواد الفعّالة سطحياً في التربة The effect of surfactants on soil

تؤثر المواد الفعّالة سطحياً بشكل سلبي في الأحياء الموجودة في التربة والنباتات المزروعة فيها، ويمكن أن يكون لها تأثير جيد في التربة، إذ تفكك الملوثات النفطية والهيدروكربونات، وتخلص التربة من المعادن الثقيلة (Bardi. *et al*, 2000; Mulligan. *et al*, 2001(a,b,c); Sartoros. *et al*, 2005; Paria, 2008; Zhou. *et al*, 2008; Franzetti. *et al*, 2008; Zhu and Aitken, 2010).

تستطيع بعض السلالات الجرثومية الموجودة في التربة تحمل تراكيز من LASs تفوق 300 ملغ/ل وهي من الأنواع *Pseudomonas fluorescens* و *Bacillus sereus*. ولكن سلالات أخرى مثل سلالات النوع *Nitromonas eruopaea* حساسة جداً لتراكيز LASs تتراوح بين 3 - 14 ملغ/ل، وإن تعريضها لهذه التراكيز باستمرار يكبح عملها مدة تتراوح بين 1 - 5 أيام بحسب السلالة (Klein, 2000; Brandt. *et al*, 2001; Elsgaard. *et al*, 2001[a,b]; Jensen. *et al*, 2001; Boopathy, 2002; Pozo. *et al*, 2003; Torres. *et al*, 2005).

وقد بيّن الباحث Witthuhn وفريقه (2005) أن تراكيز 34 - 56 ملغ/ل من مادة 2,4-dichlorophenol في التربة يسبب زيادة عدد خلايا الأحياء الدقيقة، ولكن عندما تتجاوز هذا التركيز 68-80 ملغ/ل فإنها تصبح قاتلة لتلك الأحياء.

#### 2.4.1.1- تأثير المواد الفعّالة سطحياً في المياه وخواصها الفيزيوكيميائية

##### The effect of surfactants on water and it's physiochemical characteristics

يصل العديد من المواد الفعّالة سطحياً إلى النظم البيئية المختلفة، ويترسب من الماء ما نسبته 87 - 99% من مركبات linear alkylbenzene sulphonates (LASs), alkyl ethoxysulphates (AES) و 65 - 87% من مركبات نونيل فينول إيثوكسيولات (NPEOs) والإيثوكسيولات الكحولية alcohol ethoxylates (AEOs)، وتبيّن أن تركيز (AES) في الرواسب السطحية أقل من 0.25 ملغ/كغ (Lara-Martin, 2008 et al).

تبيّن أن تركيز LASs يتراوح بين 50 - 1000 ملغ/ل في المياه، وفي الرواسب يبدأ من تركيز 0.1 ملغ/كغ، وتنتج مركبات Sulpho Phenyl Carboxylates (SPCs) من تفكيك LASs وتظهر في الماء بتراكيز أعلى من 100 ميكروغ/ل، وتوجد مركبات NPEOs بمستويات بين 0.01 - 50 ملغ/كغ في الرواسب، أما في المياه السطحية فتزيد على 100 ميكروغرام/ل. أما مركبات AEOs و AES فتوجد بكميات قليلة ومحدودة في المياه السطحية، ويتراوح تركيزها بين 0.1 - 2 ميكروغرام/ل، أما تركيزها في الرواسب فيتراوح بين 0.02 - 0.4 ملغ/كغ، وقدّرت سمية LASs بين 0.1 - 100 ملغ/لتر، ووجد الباحث Lara-Martin وزملاؤه (2006) أن النسبة الآمنة (تركيز العوامل السامة/تركيزه المنحل في الماء) يكون بين 10 - 100 ملغ/لتر في المياه العذبة الحاوية الطحالب والأسماك، أما في الرواسب فالنسبة تبلغ 200 ملغ/كغ (Ding. et al.1999; Bester. et al, 2001; Eichhorn. et al, 2002; Leon. et al, 2002; Isobe & Takada, 2004; Jonkers. et al, (2003)(2005); Eadsforth. et al, 2006; Sanderson. et al, 2006; Clara. et al, 2007 درس الباحث Garcia وزملاؤه (2007) قابلية تفكيك وسمية مركبات أكاسيد الأمينات Amine oxide كونها تنتمي إلى مواد فعّالة سطحياً غير الشاردية التي تؤدي دوراً شرجياً في المحلول الحمضي، وتعطي خواص رغوية جيدة، وتتعرض لمعالجة فيزيائية وحيوية في محطات المعالجة، إذ تبيّن أن الأكثر سهولة في التفكيك اللاهوائي هو أكسيد ألكيل أميدو أمين Alkyl amido amine oxide، وبلغ تفكيكه 94% في محطات المعالجة التي تستعمل طريقة الحمأة المنشطة.

وتؤثر المواد الفعّالة سطحياً في الأوساط المائية، مسببة تغييراً في الخواص الفيزيائية للماء ومخفضة من نسبة الأكسجين المنحل فيه، كما ينتج عن عملية التفكيك الحيوي مواد تغير من درجة حموضة الوسط، وتساهم تلك المواد أيضاً في نشوء ظاهرة الازهار Bloom مما يؤدي إلى زيادة المواد السامة، وتخفض التوتر السطحي للماء، وتقلل من قدرة الأحياء على التكاث، وتخرب الطبقة المخاطية التي تحمي الأسماك (Rapaport & Eckhoff, 1990; Sun. et al, 2004).

تؤدي المواد الفعالة سطحياً دوراً إيجابياً في بعض حالات تلوث المياه كما في حال التلوث بالنفثالين، ففي تجربة للباحث San Miguel وزملاؤه (2009) استعمل النوع الجرثومي *Sphingomonas paucimobilis* لتفكيك النفثالين الموجود في المياه وأضيفت مادة فعالة سطحياً هي poly (ε-caprolactone)، لوحظ بعد 140 ساعة أنه لم يبق سوى 10% فقط من التركيز الأصلي للنفثالين في الوسط، إذ ساعدت تلك المادة الفعالة هذا الكائن في تفكيك النفثالين، وغالباً ما تساعد المواد الفعالة سطحياً الأحياء الدقيقة الموجودة في المياه على تفكيك الفحوم الهيدروجينية العطرية متعددة الحلقات Polycyclic Aromatic Hydrocarbons PAHs. وبين الباحث Seo وزملاؤه (2009) أن 97.2-99% من الفينانثرين و99.9% من البيريدين تتفكك حيوياً باستعمال الأحياء الدقيقة بوجود بعض المواد الفعالة سطحياً.

### 3.4.1.1- تأثير المواد الفعالة سطحياً في الأحياء The effect of surfactants on organisms

إن لمركبات LABs تأثيراً سميّاً في جميع الأحياء التي أجري الاختبار عليها ضمن حدودها المنحلة في الماء مثل الدافنيا *Daphnia magna*، إذ بلغ تأثيره عليها أكثر بنحو 10 مرات مقارنةً بنفس الكتلة عند الأسماك خلال 48 ساعة، وبينت الدراسات أن الأثر السام للمواد الفعالة سطحياً في المنظف يختلف من كائن لآخر، فهي سامة للأسماك، عند تركيز معين، لكن هذا التركيز لا يكون ساماً للأحياء الدقيقة الموجودة في الماء لأنها قادرة على تفكيك هذه المركبات وبالتالي تخفف من تأثيرها السام (Gledhill. et al, 1991; Belanger. et al, 2002)، والجدول 6 يوضح التركيز السام لمركبات LABs في بعض الأحياء (OECD (SIDS, 2001, 2002, 2004).

الجدول 6. التركيز السام لمركبات LABs على بعض الأحياء.

الكائن	النوع	التركيز السام من LABs	مدة التجربة، ساعة	المرجع
النباتات والطحالب المائية	<i>Selenastrum capricornutum</i>	التركيز المنحل من المادة في الماء	96	Gledhill. et al , 1991
الأسماك	<i>Brachydanio rerio</i>	57.8 ملغ/ل	24 x 21	Enichem Augusta Ind, 2001
	<i>Lepomis macrochirus</i>	التركيز المنحل من المادة في الماء	96-24	Werner & Kimerle, 1982
اللافقاريات	<i>Daphnia magna</i>	تراكيز مختلفة	فترات زمنية مختلفة	Verge. et al, 1999 OECD SIDS, 2004
	<i>Gammarus fasciatus</i>	التركيز المنحل من المادة في الماء	فترات زمنية مختلفة	Gledhill. et al , 1991
الحشرات	<i>Chironomus tentans</i>	125 ملغ/ل	24 x 21	
	<i>Paratanytarsus parthenogenetica</i>	التركيز المنحل من المادة في الماء	48	

Robinson & Nair, 1992		ردود الفعل كانت سلبية	<i>Salmonella typhimurium</i>	الأحياء الدقيقة
Monsanto Rep ML-80-58 Monsanto Rep ML-80-71 Monsanto Rep ML-82-1 Monsanto Rep BD-84-315		تراكيز مختلفة	<i>Sprague-Dawley</i>	الجرذان
Monsanto Report BT-65-3 Monsanto Report BT-65-4	72-24 ساعة	تراكيز مختلفة	<i>New Zealand</i> <i>New Zealand albino</i>	الأرنب
Huls Report No. 143	14 يوم	حالات تحسس جلدية	<i>Guinea pig</i>	الخنزير
Monsanto Report SH-81-1 OECD SIDS, 2002		جرعة 0.2 مل حالات تحسس جلدي.		الإنسان

تعدّ مادة LASs سامة للطحالب عندما يكون تركيزها بين 10 - 300 ملغ/لتر، ولكن الأسماك والقشريات تتأثر بتركيز أقل من ذلك بين 1 - 10 ملغ/لتر، وتؤثر LASs والإيثوكسيالات الكحولية بشكل سام في *Daphnia magna* بتركيزات مختلفة (Painter, 1992; Kusk & Petersen, 1997; Utsunomiya. et al, 1997; Tolls, 1998 OECD SIDS, 2002; Oya and Hisano, 2010).

توجد مواد أخرى فعالة سطحياً هي إيثوكسيالات ألكيل الفينول كانت تدخل في تركيب المنظف، ولكنها الآن لا تستعمل إلا فيما ندر على الرغم من قابليتها للتفكيك السريع، لكنها ذات تأثير ضار جداً بالبيئة لأنها تعطي الفينول عند تفكيكها حيويًا، وهو أشد سميّة من المادة الأصلية ولا يتأثر بالتفكيك الحيوي، وهذه المادة تصل سميّتها إلى 0.002 ملغ/لتر للطحالب و 0.1 - 0.3 ملغ/لتر للأسماك، ولذلك لا ينصح باستعمالها منظفاً، ويمكن استبدالها بإيثوكسيالات الكحولات الأليفاتية (Di Gioia. et al, 2004; Belanger. et al, 2000, 2006).

درس الباحث Garcia وزملاؤه (2007) قابلية تفكيك مركبات أوكسيد الأمين Amine oxide وسميّتها بصفتها مادة فعالة سطحياً، وتبيّن أن تركيزها السام على جراثيم *Photobacterium phosphoreum* تراوح بين 0.11 - 11 ملغ/لتر وعلى *Daphnia magna* بين 6.8 - 45 ملغ/لتر، إضافة لتأثر *Daphnia magna* بالكثير من المواد الفعالة سطحياً (Lewis & Horning. 1991. Steber. et al. 1995; Madsen. et al. 1996)، إذ تتميز المواد الفعالة سطحياً المتذبذبة بخواص سميّة للأحياء المائية مثل *Daphnia magna* و *Photobacterium phosphoreum*، والجدول 7 يوضح مجال التركيز الذي تؤثر فيه هذه المواد في تلك الأحياء (Garcia. et al, 2008, 2009):

الجدول 7. التركيز السام لأنواع من Amphoteric Surfactants في

*Photobacterium phosphoreum* و *Daphnia magna*

<i>Daphnia magna</i> ملغ/ل	<i>Photobacterium phosphoreum</i> ملغ/ل	Amphoteric Surfactants	
35-57	7.1-11	C <sub>10</sub> -Bet	Alkyl betaines
4.3-6.8	4.2-9.2	C <sub>12</sub> -Bet	
8.4-11.8	3.2-8.3	C <sub>14</sub> -Bet	



3.9–6.8	57–100	Amido-Bet	Alkylamido betaines
> 200	50–100	C <sub>10</sub> -Imi	Alkyl imidazoline derivatives
37–130	35–59	C <sub>12</sub> -Imi	
32–59	17–29	C <sub>14</sub> -Imi	

تبيّن بالمقارنة عدم وجود اختلاف بين طحالب المياه العذبة والمالحة فيما يتعلق بتأثيرها بالمواد الفعّالة سطحياً، لكن لوحظ أن أقل التراكيز المؤثرة في الطحالب كان عند الطحلب البحري *Gymnodidium* إذ تراوح بين 0.025 - 0.125 ملغ/ل، أما باقي الطحالب البحرية فتأثرت بتركيز يزيد على 10 ملغ/ل ( Kimerle, 1989).

ودرس الباحث Sibila وزملاؤه (2008) تأثير سميّة مركب AES في طحلب *Isochrysis galbana* وطحلب *Dunaliella salina* وتبيّن أنها تتأثر بتركيز هذه المادة الفعّالة سطحياً وفق الآتي: كان التأثير خلال 96 ساعة في حال *Dunaliella salina* بتركيز 4.68 غ/ل و *Isochrysis galbana* بتركيز 24.02 ملغ/ل وكان *Dunaliella salina* هو الأكثر تحملاً لتركيز هذه المادة.

وتبيّن الجداول 8 - 11 بعض المواد الفعّالة سطحياً وتأثيرها في الأحياء المختلفة مع التركيز المؤثر في تلك الأحياء.

الجدول 8. تأثير بعض المواد الفعّالة سطحياً في الطحالب.

النوع	المادة الفعّالة سطحياً	مدة التجربة ساعة	تركيز الجرعة ملغ/ل	المرجع
<i>Microcosmos Algae community</i>	C <sub>12</sub>	28 x24	> 0.55	Belanger & Rupe, 1996
<i>Lemna minor</i>	C <sub>10</sub>	فترات زمنية مختلفة	0.101	Belanger. et al, 2006
<i>Scenedesmus subspicatus</i>	C <sub>8-10</sub>	72	21	Steber. et al, 1995
<i>Selenastrum capricornutum</i>	C <sub>12-14</sub>	72	11	Madsen. et al, 1996
<i>Scenedesmus subspicatus</i>	Cocoamido propylbetaine	72	1.84	IUCLID, 2000
<i>Raphidocelis subcapitata</i>	SDSs	72	36.58	Liwerska-Bizukojc. et al, 2005

الجدول 9. تأثير بعض المواد الفعّالة سطحياً في اللافقاريات المائية Aquatic Invertebrates.

النوع	المادة الفعّالة سطحياً	مدة التجربة ساعة	تركيز الجرعة ملغ/ل	المرجع
<i>Acartia tonsa</i>	AS	96	0.6	Roberts. et al, 1982
<i>Mesocosmos Invertebrate community</i>	AES	24x 56	0.77	Verge & Moreno, 2000

الجدول 10. تأثير بعض المواد الفعّالة سطحياً في الأسماك Fish.

المرجع	تركيز الجرعة ملغ/ل	مدة التجربة ساعة	المادة الفعالة سطحياً		النوع
Roberts. <i>et al</i> , 1982	2.8	96	C <sub>12</sub>	AS	<i>Atlantic silverside</i> ( <i>Menida menida</i> )
Painter, 1992	1.5	24	C <sub>12</sub>	AES	<i>Fathead minnow</i>
	400-450	96	C <sub>9-10</sub>		<i>Rainbow trout</i>
Giolando. <i>et al</i> , 1995	502			DEEDMAC	<i>Zebra fish</i> ( <i>Brachydanio rerio</i> )

الجدول 11. تأثير بعض المواد الفعالة سطحياً على Sediment-living organisms

المرجع	تركيز الجرعة ملغ/ل	مدة التجربة ساعة	المادة الفعالة سطحياً		النوع
Painter, 1992	١٥.٢ ملغ/ل	48	C <sub>12</sub>	AS	<i>Arenicola marina</i>
	٠.٣٥ ملغ/ل		C <sub>12</sub>		<i>Tresus carpax</i> (larvae)

عند تغذية الحيوانات في المختبر (الجرذ والفأر والأرنب) بحمية غذائية تبلغ فيها نسبة AS 4% مدة 90 يوماً، فإن احتمال إصابتها بالسرطان يصبح كبيراً جداً، أما عند إضافة مادة AES إلى غذاء الحيوانات في المختبر (الجرذ) مدة 90 يوماً بنسبة 1% فقد تبين زيادة في وزن الكلية أو الجسم بشكل عام فقط، ولا يوجد ما يؤكد أنها تسبب السرطان، وطُبق LASs بتركيزات محاليل مختلفة تراوحت بين 0.05 - 20% على إناث جرذان في فترة الحمل، ولم يحدث أي تأثير في الأجنة، ولكن كانت الفئران التي ولدت أكبر حجماً مقارنةً بالتي لم تتعرض للمركب (Comber. *et al*, 1992; Gloxhuber & Kunstler, 1992; IPCS, 1996; CESIO, 2000; Belanger. *et al*, 2006; 2003).

تؤثر المواد الفعالة سطحياً بشكل عام على صحة الإنسان، مسببة له، غالباً، تحسناً جلدياً وعينياً، فوجود مركبات LABs غير محبب بسبب مخاطرها على صحة الإنسان، وتعود سميّتها لتأثيرها التراكمي وإحداثها حالات تحسسية، كما هو ملاحظ في الجدول 17، وتبين عند تعرض الإنسان لمادة AS ومادة AES حدوث تحسس للجلد والعين جلدي وأذى كبير للعين، وتسبب أذية كبيرة للعين، أما LASs فإن الاختبار الذي أجري على 2294 متطوعاً لم يظهر أي نوع من الحساسية الجلدية، حتى لو تعرض الجلد لسائل يحتوي LASs بنسبة 1% مدة 24 ساعة، وعند تجاوز هذه النسبة تحدث حساسية جلدية، أما تحسس العين فقد طبقت التجربة على الأرنب، وتبين عدم حدوث تحسس، إذا كان التركيز أقل من 0.1% في سائل التجربة وتحدث حساسية العين عند تطبيق محاليل تحتوي LASs بنسبة تتراوح بين 0.1 - 5% (Monsanto Report SH-81-1; CESIO, 2000).

#### 5.1.1- طرائق معالجة المنظفات Treatment methods of detergents

توجد عدة طرائق لمعالجة المنظفات في مياه الصرف، أهمها:

#### 1.5.1.1- الطرائق الآلية والكيميائية Mechanical and chemical methods

تشمل الطرائق الآلية ترسيب المواد الصلبة الكبيرة بفعل الجاذبية، إذ تترسب الجسيمات غير القابلة للذوبان، بينما تطفو المواد الدسمة على السطح التي يلاحظ فيها أحياناً بعض بقايا عملية التصبن مثل شوارد الكلسيوم والمغنزيوم، وهي أخف من الماء مما يسمح بإزالتها، ويضاف أحياناً عدد من المواد الكيميائية التي تساعد في التخلص من بعض الملوثات، وتكون المخلفات السائلة ذات قيم مرتفعة من BOD و COD لذلك استعملت مصائد الزيت ذات الكفاءة العالية وفواصل الزيت بالوزن، ويجري أحياناً تجميع المخلفات السائلة القابلة للتصبن ومعالجتها بحمض دهني ليعادل الصودا الكاوية، ويغلى مع بخار الماء، ويترك حتى ينفصل الصابون (Jeworski and Heinzle, 2000; Doan. *et al*, 2003; Tunay, 2004).

#### 2.5.1.1- الطرائق الحيوية Biological methods

تعتمد المعالجة الحيوية على الأحياء الدقيقة التي تؤكسد المواد العضوية المنحلة والمعلقة، وتخفض نحو 85% من مجموع المواد الصلبة و BOD من الماء. (Horan, 1991)  
إن معظم المواد الفعالة سطحياً والمستعملة، قابلة للتفكيك الحيوي غالباً عن طريق المعالجة الحيوية الهوائية واللاهوائية، وقابلة للانتقال في حالتها الأليفاتية والمتفرعة منها، مثل السلفات الكحولية alcohol sulphates والإيثوكسيلات الكحولية وغيرها الكثير، بينما يتفكك LASs في أثناء المعالجة الثانوية في محطات المعالجة بنسبة تتراوح بين 97 - 99%، وتتراوح نسبة تفكيك المواد الفعالة من النوع نونيل فينول nonylphenol بين 74 - 87% (Scott & Jones, 2000; Jin Kim. *et al*, 2005; Terzic. *et al*, 2005; Pant & ) (Pant, 2010).

بيّن الباحث Cattaneo-Vietti (2003) وجود أنواع من الهديبات Ciliates والديدان الخيطية Nematodes والقشريات مجذافيات الأرجل Copepods والقشريات فوققيات الدرق Ostracods وثنائيات المصراع Bivalves وكثيرات الأشعار Polychaetes وغيرها، تؤدي دوراً مهماً في عملية المعالجة الحيوية للمواد الفعالة سطحياً في تجربة استمرت ثلاث سنوات، في مياه الصرف الواصلة إلى البحر، وقد وجد تراكم من المواد الفعالة سطحياً في الأحياء البحرية تساعد تلك الأحياء على تنظيف المنطقة الساحلية البحرية التي تعيش فيها.

ولاحظ الباحث Mauffret وزملاؤه (2010) أن الرخوي البحري *Hydrobia ulvae* يستطيع استعمال LASs الموجود في الرواسب، وتبين وجود مركبات LASs التي يتراوح طول سلسلتها بين 10 - 13 ذرة كربون في جسم هذا الكائن، ولوحظ أيضاً أن هذا الكائن قادر على تحمل كمية من LASs في جسمه خلال يوم واحد تتراوح بين 40 - 107 ملغ/كغ من جسمه، وبين 65 - 190 ملغ/كغ خلال 9 أيام مما يجعله أحد أهم الأحياء القادرة على التخلص من مركبات LASs التي توجد في الرواسب البحرية، وأجريت أيضاً دراسات في المعالجة الحيوية للملوثات في المناطق المائية المختلفة وفي نظم معالجة مياه الصرف الصحي، باستعمال

أحياء من كثرات الأشعار والإسفنج من النوع *Chondrilla nucula* باعتبارها قادرة على المعالجة الحيوية (Milanese. *et al*, 2003; Giangrande. *et al*, 2005; Cestone. *et al*, 2008).

تشكل مركبات Quaternary ammonium compounds (QACs) مع المواد الفعالة سطحياً ثنائية شاردية، وتبين أن 20% منها فقط تتفكك في محطات المعالجة، ويبقى 80% في الحمأة المنشطة، وتعدّ ركائز للأحياء الدقيقة، ولوحظ بعد تطبيق الطرائق المعتمدة عالمياً أن أفضل نسبة تفكيك لهذه المواد كانت 60% خلال 10 أيام بعد زيادة تركيز الأكسجين عشرة أضعاف، ولوحظ أن هذه المركبات ومواد فعالة سطحياً أخرى أن كلاً منها تؤثر في الأخرى في أثناء التفكيك الحيوي، وينخفض التفكيك الحيوي لمواد (SDSs، LASs) بوجود QACs، بينما يتحسن التفكيك الحيوي لمواد QACs بشكل بسيط بوجود هذه المواد (Sutterlin. *et al*, 2008). أجرى الباحث Espinoza Rodezno (2004) المعالجة الحيوية على مياه صرف صناعية تتميز بتراكيز عالية من LASs و SDSs و DATs وبلغ متوسط تركيز LASs 400 ملغ/ل، وتراوحت نسبة التفكيك بين 60 - 95%، ويتفكك DATs بتركيز 100 ملغ/ل في حمأة منشطة ولعدة أسابيع بنسبة 99%، كما أن SDSs تتفكك بشكل كلي خلال 48 ساعة بتراكيز بين 0.5 - 2.5 غ/ل.

وكان قد وجد الباحث Larson وزملاؤه في العام (1993) أن الفترة الزمنية لتفكيك LASs بتراكيز 1 - 100 ملغ/غ طويلة نسبياً، وتراوحت بين عدة أيام وعدة أسابيع، وبين Nielsen و زملاؤه (1997) تفكك 98.4% من LASs خلال 45 يوماً، علماً أن ما نسبته 86.1% تفكك حيوياً بشكل نهائي، وأثبت الباحثان Federle و Itrich (2006) أن مادة AE تتفكك بوساطة حمأة منشطة بنسبة 99.76 - 99.85% بحسب طول السلسلة، وبتركيز بين 9.3 - 35.6 ملغ/ل بدرجة حرارة 20°C (Itrich & Federle, 2004).

ولازالت عملية التفكيك اللاهوائي مستعملة في محطات المعالجة لأسباب اقتصادية، إذ تتفكك المركبات الكبريتية الموجودة في مياه الصرف بتحولها إلى كبريتيت بفعل الجراثيم التي تستهلك الكبريت مصدراً للطاقة، مع العلم أن معظم مركبات الكبريتيت تتحول إلى كبريت في الشروط الهوائية، وبينت الدراسات أن للكبريت تأثيراً سلبياً في الجراثيم الهوائية المسؤولة عن التفكيك الهوائي، والتي تحتاج إلى استهلاك الكثير من الأكسجين المنحل، ولذلك فإن التركيز العالي للمواد الفعالة سطحياً يؤدي إلى تشكل رغوة في أثناء العمليات الحيوية الهوائية، كما أن تحلل المواد الفعالة سطحياً لا يحدث مباشرة في أثناء عمليات المعالجة الهوائية، ويتم استعمال الكاشف الفنتوني Fenton reagent (مزيج من محلول الماء الأكسجيني  $H_2O_2$  ومحلول يحتوي شوارد الحديد Ferrous iron)، وهذه طريقة مستعملة في حال التفكيك الضوئي (Rinzema & Lettinga, 1988; Pignatello, 1992; Ruppert & Bauer, 1993; Visser. *et al*, 1996; Samir & Huang, 2003).

وقد طُبقت هذه الطريقة على مياه صرف صناعية في محطة معالجة معمل منظفات في الصين تحتوي تراكيز عالية من المواد الفعالة سطحياً، ولم تعمل بشكل جيد نظراً إلى تشكل الكثير من الرغوة أثناء عمليات التهوية، ولقد لوحظ انخفاض تراكيز المواد الفعالة سطحياً بشكل كبير، وقرن الباحث Jun Wang وزملاؤه (2008) الذين أجروا التجربة بين المعالجة الفنتونية والمعالجة الحيوية، كما يوضح الجدول 12.

الجدول 12. تأثير مقارنة بين المعالجة الفنتونية والمعالجة الحيوية.

المعالجة الحيوية			المعالجة الفنتونية			العينة		
LASs ملغ/ل	COD ملغ/ل	زمن المعالجة الحوية (ساعة)	LASs ملغ/ل	COD ملغ/ل	زمن المعالجة الحوية (دقيقة)	LASs ملغ/ل	COD ملغ/ل	المؤشر
7.9	131	5	24.7	235	40	528	1652	العينة الأولى
4	92	10						
4	84	20						
8.1	151	5	39.5	362	40	561	2412	العينة الثانية
4.7	105	10						
4.5	92	20						

وتبين النتائج أن المعالجة الفنتونية والمعالجة الحيوية تعدّان حلاً اقتصادياً لمعالجة مياه الصرف التي تحتوي كميات كبيرة من المواد الفعالة سطحياً، والتي يتميز بعضها بصعوبة معالجتها بالطرائق الفيزيوكيميائية مع ملاحظة أن المعالجة الفنتونية تحدث على نحو أسرع، واستعملت هذه الطريقة أيضاً في تفكيك SDSs إذ وصلت نسبة التفكيك إلى 99% (Bandala. et al, 2007).

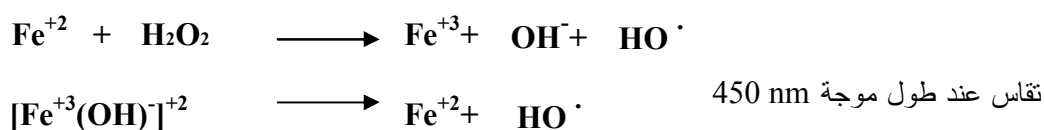
#### 6.1.1- تفكيك المواد الفعالة سطحياً Surfactants degradation

يعدّ التفكيك الحيوي أحد أهم العمليات التي تتعرض لها المركبات الكيميائية في الطبيعة، ويوجد حالياً اهتمام كبير لإيجاد العلاقة بين التفكيك الحيوي والصيغة الجزيئية للمركبات، وإن إيجاد هذه العلاقة يمكن أن يساعد على تحديد نسبة التفكيك الحيوي واستعماله لذلك (Alexander, 1981)، والمادة الفعالة سطحياً قابلة للتفكيك الحيوي إذا تحلل 60% منها خلال 28 يوماً، وأحياناً تكون نواتج التفكيك الحيوي أكثر سمية من المركب الأصلي، وتتفكك المواد الفعالة سطحياً بطرائق مختلفة فيزيائية وكيميائية وحيوية (Schroder. et al, 2010)، وتتعرض المواد الفعالة سطحياً لأنوعين من التفكيك هما التفكيك الضوئي Photodegradation والتفكيك الحيوي Biodegradation (SRI, 1995).

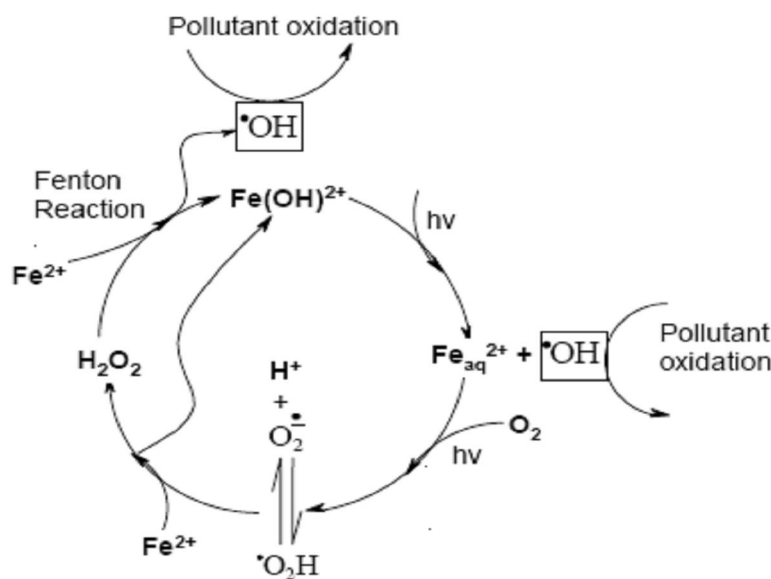
##### 1.6.1.1 - التفكيك الضوئي للمواد الفعالة سطحياً Surfactants photodegradation

تتميز بعض المواد الفعالة سطحياً بانخفاض القابلية للتفكيك الحيوي أو عدمه أو بسبب نواتجها الضارة للبيئة إذ لا يتم اللجوء إلى تفكيكها حيوياً، ومنها مادة Nonyl phenyl Poly (oxyethylene) Ethers (NPE-10)، وهي من المواد الفعالة سطحياً غير الشاردية، تدخل في تركيب العديد من المنتجات الصناعية والمنزلية، والتفكيك الحيوي لها غير مرغوب فيه لأنه يؤدي إلى إنتاج مركبات تسبب مشكلات بيئية. وتفكيك هذه المادة بوساطة الجراثيم ضعيف جداً، إلى ذلك تمت الاستعانة بطرائق أخرى لمعالجة مثل هذه المواد ومن أهمها التفكيك الضوئي الواسطي، وتعدّ هذه الطريقة من أحدث الطرائق المستعملة وتعتمد على أكسدة المركبات العضوية الثابتة وتحويلها إلى  $\text{CO}_2$  وماء، وتعتمد على توليد جذور الهيدروكسيل  $\text{OH}^\bullet$  الحرة التي تتمتع بقدرة عالية على الأكسدة بإحدى طريقتين: الطريقة الكيميائية الضوئية بتأثير الأشعة فوق البنفسجية UV، والطريقة الضوئية الحفزية باستعمال أنصاف النواقل والأشعة فوق البنفسجية، كما هو في حالة استعمال ثنائي أكسيد التيتانيوم (Titanium dioxide ( $\text{TiO}_2$ ) في التفكيك الضوئي إضافة إلى الأشعة فوق البنفسجية،

ووصلت نسبة التفكيك الضوئي لهذه المادة خلال أربع ساعات إلى 90% من التركيز الأصلي لها بوجود إضاءة شمسية و 52.6% بوجود  $\text{TiO}_2$ ، وفي تجربة أخرى وصلت النسبة حتى 100% بتركيز (0.0025 - 300) ملغ/ل من مادة Naphtelene Sulphonic التي تستعمل في صباغة الجلود، وقد استعمل  $\text{Ti/TiO}_2$  أنصاف نواقل وذلك بدرجة حموضة 2 خلال 90 دقيقة فقط من المعالجة بطريقة التحفيز الضوئي إضافة إلى تفكيك 94% من المواد الكربونية الأخرى الموجودة في الوسط، أما في الوقت الحاضر فهناك اتجاه نحو تخفيض تكاليف المعالجة بالاعتماد على أشعة الشمس باستعمال أملاح الحديد المنحلة في الماء والتي تمتص أشعة الشمس متحولة إلى الحديد  $\text{Fe}^{+2}$  المانح للإلكترون اللازم لجزيء الماء الأكسجيني  $\text{H}_2\text{O}_2$  القابل للتفكك مولداً جذور الهيدروكسيل ( $\text{OH}^\cdot$ ) الحرة (Chamarro and Esplugas, 2001; Rodriguez, 2002, )، وفق التفاعل الآتي:



ويوضح الشكل 3 آلية الأكسدة الفنتونية.



الشكل 3. مخطط الأكسدة الفنتونية.

أما مركبات LABs فلا يبدو أنها تخضع لتفكيك ضوئي مباشر أو تغيير كيميائي في الطبيعة، إذ تتفكك بنسبة أقل من 1% عندما تحتوي أسيتونتريل Acetonitrile في مركبات 215 Alkylate وتكون نسبة تفكيك كل منها (1% C9, 16% C10, 43% C11, 40% C12, 1% C13, 1% C14)، ويحدث التفكيك بحسب موقع ذرة الكربون مدة 14 يوماً، في حين تتفكك مركبات LASs ضوئياً بنسبة تتراوح بين 99.1 - 99.5%، وتعدّ المواد الناتجة عن تفكيكها الضوئي أقل سمية منها بنسبة تتراوح بين 10 - 100% باستعمال (UV-254/ $\text{H}_2\text{O}_2$ )، ويمكن أن يتفكك بهذه الطريقة نحو 38 ملغ/ل من LASs في أثناء تعرضها لهذا النوع من المعالجة خلال

ربع ساعة، وللضوء دور في عملية تفكيك المواد الفعالة سطحياً في المياه، وقد أُجري العديد من التجارب التي تؤكد أهمية هذا النوع من المعالجة ( Mann & Boddy, 2000; Mehrvar, 2004; Doll & Frimmel; Venhuis & Mehrvar, 2005).

### 2.6.1.1 - التفكيك الحيوي للمواد الفعالة سطحياً Surfactants Biodegradation

تأخذ عملية تفكيك المواد الفعالة سطحياً باستعمال الأحياء المختلفة أهمية كبيرة نظراً إلى تأثيراتها السمية وتحولاتها في البيئة، ويجري العمل لإنتاج مواد فعالة سطحياً قابلة للتفكيك الحيوي بأقل تأثير سمي وأقل بقايا كيميائية في البيئة، فمركبات الإيثوكسيلات الكحولية الخطية تتفكك بشكل طبيعي إلى كحول خطي Linear Alcohol وحموض كربوكسيلية وهي الأقل تأثيراً في البيئة، إضافة إلى قدرته على الذوبان في الماء البارد مما يسمح بتخفيض الطاقة عند التنظيف، وبالعكس فإن هناك إيثوكسيلات الألكيل فينول Alkyl Phenol Ethoxylates التي يمكن أن تتحلل طبيعياً في الشروط اللاهوائية إلى فينولات الألكيل Alkyl Phenols وتبقى في البيئة، وهي سامة بالنسبة للأحياء المائية. (Swisher, 1987)

واستعمل ملح عضوي للكحولات الخطية في المنظف مما سمح بتحسين التفكيك الحيوي للمنظف مع أثر بيئي أفضل، علماً أن تركيز المواد الفعالة سطحياً يتصف بتأثير مضاد لعملية التفكيك الحيوي ( Guo Ying, 2009; Fromel & Knepper, 2008; Merrettig-Bruns & Jelen, 2009).

أما مادة سلفات ألكيل الاثير Alkyl ether sulphates (AESs) فإن التفكيك الحيوي يبدأ بانفصال رابطة الإيثر ويتشكل كحولات دسمة fatty alcohol أو الإيثوكسيلات الكحولية مع سلفات إيثيلين غليكول ethylene glycol sulphates، ويتعرض الكحول لعملية أكسدة  $\omega/\beta$ -oxidation وتتعرض سلفات إيثيلين غليكول لأكسدة وتتفكك، ثم تحدث عملية نزع الكبريت desulphonation، ويمكن لعملية تفكيك الإيثر ونزع الكبريت أن تحدثا بغياب الهواء، ولكن آلية التفكيك الحيوي اللاهوائي لهذه المادة غير معروف بدقة، وتصل نسبة التفكيك الحيوي الهوائي لهذه المادة إلى 90 - 100% خلال 5 أيام، أما التفكيك اللاهوائي فإلى 70% فقط خلال 17 يوماً ( Steber & Berger, 1995; Szymanski. et al, 2002).

أما مركب AS فإنه يحتوي رابطة سلفات تساعد على ملاحظة التغيرات التي تطرأ عليه في أثناء عملية التفكيك الحيوي بوجود إنزيمات الألكيل سولفاتاز alkylsulphatases إذ ينتج الكبريت اللاعضوي وكحولات دسمة التي تستمر بعد ذلك لتتأكسد بوجود إنزيم الديهيدروجيناز dehydrogenases منتجة حموضاً دسمة fatty acids بدءاً من ألدهيدات دسمة fatty aldehydes وتتفكك الحموض الناتجة بعد تعرضها لمرحلة أخرى من التفكيك  $\beta$ -oxidation مع العلم أن AS يتفكك خلال بضعة أيام، ويمكن أن يتفكك 95% منه خلال يوم واحد في حال وجود AS مع النفط بنسبة 99%، ويمكن أن تصل المدة إلى ثلاثة أيام عندما يشكل AS 50% بوجود النفط، وأطول مدة يحتاج فيها للتفكيك هي 12 يوماً بتركيز 5% عندما يكون AS بشكل متفرع Branched AS ( Salanitro & Diaz, 1995; Nuck & Federle, 1996; Battersby. et al, 2000; Hera, 2002; Gadler & Faber, 2007(a-b)).

إن المعلومات المتعلقة بتفكيك LABs قليلة مقارنة بباقي المواد الفعالة سطحياً، وهو عامل مشترك في الكثير من المنظفات. وتبين أن أنواعاً مثل *Nocardia isolates* و *Nocardia amaras* وأنواعاً من *Pseudomonas* تستطيع تفكيكه حيوياً، وتخضع مركبات LABs لتفكيك حيوي في المياه الطبيعية (Li. et al, 2003)، ويبيّن الباحث Johnson وزملاؤه (2001) في المختبر أن LABs يمكن أن يتفكك بشكل مقبول تحت شروط إرجاع النترات في الوسط.

وتبيّن أيضاً أن مركبات LASs تتفكك حيوياً في الأنهار بنسبة تتراوح بين 0.006 - 1.71 ملغ/ل في الساعة بوجود الأحياء المناسبة لعملية التفكيك، علماً أنها تسبب ما يشكل أكثر من 1% من BOD، والتفكيك اللاهوائي لها ضعيف وغير معروف الآلية، ووصلت أيضاً حتى 79% خلال 165 يوماً في الرواسب البحرية، إن تشكل مركبات Sulpho Phenyl Carboxylic acid (SPCs) ومركبات Di Alkyl Tetralin Sulphonates (DATS) في الماء أو الرواسب يدل على تفكيك LAS حيوياً (Swisher, 1987; Schoberl, 1989; Boeije. et al, 2000; Berna. et al, 2007; Garcia-Luque. et al, 2009; Merrettig-Bruns 2010; Jelen, 2009; Lara-Martin. et al, 2010; Schleheck. et al, 2010)، وتتضمن عملية التفكيك الحيوي لمركبات LASs المراحل الآتية:

1- مرحلة الأكسدة أوميغا وبيتا  $\omega$ -and  $\beta$ - oxidations التي تنتج في بعض الأحيان حموض السلفوفينيل كربوكسيليك مع سلسلة من 4 - 5 ذرات كربون.

2- تفكيك الحلقة العطرية.

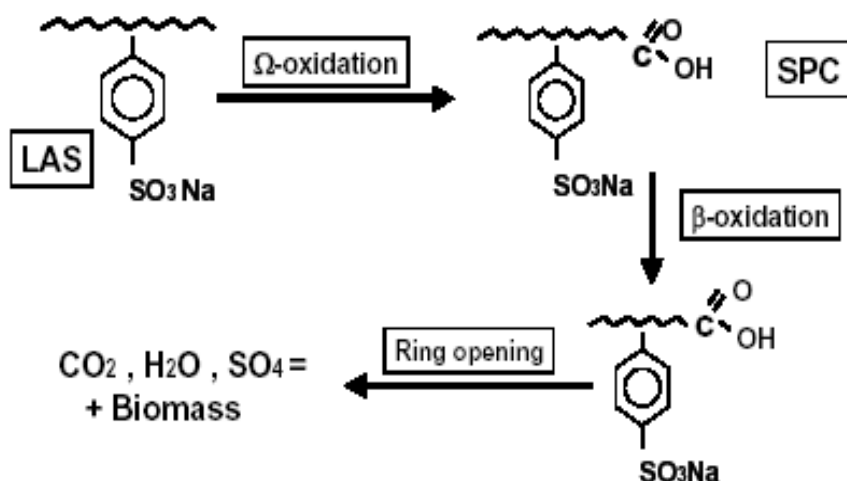
3- تفكيك مركبات LASs بأكسدتها للوصول إلى الناتج النهائي، ويصل تفكيك مركبات LASs في محطات معالجة الصرف الصحي حتى 99%. (Schoberl, 1989, 1994, 1997; Terzic. et al, 1992; Brunner. et al, 2000)

وجد Swisher وزملاؤه (1978) و Wickbold (1975) كلاً على حدة، أن مركبات LASs يمكن أن تتفكك حيوياً بشكل متتابع إذ يقل عدد ذرات الكربون في السلسلة الألكيلية المرتبطة بحلقة البنزن، كما هو موضح بالشكل 6، واعتبروا أن التفسير الواضح لهذه الظاهرة يعتمد على العمل الإنزيمي لتفكيك LASs بالاعتماد على الصيغة الجزيئية للمركبات العطرية.

وقارن Swisher (1978) بين الحالات التي تزداد فيها نسبة التفكيك الحيوي وبين زيادة بعد مجموعات السلفونات والنهائية البعيدة لسلسلة الألكيل مثلاً: تتفكك LASs 2-Phenyl C<sub>12</sub> أسرع من مركبات 6-Phenyl C<sub>12</sub> LASs أي أن الموقع 2 أسرع تفكيكاً من الموقع 6، وكذلك C<sub>13</sub> LASs أسرع من C<sub>10</sub> LASs إذ تسبب طول سلسلة الألكيل امتلاك كل مأكب صفات مختلفة تؤثر في التفكيك الحيوي.

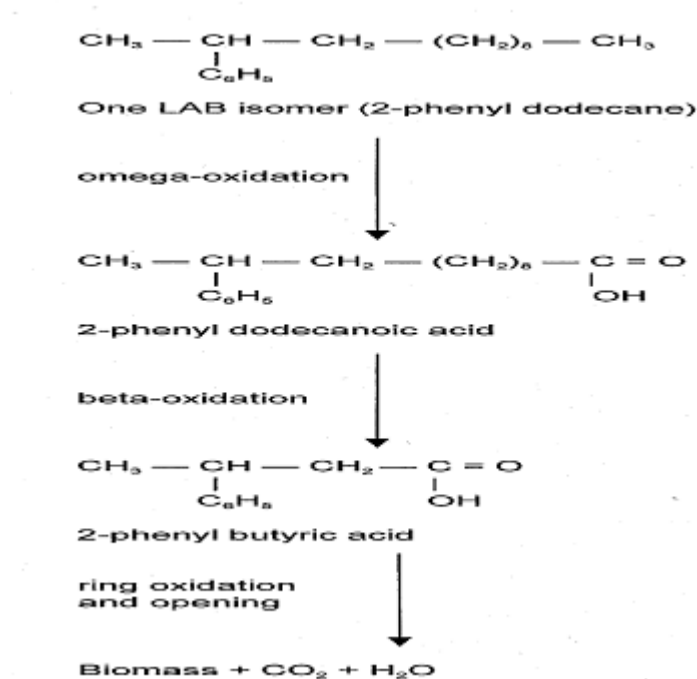
وتوضح الأشكال (4 - 6) مخططات التفكيك الحيوي لمركبات LABs و LASs (Swisher, 1987).



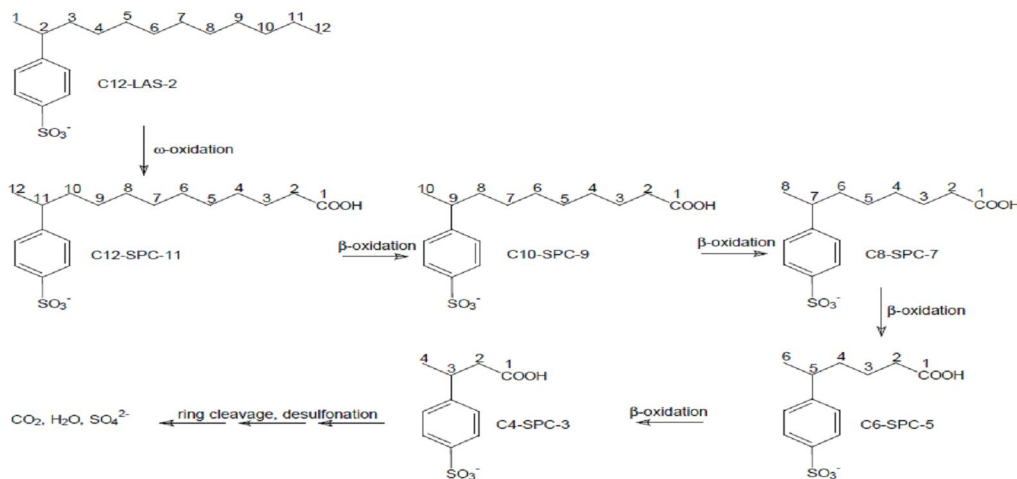


Biodegradation pathway of LAS

الشكل 4. المسلك الهوائي للتفكيك الحيوي لمركبات LASs

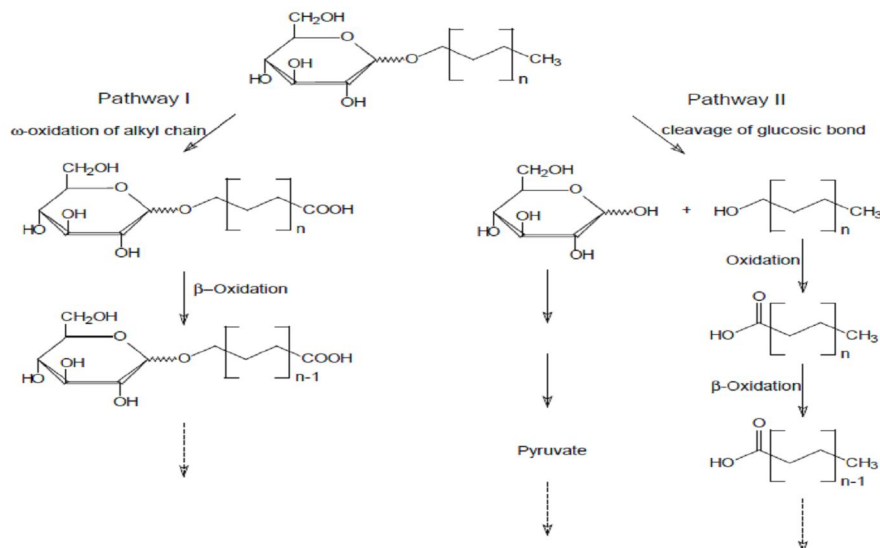


الشكل 5. مسلك التفكيك الحيوي لمركبات LABs



الشكل 6. مسلك التفكيك الحيوي للـ LASs (C12-LASs-2)

أثبتت الدراسات أن التفكيك اللاهوائي للمواد الفعالة سطحياً غير اقتصادي، خاصةً لتلك المواد التي تستعمل في الوقت الحاضر، وتبين أن تفكيك LASs لاهوائياً بواسطة نوعين من الجراثيم هما *Pantoea agglomerans* و *Serratia odorifera* 2 على وسطين minimal medium (M9) و nutrient broth (NB) وباستعمال LASs بصفته مصدراً وحيداً للكربون والطاقة، إذ كانت أفضل النتائج التي أمكن الحصول عليها في تفكيك LASs هي 70% في وسط NB و 36% فقط في وسط M9 في شروط الدراسة المختلفة، وتتأثر عملية التفكيك بعوامل الوسط المختلفة (Khleifat, 2006; Merrettig-Bruns & Jelen, 2009). أما في حالة المواد الفعالة سطحياً التي تنتمي إلى Alkyl polyglucosides (APG) فالتفكيك الذي يطرأ عليها موضحاً بالشكل (7):



الشكل 7. المسالك المحتملة للتفكيك الحيوي لمركب APG.

وقد درس الباحث Sales وزملاؤه (1999) تأثير درجات الحرارة المختلفة على تفكيك LASs، ولاحظوا ازدياد نسبة التفكيك مع ارتفاع درجة الحرارة، كما هو موضح في الجدول 13.

الجدول 13. النسب المئوية لتفكيك LASs مع تغير درجة الحرارة.

درجة الحرارة	النسبة المئوية لتفكيك LASs خلال أيام التجربة								
	1 يوم	2	3	4	5	6	7	15	21
5	0.9	1.1	1.3	1.5	1.7	1.8	2.0	3.6	4.2
10	0.3	1.7	2.1	4.2	7.5	9.0	11.5	33.1	36.0
15	2.3	4.2	5.8	9.4	13.4	17.5	22.2	44.8	47.9
20	1.1	2.5	5.2	6.3	8.7	11.3	15.5	48.3	69.7
25	1.7	3.7	6.5	9.9	14.3	20.0	26.4	92.7	97.0

### 3.6.1.1- المواد الفعالة سطحياً المتجزئة (المتقسمة، المتشقة) Cleavable Surfactants

ازداد الاهتمام في الآونة الأخيرة بالمواد الفعالة سطحياً القابلة للتفكيك، وهي المواد التي تحتوي روابط تتفكك بطرائق يمكن التحكم فيها، وتتضمن الحلمة الحمضية Acid hydrolysis و الحلمة القلوية Alkaline hydrolysis والأشعة فوق البنفسجية UV irradiation والحرارة (Hellberg. et al, 2000).

إن الهدف الأساسي من تطوير تلك المواد هو تحسين التفكيك الحيوي بسبب التأثير البيئي، الذي يعدّ الأهم عند إنتاج المواد الفعالة سطحياً بإنتاج مواد فعالة بروابط ضعيفة مما يؤدي إلى تفكيك حيوي أسرع، وهذه المواد هي في الغالب من النوع المتذبذب Amphiphiles، وتسبب الروابط الضعيفة في المواد الفعالة سطحياً مشكلات في ثباتية المركب، وهذا معروف في المواد الفعالة سطحياً الأكثر استعمالاً SDSs، ويوجد العديد من المواد الفعالة سطحياً التي تحتوي روابط حساسة لشروط معينة مثل درجة حموضة مرتفعة أو منخفضة، وتأثر المواد الفعالة التي تحتوي إستر Ester مع fatty acid ethoxylates التي تعدّ المثال الأكثر شيوعاً بوجود pH قلوي، بينما المواد الفعالة سطحياً التي تحتوي روابط غليكوزيدية فتسلك طريقاً معاكساً و تتفكك بوجود pH حمضي، وتبين أنّ المواد الفعالة سطحياً التي تنتج من إستر الملح العضوي تكون بروابط أضعف، وأثبتت نتائج اختبارات متعدّدة أنها تتفكك حيوياً بنسبة تفوق 60% على الأقل خلال 28 يوماً مقارنةً بأنواع المواد الفعالة سطحياً التي لا تحتوي روابط ضعيفة (Deleu & Paquot, 2004; Stjerndahl & Holmberg, 2005; Bagha & Holmberg, 2007).

يوجد العديد من المواد الفعالة سطحياً التي تحتوي روابط إستيرية مثل: إيثوكسيولات الحموض الدسمة Fatty acid ethoxylates وإستيرات الغليسيرول glycerol esters وإستيرات الغليسيرول المتعدّدة polyglycerol esters وإستيرات السوربيتول sorbitol esters وإستيرات الحموض الكربوكسيلية carboxylic acid esters وإستيرات الحموض الفوسفورية phosphoric acid ester والمركبات الشبيهة بمركبات SDSs (Stjerndahl . et al, 2003; Stjerndahl & Holmberg, 2003; Lundberg & Holmberg , 2004).

## ثانياً. مياه الصرف Waste Water

إن مياه الصرف هي المياه الناتجة عن الاستعمال في مختلف النشاطات المنزلية والخدمية والصناعية والزراعية والتي تكون محملة بالملوثات المتنوعة، إذ تلقى هذه المياه في الأحواض المائية دون معالجة، وبما

تحتويه من مواد عضوية وأخرى كيميائية وأنواع مختلفة من الأحياء الدقيقة، إضافة إلى المعادن والمركبات الهيدروكربونية المتعددة، وعندما تصل إلى البيئة تؤثر في عناصرها المختلفة، ولاحقاً على الصحة العامة والنواحي الاقتصادية كافة، وهذا يستدعي العمل على معالجتها لتخفيض التأثيرات السلبية الناجمة عنها (McGhee, 1991; Doan. *et al*, 2003).

### 1.2.1- تصنيف مياه الصرف:

تصنف هذه المياه حسب مصدرها إلى (Mullick, 1987):

- مياه الصرف الصحي Sewage (فضلات الإنسان والصرف المنزلي).
- مياه الأمطار Rain water.
- مياه الصرف الصناعي Industrial waste water.
- مياه الصرف الزراعي Agricultural waste water.
- المياه الناتجة عن تربية الحيوانات Zoo waste water.
- مياه الرشح Infiltration water.

وتصنف حسب خواصها الفيزيوكيميائية إلى:

- i- مياه ذات محتوى مرتفع من المواد العضوية مثل: مياه الصرف المنزلية وبعض المياه الصناعية (المياه الناتجة عن الصناعات الغذائية).
- ii- مياه ذات محتوى مرتفع من المواد اللاعضوية مثل: أغلب المياه الصناعية. (Mullick, 1987)

### 2.2.1- طرائق معالجة مياه الصرف:

تُتبع الطرائق التقليدية والحديثة في معالجة مياه الصرف، من أجل الحفاظ على سلامة الإنسان والبيئة، مع البحث عن الطريقة المثلى التي تقلل من تأثير هذه المشكلة، ومحاولة جعل مياه الصرف أقرب ما تكون للمواصفات المقبولة قبل وصولها للأحواض المائية المختلفة، وتؤدي هذه المعالجة لاحقاً إلى الاقتصاد في المجالات الصحية والسياحية مما ينعكس إيجاباً على الاقتصاد بشكل عام (Haigh. *et al*, 1991; Tchobanoglous. *et al*, 1996)، وأهم الطرائق المستعملة في معالجة مياه الصرف:

- ١- المعالجة الآلية Mechanical treatment: وتعتمد على تخليص المخلفات السائلة من المواد ذات الحجم الكبير باستعمال تقنيتي التصفية و الترسيب (Purification and Precipitation)، أما المواد العالقة المعدنية وخاصة الرمل فتحجز في أحواض حجز الرمل، في حين تحجز الزيوت والشحوم والنفط في مصيدة أو أحواض حجز الزيوت، وتعدّ المعالجة الآلية مرحلة تمهيدية وصولاً للمعالجة الحيوية (Haigh. *et al*. 1991).

٢- المعالجة الفيزيو كيميائية Physio-chemical treatment: ويتم إضافة بعض المواد الكيميائية إلى المخلفات السائلة فتتفاعل هذه المواد مع المواد العالقة والغرويات المتواجدة في تلك المياه وتؤدي لتخفيض تراكيز تلك المواد وغالباً ما تستعمل هذه الطريقة في المخلفات السائلة الصناعية وذلك بسبب احتوائها على الكثير من المواد العالقة والغرويات (Tunay, 2004).

٣- المعالجة الحيوية Biological treatment: وتعتمد على نشاط الأحياء الدقيقة التي تجد في المخلفات السائلة غذاءً لها، وتعدّ الأقل تكلفةً نظراً لوجود الأحياء الدقيقة في مياه الصرف بشكل طبيعي، وتتم المعالجة طبيعياً بواسطة الترشيح Filtration عبر طبقات التربة أو اصطناعياً ضمن أحواض التهوية، أو المرشحات الحيوية، أو برك الأكسدة (Doan. et al, 2003). وتعدّ المعالجة الاصطناعية أفضل لتوفيرها شروط النمو الملائمة لنشاط الأحياء الدقيقة وتكاثرها، والتحكم بشروط العمل، وعند اختيار الطريقة الأكثر ملائمةً من أجل نتائج معالجة أفضل لابد من مراعاة (Nowak. et al. 2004):

- 1- درجة المعالجة المطلوبة وكمية المياه اللازم معالجتها ونوعيتها.
  - 2- مكان إنشاء محطة المعالجة، إذ تختلف طبيعة المكان حسب الطريقة المتبعة في المعالجة مع تقدير الكلفة الاقتصادية لها.
  - 3- الطاقة المستهلكة من قبل محطة المعالجة، وفرص العمل التي توفرها.
  - 4- أثرها في البيئة.
- أما بالنسبة للأحياء الدقيقة الممرضة فيجري لها عملية تعقيم Sterilization، في حين تعتمد الطرائق الحديثة على التقانة الحيوية التي تستغل الصفات ذات التأثير الإيجابي في عملية المعالجة (Doan. et al, 2003).

### ثالثاً. استعمال التقانات الحيوية في معالجة المواد الفعالة سطحياً في المنظفات

#### 1.7.3.1- مفهوم التقانات الحيوية ودورها Concept and role of biotechnology

تستفيد التقانات الحيوية من الظواهر الحيوية والعلوم المختلفة في إنتاج المواد بوساطة العناصر الحيوية من أجل خدمة الإنسان وتحسين حياته، وتعتمد على الكثير من العلوم المهمة مثل الكيمياء Chemistry والكيمياء الحيوية Biochemistry والأحياء الدقيقة وتطبيقاتها Applied Microbiology والوراثة Genetic والرياضيات Mathematics والبيولوجية الجزيئية والخلاوية Molecular and Cell biology والفيزيولوجيا Physiology والهندسة الكيميائية Chemical Engineering وعلم المناعة Immunology وغيرها من العلوم وتشمل تطبيقاتها الصحة والصيدلانيات والغذاء وزراعة النبات والحيوان والطاقة ومعالجة الملوثات وغيرها من المجالات ذات التأثير المهم في حياة الإنسان (Hackign, 1986; Moses. et al, 1991; Smith, J. E, 1996).

وتعتمد التقانات الحيوية الحديثة على عملية النقل المورثي للمعلومات الوراثية على المستوى الجزيئي والخليوي والتي تمكن من الحصول على كائنات معدلة وراثياً قادرة على تأمين حاجات الإنسان المختلفة. وبدأت الأنماط الوراثية الجديدة المنتجة بوساطة تقنيات الهندسة الوراثية تدخل في البرامج الوراثية النباتية والحيوانية، مع اتباع تقانات حديثة في التخلص من المخلفات السائلة والصلبة، إذ تؤدي التقانات الحيوية دوراً مهماً في معالجة الملوثات المختلفة بشكل عام ومياه الصرف، خاصةً بالاعتماد على الأحياء الدقيقة المتواجدة في تلك المياه بشكل طبيعي، والتي تقوم بتفكيك بعض الملوثات الموجودة في مياه الصرف وتقلل بالتالي من تركيزها، إضافة لاستعمالها للعديد منها بصفاتها مصادر للطاقة. (Alani & Young, 1986; Fransman, 1992; Smith, J. E, 1996; Dalborg & Lange. 1998; Steinbrecher, 1999; Song & Ward, 2003; Yan & Viraraghavan, 2003; ياسين، جرعاً، 2005; ياسين، وزملاؤه، 2009(a,b)) وساهمت قدرة الأحياء الدقيقة الممثلة بتفكيكها للكثير من المركبات لاحتوائها الإنزيمات اللازمة في جعل التقانات الحيوية تؤمن نقل تلك الصفات إلى أنواع أخرى، مما يساعد في التخلص من التلوث، وتعدّ التقانات الحيوية المختلفة التي تعتمد على استعمال الأحياء الدقيقة القادرة على تفكيك المخلفات الموجودة في مياه الصرف من أحدث الأساليب المستعملة في الوقت الحاضر (Deshpande & Dhakephalkar, 2001; ياسين، وزملاؤه، 2009(a-b)).

تهدف المعالجة الحيوية للمياه الملوثة إلى تخفيض تركيز المواد غير القابلة للترسيب إضافة إلى إزالة بعض المغذيات كالنيتروجين والفوسفور وأحياناً إزالة بعض المواد التي قد تكون سامة، وللأحياء الدقيقة دور في تحقيق ذلك بوجود الأوكسجين أو بغيابه (ياسين، جرعاً، 2005; Doan, 2003).

### 2.7.3.1- الإصلاح الحيوي للمواد الفعالة سطحياً **Bioremediation of Surfactants**

يحدث الإصلاح الحيوي بشكل طبيعي عندما تحلل الأحياء الملوثات وتحولها إلى مواد غير ضارة، وتحتاج هذه الأحياء إلى بعض المركبات لنموها، وأهم العوامل التي تسهل الإصلاح الحيوي لتكون فعالة مثل أنواع الأحياء وشروط الوسط وأنواع الملوثات التي تتكيف الأحياء عادة معها، ويمكن استعمال الأحياء الموجودة أصلاً في الوسط أو المدخلة إليه (EPA, 1996; Janosh, 2007).

إن الإصلاح الحيوي تقانة ذات فعالية عالية لتفكيك المواد الفعالة سطحياً الموجودة في البيئة، إذ تستطيع مجموعات من الأحياء الدقيقة تفكيكها حيويّاً حتى تراكيز معينة، وتكون فعالة عندما تعتمد على سلالات تستهلك الملوثات، وخواص الأحياء الدقيقة تحدد مدى نجاح الإصلاح الحيوي، وإن العديد من المركبات الهيدروكربونية يجري تفكيكها هوائياً بوساطة العديد من الأنواع الجرثومية مثل الجراثيم المرجعة للكبريت والنيتروجين والحديد (Boonchan, 1998).

استعمل الإصلاح الحيوي بشكل اقتصادي في معالجة مواقع التلوث بالمخلفات العضوية، واستعمل العديد من المواد الفعالة سطحياً للتخلص من ملوثات هيدروكربونية موجودة في المصادر المائية المختلفة وفي

التربة ( Alexander, 1999; Harwell. *et al*,1999; Zheng and Obbard, 2000; Fang. *et al*, 2001; Kim. *et al*, 2005).  
(al, 2001; Zhu & Chiou, 2002; Zhao. *et al*, 2005).

أجري العديد من التجارب باستعمال النباتات من أجل التخلص من المواد الفعالة سطحياً التي تصل للتربة و لوحظ أن النباتات المزروعة في تربة سمّدت بحمأة صرف منزلي تحتوي LAS، أن تلك النباتات ساهمت في تخليص التربة من LAS بنسبة تراوحت بين 20 - 60% من تركيزه الأصلي وهذا يشجع على استعمال بعض الأنواع النباتية مثل الشوفان والجزر في المعالجة الحيوية للتخلص من المواد الفعالة سطحياً عندما يكون عمل الأحياء الدقيقة ضعيف (Gron. *et al*, 2001. Filipkowska, 2003).

#### 1.2.7.3.1 - استعمال النظم الحيوية في تفكيك المواد الفعالة سطحياً

##### Using Biosystems for surfactants degradation

#### 1.1.2.7.3.1 - الفطريات Fungi

استعمل الكثير من أنواع الفطريات والخمائر في تفكيك المواد الفعالة سطحياً ولاسيما LASs، إذ استعمل الباحث Nomura وزملاؤه (1998) النوع *Trichosporon cutaneum* بكتييته على هلام ألجينات الكلسيوم Calcium alginate gel، وتبين حدوث تخفيض لمركبات LASs في مياه الصرف المعالجة بنسبة جيدة. وبين الباحثان Stjerndahl و Holmberg (2005) أنه باستعمال نوعين من الفطريات *Mucor miehei* و *Candida antarctica* B يتم تفكيك بعض المواد الفعالة سطحياً (تحتوي روابط من نوع الكربونات CO<sub>3</sub> Carbonate bonds وأخرى من نوع استر الملح العضوي Ester bonds وروابط الأميد Amide bonds)، أن المواد الفعالة سطحياً التي يجري إنتاجها وتحتوي روابط الإستر هي الأفضل للتفكيك حيويّاً إذ وصلت نسبة التفكيك إلى 60%.

واستعمل الباحث Hadibarata (2009) النوع الفطري *Polyporus* sp.S133 الذي فكك مادة Tween 80 بنسبة 76% إضافة إلى قدرته على تفكيك مادة بينزو إي بيرين Benzo[a]pyrene بنسبة جيدة.

#### 2.1.2.7.3.1 - الطحالب Algae

استعملت العديد من الطحالب في معالجة المواد الفعالة سطحياً الموجودة في المياه، ففي تجربة للباحث Roth وزملاؤه (1989) استعمل فيها مجموعة من الطحالب، وبوجود أشعة الشمس مدة 9 أسابيع، لتفكيك مواد فعالة سطحياً موجودة في مياه طبيعية إذ تفكك 60% منها خلال 6 أسابيع.

لاحظ الباحث Yan وزملاؤه (2002) أن طحلب *Chlorella protothecoides* فكك الأنثرائين Anthracene بنسبة 29%، وارتفعت هذه النسبة مع تحسين شروط النمو إلى 33.53 - 80%، كما بين Zhou و Ma (2006) قدرة الطحلب الأحمر *Porphyra yezoensis* على تفكيك المواد الفعالة سطحياً بتركيز تراوحت بين 0.5 - 2 غ/ل بنسب تفكيك جيدة، وبين الباحث Yan وزملاؤه (1998) قدرة السلالة *Anabaena* sp. HB 1017 على تفكيك LASs، وإمكان نموّها بوجوده بصفته مصدراً للكربون والطاقة.

واستطاع الباحث Broughton وزملاؤه (1998) إثبات قدرة مجتمعات الطحالب في بحيرة دوغلاس Douglass في الولايات المتحدة الأمريكية على تفكيك مواد التنظيف، التي تصل إلى المياه وخاصة المواد الفعالة سطحياً الشرجبية.

### 3.1.2.7.3.1 الجراثيم Bacteria

استعمل العديد من الأنواع الجرثومية لتفكيك المواد الفعالة سطحياً لفعاليتها في هذا المجال، إذ استعمل الباحث Cloves وزملاؤه (1980) النوع الجرثومي *Pseudomonas* sp C12B الذي يمتلك القدرة على تفكيك مركب SDSs والنمو بوجودها بسبب احتوائه إنزيمات Alkyl sulphatases، ولهذه الإنزيمات نوعان في هذه الجراثيم هما P1 و P2 إذ يفكك الأول الرابطة بين O-S، ويفكك الثاني الرابطة بين C-O. إن هذا الإنزيم موجود أيضاً في الأنواع *Pseudomonas aeruginosa* و *Aerobacter aerogenes* و *Camamonas terrigena*، أما النوع *Pseudomonas putida* فيحتوي 6 أنواع من هذا الإنزيم هي FP1,FP2,FP3,FS1,FS2,FS3، ولهذه الإنزيمات دور فعال في تفكيك SDSs، وتبين في دراسات أخرى أن *Pseudomonas beteli* و *Acinetobacter johnsoni* المعزولة من حمأة منشطة تفكك SDSs بنسبة عالية جداً خلال 10 أيام بلغت 97.2% و 96.4% على التوالي (Hosseini. et al. 2007; Jovcic, et al, 2009).

واستعمل الباحث Schleheck (2003) سلالة جرثومية DS-1<sup>T</sup> وتسمى *Parvibaculum lavamentivorans*<sup>T</sup> لقدرتها على القيام بتفاعل  $\omega$ -Oxygenation و  $\beta$ -oxidations في مركبات LASs، وتفكك هذه السلالة LASs حتى 98%، بالإضافة إلى العديد من المواد الفعالة سطحياً الشاردية وغير الشاردية، وتنمو أيضاً بوجود الأسيتات Acetate والأوكتان Octane، وتفكك أيضاً ثنائي سلفات ألكيل دي فينيل إيتير الخطية Linear Alkyl diPhenyl Ether di Sulphonate (LADPEDS)، وهي مادة فعالة سطحياً تستعملها من أجل نموها وتشكيل مركب كربوكسيلات دي سلفو دي فينيل إيتير Di Sulpho di Phenyl Ether Carboxylates (DSDPECs) لكن هذا المركب لا يتفكك عند وجوده في الحمأة إذا كانت الجراثيم تحتاجه مصدراً كربونياً لأنه لا يعدّ كذلك، وإنما يتفكك عند حاجة الجراثيم إلى مصدر كبريتي كما هو الحال في النوع الجرثومي *Rhodococcus opacus* Iso-5 (Dong. et al, 2003; Schleheck. et al, 2003, (2007)).

تصل مياه الصرف الصحي في تونس (العاصمة) إلى مئة ألف متر مكعب سنوياً، تحتوي 1 غ/ل مواد فعالة سطحياً، وهي نسبة مرتفعة لأن النسبة المسموح بها يجب ألا تتجاوز 5 ملغ/ل، مما استدعى قيام الباحثين بالعمل على معالجة هذه المياه لتخفيض نسبة تلك المواد، لذلك عزلت أحياء دقيقة تساعد على تحسين المعالجة، ولاسيما معالجة المواد الفعالة سطحياً الشاردية باستعمال الجراثيم المفككة لسلفات دوديوسيل الصوديوم وهي سلالة من النوع *Citrobacter braakii* التي تستطيع تفكيك العديد من المواد الفعالة سطحياً الشاردية، كما تستطيع تفكيك باستمرار تراكيز عالية من SDSs، وتفكك 0.065 غ/ل في الساعة، ويمكن أن تصل حتى 0.15 غ/ل في الساعة، ووصلت نسبة التفكيك إلى 23.5% خلال 24 ساعة (Dhouib. et al, 2003; Farzaneh. et al, 2010).



ويوجد الكثير من الجراثيم القادرة على تفكيك المواد الفعالة سطحياً خاصة LAS و SDS، مثل كثير من الأنواع التي تنتمي لأجناس *Escherichia* و *Salmonella* و *Pseudomonas* و *Staphylococcus* والتي تستطيع تفكيك تلك المركبات بنسب جيدة وفق الشروط المختلفة. وقد أثبتت الكثير من الدراسات ذلك (Janosh, 2007 ; Chaturvedi & Kumar, 2010 ; Gadler & Faber, 2007(a-b)) فأنواع *Salmonella enteritidis* و *Salmonella typhimurium*، و *Escherichia coli* و *Pseudomonas sp* و *Pseudomonas aeruginosa* التي تنتمي إلى مجموعة الجراثيم السالبة بصبغة غرام و *Staphylococcus epidermidis* التي تنتمي إلى مجموعة الجراثيم الموجبة بصبغة غرام، قد استعملت في الدراسة الحالية وأثبتت فعاليتها (ياسين، وزملاؤه، 2009(a,b))، إذ يعدّ النوع *Escherichia coli* أكثر الجراثيم دراسة، وينتمي إلى العصيات اللاهوائية الاختيارية السالبة بصبغة غرام Gram-negative facultatively anaerobic rods، من فصيلة الأمعائيات Enterobacteriaceae. الجنس *Escherichia* وهو عصيات مستقيمة متحركة أو غير متحركة، تعيش في أمعاء الإنسان ويمكن عزلها من البراز. يخمر الغلوكوز واللاكتوز مع إنتاج حموض وغازات لا يفكك الهلام (الجيلاتين) ولا يفكك البولة، لكن يمكن أن يحل الدم ويلاحظ على وسط EMB مع لمعة يودية، درجات الحرارة الملائمة هي 37 درجة مئوية، وهو حساس لدرجات الحرارة العالية، ويسبب هذا النوع التهابات بولية وتناسلية وهضمية وكذلك التهاب السحايا، ويتميز بوجود البنسليناز، مما يجعله مقاوماً للبنسلين فلا يمكن استعماله علاجاً (Holt, J.G. & Krieg, N.R.S. 1994).

ينتمي الجنس *Salmonella* إلى فصيلة الأمعائيات، ويتميز بأن جميع أنواعه ممرضة، وهي عصيات متحركة غالباً بسيّاط محيطية، تستطيع النمو في الأوساط المغذية دون الحاجة إلى إضافة أي مادة خاصة، ويتميز باستعماله السترات مصدراً كربونياً، وعند تخميرها للسكريات، ما عدا سكري اللاكتوز والسكرور، فإنها تشكل حموضاً وبشكل نادر غازات، ذات نمو جيد في أوساط الزرع، تتأثر بالحرارة والمطهرات، مقاومة للبرودة وبعض المواد الكيميائية، وهذه الخواص تسمح بعزلها ويمكن استعمال الأملاح الصفراوية لعزلها لأنها تثبط عمل الأنواع الجرثومية الأخرى باستثناء *Salmonella*.

يسبب النوع *Salmonella typhimurium* حالات تسمم حادة، وينتقل بواسطة الأغذية الملوثة خصوصاً الحليب ومشتقاته والكريمة والمايونيز واللحم، ويفرز ذيفاناً يؤدي إلى تخريش الأمعاء وارتفاع الحرارة وإسهالات وإقياءات حادة تستمر 2 - 5 أيام ثم تزول بعد ذلك دون آثار أخرى.

أما النوعان *Pseudomonas aeruginosa* و *Pseudomonas sp* فينتميان إلى جنس *Pseudomonas* (فصيلة Pseudomonadaceae)، وهو من مجموعة الجراثيم السالبة بصبغة غرام، متحركة بسوط قطبي واحد أو أكثر، يمكن تمييز معظم الأنواع عند هذا الجنس بسبب نموها على وسط K B medium بسبب قدرتها على إنتاج أصبغة الفلوريسين Fluorescent pigments بوجود الحديد.

إن العديد من الأنواع التابعة لهذا الجنس تحتوي مجموعات إنزيمية مميزة، إضافة إلى وجود البلاسميدات عند معظم تلك الأنواع مما يسمح بتطبيقها في مختلف المجالات (Ensley, B.D. 1994).

إن أهم أنواعه: *Pseudomonas fluorescens*, *Pseudomonas aeruginosa*, *Pseudomonas putida* (Holt, J.G. & Krieg, N.R.S. 1994).

ينتشر النوع *Pseudomonas aeruginosa* بشكل كبير في البيئة، ينتج البيوسيانين ومواد حيوية فعالة سطحياً تدعى rhamnolipids، يتحرك بسوط قطبي وحيد، يخمر الغلوكوز ولا يخمر المالتوز، موجب اختبار الكاتالاز وسالب اختبار الإندول، يقاوم العديد من الصادات الحيوية مما يجعل معالجة الإصابة به صعبة جداً، ينمو في درجة الحرارة 42 مئوية، ولا ينمو في درجة 4 مئوية يحتوي مجموعة واسعة من الإنزيمات مما يسمح له بتفكيك العديد من الملوثات في البيئة (Holt, J.G. & Krieg, N.R.S. 1994).

أما النوع *Staphylococcus epidermidis* فهو ينتمي إلى المكورات الإيجابية بصبغة غرام Gram-positive cocci (فصيلة Micrococcaceae) جميع الأنواع التابعة لها كيميائية التغذية العضوية، وبعض الأنواع ممرض مثل *Staphylococcus aureus*، وبعضها الآخر غير ممرض مثل النوع المدروس حالياً *Staphylococcus epidermidis* (Holt, J.G. & Krieg, N.R.S. 1994).

إن معظم الأنواع الجرثومية المستعملة في الدراسة الحالية ممرضة، إلا أن ذلك لا يمنع من الاستفادة منها في تفكيك المواد الفعالة سطحياً الموجودة في مياه الصرف.

#### 4.1.2.7.3.1 - استعمال المركبات الحيوية الفعالة سطحياً Using Biosurfactants

تنتج الأحياء الدقيقة مجموعة واسعة من المركبات الحيوية الفعالة سطحياً Biosurfactants التي تعمل على خفض التوتر السطحي، ومن أهمها الغليكوليبيدات Glycolipids، والفوسفوليبيدات Phospholipids والحموض الدسمة Fatty acids، البروتينات Proteins، والرامنوليبيد Rhamnolipid، ويتراوح الوزن الجزيئي لها بين 500 - 1500 دالتون، وتمتلك مجموعة واسعة من التطبيقات في الكثير من الصناعات، وفي التحكم في التلوث مثل حالات التلوث النفطي، وفي تفكيك المركبات الهيدروكربونية في المياه والتربة، وتفكيك أنواع محددة من المبيدات، وتتميز بمجموعة مهمة من الصفات (Banat. et al, 2000)، مثل:

- ١- ذات فعالية عالية.
- ٢- ذات قدرة على الترطيب.
- ٣- قابلة للانتشار.
- ٤- تمتلك الفعلين الأليفين للماء وللزيوت.
- ٥- لا تنمو الجراثيم بوجودها لأنها صادة لها.
- ٦- تنتج حيويًا وبشكل اقتصادي.

وأهم التطبيقات الحالية لهذه المركبات هو الاستعمال في تمثيل وتفكيك مركبات كيميائية مختلفة، وتخليص التربة من العديد من الملوثات التي تصل إليها ولاسيما المشتقات النفطية، وتعُدّل من قطبية السطح الخارجي للخلايا الدقيقة مما يزيد من نفوذية أغشية الخلايا ( Tan, 2000; Balba, *et al*, 2002; Wouter & Dick, 2002; ) (Urum, *et al*, 2003; Kaczorek. *et al*, 2007).

بدأ إنتاج هذه المركبات في الولايات المتحدة الأمريكية والعالم في العام 1989، وبلغ الإنتاج فيها  $3.4 \times 10^9$  كغ، في حين بلغ في العالم  $7 \times 10^9$  كغ (Gerson, 1993).

ويبين الجدول 14 بعض تطبيقاتها الصناعية، ويمتاز عدد من المركبات الحيوية الفعّالة سطحياً بخواص الصادات الحيوية مما سمح باستعمالها في العديد من التطبيقات الزراعية، وقد بينت الدراسات تأثير تلك المواد في الفطريات الممرضة لأنواع مختلفة من النباتات، ووجد أن مادة Rhamnolipid B قادرة على منع إنتاش أبواغ الفطريات مثل *Phytophthora capsici* و *Colletotrichum prbicular* (Kosaric, 2001).

الجدول 14. بعض التطبيقات الصناعية للمواد الحيوية الفعّالة سطحياً.

تأثير المواد الحيوية الفعّالة سطحياً	مجال التطبيق
التنظيف، تفكيك بقايا المبيدات والأسمدة.	الأغذية والمشروبات.
المنظفات، الترطيب، التنظيف الجاف والغسيل.	صناعات التنظيف.
التنظيف.	الجلود.
التحكم في الترطيب.	الأصبغة والدهانات.
معالجة عجينة الورق وترطيبها وصبغها.	الورق.

تعدّ المركبات الحيوية الفعّالة سطحياً أقل سميّة، وذات تأثير جيد في البيئة مقارنة بالمركبات الكيميائية الفعّالة سطحياً خاصة في التطبيقات الصناعية، ودورها الصاد لبعض الأنواع الجرثومية، وقد طوّرت هذه المواد لتستعمل بصفاتها صادات للأحياء الدقيقة الممرضة، ولها فوائد عديدة مثل قابليتها على التفكيك الحيوي، وتخفيض السميّة، وتطبيقاتها في المواد التجميلية والصيدلانية، وتحضير الأطعمة، وقدرتها على استعمال الكثير من مصادر الكربون كالهيدروكربونات والليبيدات وغيرها، وإنتاجها، أيضاً، بشكل اقتصادي مقبول، وتستعمل في الإصلاح الحيوي للتربة الملوثة، إذ تبدو مجموعة معقدة ولكن لها دور محدد، وتتأثر بدرجة الحرارة ودرجة الحموضة (Kosaric, 2001; Zhang. *et al*, 2005; Van Hamme. *et al*, 2006; Singh. *et al*, 2007).

ويبين الجدول 15 أهم أنواع المركبات الحيوية الفعّالة سطحياً والأحياء التي تنتجها (Lang & Wagner, 1993; Van Hamme. *et al*, 2006).

الجدول 15. أهم أنواع المواد الحيوية الفعّالة سطحياً والأحياء التي تنتجها

نوع المادة الحيوية الفعّالة سطحياً	النوع من الأحياء الدقيقة
Liposan (mostly carbohydrate)	<i>Candida lipolytica</i>
Glycolipid (sophorose lipid)	<i>Torulopsis bombicola</i>

Lipoprotein	<i>Bacillus licheniformis</i>
Lipoprotein (surfactin)	<i>Bacillus subtilis</i>
Sucrose and fructose glycolipids	<i>Arthrobacter parafineus</i> ,
Glycolipid	<i>Arthrobacter</i>
Glycolipid (rhamnolipid)	<i>Pseudomonas fluorescens</i> <i>Pseudomonas aeruginosa</i> , <i>Pseudomonas sp. DMS 2847</i> <i>Pseudomonas sp. MUB</i> <i>Serratia rubidea</i>
Glycolipid and/or protein	<i>Torulopsis petrophilum</i>
Polysaccharide-fatty acid complex	<i>Candida tropicalis</i>
Corynomycolic acids	<i>Corynebacterium lepus</i>
Fatty acids, mono-and diglycerides	<i>Acinetobacter sp HOI-N</i>
Whole cells (lipopeptide)	<i>Acinetobacter calcoaceticus 2CAC</i>
Peptidolipid	<i>Candida petrophilum</i>
Neutral lipids	<i>Nocardia erythropolis</i> <i>Corynebacterium salvonicum SFC</i>
Trehalose dimycolates	<i>Rhodococcus erythropolis</i>
Polysaccharide-protein complex	<i>Corynebacterium hydrocarboclasstus</i>
Surfactin	<i>Bacillus subtilis</i> <i>Bacillus pumilus</i>
Polymixins	<i>Bacillus polymyxa</i>
Flavolipids	<i>Flavobacterium sp</i>
Lipopeptides	<i>Bacillus subtilis</i> <i>Bacillus pumilus</i> <i>Bacillus licheniformis</i> <i>Pseudomonas syringae</i> , <i>Pseudomonas fluorescens</i> <i>Arthrobacter sp.</i>
Rhamnolipids	<i>Pseudomonas aeruginosa</i>
Serrawettin	<i>Serratia marcescens</i>
Fatty acids	<i>Nocardia erythropolis</i> <i>Corynebacterium lepus</i> <i>Penicillium spiculisporum</i> <i>Talaromyces trachyspermus</i>
Sulphated polysaccharide	<i>Halomonas eurihalina</i>

استُعملت الرامنوليبيدات rhamnolipids منذ عام 1950 في عملية التفكيك الحيوي في التربة، إذ تنتجها جراثيم النوع *Pseudomonas aeruginosa* باستعمال سكر الرامنوز rhamnose مع حمض beta decahydroxy decanoic acid ويحدث الأمر ذاته في النباتات (Hargreaves & Hargreaves, 2003).

وصف الباحث Benincasa وزملاؤه (2004) ستة أنواع من الرامنوليبيدات المتشابهة rhamnolipid homologues عند *Pseudomonas.sp* تنمو على مخلفات صناعة الصابون والمخلفات الناتجة عن صناعة الزيوت النباتية، بينما كان Haba وزملاؤه (2003) قد وصفوا 11 نوعاً من الرامنوليبيدات المتشابهة عند *Pseudomonas aeruginosa*، وعزل Pedras وزملاؤه (2003) نوعين منها أيضاً عند *Pseudomonas fluorescens*، وكان Roongsawang وزملاؤه (2002) قد اكتشفوا أنواعاً أخرى منها مختلفة عند *Bacillus subtilis* مثل: Lipopeptides bacilloeyin، و Plipstatin، و Surfactin، وقبل ذلك وصف Richter, M

وزملاؤه في العام 1998 فصيلة جديدة من المواد الحيوية الببتيدية الفعالة سطحياً Peptide biosurfactants تدعى Streptofactin أمكن عزلها من *Streptomyces tendae* Tu 901/8c. تبين عند دراسة السلالة *Ps.aeruginosa* PA1 أنها تستعمل مصادر مختلفة من الكربون لإنتاج هذه المادة الحيوية الفعالة سطحياً، وتبين أن الغليسيرول أفضل المصادر الكربونية، إضافة إلى تخفيضها للتوتر السطحي بشكل جيد، كما هو موضح في الجدول 16، ولوحظ أيضاً أنها أكثر فعالية سطحياً من سلفونات الألكيل بنزن بتسع مرات (Beatty, et al., 2002; Wouter & Dick, 2002; Santa Anna, et al., 2002; Shreve, et al., 1995; Klebensberger, et al., 2007; Husain, 2008).

الجدول 16. كمية Rhamnose التي تنتجها *Ps.aeruginosa* PA1 بحسب المصدر الكربوني.

مصدر الكربون	كمية Rhamnose ملغ/ل	التوتر السطحي البداي D/cm	التوتر السطحي النهائي D/cm	النسبة المئوية المخفضة من التوتر السطحي %
n-hexacane	130	53.9	28.35	47.4
Paraffinicoil	260	54.0	51.6	4.4
Babassnoil	200	40.0	27.6	31
Glycerol	690	53.0	27.46	48.2

إن لمركبات rhamnolipids تأثيرات سلبية مثلها مثل أي مادة فعالة سطحياً، وقد درس Wagner و Lang (1993) تأثيره السام في الدافينيا *Daphnia magna*، ولم يلاحظ تأثيراً ساماً عند تركيز 200 ppm، ولكن بتركيز أقل من 13.8 ppm كان ساماً على *Daphnia similis*، ولكن المركبات الحيوية الفعالة سطحياً ذات تأثيرات أقل سلبية في البيئة من مثيلاتها الكيميائية بشكل عام (Bodour & Miller-Maie, 2002). وتنتج *Rodococcus erythropolis* مادة Trehalo lipid وتستطيع هذه الجراثيم تفكيك مادة Phenanthrene حيويًا، وأثبت الباحث Chang وزملاؤه (2004) قدرة هذه المادة على القيام بذلك بالاعتماد على قيم التوتر السطحي إذ إن معدل تركيز المسيلات الناتجة عن مجموعة Trehalo lipids التي قيست كانت 16 مغ/ل تقريباً من مجموع الكربون العضوي الكلي، وإن إضافة كمية من هذه المادة الحيوية الفعالة سطحياً (32.2 مغ/كغ من التربة) إلى النظام الحيوي للتربة يزيد أيضاً من النسبة ومن فعالية التفكك الحيوي للمركبات الكربوهيدراتية العطرية متعددة الحلقة الموجودة فيها، وطبقت هذه التجربة أيضاً على المياه، وتبين بالتجربة أنها جيدة الامتصاص للمواد العضوية.

صُممت العديد من محطات معالجة مياه الصرف لاستعمال المفاعلات الحيوية الحاوية الخلايا المثبتة، لأن التثبيت باستعمال أوساط الأحياء الدقيقة أثبت فوائده في معالجة مياه الصرف بسبب التفكيك العالي والجيد، وتتجلى الفوائد بسهولة التحضير وقلة التكاليف، وقد استعمل العديد من الباحثين هذه الطريقة بسبب فعاليتها مثل Roig وزملاؤه (1998) و White و Thomas (1991) باستعمال *Pseudomonas* C12B في الحالة المثبتة بصفتها عاملاً فعالاً حيويًا في العديد من الحالات لمعرفة حركة المركبات والشوارد باستعمال بولي أكريل أميد Polyacryl amide، وهذه الجراثيم قادرة على استقلاب مادة SDSs بصفتها مصدراً للكربون

والطاقة، وبيّنت التجربة أن 70 - 80% من مادة SDSs استقبلت من الكمية الكلية الموجودة في سائل التنظيف والشامبو (Jerabkova. et al, 1997, 1999).

بيّن Santa Anna وزملاؤه (2002) أن المركبات الحيوية الفعّالة سطحياً تستعمل المواد والعناصر المسببة للتلوث من البيئة واستعملوا لذلك *Pseudomonas aeruginosa* SB30 التي تنتج مواد حيوية فعّالة سطحياً تفيد في تفكيك النفط الذي تسرب في أثناء سحبه من بئر (Exxon Valdez) في ألاسكا، وبيّنت الدراسة أن محلولاً بتركيز 1% من المواد الحيوية الفعّالة سطحياً كان كافياً لتفكيك كمية كبيرة من النفط في الدرجة بين 10°C-80°C، وتتميز هذه المواد من الناحية التجارية بكلفتها المنخفضة مما يجعلها أكثر اقتصادية.

تعود قدرة الأحياء الدقيقة على تفكيك المواد الفعّالة سطحياً إلى وجود مجموعات إنزيمية فعّالة لديها، كما أثبت Marchesi وزملاؤه (1994) عدم تأثير SDSs في خمس سلالات من *Pseudomonas* المعزولة من الرواسب السطحية لنهر، باختبار 3 من تلك السلالات لقدرتها على تفكيك SDSs بسبب احتوائها المجموعة الإنزيمية alkylsulphatase فأضاف SDSs مع الرواسب النهرية مع سلالات الجراثيم السابقة كلاً على حدة، ولوحظ عدم تأثر تلك السلالات بوجود SDSs، وإنّما عملت على تفكيكه لامتلاكها تلك الإنزيمات، أما السلالتين الباقيتين فتمتلكان إنزيمات مشابهة للمجموعة السابقة، ويدل التفكيك الأولي لمركبات SDSs على ظهور مركب dodecan-1-OL خلال ساعتين من بدء عملية التفكيك.

اختبرت عدة أنواع من المواد الفعّالة سطحياً (الحاوية روابط إستر) بإضافة إنزيمي الليباز المعزولين عن نوعين من الفطريات [ *Mucor miehei* lipase (MML) و *Candida antarctica* lipase B (CALB) ]، لمعرفة نسبة التفكيك الحيوي التي تتعرض له تلك المواد الفعّالة سطحياً، وبلغت نسبة التفكيك 60% خلال 28 يوماً ما عدا مادة واحدة فعّالة سطحياً إذ بلغت النسبة 31% فقط بعد 28 يوماً، بدرجة حرارة 20 مئوية (Stjerndahl. et al, 2003; Stjerndahl & Holmberg, 2003).

### 3.7.3.1- استعمال التقانة الحيوية في معالجة المواد الفعّالة سطحياً

#### Using biotechnology for surfactants biodegradation

#### 1.3.7.3.1- استعمال الأحياء المعدلة وراثياً Using the modified organisms

تفيد النباتات في تسريع التفكيك الحيوي للمنظفات في البيئة، وحدث تطور ملحوظ في هذا المجال قام به عدد من الباحثين باستعمال نباتات معدلة وراثياً، يؤدي استعمال النباتات حتى الآن إلى تفكيكها إلى مركبات أقل خطراً، ونظراً إلى كون معظم ملوثات التربة ذات خواص غير أليفة للماء فإن النباتات لا تمتصها، إلى ذلك فإن معظم الطرائق المستعملة في تفكيك الملوثات العضوية، يتضمن عمليات في التربة تزيد انحلالية المركبات غير الأليفة للماء بإضافة سائل تنظيف أو عناصر أكثر فعالية مثل المواد الفعّالة سطحياً،

الموجودة في تركيب المنظف، وهذا ما قام به عدد من الباحثين في جامعة ميشيغان، لكن هذه الطريقة تؤثر في التربة لأن المركبات الكيميائية ذات تأثير سام في الجراثيم، وقد سمح تطبيق النباتات المعدلة وراثياً التي تأتي مع عوامل التنظيف الخاصة بها (مورثات حاملة لهذه الخواص) وتسبب تفكيك تلك المركبات في التربة دون حدوث أي أذى فيها، خاصة حول جذور النباتات ومخاطرها إذ تكون أقل من التفكيك العادي لأن ما ينتج لا يدخل في تركيب النبات (Hemminger, 2005).

بين الباحث Akatsuka وزملاؤه (1995) وجود ثلاث مورثات هي (lipB, lipC, lipD) عند جراثيم *Serratia marcescens* و *E.coli* ولها شبيهات عند *Erwinia chrysanthemi* هي المورثات (prtDEC, prtEEC, prtFEC) وكانت نسبة التطابق (42% - 46% - 55%) على الترتيب، وتبين أن هذه المورثات تتحكم في إنزيمات قادرة على تفكيك الليبيدات مما يسمح باستعمالها في تفكيك المنظفات.

تستطيع الجراثيم تفكيك المركبات التي تحتوي الكبريت بصفتها مصدراً كبريتياً لازماً لنموها، وفي حال غياب المصدر الكبريتي المتمثل بالكبريت اللاعضوي أو السيستئين أو الثيوسيانات، فإن أنواعاً محددة تستقلب بروتينات معينة، أما في حال غياب المصدر الكبريتي المباشر. فتأخذ هذا العنصر من الأملاح العضوية الكبريتية (C-O-SO<sub>3</sub>H) والمركبات الحاوية السلفونات (C-SO<sub>3</sub>H) والموجودة في الحمأة الناتجة عن مياه الصرف الصحي، وتعدّ *Pseudomonas putida* S-313 و *Escherichia coli* المعزولة من تلك المياه أنواعاً قادرة على استقلاب المركبات العضوية الكبريتية الأليفاتية Aliphatic والحلقية Aromatic لاحتوائها للإنزيمات الخاصة بذلك، ومن أهمها ABC-type التي تمثل السلفونات الأليفاتية Aliphatic sulphonates (SsuABC) و FMNH<sub>2</sub>- desulphonative monooxygenase SsuD و NADPH:FMN reductase SsuE (Rabus. et al, 1996; Cook. et al, 1999)، وتتمو هذه الجراثيم بوجود المركبات الكبريتية المختلفة مثل هيكسيل سلفات (HS) Heyxylsulphate و SDSs، ويحتاج استقلاب هذه المركبات إلى وجود إنزيم a-Ketoglutarate dependent dioxygenase AtsK، وتستطيع *Ps. aeruginosa* PAO أن تفكك الأملاح العضوية الكبريتية الأليفاتية والحلقية باستعمال إنزيم Arylsulphatase AtsA.

إن عملية نزع الكبريت desulphonation موجودة عند العديد من الأحياء بسبب إمتلاكها للإنزيمات القادرة على ذلك، وتتوافر هذه الإنزيمات عند الجراثيم الهوائية بشكل عام، ويحتاج العديد من الأحياء الدقيقة المختلفة (الهوائية واللاهوائية) متضمنة الجراثيم الزرقاء Cyanobacteria السلفونات مصدراً للكبريت، ولوحظ استعمال سلفونات الميثان مصدراً للكربون والطاقة عند الجراثيم الهوائية فقط، كما أثبت أن *Pseudomonas aeruginosa* تستطيع تفكيك سلفونات الميثان لاحتوائها للإنزيمات القادرة على ذلك، ولوحظ ذلك أيضاً عند *Bacillus subtilis* أن إنزيم sulphonate mono-oxygenases الموجود عند كلا النوعين، والذي يسمح بتمثيل الكبريت من السلفونات وأيضاً من سلفونات الميثان (Odom, 1993; Cook. et al, 1999; Van der Ploeg. et al, 1998, 2001; Reichenbecher & Colin Murrell, 2000; Bykowski. et al, 2002;

### 2.3.7.3.1 - استعمال الإنزيمات Using enzymes

تؤدي الإنزيمات دوراً مهماً في عملية معالجة المنظفات التي تصل إلى مياه الصرف، وتعدّ ذات التأثير في الليبيدات أهمها، ويتأثر نشاطها بعوامل عديدة، مثل: تركيز الإنزيم، تركيز الركازة ونوعيتها، درجة الحرارة، pH، الإشعاع، الضغط الجوي، الرطوبة، المثبطات والمحفّزات، ومن الممكن حالياً استعمال الإنزيمات المستوقفة (المثبتة) Immobilized enzymes في صناعة المنظفات، وفي مجالات تتعلق بالبيئة بصفتها إحدى أهم التقانات الحيوية المطبقة في تحسينها، خاصة في مجال معالجة مياه الصرف، وتعود أهمية الإنزيمات المثبتة بسبب كفاءتها العالية ومزاياها الاقتصادية واستعمالها المتكرر، إذ استعملت في العديد من المجالات الصناعية وخاصة صناعة المنظفات، وأثبتت فعالية كبيرة في المجال البيئي ومساهمتها بالتخلص من الكثير من الملوثات (Trevan, 1980; AL-Delamiy, 2002).

تبيّن في أثناء تجربة قام بها الباحثان Galabova و Vasileva-Tonkova (2003) على مياه الصرف الناتجة عن محطة إنتاج الطاقة الكهربائية في صوفيا (بلغاريا)، أنه بعد أخذ 15 عذلة جرثومية، تبين أن ست عزلات منها فقط أظهرت نمواً جيداً في وسط يحتوي مزيجاً من المواد الفعّالة سطحياً، وأظهرت العزلات جميعها قدرة على إنتاج الإنزيمات من النوع extracellular hydrolytic enzymes و surface-active glycolipids، إذ يعدّ النمط الأول من الإنزيمات الخطوة الأولى لتفكيك المركبات، أما النمط الثاني فهو مواد حيوية ذات فعالية سطحية، وتبيّن أيضاً أن هذه العزلات الجرثومية قادرة على إنتاج العديد من الأنماط الإنزيمية ذات الأهمية في عملية تفكيك المركبات المختلفة.

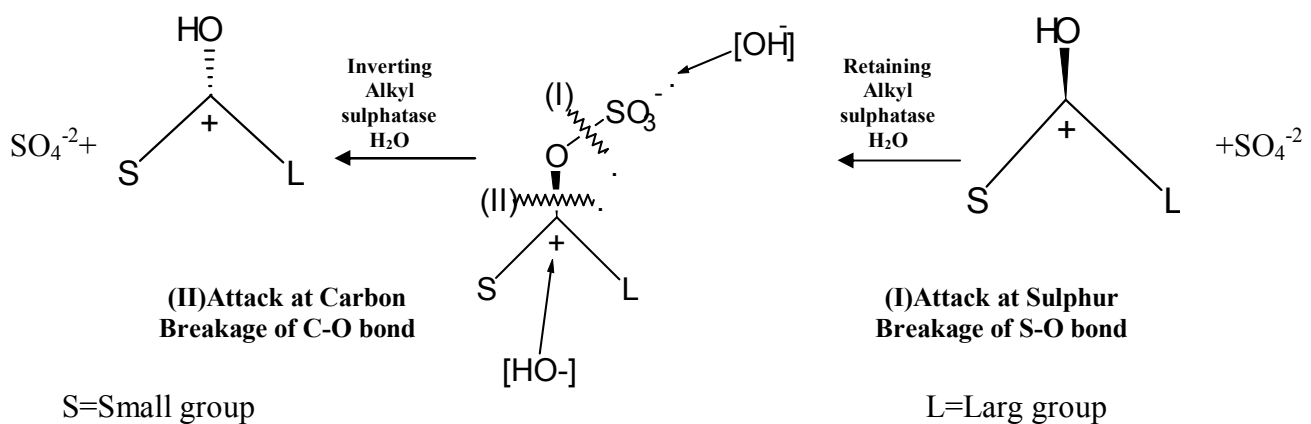
استخلصت إنزيمات Extracellular oxidases (Laccases, Peroxidases) من العديد من الأنواع الفطرية القاعدية Basidiomycetes والشعاعية Actinomycetes، وتبيّن أن هذه الإنزيمات قادرة على تفكيك الفينانثرين Phenanthrene بشكل كبير، إذ تعمل على فصل الحلقة العطرية (Harvey & Thurston, 2001; Duran & Esposito, 2000).

واستخلصت أيضاً إنزيمات Lipolytic من عدد من الأحياء الدقيقة مثل *Halomonas*، *Salinivibrio*، *Chromohalobacter*، *Salibacillus*، *Marinococcus*، *Marinobacter*، وهي من الإنزيمات الخارجية Extracellular وبالدرجة الأولى الإستراز والليباز، وتدخل في صناعات المنظفات والأغذية والمواد الطبية الصيدلانية والعديد من الصناعات الكيميائية، وأمكن التأكد من فعالية هذه الإنزيمات بتطبيقها على مادة Tween 80، إذ استخلصت من ثلاث سلالات من النوع *Marinobacter lipolyticus* sp، ووصلت نسبة تفكيك هذه المادة إلى 100% (Martin. et al, 2003; Zhang. et al, 2008).

ويوجد العديد من السلالات الجرثومية القادرة على تفكيك الإسترات الأليفاتية الكبريتية المعزولة من مياه الصرف المنزلي والحمأة والتي تعتمد على الإسترات الأليفاتية الكبريتية بصفتها مصدراً للكربون، وغالباً ما تتفكك بواسطة إنزيمات Alkylsulphatases قادرة على تفكيك أنماط مختلفة من الروابط، ويمكن لها تفكيك رابطة الكبريت أو رابطة الكربون، أو يمكن تفكيك الرابطتين في حال وجود المواد الفعّالة سطحياً الحاوية السلفونات والسلفات، كما في حال LASs و SDSs، ويوضح ذلك الشكل 8 (Gadler and Faber, 2007 (a))، إذ



تفكك رابطة الإستر وتحول الكبريت من الشكل العضوي إلى الشكل اللاعضوي، وتنتمي إلى مجموعة إنزيمات Sulphatase (EC 3.1.6.X) التي تفكك رابطة الكبريتات في الإستر، وتوجد هذه الإنزيمات عند العديد من الأنواع الجرثومية وعند الإنسان، ومن هذه الإنزيمات Steryl-sulphatase و Arylsulphatases وهو أحد الإنزيمات الأكثر أهمية والأكثر دراسة، ولكن الطريق الذي يتبعه هذا الإنزيم لتفكيك الإسترات الأليفاتية الكبريتية غير معروف حتى الآن، وإنزيم Steryl-sulphatase وإنزيم metallo-b-lactamase (MBL) و- $\alpha$  ketoglutarate-dependent oxygenase و taurine dioxygenase و 2,4-dichloro phenoxy acetate dioxygenase، وتستطيع هذه الإنزيمات تفكيك الإسترات الأليفاتية ومنها SDSs (Cook. et al, 1999; Kahnert & Kertesz, 2000; Boczar. et al. 2001; Gadler & Faber, 2007 (a); Chaturvedi & Kumar, 2010).



الشكل (8) عمل إنزيم Alkyl Sulphatase عندما يفكك الرابطة S-O والرابطة C-O

عزل الباحث Ellis وزملاؤه (2002) ثلاث سلالات AE-D، AE-B، AE-A وتنتمي جميعها إلى الجراثيم السالبة بصبغة غرام، وتختلف عن بعضها بعضاً بقدرتها على تمثيل مادتي BOS 2-butyl octyl sulphate و SDSs، وتبين أن السلالتين (AED، AE-B) قادرتان على النمو على وسط يحتوي BOS ولا تستطيعان النمو على SDSs، أما السلالة AE-A فتفكك BOS و SDSs، وبينت الدراسة التحليلية للنكليوتيدات أن AE-A تظهر 99% تشابهاً في التتابع النكليوتيدي للنوع *Pseudomonas spp*، أما AE-D فتظهر 95% تشابهاً مع أنواع من الجنس *Pseudomonas* منها *Pseudomonas putida*، لذلك سميت الأولى *Pseudomonas sp. strain AE-A* وهي تفكيك SDSs و BOS، وتنمو السلالة الثانية *Pseudomonas sp. strain AE-D* على BOS ولا تنمو بوجود SDSs، وتفكك السلالات الثلاث BOS نظراً إلى احتوائها واحداً أو أكثر من إنزيمات Alkylsulphatase، وتوجد سلالة *Pseudomonas C12B* التي تستطيع النمو على SDSs والتي تعدّ مميزة لها، والجدول 17 يوضح الاختلافات بين هذه السلالات من ناحية النمو على هاتين المادتين الفعاليتين.

الجدول 17. الاختلافات بين السلالات المدروسة بحسب الركيزة.

SDSs + 2BOS	SDSs	2BOS	<i>Pseudomonas</i> strain AE-A
+	+	+	

–	–	+	AE-B
–	–	+	AE-D
–	+	–	C12B

أجريت دراسة فعالية إنزيمات Alkylsulphatases من قبل الباحثين Pogorevc و Faber (2003) في السلالة *Rhodococcus ruber* DSM44541 إذ تنتج هذه الجراثيم اثنين من إنزيمات secondary Alkylsulphatase وواحد على الأقل من primary Alkylsulphatase، وتستهلك SDSs مصدراً للكربون والطاقة، وكانت أفضل فعالية لهذه الإنزيمات في درجة حرارة 30 مئوية و pH 7.5، لكن أكثر الدراسات تطبيقاً فيما يخص هذه الإنزيمات أجريت عند السلالة *Pseudomonas sp.* strain C12B التي تنتج خمس إنزيمات مختلفة منها ثلاثة من النمط sec-Alkylsulphatase واثنين من النمط prim-Alkylsulphatase التي تفكك مركبات sec- & prim-alkylsulphates، والسلالة *Comamonas terrigena* NCIMB 8193 تنتج اثنين فقط من النمط sec-Alkylsulphatase، وغالباً ما تلاحظ إنزيمات Alkylsulphatase عند الأنواع الجرثومية السالبة بصبغة غرام (Pogorevc. et al, 2002).

تشمل Sulphatases الإنزيمات من EC 3.1.6.1 إلى EC 3.1.6.18 ويوجد أكثر من 100 جنس من الأحياء القادرة على استقلاب المركبات الكبريتية نتيجة احتوائها واحداً أو أكثر من تلك الإنزيمات، كما هو موضح في الجدول 18 (AL-Delamiy, 2002)، وأهم تلك الإنزيمات هي:

الجدول 18. أهم الإنزيمات التابعة لمجموعة Sulphatases

الإنزيم	رقم الإنزيم EC
Alkyl- aryl sulphatase (phenol sulphate)	3.1.6.1
Glycosulphatase (D-glucose 6-sulphate)	3.1.6.3
Chondroitinsulphatase	3.1.6.4
sulphatase sulphate choline-sulphatase(choline sulphate)	3.1.6.6
Cellulose polysulphatase	3.1.6.7
Disulphoglucosamine-6-sulphatase	3.1.6.11
iV-acetylgalactosamine-4-sulphatase	3.1.6.12
sulphatase units of chondroitin sulphate and dermatan sulphate iduronate-2-sulphatase	3.1.6.13
N-acetylglucosamine-6-sulphatase	3.1.6.14
glucuronate-2-sulphatase	3.1.6.18

### 3.3.7.3.1- العوامل الوراثية المتحكم في الإصلاح الحيوي للمواد الفعالة سطحياً

#### The genetic factors which control in surfactants remediation

بيّن الباحث Hall (2007) وجود المورثة YOL164W/BDS1 عند الخميرة *Saccharomyces cerevisiae* وهي المسؤولة عن تركيب إنزيمات Alkyl-, aryl-sulphatase، وبيّن أيضاً أن هذه المورثة تماثل مورثات أخرى موجودة عند أنواع الأحياء الدقيقة *Saccharomyces bayanus* MMRL2010، *Candida albicans* CBS138، *Kluyveromyces marxianus* NRRL، *Enterococcus faecalis* ATCC 6055، *Candida glabrata* CBS138.

*Leuconostoc hordniae* ATCC 29071 ، *Lactococcus lactis* ، *K. lactis* CBS6003 ، Y-8281  
، *Saccharomyces castellii* Y-12630 ، *Saccharomyces bayanus* CBS424 ، *mesenteroides* LA81  
*Saccharomyces mikatae* ، *Saccharomyces kluyverii* CBS3082 ، *Saccharomyces cerevisiae* S288C  
، *Pseudomonas sp* ، *Ashbya gossypii* ATCC 10895 ، *Saccharomyces paradoxus* CBS2980 ، IFO1815  
إذ يؤدي وجود تلك المورثات إلى القدرة على تفكيك المواد العضوية الحاوية الكبريتات، وخاصة مركبات  
Alkyl-, aryl-sulphate مثل مادة SDSs، ويوضح الشكل 9 مواقع التشابه بين المورثات المسؤولة عن تركيب  
إنزيمات Alkyl-, aryl-sulphatase عند أربعة أنواع من الأحياء الدقيقة من خلال تسلسل الحموض الأمينية  
(Hall. et al, 2005).

	10 20 30 40 50 60
<i>S.cerevisiae</i> BDS1	-----MTGAFKRNKSSQSFQKECQPTLKANLEVAKELPFSRRRDEEDNTQGY
<i>R.palustris</i> RPA4341	MARIIPSMILATTAALSLLAAPLAAQPNDAEPATRSANEVNVNKSLEPLADRADEDAQRGL
<i>P.putida</i> PP2045	---MRFSLSMLALALLAPLPSLGATAAKDATAATLASNQWLQRLPFEDRVDMETARRGL
<i>N.crassa</i> ars-1	-----MRFSVVTLLAAGVPLSTAFVDSGQKSLG-----FEHKPKGTTTEGKKSPNI
	70 80 90 100 110 120
<i>S.cerevisiae</i> BDS1	IGSLSDDEQIIIGPDGG-VVMCMKSYGFLPETPA-NTVNPSLWRQAQLNAIEGLKITDNV
<i>R.palustris</i> RPA4341	IASLIPDGVVPGPAGAPAAWDLKFDLKGDPQS-ATVNPSLWRQAQLNLASGLFQVAERV
<i>P.putida</i> PP2045	VERFNG--PVATADGKTVNNLAQYAFLEPAQSP-ATVNPSLWRQAQLNNIAGLEKVTETGI
<i>N.crassa</i> ars-1	VFILTDQDLHLQSLDYLPLLEKQFLADEGTTYKRHYCTTAICCPARVSLWTGKAHNTNV
	130 140 150 160 170 180
<i>S.cerevisiae</i> BDS1	YQVRGLDISNMTIEGNTSLIIITLFTTETAQESLKLYYRHRPKQPVRTVIYTHSHSDH
<i>R.palustris</i> RPA4341	YQVRGLDIANVTIVEGDTGLIIITDTTLTVQAKAALDLYYCHRPKPKVVALIYTHSHIDH
<i>P.putida</i> PP2045	YQVRGLDLANMTIVEGDKGLIIVLDPILLAVETAKAGLELYFKHRPRKPVTTVIYTHPHVDH
<i>N.crassa</i> ars-1	TDVSPPYGGYKPKFISQG----FNEAYLPVWLQKAGYDTYYTGKLFNAHTVDNMDSPYIAG
	190 200 210 220 230 240
<i>S.cerevisiae</i> BDS1	YGGVKGIVK-----EADVKSGEVOITAPVGFMEVVAEN-----ILAGNAMRRSQQYQF
<i>R.palustris</i> RPA4341	EGCARGLID-----EADAASGRVVKVIAPTGFLEHAVAEN-----VIAGNAMSRRAQCFQF
<i>P.putida</i> PP2045	EGCVRGVIN-----EADVKAGRVQVIAPEGFFBHAIGEN-----VLGAPAMSRRAQYMY
<i>N.crassa</i> ars-1	WNGSDFLLDPYTYSYLNAITFORNRDPPISEYEGQYSVDVLAEKAYGFLDEAKNVHNRPFF
	250 260 270 280 290 300
<i>S.cerevisiae</i> BDS1	GMLSPSVKGEVDCCGCK-AASHCTVLIAPTIIIEEPVEERTIDGVDFVFLAFGSEAP
<i>R.palustris</i> RPA4341	GTQLPVGERGOVDAGCK-ALAKGTVSLIAPNDLIKQPYETRSIDGVEIEFFHVPSEAP
<i>P.putida</i> PP2045	GAPLRGPRGOVDAGCKGVPANATVSLIAPTLEISQPLQMTLSGVEVEFOLAPGTEAP
<i>N.crassa</i> ars-1	LGIABIAPHSNVPECFPS--SSSSSSSSDSATLHRRPTNEHDDTEKSVSFTPPIPAARHA
	310 320 330 340 350 360
<i>S.cerevisiae</i> BDS1	SEMLIYMPQQRVLNMAEDVTHHMENLYALRGVEVRDGNQWAKYIDAARVAFGSKTDVLIA
<i>R.palustris</i> RPA4341	SEMLSYYPQFKVLNMAEDTTHTEHNLYTLRGAAIRDGRWSKYIGEAIERYGDKTDVVIA
<i>P.putida</i> PP2045	AEMNIYFPALRALMAENATHVQHNVLTLRGALVRDPKVMWAHYLDQSLVRYGEQAEVVFA
<i>N.crassa</i> ars-1	HLFPDVIVPRTPHFPNPPSRASGVSWIARLPHQSAENVAFNDHFYRQRLRALESVDLIVAG
	370 380 390 400 410 420
<i>S.cerevisiae</i> BDS1	QHEWPTTGQMRINELDKKORDMYKFIHDOQLRLINOGYTSRDIAETLR-MPSSIEQEWST
<i>R.palustris</i> RPA4341	QHNWVPWGRDRVVGKFKKORDMYKFIHDOQSVRLINEGLTPTETIERLT-LPPSTSEFAA
<i>P.putida</i> PP2045	QHEWPTWGGAIRDYIADORDMYAFIDSOQLRLINOGOTPMETIAGTLASLPPRIASKWYS
<i>N.crassa</i> ars-1	VVARLERHGLLENTYVFYTDNGYHIGQHRLOPGKECGFEEDINVPLIVRGVKKGEVA
	430 440 450 460 470 480
<i>S.cerevisiae</i> BDS1	RGYYGTLSHNVKAVYQK-YLGYNDANPANLNPLPVAYAKKAVYVMGGADAVLARAYKDF
<i>R.palustris</i> RPA4341	RGYYGSVSHNAKAVYQK-YLGYNDANPADLNPLPRAEQAKKEIDYVMGGAADVLAARDYD
<i>P.putida</i> PP2045	RDYYGSLSHNVRAVYQK-YLGYNDGNPANLDPLPPQAAGKRYVAMGGADQVLTQARQAF
<i>N.crassa</i> ars-1	EVVTSHYDLAPTVEKLALGALGDKESKEEEEEEEYGLDGEAIPVTAEDLAQAKAKGRHEH
	490 500 510 520 530 540
<i>S.cerevisiae</i> BDS1	QKGEERWVASVNVNOLVFADFNHHCARELCADALEQLGYQNEASTWRNAYLVGAMELRQGV
<i>R.palustris</i> RPA4341	KAGCYRWVATVASKLVFADFPANTEARALCADALEQLGYQNEASTWRNAYLLGACELRNL
<i>P.putida</i> PP2045	AEQCYRWVAQLANHLVFAEPDNTARELCADALEQLGYQSENAWRNAYLSGACELRSGV
<i>N.crassa</i> ars-1	VTVEY-WGFVAVSEGRVBEKDATRYTWNNTYKAVKILGERYN--MYFSVWCSGEHLYD-L
	550 560 570 580 590 600
<i>S.cerevisiae</i> BDS1	PK-RRS-TGKRNNIAVLNNEMFDELAVRNATKAEKIIIVSNWCFINSNERFVITLNC
<i>R.palustris</i> RPA4341	IK-TDSVTSNPDLKGVSIDLAPDELAVRLNAKAEGKHIVVNWTFDCLKETVITMNLNS
<i>P.putida</i> PP2045	AAGAGSGGNADDMVRALTPSLFFDYLGVVNVANNAADSNLTINWRFSDDLDEYALTILRNG
<i>N.crassa</i> ars-1	QTDYQLNNIILSSSLVTGKTPATLLGVVQKVVAR----LDSLLFVLKSCGKTCIRPW
	610 620 630 640 650 660
<i>S.cerevisiae</i> BDS1	ALTYIQGWQTD-ADATITLKRITFEALLANEITMVDFLRSKEVEIEGNRLRIEELLKIFD
<i>R.palustris</i> RPA4341	ALTHISCKLSDNADVSVTLNRAFDIAISLKORGFLGAVLSGDLWVSNPLKLRFLFGLFE
<i>P.putida</i> PP2045	VLTHRDLARHAKADVEVIMRKQILDSIALKQTGFLKEATAGAEIEKGERVKFLQFMGGLE
<i>N.crassa</i> ars-1	EALHPAGNVQNLHDLSSR----FDSFYKEKEQKRVFEDRCERGIYVEAGPQFETDGLVY
	670
<i>S.cerevisiae</i> BDS1	DFDQSEFPVVEPMGGST-
<i>R.palustris</i> RPA4341	DFSPNFEVIEFVKAKVE
<i>P.putida</i> PP2045	EADSRFNIVT-----
<i>N.crassa</i> ars-1	RDGHRWDQWV-----

الشكل 9. مواقع التشابه بين المورثات المسؤولة عن تركيب إنزيمات Alkyl-, aryl-sulphatase عند أربعة أنواع من الأحياء الدقيقة من خلال تسلسل الحموض الأمينية *Saccharomyces cerevisiae* BDS1، *Rhodopseudomonas palustris* RPA4341، *Pseudomonas putida* PP2045، *Neurospora crassa* ars-1.

وضّح الباحث Sekowska وزملاؤه (2000) أيضاً قدرة النوع الجرثومي *E.coli* على تفكيك العديد من تلك المركبات، نظراً لاحتوائه مجموعة كبيرة من الإنزيمات، إذ بيّن المورثات الموجودة عند *E.coli* والإنزيمات التي تمثل تلك المورثات مع ما يقابلها من مورثات وإنزيمات عند النوع الجرثومي *Bacillus subtilis*، إذ يوجد عند *E.coli* مجموعة من المورثات المسؤولة عن إنتاج الإنزيمات المؤثرة في مركبات الكبريت، كما هو موضح في الجدول 19.

الجدول 19. المورثات المسؤولة عن إنتاج الإنزيمات عند *E.coli*

المورثة	الإنزيم
<i>aslA</i> <i>aslB</i>	Arylsulphonatase
<i>ydeN</i> <i>ydeM</i>	Hydrolase (sulphonatase)
<i>tauA</i> <i>tauB</i> <i>tauC</i> <i>tauD</i>	taurine dioxygenase

إن التتابع النكليوتيدي للمورثة *aslA* المسؤولة عن تركيب الإنزيم Arylsulphonatase عند *E.coli* موضح في الشكل 10 (Kitagawa. *et al*, 2005).

```

ttagtcagattttaatctgcgcgcgtgggtggatattttttcaggatctccatatacgcgtg
catttcgggtctgtagcggtagacccatcggaatatggcgacgcgcgatggagtcgctttc
ctgcggatcgggtgtagaggttaaacaccgacgatcccgccgtttgcattactgtgcgggt
gaatccaccctgatatccgctctgggtataagcgtaaggttgctgaatcaggacgtgata
cttgaactcatccatacgcacagcagcgagttaccggtgaggaagtagtgctcggcctt
acggttagactgaccatttgttcccaggaagaaggatgtctggtccacaccatcgataaa
gggtggttttcggcactaaattcgccacttttcgctccaggatgccttgccagatccagcgc
ggtaggggaagagatctgccagatcgacaataaccgtcagatttacgcggttggtatcatccc
tttccagtaaacgaaagtgcgtacgcgaacgcgccttcccagggtcgaaccttttcgcacc
acggaacggggtgcgtccgtgcggcggtagcttccggttccggtccggttatcggaggtaaa
gacgatcagcgtgttatcaagctgaccgtttttctccagtgtttttatacagattagcgaa
cacatcggttcatctccaccatgcagtcgccatacagaggtgcgtgccggagagctacccgc
atatttcgcatttggttagttatcgaagtggcagccacgagtgccgtagtagaggaagaa
tggttttatcgctcttcgccatcttgcgaggaacttaacgccatagtcctatccagcgttg
atccagatcttccatataatttcggcgtaatgtcggcaatggcctgttggttcgccgcgcgcg
caccgcatgaacgtcatctttgctgaacggtaattgcttgatgtattcagaacgggtccgg
actcagggccacttccggattgacgtgaacgtcgcgccattccggtgtacatatcagacac
cgagttaaagccacggaaatcatcaaagccaacggttctgcggctgcgactctttgttttc
ccccatatgccattttccgatggcctgagtgacgtagccctgatcggtgcagcaactgcgg
cagcgtgggttaacccttgacgcccgcgggttgcccgtagattggcggcatcagaatgcc
gtgggtggatggagattgtccggtgagaatgggtggcgcggttggggaagagcttggttg
agaatacgccgaagttaaaatcagcccctggctggcaacggcgctcgatatctggtgtagg
gttaccacccgccacgcgcgccacgttaaaacgcagctccatccagcccacatcgctccag
caagaaaacaaccacattcggtttcttaccgggtttttttctcaagttctgccagcttctg
ctgggtttctttatcctgcgcgggatgctgcattactggcatcatattgtcggcaatagt
ggtcgccgggtttaaccagatactgggttggtgatcgatatccggcaaagcctttgcgtgc
gggtggcagttgacgggggtatctgctgcgctggccatgagaggaagagcggcgggcgacagc
aacaacaagacgttttggtgaaaacgaaaattcca

```

الشكل 10. تتابع النكليوتيدي للمورثة *aslA* عند *E.coli*.

أما البادئات الخاصة بالمورثة *aslA* فهي:

Primer 1:GCCGAATTTTCGTTTTACCCAA

Primer 2:CCGTCAGATTTAATCTGCGCGCG

إضافة إلى ذلك يوضح الشكل 11 تتابع الحموض الأمينية الخاصة بهذه المورثة (Daniels. *et al*, 1992).

```
MEFSFSPKRL VVAVAAALPL MASAADTPST ATARKGFAGY DHPNQYLVKP ATTIADNMMP
VMQHPAQDKE TQQKLALEK KTGKKPNVVV FLLDDVGWMD VGFNGGGVAV GNPTPDIDAV
ASQGLILTSA YSQPSSSPTR ATILTGQYSI HHGILMPPMY GQPGGLQGLT TLPQLLHDQG
YVTQAIGKWH MGENKESQPQ NVGFDDFRGF NSVSDMYTEW RDVHVNPEVA LSPDRSEYIK
QLPFSKDDVH AVRGGEQQAI ADITPKYMED LDQRWMDYGV KFLDKMAKSD KPFFLYYGTR
GCHFDNYPNA KYAGSSPART SYGDCMVEMN DVFANLYKTL EKNGQLDNTL IVFTSDNGPE
AEVPPHGRTP FRGAKGSTWE GGV RVPTFVY WKGMIQPRKS DGIVDLADLF PTALDLAGHP
GAKVANLVPK TTFIDGVDQT SFFLGTNGQS NRKAEHYFLN GKLAAVRMDE FKYHVLIIQQP
YAYTQSGYQG GFTGTVMQTA GSSVFNLTYD PQESDSSIGV RHIPMGVPLQ TEMHAYMEIL
KKYPPRAQIK S D
```

الشكل 11. تتابع الحموض الأمينية للمورثة *aslA* عند *E.coli*

أما تتابع الحموض الأمينية للمورثة *aslB* فهو موضح بالشكل 12 (Benjdia. *et al*, 2007).

```
MLQQVPTRAF HVMKPSGSD CNLNCDYCFY LEKQSLYREK PVTHMDDDTL EAYVRHYIAA
SEPQNEVAFT WQGGEPTLLG LAFYRRAVAL QAKYGAGRKI SNSFQTNGVL LDDEWCAFLA
EHHFLVGLSL DGPPEIHNQY RVTKGGRPTH KLVMRALTLL QKHVDYDNL VCVNRTSAQQ
PLQVYDFLCD AGVEFIQFIP VVERLADETT ARDGLKLHAP GDIQGELEW SVRPEEFGEF
LVAIFDHWIK RDVGKIFVMN IEWAFANFVG APGAVCHHQP TCGRSVIVEH NGDVYACDHY
VYPQYRLGNM HQQTIAEMID SPQQQAFGED KFKQLPAQCR SCNVLKACWG GCPKHRFMLD
ASGKPGNLNYL CAGYQRYFRH LPPYLKAMAD LLAHGRPASD IMHAHLLVVS K
```

الشكل 12. تتابع الحموض الأمينية للمورثة *aslB* عند *E.coli*

إن تتابع النكليوتيدي لمورثة *ydeN* المسؤولة عن إنتاج إنزيم Sulphonatase عند *E.coli* موضح في

الشكل 13 (Aiba. *et al*, 1996; Blattner. *et al*, 1997; Hayashi. *et al*, 2006)، وتم تحديد البادئات الخاصة بها

بما يلي:

Primer 1:GCCAAGTCTGCATTAAAGAAAAG

Primer 2:CCTTTCGCTTCGCTTAGTGCTTT

ttatttcgcttcgcttagtgctttcttgatattgttaaacttctcctgatttacctcgct  
aagcgggtggctggctgctgctgataaactctcttaccacgccttgcatctctttaacgac  
ctgcggattggcggcggaaggttatcttttggctgtagatccgtcagtttgtagagacc  
taactgattgttttctactgtatagacaagcgaataatcgttatttctcacctgataaga  
gaattggcttaagtcctcagtggtgggttatgctgggtaatcgctctgactgatggcgaac  
aaatttggtgaattatcccagaatggaatatttctcctcgctcaaaccagtgagaataaga  
ggttatccaggtcagatttttatgtggctcgcttgtttcttatcttgcaaccagggcag  
caaggaaacgccatccagcttaaggtcttttgggaatgctgatatcggtgcatcaagagc  
tgtcgggtagaaatccattgcggaatcagcttgctcataattaccgggttgaaagttttcc  
tttccaccacataaacattgggggtgtgagtaccgccaggataggtctgactcttatagcc  
tttttgcgccccgttcagcggcagaggaccatcgataaccgcaccattatcggaagtaaa  
gagaataattgtattgtcactgtccgtttttcttcagttgttcgagaatgcgttttac  
accctgatcaacagaataaacggaagcgtagtagttatctgctgtttgactaccgggtatt  
aaattgcttctgatattgatccgggtgcaggattatcatttggcagggtgcggagcattata  
agccagggtaaagcataaaaaggctgggtcaagtgttttggcacgatcaacaacgccaatg  
ctcatcggttaactgatcgtgatataaccttttgcggggacacggtcacgatttttgaa  
cagtgaaggggagttgtaatatgccgttcttcgagcgtggaatccataaagtaataaaa  
gccacgggttttgaggttgccattcttccgcagaaaatgtggtgaagttgtcatgatagtc  
acgcgtttgtttatcttccggtaccggcacattactgatttttgacaagtgccatttacc  
tactgctgcagtgtaataacatgattctggaataaattcaggcaagaaagtttctgttag  
cggaataccatcctgagcatcggtattggaatagacaccaaaagcgggaggagctcgacc  
ggtcattattgcggcgcgggaggggcccggaaacaccgtgtgccacatagccgttagtaaa  
acgtacgccttcatccattaatgaaaggagcgtcggcgttgatttttgtgcagcttcaat  
ggctttatctatccctattttgtaggtatcgacaacttcacgatttttccattgtttttgg  
gtcaaaagatcccttatcaaaagggaagttgtccataaccaagatcatccatgggtcagta  
gataatatttggcttttcttgggtactgtattctgtcggcgtaaagtctgagaaagcaac  
gtttgttttgggttgcctttcagctttacatcatctgccgcatgagcagcaaatgcagccat  
accagatgccagtatcaaagatatcgaggtactttacgacacttttctttaatgcagactt  
cat

### الشكل 13. التتابع النكليوتيدي للمورثة *ydeN* عند *E. coli*.

أما المورثة *tauC* وهي مسؤولة عن إنتاج إنزيم *taurine dioxygenase* عند *E. coli*، فالتتابع النكليوتيدي لها موضح في الشكل 14 (Riley. et al, 2006).

atgagtgctcattaatgaaaaactgcattcgcggcggtgaaatggcgctggccgctc  
tcgcgtcaggtgaccttaagcattggcacggttagcggttttactcacctgatgggtggacg  
gtggcgacgctgcaactgattagcccgctatttttgcgcggcgcaacaggtactggaa  
aaactactcaccattgccggaccgcaaggctttatggacgccacgctgtggcagcatctg  
gcagccagctctgacgcgcattatgctggcgctatttgcagcgggtgttgttcgggtattccg  
gtcgggatcgcatgggacttagccctacgggtacgcggcattctggatccgataatcgag  
ctttatcgtccgggtgccgcgctggcttatttgcgcgtgatgggtgatctgggtttgggtatt  
ggtgaaacctcgaagatcttactgatctatttagcgatttttgcaccgggtggcgatgtcg  
gcgctggcggggggtgaaaagcgtgcagcaggttcgcattcgtgccgcccagtcgctgggt  
gccagccgtgcgcaggtgctgtgggtttgtcattttgcccgggtgcgctgccggaaatcctc  
accggattacgtattgggtctgggggtgggtctacgctgggtggcgggagctgatt  
gccgcgacgcgcgggttaggatttatgggttcagtcagcgggtgaatttctcgcaactgac  
gtgggtgctggcggggatcgcggtgattgcgattatcgcttttcttttagaaactgggtctg  
cgcgcgttacagcgccgcctgacgccttgcatggagaagtacaatga

### الشكل 14. التتابع النكليوتيدي للمورثة *tauC* عند *E. coli*.

أما تتابع الحموض الأمينية لهذه المورثة فهو موضح في الشكل 15 (Blattner. et al, 1997; Daley. et al, ) (2005).

MSVLINEKLH SRRLKWRWPL SRQVTLSIGT LAVLLTVWWT VATLQLISPL FLPPPQQVLE  
KLLTIAGPQG FMDATLWQHL AASLTRIMLA LFAAVLFGIP VGIAMGLSPT VRGILDPIIE  
LYRPVPLAY LPLMVIWFGI GETSKILLIY LAIFAPVAMS ALAGVKSQQ VRIRAAQSLG  
ASRAQVLWVFV ILPGALPEIL TGLRIGLGVG WSTLVAAELI AATRGLGFMV QSAGEFLATD  
VVLGIAVIA IIAFLLELGL RALQRRLTPW HGEVQ

#### الشكل 15. تتابع الحموض الأمينية للمورثة *tauC* عند *E. coli*

والمورثة *tauD* وهي أيضاً مسؤولة عن إنتاج إنزيم taurine dioxygenase عند *E. coli*، والتتابع النكليوتيدي لها موضح في الشكل 16 (Baba. et al, 2006).

atgagtgaacgtctgagcattaccccgctggggccgtatatcggcgcacaaatttcgggt  
gccgacctgacgcgcccgttaagcgataatcagtttgaacagctttaccatgcggtgctg  
cgccatcaggtggtgtttctacgcgatcaagctattacgccgcagcagcaacgcgcgctg  
gcccgagcttttggcgaattgcataattcacctgtttacccgcagtcgccaaggggttgac  
gagatcatcgctgctggatacccataacgataatccgccagataacgacaactggcataacc  
gatgtgacattttattgaaacgccacccgcaggggcgattctggcagctaaagagttacct  
tcgaccggcggtgatacgtctggaccagcggtattgcggcctatgaggcgctctctgtt  
cccttccgccagctgctgagtggtgctgctgcgagcatgatttccgtaaactcgttcccg  
gaatacaataaccgcaaaaccgaggaggaacatcaacgctggcgcgaggcggtcgcgaaa  
aaccgcgcttgctacatccggtggtgcaacgcacatccggtgagcggtaaacaggcgctg  
tttgatgaatgaaggctttactacgcgaattgttgatgtgagcgagaaagagagcgaagcc  
ttgttaagtttttgtttgcccatatcaccaaaccggagtttcaggtgcgctggcgctgg  
caaccaaatgatattgcatgttggtgataaccgcgtgaccagcactatgccaatgccgat  
tacctgccacagcgacggataatgcatcgggcgacgacatccttggggataaacggttttat  
cgggcggggtaa

#### الشكل 16. التتابع النكليوتيدي للمورثة *tauD* عند *E. coli*

واستعملت البادئات التالية في عملية النسخ:

Primer 1:GCCAGTGAACGTCTGAGCATTAC

Primer 2:CCCCCGCCCGATAAAACGGTTT

أما تتابع الحموض الأمينية لهذه المورثة فهو مبين في الشكل 17.

MSERLSITPL GPYIGAQISG ADLTRPLSDN QFEQLYHAVL RHQVVFLRDQ AITPQQQRAL  
AQRFGELHIH PVYPHAEGVD EIIVLDTHND NPPDNDNWHT DVTFIETPPA GAILAAKELP  
STGGDTLWTS GIAAYEALSV PFRQLLSGLR AEHDFRKSFP EYKYRKTEEE HQRWREAVAK  
NPPLHPVVR THPVSGKQAL FVNEGFTTRI VDVSEKESEA LLSFLFAHIT KPEFQVRWRW  
QPNDAIWDN RVTQHYANAD YLPQRRIMHR ATILGDKPFY RAG

#### الشكل 17. تتابع الحموض الأمينية للمورثة *tauD* عند *E. coli*

وتبين أيضاً أن هذه المورثة *TauD* موجودة عند *Ps. aeruginosa* وهي مسؤولة عن الإنزيم Taurine

catabolism dioxygenase، والتتابع النكليوتيدي لهذه المورثة موضح في الشكل 18.

ATGAGCCAATCCGCCACCGCCCGGCAACCCGAACCCGAGGTCGCCGAGGCATTCGCGATCACCCCCCTGGAGGC  
GCCGCTGGGCGCCGAAGTCCGTGGCCTCGACGCGCGCCGCGCTGGCGCCGGAGCAGGTCTTGGCGCTCAAGC  
AGGCGCTGCGCGAGCACCATCCTGGTGTTCCGCCAGCAGCACCTCGACGATGAGCAGTACTTGCCTTCGCC  
ACCCTGTTTCGGCTCGGTGTTCCAGCCGCCGCGGACATCCCGGTGCTGTCTCCTCGGGTGGCGACGGCAAGGTGCC  
GGACATCGTCAAGGTGGCCAACACCGGCGACGGCGAACTGGGCAACTTCGCCCTGCCGGCACACATCGACCACC  
AATGGACGCCGGTGCCGTCTCCGGCTCGTTCTCTACGCACTGGAGGTGCCGTCCAGTGGCGGCGAGACGCGC  
TTCACCAACCTGGCGCGCGCCTACGAGAGCCTCGACGAGGCGACCCGGCGCGAGATCGATGGCCTGCGCCTGAT  
CAACTACAACCCCTTCATCCGCCTGCGCGAGGGCGGCTACGGCGGCGGTTTCGCCACCTACCGCACGCCGGACA  
TCGAACCGATCCAGGGCAGCGAGCACCCGCTGGTACGCACCCACCCGAAAGCGGCGGCGGTACTGTTCTC



AGCGCCACACCGAGGTGGAGATTCCCGGCTACGACCCCGCGCGGGGCCAGGCGCTGATCGGTGCGCTGCGCGA  
ACATCTGGCGCGCCCGAACTGAGCTACAGCCACGCCTGGTTCGGTGGGCGACATCGTCTGGTGGGACAACCAGG  
CCGTGCTGCATGCGCGCAACGCCTTCCCGGCCAGCGAGCGGCGGCGCCTGAAGCGCATCAGCCTGGCGGGCAGC  
CGTCCGTTCTGA

#### الشكل 18. التتابع النكليوتيدي للمورثة *tauD* عند *Ps. aeruginosa*

أما تتابع الحموض الأمينية فهو موضح في الشكل 19.

MSQSATARQPEPEVAEAFRITPLEAPLGAEVRLDARRPLAPEQVLALKQALREHHILVFRQQHLDDEQYLRF  
ATLFGSVFQPPADIPVLSSGGDGKVPDIVKVANTGDGELGNFALPAHIDHQWTPVPSSGSFLYALEVPSSGGE  
TRFTNLARAYESLDEATRREIDGLRLINYNPFIRLREGGYGGGFATYRTPDIEPIQGSEHPLVRTHPESGRRV  
LFLSAHTEVEIPGYDPARGQALIGRLREHLARPELSYSHAWSVGDIVVWDNQAVLHARNAFPASERRRLKRIS  
LAGSRPF

#### الشكل 19. تتابع الحموض الأمينية للمورثة *tauD* عند *Ps. aeruginosa*

إن المورثة *TauD* موجودة أيضاً عند النوع الجرثومي *Rhodococcus opacus* ولكنها لا تمثل taurine بصفته مصدراً للكبريت وإنما بصفته مصدراً للكربون أو للنيتروجين (Denger. et al, 2004).

تبين أن المورثة المسؤولة عن تركيب إنزيم taurine dioxygenase الموجود عند *E.coli* والقادر على تفكيك الإسترات الأليفاتية الكبريتية مثل SDSs وهي تشبه كثيراً مورثة أخرى موجودة عند *Ps.aeruginosa* PAO1 وهي *AtsK.PAO* والمورثة *AtsK.S-313* الموجودة عند *Ps. Putida s-313*، والبادئات الخاصة بمورثة *AtsK* هي: 5'- CCCTGCATATGAGCAACGCTG-3' و 5'-GAATTGGCAAGCTTGCTCCC-3'، كما هو ملاحظ في الشكل 20 (Kahrent & Kertesz, 2000).

<i>AtsK.S-313</i>	:	RHKVIFFRGCTHLDDQSQEGFAKLLG--EPVAHPTVPVVDGTRYLLQLD3
<i>AtsK.PAO</i>	:	RHKVIFFRDQSHLDDQTQEAFAHLLG--EPVAHPTVPSREGTRFLLELQ3
<i>TauD</i>	:	RHQVVFRLDCA-ITPQQQALAAQRF--ELHIHPVYPHAEGVDEIIVLOT
<i>AtsK.S-313</i>	:	AQGQ-----RANSNHTDVTFVEAYPKASILRSVVAPAS
<i>AtsK.PAO</i>	:	AEGR-----RANSNHTDVTFVEAYPKASILRSVVAPES
<i>TauD</i>	:	HNDNPP-----DNDNHTDVTFIETPPAGAILAAKELEST
<i>AtsK.S-313</i>	:	GGDTVWANTAAAYQDPEPLRELADKIWAVHSNEYDYASLKPDIIDPAKLE
<i>AtsK.PAO</i>	:	GGDTVWANTASAYADI PAELRELADRIWAVHSNEYDYAGVKPSASVEQLE
<i>TauD</i>	:	GGDTLWTSGLAAYEALSVPPFRQLLSGIRAEHDFRKSFPPEYKYRKTEEEHQ

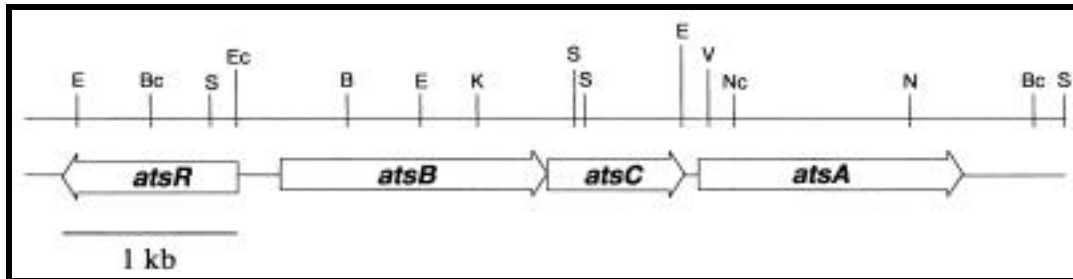
المورثة *AtsK.PAO*، المورثة *AtsK.S-313*، المورثة *TauD*

#### الشكل 20. تتابع الحموض الأمينية الخاص بالمورثة *atsK* عند الأنواع الجرثومية الثلاثة.

يبين الشكل 20 وجود 301 حمض أميني خاص بهذه المورثة عند *Ps. Putida S313*، و 300 حمض أميني عند *Ps. aeruginosa*، و 283 حمض أميني عند *E.coli*، وإن الأنواع الجرثومية التي لا يمكن لهذه المورثة أن تعبر فيها عن نفسها تكون غير قادرة على تفكيك SDSs بصفته مصدراً للكبريت، ولكن يمكن لها تفكيك

المركبات الحاوية على الكبريت بتأثيرها في روابط الكربون فقط؛ أي تستعملها مصدراً كربونياً وليس كبريتياً للطاقة (Kahnert & Kertesz, 2000).

تبيّن أن المورثات *atsA*، *atsB*، *atsC*، *atsR* المسؤولة عن إنتاج إنزيمات الألكيل سولفاتاز عند *Ps. aeruginosa*، كما هو موضح في الشكل 21 (Gadler and Faber, 2007 (b)).



الشكل 21. قطع مورثات إنزيمات الألكيل سولفاتاز عند *Ps. aeruginosa*

يوجد لدى *Ps. aeruginosa* إنزيم يفسك SDSs (من Alkylsulphatases)، يسمى SDSsA1 (Hagelueken. et al, 2006)، والمورثة التي تمثلها هي SDSsA gene، والبادئات الخاصة بها هي:

5'-GACGGCCATATGAGCCGTCTGCTTGCACTCCTG-3' و 5'-GCGCAGATCTGCCTTCGGACTTCGCCGCCGGCGT-3'.

ويوجد إنزيم CCT<sub>Penta</sub> mutant surfactant enzyme عند العديد من الأحياء والبادئات الخاصة به عند

*P. aeruginosa* (PA103) هي 5'-ggatccatggatgcacagagttcagc-3' و 5'-tctagattagtcctcttcacctcgctg-3'. (Zhou. et al, 2006)

إن إنزيم Arylsulphatase EC 3.1.6.1 ويسمى أيضاً Aryl-sulphate sulphohydrolase موجود لدى الكثير من الأحياء خاصة المفككة للإسترات الأليفاتية الكبريتية إذ عزل من النوع *Ps. aeruginosa* والمورثة المسؤولة عنه هي *atsA*، وتحليل الحموض الأمينية لهذا الإنزيم مبينة في الشكل 22.

```
MSKRPNFLVI VADDLGFSDI GAFGGEIATP NLDALAIAGL RLTDFTAST CSPTRSMMLT
GTDHIIAGIG TMAEALTPEL EGKPGYEGHL NERVVALPEL LREAGYQTLM AGKWHLGLKP
EQTPHARGFE RSFSLLPGAA NHYGFEPYD ESTPRILKGT PALYVEDERY LDTLPEGFYS
SDAFGDKLLQ YLKERDQSRP FFAYLPFSAP HWPLQAPREI VEKYRGRYDA GPEALRQERL
ARLKEGLVE ADVEAHPVLA LTREWEALED EERAKSARAM EVYAAMVERM DWNIGRVVDY
LRRQGELENT FVLFSMDNGA EGALLEAFPK FGPDLGFLD RHYDNSLENI GRANSYVWYG
PRWAQAATAP SRLYKAFTTQ GGIRVPALVR YPRLSRQGA I SHAFATVMDV TPTLLDLAGV
RHPGKRWRGR EIAEPRGRSW LGWLSGETEA AHDENTVTGW ELFGMRIRQ GDWKAVYLP
PVGPAWQLY DLARDPGEIH DLADSQPGKL AELIEHWKRY VSETGVVEGA SPFLVR
```

الشكل 22. تتابع الحموض الأمينية لإنزيم Aryl-sulphate sulphohydrolase عند *Ps. aeruginosa*

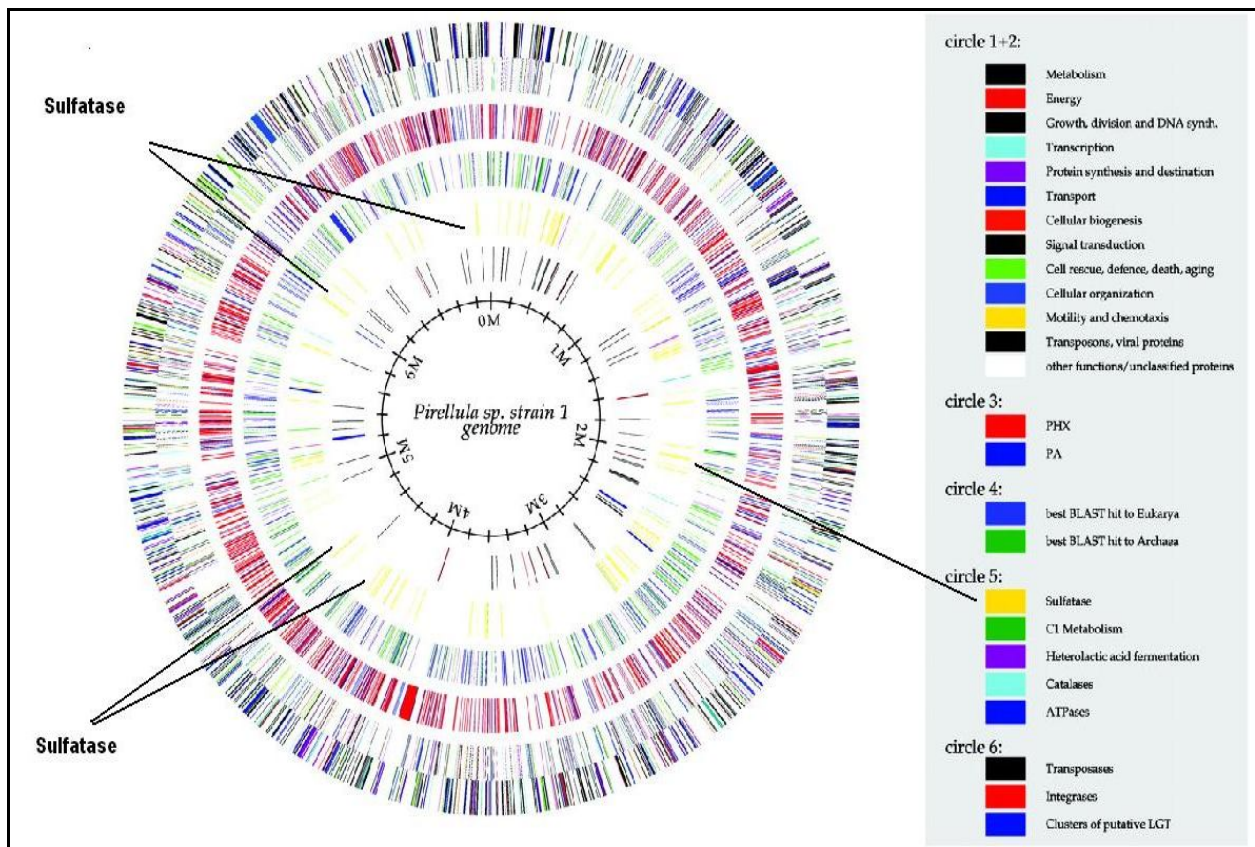
يوجد إنزيم آخر يؤدي دوراً مهماً في تفكيك المركبات العضوية الحاوية الكبريت مثل SDSs هو Flavin Mononucleotide-Dependent Methanesulphonate Sulphonatase (FMNH2)، والمورثة المسؤولة عنه هي *msuEDC* هي *msuD*، وقد تبين وجود تشابه كبير بين تركيب هذه المورثة ومورثات أخرى هي *SsuD* لدى *B. subtilis* (Bs) و *SsuD* لدى *E. coli* (Ec) و *SsuD* لدى *Streptomyces pristinaespiralis* و *SnaA* لدى *Ps. putida* (Pp) و *Ps. aeruginosa* (Pa).

*Rhodococcus* لدى *DszA* والمورثة *Chelatobacter heintzii* و *NtaA* لدى *Ps. aeruginosa* و *MsuD* لدى *erythropolis* DBT (Kertesz. et al, 1999)، كما هو موضح في الشكل 23.

Bs SsuD	.....MN EILWFIPTH DARYLGSESDGRTAD
Ec SsuD	.....MS NMFWFLPTH DGHYLGTEEGSRPVD
Pp SsuD	.....MS NIFWFLPTH DGKYLGTSDGARAVD
Pa SsuD	.....MS EIFWFLPTH DGHYLGTTQGARAVD
Pa MsuD	.....NVFWFLPTH DGHFLGTSQGARPV
SnaA	TAPRRRITLAGIIDGPGGHV..AAWRHPATKADAQLDFEFHRDN RTLERGLFDVAFIAD
DszA.	MTQQRQMHLAGFFSAGNVTHAGAWRHTDASDNF SG.K YQHI RTLERGKFDLLFLPD
NtaA	MGANKQMNLGFLFQISGVHY..GGWRYPASQPHRATDIQ YAEIVRTAERKGLDFCFLAD
Bs SsuD	HLYFKQVAQAADRLCYT LIP G SCE P LTA A AGETKDKF VA RPLMQP SLA
Ec SsuD	HGY QQIAQAADRLCYT LIP G SCE A L AAS IPVTO LKF VA RPSVTSP TVA
Pp SsuD	HGY QQIAQAADRLGFG LIP G SCE S L AAS IPVTE LKF VA RPGIISPTVA
Pa SsuD	HGY QQIGQAADRLGFG LIP G SCE S L AAS IPVTO LKF VA RPGIISPTVA
Pa MsuD	LSY KQVAQAADSLCYH LIP G SCE S V A A APTE LRF VA RPGIVSP TV
SnaA	IVA WGTRLDSL CRT.....RTEHF PLT LAAYAAVTE GLCATATTTYNPAHI
DszA.	GLA EDSYGDNLDTGVG..TGGQGAVAL PAS VAT AAVTE LGLGAT SATYYPYHV
NtaA	SIAAYEGSADQQDRSKD AAEPRLL P T LAA AMVTE GL TTATTTYNPYTM
Bs SsuD	ARMTSLD ISDGRLLIN VAG DPYELAGDG...F SHD RYEATDEFLT W LQG
Ec SsuD	ARQAATLDRLSNGRAL NVITGSDPOELAGDG...FLDHS RYBASAEFTO W LQR
Pp SsuD	ARQAATLDRLSNGRAL NVITGSDPOELAGDG...HLNHQ RYBASVEFTR W LQ
Pa SsuD	ARQAATLDRLSNGRAL NVITGSDPOELAGDG...HLSHA RYBASVEFTR W LQ
Pa MsuD	ARMAATLDRLSGGRLLIN VITG DPDENRGDG...HLGHA RYEVTDDEF LR W LQ
SnaA	AARFASLDHLSGGRAG NVITS APWESANFGPEHLEHGKRYEAREEFID V WDS
DszA.	ARVFATLDQLSGGRVS NVITSLNDAEARNFG NQHLHDARY RADEFLEAV WNSW
NtaA	ARLFASLDHLSNGRAG NVITS NLAEAHNFGRDGHTEHG RYAREEFIN VF WDSI
Bs SsuD	T.....VSYEGKH KVENSNLLFPPO PHPP YF GSSQA I
Ec SsuD	T.....VDENGKH HVRGAKL LFPALQOPYPP YF GSSDV Q
Pp SsuD	N.....VDYDGKH QVKGAKLLYPPVQOPRPP YF GSSEA Q
Pa SsuD	T.....VDYAGKH QVKGAKLLYPPLOQPRPP YF GSSEA Q
Pa MsuD	A.....VDFHGKH HVENAKALYPPLOQPRPP YF GSSEA H
SnaA	GRP.....VDHRGTHFEAPGP LGIARPPGREGV IQ GSSPV R
DszA.	DEDALVLDKAAGVFADPAKVHYVDHHEGW NVRG P LQVRSPOGEV LQ GLSPR RR
NtaA	EDGAYLRDKLAGRYGLSEKIHF HIGEHFKVRGP LNVP RPPQGHV VO GSSHP K
Bs SsuD	AAAKHT YLTW EPPEQ KEKIERV KOAAKEGR...S FGIRLHVLTARETEQEAWEA
Ec SsuD	LAAEQV YLTW EPP EL KEKIEQV A AAAHGR...K FGIRLHVIVRETND EAWQA
Pp SsuD	LAAEQV YLTW EPPAA AEKIAQV E AAAQGR...E FGIRLHVIVRETNEEAWQA
Pa SsuD	LAAEQV YLTW EPPAA AEKIAQV E AARQGR...Q FGIRLHVIVRETSEEAWQA
Pa MsuD	LAGEQV YLTW EPLPA AAKIADV Q AARHCR...T FGIRLHVIVRETAE EAWRA
SnaA	FAARHAE IFTIRHNRLSDAQDFYGD A VARHGROPEK LVWPTLPIVAATDTEAKQR
DszA.	FAEKWAEAVFSL PNLEV QATYQGE AEVDAACRDPDQT IFTA MP GE QAVAQER
NtaA	LAARTAE VFTAQOTLADGKAFYSDV G MAKYGRSSEN VLPG VVYVAETES EAKAK
Bs SsuD	A RLISH DD TIAKAQAA.....LSR DSSGQQ MAVLHQGDR...TKLE SPNLWAG
Ec SsuD	A RLISH DD TIAKAQAA.....FARTDSVGQQ MAALHNGKR...DNLE SPNLWAG
Pp SsuD	A RLISH DD TIARAQAS.....LAR DSVGQQ MAALHGGNR...DNLE SPNLWAG
Pa SsuD	A RLIAH DD TIARAQAS.....LAR DSVGQQ MAALHGGSR...DNLE SPNLWAG
Pa MsuD	A RLIEH SD TIAAAQSS.....FAR DSEGQR MAALHGGRR...DRLE QPNIWAG
SnaA	LQELDLTHDHVALRTLQDHLGDVDSAPIDGPVPDIPYTNQSO...STTERLIGLARR
DszA.	L YLNSL HP VGLSTLSSHTG INTAA PLDTP I DILRDLD RNVPTOLH FAAATHS
NtaA	Y TSNL PP FGLFMLS DLLGEID LKQ DIDG PLPEDLPEAKGSQ..SRRE IINLARR
Bs SsuD	IGLVR GAGTAL GD.....PQT AD AE QALGIESFIFSG PHLEEFAYY.FA
Ec SsuD	VGLVR GAGTAL GD.....GPT AA NE AALGIDSFVLSG PHLEEFAYR.VG
Pp SsuD	VGLVR GAGTAL GD.....GPT AA KE ADLGIDTFIFSG PHLEESYR.VA
Pa SsuD	VGLVR GAGTAL GD.....GPT AA RE AELGIDTFIFSG PHLEESYR.VA
Pa MsuD	VGLVR GAGTAL GD.....PRO AER GE AELGIDSFIFSG PHLEEFAYR.FA
SnaA	ENLSIREL LRLMGDIVV.....GTPEQ ADE ES FTGRGADGFNID PYLP GSADDFV
DszA.	EELTL EMGRRYGT VGFVPQWAGTGEO ADE IRHFEGGAADGFI ISPAFLPGSYDEFV
NtaA	ENLTIRQLYQR SCASGHR SIW.GTPKQ ADQFEQ VYEEAADGFNILPPELPE SMNDFV
Bs SsuD	L FPL PFENDRTRKLQ...NKRGEA G TYFVKEKNA.
Ec SsuD	L FPLLDVAIPEIPQPG...P.LNPQGEA A DFIPRKVAQS
Pp SsuD	L FPHLDVQRPEQPKTG...GYVSPFGEM A DILPKSVQS
Pa SsuD	L FPHLDVQRPAQPEGR...GYVSPFGEM A DILPRQAAQS
Pa MsuD	L FPLLPPEPYASLAGRGLTNLTGPFGEA A DVLPARAGA.
SnaA	H VPELQRRGLYRSQYEGTTLRANL GIDAPRKAGAAA...
DszA.	Q VPELQDRGYFRTEYQGN TLRDHLGLR P LQ.GQPS...
NtaA	NF VPELQRRGIFRTEYEGSTLRDHLGLARPKNSVAKPS...

الشكل 23. مقاطع التشابه في تتابع الحموض الأمينية لمجموعة من المورثات المنتجة لإنزيم FMNH2.

درس الباحث Glockner وزملاؤه (2003) التتابع المورثي الكامل للسلالة البحرية *Pirellula* sp. strain 1 وتبين أنها تحتوي 110 مورثات بما فيها مورثات البروتينات، وتتشابه بمقدار 75% (82 مورثة) مع الأحياء الدنيا و25% (28 مورثة) مع الأحياء الراقية، وتتشابه إنزيمات Sulphatases مع *Ps.aeruginosa* بإنزيم Alkyl Sulphatase ومع *Pseudomonas* sp بإنزيم Aryl Sulphatase ومع *Prevotella* sp بإنزيم mucindesulphating sulphatase ومع الثدييات mammalian بإنزيمي mammalian iduronate-2-sulphatase وarylsulphatase، والشكل 24 يوضح التتابع المورثي الكامل لهذه السلالة، وأمكن تحديد لون المورثات بحسب عملها وذلك بحسب كل دائرة، ويلاحظ في الدائرة الخامسة مورثات Sulphatases.



الشكل 24. التتابع المورثي الكامل للكائن البحري *Pirellula* sp. strain 1.

#### 4.7.3.1- الأهمية الاقتصادية لمعالجة مياه الصرف من أجل تنمية مستدامة

##### The economic importance of wastewater treatment for sustainable development

تمثل الموارد المائية أهمية كبيرة على مستوى العالم، خاصة في حال ندرة هذه الموارد، وهذا ما يدعو لتوجيه الاهتمام نحو تحليل ودراسة جميع القضايا، والجوانب التي تساهم في تنمية وصيانة واستدامة تلك الموارد، مع تحقيق أفضل مستوى ممكن لترشيد استعمالها ورفع كفاءة هذا الاستعمال، ويعدّ وقوع المنطقة العربية في أكثر مناطق العالم جفافاً، من أكبر التحديات التي تعانيها بسبب تدني مصادرها المائية، وتعدّ الأقل نصيباً من المياه وذلك على مستوى العالم، إلى ذلك قامت كثير من المنظمات العربية بإجراء دراسات مختلفة

في مجال ترشيد استعمال المياه، والبحث عن مصادر أخرى للماء مثل معالجة مياه الصرف المختلفة (الصحي، الصناعي، الزراعي) أو تحلية مياه البحر وغيرها (ESCWA, 2007).

بيّنت الدراسات وجود إمكانيات كثيرة وكبيرة لتطوير وزيادة كفاءة استعمال المياه، بإدخال أساليب حديثة ومتطورة في مجال معالجتها واستعمالها، ويعدّ المستهلك الأكبر للمياه هو المجال الزراعي، ويكون بنسبة 89%، وهي نسبة كبيرة مقارنة بباقي دول العالم التي يبلغ فيها المتوسط العام لاستعمال الماء في الزراعة بنحو 70%، ويلاحظ انخفاض هذه النسبة بشكل كبير في الدول الصناعية لصالح استعمالات أخرى خاصة في المجال الصناعي (ESCWA, 2005(b)).

يوجد العديد من الأسباب الاقتصادية التي تؤثر في الموارد المائية في الدول العربية بشكل عام، وفي سورية بشكل خاص منها (ESCWA, 2005(b)):

- انخفاض تكلفة الماء مما أدى إلى الإسراف في استعماله بشكل كبير في الزراعة.
  - ابتعاد رأس المال الخاص عن الاستثمار في المجالات الزراعية التي تطبق فيها الأساليب الحديثة باستهلاك المياه.
  - غياب الثقافة الشعبية المتعلقة بالعمل على استدامة المصادر المائية للأجيال القادمة.
  - ارتفاع تكلفة البحوث المتعلقة بالعمل على استدامة المصادر المائية.
  - انخفاض أو دعم سعر الماء مما أدى إلى استهلاك وهدر كمية أكبر من الحاجة.
  - ضعف أو غياب صيانة البنى التحتية المتعلقة بنقل المياه، مما يؤدي إلى فقدان كميات كبيرة منها.
- وبيّنت الإحصاءات أن 5 ملايين شخصاً يموتون سنوياً في العالم بسبب مشكلات التلوث المائي، كما أن 20% من سكان العالم يستهلك أقل من 20 لتراً من الماء يومياً خلال 50 سنة الأخيرة، وخلال السنوات القليلة القادمة سيزداد الطلب العالمي على المياه باستمرار بسبب النمو السكاني الهائل، يضاف إلى ذلك أن 2 مليار إنسان يفتقرون للأساليب السليمة والصحية في تصريف المياه المستعملة، ولاسيما مياه الصرف (ESCWA, 2005(a)).

تعدّ مياه الصرف المعالجة حلاً جيداً لمشكلة المياه العالمية، إذ يعاني العديد من مناطق العالم من مشكلة نقص المياه، إضافة إلى ذلك هناك العديد من مناطق العالم التي تتعرض بمن فيها من الأحياء للخطر بسبب عدم وجود توازن بين إنتاج المياه من مصادرها (الجوفية والسطحية) واستهلاكها، وهذه المشكلة ستزداد مع الوقت، لأنه لا توجد أيّة حلول نهائية حتى الآن (Chapra, 1997).

إن الوصول إلى تحقيق تنمية مستدامة لا يمكن أن يحدث إلا عبر العلاقات المتناغمة بين البيئة الطبيعية والإنسان بنشاطاته المختلفة الاجتماعية والصناعية والزراعية، إلى ذلك لابد من تحليل المعطيات التي تسمح بإيجاد المشكلة وحلها بالطرائق المثلى، التي تسمح بالاستفادة ما أمكن من البيئة دون المساس بحق الأجيال القادمة منها، إلى ذلك لابد من العمل للتنسيق بين الموارد جميعها إذ يتم الحفاظ على البيئة (هيئة التخطيط والتعاون الدولي، 2006).

إن تطور الوضع البيئي يمكن أن ينعكس إيجابياً على جميع القطاعات مما يسمح أيضاً بالاستثمار في البيئة، مما يعطي فرصة لمساهمتها في دعم الاقتصاد الوطني، إضافة إلى ذلك فإن معالجة أسباب المشكلات البيئية من المصدر يمكن أن يقلص، إلى حد كبير، التكاليف الكبيرة لمعالجة نتائجها المتفاقمة (ESCWA, 2007).

إن تأمين مياه الشرب النظيفة والحفاظ على الموارد المائية، يعدّ أحد أهم الأولويات ضمن السياسات المتبعة في سورية، إلا أن الموارد المائية في نضوب وتدهور مستمرين، وتؤكد الدراسات أن ٢١% من السكان لا يمتلكون موارد مستدامة لمياه الشرب، ويعود ذلك للعجز في الأحواض المائية مثل بردى والأعوج والخابور واليرموك، إضافة إلى الاستمرار الجائر وغير المنظم للمياه الجوفية الذي أدى إلى جفاف مياه الينابيع، وتلوث المياه السطحية والجوفية بمياه الصرف الصحي والصناعي والزراعي والنفايات، وكذلك لاستهلاك الزراعة نحو 85% من المياه، والتي تستعمل في الغالب طرائق تقليدية لمعالجة التلوث الموضعي دون معالجة أسبابه الجوهرية (هيئة التخطيط والتعاون الدولي، 2006).

أما مياه الصرف فهي من أهم أسباب التلوث والأمراض خاصة في الأماكن التي لا توجد فيها شبكات صرف، وإنما يعتاد السكان فيها على الحفر الفنية غير النظامية التي تلوث الآبار غالباً، أو الصرف المباشر في الوديان إذ تلوث المياه السطحية للسود الترابية والأنهار، أما في المنطقة الساحلية البحرية فإن مياه الصرف تصل مباشرة إلى البحر مسببة تلوثاً مركزاً لمياه الشاطئ، وأثراً سلبياً في الصحة والسياحة في المنطقة، وبشكل عام فإن أكثر من 23% من السكان يفكرون إلى وجود نظم صرف نظامية (هيئة التخطيط والتعاون الدولي، 2006).

تهدف معالجة مياه الصرف الصحي إلى تحقيق هدفين أساسيين: أولهما حماية البيئة ومواردها المائية من التلوث الناتج عن صرف المياه الملوثة في المجاري المائية والبحار وبالتالي حماية الصحة العامة، والثاني توفير مياه معالجة آمنة للمساهمة في سد العجز المائي، وتختلف نوعية المياه المعالجة باختلاف الغرض من استعمالها بعد المعالجة إذ تختلف المعايير من استعمال إلى آخر، تتطلب إعادة الاستعمال لجميع الأغراض للمياه المعالجة درجة عالية من التنقية والمعالجة بغرض حماية الصحة العامة والبيئة (ESCWA, 2003).

توجد حاجة متزايدة في المناطق الجافة وشبه الجافة إلى إعادة استعمال مياه الصرف، ليس فقط من أجل تقليل تصريفها إلى المصادر المائية السطحية، وإنما أيضاً لتحسين نوعية المصادر المائية فيها، ففي العديد من البلدان العربية يعاد استعمال مياه الصرف الصحي في الأغراض الزراعية دون أية معالجة، وبالتالي، يسبب ذلك مخاطر صحية مختلفة على الإنسان والأحياء، ويتوقع أن يزداد إجمالي المياه المستعملة في الأغراض المنزلية من 16.7 مليار م<sup>3</sup> إلى 27.6 مليار م<sup>3</sup> حتى العام 2025، وتقدر هذه الزيادة بنحو 11 مليار م<sup>3</sup> على مدار العشرين سنة القادمة التي تقدر بنحو 7 في المائة مما يستهلكه قطاع الزراعة في المنطقة العربية والذي يبلغ 146 مليار م<sup>3</sup>، يضاف إلى ذلك أن المنطقة تنتج نحو 5 مليارات م<sup>3</sup> من مياه الصرف الصحي، والتي إن عولجت بصورة جيدة، يمكنها دعم قطاع الموارد المائية من إذ سد الاحتياجات والحفاظ على نوعية



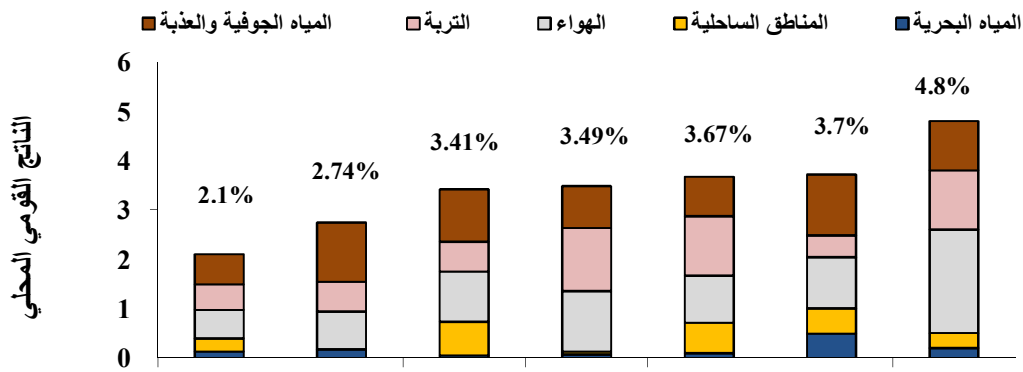
المياه، وهذا يستلزم بذل جهود أكبر في مجال إدارة نوعية المياه، خاصة تلك التي يعاد استعمالها، لما لها من تأثيرات كبيرة في الصحة العامة والبيئة وفي الاقتصاد القومي والسياحي، وخاصة أن مياه الصرف تزداد كمياتها بشكل كبير مع زيادة السكان، وهذا يعني إنه من الضروري توفير الاعتمادات اللازمة لحماية الموارد المائية ومعالجتها ولوضع أسس مراقبة تدهور نوعيتها وإدارتها وتقييم استعمالاتها بغرض تحسين نوعيتها وزيادة الاستفادة منها (ESCWA, 2005(c)).

أدركت الدول العربية مدى أهمية إعادة استعمال مياه الصرف الصحي المعالجة بصفقتها مورداً أساسياً للمياه بعد معالجتها، وأيضاً لمساهمتها في الميزانية المائية. وخاصة في الدول التي تعاني من ندرة المياه، وتستعمل مياه الصرف الصحي المعالجة إما مباشرة لري الأراضي الزراعية أو لري المساحات الخضراء والحدائق، ورغم ندرة المياه في المنطقة والإمكانات الكبيرة لمياه الصرف الصحي المعالجة في المساهمة في سدّ العجز المائي، إلا أنه على العموم، تعدّ كميات المياه المعالجة في المنطقة العربية محدودة جداً حتى اليوم، علماً أن التقديرات تؤكد تفاقم هذه المشكلة بحلول سنة 2015، يضاف إلى ذلك أن غياب آليات المتابعة والمراقبة لنوعية المياه المعالجة يشكل خطراً على الصحة العامة والبيئة في دول المنطقة (ESCWA, 2007).

إن الاستعمال الأكثر انتشاراً للمياه المعالجة هو المجال الزراعي، ويعدّ الآن الوسيلة الأكثر انتشاراً في الوقت الحاضر، ويعاد استعمال مياه الصرف الصحي (معالجة أو غير معالجة) حالياً لتحسين الأراضي المجاورة للمدن والتي تعاني من نقص في المياه (Chapra, 1997).

تعدّ تأمين الاحتياجات المائية ذات النوعية والكمية اللازمة للاستعمالات المختلفة، من أكبر تحديات القرن الحالي بسبب زيادة الطلب على الموارد المائية نتيجة ازدياد السكان الكبير، والتطور الذي يرافقه بكافة المجالات، إضافة إلى محدودية هذه الموارد، وهذا ما يجعل تأمين هذه الموارد مشكلة حقيقية عند أصحاب القرار، إلى ذلك، لا بدّ من إيلاء الأهمية لاستثمار الموارد المائية المتجددة بكل الطرائق المتوافرة التقليدية منها، وتطبيق التقانة الحديثة، سواء استثمار السدود أو الأنهار أو الينابيع، مع تنظيم استثمار المياه الجوفية والعمل على الاستفادة من الموارد المائية غير التقليدية، أم استثمار مياه الصرف المعالجة أم تحلية المياه أم جمع مياه الأمطار في المناطق ذات الهطول المطرية القليلة، مع العمل على صون الموارد المائية من التلوث والعناية بها بهدف التنمية البيئية المستدامة (ESCWA, 2007).

يوضح الشكل 25 ما يتم إنفاقه من الناتج المحلي الإجمالي في بعض الدول العربية، لإيقاف التدهور البيئي وتحديد اتجاه دالة الاستدامة البيئية لتقدير اهتمام تلك الدول بأهمية الحفاظ على المصادر الطبيعية المختلفة، يلاحظ أن ما يُنفق حالياً لإيقاف التدهور البيئي لايزال يشكل نسبة قليلة جداً من الناتج المحلي الإجمالي لتلك الدول، نظراً إلى أهمية الموارد الطبيعية في تحديد النسبة المئوية للناتج المحلي الإجمالي للدول بشكل عام (Arafah, 2005).



الشكل 25. تكلفة التدهور البيئي في بعض الدول العربية.

لمصادر المياه غير التقليدية دور مهم في إدارة موارد المياه بشكل مستدام، بديلاً للمياه العذبة، وخاصة في مجال الريّ وتربية الأحياء المائية، وأهمها مياه الصرف المتنوعة المعالجة التي تستعمل في الري، وتؤدي دوراً مهماً في إدارة موارد المياه، وتستعمل حالياً المياه المعالجة الصادرة عن محطة معالجة عدرا في ريف دمشق في ري 18 ألف هكتار في غوطة دمشق، إضافة إلى ري 100 هكتار في السلمية من محطة معالجة السلمية، ويلاحظ أيضاً أنه مع الزيادات السريعة في الأنشطة الصناعية، وتطورها الكبير، فإنه يترافق مع زيادة استهلاك المياه، وبالتالي تزداد كميات المياه الملوثة الخارجة من المصانع إلى البيئة وتلوثها. ويجري حالياً في سورية إلزام المصانع بإنشاء محطات معالجة مرافقة (ESCWA, 2007).

إن المعالجة المتكاملة لمياه الصرف عملية ضرورية لا بد من تحقيقها، بنظم معالجة ملائمة وتقنيات من ناحية الجودة والمردود الاقتصادي، ومن بين هذه الطرائق تُستعمل المعالجة بنظام برك الأكسدة الطبيعية Oxidation ponds natural waste stabilization، وهي من الطرائق، الفعّالة والمنخفضة الكلفة، في إزالة الملوثات الضارة بمختلف أنواعها و خاصة الجراثيم الممرضة، وتعدّ مناسبة لإنتاج مياه معالجة بجودة عالية تصلح لإعادة استعمالها في الأغراض الزراعية وغيرها، لأن استعمال نظم بحيرات الأكسدة المصممة بشكل جيد وصحيح يعمل على تخفيض الملوثات العضوية بنسبة تزيد على 90%، وتستعمل هذه النظم لمعالجة مياه الصرف الناتج عن التجمعات السكانية الصغيرة والكبيرة، ويجري تصميم العديد منها لمعالجة مياه الصرف الناتج عن النشاطات السياحية.

تأتي أهمية استعمال نظام برك الأكسدة لأنها الأقل تكلفة مقارنة بالطرائق التقليدية، وتعدّ من أبسط الطرائق المستعملة في معالجة مياه الصرف المنزلي والصناعي، ويجري تنفيذها بطرائق بسيطة لا تتعدّى في بعض الأحيان أعمال الحفر والتمهيد والتسوية إذا كانت التربة مناسبة، وتكون قليلة العمق ومساحتها كبيرة، وتجرى المعالجة في هذه البرك بطريقة طبيعية تعتمد على نشاط مشترك متكامل تقوم به الطحالب والجراثيم التي توجد بشكل طبيعي في مياه الصرف التي تصل إلى البرك، إذ تستعمل الجراثيم الأكسجين المنحل في المياه لأكسدة المواد العضوية، وتنتج مواد عضوية مثبتة وثنائي أكسيد الكربون. و للطحالب دور في استعمال ثنائي أكسيد الكربون مع بعض الأملاح في عملية التركيب الضوئي بمساعدة أشعة الشمس و



تنتج الأكسجين الضروري للجراثيم، أي إن الطحالب والجراثيم تعمل بشكل متكامل. تتمتع نظم المعالجة ببرك الأكسدة بالميزات الآتية:

1- تتطلب مهارة أقل للعاملين فيها.

2- بسيطة الإنشاء وقليلة الكلفة.

3- لا تستعمل آلات كثيرة.

٤- كلفة التشغيل والصيانة منخفضة.

تعمل محطة معالجة مياه الصرف بمدينة السلمية على معالجة هذه المياه التي تصل إليها عبر خطوط الصرف، وهي تعمل بطريقة برك الأكسدة الطبيعية Natural Oxidation Ponds، وتبلغ غزارة المياه الواصلة إليها وسطياً بين 6000 - 8000 م<sup>3</sup>/يوم، ويشمل عمل المحطة مرحلتين: معالجة أولية إذ توجد حواجز عددها 2 وأحواض ترسيب أولية عددها 4، يلي ذلك برك الأكسدة الطبيعية الاختيارية Facultative ponds التي توجد بشكل خطوط متوازية كل منها مكون من ثلاث برك متتالية (المجموع 9 برك)، ويبلغ طول كل حوض 180 م وعرضه 60 م وارتفاع الماء فيه يصل إلى 1.5 م تقريباً.

وتعدّ مياه الصرف الزراعي أهم المصادر المائية لإعادة الاستعمال وتشكل نحو 50% من الكمية المستعملة في الري وتستعمل حالياً في ري 17400 هكتار في الغاب، ونظراً إلى كون الفواقد المائية كبيرة جداً وتصل إلى نحو 91 مليار متر مكعب سنوياً والناجمة عن أساليب الري المستعملة في الوقت الحاضر في الدول العربية، ومن هنا تأتي أهمية الصرف الزراعي لكونه يقوم بدورين مهمين هما (ESCWA, 2007).

- يعمل على تخليص التربة من كميات المياه الزائدة التي تتوضع حول جذور النباتات المروية.

- الاستفادة من مياه الصرف الزراعي بإعادة استعمالها من جديد.

يبلغ متوسط الواردات المائية المتجددة في سورية سنوياً (سطحية و جوفية) نحو (10) مليار متر مكعب، إضافة إلى حصة سورية من واردات نهري دجلة والفرات، وتتغير هذه الكمية وفقاً لنسبة الهطول المطرية من عام لآخر، ولكن التزايد السكاني يشكل ضغطاً كبيراً على هذه الموارد، وبالتالي تتناقص حصة الفرد منها وهذا يترافق مع ازدياد المنافسة على المياه بين الاستعمالات المختلفة في الشرب والصناعة والزراعة وغيرها، إضافة إلى أن تلوث المياه ومواردها بالمخلفات المختلفة ستزيد من قلتها وندرتها، ولا بدّ من العمل على إدارة هذه الموارد بالشكل الأمثل، فمثلاً لا بدّ من استعمال المياه اللازمة للزراعة بتوفير مياه الصرف المعالجة، ولا بدّ من تشكيل شبكة معلومات مائية حديثة تسمح برصد وكشف مصادر التلوث لحماية المصادر المائية منها، وتأمين التقانات الحديثة التي تساعد في تقييم وتنمية الموارد المائية اللازمة لتحقيق تنمية بيئية مستدامة مع حماية الأوساط المائية من التلوث (ESCWA, 2005(b)).

# الفصل الثاني

## مواد البحث وطرائقه

### Materials and methods

## 1.2- مواقع الاعتيان في مدينة اللاذقية

جُمعت العينات من موقعي الدراسة في أفاميا والرمل الجنوبي بشكل دوري مرتين، بفارق زمني خمسة عشر يوماً، بدءاً من شهر حزيران 2007 إلى شهر أيار 2008 لإجراء التحاليل الفيزيائية والكيميائية (شهرياً) وكل شهرين لدراسة المواد الفعالة سطحياً، ويجري الاعتيان صباحاً يدوياً بواسطة عبوات زجاجية معقمة محكمة الإغلاق، ثم حفظت العينات جيداً لإجراء التحاليل الكيميائية والميكروبيولوجية اللازمة عليها في المختبر في كليتي العلوم والصيدلة بعد إجراء القياسات الحقلية المباشرة مثل درجة حرارة المياه ودرجة الحموضة (Rodier, 1978. Rump & Krist, 1992).

### 1.1.2- مصب الصرف في منطقة أفاميا.

تصب في منطقة أفاميا مياه من تجمعات سكانية وزراعية وسياحية، وبسبب التغيرات السكانية فيها يُلاحظ اختلاف في القيم الفيزيوكيميائية والحيوية للمياه صيفاً وشتاءً، أما مكان الاعتيان فهو المصب الرئيس لشبكة الصرف قبل تصريفها في مياه البحر.

### 2.1.2- مصب الصرف في منطقة الرمل الجنوبي.

تصب في منطقة الرمل الجنوبي مياه من تجمعات ذات كثافة سكانية مرتفعة طيلة العام من مركز المدينة وبعض النشاطات السياحية، ولا يوجد تنظيم للصرف الصحي فيها لكن يوجد قنوات صرف مكشوفة تصرف بشكل مباشر في مياه البحر، أما مكان الاعتيان فهو من المصب الرئيس للشبكة.

## 2.2- المواد والكواشف.

### 1.2.2- المواد الكيميائية:

حمض كلور الماء HCl (Merck)، ثنائي كلور المنغنيز  $MgCl_2$  (Himedia)، حمض الكبريت  $H_2SO_4$  (BDH)، المعقد الثلاثي Ethylene Diamine Tetra Acetic acid EDTA (Merck)، برمنغنات البوتاسيوم  $KMnO_4$  (LGC)، كلور البوتاسيوم KCl (Himedia)، كلور الصوديوم NaCl (Himedia)، كلوروفورم (Merck)، ثيوسلفات الصوديوم Sodium thiosulphate (BDH)، ماءات الصوديوم NaOH (EKA chemicals)، إيتانول (Merck)، غليسيرول (وطني)، كربونات الصوديوم الحامضية  $NaHCO_3$  (Pro labo)، كربونات الصوديوم  $Na_2CO_3$  (Pro labo)، حمض الساليسيليك (BDH)، حمض السلفانيليك (BDH)، حمض الكالوكربونيك (BDH)، يود البوتاسيوم KI (BDH)، يود الزئبق HgI (BDH)، طرترات الصوديوم والبوتاسيوم (Medex)، نترات البوتاسيوم  $KNO_3$  (Merck)، ثنائي كلور الباريوم  $BaCl_2$  (Himedia)،  $\alpha$ -نفتيل أمين (BDH)، نترت الصوديوم  $NaNO_2$  (Merck)، نترات الصوديوم  $NaNO_3$  (BDH)، كلور الأمونيوم  $NH_4Cl$  (BDH)، يوريا  $[(NH_2)CO] Urea$  (BDH)، فوسفات أحادية البوتاسيوم  $KH_2PO_4$  (BDH)، فوسفات ثنائية البوتاسيوم  $K_2HPO_4$  (BDH)، بنزن (Merck)، كبريتات الصوديوم اللامائية (Merck)، أزرق الميتيلين (Merck)، دوواكس Dowex,50 – WX8 (BDH).

### 2.2.2- المواد الفعالة سطحياً:

سلفونات الألكيل بنزن الخطية LASs (BDH)، وسلفات دوديثيل الصوديوم SDSs (BDH).

### 3.2.2- المنظفات:

استعملت 7 أنواع من مساحيق التنظيف هي:

١- **سوبر توبر (أوتوماتيك):** يحتوي مادة فعالة إجمالية (شاردية [م.و.ج] 350 + لشاردية [م.و.ج] 600) بنسبة 12% بحد أدنى، تريبولي فوسفات الصوديوم وزيلوليت بنسبة 35%، سيليكات الصوديوم، سلفات الصوديوم، كربونات الصوديوم، كربوكسي ميثيل سيليلوز، مبيض ضوئي، إنزيم، عطر، مواد منشطة.

٢- **مدار (أوتوماتيك):** يحتوي مادة فعالة إجمالية بنسبة 14% موزعة وفق الآتي (شرسبية [م.و.ج] 348 بنسبة 96%، ولاشاردية [م.و.ج] 616 بنسبة 90%)، تريبولي فوسفات الصوديوم، بيكربونات الصوديوم، سلفات الصوديوم، سيليكات الصوديوم، كربونات الصوديوم، كربوكسي ميثيل سيليلوز، زيوت سليكونية، مبيض ضوئي، إنزيمات، عطور، منشط فعال، مطريات ناعمة.

٣- **الأفراح (أوتوماتيك):** يتركب من مواد فعالة لصابونية بنسبة 12% موزعة وفق الآتي (6% مواد فعالة شرسبية تركيز 80% [م.و.ج] 348)، و6% مواد فعالة لشاردية تركيز 90% [م.و.ج] 855)، تريبولي فوسفات الصوديوم بنسبة 20%، زيوليت بنسبة 5%، زيوت سليكونية، سلفات الصوديوم، كربونات الصوديوم، سيليكات الصوديوم، برورات الصوديوم، كربوكسي ميثيل سيليلوز، مبيض ضوئي، المعقد الثلاثي E.D.T.A، عطر، مانع تكلس.

٤- **نايس (أوتوماتيك):** يتركب من ألكيل بنزن سلفونات الصوديوم [م.و.ج] 348)، مادة فعالة لشاردية، مادة صابونية، تريبولي فوسفات الصوديوم، سيليكات الصوديوم، سلفات الصوديوم، كربونات الصوديوم، كربوكسي ميثيل سيليلوز، برورات الصوديوم، مبيض ضوئي، منشط، إنزيم، عطر، ملون، ونسبة المواد الفعالة 12% كحد أدنى.

٥- **برسيل (أوتوماتيك):** يتركب من ألكيل بنزن سلفونات الصوديوم [م.و.ج] 348)، مادة فعالة لشاردية، مادة صابونية، تريبولي فوسفات الصوديوم، فوسفات رباعية الصوديوم، بولي أكريلات، سيليكات الصوديوم، سلفات الصوديوم، كربونات الصوديوم، بيكربونات الصوديوم (أكثر من 10%)، كربوكسي ميثيل سيليلوز، مبيض ضوئي، منشط، إنزيم، عطر، ملون، ونسبة المواد الفعالة 12% كحد أدنى.

٦- **أريان (أوتوماتيك):** يتركب من أملاح فوسفاتية، مواد مبيضة، مواد صابونية، كربونات الصوديوم، زيوليت بنسبة 5%، مانع تكلس، منشط، بيكربونات الصوديوم 5%، مواد مالئة، محسنات، عطر، مادة فعالة لصابونية بحد أدنى 12%، مواد فعالة شرسبية [م.و.ج] 370)، مواد فعالة لشاردية [م.و.ج] 850).

٧- برنس (أوتوماتيك): يتركب من ألكيل بنزن سلفونات الصوديوم (م.و.ج 348) بنسبة 12% بحد أدنى، مادة فعّالة غير شاردية، مادة صابونية، تريبولي فوسفات الصوديوم، زيوليت بنسبة (8 - 18) %، سيليكات الصوديوم، سلفات الصوديوم، كربونات الصوديوم، بربورات الصوديوم، بيكربونات الصوديوم بنسبة (5 - 12) % كربوكسي ميتيل سيليلوز، مبيض ضوئي، إنزيم ، عطر، ملون.

#### 4.2.2- أوساط الزرع Cultural Media.

##### 1.4.2.2- الأوساط الطبيعية Natural media.

أمكن الحصول عليها من مياه الصرف في مدينة اللاذقية، وأجريت التجارب المختبرية عليها بدراسة وتحديد الخواص الفيزيوكيميائية والميكروبيولوجية لها.

##### 2.4.2.2- أوساط العزل والتنقية Isolation and selective media.

عُزلت ونُقِيت الأنواع المدروسة ودرست الصفات المورفولوجية والفيزيولوجية لها على الأوساط الآتية:

١- وسط الستراميد آغار (*Pseudomonas selective agar* Cetrinide agar) (Scharlau): وهو وسط صلب لانتقاء وعزل *Ps.aeruginosa*، ويتركب من (20 غ/ل Gelatin peptone، 1.4 غ/ل  $MgCl_2$ ، 20 غ/ل  $K_2SO_4$ ، 0.3 غ/ل Cetiltri methyl-Ammonium Bromide، 15 غ/ل Agar، 10 مل Glycerol) إلى pH=7.2، يحضن هذا الوسط في درجة الحرارة  $42^{\circ}C$  مدة 48 ساعة، وإنَّ وجود مادة Cetiltri methyl-Ammonium Bromide والحضن عند درجة الحرارة المذكورة، إضافة إلى تلون الوسط باللون الأسود بسبب إنتاج  $H_2S$  كلها أمور تدل على وجود *Ps.aeruginosa* (Sancho Valls. et al. 1999).

٢- وسط الأسيت أميد (Scharlau) Acetamide Broth: وسط سائل تأكيدي إلى وجود *Ps.aeruginosa*، وهو يتركب من (10 غ/ل Acetamide، 5 غ/ل NaCl، 1.39 غ/ل  $K_2HPO_4$ ، 0.73 غ/ل  $KH_2PO_4$ ، 0.012 غ/ل Phenol red) إلى pH=7، يحضن هذا الوسط في درجة الحرارة  $37^{\circ}C$  مدة 48 ساعة، إذ تقوم هذه الجراثيم باستعماله مصدراً وحيداً للكربون مما يؤدي إلى رفع درجة حموضة الوسط بسبب إنتاجها لمركبات لها خواص قلوية إذ يتغيّر لون الوسط من اللون الأصفر إلى اللون الزهري المائل للأحمر (Sancho Valls. et al. 1999).

٣- وسط (Scharlau) F agar (King B agar): وسط صلب مميز للأنواع التابعة لجنس *Pseudomonas* التي تمتلك القدرة على إنتاج أصبغة الفلورسسين Fluorescein، ويتركب من (10 غ/ل Meat peptone، 10 غ/ل Casein peptone، 1.5 غ/ل  $K_2HPO_4$ ، 1.5 غ/ل  $MgSO_4$ ، 15 غ/ل Agar، 10 مل Glycerol) إلى pH=7.2، الحضن في الدرجة  $30^{\circ}C$  مدة 48 ساعة، ومع ظهور الصبغة الخضراء

المصفرة يمكن معرفة وجود *Ps. aeruginosa* أو *Ps. Putida*، وللتأكد من أن النوع المعزول هو *Ps. aeruginosa* أجري الحضان في الدرجة 42°C (Sancho Valls. et al. 1999).

٤- وسط Tryptophan Broth (Scharlau): وسط سائل يستعمل لتحديد الجراثيم المنتجة للإنزول يتكون من (10 غ/ل Meat peptone، 1 غ/ل L-Tryptophan، 5 غ/ل NaCl) إلى pH = 7.2، الحضان في الدرجة 32-30°C مدة 24 - 48 ساعة، ثم تضاف بضع قطرات من محلول Kovac's Reagent وتظهر حلقة حمراء على السطح عندما يكون موجبةً التي لوحظت عند *E. coli* (Sancho Valls. et al. 1999).

٥- وسط Malachite green broth (Scharlau): وسط سائل بصفته وسطاً مغذياً مميزاً للزوائف *Pseudomonas*، ويتكون من (15 غ/ل Meat peptone، 9 غ/ل Meat extract، 0.03 غ/ل Malachite green، 1.1 غ/ل K<sub>2</sub>HPO<sub>4</sub>) إلى pH = 7، الحضان في درجة الحرارة 30°C مدة 48 ساعة، إذ يؤثر أخضر الملاكيت في الأحياء الدقيقة السالبة بصبغة غرام ما عدا *Pseudomonas*، إن رفع درجة حرارة الحضان حتى 42°C ساعد على عزل النوع *Ps. aeruginosa* (Sancho Valls. et al. 1999).

٦- وسط Eosin Methylene Blue (EMB) Agar (Himedia): وسط صلب يتكون من (10 غ/ل Peptic digest to animal tissue، 2 غ/ل K<sub>2</sub>HPO<sub>4</sub>، 5 غ/ل Lactose، 5 غ/ل Sucrose، 0.4 غ/ل Eosin-Y، 0.065 غ/ل Methylene blue، 13.5 غ/ل Agar) إلى pH = 7.2 سمح بتمييز *E. coli* إذ ظهرت بلون أرجواني قاتم مع مركز أسود وبلعمة مخضرة بسبب وجود Eosin-Y و Methylene blue في الوسط، الحضان في الدرجة 30°C مدة 24 ساعة (HI-MEDIA, 1998).

٧- وسط Endo Agar (Himedia): وسط صلب يتكون من (10 غ/ل Peptic digest to animal tissue، 3.5 غ/ل K<sub>2</sub>HPO<sub>4</sub>، 10 غ/ل Lactose، 2.5 غ/ل Na<sub>2</sub>SO<sub>3</sub>، Eosin-Y، 0.5 غ/ل Basic fuchin، 15 غ/ل Agar) إلى pH = 7.2 يسمح بتمييز الأنواع المستعملة بحسب قدرتها على تخمر اللاكتوز أو عدمه (HI-MEDIA, 1998).

٨- وسط MacConkey Agar (Scharlau): وسط صلب يتكون من (Peptic digest to animal tissue، Agar، Neutral red، NaCl، Bile salts، Lactose، Proteose peptone) يسمح بتمييز أنواع موجبة بصبغة غرام (Sancho Valls. et al. 1999).

٩- وسط Bromo Thymol Lactose (B.T.B) Agar (Himedia): وهو وسط صلب يتكون من (5 غ/ل Proteose peptone، 3 غ/ل Beef extract، 10 غ/ل Lactose، 0.17 غ/ل Bromo thymol blue، 15 غ/ل Agar) إلى pH = 8.6، وهو انتقائي للعنقوديات *Staphylococci* إذ تنمو بدرجات الحموضة المرتفعة والحضان مدة 36 ساعة في درجة الحرارة 30°C، إذ تظهر *Staphylococcus epidermidis*

بلون مزرقي، وقد سمح أيضاً بتمييز *E.coli* إذ تظهر بلون أصفر (HI-MEDIA, 1998).

١٠- وسط (Himedia) Brilliant Green, Phenol red, Lactose Agar BPL: وسط صلب يتركب من (7 غ/ل Meat peptone، 15 غ/ل Lactose، 5 غ/ل NaCl، 0.04 غ/ل Phenol red، 0.005 غ/ل Brilliant Green، 13 غ/ل Agar) إلى pH = 6.5، يسمح بتمييز *Salmonella* وتظهر كل من *Sal. typhimurium* و *Sal. enteritidis* بلون زهري مائل للأحمر، ويسمح أيضاً بتمييز *E.coli* إذ تظهر بلون أصفر (HI-MEDIA, 1998).

١١- وسط (Himedia) Hemmes Medium: وسط صلب يتركب من (10 غ/ل Casein enzyme، 3 غ/ل Yeast extract، 0.3 غ/ل Dextrose، 10 غ/ل Lactose، 10 غ/ل Sucarose، 2 غ/ل Urea، 4 غ/ل NaCl، 0.04 غ/ل Ferrous sulphate، 0.01 غ/ل Sodium thiosulphate، 0.015 غ/ل Phenol red، 5 غ/ل Agar) إلى pH = 7.2، سمح بتمييز *Sal. typhimurium* ولوحظ تلون الوسط باللون البني المسود بسبب إنتاج غاز  $H_2S$ ، وكان اختبار الإندول فيها سالباً وتأكد ذلك عند إضافة محلول p-dimethyl aminobenzaldehyde 5% في 10% HCl، وسمح أيضاً بتمييز *E.coli* إذ لم ينتج غاز  $H_2S$  وكان اختبار الإندول موجباً واختبار Urease سالباً في الحالتين، ولم يتغير إلى اللون الزهري (HI-MEDIA, 1998).

١٢- وسط (Scharlau) *Salmonella Shigella* Agar (SS Agar): وسط صلب يسمح بتمييز *Salmonella* و *Shigella* ويتركب من (5 غ/ل Meat extract، 5 غ/ل peptone، 10 غ/ل Lactose، 8.5 غ/ل Bile salts، 10 غ/ل Sodium citrate، 8.5 غ/ل Sodium thiosulphate، 1 غ/ل Ferric citrate، 0.00033 غ/ل Brilliant green، 0.025 غ/ل Neutral red، 15 غ/ل Agar) بدون تعقيم بالأوتوكلاف إلى pH = 7، تنتج أنواع معينة غاز  $H_2S$  ويظهر اللون البني المائل للأسود (Sancho Valls. et al. 1999).

١٣- وسط (Himedia) Brilliant Green Agar with Phosphates: وسط صلب يتركب من (10 غ/ل Peptic digest to animal tissue، 5 غ/ل Beef extract، 3 غ/ل Yeast extract، 10 غ/ل Lactose، 10 غ/ل Sucarose، 1 غ/ل  $Na_2HPO_4$ ، 0.6 غ/ل  $NaH_2PO_4$ ، 0.09 غ/ل Phenol red، 0.0047 غ/ل Brilliant Green، 12 غ/ل Agar) من دون تعقيم بالأوتوكلاف ويضاف إليه Sulpha Supplement (FD068) الذي يتركب من 500 ملغ من Sodium sulphacetamide و 125 ملغ من Sodium mandelate والتي تذاب في 500 مل من الوسط إلى pH = 6.9، يسمح هذا الوسط بتمييز أنواع *Salmonella* وتظهر *Sal. enteritidis* و *Sal. typhimurium* بلون أحمر فاتح ويكون النمو جيداً، ويظهر النوع *Ps.aeruginosa* بلون أحمر، ولكن بنمو ضعيف، وتكون *E.coli* حساسة، ولا تنمو في هذا الوسط (HI-MEDIA, 1998).

١٤- وسط Motility Sulphide Medium (Himedia): وسط صلب يستعمل لتمييز الأحياء الدقيقة بحسب الحركة، وتكون الجراثيم المتحركة منتشرة على كامل الوسط، أما غير المتحركة فتظهر بشكل خط مستقيم، ويتركب من (10 غ/ل Proteose peptone، 3 غ/ل Beef extract، 0.2 غ/ل L-Cystine، 0.2 غ/ل Ferric ammonium citrate، 2 غ/ل Sodium citrate، 5 غ/ل NaCl، 80 غ/ل Gelatin، 4 غ/ل Agar) إلى pH=7.3، سمح بالتمييز بين الأحياء المعزولة والمنتقاة بحسب الحركة، إذ تأكدت الحركة عند *E.coli* و *Pseudomonas aeruginosa* و *Pseudomonas sp* و *Sal.typhimurium* و *Sal. enteritidis* ولم تظهر الحركة عند *Staphylococcus epidermidis*، ولوحظ تلون الوسط باللون البني المسود بسبب إنتاج غاز  $H_2S$  عند *Sal.typhimurium* و *Pseudomonas aeruginosa* و *Sal. enteritidis* ولم يحدث إنتاج للغاز عند *E.coli* (HI-MEDIA, 1998).

١٥- وسط Chapman Stone Agar (Himedia): وسط صلب يستعمل لتمييز وعزل *Staphylococci* يتكون من (10 غ/ل Casein enzyme hydrolysate، 2.5 غ/ل Yeast extract، 30 غ/ل Gelatin، 10 غ/ل D-Mannitol، 55 غ/ل NaCl، 75 غ/ل Ammonium Sulphate، 5 غ/ل  $K_2HPO_4$ ، 15 غ/ل Agar) إلى pH=7، وتأكد وجود *Staphylococcus epidermidis*، وظهرت منطقة واضحة شفافة حول المستعمرات بعد إضافة قطرات من حمض Sulphosalicylic acid (20%) وهذا يدل على أن اختبار إنتاج Gelatinase موجب، وكان اختبار تخمر المانيتول Mannitol سالباً لأنه عند إضافة بضع قطرات من Bromo cresol purple لم يتغير لونه (يتغير إلى الأصفر إذا كان موجباً)، وكان اختبار Gelatinase و Mannitol بواسطة *E.coli* سالباً (HI-MEDIA, 1998).

١٦- وسط Lactose Broth (Himedia): وسط سائل يتكون من (5 غ/ل Peptic digest to animal tissue، 3 غ/ل Beef extract، 5 غ/ل Lactose) إلى pH=6.9، ساعد هذا الوسط بتمييز *E.coli* التي تنتج الغاز نتيجة تخمير اللاكتوز، على عكس النوع *Pseudomonas aeruginosa*، استعملت أنابيب Durham's للكشف عن إطلاق الغاز (HI-MEDIA, 1998).

١٧- وسط Lead Acetate Agar (Himedia): وسط سائل يتكون من (15 غ/ل Peptic digest to animal tissue، 5 غ/ل Proteose peptone، 1 غ/ل Dextrose، 0.2 غ/ل Lead Acetate، 0.08 غ/ل Sodium thiosulphate، 15 غ/ل Agar) إلى pH=6.6، ساعد هذا الوسط بتمييز *E.coli* التي تنتج الغاز نتيجة تخمير الدكستروز، ولم يظهر غاز  $H_2S$  في حال وجود *E.coli*، أما عند وجود *Sal.typhimurium* فقد حدث العكس ولم تتشكل فقاعات وتلون الوسط باللون البني المائل للأسود بسبب إنتاج  $H_2S$  (HI-MEDIA, 1998).

١٨- وسط Fuchsin Lactose Broth (Himedia): يتكون من (5 غ/ل Peptone, Special، 3 غ/ل Meat extract، 5 غ/ل Lactose، 0.013 غ/ل Basic Fuchsin) إلى pH=6.8، يسمح هذا الوسط بتمييز



*E.coli* التي تنتج الغاز والحمض، استعملت أنابيب Durham's للكشف عن إطلاق الغاز، وتغيّر لون الوسط الناتج عن وجود Basic Fuchsin (HI-MEDIA, 1998).

١٩- وسط Boric Acid Broth (Himedia): وسط سائل يتركب من (10 غ/ل Proteose peptone، 5 غ/ل Lactose، 12 غ/ل  $K_2HPO_4$ ، 4.1 غ/ل  $KH_2PO_4$ ، 3.25 غ/ل Boric Acid) إلى pH = 7، يسمح بتمييز *E.coli* التي تنمو في درجة الحرارة 43°C، وتشكيل الغاز من اللاكتوز بوجود حمض البور عند الحضانة مدة 48 ساعة (HI-MEDIA, 1998).

٢٠- وسط Crystal Violet Lactose Agar (Himedia): يتكون من (5 غ/ل Proteose peptone، 3 غ/ل Beef extract، 10 غ/ل Lactose، 0.0033 غ/ل Crystal Violet، 15 غ/ل Agar) إلى pH = 6.8، يستعمل لتمييز أنواع *Staphylococci* إذ ظهرت *Staphylococcus epidermidis* بلون أرجواني مصفر، علماً أن *E.coli* تنمو بشكل جيد في هذا الوسط ويكون لون المستعمرات أرجواني (HI-MEDIA, 1998).

٢١- وسط Starch Agar (Himedia): يستعمل هذا الوسط لمعرفة الأحياء الدقيقة التي تحلمه النشاء، ويتركب من (5 غ/ل Peptic digest to animal tissue، 5 غ/ل NaCl، 1.5 غ/ل Yeast extract، 1.5 غ/ل Beef extract، 2 غ/ل Starch، soluble، 15 غ/ل Agar) إلى pH = 7.4، وتحضن الأحياء مدة 48 ساعة ثم تُقرأ النتائج، ويدل على الحلمة وجود هالة شفافة حول المستعمرة تظهر عند إضافة يود البوتاسيوم الذي يكشف عن تحلل النشاء، مع العلم أن *Staphylococcus epidermidis* و *E.coli* لا تحلمه النشاء (HI-MEDIA, 1998).

٢٢- وسط Kligler Iron Agar (Himedia): يتكون من (Beef extract, Peptic digest of animal, Yest extract, Proteose peptone, Lactose, Dextrose, Ferrous sulphate, Sodium chloride, Sodium thiosulphat, Phenol red, Agar) يساعد هذا الوسط بتمييز *E.coli* التي تنتج غازاً، ويتلون الوسط باللون الأسود نتيجة انطلاق غاز  $H_2S$  (HI-MEDIA, 1998).

#### 3.4.2.2 - الأوساط المغذية Nutritional media

- وسط Nutrient agar (LAB M): وهو وسط صلب مغذٍ عام يتركب من (Meat extract, yeast extract, peptone, NaCl, Agar) (Sancho Valls, J. et al. 1999).
- وسط مغذٍ سائل يتركب من (Meat extract, yeast extract, peptone, NaCl,) (Sancho Valls, J. et al. 1999).

#### 4.4.2.2 - الأوساط الخاصة بالدراسة (بتصرف الباحث)

- وسط الزرع لاختيار أفضل مصدر نيتروجيني؛ وهو وسط يتركب من  $KH_2PO_4$ ،  $K_2HPO_4$ ، LASs، إضافة إلى أحد المصادر النيتروجينية [  $KNO_3$ ،  $NaNO_3$ ،  $NaNO_2$ ،  $NH_4Cl$ ، يوريا  $(NH_2) CO$  ].
- وسط الزرع لدراسة تفكيك SDSs: وهو وسط سائل يتركب من  $NaNO_3$ ،  $K_2HPO_4$ ، SDSs.

- وسط الزرع لدراسة تفكيك سلفونات الألكيل بنزن الخطية LASs: وهو وسط سائل يتركب من  $\text{LASs}$ ,  $\text{K}_2\text{HPO}_4$ ,  $\text{NaNO}_3$ .
- وسط الزرع لدراسة تفكيك المنظفات بشكل عام: يتركب من مسحوق غسيل لمنظف يستعمل في الغسالات الآلية (الأوتوماتيكية) وقد استعمل 7 أنواع منها، وهي الأكثر انتشاراً في السوق المحلية (في اللاذقية).

### 3.2- الأجهزة Instruments

استعملت الأجهزة الآتية:

- مقياس درجة الحرارة الزئبقي ومقياس الحموضة pH من النمط HACH Sension3.
- حاضنة هزاة Incubator Shaker من شركة InFors، وهزاة خاصة لدراسة التغيرات في درجة حرارة الغرفة من النمط Heidolph unimax 2010.
- مجهر ضوئي، ومطياف ضوئية (UV-Vis Spectro photometer) UV-9200.
- جهاز تعقيم (أوتوكلاف)، غرفة عزل جرثومي، أدوات الزرع الجرثومي، الزجاجيات والعبوات الزجاجية، حمام مائي، براد، وسخان..
- مقياس الأكسجين المنحل Oxi 730, InLab، ومبخّر دوار Rota Vapor (Buchi).
- جهاز الاستشراب (الكروماتوغرافيا) السائلة High Performance Liquid Chromatography (SHIMADZU).
- جهاز (ABENDORF) Polymerase Chain Reaction (PCR).

### 4.2- الطرق Methods

أجري بعض التحاليل الفيزيائية والكيميائية لمياه الصرف من قنوات الصرف في مدينة اللاذقية وهي:

#### 1.4.2- درجة الحرارة Temperature

قيست درجات الحرارة باستعمال مقياس حرارة زئبقي عادي، وتكررت عملية القياس ثلاث مرات في المياه، وكل مرة مدة عشر دقائق بدقة 0.1، ويؤخذ متوسط القراءات (Rodier, 1978. Rump & Krist, 1992).

#### 2.4.2- درجة الحموضة pH

قيست درجات الحموضة بوساطة مقياس pH-meter pH، وتكرر عملية القياس ثلاث مرات خلال عشر دقائق، ويؤخذ متوسط القراءات (Rodier, 1978. Rump & Krist, 1992).

#### 3.4.2- كمية الأكسجين المنحل Dissolved Oxygen DO

استعمل جهاز قياس كمية الأكسجين المنحل (InoLab Oxi 730)، ويعدّ تركيز الأكسجين المنحل في المخلفات السائلة دالةً على مدى تلوثها، وكلما انخفضت كمية الأكسجين المنحل في مياه الصرف تكون أكثر تلوثاً، وتقدر قيمته بالوحدة ملغ/ل، وتكرر عملية القياس ثلاث مرات، وتستمر عملية القياس حتى تستقر القيمة المقاسة، ويؤخذ متوسط القراءات (Rodier, 1978. Rump & Krist, 1992).

#### 4.4.2- العيار القلوي Total Alkalinity T.A والعيار القلوي الكلي Total Complete Alkalinity T.A.C

يدل العيار القلوي على وجود القلويات الحرة (شوارد الهيدروكسيل  $\text{OH}^-$ ) وشوارد الكربونات ( $\text{CO}_3^{2-}$ ) في المياه، أما العيار القلوي الكامل فيمثل شوارد الهيدروكسيل  $\text{OH}^-$  والكربونات ( $\text{CO}_3^{2-}$ ) والبيكربونات ( $\text{HCO}_3^-$ ) القلوية والقلوية الترابية، ويجري التحليل في كلتا الحالتين بمعادلة حجم معين (100) مل من الماء المدروس بحمض عياري هو حمض الكبريت  $\text{H}_2\text{SO}_4$  (0.02N)، بوجود مشعر الفينول فتالئين (2-3 قطرات) في حال العيار القلوي ومشعر الهلياننتين (2-3 قطرات) في حال العيار القلوي الكامل، وتقدر القيمة الناتجة في الدرجة الفرنسية ( $^{\circ}\text{f}$ ) وهي تعادل 10 ملغ/ل من كربونات الكالسيوم في حال العيار القلوي، ويظهر اللون الأحمر للفينول فتالئين عند  $\text{pH}=8.3$  تقريباً بعد أن تتفاعل شوارد الهيدروكسيل كلها ونحو نصف الكربونات، أما في حال العيار القلوي الكامل فإن التحول يحدث لمشعر الهلياننتين عند  $\text{pH}=4$ ، علماً أن الكربونات والبيكربونات وشوارد الهيدروكسيل الموجودة في المياه المدروسة تكون قد تفاعلت كلها. وتدل كمية الحمض المستعمل على العيار القلوي الكامل، لأنه كلما ازدادت شوارد الكالسيوم في الماء المدروس تكون قيمة العيار القلوي الكلي عالية، ويستعمل الجدول 20 لحساب قيم شوارد الكربونات والبيكربونات والهيدروكسيل. (Rodier, 1978. Rump & Krist, 1992).

الجدول 20. كيفية حساب قيم شوارد الكربونات والبيكربونات والهيدروكسيل.

$\text{HCO}_3^-$ X12.2	$\text{CO}_3^{2-}$ X6	$\text{OH}^-$ X3.4	نتائج معايرة الشاردة المدرسة
T.A.C	0	0	T.A=0
T.A.C-2T.A	2T.A	0	T.A<1/2T.A.C
0	2T.A	0	T.A=1/2T.A.C
0	2(T.A.C-T.A)	2T.A-T.A.C	T.A>1/2T.A.C
0	0	T.A.C	T.A=1/2T.A.C

#### 5.4.2- إستهلاك (طلب) الأكسجين الحيوي الكيميائي (B.O.D) Biochemical Oxygen Demand

وهو كمية الأكسجين الذي تستهلكه الأحياء الدقيقة الهوائية لأكسدة المواد العضوية القابلة للتأكسد الموجودة في المخلفات السائلة، ويحسب بعد حضن عبوات عاتمة تحتوي عينة المياه المدروسة مدة خمسة أيام في الدرجة 20 مئوية، وتحسب كمية الأكسجين المنحل الموجودة في العينة من جديد وتقدر بالوحدة ملغ/لتر، ويحدد  $\text{BOD}_5$  من الفرق بين كمية الأكسجين المنحل قبل الحضن وبعده (Rodier, 1978. Rump & Krist, 1992).

#### 6.4.2- الأكسدة

كمية الأكسجين التي تؤكسد المواد العضوية سهلة وصعبة التفكك وبعض المركبات اللاعضوية في الماء بواسطة برمنغنات البوتاسيوم في وسط قلوي بالغليان مدة عشر دقائق و تقدر النتيجة بالوحدة ملغ/ل، ويؤخذ 100 مل من الماء المراد تحليله ويضاف إليه 2 مل من محلول بيكربونات الصوديوم، والتسخين حتى الغليان،

ثم يضاف 5 مل من محلول برمنغنات البوتاسيوم N/80 وتقابل (3.1608 ملغ/ل) ليصبح الوسط قلويًا، ويستمر غليان المحلول مدة عشر دقائق أخرى، ثم يبرد تحت الصنبور ويضاف 5 مل من حمض الكبريت 50% و 5 مل من محلول سلفات فروأمونيوك لإزالة اللون من المحلول (تقديماً لحدوث انفجار في أثناء عملية الغلي تُوضع كرات زجاجية صغيرة)، وتجري المعايرة ببرمنغنات البوتاسيوم N/80 فيكون حجم محلول برمنغنات البوتاسيوم المستهلك معادلاً لكمية الأكسجين المستهلك من قبل المواد العضوية. (Rodier, 1978. Rump & Krist, 1992).

#### 7.4.2 - القساوة الكلية (Total Hardness (T H)

تشير إلى وجود الشوارد المعدنية في المياه، مثل  $Mg^{+2}$  و  $Ca^{+2}$  وواحدتها الدرجة الفرنسية ( $f^0$ )، ويستعمل المعقد الثلاثي (EDTA) في التجربة الذي يسبب تشكيل معقد آخر، ويؤخذ 100 مل من الماء المراد تحليله، ويسخن حتى الدرجة 60 مئوية ثم يضاف قرص من أقراص ميرك و 1 مل من ماءات الأمونيوم  $NH_4OH$  إذ يعطي لوناً أحمرًا أجرياً، ثم يُعاير بالمعقد الثلاثي 0.02 N حتى يتغير اللون الأحمر إلى الأزرق المخضر، ويكون الحجم المستهلك من المعقد الثلاثي هو ما يدل على القساوة الكلية. (Rodier, 1978. Rump & Krist, 1992).

#### 8.4.2 - القساوة الكلسية (Calcium Hardness (Ca H)

تحسب وفق الطريقة السابقة بوساطة المعقد الثلاثي بوجود حمض الكالوكربونيك بصفته مشعراً، وتقدر النتيجة بالدرجة الفرنسية. (Rodier, 1978. Rump & Krist, 1992).

#### 9.4.2 - شوارد الكلسيوم $Ca^{+2}$

تحسب من العلاقة الآتية:

تركيز  $Ca^{+2}$  = القساوة الكلسية  $\times 4.008$ ، وتقدر بالملغ/ل (Rodier, 1978. Rump & Krist, 1992).

#### 10.4.2 - القساوة المغنيزية (Magnesium Hardness (Mg H)

تحسب القساوة المغنيزية بالعلاقة الآتية:

القساوة المغنيزية = القساوة الكلية - القساوة الكلسية (Rodier, 1978. Rump & Krist, 1992).

#### 11.4.2 - شوارد المغنيزيوم $Mg^{+2}$

تحسب من العلاقة الآتية:

تركيز  $Mg^{+2}$  = القساوة المغنيزية  $\times 2.432$ ، وتقدر بالملغ/ل. (Rodier, 1978. Rump & Krist, 1992).

#### 12.4.2 - تركيز شوارد النترات $NO_3^-$

مبدأ التجربة هو تحويل شاردة النترات إلى بارانتروساليسيلات الصوديوم ذات اللون الأصفر عن طريق معالجة العينة المدروسة بساليسيلات الصوديوم ومواد كيميائية معينة، يحضر محلول ساليسيلات الصوديوم بحل 0.5 غ منها في 100 مل من الماء (يجب أن يحضر المحلول عند إجراء التجربة)، أما محلول طرترات الصوديوم والبوتاسيوم فإنه يحضر بإضافة 400 غ من هيدروكسيد الصوديوم و 60 غ من

طرطرات الصوديوم والبوتاسيوم إلى لتر واحد فقط من الماء، ويضاف 2 مل محلول طرطرات الصوديوم والبوتاسيوم إلى 10 مل من العينة وتوضع في حمام مائي بدرجة 100 مئوية مدة ساعتين وتترك لتبرد، ثم يضاف 2 مل من حمض الكبريت ويترك مدة 10 دقائق، ثم يضاف 15 مل من الماء المقطر و15 مل من محلول الطرطرات ويترك مدة عشر دقائق، وتجري القراءة بطول موجة 420 نانومتراً في جهاز المطيافية الضوئية ثم تحسب تراكيز هذه الشاردة وتقدر بالوحدة ملغ/لتر. (Rodier, 1978. Rump & Krist, 1992).

#### 13.4.2- تركيز شوارد النتريت $\text{NO}_2^-$

يستعمل كاشف غريس A (GriessA) للكشف عن تركيز شوارد النتريت الذي يتألف من حمض السلفانيليك 1 غ و 300 مل من حمض الخل 20% وكاشف غريس B (Griess B) الذي يتألف من 0.2 غ من  $\alpha$ - نفتيل أمين مع 20 مل ماء مقطر، يغلى المحلول ويترك ليستقر ويرشح في 300 مل من حمض الخل 20% ويضاف المحلول الناتج إلى 10 مل من الماء المراد تحليله، يترك مدة عشرة دقائق، ثم تجري قراءة القيم على جهاز المطيافية الضوئية بطول موجة 490 نانومتراً ثم تحسب تراكيز هذه الشاردة وتقدر بالوحدة ملغ/لتر. (Rodier, 1978. Rump & Krist, 1992).

#### 14.4.2- تركيز شوارد الكبريتات $\text{SO}_4^{2-}$

تستخدم طريقة السائل الخاص بالجليسيرول لتقدير تركيز شوارد الكبريتات في الماء المدروس، ثم إضافة كمية قليلة من كلور الباريوم  $\text{BaCl}_2$ ، وتجري القراءة بطول موجة 420 نانومتر على جهاز المطيافية الضوئية، و تحسب تراكيز هذه الشاردة وتقدر بالوحدة ملغ/لتر. (Rodier, 1978. Rump & Krist, 1992).

#### 15.4.2- تركيز شاردة الأمونيوم $\text{NH}_4^+$

يُعتمد على طريقة كاشف نسلر Nessler لتقدير تركيز شوارد الأمونيوم في المياه المدروسة وتجري القراءة على الجهاز المطيافية الضوئية بطول موجة 420 نانومتراً. (Rodier, 1978. Rump & Krist, 1992).

#### 16.4.2- تركيز المادة الفعالة سطحياً ( Nakamura & Morikawa, 1982; Matthijs & De Hanau, 1987; )

(Matthijs & Hennes, 1991; Marcomini & Giger. 1987; Rump & Krist, 1992)

يُقدر تركيز المادة الفعالة سطحياً بالاستخلاص واستعمال جهاز الاستشراب (الكروماتوغرافيا السائلة HPLC) وطرائق فيزيوكيميائية، وقد تمّ الاعتماد على قياس تغيّرات تركيز شوارد الكبريتات في الوسط بصفتها مؤشراً على تفكيك LASs و SDSs في التجارب المختبرية، تغسل الأدوات الزجاجية التي تستعمل بالماء العادي ثم بالماء المقطر وتجفف بالفرن، إضافة للغسيل بالمذيبات العضوية كالبنزن والايثانول، وتحفظ بلفها بصفائح من الألمنيوم لحين استعمالها.

أما العمل باستعمال جهاز الكروماتوغرافيا فقد حُضر له (لتنقية C12-LASs) بحل 150 مل من البنزن مع واحد لتر من العينة المائية (وسط محضر في المختبر أو مياه صرف صحي)، ويمكن أن تقسم على جزئين (75 مل بنزن لكل نصف لتر وسط)، وتبخّر الخلاصة بالمبخّر الدوار حتى الوصول لحجم 10 مل تقريباً ثم

تجفف بتيار من الآزوت حتى تمام التجفيف، تحلّ بعد ذلك في 20 مل من ماء ثنائي التقطير (منزوع الشوارد)، يضاف إليها 1 مل من المحلول المائي لأزرق الميثيلين 0.025% (يحضر بإذابة 0.025 غ من أزرق الميثيلين في 100 مل من الماء المقطر) بقصد تشكيل معقد أزرق الميثيلين مع LAS ويتم استخلاص المعقد بإضافة 10 مل من الكلوروفورم وتعاد هذه العملية ثلاث مرات، تجمع الخلاصة ويخزل الكلوروفورم حتى الجفاف بتيار من الآزوت، ثم تذاب في 2 مل من الايتانول وتمرر على عمود معبأ براتنجات التبادل الشاردي من النمط الموجب من نوع (Dowex, 50- WX8) أبعاده (1X5) سم (يُعالج 10 منه بإضافة 10 مل من حمض كلور الماء 3 N و 10 مل من كلور الصوديوم 2M ثم يغسل بالايتانول ثلاث مرات)، وذلك لإزاحة أزرق الميثيلين عن مركبات LAS، ثم تترك حتى تقطر ٢ مل ويضاف ١٠ مل من الايتانول (الطور المتحرك) وتترك لتقطر في وعاء الجمع، يبخر الايتانول من العينة وتحلّ في 20 مل من الماء ثنائي التقطير، وتستخلص بالكلوروفورم ولكن في هذه المرحلة تؤخذ الطبقة المائية، لأن المادة الفعالة موجودة في الطور المائي ويركز المحلول المائي بانقاص حجمه حتى 1 مل وبذلك تصبح الخلاصة جاهزة لعمليات الفصل بتقانة الكروماتوغرافيا السائلة العالية الأداء (Delvalls. et al, 1997. 2002)، كما هو موضح في الشكل 26.



#### الشكل 26. طريقة استخلاص LASs من العينة المائية للتحديد بجهاز الكروماتوغرافيا السائلة

وجرى العمل باستعمال جهاز الكروماتوغرافيا من شركة (SHIMADZU) اليابانية، واستعمل لتفريق مكونات العينة عمود (C18)، وجرت عمليات الفصل بالاعتماد على أسلوب كروماتوغرافيا الطور المعكوس (Reversed - phase)، أما الطور المتحرك (الطور الحامل) فهو A: الماء والأسيتونتريل، B: أسيتات الأمونيوم، ومعدل التدفق 0.8 مل وحرارة العمود 30 درجة مئوية وهي ثابتة، أما أطوال الموجات فهي (220 - 290) نانو متر، وجرت المقارنة من مادة C12-LASs نقية.

#### 17.4.2- طرائق التحاليل الجرثومية.

نظراً إلى احتواء مياه الصرف على الأحياء الممرضة وغير الممرضة بشكل طبيعي، فليس من الضروري إجراء الاختبارات لتحديد عدد الجراثيم الكلي والجراثيم الدالة على التلوث، لكن يبين إجراء العد في التجارب الخاصة بالبحث.

تؤدي الجراثيم الموجودة في مياه الصرف دوراً مهماً في تحليل المواد العضوية الموجودة فيها وتفكيكها، وتشمل طرائق التحليل الجرثومي عدداً من الطرائق المختبرية المتبعة عالمياً وهي:

#### 1.17.4.2- تقنية التخفيف Dilution Technique

يؤخذ 1 مل من العينة، ويمدد في 9 مل من المحلول الفيزيولوجي في أنبوب اختبار، ثم يؤخذ من هذا الأنبوب 1 مل ويمدد في أنبوب آخر فيه 9 مل، وهكذا حتى عشرة أنابيب (Wistreich, 1997).

#### 2.17.4.2- تقنية الصب بالطبق Pour Plate Technique

يؤخذ 1 مل من العينة أو أقل من ذلك بحسب الاختبار، يُصب وسط الزرع المصهور في طبق بتري حتى الدرجة 45°C ثم يحرك الوسط لمزج العينة مع الوسط، ويترك ليتصلب، ويحضن في درجة الحرارة المناسبة لنمو النوع الجرثومي المطلوب (Wistreich, 1997).

#### 3.17.4.2- تقنية الفرش Streak Plate Technique

تفرش كمية صغيرة من ماء العينة على سطح وسط الزرع الموجود في طبق بتري بشكل خطوط بأشكال مختلفة، ثم يحضن في درجة الحرارة المناسبة (Wistreich, 1997).

#### 18.4.2- عزل وتصنيف الأحياء الدقيقة المفككة للمواد الفعالة سطحياً

##### Isolation and classification of microorganisms with biodegradable of Surfactants

جمعت عينات من مياه الصرف الصحي لمدينة اللاذقية، وأجريت عملية العزل والتصنيف بزرع جزء من العينات التي جمعت في أطباق بتري تحتوي وسط فيه LASs بصفته مصدراً وحيداً للكربون بعد التخفيف بأنابيب تحتوي وسطاً سائلاً مغذياً، ثم عُزلت مرات عديدة على الوسط السابق حتى الحصول على مزارع معزولة بشكل نقي، وحفظت في أطباق بتري، ثم نُقلت إلى أنابيب تحتوي الوسط المذكور بعد التأكد منها وتصنيفها بإجراء الاختبارات المناسبة حسب تصنيف برجي Bergey إلى الأنواع الآتية: *Salmonella enteritidis* و *Salmonella typhimurium* و *Staphylococcus epidermidis* 1 و *Staphylococcus epidermidis* 2

و *E.coli* 1 و *E.coli* 2 و *Pseudomonas sp* و *Pseudomonas aeruginosa* (Holt, J.G & Krieg, N.R.S. 1994)، وقد عزلت من موقعي الدراسة (أفاميا، والرمل الجنوبي)، والجدول 22 يوضح الجراثيم المعزولة ومكان العزل على الأوساط المناسبة.

الجدول 22. الجراثيم المعزولة ومكان العزل على الأوساط المناسبة.

الجراثيم المعزولة	مصدر العينة	الأوساط المستعملة لتحديد النوع
<i>Escherichia coli</i> 1	الرمل الجنوبي	وسط Starch Agar (HI-MEDIA. 1998). وسط Tryptophan Broth (Sancho Valls, J. et al. 1999). وسط Kligler Iron Agar (HI-MEDIA. 1998). وسط Eosin Methylene Blue (EMB) Agar (HI-MEDIA. 1998). وسط Endo Agar (HI-MEDIA. 1998). وسط MacConkey Agar (Sancho Valls, J. et al. 1999). وسط Bromo Thymol Lactose (B.T.B) Agar (HI-MEDIA. 1998). وسط Brilliant Green, Phenol red, Lactose Agar BPL (HI-MEDIA. 1998).
<i>Escherichia coli</i> 2	أفاميا	وسط Hemmes Medium (HI-MEDIA. 1998). وسط Motility Sulphide Medium (HI-MEDIA. 1998). وسط Chapman Stone Agar (HI-MEDIA. 1998). وسط Lactose Broth (HI-MEDIA. 1998). وسط Lead Acetate Agar (HI-MEDIA. 1998). وسط Fuchsin Lactose Broth (HI-MEDIA. 1998). وسط Boric Acid Broth (HI-MEDIA. 1998). وسط Crystal Violet Lactose Agar (HI-MEDIA. 1998).
<i>Salmonella typhimurium</i>	أفاميا	وسط Eosin Methylene Blue (EMB) Agar (HI-MEDIA. 1998). وسط Lead Acetate Agar (HI-MEDIA. 1998). وسط Motility Sulphide Medium (HI-MEDIA. 1998). وسط Brilliant Green Agar with Phosphates (HI-MEDIA. 1998). وسط Salmonella Shigella Agar (SS Agar) (Sancho Valls, J. et al. 1999). وسط Hemmes Medium (HI-MEDIA. 1998). وسط Brilliant Green, Phenol red, Lactose Agar BPL (HI-MEDIA. 1998). وسط MacConkey Agar (Sancho Valls, J. et al. 1999). وسط Endo Agar (HI-MEDIA. 1998).
<i>Salmonella enteritidis</i>	الرمل الجنوبي	وسط Eosin Methylene Blue (EMB) Agar (HI-MEDIA. 1998). وسط Motility Sulphide Medium (HI-MEDIA. 1998). وسط Brilliant Green Agar with Phosphates (HI-MEDIA. 1998). وسط Salmonella Shigella Agar (SS Agar) (Sancho Valls, J. et al. 1999). وسط Brilliant Green, Phenol red, Lactose Agar BPL (HI-MEDIA. 1998). وسط MacConkey Agar (Sancho Valls, J. et al. 1999). وسط Endo Agar (HI-MEDIA. 1998).
<i>Staphylococcus epidermidis</i> 1	الرمل الجنوبي	وسط Starch Agar (HI-MEDIA. 1998). وسط Crystal Violet Lactose Agar (HI-MEDIA. 1998). وسط Chapman Stone Agar (HI-MEDIA. 1998). وسط Motility Sulphide Medium (HI-MEDIA. 1998). وسط Bromo Thymol Lactose (B.T.B) Agar (HI-MEDIA. 1998). وسط MacConkey Agar (Sancho Valls, J. et al. 1999). وسط Endo Agar (HI-MEDIA. 1998).
<i>Staphylococcus epidermidis</i> 2		
<i>Pseudomonas aeruginosa</i>	أفاميا	وسط الستراميد أغار (Cetrimide agar) ( <i>Pseudomonas selective agar</i> )



وسط الأست أميد (Sancho Valls,J. et al. 1999). وسط (Sancho Valls,J. et al. 1999) Acetamide Broth وسط (Sancho Valls,J. et al. 1999)F agar (King B agar). وسط (Sancho Valls,J. et al. 1999) Malachite green broth وسط (HI-MEDIA. 1998)Eosin Methylene Blue (EMB) Agar وسط (HI-MEDIA. 1998) Lactose Broth وسط (HI-MEDIA. 1998) Motility Sulphide Medium وسط (HI-MEDIA. 1998) Brilliant Green Agar with Phosphates وسط (Sancho Valls,J. et al. 1999) MacConkey Agar وسط (HI-MEDIA. 1998) Endo Agar		
وسط الستراميد أغار (Pseudomonas selective agar) وسط (Sancho Valls,J. et al. 1999) وسط (Sancho Valls,J. et al. 1999)F agar (King B agar) وسط (Sancho Valls,J. et al. 1999) Malachite green broth وسط (HI-MEDIA. 1998) Motility Sulphide Medium وسط (Sancho Valls,J. et al. 1999) MacConkey Agar وسط (HI-MEDIA. 1998) Endo Agar	الرمل الجنوبي	<i>Pseudomonas sp</i>

#### 19.4.2- التفكيك الحيوي للمواد الفعالة سطحياً في أوساط زرعية صناعية سائلة.

##### 1.19.4.2- التفكيك الحيوي لمركبات LASs بتأثير تغيير المصدر النتروجيني.

أجري الزرع في وسط سائل يحتوي غراماً واحداً من فوسفات أحادية البوتاسيوم  $\text{KH}_2\text{PO}_4$  وغراماً واحداً من فوسفات ثنائية البوتاسيوم  $\text{K}_2\text{HPO}_4$ ، وغراماً واحداً من LASs التي تعدّ المصدر الكربوني الوحيد في هذا الوسط، إضافة إلى غرام واحد من أحد المصادر النتروجينية الآتية ( $\text{NaNO}_2$ ،  $\text{NaNO}_3$ ،  $\text{KNO}_3$ )،  $\text{NH}_4\text{Cl}$ ، يوريا) كلاً على حدة في اللتر، اختير ملحان للنترات نظراً إلى توافرها في مياه الصرف، ولاحقاً وزع الوسط على ثماني أرلينات تحتوي كل منها 100 مل، وزرع 8 مزارع جرثومية معزولة بواقع ثلاثة مكررات، ووضعت الأرلينات في حاضنة هزازة مدة 72 ساعة في درجة حرارة 35 مئوية، إضافة إلى أرلينة تحتوي 100 مل من الوسط أضيف إليها العزلات جميعها معاً، وأرلينة أخرى تحتوي 100 مل من الوسط دون إضافة أي كائن تعدّ شاهداً في كل حالة بمفردها، وقيس تركيز الكبريتات بعد نهاية التجربة، ثم حسب تغيير تركيز المادة الفعالة بالطريقة غير المباشرة من تغيير تركيز الكبريتات في الوسط.

##### 2.19.4.2- التفكيك الحيوي C12-LASs في وسط صناعي في ظروف الحدود الدنيا والعظمى لمؤشرات

##### مياه الصرف الصحي باللائقية.

اختيرت بعض القيم الدنيا والعظمى التي قيست في أثناء التحاليل لمياه الصرف الصحي في موقعي الدراسة (أفاميا والرمل الجنوبي)، وحضّر منها وسطان: الأول يحتوي القيم الدنيا، وآخر القيم العظمى مع إضافة مادة فعالة سطحياً (C12-LASs) بتركيزين 400 - 500 ملغ/لتر لكل واحد بمفرده، كما هو موضح في الجدول 23، ووزع الوسط على 10 أرلينات تحتوي كل منها 100 مل، وبعد التعقيم زرعت 8 مزارع جرثومية معزولة ومنتقة كلاً على حدة مع إضافة واحد بصفته شاهداً وواحداً آخر يضم المزارع الثماني معاً، ووضعت الأرلينات في حاضنة هزازة مدة 72 ساعة في درجة الحرارة 35 مئوية وبواقع ثلاثة

مكررات، في نهاية التجربة استخلص C12-LASs من الأوساط المستعملة في هذه التجربة، وقيست التغيرات التي طرأت على تلك القيم.

الجدول رقم 23. القيم الدنيا والعظمى لمؤشرات مياه الصرف الصحي.

البارامتر	القيمة الدنيا	القيمة العظمى	الواحدة
درجة الحموضة	6	7	
كمية الأكسجين المنحل	أجري تحديد القيمة بعد تحضير الوسط		ملغ/ل
شوارد الكالسيوم	10	16	ملغ/ل
النترات	350	400	ملغ/ل
النترت	0.2	0.4	ملغ/ل
الكبريتات	50	100	ملغ/ل
الأمونيوم	100	120	ملغ/ل
C12-LASs	400	500	ملغ/ل

#### 3.19.4.2- التفكيك الحيوي لسلفات دوديسيل الصوديوم في وسط صناعي سائل من قبل مزارع

الجرثومية المعزولة في ظروف مختلفة (تراكيز - درجات الحرارة - درجات الحموضة)

أجري تحضير البادئ من الجراثيم المختارة على وسط مغذ سائل، وحضنت في درجة حرارة 30°C مدة 48 ساعة، ثم أضيف 2 مل من البادئ منها ويتضمن نحو 10<sup>6</sup> خلية إلى وسط سائل يحتوي اللتر منه على غرام واحد من NaNO<sub>3</sub> وغرام واحد من KH<sub>2</sub>PO<sub>4</sub> وغرام واحد من K<sub>2</sub>HPO<sub>4</sub>، بالإضافة إلى تراكيز مختلفة (100 - 200 - 300 - 400 - 500 - 600 - 700 - 800 - 900 - 1000) ملغ/ل من SDSs في الحالة الأولى، أما الحالة الثانية فقد أضيف فقط تركيزين من SDSs (500 و 1000) ملغ/ل وقد اختير تركيز 500 ملغ/ل نظراً إلى أن تركيز المواد الفعالة سطحياً في مياه الصرف الصحي باللائقية تراوح بين 470 - 510 ملغ/ل، أما تركيز 1000 ملغ/ل فقد اختير لتقدير مدى تأثير درجات الحرارة المختلفة عليه في حال تأثر التفكيك مع تغييرها وذلك في درجات الحرارة المختلفة (15، 25، 35)°C، وكانت pH الوسط 7 في كلا الحالتين، أما الحالة الأخيرة فكانت بوجود تركيزين من SDSs (500 و 1000) ملغ/ل ولكن بدرجات حموضة مختلفة (5 - 6 - 7 - 8)، وكانت درجة حرارة في الحالة الثانية والثالثة 25°C، ووزع الوسط على ثماني أرلينات يحتوي كل منها 100 مل لكل تركيز، وزرعت 8 مزارع جرثومية من مياه الصرف باللائقية مع إضافة واحد بصفته شاهداً، ووضعت الأرلينات في حاضنة هزازة مدة 72 ساعة، وأجريت التجارب بواقع ثلاثة مكررات، وقيس تركيز الكبريتات بعد نهاية التجربة باستعمال المطيافية الضوئية، ثم حسب تغير تركيز المادة الفعالة بالطريقة غير المباشرة من تغير تركيز الكبريتات في الوسط.

#### 4.19.4.2- التفكيك الحيوي لمركبات LASs في وسط يحتويها كمصدر وحيد للكربون والكبريت خلال

أشهر مختلفة.

أجري الاختبار على ثلاث مراحل في العام 2008: **المرحلة الأولى** في شهر كانون الثاني، وكانت درجات الحرارة منخفضة ليلاً ونهاراً وبلغ متوسط درجات الحرارة  $8^{\circ}\text{C}$ ، **والمرحلة الثانية** في شهر آذار وكانت درجات الحرارة أعلى من معدلاتها السنوية وبلغ متوسط الحرارة  $(20 - 25)^{\circ}\text{C}$ ، **والمرحلة الثالثة** في شهر حزيران وقد بلغ متوسط درجات الحرارة بين  $(25 - 30)^{\circ}\text{C}$ .

زرعت السلالات بعد تنميتها في وسط مغذٍ في لتر واحد من وسط سائل، يحتوي غراماً واحداً من  $\text{NaNO}_3$  وغراماً واحداً من  $\text{KH}_2\text{PO}_4$  وغراماً واحداً من  $\text{K}_2\text{HPO}_4$  وغراماً واحداً من LASs، التي تعدّ المصدر الكربوني والكبريتي الوحيد في هذا الوسط، وحددت pH عند القيمة 7، وأضيف 1 مل من البادئ منها الذي يحتوي نحو  $10^6$  خلية تقريباً بعد أن حضنت في درجة حرارة مناسبة مدة 48 ساعة، ولاحقاً وزع الوسط على تسع أرلينات يحتوي كل منها 100 مل وزرعت ثماني سلالات جرثومية من مياه الصرف باللاذقية مع إبقاء الأخيرة شاهداً، ووضعت الأرلينات على الهزازة من دون حاضنة مدة 72 ساعة في درجة حرارة الغرفة في المراحل الثلاث بواقع ثلاث مكررات، وقيس تركيز الكبريتات بعد نهاية التجربة كمؤشر على تفكيك SDSs باستعمال جهاز المطيافية الضوئية.

#### 5.19.4.2- التفكيك الحيوي SDSs في وسط صناعي سائل بتأثير الجراثيم المنتقاة مجتمعة.

زرعت السلالات المختارة (بعد تنميتها في وسط مغذٍ)، بعد أن حضنت في درجة حرارة مناسبة مدة 48 ساعة وأضيف 1 مل من البادئ من كل سلالة الذي يحتوي تقريباً  $10^6$  خلية إلى لتر واحد من وسط سائل يحتوي غراماً واحداً من  $\text{NaNO}_3$  وغراماً واحداً من  $\text{K}_2\text{HPO}_4$  وغراماً واحداً من  $\text{KH}_2\text{PO}_4$  و SDSs بتركيز 500 و 1000 مل/ل، ويعدّ المصدر الكربوني والكبريتي الوحيد مع إضافة واحد بصفته شاهداً، وكانت قيمة pH الوسط عند 7، ووضعت الأرلينات في حاضنة هزازة مدة أسبوع في درجة حرارة  $25^{\circ}\text{C}$  وقيس تركيز الكبريتات بعد نهاية التجربة بصفته مؤشراً على تفكيك SDS باستعمال جهاز المطيافية الضوئية. وأجري قياسان الأول بعد ثلاثة أيام، والثاني في نهاية التجربة في اليوم السابع (ثلاث مكررات)، ثم حسب تغيير تركيز المادة الفعّالة بالطريقة غير المباشرة من تغيير تركيز الكبريتات في الوسط.

#### 6.19.4.2- التفكيك الحيوي للمواد الفعّالة سطحياً في بعض أنواع المنظفات في وسط صناعي سائل

بتأثير الجراثيم المنتقاة.

أجري زرع السلالات الجرثومية المنتقاة بعد تنميتها على وسط مغذٍ وحضنت في درجة حرارة  $30^{\circ}\text{C}$  مدة 48 ساعة وأضيف 1 مل من البادئ، يحتوي نحو  $10^6$  خلية، إلى وسط سائل يحتوي 1 غ/لتر من أحد المنظفات (مدار، نايس، سوبر توبر، برسيل، برنس، أريان، الأفراح) وجميعها مساحيق غسيل تستعمل في الغسالات الآلية، وزرعت الجراثيم مجتمعة بواقع ثلاث مكررات، مع إضافة واحد بصفته شاهداً ووضعت الأرلينات في حاضنة هزازة مدة أسبوع في درجة الحرارة  $30^{\circ}\text{C}$ ، وكانت pH الوسط 7 تقريباً، وأجري قياسان لتركيز الكبريتات الأول بعد ثلاثة أيام، والثاني في نهاية التجربة في اليوم السابع، ثم حسب تغيير تركيز المادة الفعّالة بالطريقة غير المباشرة من تغيير تركيز الكبريتات في الوسط، وأمكن تحديد نسبة

كبريتات الصوديوم الموجودة في المنظف لتقدير تركيز الكبريتات في الوسط قبل بدء التجربة، والجدول 24 يوضح النسب المئوية لكبريتات الصوديوم في بعض مساحيق الغسيل المستعملة في سورية.

الجدول 24. النسب المئوية لكبريتات الصوديوم في بعض مساحيق الغسيل المستعملة في سورية خلال عام ٢٠١٠.

المنظف	كبريتات الصوديوم في مسحوق الغسيل %
مدار	25
سوبر توبر	25
برنس	8
برسيل	6
أريان	0
الأفراح	25
نايس	20

#### 7.19.4.2- التفكيك الحيوي لمركبات C12-LASs في وسط صناعي سائل.

زرعت الأنواع المعزولة والمنتقاة بعد تنميتها في وسط مغذٍّ وحضنت في درجة 30°C، مدة 48 ساعة، ثم أضيف 1 مل من البادئ يحتوي على 10<sup>6</sup> خلية تقريباً إلى لتر واحد من وسط سائل يحتوي 0.3 غ/لتر من C12-LASs، 1 غ/لتر NaNO<sub>3</sub>، 1 غ/لتر K<sub>2</sub>HPO<sub>4</sub>، 1 غ/لتر KH<sub>2</sub>PO<sub>4</sub>، ووزع لاحقاً الوسط على 10 أرلينات يحتوي كل منها 100 مل وزرعت 8 مزارع جرثومية معزولة من مياه الصرف باللاذقية كلاً على حدة، مع إضافة واحد بصفته شاهداً وواحد آخر يضم المزارع الثماني معاً بواقع ثلاثة مكررات، ووضعت الأرلينات في حاضنة هزازة مدة 72 ساعة في درجة 35°C، وحددت درجة الحموضة pH=7، وفي نهاية التجربة استخلص C12-LASs من الأوساط المستعملة، وطبق عليها مراحل مختلفة للقياس على جهاز الكروماتوغرافيا السائلة لتقدير نسبة تفكيك C12-LASs حيويًا من قبل السلالات الجرثومية المستعملة.

#### 8.19.4.2- التفكيك الحيوي C12-LASs بتأثير الجراثيم المنتقاة في وسط طبيعي من مياه الصرف.

أجري الزرع بتوزيع وسط طبيعي من مياه الصرف على ثماني أرلينات يحتوي كل منها 100 مل، ثم زرعت 8 مزارع جرثومية كلاً على حدة، مع إضافة واحد بصفته شاهداً ووضعت الأرلينات في حاضنة هزازة مدة 72 ساعة في درجات حرارة مختلفة (15 - 25 - 35)°C بواقع ثلاثة مكررات، وفي نهاية التجربة استخلصت C12-LASs الموجودة في مياه الصرف المستعملة لقياس تركيزها باستعمال جهاز الكروماتوغرافيا السائلة، وذلك في حالتي العينة (معقمة بالحرارة، وغير معقمة) من موقعي الاعتيان (أفاميا والرمل الجنوبي).

#### 9.19.4.2- الدراسة الوراثية الجزيئية لإحدى الجراثيم المنتقاة والمفككة للمواد الفعالة سطحياً

عُزل كامل المادة الوراثية من جراثيم *Pseudomonas aeruginosa* بالطريقة التقليدية، التي تعتمد على تحطيم الخلايا الجرثومية بالصدمة الحرارية، ثم تنقية المادة الوراثية باستعمال أعمدة تنقية من شركة Qiagen.

واستعملت البادئات (Primers) بإجراء تضخيم جزء من المورثة المسؤولة عن إنتاج Sulphoxidase بحجم قدره ١٨٠ قاعدة نيتروجينية كما هو مبين بالشكل 194، واستعملت البادئات الخاصة بالمورثة 16S rRNA شاهداً على مدى كفاءة تفاعل Polymerase Chain Reaction (PCR) و خصوصيته.

أجري تفاعل PCR باستعمال جهاز التضخيم من ماركة إندورف الألمانية ضمن الشروط الآتية:

- ١- تهيئة أولية للمادة الوراثية بدرجة حرارة ٩٤ مئوية مدة ٤ دقائق.
- ٢- تهيئة مرحلية للمادة الوراثية بدرجة حرارة ٩٤ مئوية مدة دقيقة واحدة، يسخن DNA حتى تتفصل السلسلتان.
- ٣- تثبيت بادئات المادة الوراثية بدرجة حرارة ٦٠ مئوية مدة ٣٠ ثانية.
- ٤- إكمال نسخ المادة الوراثية بدرجة حرارة ٧٢ مئوية مدة ٣٠ ثانية.
- ٥- إكمال النسخ النهائي لجزء المورثة المسؤولة بدرجة حرارة ٧٢ مئوية مدة ١٠ دقائق.
- ٦- كان تكرار المراحل ٢ - ٤ بمقدار ٣٥ مرة.

#### 10.19.4.2- الدراسة الاحصائية:

استعملت العلاقات الاحصائية المختلفة الممثلة بعلاقات الارتباط بين نسبة التفكيك وتغيرات التراكيز، وتغيرات درجة الحرارة، وذلك بوجود الجراثيم المستعملة في أوساط صناعية وأخرى طبيعية، وإيجاد أقرب علاقة يمكن المقارنة بها ومعامل الارتباط، إضافة إلى ذلك استعمل برنامج Statistical Package for Social Sciences (SPSS) (بشير، 2003 ; أبو علام، 2003 ; Zar, 1999).

# الفصل الثالث

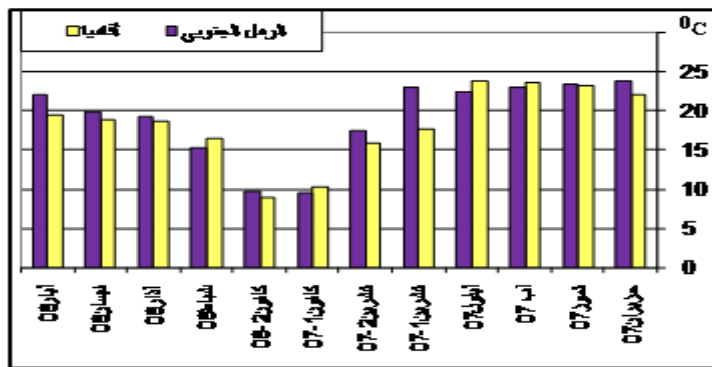
## النتائج والمناقشة

### 1.3- الصفات الفيزيائية والكيميائية والحيوية لمياه الصرف.

كانت نتائج بعض التحاليل الفيزيائية والكيميائية لمياه الصرف لمدينة اللاذقية كما يلي:

#### 1.1.3- درجة الحرارة Temperature

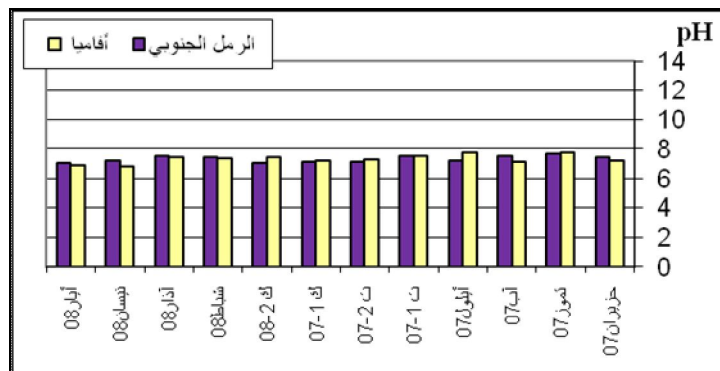
تراوحت درجات الحرارة في موقع مصب الصرف الصحي في أفاميا بين  $8.99^{\circ}\text{C}$  -  $25.9^{\circ}\text{C}$ ، وبلغت قيمتها الدنيا في شهر كانون الثاني (2008) وقيمتها العظمى في شهر أيلول (2007)، وكان متوسط درجات الحرارة  $18.4^{\circ}\text{C}$ ، أما درجات الحرارة في موقع مصب الصرف الصحي في الرمل الجنوبي فكانت بين  $9.6^{\circ}\text{C}$  -  $26.6^{\circ}\text{C}$  والقيمة الدنيا لها في شهر كانون الأول (2007)، والقيمة العظمى في شهر حزيران (2007) ومتوسطها  $19.3^{\circ}\text{C}$  كما هو موضح في الشكل 27، ويعود تغير درجات الحرارة إلى الظروف المناخية.



الشكل 27. متوسط تغيّرات قيم درجات الحرارة في موقعي الاعتيان باللاذقية خلال الفترة من حزيران 2007 إلى أيار 2008.

#### 2.1.3- درجات الحموضة pH

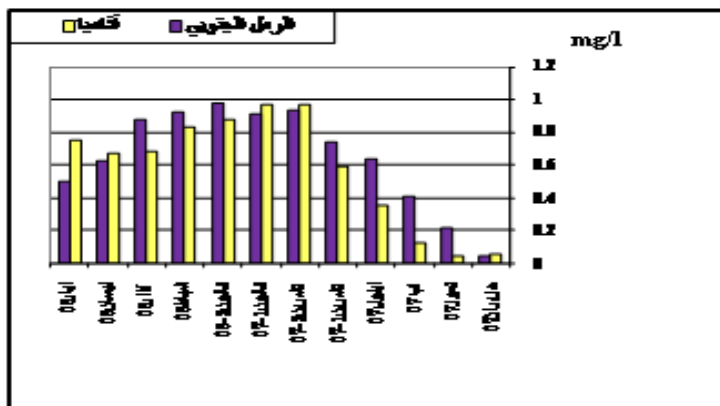
تراوحت درجات الحموضة في موقع أفاميا بين  $6.81$  -  $7.78$  وبلغت قيمتها الدنيا في شهر نيسان (2008) وقيمتها العظمى في شهر أيلول (2007)، وكان متوسط درجات الحموضة  $7.31$ ، بينما كانت في موقع الرمل الجنوبي بين  $7.02$  -  $7.67$  وكانت القيمة الدنيا لها في شهر كانون الثاني (2008) والقيمة العظمى في شهر تموز (2007) ومتوسطها  $7.32$ ، كما هو موضح في الشكل 28، وتختلف قيم درجات الحموضة وفق اختلاف موقعي الدراسة والفترة الزمنية تبعاً للفصول وللحمولة العضوية للمياه، غالباً ما كانت درجات الحموضة خلال 2007 - 2008 أقل من مثيلاتها خلال الأشهر نفسها خلال 2004 - 2005 (ياسين; جرعاً، 2005).



الشكل 28. متوسط تغيرات درجة الحموضة pH في موقعي الاعتيان باللاذقية خلال الفترة من حزيران 2007 إلى أيار 2008.

### 3.1.3- كمية الأكسجين المنحل Dissolved Oxygen D.O

تتراوح قيم كميات الأكسجين المنحل في موقع أفاميا بين 0.05 - 0.975 ملغ/لتر وكان المتوسط 0.578 ملغ/لتر، وكانت القيمة الدنيا في شهر تموز (2007) والقيمة العظمى في شهر كانون الأول (2007)، وفي موقع الرمل الجنوبي تراوح بين 0.05 - 0.978 ملغ/لتر والمتوسط (0.651) ملغ/لتر، أما القيمة الدنيا فكانت في شهر حزيران (2007) والقيمة العظمى في شهر كانون الثاني (2008)، كما هو موضح بالشكل 29. وتؤدي درجات الحرارة الدور الأهم في التغيرات التي تطرأ على كميات الأكسجين المنحل وتزداد الإنحلالية بانخفاض الحرارة، بسبب عدم استهلاكها من قبل الأحياء المفككة بسبب انخفاض درجات الحرارة في الشتاء، وعند مقارنة هذه النتائج مع نتائج مثيلاتها خلال الأشهر نفسها من 2004 - 2005 لوحظ أن النتائج الحالية أقل في أغلب الأشهر (ياسين; جرجا، 2005).



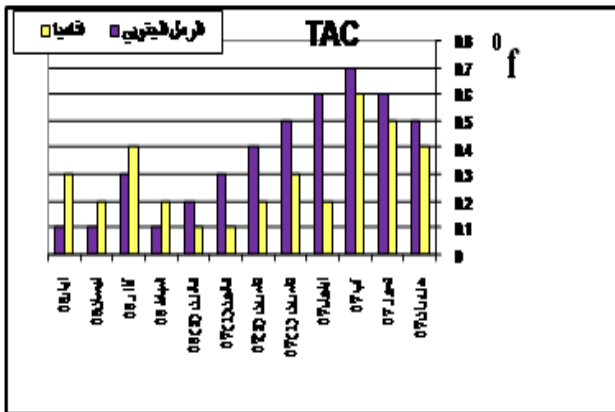
الشكل 29. متوسط تغيرات كمية الأكسجين المنحل في موقعي الاعتيان باللاذقية خلال الفترة من حزيران 2007 إلى أيار 2008.

### 4.1.3- العيار القلوي (T.A) والعيار القلوي الكامل (T.A.C)

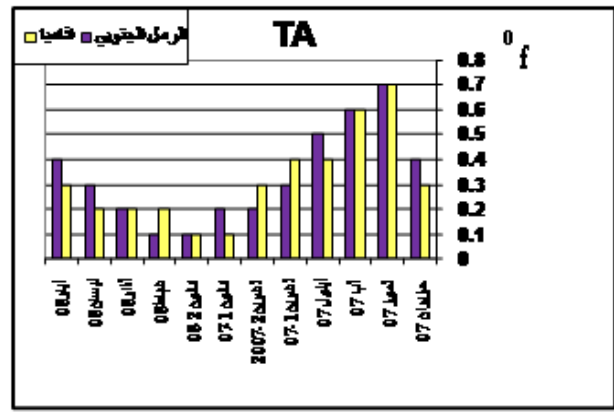
تغيرت قيم العيار القلوي في موقعي الدراسة بين 0.1 - 0.7 °f، وكانت أعلى قيمة للعيار القلوي في موقع أفاميا في شهر تموز (2007)، وأقل قيمة في شهر كانون الأول (2007)، والمتوسط هو 0.31 °f، بينما كانت أعلى قيمة له في موقع الرمل الجنوبي في شهر تموز (2007) وأقل قيمة في شهري كانون الثاني وشباط (2008)، والمتوسط 0.33 °f.



وتتغير قيم العيار القلوي الكامل بتغير كمية المياه في أنبوب الصرف، وتتأثر بكمية الأمطار التي تتغير من تركيز المواد الموجودة في مياه الصرف، وتتنخفض قيمه في أشهر الشتاء، وكانت القيم في ألاميا متراوحة بين  $0.1 - 0.6 f^0$  وأقل قيمة كانت خلال شهري كانون الأول (2007) وكانون الثاني (2008) وأعلى قيمة في شهر آب (2007)، والمتوسط هو  $0.16 f^0$ ، أما في الرمل الجنوبي فتراوحت القيم بين  $0.1 - 0.7 f^0$  وأقل قيمة كانت خلال شهر شباط (2008) وأعلى قيمة في شهر آب (2007)، والمتوسط هو  $0.36 f^0$  ويوضح الشكلان 30 و 31 ذلك، وبمقارنتها مع نتائج 2004 - 2005 يلاحظ إختلافها بإختلاف الأشهر (ياسين؛ جرعا، 2005).



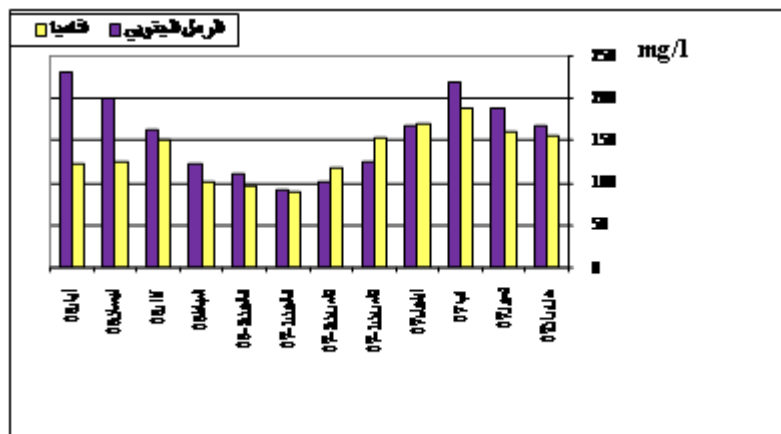
الشكل 31 متوسط تغيرات العيار القلوي الكامل TAC في موقعي الاعتيان باللاذقية خلال الفترة من حزيران 2007 إلى أيار 2008.



الشكل 30. متوسط تغيرات العيار القلوي TA في موقعي الاعتيان باللاذقية خلال الفترة من حزيران 2007 إلى أيار 2008.

### 5.1.3 - الإستهلاك الحيوي للأكسجين (B.O.D) Biochemical Oxygen Demand

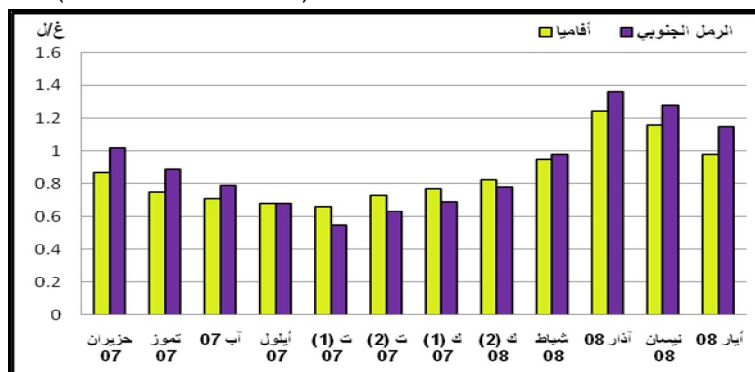
تغيرت قيم BOD في موقعي الدراسة، ولوحظت أدنى القيم في أشهر الشتاء وأعلىها في أشهر الصيف، وتقل كمية المياه وتزداد كمية المواد العضوية القابلة للتفكيك مع ارتفاع درجات الحرارة، وقد تراوحت تلك القيم في موقع ألاميا بين  $89.35 - 188.61$  ملغ/لتر لشهري كانون الأول وآب (2007) على التوالي وكان المتوسط  $123.18$  ملغ/لتر. أما في الرمل الجنوبي فتراوحت القيم بين  $92.45 - 231.54$  ملغ/لتر، وكانت القيمة الأقل في شهر كانون الأول (2007) والقيمة الأعلى في شهر أيار (2008)، وكان المتوسط  $157.41$  ملغ/لتر، كما يوضح الشكل 32، ويلاحظ بالمقارنة مع مثيلاتها خلال الأشهر نفسها من 2004 - 2005 أن القيم الحالية أقل (ياسين؛ جرعا، 2005).



الشكل 32. متوسط تغيّرات BOD في موقعي الاعتيان باللاذقية خلال الفترة من حزيران 2007 إلى أيار 2008. يُلاحظ من الشكل 32 أن كمية المواد العضوية تزداد بدءاً من شهر نيسان لتصل أعلى قيمة في شهر آب، وتتناقص حتى أدنى قيمة في شهر كانون الأول، وبالتالي تبدأ قيم BOD بالانخفاض مع بدء أشهر الشتاء على عكس كمية الأكسجين المنحل لانخفاض نشاط الأحياء الدقيقة.

### 6.1.3- الأكسدة:

تغيّرت كميات الأكسجين المستهلك من قبل المواد العضوية في موقعي الدراسة في أقاميا بين 0.66 - 1.250 غ/لتر ولوحظت القيمة الدنيا في شهر تشرين الأول (2007) والأعلى في شهر آذار (2008)، أما في الرمل الجنوبي فإن القيم تراوحت بين 0.55 - 1.360 غ/لتر، وكانت القيمة الدنيا في شهر تشرين الأول (2007) والقيمة الأعلى في شهر آذار (2008)، كما هو موضح في الشكل 33، وغالباً ما كانت نتائج الفترة الحالية أعلى من مثيلاتها خلال الأشهر نفسها من 2004 - 2005 (ياسين; جوعا، 2005).

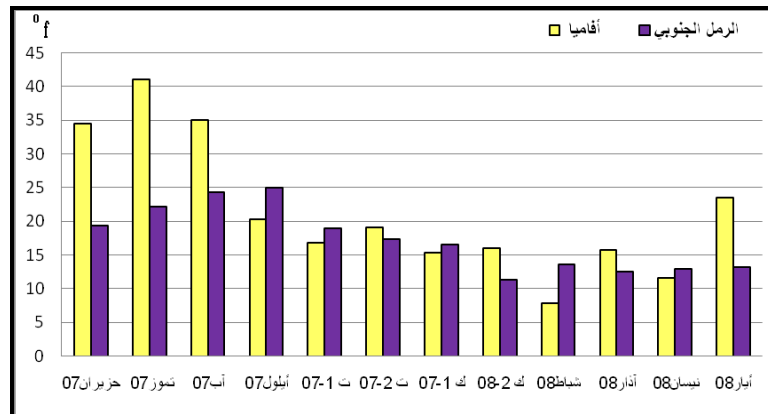


الشكل 33. متوسط تغيّرات الأكسدة في موقعي الاعتيان باللاذقية خلال الفترة من حزيران 2007 إلى أيار 2008.

### 7.1.3- القساوة الكلية.

تراوحت قيم القساوة الكلية في موقع أقاميا بين 7.9 - 41 °f وكانت القيمة الدنيا في شهر شباط (2008)، والعليا في شهر تموز (2007) وكان المتوسط 21.41 °f، وفي موقع الرمل الجنوبي بين 11.4 - 25 °f كانت القيمة الأدنى في شهر كانون ثاني (2008) والعليا في شهر أيلول من عام (2007) وكان المتوسط

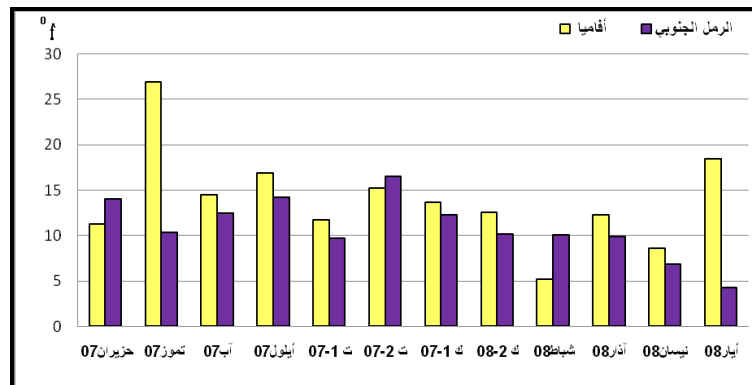
17.26<sup>0</sup>f، كما هو موضح في الشكل 34. يمكن أن تعود الزيادة في قيم القساوة الكلية في أشهر الصيف لانخفاض نسبة الماء الموجود في أنابيب الصرف إلى المخلفات. كانت النتائج متغيرة، حسب الأشهر وموقعي الاعتيان، مقارنة مع مثيلاتها خلال الأشهر نفسها خلال 2004 - 2005 (ياسين; جرعاً، 2005).



الشكل 34. متوسط تغيرات القساوة الكلية في موقعي الاعتيان باللاذقية خلال الفترة من حزيران 2007 إلى أيار 2008.

### 8.1.3 - القساوة الكلسية.

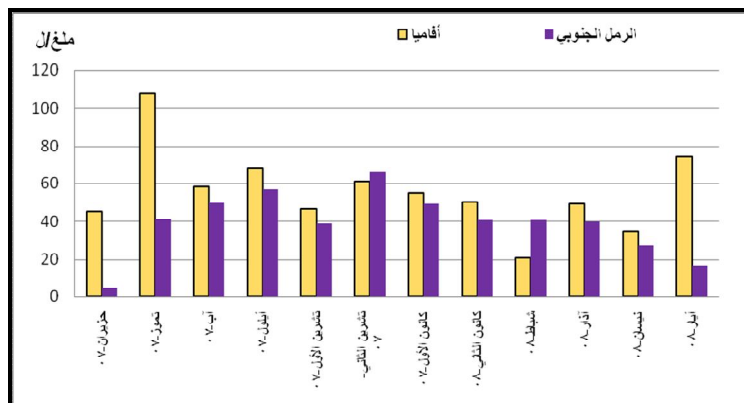
تراوحت قيم القساوة الكلسية في أفاميا بين 5.2 - 27<sup>0</sup>f وكانت القيمة الدنيا في شهر شباط (2007) والعليا في شهر تموز (2007) وكان المتوسط 13.95<sup>0</sup>f، أما في الرمل الجنوبي فكانت بين 4.2 - 16.5<sup>0</sup>f وكانت القيمة الدنيا في شهر أيار (2008) والعليا في شهر تشرين الثاني من العام (2007) وكان المتوسط 10.89<sup>0</sup>f، كما هو موضح في الشكل 35. قد تعود الزيادة في قيم القساوة الكلسية لانخفاض نسبة الماء في مياه الصرف الصحي، وتغيرت النتائج حسب الأشهر وموقعي الاعتيان بمقارنة الفترة نفسها خلال 2004 - 2005 (ياسين; جرعاً، 2005).



الشكل 35. متوسط تغيرات القساوة الكلسية في موقعي الاعتيان باللاذقية خلال الفترة من حزيران 2007 إلى أيار 2008.

### 9.1.3 - شوارد الكلسيوم.

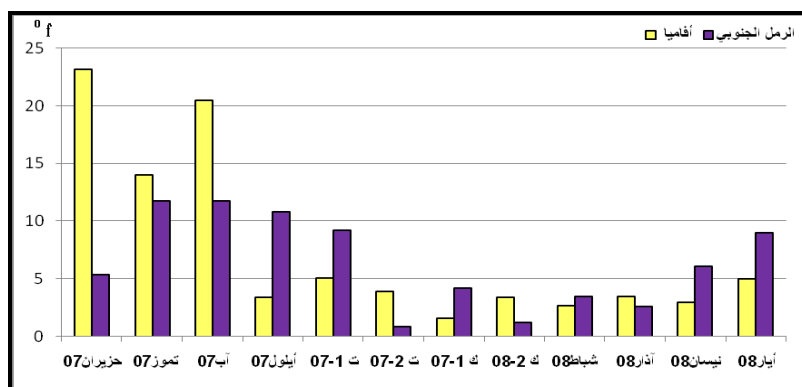
تراوحت قيم شوارد الكلسيوم في أفاميا بين 21 - 108 ملغ/ل، وكانت القيمة الدنيا في شهر شباط (2007) والعليا في شهر تموز (2007) وكان المتوسط 56 ملغ/ل، أما في الرمل الجنوبي فكانت بين 17 - 66 ملغ/ل وكانت القيمة الدنيا في شهر أيار (2008) والعليا في شهر تشرين الثاني من العام (2007) وكان المتوسط 39 ملغ/ل، كما هو موضح في الشكل 36.



الشكل 36. متوسط تغيّرات شوارد الكالسيوم في موقعي الاعتيان باللاذقية خلال الفترة من حزيران 2007 إلى أيار 2008.

10.1.3 - القساوة المغنيزية.

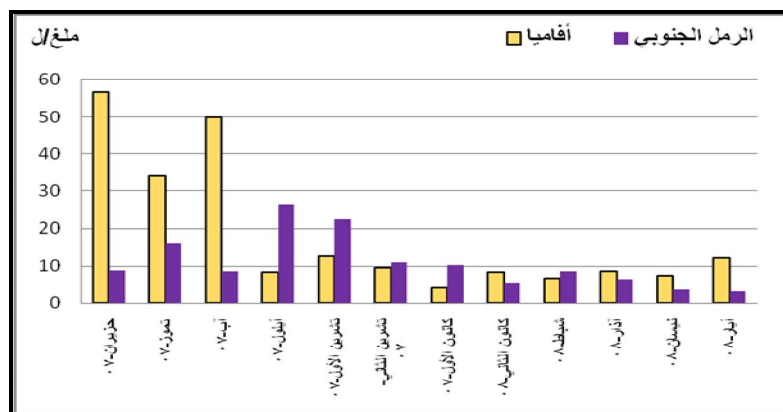
تراوحت قيم القساوة المغنيزية في أفاميا بين  $1.63 - 23.2 f^0$ ، وكانت أقل قيمة في شهر كانون الأول (2007) وأعلى في شهر حزيران (2007) وكان المتوسط  $7.4 f^0$ ، أما في الرمل الجنوبي فتراوحت بين  $0.9 - 11.8 f^0$  ولوحظت أدنى قيمة في شهر تشرين الثاني (2007) وأعلى قيمة في شهري تموز وآب من العام (2007) والمتوسط  $6.3 f^0$ . تتعلق قيم القساوة المغنيزيومية بكمية شوارد المغنيزيوم التي تصل إلى مياه الصرف الصحي بحسب المخلفات الواردة، كما هو موضح في الشكل 37، وكانت النتائج متغيرة حسب الأشهر وموقعي الاعتيان، مقارنة مع مثيلاتها خلال الأشهر نفسها من 2004 - 2005 (ياسين؛ جرعاً، 2005).



الشكل 37. متوسط تغيّرات القساوة المغنيزيومية في موقعي الاعتيان باللاذقية خلال الفترة من حزيران 2007 إلى أيار 2008.

11.1.3 - شوارد المغنيزيوم.

تراوحت قيم شوارد المغنيزيوم في أفاميا بين  $4 - 56$  ملغ/ل، وكانت أقل قيمة في شهر كانون الأول (2007) والأعلى في شهر حزيران (2007) وكان المتوسط  $53.4$  ملغ/ل، أما في الرمل الجنوبي فتراوحت بين  $3 - 26$  ملغ/ل ولوحظت أدنى قيمة في شهر أيار (2008) وأعلى قيمة في شهري أيلول من العام (2007) والمتوسط  $10.8$  ملغ/ل، كما هو موضح في الشكل 38.

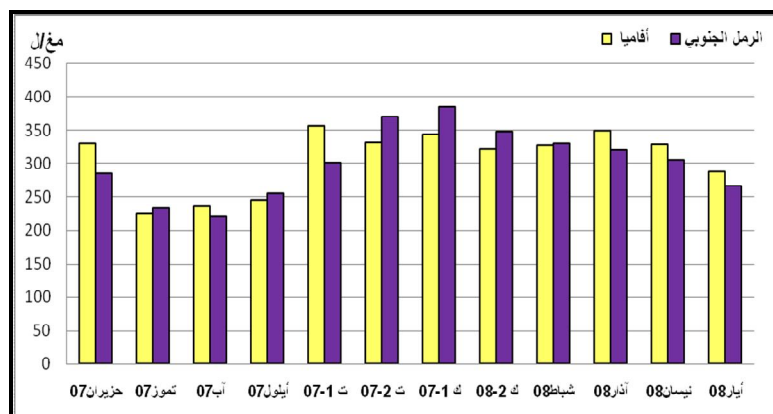


الشكل 38. متوسط تغيّرات شوارد المغنيزيوم في موقعي الاعتيان باللاذقية خلال الفترة من حزيران 2007 إلى أيار 2008.

### 12.1.3- تركيز شوارد النترات $\text{NO}_3^-$ .

ازداد تركيز شوارد النترات في مياه الصرف المستعملة على الحدود المسموح بها، فتراوح في موقع أفاميا بين 225.62 - 356.45 مغ/لتر، وقد بلغت أدنى قيمة في شهر تموز وأعلى قيمة في شهر تشرين الأول من العام (2007) والمتوسط 307.73 مغ/لتر، بينما تراوحت في موقع الرمل الجنوبي بين 221.3 - 385.38 مغ/لتر وكانت أقل قيمة في شهر آب وأعلى قيمة في شهر كانون الأول (2007) والمتوسط 302.24 مغ/لتر، كما هو موضح في الشكل 39، وكانت النتائج غالباً أقل من مثيلاتها خلال الأشهر نفسها خلال 2004 - 2005 حسب موقعي الاعتيان بالمقارنة (ياسين؛ جوعا، 2005).

إن الارتفاع في تركيز هذه الشوارد يأتي من وصول كميات كبيرة منها من مصادر مختلفة في فصل الشتاء (بعد تسميد المزروعات وريّها) إلى مياه الصرف، وتخفض صيفاً لأن الأحياء الدقيقة تستهلكها بسبب وجود إنزيم النترات ريدوكتاز.



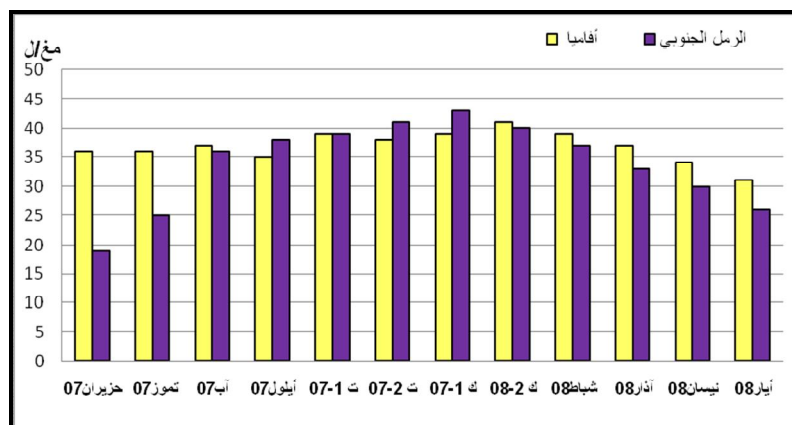
الشكل 39. متوسط تغيّرات شاردة النترات في موقعي الاعتيان باللاذقية خلال الفترة من حزيران 2007 إلى أيار 2008.

### 13.1.3- تركيز شوارد النتريت $\text{NO}_2^-$ .

ازداد تركيز شوارد النتريت عن الحدود المسموح بها في مياه الصرف في موقعي الدراسة، إذ تراوحت القيم في أفاميا بين 31 - 41 مغ/لتر، وقد بلغت أعلى قيمة في شهر كانون الثاني (2008) وأدنى قيمة في شهر أيار (2008)، والمتوسط 36 مغ/لتر، بينما تراوحت قيم النتريت في الرمل الجنوبي بين 19 - 43 مغ/لتر، وكانت أقل قيمة في شهر حزيران (2007)، وأعلى قيمة في شهر كانون الأول (2007) والمتوسط

33 ملغ/لتر، والشكل 40 يوضح تغيّرات تركيز النترت في مياه الصرف المدروسة، وتغيّرت النتائج الحالية حسب الأشهر وموقعي الاعتيان مقارنة مع مثيلاتها خلال الأشهر نفسها من 2004 - 2005 (ياسين; جرعاً، 2005).

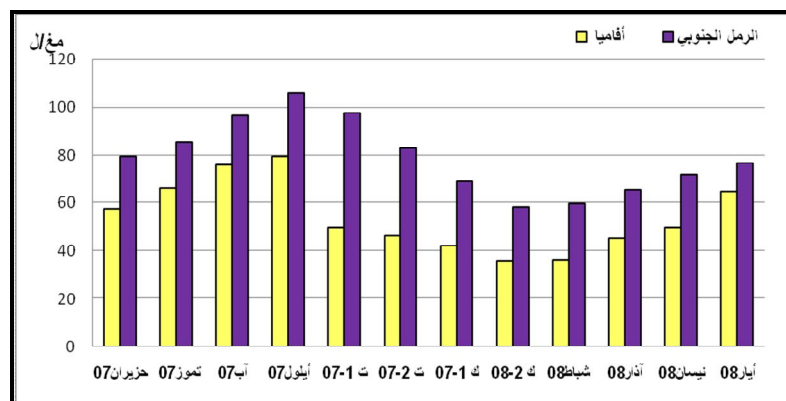
يزداد تركيز شوارد النترت عند انحلالها في مياه الأمطار وعند تفكيك المواد العضوية الموجودة في مياه الصرف بوساطة الأحياء الدقيقة.



الشكل 40. متوسط تغيّرات شاردة النترت في موقعي الاعتيان باللاذقية خلال الفترة من حزيران 2007 إلى أيار 2008.

### 14.1.3- تركيز شوارد الكبريتات $SO_4^{2-}$

تراوح تركيز شوارد الكبريتات في أفاميا بين 35.95 - 79.46 ملغ/لتر وبلغت أعلى قيمة في أيلول (2007) وأدنى قيمة في كانون الثاني (2008) والمتوسط 54.26 ملغ/لتر، بينما كانت قيم الكبريتات في الرمل الجنوبي بين 58.4 - 106.8 ملغ/لتر وكانت أقل قيمة في كانون الثاني (2008) وأعلىها في أيلول (2007) وكان المتوسط 79.27 ملغ/لتر، والشكل 41 يوضح تغيّرات تركيز الكبريتات في مياه الصرف المدروسة، وكانت النتائج غالباً أقل حسب الأشهر وموقعي الاعتيان مقارنة مع مثيلاتها خلال الأشهر نفسها من 2004 - 2005 (ياسين; جرعاً، 2005).

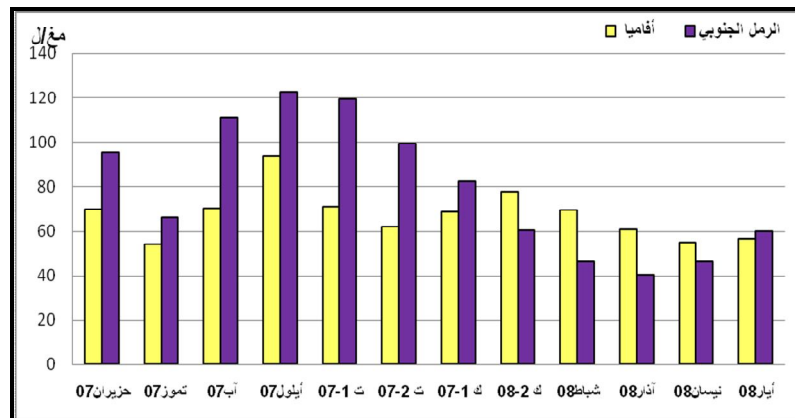


الشكل 41. متوسط تغيّرات شاردة الكبريتات في موقعي الاعتيان باللاذقية خلال الفترة من حزيران 2007 إلى أيار 2008.

تُلاحظ زيادة تركيز الكبريتات في موقعي الدراسة بدءاً من بداية فصل الربيع، لتبلغ أعلى قيمة لها في منتصف فصل الصيف، ثم تبدأ بالانخفاض في نهاية فصل الخريف نتيجة انخفاض نشاط الأحياء الدقيقة في هذه الفترة بتحويل المواد الكبريتية إلى شوارد الكبريتات.

### 15.1.3- تركيز شاردة الأمونيوم $\text{NH}_4^+$ .

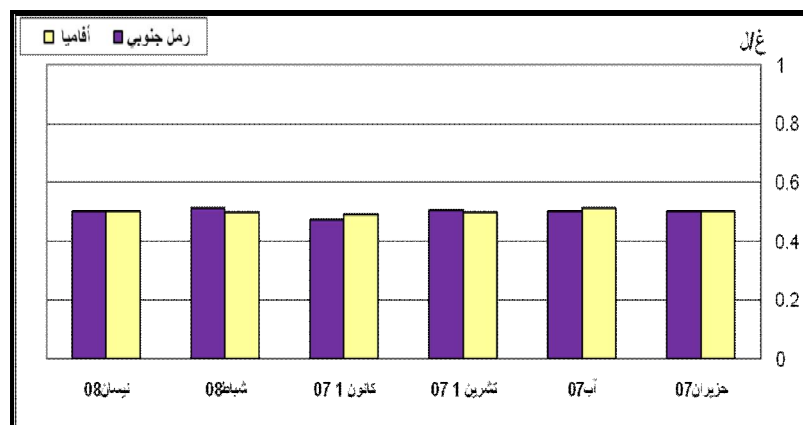
تراوحت قيم شوارد الأمونيوم في مياه الصرف في أكاميا بين 54.3 - 93.73 ملغ/لتر، وبلغت أعلى قيمة في شهر أيلول (2007) وأدنى قيمة في تموز (2007) وكان المتوسط 67.3 ملغ/لتر، بينما تراوحت قيمها في الرمل الجنوبي بين 40.36 - 122.45 ملغ/لتر وكانت أقل قيمة في شهر آذار (2008) وأعلىها في شهر أيلول (2007) والمتوسط 79 ملغ/لتر، كما هو موضح بالشكل 42، وكانت النتائج متغيرة حسب الأشهر وموقعي الاعتيان بالمقارنة مع مثيلاتها خلال الأشهر نفسها من 2004 - 2005 (ياسين; جوعا، 2005)، ويعود ارتفاع تركيز هذه الشوارد صيفاً لزيادة تركيز المخلفات، مقارنة بانخفاض كمية المياه، إضافة لتفكيك المواد العضوية بفعل الأحياء الدقيقة، أما انخفاضها شتاءً فيعود لانخفاض نشاط الأحياء الدقيقة.



الشكل 42. متوسط تغيرات شاردة الأمونيوم في موقعي الاعتيان باللاذقية خلال الفترة من حزيران 2007 إلى أيار 2008.

### 16.1.3- تركيز المواد الفعالة سطحياً.

قيس تغير تركيز المواد الفعالة المدروسة الموجودة في مياه الصرف التي جمعت كل شهرين، بسبب توريد مياه الصرف المستمر مما لا يسمح بملاحظة التفكيك الطبيعي الذي تقوم به الأحياء المختلفة، وكانت أدنى قيمة في موقع أكاميا هي 0.492 غ/ل في شهر كانون الأول (2007) وأعلى قيمة في شهر آب (2007) وهي 0.512 غ/ل، أما في موقع الرمل الجنوبي فكانت أدنى قيمة 0.475 غ/ل في شهر كانون الأول (2007) وأعلى قيمة 0.510 غ/ل في شهر شباط (2008) كما في الشكل 43، ويعود التقارب في قيم المواد الفعالة سطحياً في موقعي الدراسة لوصول نسبة مرتفعة من المنظفات، نتيجة وجود كثافة سكانية عالية في كلا الموقعين، إضافة إلى النشاطات الاجتماعية والاقتصادية المتنوعة.



الشكل 43. متوسط تغيّرات المواد الفعّالة سطحياً في موقعي الاعتيان باللاذقية خلال الفترة من حزيران 2007 إلى أيار 2008. يبيّن الجدولان 25 و 26 أهم التغيّرات التي تطرأ على مياه الصرف في موقعي الدراسة.

الجدول (25) تغيّرات المؤشرات المدروسة في مياه الصرف لموقع أقاميا باللاذقية خلال الفترة من حزيران

الشهر	الحرارة	pH	O <sub>2</sub> المنحل	BOD	الأكسدة	TA	TAC	T H	Ca H	Mg H	البارومتر
											الواحدة
	°C			ملغ/ل		°f					ملغ/ل
حزيران ٢٠٠٧	22	6.88	0.06	155.48	0.87	0.3	0.4	34.5	11.3	23.2	
تموز ٢٠٠٧	23.2	6.91	0.05	161.25	0.75	0.7	0.5	41.0	27.0	14	
آب ٢٠٠٧	23.6	6.95	0.12	188.61	0.71	0.6	0.6	35.0	14.5	20.5	
أيلول ٢٠٠٧	25.9	7.78	0.35	169.30	0.68	0.4	0.2	20.3	16.9	3.4	
تشرين ١- ٢٠٠٧	17.6	7.57	0.596	153.46	0.66	0.4	0.3	16.83	11.7	5.1	
تشرين ٢- ٢٠٠٧	15.9	7.23	0.968	117.41	0.73	0.3	0.2	16.1	15.2	3.9	
كانون ١- ٢٠٠٧	10.28	7.18	0.975	89.35	0.77	0.1	0.1	15.33	13.7	1.63	
كانون ٢- ٢٠٠٨	8.99	7.15	0.876	97.58	0.82	0.1	0.1	16.04	12.6	3.4	
شباط ٢٠٠٨	16.5	7.11	0.836	102.39	0.95	0.2	0.2	7.90	5.2	2.7	
آذار ٢٠٠٨	18.6	7.02	0.685	151.98	1.25	0.2	0.4	15.82	12.3	3.5	
نيسان ٢٠٠٨	18.9	6.81	0.669	123.88	1.16	0.2	0.2	11.60	8.6	3	
أيار ٢٠٠٨	19.4	6.86	0.754	123	0.98	0.3	0.3	23.50	18.5	5	



الجدول (26) تغيّرات المؤشرات المدروسة في موقع الرمل الجنوبي باللاذقية خلال الفترة من

الشهر									المؤشر
الحرارة	pH	O <sub>2</sub> المنحل	BOD	الأكسدة	TA	TAC	T H	Ca H	الوحدة
°C		ملغ/ل			'f				
٢٠٠٧ حزيران	26.6	0.05	167.5	1.02	0.4	0.5	19.4	14	
٢٠٠٧ تموز	23.5	0.22	187.6	0.89	0.7	0.6	22.1	10.3	
٢٠٠٧ آب	23	0.411	220.45	0.79	0.6	0.7	24.3	12.5	
٢٠٠٧ أيلول	22.5	0.635	167.3	0.68	0.5	0.6	25	14.2	
تشرين ١- ٢٠٠٧	23	0.745	125.47	0.55	0.3	0.5	18.9	9.7	
تشرين ٢- ٢٠٠٧	17.4	0.932	100.39	0.63	0.2	0.4	17.4	16.5	
كانون ١- ٢٠٠٧	9.6	0.911	92.45	0.69	0.2	0.3	16.5	12.3	
كانون ٢- ٢٠٠٨	9.8	0.978	110.8	0.78	0.1	0.2	11.4	10.2	
شباط ٢٠٠٨	15.2	0.929	122.34	0.98	0.1	0.1	13.6	10.1	
آذار ٢٠٠٨	19.2	0.882	163.83	1.36	0.2	0.3	12.5	9.9	
نيسان ٢٠٠٨	19.8	0.625	199.33	1.28	0.3	0.1	12.9	6.8	
أيار ٢٠٠٨	22	0.501	231.54	1.15	0.4	0.1	13.2	4.2	

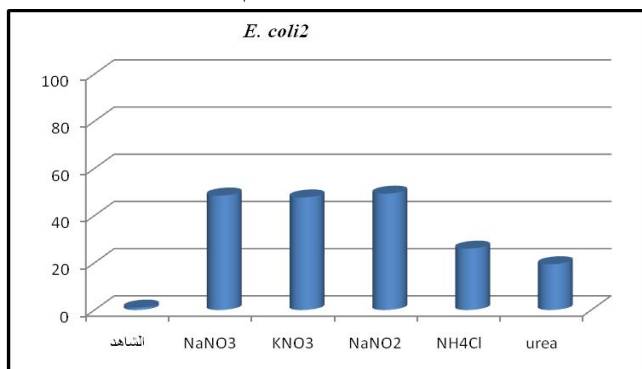
Surfactants	NH <sub>4</sub> <sup>+</sup>	SO <sub>4</sub> <sup>-٢</sup>	NO <sub>2</sub> <sup>-</sup>	NO <sub>3</sub> <sup>-</sup>
0.502	69.55	57.64	36	331.25
	54.30	66.47	36	225.62
0.512	69.80	75.89	37	236.12
	93.73	79.46	35	246.23
0.496	71.00	50.21	39	356.45
	62.03	46.58	38	332.64
0.492	68.45	42.13	39	345.17
	77.65	35.95	41	322.41
0.496	69.24	36.47	39	328.49
	60.67	45.31	37	350.48
0.500	54.82	50.17	34	329.47
	56.37	64.85	31	288.46

	Mg H	مليغرام	5.4	11.8	11.8	10.8	9.2	0.9	4.2	1.2	3.5	2.6	6.1	9
	NO <sub>3</sub> <sup>-</sup>		285.46	233.5	221.3	255.39	301.98	370.67	385.38	348.99	331.27	321.51	305.69	265.81
	NO <sub>2</sub> <sup>-</sup>		19	25	36	38	39	41	43	40	37	33	30	26
	SO <sub>4</sub> <sup>-2</sup>		79.46	85.69	96.7	106.4	97.5	83.4	69.3	58.4	59.8	65.7	71.9	76.7
	NH <sub>4</sub> <sup>+</sup>		95.33	65.78	110.65	122.45	119.37	99.47	82.34	60.41	45.91	40.36	46.15	59.78
	Surfactants		0.500		0.502		0.504		0.475		0.510		0.502	

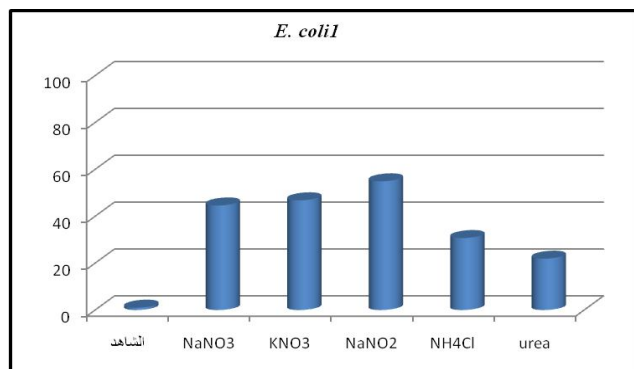
### 2.3- نتائج التفكيك الحيوي للمواد الفعالة سطحياً في أوساط زرعية صناعية سائلة.

#### 1.2.3- نتائج التفكيك الحيوي لمركبات LASs بتأثير تغيير المصدر النتروجيني.

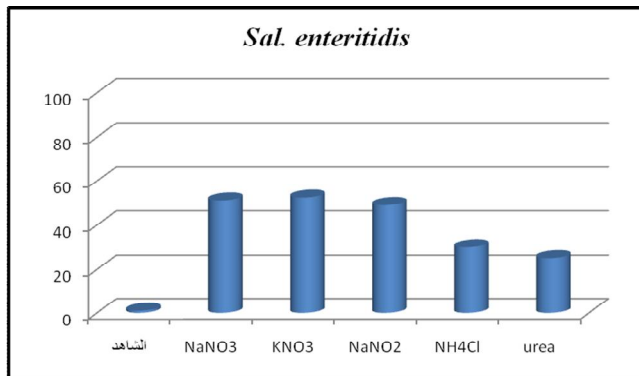
يلاحظ في الأشكال من 44- 52 أن جميع السلالات، بشكل منفصل ومجموعة معاً، فككت LASs مع تغيير المصدر النتروجيني بنسب متفاوتة، مفضلةً في الغالب أملاح النترات على باقي الأملاح النتروجينية، والأحياء المستعملة في الأشكال 44 - 47 أن كانت ضعيفة التفكيك لمركبات LASs بوجود كلور الأمونيوم واليوريا مقارنة بما هو ملاحظ بالأشكال 48- 51 وأفضل السلالات تفكيكاً بشكل عام *Pseudomonas.sp* بنسبة وصلت إلى 85.5%، تلتها *Sta. epidermidis* بنسبة 80.5% بوجود نترات الصوديوم.



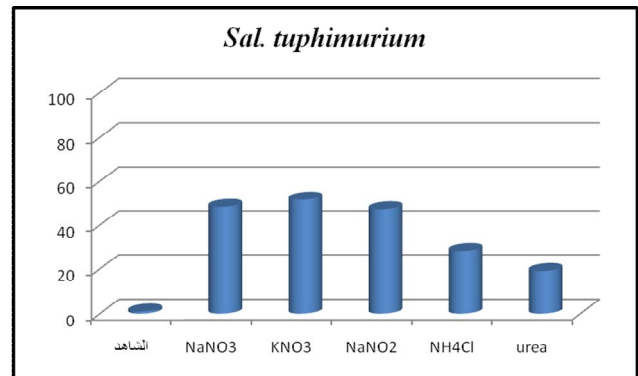
الشكل 45. متوسط النسبة المئوية لتفكيك LASs باستعمال *E. coli* 2 بتأثير تغيير المصدر النتروجيني في الوسط.



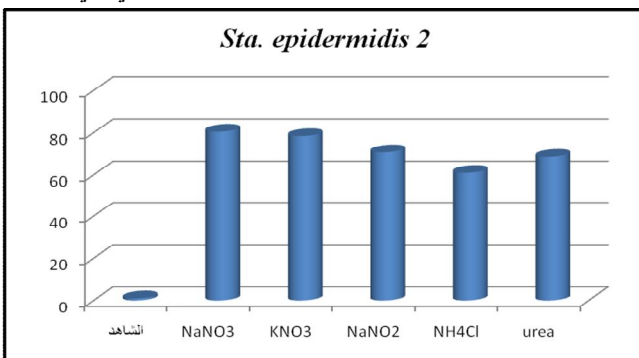
الشكل 44. متوسط النسبة المئوية لتفكيك LASs باستعمال *E. coli* 1 بتأثير تغيير المصدر النتروجيني في الوسط.



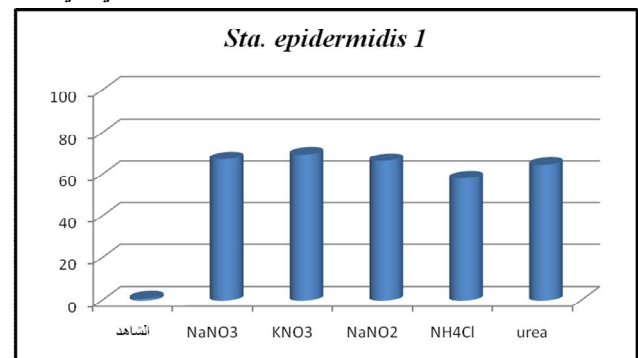
الشكل 47. متوسط النسبة المئوية لتفكيك LASs باستعمال *Sal. enteritidis* بتأثير تغيّر المصدر النتروجيني في الوسط.



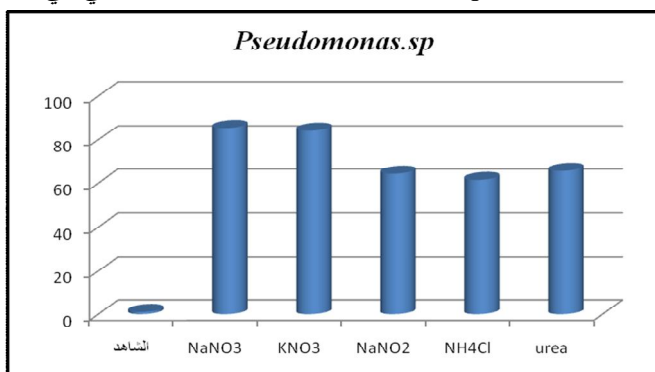
الشكل 46. متوسط النسبة المئوية لتفكيك LASs باستعمال *Sal. taphimurium* بتأثير تغيّر المصدر النتروجيني في الوسط.



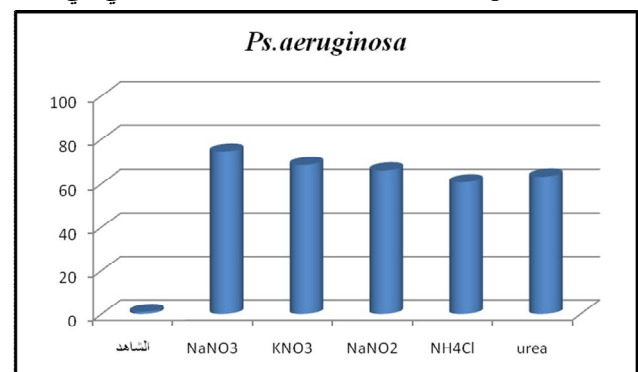
الشكل 49. متوسط النسبة المئوية لتفكيك LASs باستعمال *Sta. epidermidis 2* بتأثير تغيّر المصدر النتروجيني في الوسط.



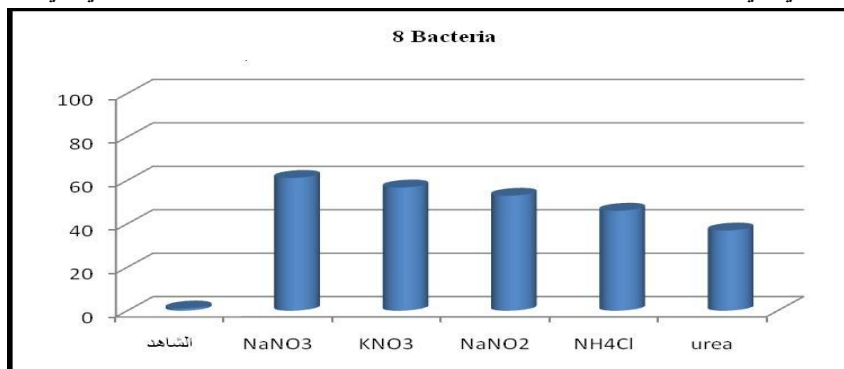
الشكل 48. متوسط النسبة المئوية لتفكيك LASs باستعمال *Sta. epidermidis 1* بتأثير تغيّر المصدر النتروجيني في الوسط.



الشكل 51. متوسط النسبة المئوية لتفكيك LASs باستعمال *Pseudomonas.sp* بتأثير تغيّر المصدر النتروجيني في الوسط.



الشكل 50. متوسط النسبة المئوية لتفكيك LASs باستعمال *Ps.aeruginosa* بتأثير تغيّر المصدر النتروجيني في الوسط.



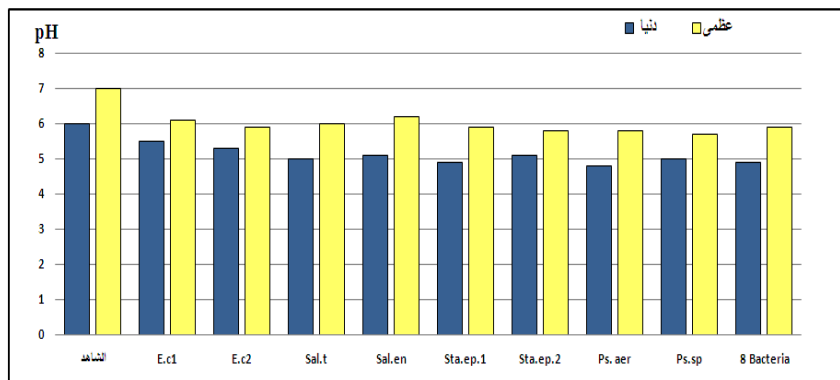
الشكل 52. متوسط النسبة المئوية لتفكيك LASs باستعمال جميع السلالات المنتقاة مع بعضها

بتأثير تغير المصدر النتروجيني في الوسط.

### 2.2.3- نتائج التفكيك الحيوي LASs في وسط صناعي يحتوي قيم الحدود الدنيا والعظمى لمؤشرات مياه

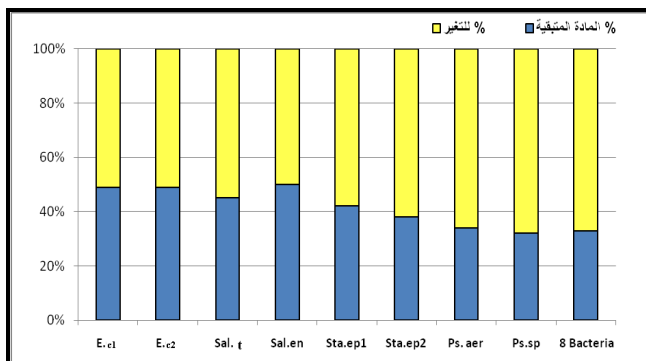
الصرف الصحي باللاذقية.

يُلاحظ في الشكل 53 انخفاض قيم درجة الحموضة في كلا وسطي الدراسة، بسبب زيادة تركيز الشوارد السالبة أثناء عملية التفكيك الناتجة عن ازدياد شوارد الكبريتات في الوسط، ولوحظت انخفاض درجة الحموضة بوجود *Pseudomonas sp* وبلغت 5.7.



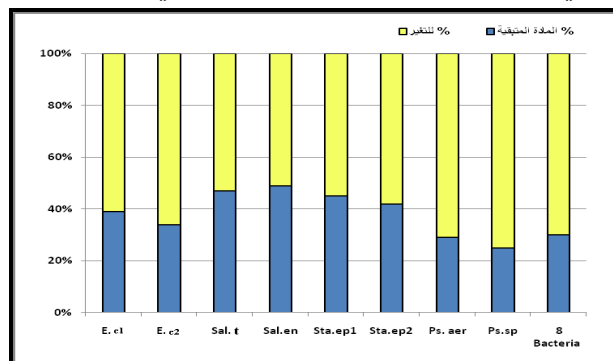
الشكل 53. متوسط تغيرات قيم pH في الوسط الحاوي القيم الدنيا والقيم العظمى.

الشكلان 54 و 55 فيُلاحظ فيهما انخفاض تركيز الأكسجين المنحل بشكل كبير، بسبب نشاط الجراثيم المستعملة، ووصلت نسبة انخفاضه في الوسط حتى 75% في الوسط الأول (القيم الدنيا) و68% في الوسط الثاني، وذلك عند *Pseudomonas sp* في الحالتين.



الشكل 55. متوسط النسبة المئوية لتغيرات الأكسجين المنحل

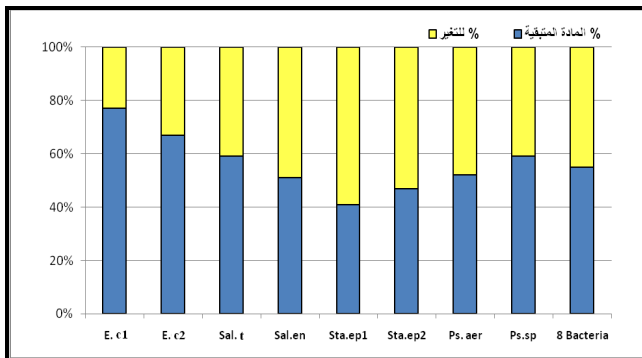
في الوسط الحاوي القيم العظمى.



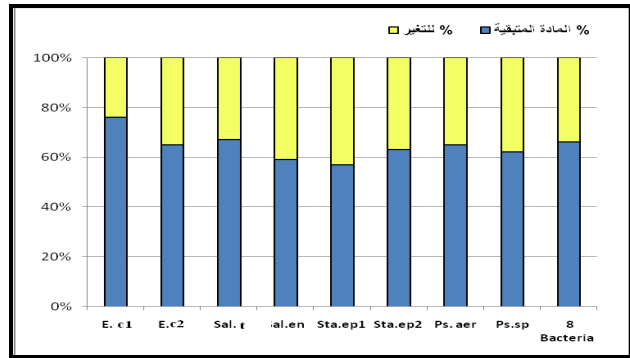
الشكل 54. متوسط النسبة المئوية لتغيرات الأكسجين

المنحل في الوسط الحاوي القيم الدنيا.

يُلاحظ في الشكلين 56 و 57 انخفاض COD في الوسطين وبلغت أعلى قيمة 41% في الوسط الأول و59% في الوسط الثاني، ولوحظت عند *Staphylococcus epidermidis* في كلا الحالتين.

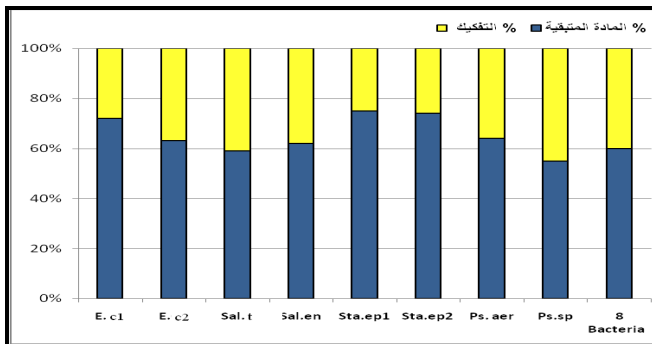


الشكل 57. متوسط النسبة المئوية لتغيرات COD في الوسط الحاوي القيم العظمى.

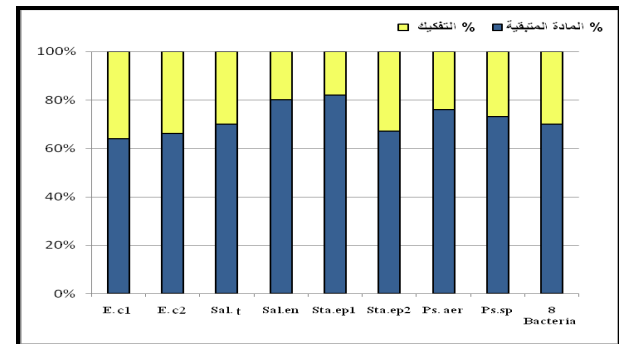


الشكل 56. متوسط النسبة المئوية لتغيرات COD في الوسط الحاوي القيم الدنيا.

يُلاحظ في الشكلين 58 و 59 انخفاض تركيز شوارد النترات في الوسطين، وتراوح نسبة التفكيك بين 18 - 36% في الوسط الأول، و لوحظت عند *E. coli 1* و *Sta. epidermidis1* على الترتيب، أما في حال الوسط الثاني فكانت عند *Sta. epidermidis1* و *Pseudomonas sp* 25 - 45%، على الترتيب.

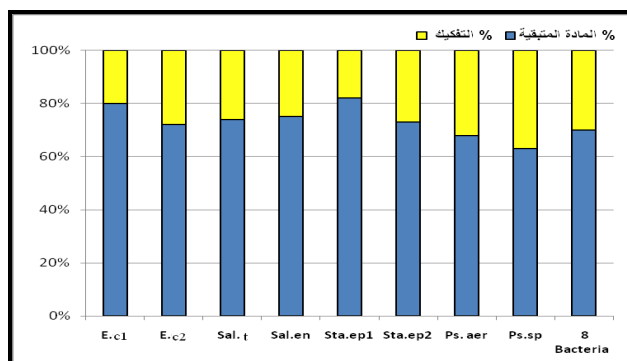


الشكل 59. متوسط تغيرات النسبة المئوية لشوارد النترات  $\text{NO}_3^-$  في الوسط الحاوي القيم العظمى

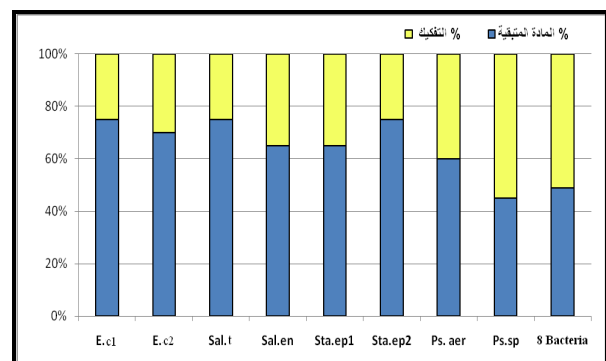


الشكل 58. متوسط تغيرات النسبة المئوية لشوارد النترات  $\text{NO}_3^-$  في الوسط الحاوي القيم الدنيا.

لوحظ أيضاً انخفاض تركيز شوارد النتريت في كلا الوسطين، كما هو موضح في الشكلين 60 و 61 وتراوح نسبة التفكيك بين 25 - 55% و لوحظت أقل قيمة عند *E. coli 1* و *Salmonella taphimurium* و *Staphylococcus epidermidis2*، أما أعلى قيمة فكانت بوجود *Pseudomonas sp* وذلك في الوسط الأول، أما في الوسط الثاني فتراوح نسبة التفكيك بين 18 - 37% عند *Staphylococcus epidermidis1* و *Pseudomonas sp* على الترتيب.



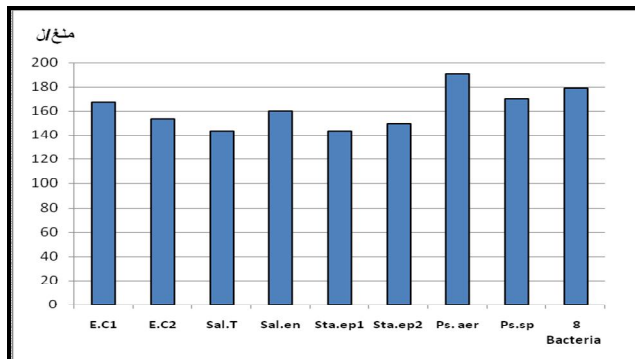
الشكل 61. متوسط تغيرات النسبة المئوية لشوارد النتريت



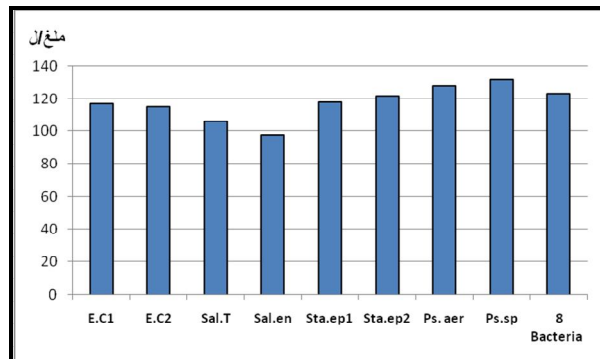
الشكل 60. متوسط تغيرات النسبة المئوية لشوارد

النترت  $\text{NO}_2^-$  في الوسط الحاوي القيم الدنيا.

يلاحظ في الشكلين 62 و 63 زيادة تركيز شوارد الكبريتات في الوسط نتيجة لتفكيك LASS بواسطة السلالات المستعملة، إذ تتحرر شوارد الكبريتات في أثناء عملية التفكيك، وتراوح الزيادة في الوسط الأول بين 48 - 82 ملغ/ل، أما في الوسط الثاني فكانت بين 43 - 90 ملغ/ل.

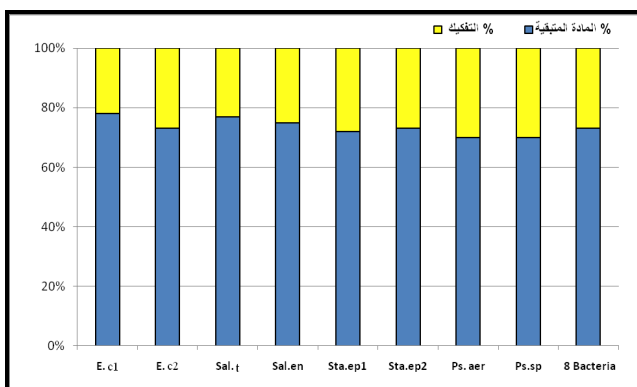


الشكل 63. متوسط تغيرات تركيز شوارد الكبريتات  $\text{SO}_4^{2-}$  في الوسط الحاوي القيم العظمى.

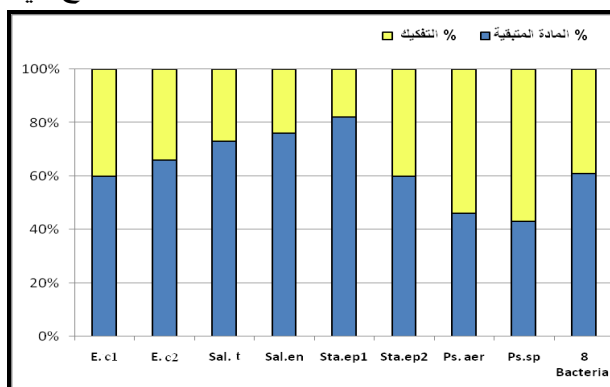


الشكل 62. متوسط تغيرات تركيز شوارد الكبريتات  $\text{SO}_4^{2-}$  في الوسط الحاوي القيم الدنيا.

انخفض تركيز شوارد الأمونيوم في وسطي الدراسة، وتراوح نسبة التفكيك في الوسط الأول بين 18 - 57% عند *Staphylococcus epidermidis* و *Pseudomonas sp* على الترتيب، وكانت نسبة التفكيك بين 22 - 30% إذ كانت أقل نسبة تفكيك عند *E.coli* 1، ولوحظت أعلى نسبة تفكيك عند *Pseudomonas sp* و *Pseudomonas aeruginosa*، كما هو موضح في الشكلين 64 و 65.

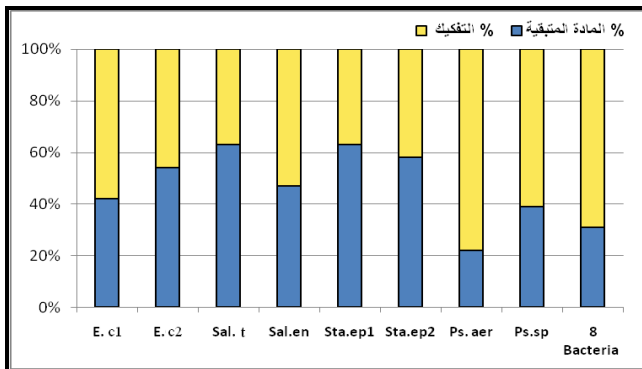


الشكل 65. متوسط تغيرات النسبة المئوية لشوارد الأمونيوم  $\text{NH}_4^+$  في الوسط الحاوي القيم العظمى.



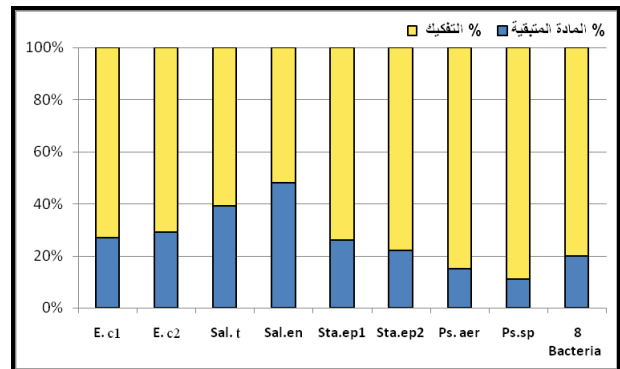
الشكل 64. متوسط تغيرات النسبة المئوية لشوارد الأمونيوم  $\text{NH}_4^+$  في الوسط الحاوي القيم الدنيا.

يلاحظ في الشكلين 66 و 67 أن مادة LASS تفككت في كلا الوسطين، وأن التفكيك في الوسط الأول 400 ملغ/ل كان أفضل بشكل عام من التفكيك في الوسط الثاني 500 ملغ/ل، علماً أن أفضل نسبة للتفكيك 89% كانت بوجود *Pseudomonas sp* في الوسط الأول، وكانت *Pseudomonas aeruginosa* الأفضل تفكيكاً في الوسط الثاني بنسبة 78%.



الشكل 67. متوسط تغيرات النسبة المئوية لمركبات

C12-LASs في الوسط الحاوي القيم العظمى.

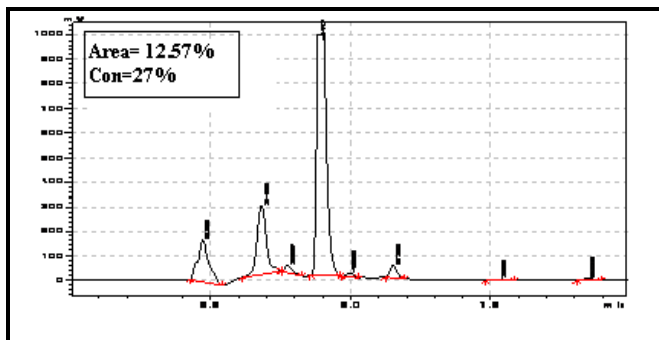


الشكل 66. متوسط تغيرات النسبة المئوية لمركبات

C12-LASs في الوسط الحاوي القيم الدنيا.

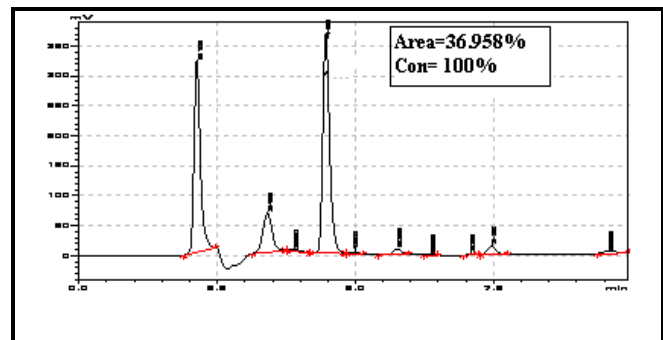
تبيين الأشكال من 68 - 87 نتائج دراسة التفكيك الحيوي لسلفونات الألكيل بنزن الخطية LASs في وسط صناعي في ظروف الحدود الدنيا والعظمى للخواص الفيزيوكيميائية لمياه الصرف الصحي باللائقية بوساطة الكروماتوغرافيا.

**ملاحظة:** لم يحسب BOD نظراً إلى أن التجربة أجريت خلال 72 ساعة بينما تحتاج تجربة BOD خمسة أيام إضافة إلى اختلاف درجة حرارة حضن العينة أيضاً.



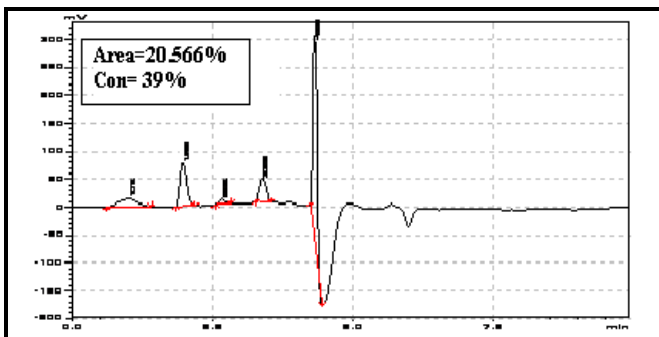
الشكل 69. تغيرات C12-LASs في الوسط في ظروف القيم الدنيا

بوجود *E.coli 1*



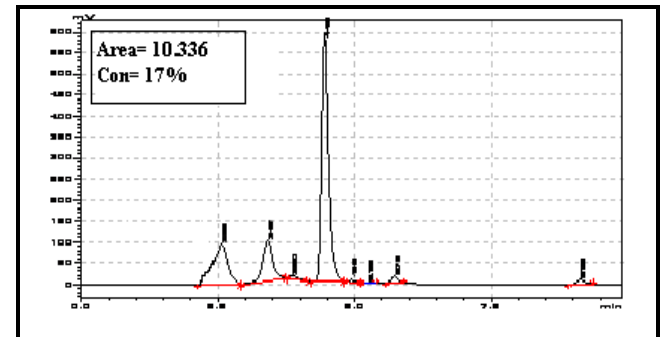
الشكل 68. تركيز C12-LASs بوجود شاهد الحد الأدنى

(400 ppm)



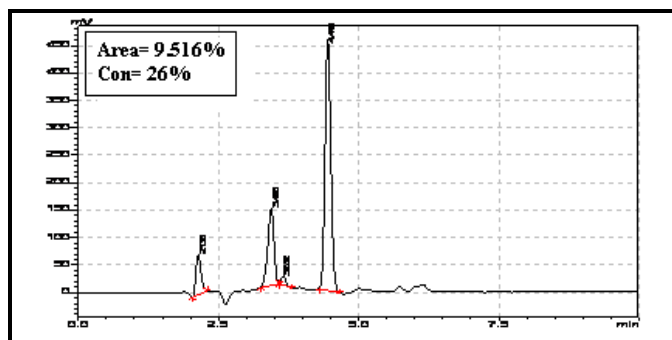
الشكل 71. تغيرات C12-LASs في الوسط في ظروف القيم الدنيا

بوجود *Sal.typhimorum*

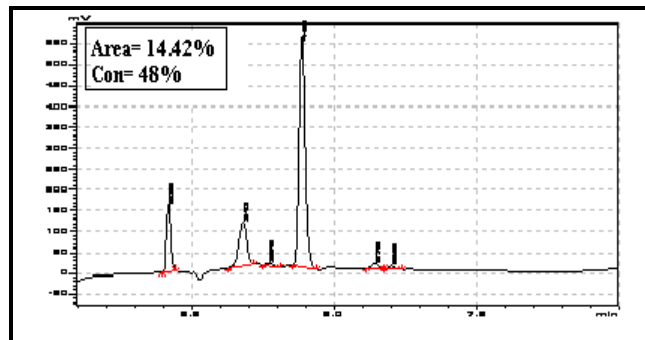


الشكل 70. تغيرات C12-LASs في الوسط في ظروف القيم

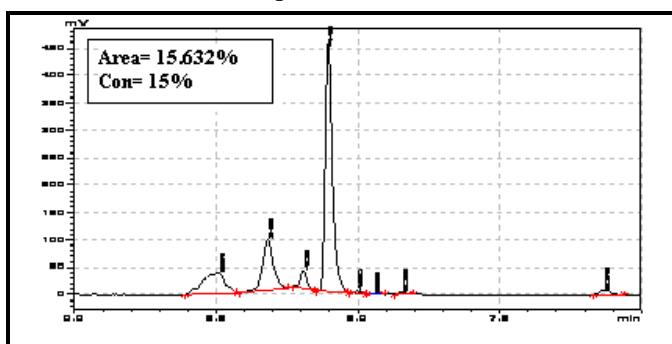
الدنيا بوجود *E.coli 2*



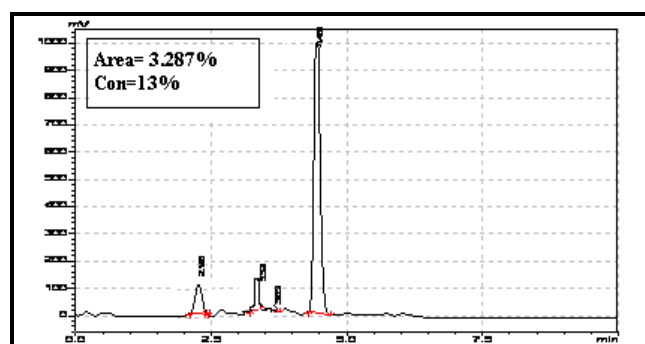
الشكل 73. تغيّرات C12-LASs في الوسط في ظروف القيم الدنيا بوجود *Sta. epidirmidis1*.



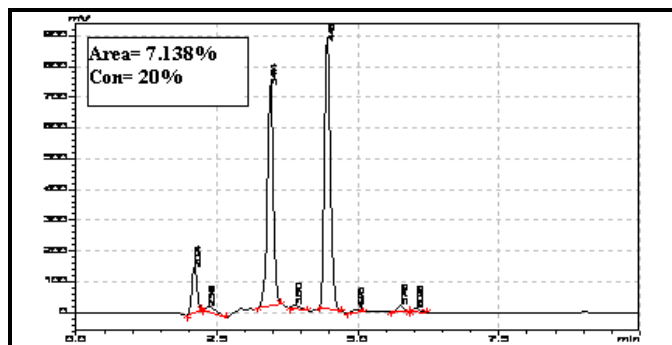
الشكل 72. تغيّرات C12-LASs في الوسط في ظروف القيم الدنيا بوجود *Sal.entridis*.



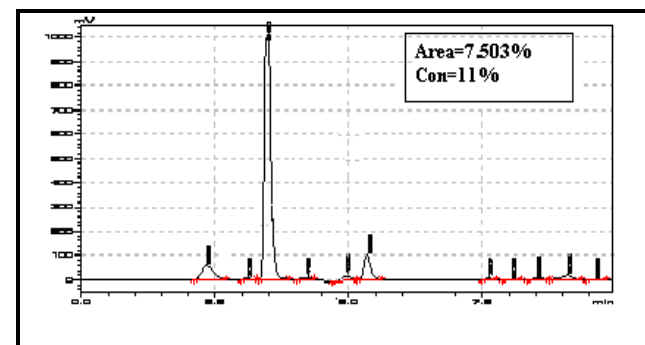
الشكل 75. تغيّرات C12-LASs في الوسط في ظروف القيم الدنيا بوجود *Ps.aeruginosa*.



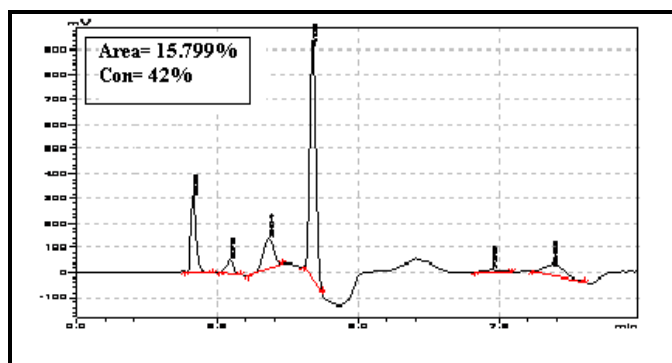
الشكل 74. تغيّرات C12-LASs في الوسط في ظروف القيم الدنيا بوجود *Sta. epidirmidis2*.



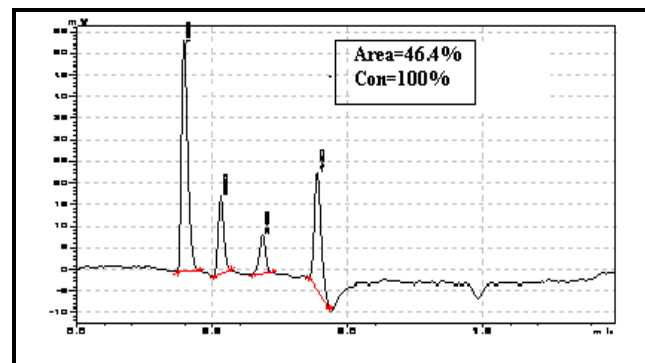
الشكل 77. تغيّرات C12-LASs في الوسط في ظروف القيم الدنيا بوجود السلالات كلها مجتمعة.



الشكل 76. تغيّرات C12-LASs في الوسط في ظروف القيم الدنيا بوجود *Pseudomonas sp*.

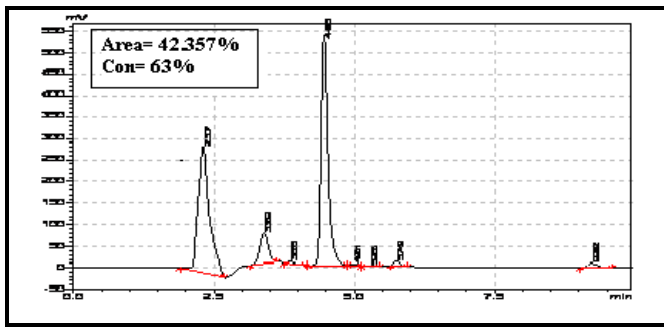


الشكل 79. تغيّرات C12-LASs في الوسط في ظروف القيم العظمى بوجود *E.coli 1*.

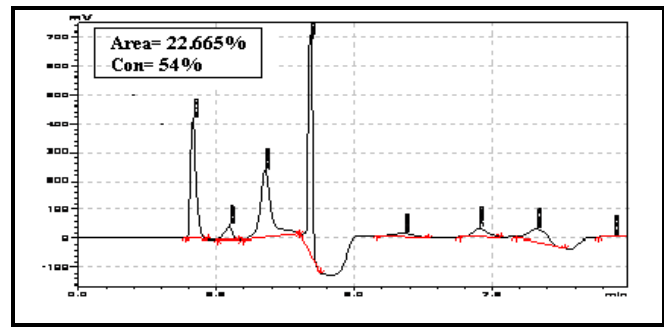


الشكل 78. تركيز C12-LASs بوجود شاهد الحد الأعلى (500 ppm).

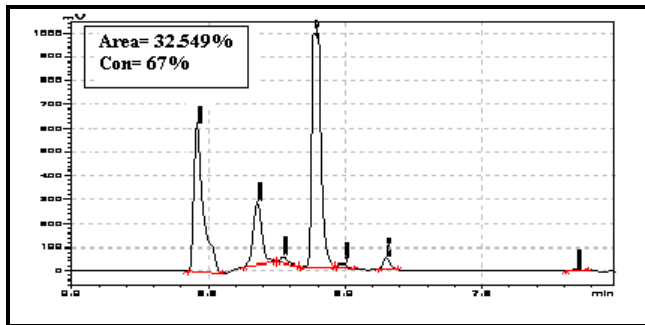




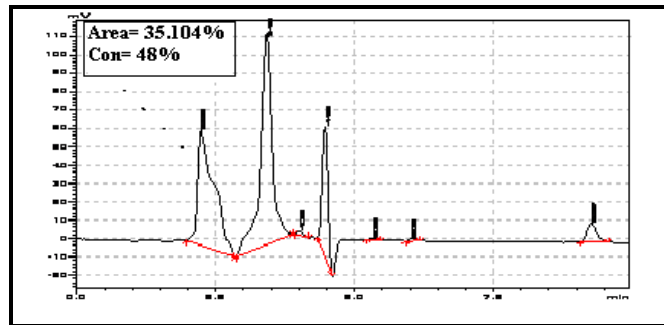
الشكل 81. تغيّرات C12-LASs في الوسط في ظروف القيم العظمى بوجود *Sal. typhimorum*



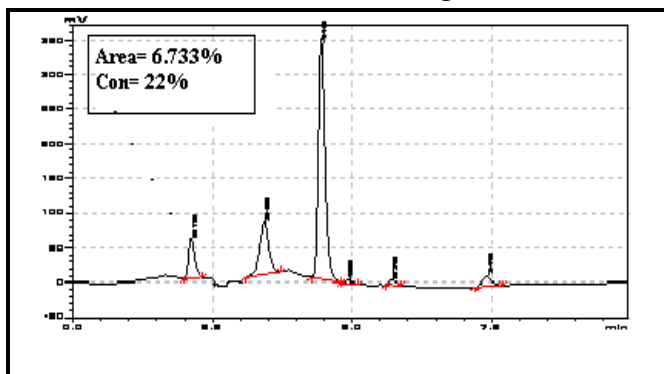
الشكل 80. تغيّرات C12-LASs في الوسط في ظروف القيم العظمى بوجود *E. coli2*



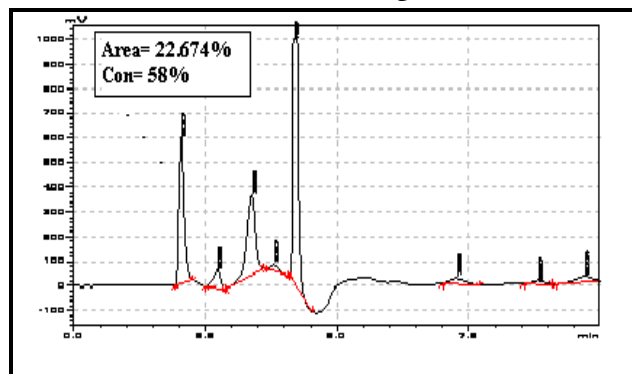
الشكل 83. تغيّرات C12-LASs في الوسط في ظروف القيم العظمى بوجود *Sta. epidiridis1*



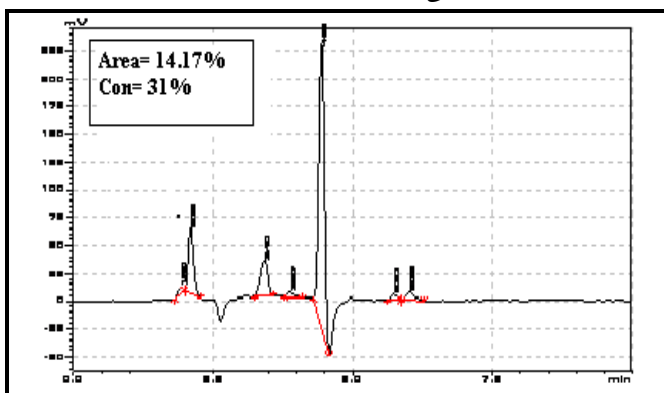
الشكل 82. تغيّرات C12-LASs في الوسط في ظروف القيم العظمى بوجود *Sal. entridis*



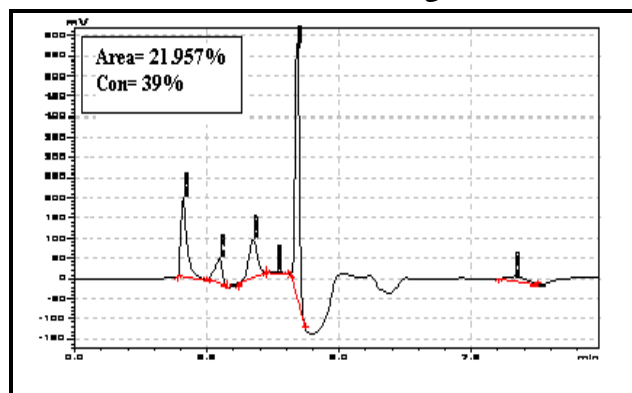
الشكل 85. تغيّرات C12-LASs في الوسط في ظروف القيم العظمى بوجود *Ps. aeruginosa*



الشكل 84. تغيّرات C12-LASs في الوسط في ظروف القيم العظمى بوجود *Sta. epidiridis2*



الشكل 87. تغيّرات C12-LASs في الوسط في ظروف القيم العظمى بوجود السلالات جميعها معاً.



الشكل 86. تغيّرات C12-LASs في الوسط في ظروف القيم العظمى بوجود *Pseudomonas sp*

### 3.2.3- التفكيك الحيوي لسلفات دوديسيل الصوديوم في وسط صناعي سائل ومفكك من قبل المزارع

الجرثومية المعزولة في ظروف مختلفة.

فيمايلي نتائج دراسة التفكيك الحيوي لمادة SDSs بصفتها مصدراً وحيداً للكربون والطاقة بوساطة

الجراثيم المعزولة.

#### 1.3.2.3- التفكيك الحيوي لتركيز مختلفة من SDSs في وسط الزرع الصناعي.

يوضح الشكل 88 أن جميع السلالات الجرثومية فككت المادة الفعالة المدروسة ذات التركيز 100 ملغ/ل

بشكل عالٍ وتجاوزت 70%، وأن الأفضل تفكيكاً هي *Sta. epidermidis* 2 و *E.coli* 2 و *Ps.aeruginosa*

و *E.coli* 1 إذ بلغت نسبة التفكيك بين 90 - 96%.



<i>E.coli</i> 1	1
<i>E.coli</i> 2	2
<i>Sal. taphimurium</i>	3
<i>Sal. enteritidis</i>	4
<i>Sta. epidermidis</i> 1	5
<i>Pseudomonas</i> sp	6
<i>Ps.aeruginosa</i>	7
<i>Sta. epidermidis</i> 2	8

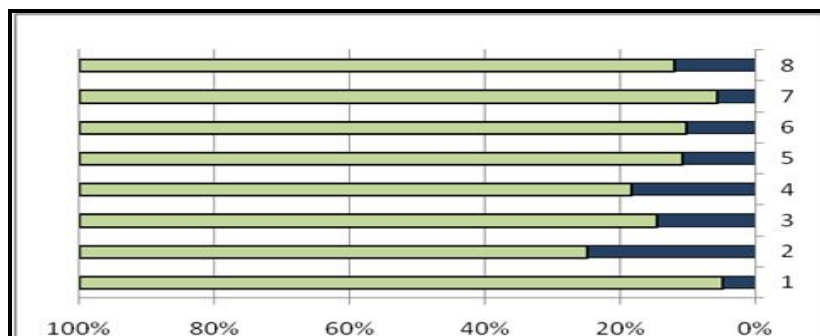
الشكل 88. تغير النسبة المئوية لتركيز SDSs في الوسط المدروس بتأثير السلالات المستعملة في

درجة 25°C وتركيز 100 ملغ/ل.

أما في تركيز 200 ملغ/ل فكانت *E.coli* 1 الأفضل تفكيكاً بنسبة 95.29%، و *Ps.aeruginosa* بنسبة بلغت

94.4% والشكل 89 يوضح ذلك. وكانت جميع السلالات المستعملة جيدة التفكيك بنسبة تجاوزت 80% عند

معظمها.



<i>E.coli</i> 1	1
<i>E.coli</i> 2	2
<i>Sal. taphimurium</i>	3
<i>Sal. enteritidis</i>	4
<i>Sta. epidermidis</i> 1	5
<i>Pseudomonas</i> sp	6
<i>Ps.aeruginosa</i>	7

الشكل 89. تغيّر النسبة المئوية لتركيز SDSs في الوسط المدروس بتأثير السلالات المستعملة

في درجة 25°C وتركيز 200 ملغ/ل.

وبوجود تركيز 300 ملغ/ل كان *Ps.aeruginosa* و *E.coli 1* هما الأفضل تفكيكاً بنسبة (96.3% و 92.96%) على الترتيب، وهذا ما يوضحه الشكل 90، كما أن كل الأنواع الجرثومية المستعملة تفكك المادة الفعالة المدروسة بشكل جيد وبنسبة تتجاوز 75%.

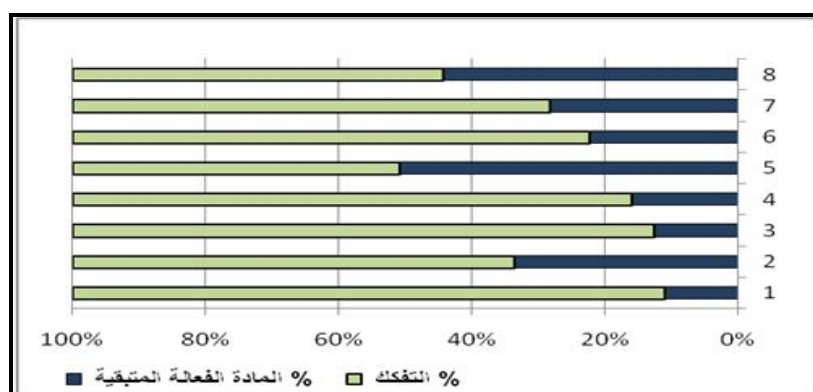


<i>E.coli 1</i>	1
<i>E.coli 2</i>	2
<i>Sal.tuphimurium</i>	3
<i>Sal. enteritidis</i>	4
<i>Sta. epidermidis1</i>	5
<i>Pseudomonas sp</i>	6
<i>Ps.aeruginosa</i>	7
<i>Sta. epidermidis2</i>	8

الشكل 90. تغيّر النسبة المئوية لتركيز SDSs في الوسط المدروس بتأثير السلالات المستعملة

في درجة 25°C وتركيز 300 ملغ/ل.

يوضح الشكل 91، عند تركيز 400 ملغ/ل وسط القريب من التراكيز الطبيعية للمادة الفعالة سطحياً لموقعي الدراسة في مياه الصرف الصحي، أن التفكيك كان جيداً عند أغلب الأنواع، وكانت *E.coli1* هي الأفضل فوصلت نسبة التفكيك إلى 89.12%، إضافة إلى *Salmonella typhimurium* ووصل التفكيك إلى 87.42%، أما سلالتي *Sta. epidermidis 1,2* فكانت متوسطة التفكيك مقارنة بباقي الأحياء الأخرى إذ بلغت نسبة التفكيك (55.78% و 49.25%) على الترتيب.

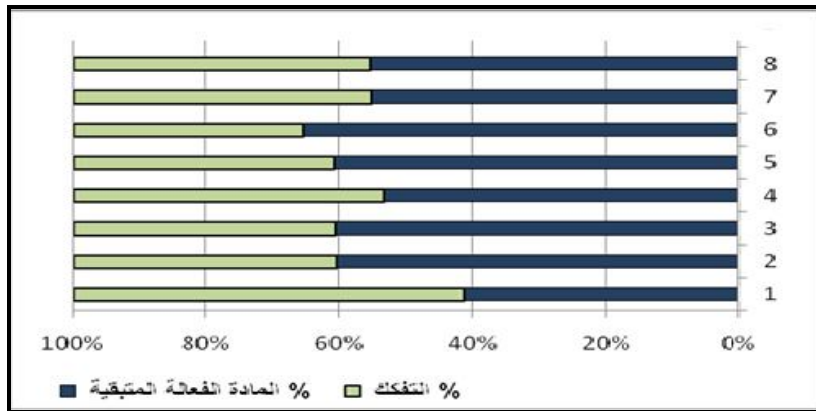


<i>E.coli 1</i>	1
<i>E.coli 2</i>	2
<i>Sal. tuphimurium</i>	3
<i>Sal. enteritidis</i>	4
<i>Sta. epidermidis 1</i>	5
<i>Pseudomonas sp</i>	6
<i>Ps.aeruginosa</i>	7
<i>Sta. epidermidis 2</i>	8

الشكل 91. تغيّر النسبة المئوية لتركيز SDSs في الوسط المدروس بتأثير السلالات المستعملة

في درجة 25°C وتركيز 400 ملغ/ل.

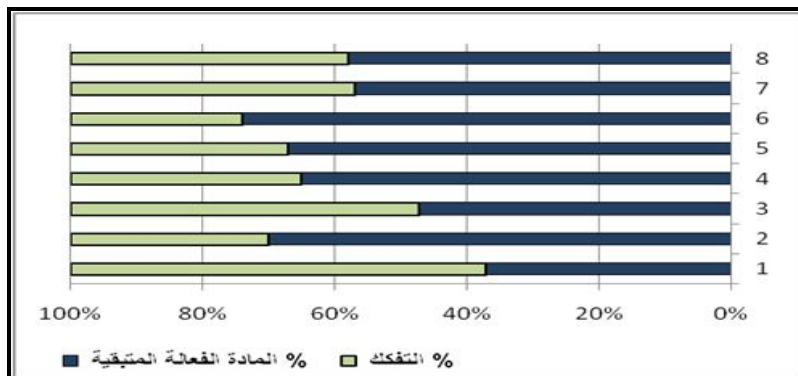
يلاحظ من الشكل 92 أنه قد انخفضت فعالية التفكيك عند السلالات المستعملة عند تركيز 500 ملغ/ل القريب من التراكيز الطبيعية للمادة الفعالة سطحياً في مياه الصرف الصحي لموقعي الدراسة، ولم تصل نسبة التفكيك إلى 60%، وكانت أفضل النتائج عند *E.coli* 1 بنسبة 58.78% وكانت جميعها متوسطة التفكيك.



<i>E.coli</i> 1	1
<i>E.coli</i> 2	2
<i>Sal. taphimurium</i>	3
<i>Sal. enteritidis</i>	4
<i>Sta. epidermidis</i> 1	5
<i>Pseudomonas</i> sp	6
<i>Ps.aeruginosa</i>	7
<i>Sta. epidermidis</i> 2	8

الشكل 92. تغير النسبة المئوية لتركيز SDSs في الوسط المدروس بتأثير السلالات المستعملة في درجة 25°C وتركيز 500 ملغ/ل.

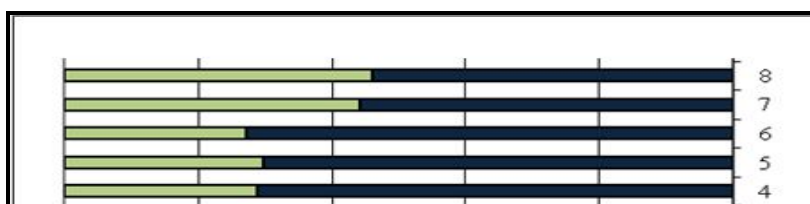
يُلاحظ في الشكل 93 النتيجة نفسها التي ظهرت في الشكل 104 إذ كان التفكيك أقل من الوسط، وكانت سلالة *E.coli* 1 هي الأفضل فوصلت نسبة التفكيك إلى 62.93% بوجود تركيز 600 ملغ/ل من مادة SDSs في الوسط.



<i>E.coli</i> 1	1
<i>E.coli</i> 2	2
<i>Sal. taphimurium</i>	3
<i>Sal. enteritidis</i>	4
<i>Sta. epidermidis</i> 1	5
<i>Pseudomonas</i> sp	6
<i>Ps.aeruginosa</i>	7
<i>Sta. epidermidis</i> 2	8

الشكل 93. تغير النسبة المئوية لتركيز SDSs في الوسط المدروس بتأثير السلالات المستعملة في درجة 25°C وتركيز 600 ملغ/ل.

أما الشكل 94، فيوضح انخفاض فعالية تفكيك SDSs الموجودة في الوسط، فقد أصبحت النسبة منخفضة، وكانت *E.coli* 1 هي الأفضل بنسبة 48.68% إضافة إلى سلالة *Sta. epidermidis* 2 بنسبة 46.02%.



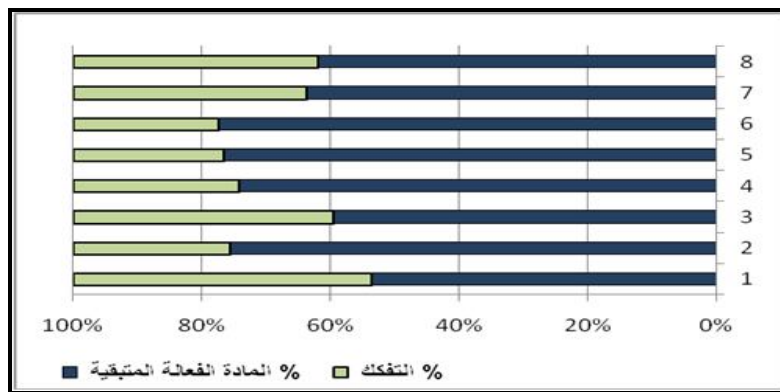
<i>E.coli</i> 1	1
<i>E.coli</i> 2	2
<i>Sal. taphimurium</i>	3
<i>Sal. enteritidis</i>	4

<i>Sta. epidermidis 1</i>	5
<i>Pseudomonas sp</i>	6
<i>Ps.aeruginosa</i>	7
<i>Sta. epidermidis 2</i>	8

الشكل 94. تغيّر النسبة المئوية لتركيز SDSs في الوسط المدروس بتأثير السلالات المستعملة

في درجة 25°C وتركيز 700 ملغ/ل.

يُلاحظ في الشكل 95 النتيجة نفسها في الشكل 106، إذ كان التفكيك منخفضاً وكانت سلالة *E.coli 1* هي الأفضل وذلك بنسبة تفكيك بلغت 46.48% بوجود تركيز 800 ملغ/ل من SDSs.

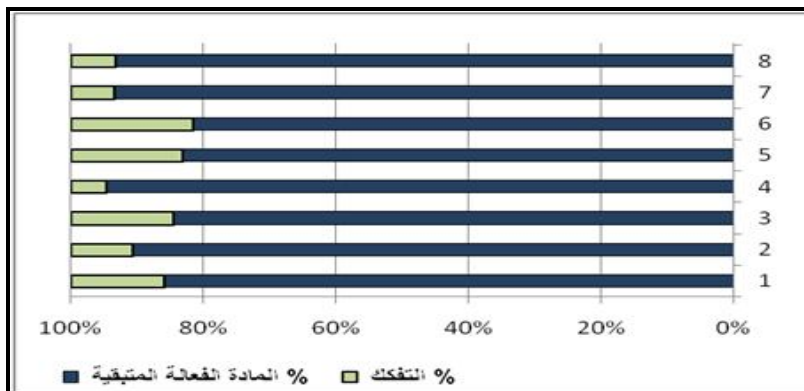


<i>E.coli 1</i>	1
<i>E.coli 2</i>	2
<i>Sal. taphimurium</i>	3
<i>Sal. enteritidis</i>	4
<i>Sta. epidermidis 1</i>	5
<i>Pseudomonas sp</i>	6
<i>Ps.aeruginosa</i>	7
<i>Sta. epidermidis 2</i>	8

الشكل 95. تغيّر النسبة المئوية لتركيز SDSs في الوسط المدروس بتأثير السلالات المستعملة

في درجة 25°C وتركيز 800 ملغ/ل.

يُلاحظ من الشكل 96، أن التفكيك أصبح منخفضاً جداً ولم تصل نسبته إلى 20%، وبالتالي فإن تأثير هذه الجراثيم في تفكيك المادة الفعالة بتركيز عالية يكون ضعيفاً وقد يعود السبب لكون التراكيز المرتفعة من المادة الفعالة تأخذ دوراً ساماً على السلالات المستعملة.



<i>E.coli 1</i>	1
<i>E.coli 2</i>	2
<i>Sal. taphimurium</i>	3
<i>Sal. enteritidis</i>	4
<i>Sta. epidermidis 1</i>	5
<i>Pseudomonas sp</i>	6
<i>Ps.aeruginosa</i>	7
<i>Sta. epidermidis 2</i>	8

الشكل 96. تغيّر النسبة المئوية لتركيز SDSs في الوسط المدروس بتأثير السلالات المستعملة في درجة 25°C

وتركيز 900 ملغ/ل.

يُلاحظ أيضاً في الشكل 97 حالة الانخفاض الكبير في التفكيك لأن النسبة وصلت في أفضل الحالات إلى 15% عند السلالات الجرثومية المدروسة تقريباً الموجودة في الوسط بتركيز 1000 ملغ/ل.



<i>E.coli 1</i>	1
-----------------	---

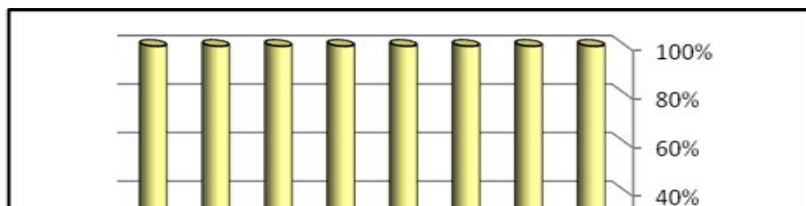
<i>E.coli 2</i>	2
<i>Sal. taphimurium</i>	3
<i>Sal. enteritidis</i>	4
<i>Sta. epidermidis 1</i>	5
<i>Pseudomonas sp</i>	6
<i>Ps.aeruginosa</i>	7
<i>Sta. epidermidis 2</i>	8

الشكل 97. تغيّر النسبة المئوية لتركيز SDSs في الوسط المدروس بتأثير السلالات المستعملة في درجة 25°C وتركيز 1000 ملغ/ل.

بشكل عام انخفضت فعالية التفكيك الحيوي لسلفات دوديسيل الصوديوم مع زيادة تركيزها، مما يشير إلى أنها أصبحت سامة، وتثبط الجراثيم المفككة في التراكيز العالية، قد يعود السبب لإنخفاض درجة حموضة الوسط بسبب زيادة تركيز المواد الناتجة عن التفكيك، والتي غالباً ما تكون سبباً في انخفاض فعالية ونشاط الأحياء الدقيقة المفككة، في حال كانت تلك الأحياء حساسة لتغيرات درجة الحموضة (تفضل درجات حموضة معينة)، إضافة لإنخفاض تركيز المواد التي تشكل مصدر الكربون والطاقة في الوسط بسبب استهلاكها من قبل الأحياء الدقيقة الموجودة في ذلك الوسط، وهذا ما أثبتته الباحثة Hosseini وزملاؤه (2007) في التجربة التي أجروها إذ استطاعت الجراثيم التي استعملوها (معزولة من حمأة منشطة من محطة معالجة في إيران) في تفكيك حوالي 30% فقط من SDS خلال ثلاثة أيام، ولكن ارتفعت هذه النسبة لتتجاوز 85% في نهاية اليوم الخامس وتقترب من 97% في نهاية التجربة التي استمرت عشرة أيام، وقد أكد الباحث Hoque وزملاؤه ما تم التوصل إليه في هذه التجربة إذ استعملوا تراكيز منخفضة من SDS لتفكيكها (تقريباً في نفس الشروط) وتبين أن تلك التراكيز (50 - 75 - 100) ملغ/ل تفككت بشكل كلي خلال 5 ساعات فقط مستعملين أحياء دقيقة من حمأة منشطة مأخوذة من محطة معالجة في أستراليا، ولاحظوا أيضاً حصول انخفاض كبير جداً في تركيز الأكسجين المنحل وارتفاع في BOD الوسط.

### 2.3.2.3- التفكيك الحيوي SDSs في درجات الحرارة المختلفة.

يوضح الشكل 98 أن جميع السلالات الجرثومية المستعملة كانت جيدة التفكيك للمادة الفعّالة المدروسة عند تركيز 500 ملغ/ل ودرجة حرارة 15°C، وتجاوزت النسبة 65% عند جميعها، وكان الأفضل تفكيكاً *Pseudomonas.sp* بنسبة 99.04% والسلالة 2 *Sta. epidermidis* بنسبة 86.03%، أما بوجود *Ps.aeruginosa* فقد بلغ التفكيك 87.46%، مما يدل على أن هذه السلالات الفعّالة تأقلمت للحياة في درجات حرارة منخفضة.



<i>E.coli 1</i>	1
<i>E.coli 2</i>	2
<i>Sal. taphimurium</i>	3
<i>Sal. enteritidis</i>	4



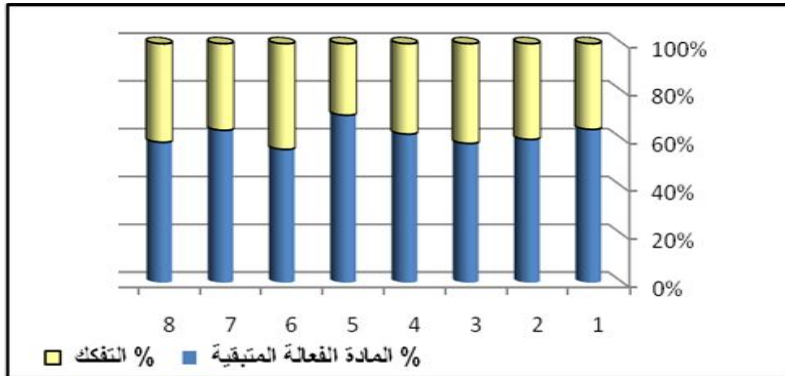
<i>Sta. epidermidis 1</i>	5
<i>Pseudomonas sp</i>	6
<i>Ps.aeruginosa</i>	7
<i>Sta. epidermidis 2</i>	8

الشكل 98. متوسط تركيز SDS المتبقي في الوسط المدروس بتأثير الجراثيم المستعملة

في درجة 15°C، وتركيز 500 ملغ/ل.

أما في تركيز 1000 ملغ/ل ودرجة حرارة 15°C، فكانت نتائج التفكيك ضعيفة إلى متوسطة، وكانت

النسبة المئوية للتفكيك نحو 40% عند جميع السلالات، كما هو واضح في الشكل 99.



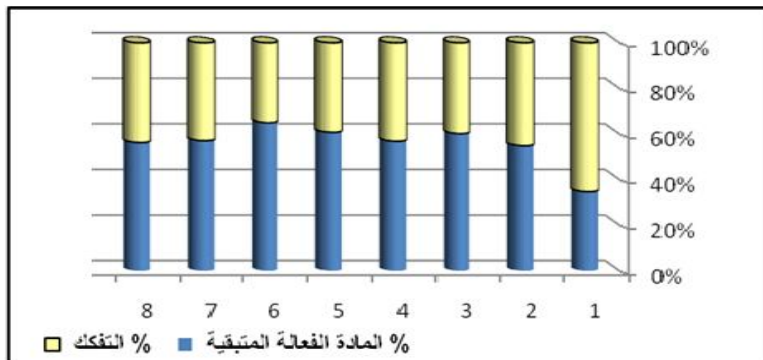
<i>E.coli 1</i>	1
<i>E.coli 2</i>	2
<i>Sal.tuphimurium</i>	3
<i>Sal. enteritidis</i>	4
<i>Sta. epidermidis1</i>	5
<i>Pseudomonas sp</i>	6
<i>Ps.aeruginosa</i>	7
<i>Sta. epidermidis 2</i>	8

الشكل 99. متوسط تركيز SDS المتبقي في الوسط المدروس بتأثير الجراثيم المستعملة في درجة 15°C،

وتركيز 1000 ملغ/ل.

وبوجود تركيز 500 ملغ/ل ودرجة 25°C، كانت الجراثيم متوسطة الفعالية، وكانت أفضل نتائج التفكيك

عند سلالة *E. coli 1* بنسبة 62.22% وهذا موضح بالشكل 100.



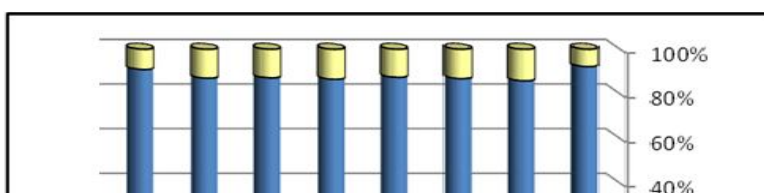
<i>E.coli 1</i>	1
<i>E.coli 2</i>	2
<i>Sal.tuphimurium</i>	3
<i>Sal. enteritidis</i>	4
<i>Sta. epidermidis1</i>	5
<i>Pseudomonas sp</i>	6
<i>Ps.aeruginosa</i>	7
<i>Sta. epidermidis 2</i>	8

الشكل 100. متوسط تركيز SDS المتبقي في الوسط المدروس بتأثير الجراثيم المستعملة

في درجة 25°C، وتركيز 500 ملغ/ل.

يوضح الشكل 101 أن التفكيك كان ضعيفاً بوجود تركيز 1000 ملغ/ل ودرجة 25°C، عند جميع السلالات

المستعملة ولم يصل إلى 20%.



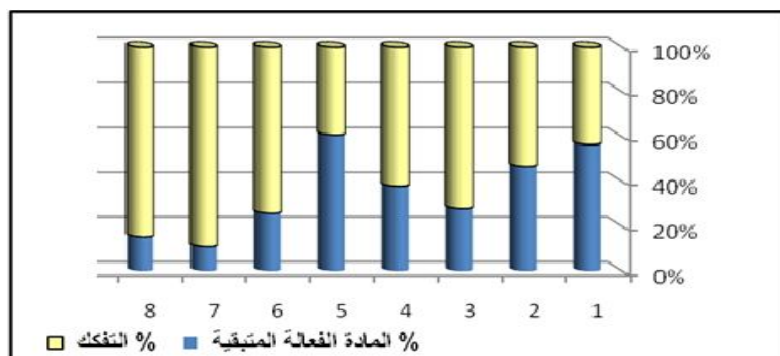
<i>E.coli 1</i>	1
<i>E.coli 2</i>	2
<i>Sal.tuphimurium</i>	3
<i>Sal. enteritidis</i>	4

<i>Sta. epidermidis1</i>	5
<i>Pseudomonas sp</i>	6
<i>Ps.aeruginosa</i>	7
<i>Sta. epidermidis 2</i>	8

الشكل 101. متوسط تركيز SDS المتبقي في الوسط المدروس بتأثير الجراثيم المستعملة

في درجة 25°C، وتركيز 1000 ملغ/ل.

يوضح الشكل 102 أن جميع السلالات الجرثومية كانت متوسطة إلى جيدة التفكيك للمادة الفعالة المدروسة عند تركيز 500 ملغ/ل ودرجة 35°C، والأفضل تفكيكاً كان *Ps.aeruginosa* بنسبة 88.9% وسلالة *Sta. epidermidis 2* بنسبة 84.74%.

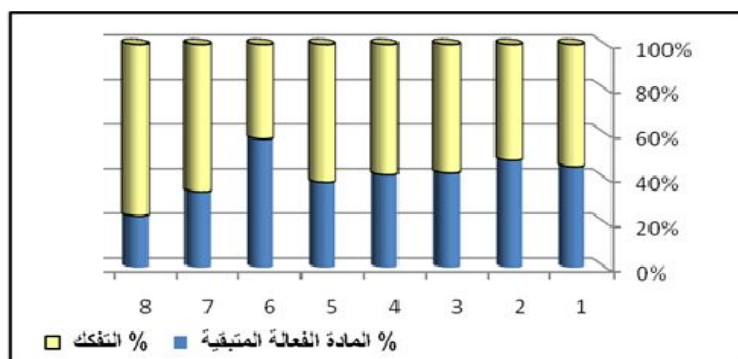


<i>E.coli 1</i>	1
<i>E.coli 2</i>	2
<i>Sal.tuphimurium</i>	3
<i>Sal. enteritidis</i>	4
<i>Sta. epidermidis1</i>	5
<i>Pseudomonas sp</i>	6
<i>Ps.aeruginosa</i>	7
<i>Sta. epidermidis 2</i>	8

الشكل 102. متوسط تركيز SDS المتبقي في الوسط المدروس بتأثير الجراثيم المستعملة

في درجة 35°C، وتركيز 500 ملغ/ل.

يوضح الشكل 103 أن التفكيك كان متوسطاً بوجود تركيز 1000 ملغ/ل ودرجة 35°C عند جميع الجراثيم، وتراوح النسب بين 50 - 77% وكان التفكيك الأفضل عند *Sta. epidermidis 2* لتصل إلى 76.8%.



<i>E.coli 1</i>	1
<i>E.coli 2</i>	2
<i>Sal.tuphimurium</i>	3
<i>Sal. enteritidis</i>	4
<i>Sta. epidermidis1</i>	5
<i>Pseudomonas sp</i>	6
<i>Ps.aeruginosa</i>	7
<i>Sta. epidermidis 2</i>	8

الشكل 103. متوسط تركيز SDS المتبقي في الوسط المدروس بتأثير الجراثيم المستعملة

في درجة 35°C، وتركيز 1000 ملغ/ل.

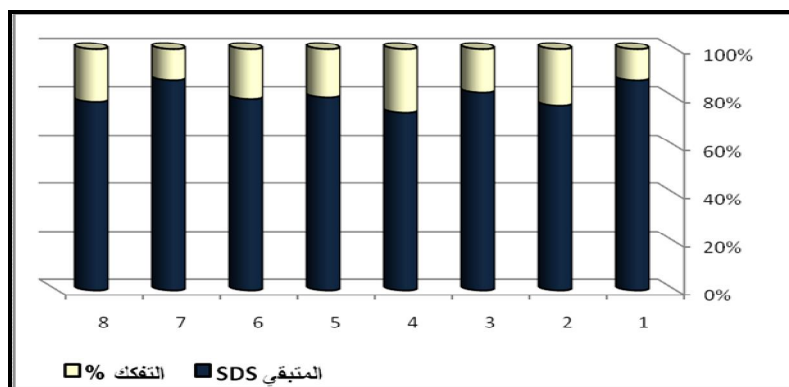
تبين نتائج دراسة تأثير تغيرات درجات الحرارة أن السلالات تكيفت مع الظروف المناخية مع درجات الحرارة المختلفة (المنخفضة والمرتفعة)، وأصبحت تعمل في هذه الدرجات الحرارية بشكل أمثل، وأنه في مرحلة النمو في الخريف والربيع يكون نشاطها الاستقلابي في قيمته الدنيا، بالمقارنة مع تجربة الباحث Shukor وزملاؤه (2009) إذ تبين أن نسبة تفكيك تراكيز مختلفة من SDS خلال ثلاثة أيام تراوحت بين 44



90% وذلك حسب النوع الجرثومي المستعمل، وتبين أيضاً أن تغيّرات درجة الحرارة بين 10 - 50 درجة مئوية كان له تأثير كبير على نشاط وفعالية تلك الجراثيم، ولاحظ أن درجة الحرارة المفضلة لتلك الجراثيم كانت 37°C، ولكن بوجود مجال كبير من درجات الحرارة عند بعض الجراثيم المستعملة لتفكيك SDS مثل *Pseudomonas sp*.

### 3.3.2.3- التفكيك الحيوي لـ SDSs في وسط يحتويها بصفته مصدراً وحيداً للكربون والكبريت بتأثير pH المختلفة.

يوضح الشكل 104 أن جميع السلالات كانت ضعيفة التفكيك للمادة الفعّالة المدروسة عند تركيز 1000 ملغ/ل ودرجة pH=5، ولم تتجاوز النسبة 26.32%.

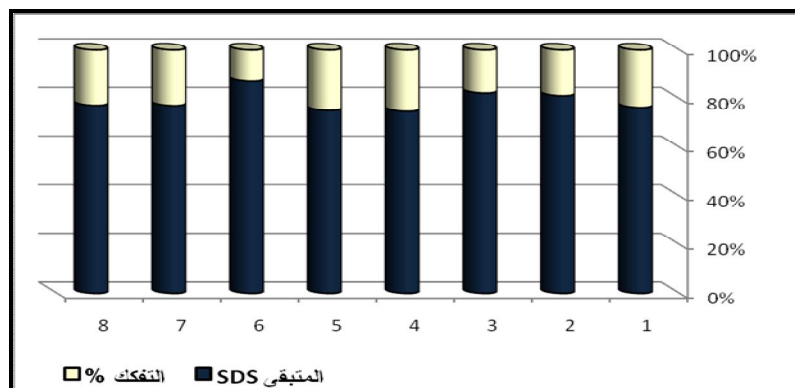


<i>E.coli 1</i>	1
<i>E.coli 2</i>	2
<i>Sal.tuphimurium</i>	3
<i>Sal. enteritidis</i>	4
<i>Sta. epidermidis1</i>	5
<i>Pseudomonas sp</i>	6
<i>Ps.aeruginosa</i>	7
<i>Sta. epidermidis 2</i>	8

الشكل 104. تغيّر النسبة المئوية لتركيز SDSs في الوسط المدروس بتأثير

السلالات المستعملة عند pH=5 وتركيز 1000 ملغ/ل.

يبين الشكل 105 الملاحظة نفسها في الشكل 116 وكانت جميع السلالات ضعيفة التفكيك عند تركيز 1000 ملغ/ل ودرجة pH=6، وكانت السلالات الأفضل تفكيكاً *al. enteritidis* بنسبة 25.21% و *Sta. epidermidis* بنسبة 24.82%، وكانت *Pseudomonas sp* أقلها تفكيكاً بنسبة 12.91% ولوحظ أيضاً أن تغيّر درجة الحموضة كان ضعيفاً وتراوح بين 5.21 - 5.51، وكان عند *Pseudomonas sp* و *Sal. enteritidis* على الترتيب.

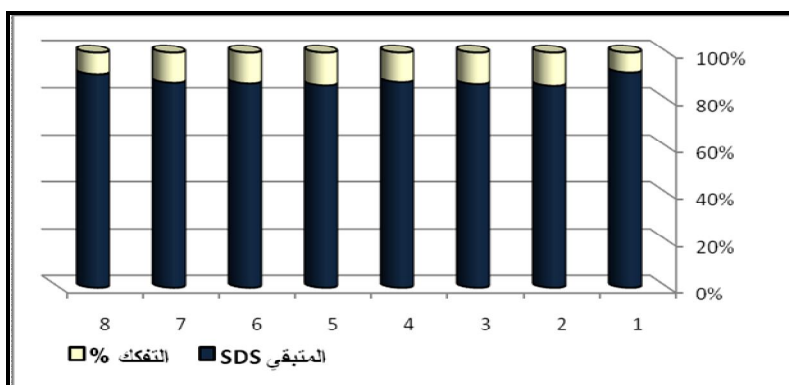


<i>E.coli 1</i>	1
<i>E.coli 2</i>	2
<i>Sal.tuphimurium</i>	3
<i>Sal. enteritidis</i>	4
<i>Sta. epidermidis1</i>	5
<i>Pseudomonas sp</i>	6
<i>Ps.aeruginosa</i>	7
<i>Sta. epidermidis 2</i>	8

الشكل 105. تغيّر النسبة المئوية لتركيز SDSs في الوسط المدروس بتأثير

السلاسل المستعملة عند pH=6 وتركيز 1000 ملغ/ل.

يُلاحظ في الشكل 106 أن التفكيك لازال ضعيفاً في التركيز 1000 ملغ/ل ودرجة pH=7، ولم يتجاوز 14%، وترافق ذلك مع تغيير درجة الحموضة بين 6 - 6.5، ويعود ذلك لتفكيك المادة الفعالة سطحياً.

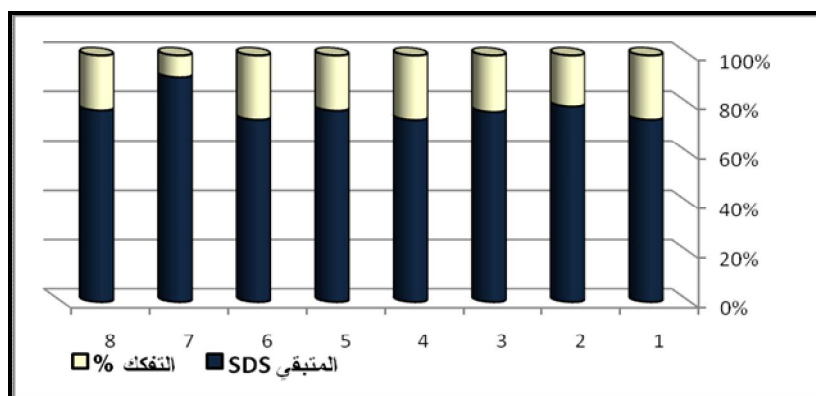


<i>E.coli 1</i>	1
<i>E.coli 2</i>	2
<i>Sal.tuphimurium</i>	3
<i>Sal. enteritidis</i>	4
<i>Sta. epidermidis1</i>	5
<i>Pseudomonas sp</i>	6
<i>Ps.aeruginosa</i>	7
<i>Sta. epidermidis 2</i>	8

الشكل 106. تغيير النسبة المئوية لتركيز SDSs في الوسط المدروس بتأثير

السلاسل المستعملة عند pH=7 وتركيز 1000 ملغ/ل.

يوضح الشكل 107 تحسناً بسيطاً في تفكيك السلاسل للمادة الفعالة المدروسة عند تركيز 1000 ملغ/ل ودرجة pH=8، ولكن لازالت النسبة ضعيفة، وقد بلغت أعلى قيمة 26.17 % عند *Sal. enteritidis*، وترافقت مع أدنى درجة حموضة التي بلغت 6.43، بينما كانت *Ps.aeruginosa* أقلها تفكيكاً بنسبة 8.72% ودرجة حموضة هي الأعلى بلغت 7.3، مما يدل على أن نشاط الأنواع الجرثومية هذه تؤدي لتفكيك المواد الفعالة سطحياً والنواتج النهائية لهذه المواد تؤدي لإنخفاض درجة الحموضة.



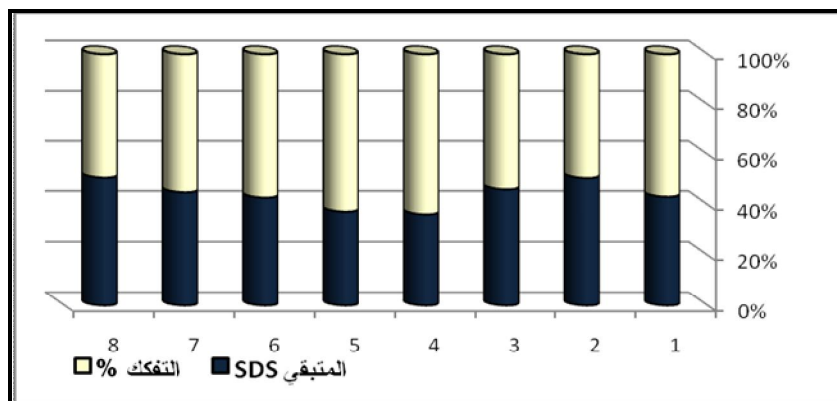
<i>E.coli 1</i>	1
<i>E.coli 2</i>	2
<i>Sal.tuphimurium</i>	3
<i>Sal. enteritidis</i>	4
<i>Sta. epidermidis1</i>	5
<i>Pseudomonas sp</i>	6
<i>Ps.aeruginosa</i>	7
<i>Sta. epidermidis 2</i>	8

الشكل 107. تغيير النسبة المئوية لتركيز SDSs في الوسط المدروس بتأثير

السلاسل المستعملة عند pH=8 وتركيز 1000 ملغ/ل.

يوضح الشكل 108 أن تفكيك SDSs عند تركيز 500 ملغ/ل كان أفضل منه مقارنة بتركيز 1000 ملغ/ل عند درجة pH=5، وكانت النسبة متوسطة تراوحت بين 49.13 - 63.79، وذلك عند كل من

4.31 *Sal. enteritidis* و *Sta. epidermidis* 2 على الترتيب، وترافقت مع تغيير درجة حموضة تراوح بين 3.5 عند السلالة الأولى و 3.5 عند السلالة الثانية.

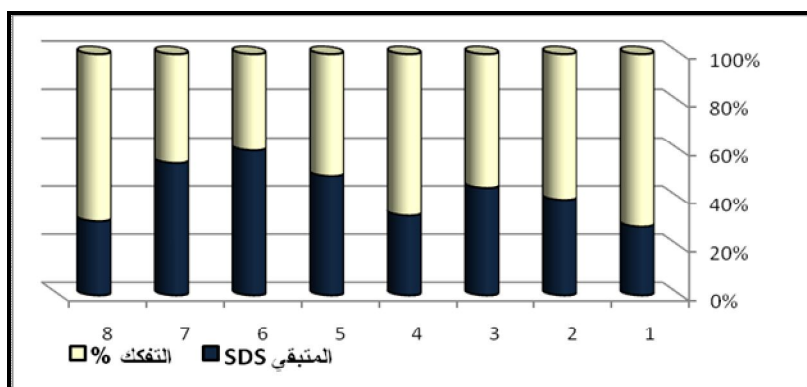


<i>E.coli</i> 1	1
<i>E.coli</i> 2	2
<i>Sal.tuphimurium</i>	3
<i>Sal. enteritidis</i>	4
<i>Sta. epidermidis</i> 1	5
<i>Pseudomonas</i> sp	6
<i>Ps.aeruginosa</i>	7
<i>Sta. epidermidis</i> 2	8

الشكل 108. تغيير النسبة المئوية لتركيز SDSs في الوسط المدروس بتأثير

السلالات المستعملة عند pH=5 وتركيز 500 ملغ/ل.

يوضح الشكل 109 أن التفكيك عند تركيز 500 ملغ/ل و درجة pH=6، كان متوسطاً إلى جيد، وتراوحت النسبة بين 45.12 - 71.66، وكان أفضل تفكيك بوجود *E.coli* 1 وأقل نسبة للتفكيك عند *Pseudomonas* sp وبلغت 39.83%، وقد ترافق ذلك مع درجة حموضة بلغت عند الأولى 4.11 و 5.12 عند الثانية.



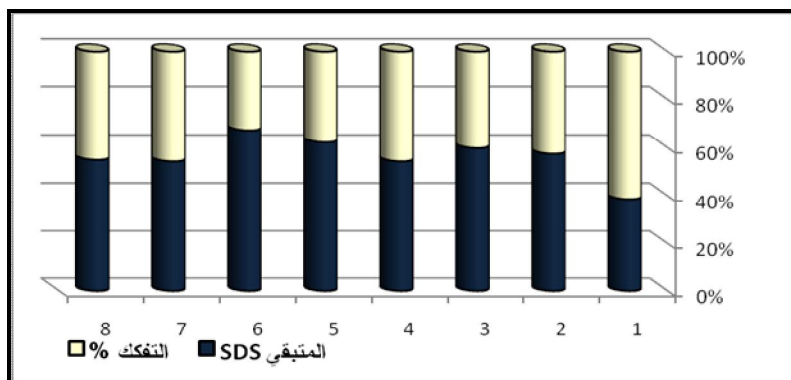
<i>E.coli</i> 1	1
<i>E.coli</i> 2	2
<i>Sal.tuphimurium</i>	3
<i>Sal. enteritidis</i>	4
<i>Sta. epidermidis</i> 1	5
<i>Pseudomonas</i> sp	6
<i>Ps.aeruginosa</i>	7
<i>Sta. epidermidis</i> 2	8

الشكل 109. تغيير النسبة المئوية لتركيز SDSs في الوسط المدروس بتأثير

السلالات المستعملة عند pH=6 وتركيز 500 ملغ/ل.

يُلاحظ من الشكل 110 أن جميع السلالات متوسطة التفكيك عند تركيز 500 ملغ/ل ودرجة pH=7، عدا *E.coli* 1 كانت أفضل السلالات المستعملة تفكيكاً إذ بلغت نسبة التفكيك 61.36%، بينما كانت

*Pseudomonas sp* أقلها تفكيكاً بنسبة 32.75 %، ولوحظ أن تغيّر درجة الحموضة تراوح بين 4.42 - 5.95 عند السلالتين السابقتين على الترتيب.

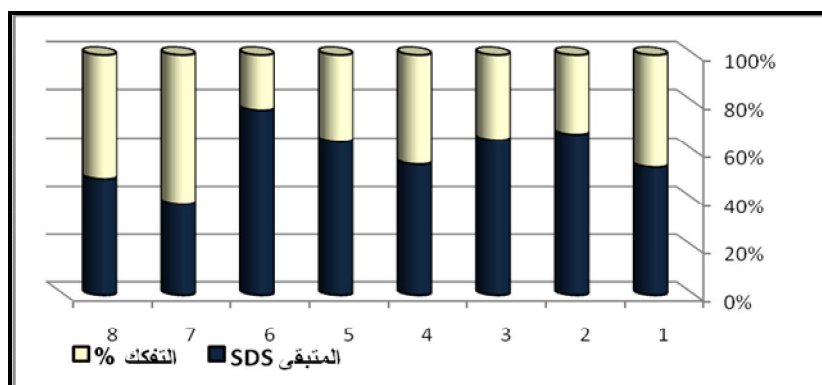


<i>E.coli 1</i>	1
<i>E.coli 2</i>	2
<i>Sal.tuphimurium</i>	3
<i>Sal. enteritidis</i>	4
<i>Sta. epidermidis1</i>	5
<i>Pseudomonas sp</i>	6
<i>Ps.aeruginosa</i>	7
<i>Sta. epidermidis 2</i>	8

الشكل 110. تغيّر النسبة المئوية لتركيز SDSs في الوسط المدروس بتأثير

السلالات المستعملة عند pH=7 وتركيز 500 ملغ/ل.

يوضح الشكل 111 أن نسبة التفكيك بين المتوسطة إلى الضعيفة عند تركيز 500 ملغ/ل ودرجة pH=8، وقد بلغت أعلى قيمة 61.79 % عند *Ps.aeruginosa* وترافقت مع أدنى درجة حموضة بلغت 6.52، بينما كانت *Pseudomonas sp* أقلها تفكيكاً بنسبة 23.03 % ودرجة حموضة هي الأعلى بلغت 7.21.



<i>E.coli 1</i>	1
<i>E.coli 2</i>	2
<i>Sal.tuphimurium</i>	3
<i>Sal. enteritidis</i>	4
<i>Sta. epidermidis1</i>	5
<i>Pseudomonas sp</i>	6
<i>Ps.aeruginosa</i>	7
<i>Sta. epidermidis 2</i>	8

الشكل 111. تغيّر النسبة المئوية لتركيز SDSs في الوسط المدروس بتأثير

السلالات المستعملة عند pH=8 وتركيز 500 ملغ/ل.

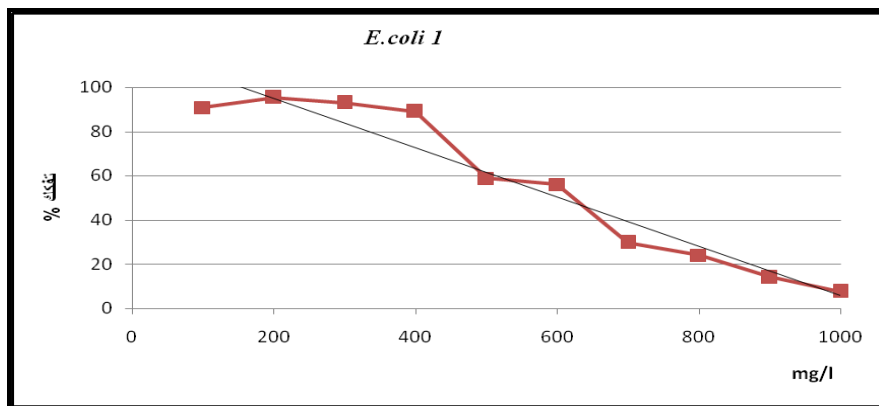
يلاحظ من دراسة تأثير pH أنه بتركيز 1000 ملغ/ل كانت جميع الجراثيم المستعملة ضعيفة التفكيك في جميع درجات الحموضة المدروسة، بينما بتركيز 500 ملغ/ل كان معظمها جيدة إلى متوسطة الفعالية في

درجات الحموضة المدروسة، مما يؤكد أن التراكيز العالية تثبط عمل هذه الجراثيم، وأفضل درجة pH للتفكيك هي عند الدرجة 5 و 6 بالتركيز 500 ملغ/ل، وقد بيّن الباحث Shukor وزملاؤه (2009) أيضاً أن درجات حموضة الوسط تأخذ دوراً مهماً في تحديد نوع الجرثوم الذي يقوم بالتفكيك ونسبة التفكيك.

### 3.3- الدراسة الاحصائية للعلاقة بين التراكيز ونسبة تفكيك SDSs بتأثير الجراثيم المستعملة:

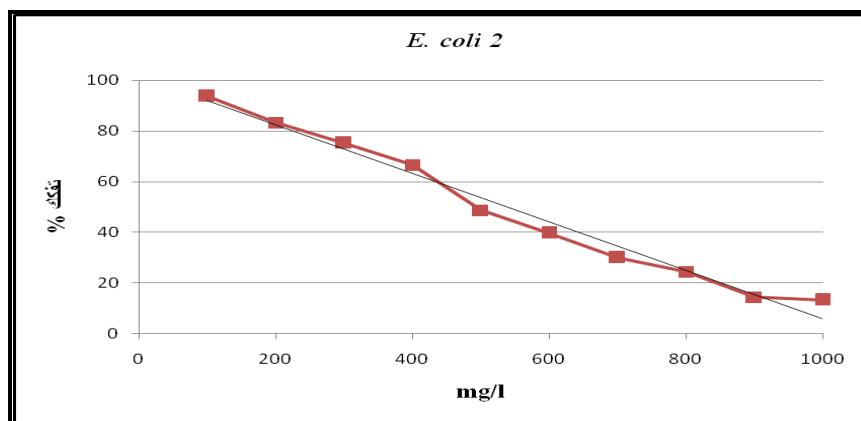
تتبع الأهمية في هذه الدراسة من تنوع الأحياء الدقيقة التي توجد في مياه الصرف، ولمعرفة إلى أي حد يمكن أن يؤثر تغيير تركيز المادة الفعالة سطحياً التي تصل إلى مياه الصرف في فعالية أنواع الجراثيم الموجودة فيها من أجل القيام بعملها المفكك، إذ يلاحظ في الشكل 112 أن العلاقة بين تركيز SDSs وقدرة *E.coli 1* على تفكيك تلك المادة هي علاقة ارتباط عكسي، وتقل النسبة المئوية للتفكيك مع ارتفاع التركيز مع ملاحظة أن التراكيز المنخفضة فككت بشكل جيد في بداية التجربة.

إن أقرب معادلة يمكن المقارنة بها هي معادلة المستقيم ( $Y = -0.111X + 117.2$ ) ذات معامل الارتباط  $R = -0.932$  علماً أن معامل ارتباط نتائج التجربة كان  $R = -0.965$ ، بفارق يبلغ 0.03، والعلاقة قوية.



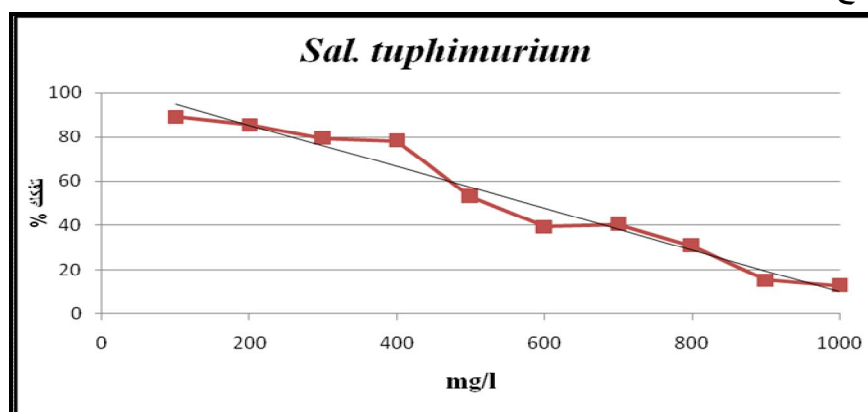
الشكل 112. العلاقة بين تركيز SDSs وقدرة *E.coli 1* على التفكيك في درجة الحرارة 25°C.

أما بوجود *E.coli 2* فقد كانت العلاقة أكثر وضوحاً، وتوجد علاقة ارتباط عكسي واضحة. تعدّ المعادلة ( $Y = -0.095X + 101.5$ ) ذات معامل الارتباط  $R = -0.981$  هي الأقرب لنتائج التجربة والتي يمكن المقارنة بها، علماً أن معامل الارتباط الخاص بنتائج التجربة كان  $R = -0.990$ ، بفارق يبلغ 0.009، والعلاقة قوية جداً كما هو ملاحظ في الشكل 113، وعند مقارنة السلالتين معاً (تتبعان لنوع واحد) فإننا نلاحظ أن *E.coli 1* أكثر فعالية من *E.coli 2* في التراكيز المنخفضة.



الشكل 113. العلاقة بين تركيز SDSs وقدرة *E.coli 2* على التفكيك في درجة الحرارة 25°C.

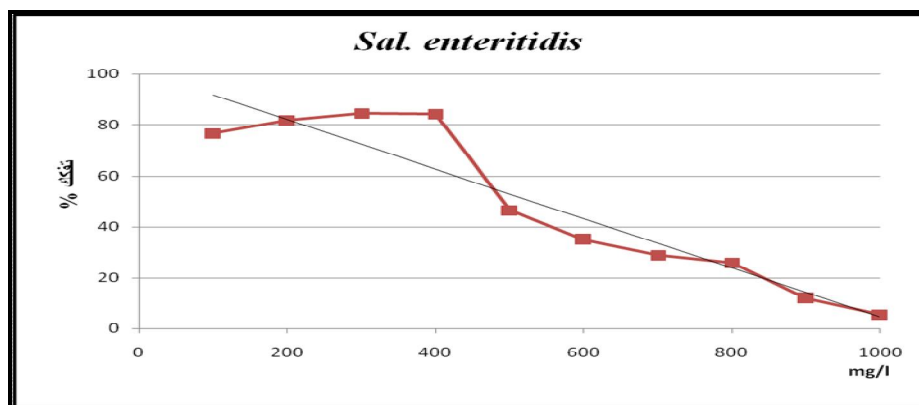
تلاحظ العلاقة العكسية أيضاً في الشكل 114 بين تركيز SDSs وقدرة *Sal. taphimurium* على تفكيك تلك المادة إذ إن علاقة الارتباط العكسي بسيطة شبه خطية. إن أقرب معادلة يمكن المقارنة بها هي معادلة المستقيم ( $Y = -0.093X + 103.8$ ) ذات معامل الارتباط  $R = -0.961$  علماً أن معامل ارتباط نتائج التجربة كان  $R = -0.980$ ، بفارق يبلغ 0.019.



الشكل 114. العلاقة بين تركيز SDSs وقدرة *Sal. taphimurium* على التفكيك في درجة الحرارة 25°C.

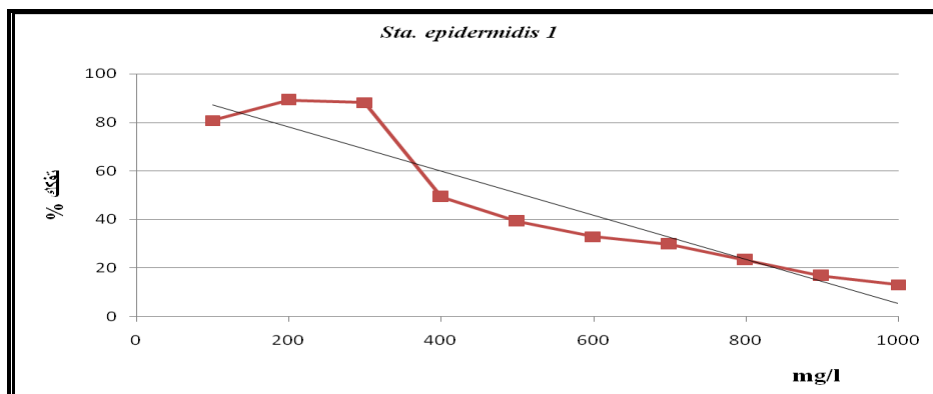
أما بوجود *Sal. enteritidis* فالعلاقة مذبذبة ويزداد التفكيك مع ازدياد التركيز حتى 400 ملغ/ل ثم يبدأ بالانخفاض مع ارتفاع التركيز، كما هو موضح بالشكل 115، إن المعادلة ( $Y = -0.096X + 101.3$ ) ذات معامل الارتباط  $R = -0.887$  هي الأقرب لنتائج التجربة، علماً أن معامل الارتباط الخاص بنتائج التجربة كان  $R = -0.942$ ، و بفارق يبلغ 0.055.

ولكن عند مقارنة النوعين *Sal. taphimurium* و *Sal. enteritidis* معاً (من جنس واحد) يُلاحظ أن *Sal. taphimurium* أكثر فعالية من *Sal. enteritidis* في بعض التراكيز الدنيا.



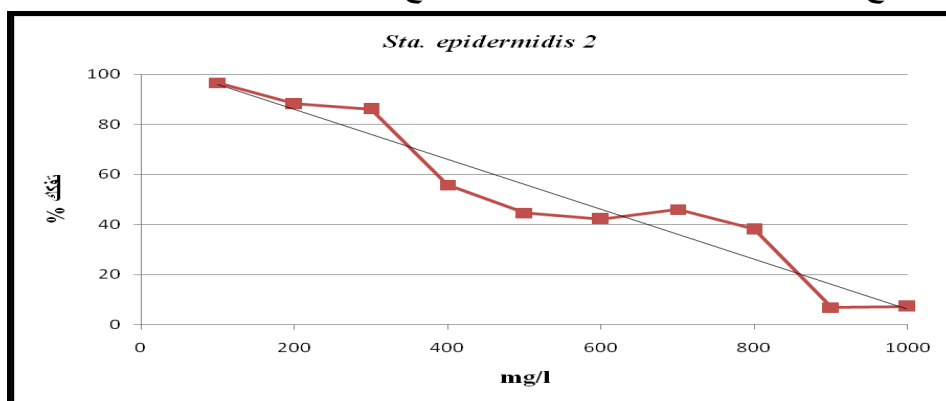
الشكل 115. العلاقة بين تركيز SDSs وقدرة *Sal. enteritidis* على التفكيك في درجة الحرارة 25°C.

لوحظت الحالة السابقة أيضاً عند *Sta. epidermidis* 1 إذ بدأت بما يشبه العلاقة الطردية ثم تحولت إلى علاقة عكسية، وأقرب معادلة يمكن المقارنة بها هي معادلة المستقيم ( $Y = -0.091X + 96.4$ ) ذات معامل الارتباط  $R = -0.881$  علماً أن معامل ارتباط نتائج التجربة كان  $R = -0.938$ ، بفارق يبلغ 0.057 كما في الشكل 116.



الشكل 116. العلاقة بين تركيز SDSs وقدرة *Sta. epidermidis* 1 على التفكيك في درجة الحرارة 25°C.

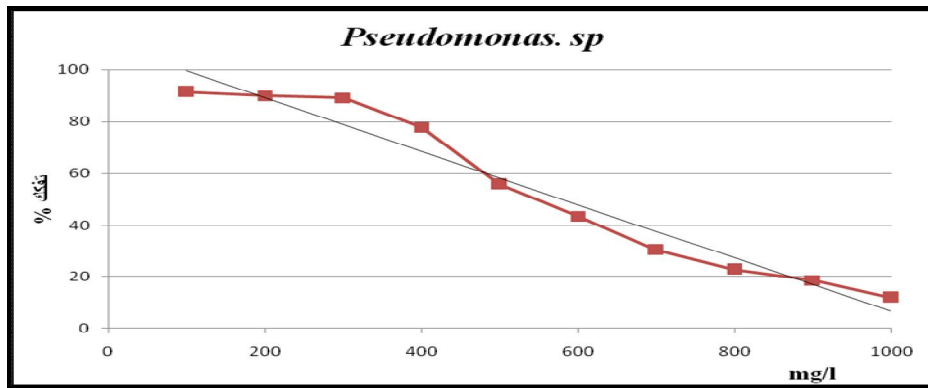
أما بوجود *Sta. epidermidis* 2 فالعلاقة كانت عكسية لكن غير مستمرة كما هو موضح بالشكل 117، إن المعادلة ( $Y = -0.099X + 105.9$ ) ذات معامل الارتباط  $R = -0.922$  هي الأقرب لنتائج التجربة، علماً أن معامل الارتباط الخاص بنتائج التجربة كان  $R = -0.960$ ، و بفارق يبلغ 0.038.



الشكل 117. العلاقة بين تركيز SDSs وقدرة *Sta. epidermidis* 2 على التفكيك في درجة الحرارة 25°C.

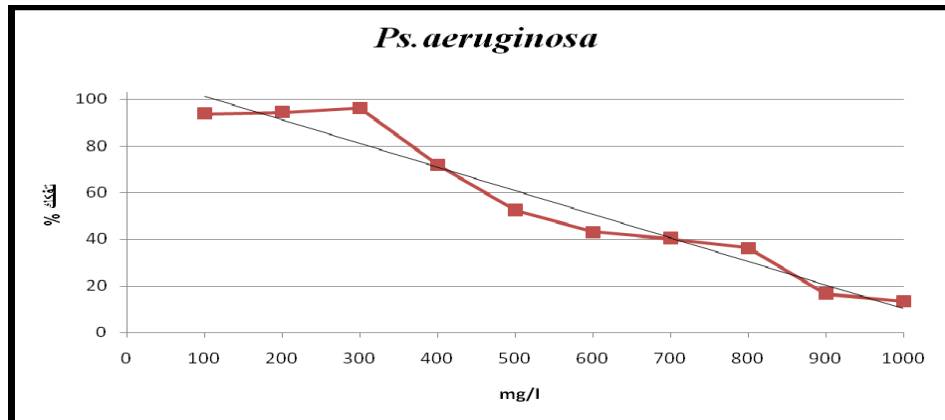
ومع مقارنة السلالتين *Sta. epidermidis 1* و *Sta. epidermidis 2* معاً (من نوع واحد) يلاحظ أن السلالة الثانية أكثر ارتباطاً بتغيير التركيز من السلالة الأولى.

أما بوجود *Pseudomonas. sp* فكانت علاقة ارتباط عكسي واضحة، تعدّ المعادلة ( $Y=-0.103 X+109.9$ ) ذات معامل الارتباط  $R=-0.957$  هي الأقرب لنتائج التجربة التي يمكن المقارنة بها، علماً أن معامل الارتباط الخاص بنتائج التجربة كان  $R=-0.978$ ، بفارق يبلغ 0.023، والعلاقة متينة، كما هو ملاحظ في الشكل 118.



الشكل 118. العلاقة بين تركيز SDSs وقدرة *Pseudomonas. sp* على التفكيك في درجة الحرارة 25°C.

أما عند *Ps.aeruginosa* فالعلاقة العكسية أقل وضوحاً بحسب التراكيز كما هو موضح بالشكل 119، إن المعادلة ( $Y=-0.101 X+111.5$ ) ذات معامل الارتباط  $R=-0.945$  هي الأقرب لنتائج التجربة، علماً أن معامل الارتباط الخاص بنتائج التجربة كان  $R=-0.972$ ، وبفارق يبلغ 0.027.



الشكل 119. العلاقة بين تركيز SDSs وقدرة *Ps.aeruginosa* على التفكيك في درجة الحرارة 25°C.

عند مقارنة النوعين *Pseudomonas. sp* و *Ps.aeruginosa* معاً (من جنس واحد) فقد لوحظ أن *Pseudomonas. sp* أكثر فعالية من *Ps.aeruginosa*، وأن علاقة النوع الأول بتغيير التركيز أكثر وضوحاً. عند ملاحظة الأشكال 112، 115، 116، 118 يمكن الاستنتاج أن السلالات المستعملة في أثناء تفكيكها للتراكيز المنخفضة كان نشاطها بشكل أكبر مع تراكيز (200 - 300 - 400 ملغ/ل) مقارنة بالتركيز 100 ملغ/ل، وقد يعود السبب لحاجة تلك الأحياء للكربون بصفته مصدراً للطاقة بشكل أكبر مما هو عليه بوجود



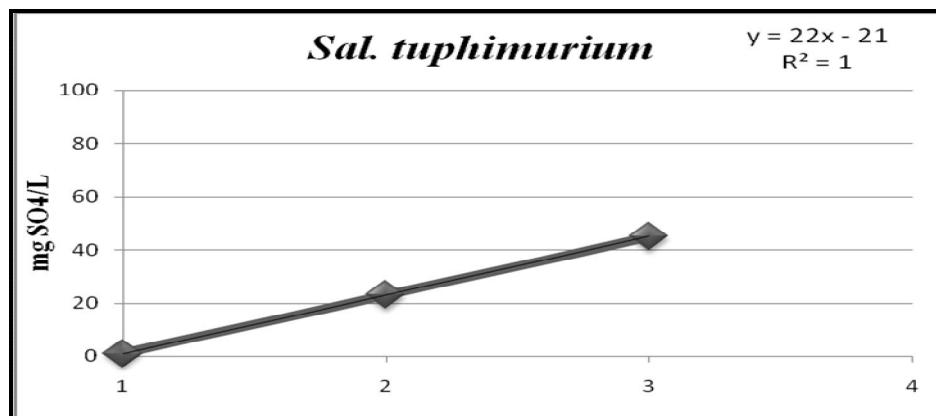
100 ملغ/ل من المادة الفعالة سطحياً فقط، وقبل أن يبدأ الأثر السلبي للمادة الفعالة سطحياً في تلك الأحياء مع تزايد التركيز.

#### 4.3- التفكيك الحيوي لمركبات LASs في وسط يحتويها بصفته مصدراً وحيداً للكربون والكبريت خلال

أشهر مختلفة

لوحظ ازدياد قدرة *Sal. taphimurium* على تفكيك مادة LASs مع ارتفاع درجة الحرارة الفصلية، وهي علاقة ارتباط طردية، إذ ارتفع تركيز شوارد الكبريتات في الوسط، وهذه العلاقة تحقق المعادلة ( $Y = 22X - 21$ ) ذات معامل الارتباط  $R = 1$ ، وبلغ تركيز الكبريتات في الوسط أفضل قيمة له في شهر حزيران وكان 45 ملغ/ل، كما هو ملاحظ في الشكل 120.

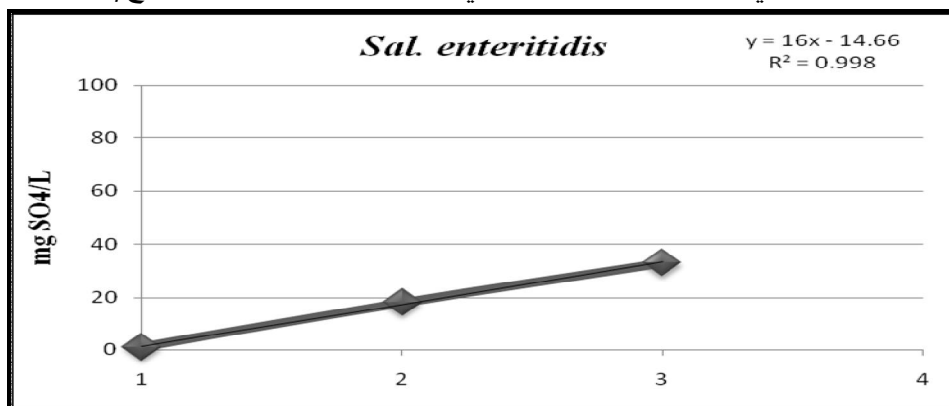
كانون الثاني	آذار	حزيران
1	2	3



الشكل 120. متوسط تغيرات تراكيز شوارد الكبريتات  $SO_4^{2-}$  في الوسط المدروس *Sal. taphimurium*

في LASs خلال أشهر مختلفة في سنة 2008

ويلاحظ في الشكل 121 عند وجود *Sal. enteritidis* أن العلاقة طردية أيضاً، تحقق المعادلة ( $Y = 16X - 14.66$ ) ذات معامل الارتباط  $R = 0.998$ ، وازداد تفكيك LASs مع ارتفاع درجة الحرارة الفصلية، وبلغ تركيز الكبريتات في الوسط أعلى قيمة له في شهر حزيران وكان 33 ملغ/ل.

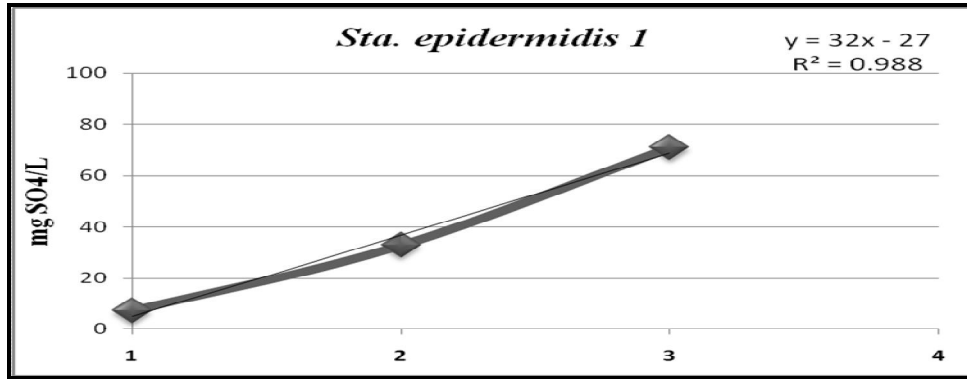


الشكل 121. متوسط تغيرات تراكيز شوارد الكبريتات  $SO_4^{2-}$  في الوسط المدروس *Sal. enteritidis*

في LASs خلال أشهر مختلفة في سنة 2008

ويلاحظ عند مقارنة السلالتين معاً (من جنس واحد) أن كلا منهما قد ازداد نشاطه المفكك لتلك المادة، مع ارتفاع درجات الحرارة الفصلية.

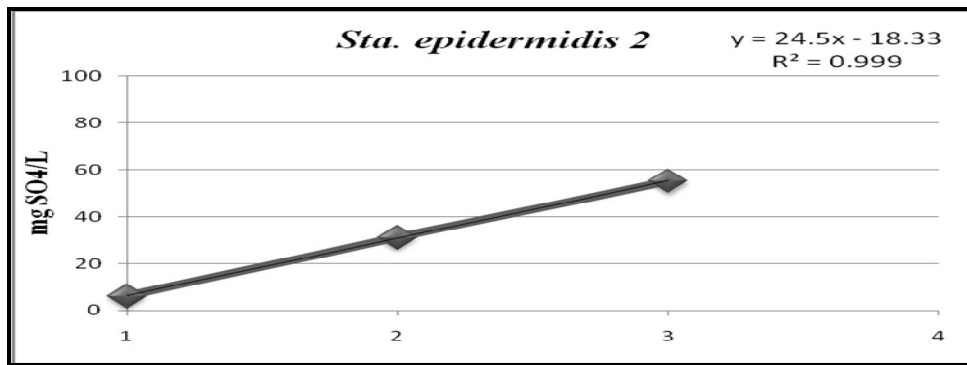
يوضح الشكل 122 أن *Sta. epidermidis* 1 تزداد فعاليتها في التفكيك مع ارتفاع درجة الحرارة الفصلية، وهي علاقة ارتباط طردية، إذ ارتفع تركيز شوارد الكبريتات في الوسط حتى وصل إلى 71 ملغ/ل في شهر حزيران، وهذه العلاقة تحقق المعادلة ( $Y = 32X - 27$ ) إذ معامل الارتباط لها  $R = 0.988$ .



الشكل 122. متوسط تغيرات تراكيز شوارد الكبريتات  $SO_4^{2-}$  في الوسط المدروس *Sta. epidermidis* 1

في LASs خلال أشهر مختلفة في سنة 2008

ويبين الشكل 123 أنه بوجود *Sta. epidermidis* 2 فإن العلاقة طردية، تحقق المعادلة ( $Y = 24.5X - 18.33$ ) ذات معامل الارتباط  $R = 0.999$  والعلاقة قوية جداً كما هو ملاحظ، وبلغ تركيز الكبريتات في الوسط أعلى قيمة له في شهر حزيران وكان 55 ملغ/ل.



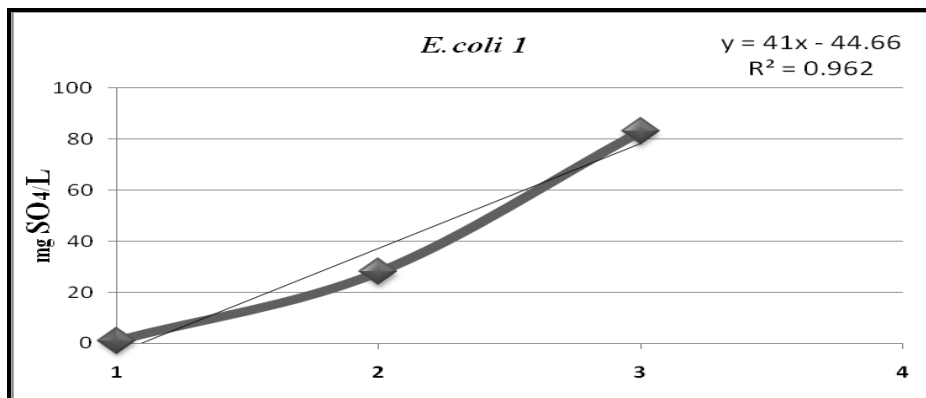
الشكل 123. متوسط تغيرات تراكيز شوارد الكبريتات  $SO_4^{2-}$  في الوسط المدروس *Sta. epidermidis* 2

في LASs خلال أشهر مختلفة في سنة 2008

وتبين عند مقارنة السلالتين معاً (من نوع واحد) يلاحظ ازدياد نشاط كل منهما مع ارتفاع درجات الحرارة ولكن *Sta. epidermidis* 1 هي الأفضل.

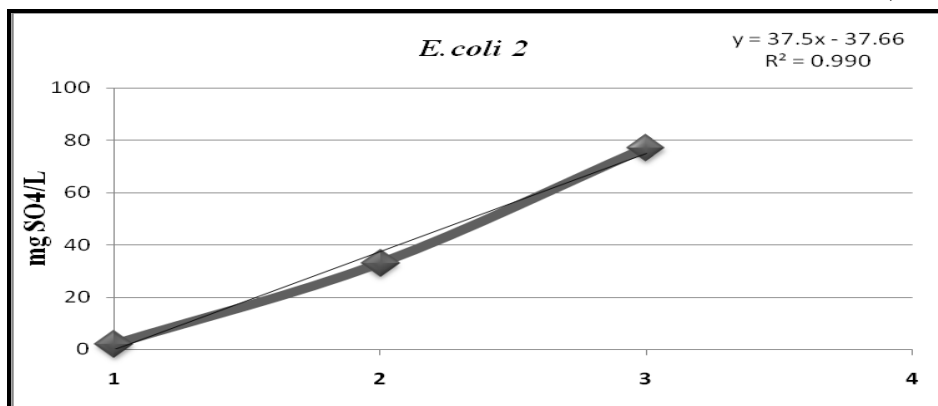
ويوضح الشكل 124 أن *E. coli* 1 فككت LASs بشكل ملحوظ وكانت الأكثر فعالية مقارنة بباقي الاحياء الدقيقة التي أجري اختبارها، وازدادت فعاليتها في التفكيك مع ارتفاع درجة الحرارة الفصلية، وهي علاقة

طردية، ووصل تركيز شوارد الكبريتات في الوسط إلى 83 ملغ/ل في شهر حزيران، وأقرب معادلة يمكن تطبيقها هي ( $Y = 41X - 44.66$ ) إذ معامل الارتباط لها  $R = 0.962$ .



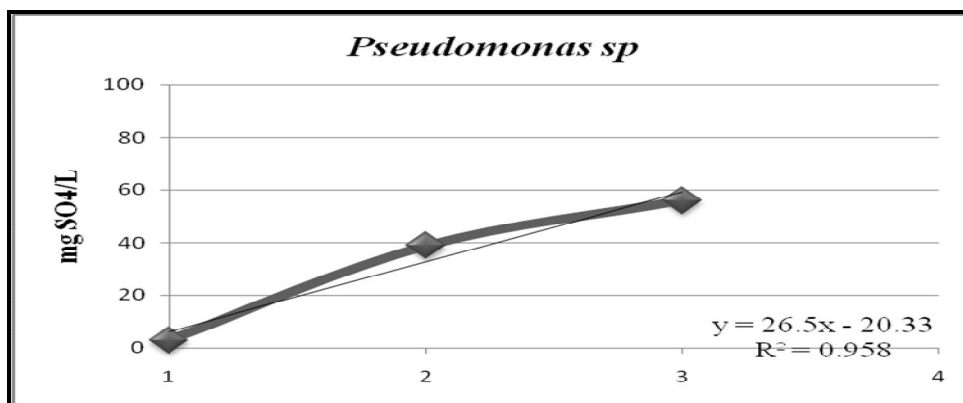
الشكل 124. متوسط تغيرات تراكيز شوارد الكبريتات  $SO_4^{2-}$  في الوسط المدروس *E. coli 1* في LASs خلال أشهر مختلفة في سنة 2008

يلاحظ أيضاً في الشكل 125 إن *E. coli 2* استطاعت تفكيك LASs بشكل جيد، إذ إنَّ العلاقة بين قدرة هذه السلالة على تفكيك هذه المادة وارتفاع درجة الحرارة الفصلية، هي علاقة طردية، وارتفع تركيز شوارد الكبريتات في الوسط حتى وصل إلى 77 ملغ/ل في شهر حزيران، ويمكن في هذه الحالة تطبيق المعادلة ( $Y = 37.5X - 37.66$ ) ومعامل الارتباط لها  $R = 0.990$ .



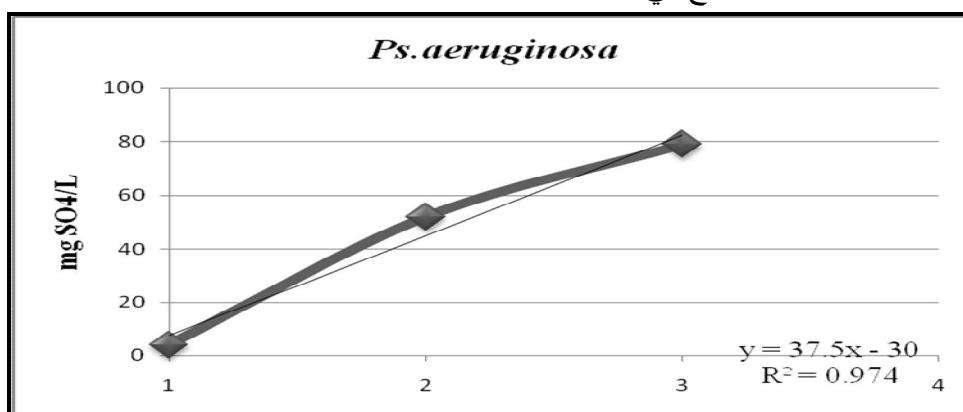
الشكل 125. متوسط تغيرات تراكيز شوارد الكبريتات  $SO_4^{2-}$  في الوسط المدروس *E. coli 2* في LASs خلال أشهر مختلفة في سنة 2008

يلاحظ عند مقارنة السلالتين معاً (من نوع واحد) أنه ازداد نشاط كل منهما، مع ارتفاع درجات الحرارة ولكن *E. coli 1* هي الأفضل وكانت *E. coli 2* هي الأكثر ارتباطاً بزيادة درجة الحرارة الفصلية. يوضح الشكل 126 أن *Pseudomonas sp* استطاع تفكيك LASs بشكل متناسب طردياً مع ازدياد درجة الحرارة الفصلية، والعلاقة بينهما هي علاقة طردية، إذ ارتفع تركيز شوارد الكبريتات في الوسط حتى وصل إلى 56 ملغ/ل في شهر حزيران، وأقرب معادلة يمكن تطبيقها هي ( $Y = 26.5X - 20.33$ ) ومعامل الارتباط لها  $R = 0.958$ .



الشكل 126. متوسط تغيرات تراكيز شوارد الكبريتات  $\text{SO}_4^{2-}$  في الوسط المدروس *Pseudomonas sp* في LASs خلال أشهر مختلفة في سنة 2008

أما النوع *Ps.aeruginosa* فقد استطاع أن يفكك LASs بشكل كبير، ويعدّ ثاني أفضل مفكك بشكل متناسب طردياً مع ازدياد درجة الحرارة الفصلية، والعلاقة طردية، وازداد تركيز شوارد الكبريتات في الوسط حتى وصل إلى 79 ملغ/ل في شهر حزيران، وأقرب معادلة يمكن تطبيقها هي ( $Y = 37.5 X - 30$ ) ومعامل الارتباط لها  $R = 0.974$ ، كما هو موضح في الشكل 127.



الشكل 127. متوسط تغيرات تراكيز شوارد الكبريتات  $\text{SO}_4^{2-}$  في الوسط المدروس *Ps.aeruginosa* في LASs خلال أشهر مختلفة في سنة 2008

عند مقارنة عمل *Pseudomonas sp* و *Ps.aeruginosa* (من جنس واحد) يلاحظ أن *Ps.aeruginosa* هو الأفضل تفكيكاً مع ارتفاع درجة الحرارة الفصلية. توضح الأشكال 120 - 127 تباين فعالية جميع الجراثيم المستعملة في هذه التجربة في تفكيك LASs خلال الفصول المختلفة من العام متأثرة بتغير درجة الحرارة، وكان واضحاً انخفاض هذه الفعالية في شهر كانون الثاني بسبب انخفاض درجة الحرارة. كان أفضلها تفكيكاً خلال شهر كانون الثاني *Staphylococcus epidermidis* 1 إذ ازداد تركيز شوارد الكبريتات في الوسط ووصل إلى 7 ملغ/لتر فقط.

أما خلال شهر آذار، ف لوحظ تحسّن نشاط الجراثيم، وارتفاع تركيز شوارد الكبريتات في الوسط بنسبة ملحوظة، وكانت الأفضل تفكيكاً خلال هذا الشهر *Ps.aeruginosa* إذ بلغ تركيز شوارد الكبريتات في الوسط 52 ملغ/لتر.

أما خلال شهر حزيران فكان للارتفاع الواضح لدرجة الحرارة تأثيراً واضحاً على تفكيك LASs إذ ارتفع تركيز الكبريتات في الوسط بشكل واضح عند جميع السلالات، وكان أفضلها *E.coli1* ووصل إلى 83 ملغ/لتر، ثم *Ps.aeruginosa* مع تركيز 79 ملغ/لتر، ثم *E.coli2* مع تركيز 77 ملغ/لتر، ثم *Staphylococcus epidermidis 1* مع تركيز وصل إلى 71 ملغ/لتر.

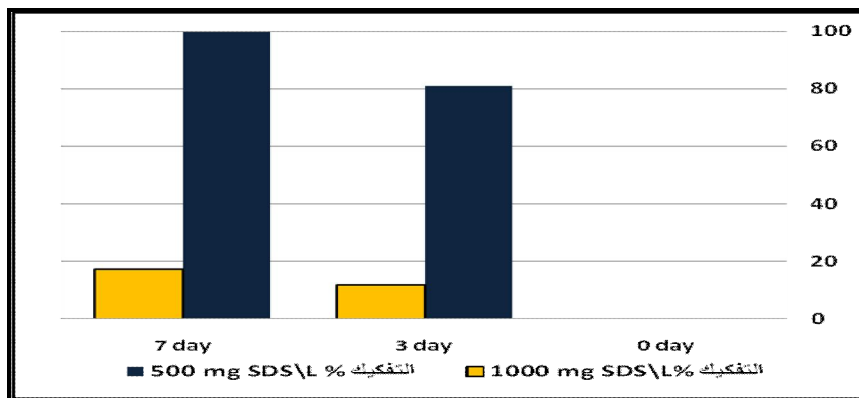
يُستنتج من تلك الأشكال أيضاً أن تركيز شوارد الكبريتات قد ازداد في الوسط بتأثير الجراثيم المستعملة وازداد النشاط الجرثومي مع ارتفاع درجة الحرارة مما أدى إلى زيادة التفكيك الحيوي لمركبات LASs الموجودة في الوسط المدروس.

إن زيادة تركيز الكبريتات يدل على تفكيك مركبات LASs بفعل الجراثيم التي أضيفت للوسط كما هو موضح في الشكل 4، وتؤدي درجة الحرارة الفصلية دوراً كبيراً في هذا التفكيك.

عند مقارنة نتائج هذه التجربة مع تجربة قام بها الباحث Sales,D وزملاؤه (1999) لمعرفة نسبة تفكيك LASs الموجود في مياه البحر بتأثير الأحياء الموجودة في تلك المياه بشكل طبيعي في درجات حرارة مختلفة تبين أن 90% من LASs يتفكك حيوياً في درجة الحرارة 25°C خلال 15 يوماً، أما الجراثيم المستعملة في البحث. وقد فككت LASs بنسبة كبيرة خلال 3 أيام فقط، وكانت درجة الحرارة في شهر حزيران أكثر ملاءمة لها نظراً لأن الأحياء المستعملة أليفة لدرجة الحرارة 30°C، مما ساعدها على تفكيك تلك المادة بشكل جيد، مع ملاحظة غياب حالة التنافس بين الأحياء التي كانت في تجربة الباحث Sales,D، يضاف إلى ذلك أن LASs هو المصدر الكربوني والكبريتي الوحيد في تجربة البحث، أما في تجربة الباحث Sales,D فتوجد مصادر أخرى للكربون والكبريت والطاقة.

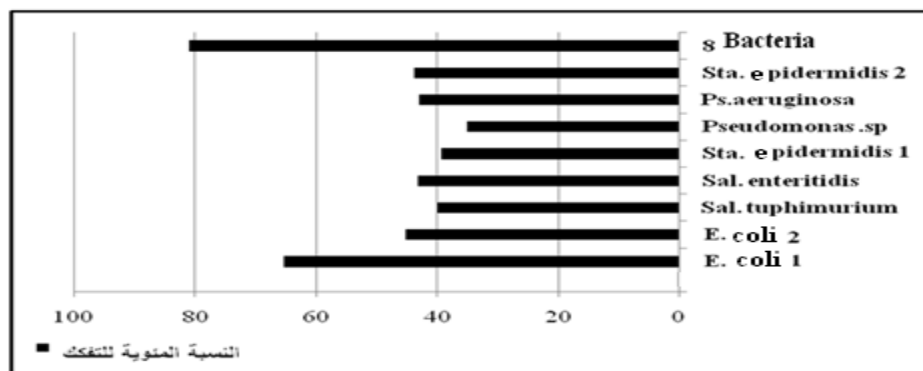
### 5.3- التفكيك الحيوي SDSs في وسط صناعي سائل بتأثير الجراثيم المنتقاة مجتمعة.

يوضح الشكل 128 أن نسبة التفكيك كانت مرتفعة عند تركيز 500 ملغ/ل بوجود جميع السلالات الجرثومية المستعملة معاً، وقد بلغت خلال 3 أيام نحو 81%، واقتربت خلال اليوم السابع من أن تكون تامة وبلغت 99.88% وقد يعود السبب إلى تكافل هذه الجراثيم على النمو بوجود تركيز 500 ملغ/ل، واستطاعت تفكيك SDSs بنسبة عالية جداً، أما عند التركيز 1000 ملغ/ل فإن التفكيك كان منخفضاً في نهاية التجربة متجاوزاً قليلاً 17%.



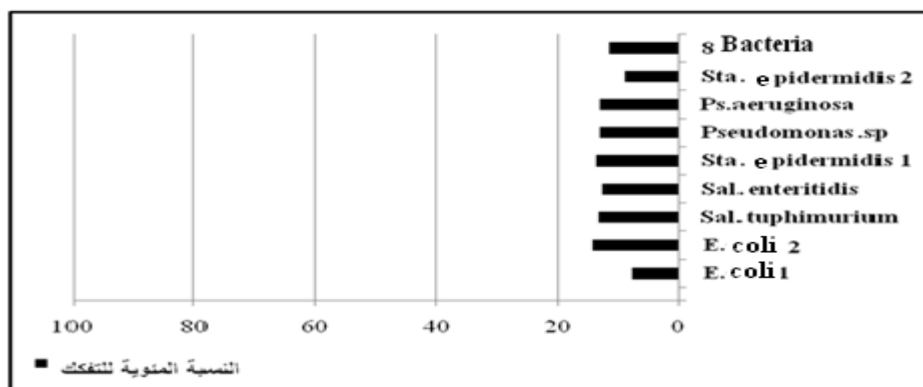
الشكل 128. النسبة المئوية لمادة SDSs المتفككة بوجود السلالات مجتمعة خلال أسبوع وفي درجة 25°C.

عند مقارنة نسبة التفكيك بوجود الجراثيم المختارة مجتمعة، ونسبة التفكيك الناتجة عن عمل كل منها منفردة، بوجود التركيز 500 ملغ/ل يلاحظ أن وجود السلالات الجرثومية مجتمعة كان له تأثير أكبر في عملية التفكيك الحيوي لمركب SDSs إذ بلغت النسبة خلال 72 ساعة 81% وكانت أفضل نسبة عند عمل الجراثيم المستعملة بشكل منفرد عند *E. coli* 1 بنسبة 65.22% وأن الأنواع جميعها كانت متوسطة التفكيك في 25°C، ويمكن تفسير ذلك بأن زيادة عدد الجراثيم وتنوعها كان له التأثير الإيجابي الأكبر في عملية التفكيك الحيوي لمادة SDSs، وهذا ما يترافق أيضاً مع زيادة نشاط تلك الأحياء الدقيقة وتنوعها، كما هو ملاحظ في الشكل 129.



الشكل 141. مقارنة تغير النسبة المئوية لتفكيك SDSs (500 ملغ/ل) عند السلالات منفردة والسلالات مجتمعة (25°C) خلال 72 ساعة.

أما في حالة وجود التركيز 1000 ملغ/ل من SDSs في الوسط، فيلاحظ أن نسبة التفكيك بوجود السلالات مجتمعة كانت ضعيفة (11.69%) وهي قريبة من نسبة التفكيك الناتجة عن عمل أي من الأحياء الدقيقة على حدة في الدرجة 25°C، مما يؤكد التأثير المثبط لهذا التركيز المرتفع على الجراثيم المدروسة، إذ كانت النسبة نحو 15% كما في الشكل 130.

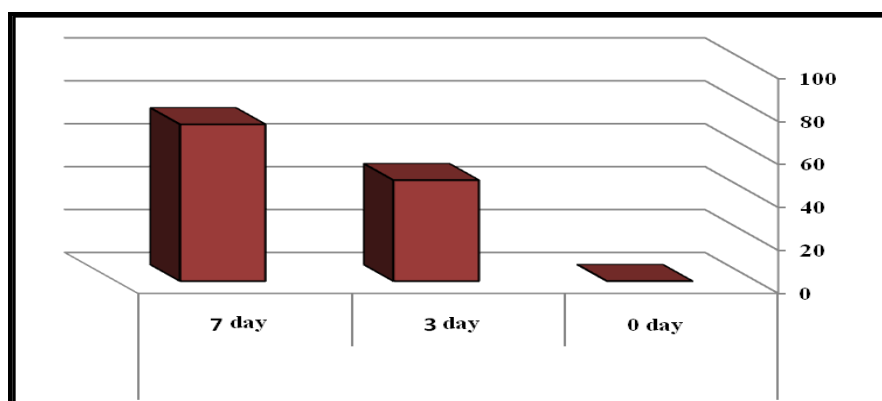


الشكل 130. مقارنة تغير النسبة المئوية لتفكيك SDSs (1000 ملغ/ل) عند السلالات منفردة والسلالات مجتمعة (25°C) خلال 72 ساعة.

### 6.3- التفكيك الحيوي للمواد الفعالة سطحياً في بعض أنواع المنظفات في وسط صناعي سائل بتأثير الجراثيم المنتقاة.

إن نتائج تأثير الجراثيم المنتقاة في المواد الفعالة سطحياً الموجودة في بعض أنواع المنظفات في وسط صناعي سائل مبيّنة بالأشكال 131 - 137.

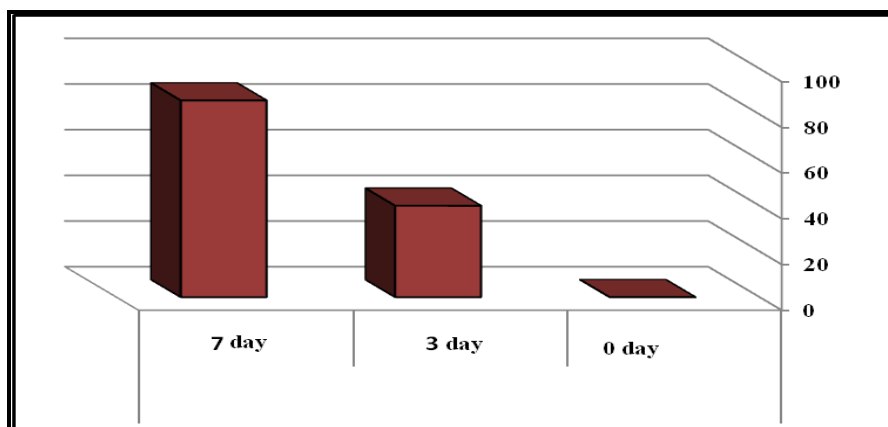
يلاحظ من الشكل 131 أنه عند استعمال مسحوق الغسيل (مدار) بصفته مصدراً للكربون والطاقة طرأ حدوث تغير في تركيز الكبريتات في الوسط، إذ إن نسبة تفكيك LASs في الوسط والحاوي منظف مدار كانت 47% خلال ثلاثة أيام وارتفعت إلى 73% بعد أسبوع بوجود السلالات الثماني مجتمعة.



الشكل 131. النسب المئوية لتفكيك LASs في عينة منظف مدار.

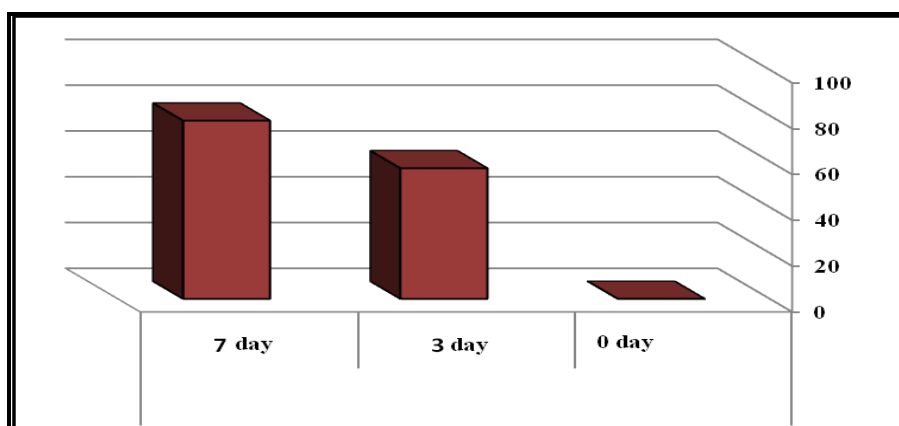
أما في حال استعمال مسحوق الغسيل (سوبر توبر) فيلاحظ أن نسبة تفكيك LASs في الوسط الحاوي هذا المنظف كانت 40% خلال ثلاثة أيام و 86.1% خلال أسبوع بوجود السلالات الثماني مجتمعة، كما في الشكل

132.



الشكل 132. النسب المئوية لتفكيك LASs في عينة منظف سوبر توبر.

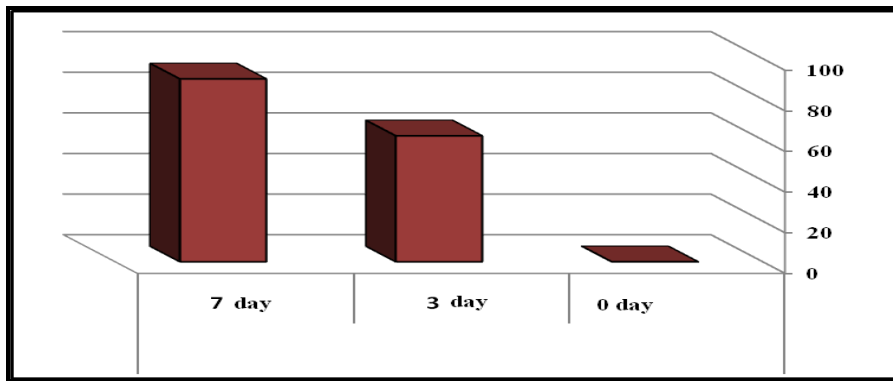
أما عند استعمال مسحوق الغسيل (برنس) فقد لوحظت زيادة تركيز الكبريتات في الوسط الذي يدل على زيادة تفكيك LASs، وذلك مقارنة بالشكلين 131 و 132، ووصلت نسبة تفكيك LASs إلى 57% خلال الأيام الثلاثة الأولى للتجربة، وأصبحت 77.8% بعد أسبوع بوجود السلالات الثماني مجتمعة، كما في الشكل 133.



الشكل 133. النسب المئوية لتفكيك LASs في عينة منظف برنس.

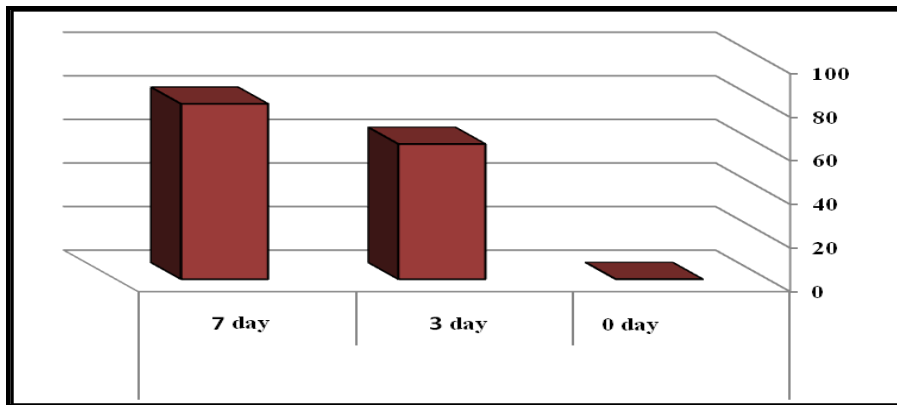
وفي الشكل 134 استعمل مسحوق الغسيل (برسيل) لوحظ أيضاً أن نسبة تفكيك LASs في الوسط المدروس قد ارتفعت طيلة فترة التجربة مقارنة بباقي المنظفات، وكانت 62% خلال ثلاثة أيام وارتفعت إلى 90% بعد أسبوع بوجود السلالات الثماني مجتمعة.





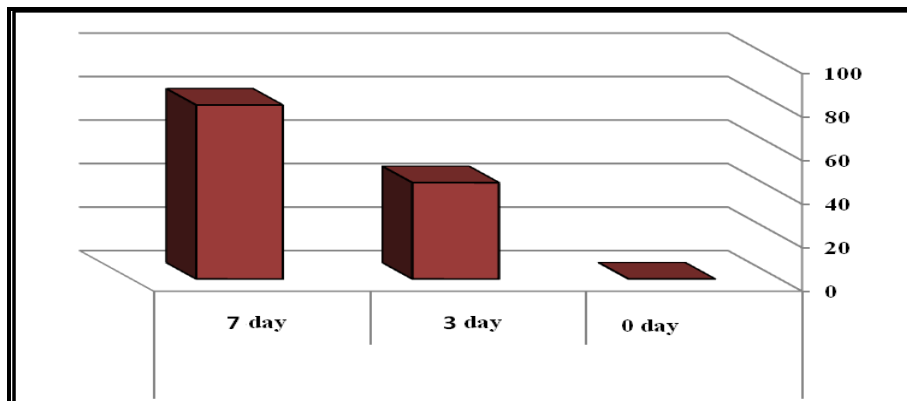
الشكل 134. النسب المئوية لتفكيك LASs في عينة منظم برسيل.

وقد لوحظت هذه الحالة أيضاً في الشكل 135 عند استعمال مسحوق الغسيل (أريان) فارتفعت نسبة تفكيك LASs في الوسط المدروس خلال الأيام الثلاثة الأولى للتجربة وبلغت 62% خلال ثلاثة أيام و 80.4% بعد أسبوع أقل مما لوحظ في حالة (برسيل) بعد أسبوع من بدء التجربة، بوجود السلالات الثماني مجتمعة.



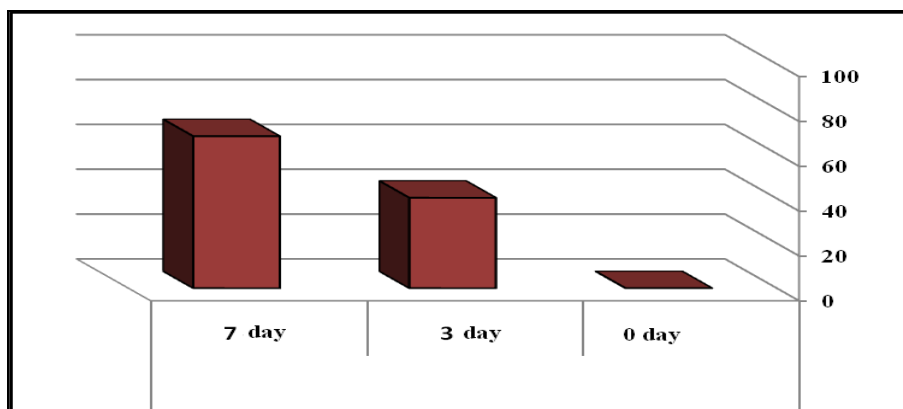
الشكل 135. النسب المئوية لتفكيك LASs في عينة منظم أريان.

وانخفضت تلك النسب عند استعمال مسحوق الغسيل (الأفراح) كما هو موضح في الشكل 136، إذ بلغت نسبة تفكيك LASs في الوسط المدروس الحاوي منظم الأفراح 44.28% خلال ثلاثة أيام وارتفعت إلى 79.96% بعد أسبوع بوجود السلالات الثماني مجتمعة.



الشكل 136. النسب المئوية لتفكيك LASs في عينة منظم الأفراح.

كما انخفضت النسب في حالة مسحوق الغسيل (نايس) فيلاحظ في الشكل 137 أن نسبة تفكيك LASs في الوسط الحاوي منظف (نايس) قد بلغت 40.32%، خلال ثلاثة أيام وارتفعت إلى 67.79%، بعد أسبوع بوجود السلالات الثماني مجتمعة.

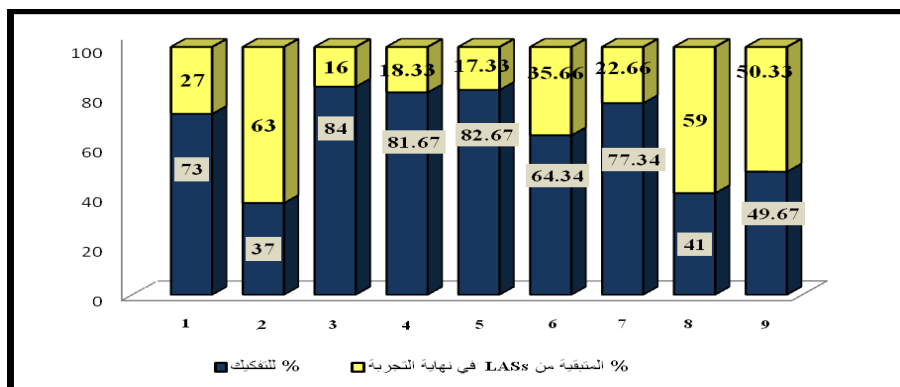


الشكل 137. النسب المئوية لتفكيك LASs في عينة منظف ناييس.

بمقارنة نتائج تفكيك LASs في المنظفات السابقة، مع دراسة الباحث Ogbulie وزملاؤه في العام (2008) إذ استعمل ثلاثة منظفات هي (أومو Omo، جت Jet، وبرسيل Persil) وكانت نتائج تفكيك المنظف برسيل هي الأقل مقارنة بباقي المنظفات، إضافة لاستعمال الباحث أنواع جرثومية أكثر تنتمي إلى (*Bacillus*، *Micrococcus*، *Escherichia*، *Enterobacter*، *Klebsiella*، *Pseudomonas*، *Actinomyces*، *Corynebacterium*، *Serratia*، و *Staphylococcus*)، لكن لوحظ أن الجراثيم التي استمرت حتى نهاية التجربة، التي تراوحت مدتها بين 96 – 144 ساعة، كانت *Pseudomonas*، *Bacillus*، *Actinomyces*، *Corynebacterium*، و *Staphylococcus* على الترتيب، وأظهرت أنواع *Pseudomonas* أفضل نتائج للتفكيك وأنواع *Staphylococcus* أقلها، علماً أن الجراثيم التي استعملها معزولة عن مياه نهر، ربما يفسر ذلك نتائج *Pseudomonas* و *Staphylococcus* المستعملة في الدراسة الحالية، في الحالات التي تفوقت فيها على السلالات الأخرى المستعملة، لقدرتها على البقاء فترة أطول بوجود المواد الفعالة المستعملة في حين تتأثر تلك السلالات سلباً بالمواد الفعالة سطحياً مع مرور زمن التجربة.

### 7.3- التفكيك الحيوي لمركبات C12-LASs في وسط صناعي سائل.

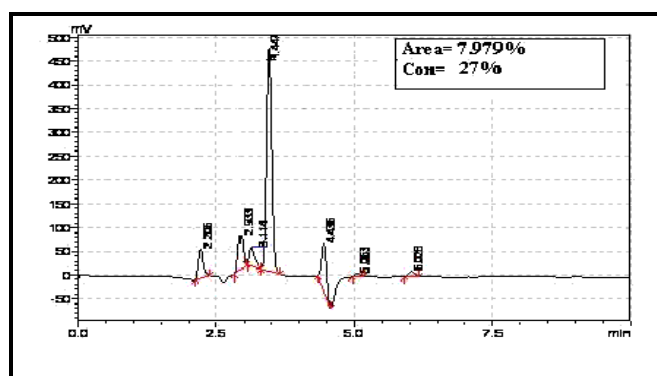
يلاحظ بالشكل 138 أن جميع السلالات استطاعت تفكيك C12-LASs بشكل منفرد، وعند وجودها معاً، وكان أفضلها تفكيكاً *Sal. taphimurium* و *Sta. epidermidis 1* و *Sal. enteritidis* وفق النسب (84%، 82.67%، 81.67%) على الترتيب، وبشكل عام كان عمل كل سلالة جرثومية على حدة أفضل من عملها مجتمعة ولم تتجاوز النسبة 50%.



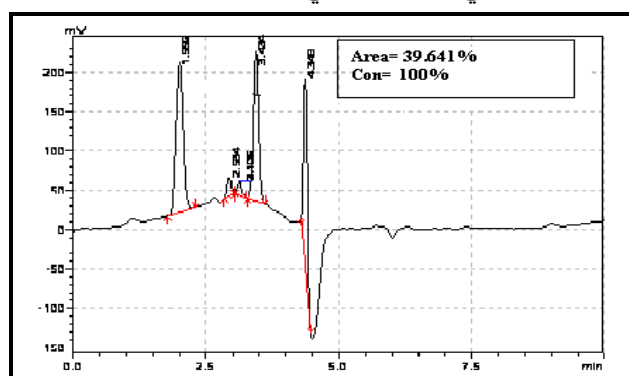
1	<i>E.coli 1</i>
2	<i>E.coli 2</i>
3	<i>Sal. taphimurium</i>
4	<i>Sal. enteritidis</i>
5	<i>Sta. epidermidis 1</i>
6	<i>Sta. epidermidis 2</i>
7	<i>Ps.aeruginosa</i>
8	<i>Pseudomonas sp</i>
9	8 Bacteria

الشكل 138. النسب المئوية لتفكيك C12-LASs في وسط صناعي سائل باستعمال السلالات المنتقاة.

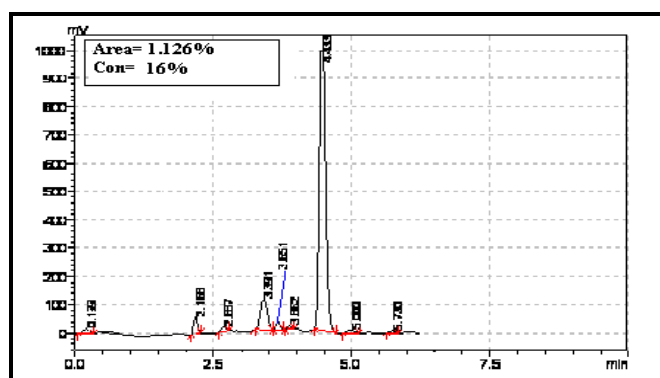
وتبين الأشكال من 139 - 148 نتائج التحليل باستعمال جهاز الكروماتوغرافيا السائلة لتفكيك الحيوي C12-LASs في وسط صناعي سائل.



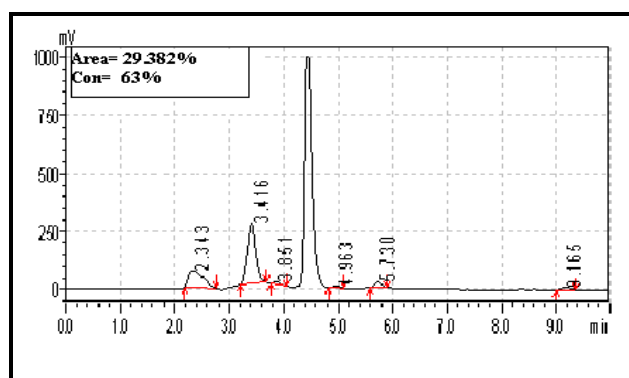
الشكل 140. تفكيك C12-LASs في وسط صناعي سائل باستعمال *E.coli 1*.



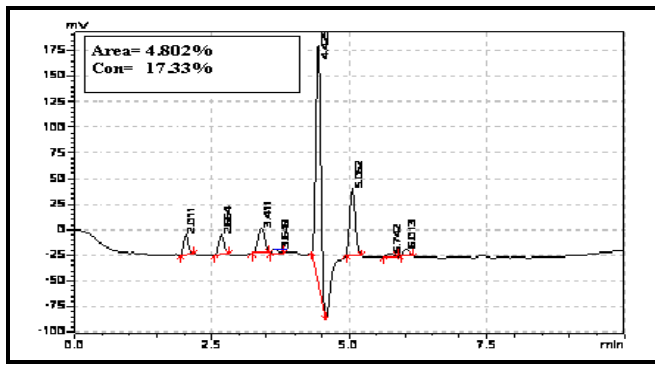
الشكل 139. تحليل C12-LASs في الشاهد في وسط صناعي سائل.



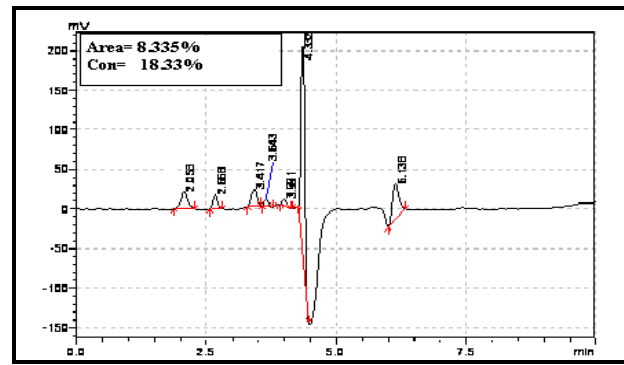
الشكل 142. تفكيك C12-LASs في وسط صناعي سائل باستعمال *Sal. taphimurium*.



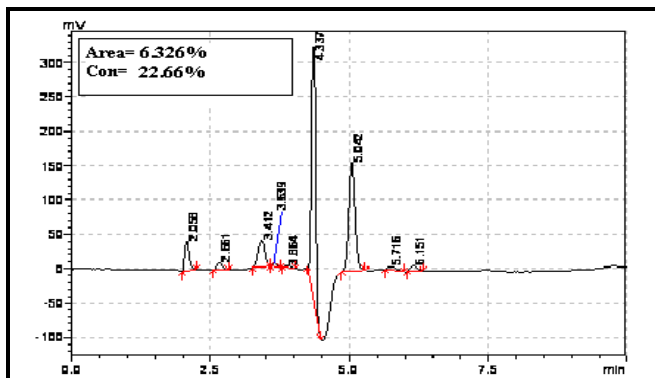
الشكل 141. تفكيك C12-LASs في وسط صناعي سائل باستعمال *E.coli 2*.



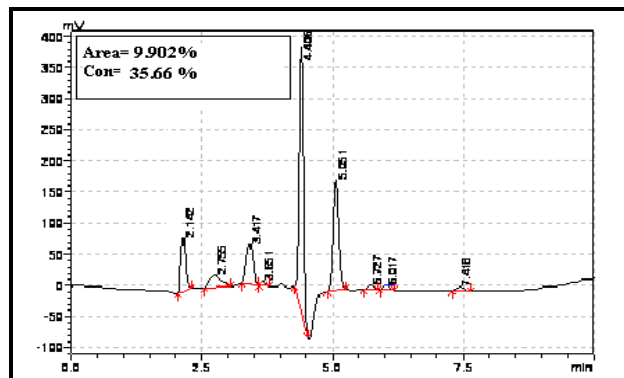
الشكل 144. تفكيك C12-LASs في وسط صناعي سائل  
باستعمال *Sta. epidermidis 1*



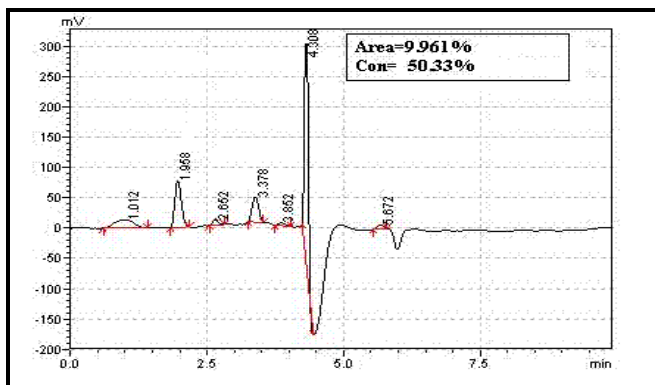
الشكل 143. تفكيك C12-LASs في وسط صناعي سائل  
باستعمال *Sal. enteritidis*



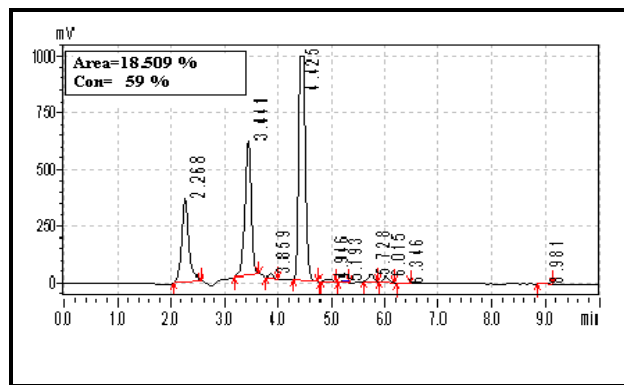
الشكل 146. تفكيك C12-LASs في وسط صناعي سائل  
باستعمال *Ps.aeruginosa*



الشكل 145. تفكيك C12-LASs في وسط صناعي سائل  
باستعمال *Sta. epidermidis 2*



الشكل 148. تفكيك C12-LASs في وسط صناعي سائل  
باستعمال كل السلالات المنتقاة معاً.



الشكل 147. تفكيك C12-LASs في وسط صناعي سائل  
باستعمال *Pseudomonas sp*

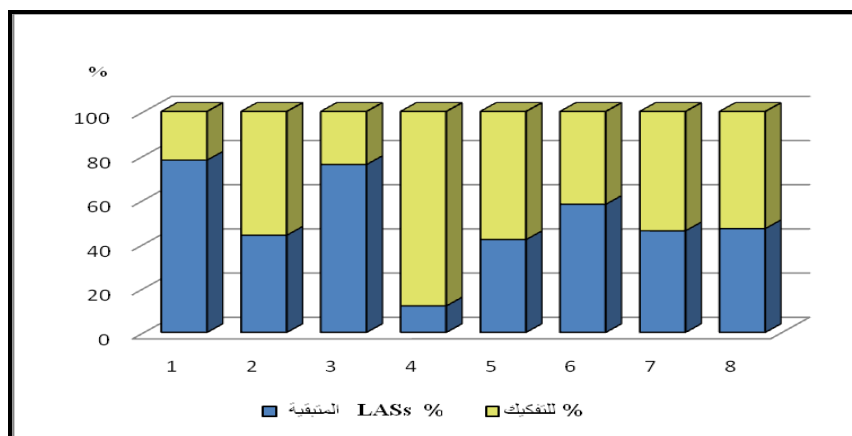
بالمقارنة مع تجربة الباحث Abboud وزملاؤه (2007) استعمل التركيز نفسه وتبين أن الأحياء الدقيقة التي استعملها، والمعزولة عن مياه صرف أيضاً، قد فككت LAS بنسبة وصلت حتى 60 % خلال 150 ساعة (ضعف مدة التجربة الحالية) وذلك في درجة الحرارة نفسها، وهذا يؤكد على أهمية عمل الجراثيم المنتقاة والمستعملة في البحث الحالي في تفكيكها LAS.

### 8.3- التفكيك الحيوي C12-LASs بتأثير الجراثيم المنتقاة في وسط طبيعي من مياه الصرف.

نظراً إلى النشاط المتباين للأنواع والسلالات الجرثومية المعزولة من مياه الصرف، والمنتقاة في التراكيز ودرجات الحرارة ودرجات الحموضة المختلفة، أجريت دراسة تأثير فعالية الجراثيم جميعها في مياه صرف صحي طبيعية، وفق الآتي:

#### 1.8.3- وسط طبيعي من مياه الصرف الصحي المعقم بالحرارة.

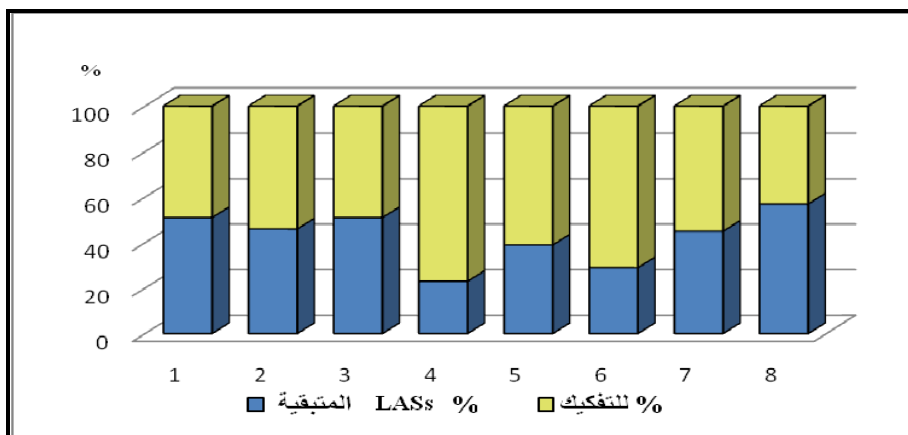
زرعت السلالات جميعها، وبشكل منفرد، في مياه صرف معقمة، مع إضافة واحد شاهداً، والنتائج مبينة بالشكل 149، إذ يلاحظ أن جميع السلالات منفردة استطاعت تفكيك C12-LASs الموجودة في عينة مياه الصرف المعقمة في الدرجة 15°C، ولكن بنسب متفاوتة بين ضعيفة ومتوسطة، وكان أفضلها *Sal. enteritidis*، بنسبة 88%.



1	<i>E. coli 1</i>
2	<i>E. coli 2</i>
3	<i>Sal. taphimurium</i>
4	<i>Sal. enteritidis</i>
5	<i>Sta. epidermidis 1</i>
6	<i>Sta. epidermidis 2</i>
7	<i>Ps. aeruginosa</i>
8	<i>Pseudomonas sp</i>

الشكل 149. النسب المئوية لتفكيك C12-LASs في وسط طبيعي سائل (عينة معقمة) باستعمال الجراثيم المنتقاة منفردة في درجة 15°C.

يلاحظ بالشكل 150 أن جميع السلالات استطاعت أن تفكك C12-LASs بشكل منفرد في عينة مياه الصرف المعقمة في الدرجة 25°C، وكان أفضلها تفكيكاً *Sal. enteritidis*، وكانت نسبة التفكيك نحو 80%، وكان معظمها متوسطة القابلية للتفكيك.

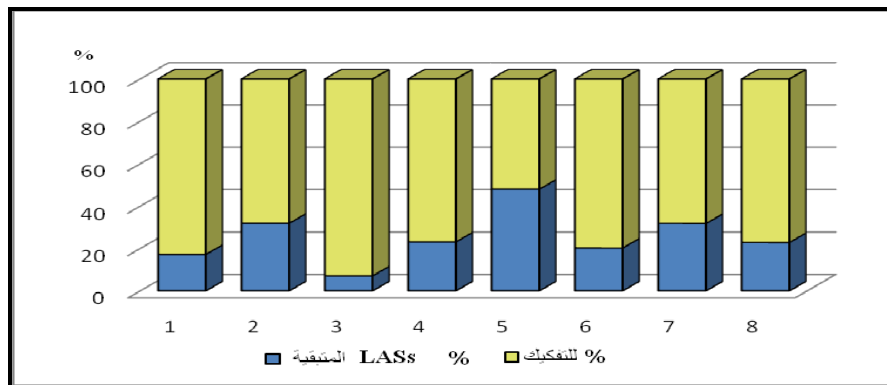


1	<i>E. coli 1</i>
2	<i>E. coli 2</i>
3	<i>Sal. taphimurium</i>
4	<i>Sal. enteritidis</i>
5	<i>Sta. epidermidis 1</i>
6	<i>Sta. epidermidis 2</i>
7	<i>Ps. aeruginosa</i>
8	<i>Pseudomonas sp</i>

الشكل 150. النسب المئوية لتفكيك C12-LASs في وسط طبيعي سائل (عينة معقمة) باستعمال

### الجراثيم المنتقاة منفردة في درجة 25°C.

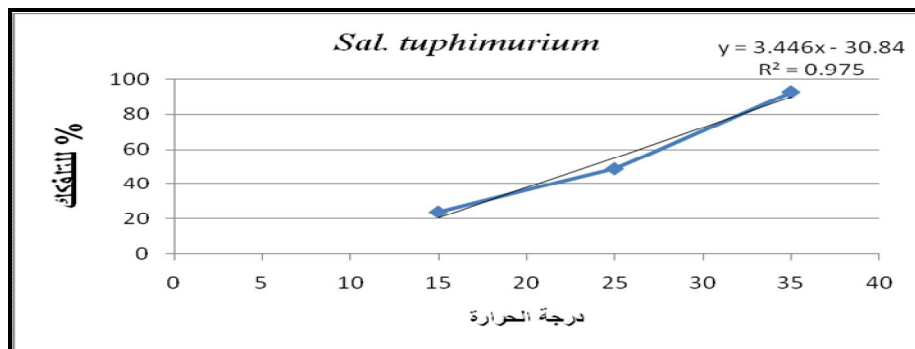
يلاحظ بالشكل 151 أن السلالات استطاعت أن تفكك C12-LASs جيداً، وبشكل عام، في عينة مياه الصرف المعقمة في الدرجة 35°C، وكانت الأفضل تفكيكاً *Sal. taphimurium*، بنسبة 92.92%.



1	<i>E. coli 1</i>
2	<i>E. coli 2</i>
3	<i>Sal. taphimurium</i>
4	<i>Sal. enteritidis</i>
5	<i>Sta. epidermidis 1</i>
6	<i>Sta. epidermidis 2</i>
7	<i>Ps. aeruginosa</i>
8	<i>Pseudomonas sp</i>

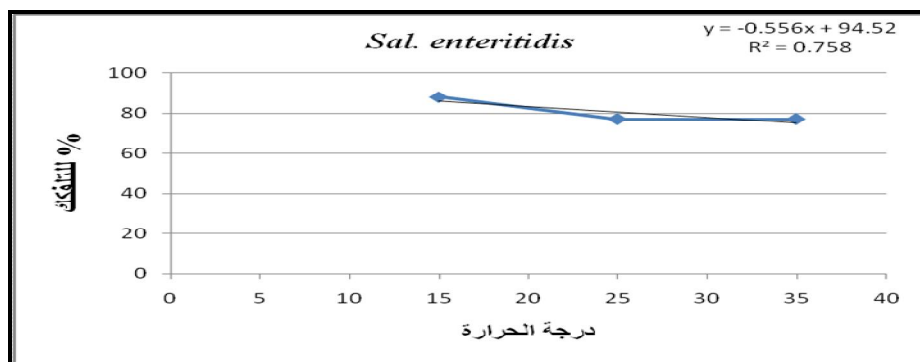
الشكل 151. النسب المئوية لتفكيك C12-LASs في وسط طبيعي سائل (عينة معقمة) باستعمال الجراثيم المنتقاة منفردة في درجة 35°C.

وبينت الدراسة الإحصائية كما يلاحظ بالشكل 152 أن قدرة *Sal. taphimurium* على تفكيك C12-LASs الموجودة في مياه الصرف (معقمة بالحرارة) تزداد مع ارتفاع درجة الحرارة، وتبدي علاقة ارتباط طردية واضحة تحقق المعادلة ( $Y = 3.446x - 30.84$ ) ذات معامل الارتباط  $R = 0.975$ ، بنسبة تفكيك 92.92% في الدرجة 35°C، مما يشير إلى أنها أليفة حرارة.



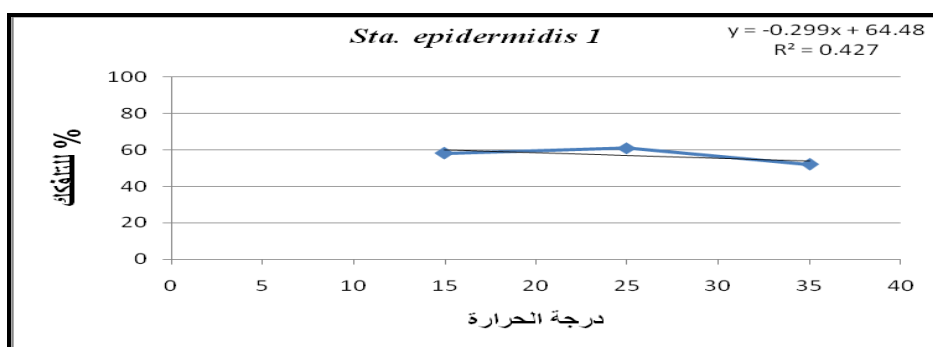
الشكل 152. النسبة المئوية لتفكيك C12-LASs الموجودة في عينة مياه صرف معقمة بالحرارة بوجود *Sal. Taphimurium* في درجات الحرارة المختلفة.

ويبين الشكل 153 أنه عند وجود *Sal. enteritidis* تكون العلاقة غير واضحة، تحقق المعادلة ( $Y = -0.556x + 94.52$ ) ذات معامل الارتباط  $R = 0.758$ ، مع ملاحظة أن فروق نسبة التفكيك لم تتجاوز 11% وكانت أفضل نسبة تفكيك 88% في درجة 15°C، وقد تعود هذه النتيجة إلى وجود مواد متنوعة في عينة مياه الصرف المعقمة، مما يشير إلى أنها واسعة المجال الحراري.



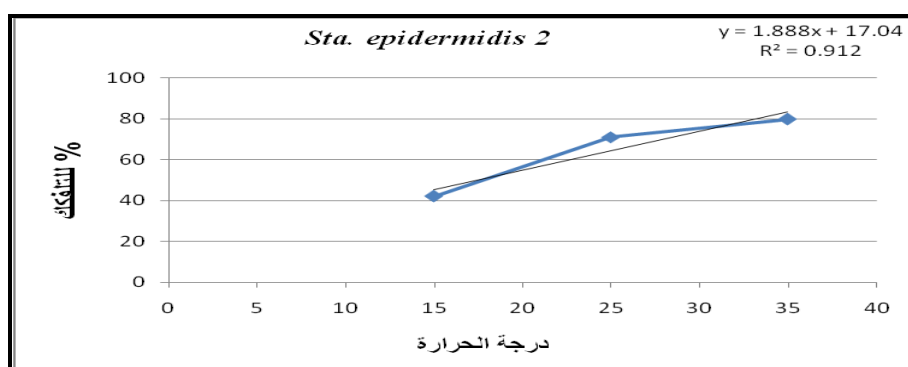
الشكل 153. النسبة المئوية لتفكك C12-LASs الموجودة في عينة مياه صرف معقمة بالحرارة بوجود *Sal. enteritidis* في درجات الحرارة المختلفة.

يوضح الشكل 154 أن *Sta. epidermidis 1* استطاعت تفكيك C12-LASs الموجودة في العينة المدروسة ولم تتأثر كثيراً بارتفاع درجة الحرارة، وكانت أفضل النتائج 61% في درجة 25°C، والعلاقة غير واضحة، وتحقق المعادلة ( $Y = -0.299x + 64.48$ ) إذ إن معامل الارتباط لها  $R = 0.427$ ، مما يشير إلى أنها واسعة المجال الحراري.



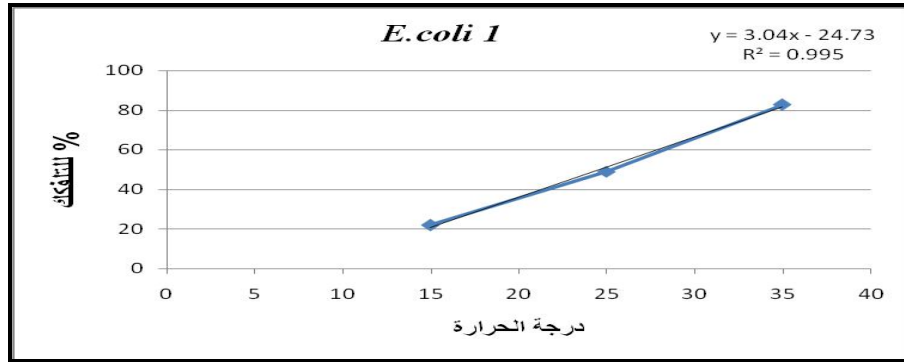
الشكل 154. النسبة المئوية لتفكك C12-LASs الموجودة في عينة مياه صرف معقمة بالحرارة بوجود *Sta. epidermidis 1* في درجات الحرارة المختلفة.

أما الشكل 155 فيبين أنه بوجود *Sta. epidermidis 2* تكون العلاقة طردية، وتحقق المعادلة ذات معامل الارتباط  $R = 0.912$ ، وبلغت أفضل نسبة تفكيك في درجة 35°C، وكانت 79.77%، وتبين عند مقارنة السلالتين معاً (من نوع واحد) أن *Sta. epidermidis 2* هي الأفضل، وأنها أليفة الحرارة.



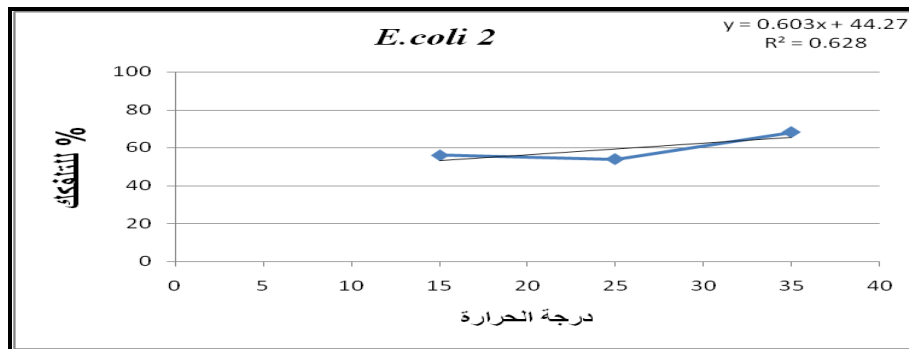
الشكل 155. النسبة المئوية لتفكك C12-LASs الموجودة في عينة مياه صرف معقمة بالحرارة بوجود *Sta. epidermidis 2* في درجات الحرارة المختلفة

وبين الشكل 156 أن *E.coli 1* فككت C12-LASs بشكل جيد، وازدادت فعاليتها في التفكيك مع ارتفاع درجة الحرارة، والعلاقة بين تغير درجة الحرارة وبين النسبة المئوية للتفكيك علاقة طردية، وكانت أفضل نسبة تفكيك في درجة 35°C، فبلغت 82.8%، وأقرب معادلة يمكن تطبيقها هي ( $Y = 3.04x - 24.73$ ) إذ إن معامل الارتباط لها  $R = 0.995$ ، مما يشير إلى أنه أليف الحرارة.



الشكل 156. النسبة المئوية لتفكيك C12-LASs الموجودة في عينة مياه صرف معقمة بالحرارة بوجود *E.coli 1* في درجات الحرارة المختلفة.

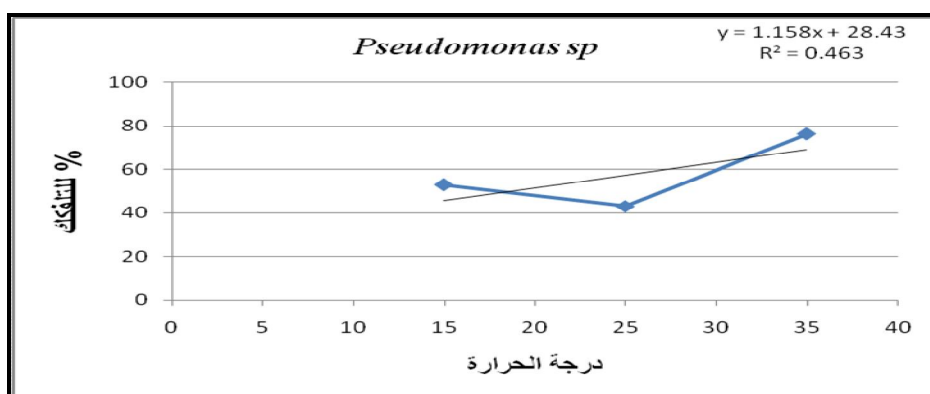
يلاحظ أيضاً في الشكل 157 إن *E.coli 2* استطاعت تفكيك C12-LASs بنسبة متوسطة ومتقاربة مع تغير درجة الحرارة وكانت ثابتة إلى حد ما حتى تجاوزت 25°C، مع ملاحظة زيادة قليلة في نسبة التفكيك عند الدرجة 35°C، وعلاقة الارتباط غير واضحة، إذ وصلت أفضل نسبة تفكيك إلى 68% عند الدرجة 35°C، ويمكن في هذه الحالة تطبيق المعادلة ( $Y = 0.603x + 44.27$ ) ومعامل الارتباط لها  $R = 0.628$ . نلاحظ عند مقارنة السلالتين معاً (من نوع واحد) أن السلالة *E.coli 1* هي الأفضل بينهما والأكثر ارتباطاً مع تغير درجة الحرارة.



الشكل 157. النسبة المئوية لتفكيك C12-LASs الموجودة في عينة مياه صرف معقمة بالحرارة بوجود *E.coli 2*

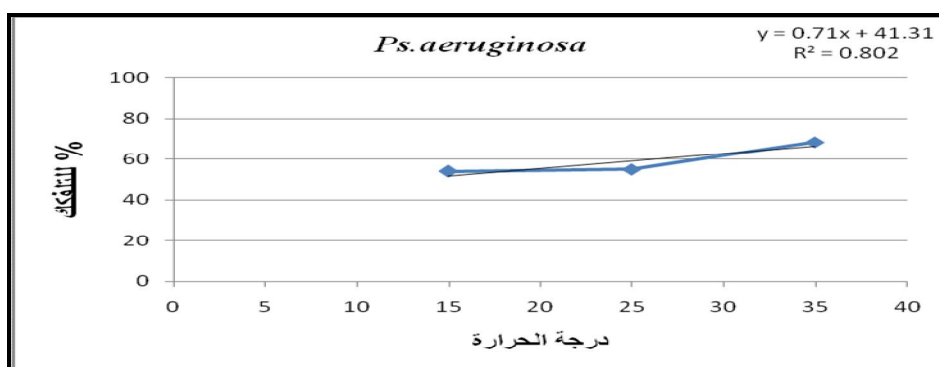
يبين الشكل 158 قدرة *Pseudomonas sp* على تفكيك C12-LASs، ولكن العلاقة مع درجة الحرارة مذبذبة، وقد لوحظ تفضيل هذه الأحياء الدقيقة لدرجات الحرارة 15°C و 35°C، وبلغت أفضل نسبة تفكيك في 35°C (76%)، وأقرب معادلة يمكن تطبيقها هي ( $Y = 1.158x + 28.43$ ) إذ إن معامل الارتباط لها  $R = 0.463$ .





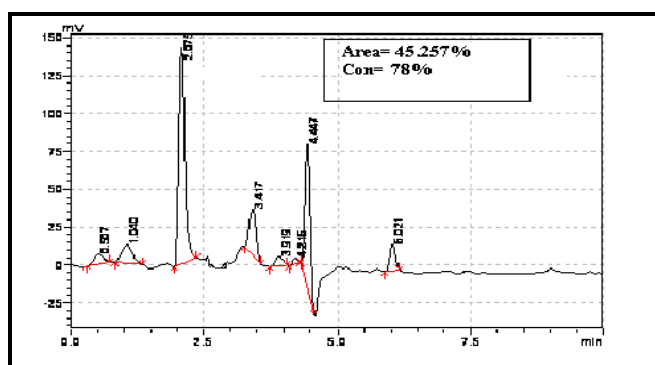
الشكل 158. النسبة المئوية لتفكيك C12-LASs الموجودة في عينة مياه صرف معقمة بالحرارة بوجود *Pseudomonas sp.* في درجات الحرارة المختلفة.

وتستطيع *Ps.aeruginosa* تفكيك C12-LASs بشكل متوسط إلى جيد مع ملاحظة تقارب نسبة التفكيك في الدرجتين ١٥°C و ٢٥°C والعلاقة مع درجة الحرارة طردية، ووصلت أفضل نسبة تفكيك في الدرجة ٣٥°C (68%)، وأقرب معادلة يمكن تطبيقها هي ( $Y = 0.71x + 41.31$ ) ومعامل الارتباط لها  $R = 0.802$ ، كما هو موضح بالشكل 159.

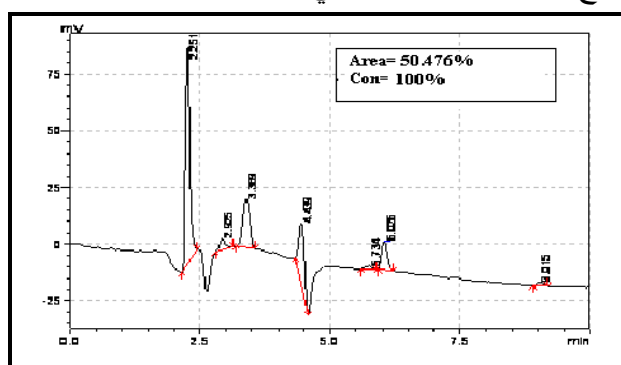


الشكل 159. النسبة المئوية لتفكيك C12-LASs الموجودة في عينة مياه صرف معقمة بالحرارة بوجود *Ps.aeruginosa* في درجات الحرارة المختلفة.

عند مقارنة عمل *Pseudomonas sp.* و *Ps.aeruginosa* (من جنس واحد) يُلاحظ أن *Ps.aeruginosa* هي الأفضل نظراً إلى كونها الأكثر ارتباطاً في التفكيك مع ارتفاع درجة الحرارة، والأشكال 160 - 186 تبين نتائج تحليل C12-LASs في مياه صرف طبيعية معقمة باستعمال جهاز الكروماتوغرافيا السائلة.

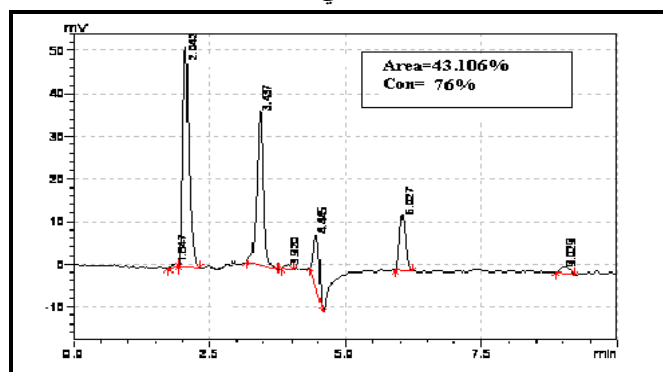


الشكل 161. تفكيك C12-LASs في وسط مياه صرف معقمة

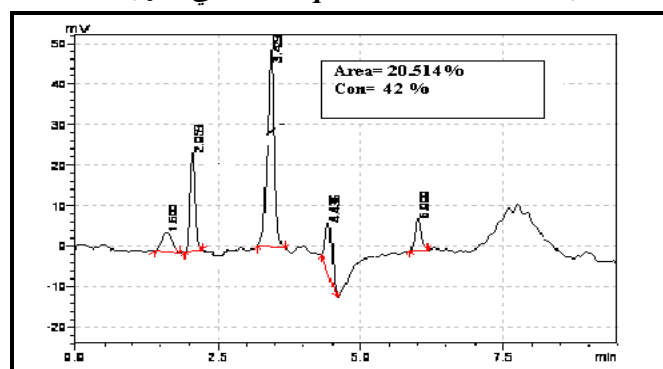


الشكل 160. تحليل C12-LASs في الشاهد في وسط

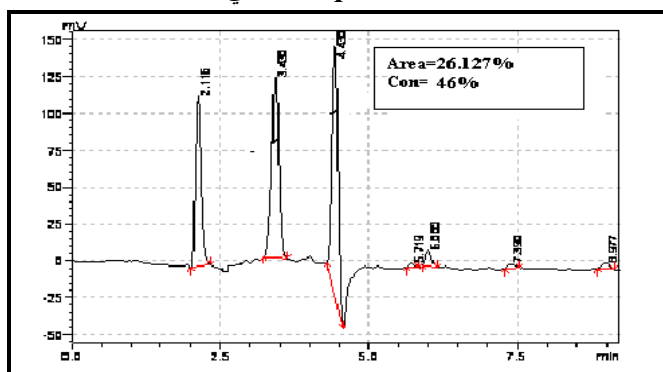
باستعمال *E.coli* 1 في الدرجة ١٥°C.



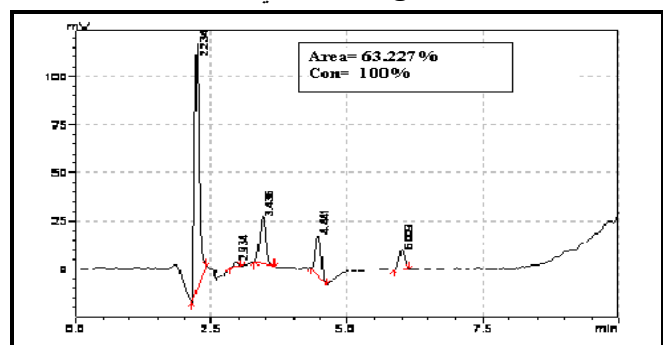
الشكل 163. تفكيك C12-LASs في وسط مياه صرف معقمة باستعمال *Sal. typhimurium* في الدرجة ١٥°C.



الشكل 165. تفكيك C12-LASs في وسط مياه صرف معقمة باستعمال *Sta. epidermidis* 1 في الدرجة ١٥°C.

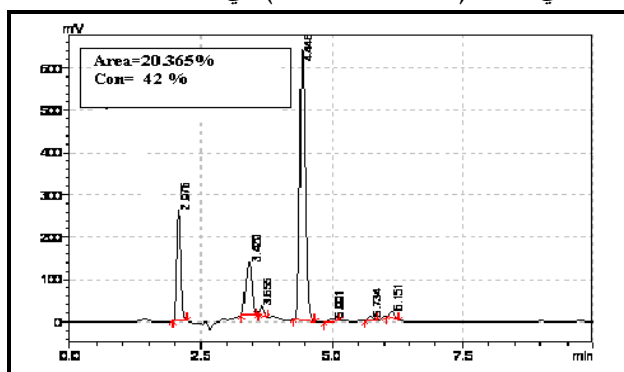


الشكل 167. تفكيك C12-LASs في وسط مياه صرف معقمة باستعمال *Ps.aeruginosa* في الدرجة ١٥°C.

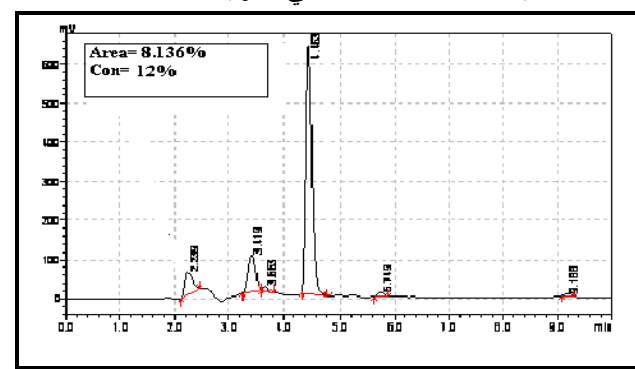


الشكل 169. تحليل C12-LASs في الشاهد في وسط طبيعي

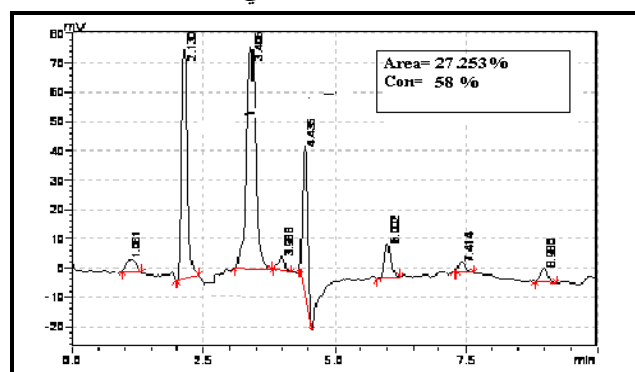
طبيعي سائل (مياه صرف معقمة) في الدرجة ١٥°C.



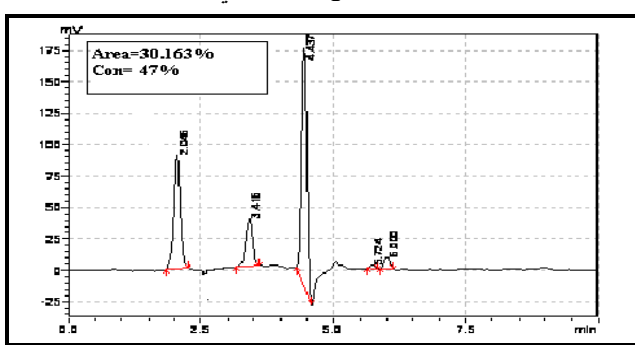
الشكل 162. تفكيك C12-LASs في وسط مياه صرف معقمة باستعمال *E.coli* 2 في الدرجة ١٥°C.



الشكل 164. تفكيك C12-LASs في وسط مياه صرف معقمة باستعمال *Sal. enteritidis* في الدرجة ١٥°C.

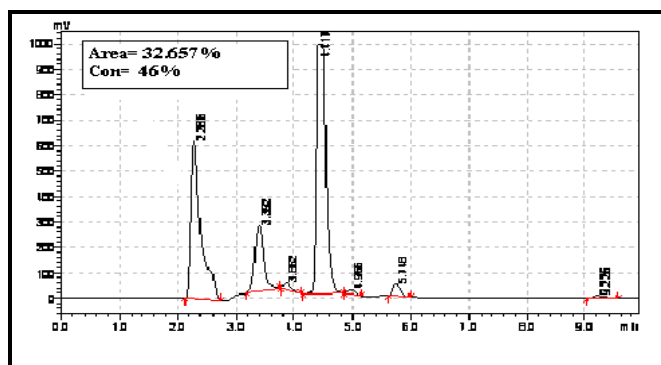


الشكل 166. تفكيك C12-LASs في وسط مياه صرف معقمة باستعمال *Sta. epidermidis* 2 في الدرجة ١٥°C.



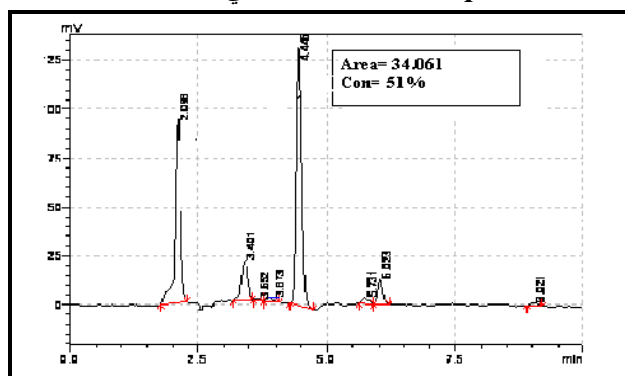
الشكل 168. تفكيك C12-LASs في وسط مياه صرف معقمة

سائل (مياه صرف معقمة) في الدرجة ٢٥°C.



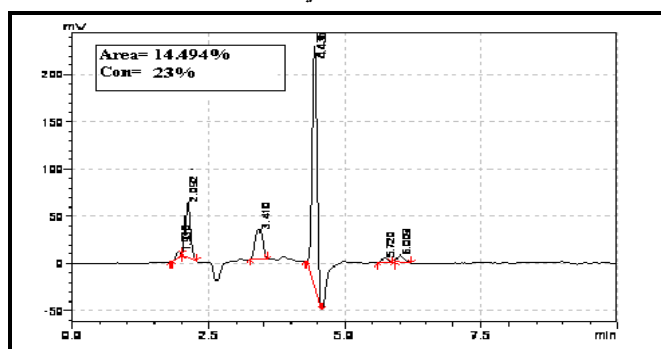
الشكل 171. تفكيك C12-LASs في وسط مياه صرف معقمة

باستعمال *Pseudomonas sp* في الدرجة ١٥°C.



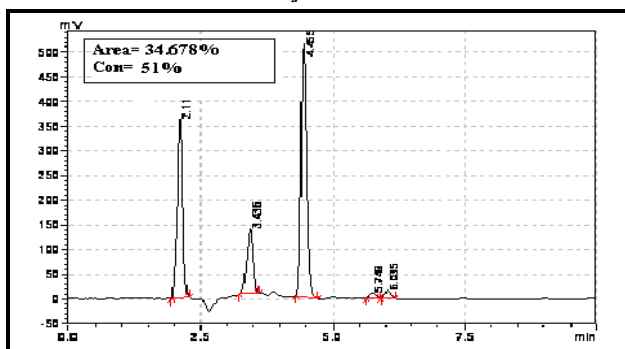
الشكل 170. تفكيك C12-LASs في وسط مياه صرف معقمة

باستعمال *E. coli* 2 في الدرجة ٢٥°C.



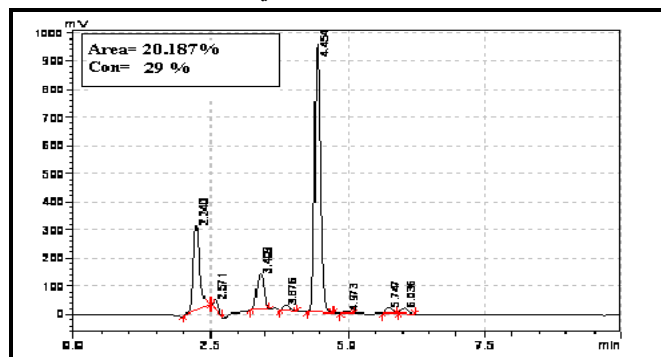
الشكل 173. تفكيك C12-LASs في وسط مياه صرف معقمة

باستعمال *E. coli* 1 في الدرجة ٢٥°C.



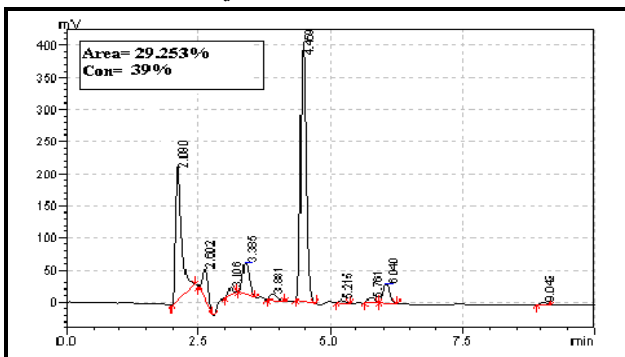
الشكل 172. تفكيك C12-LASs في وسط مياه صرف معقمة

باستعمال *Sal. enteritidis* في الدرجة ٢٥°C.



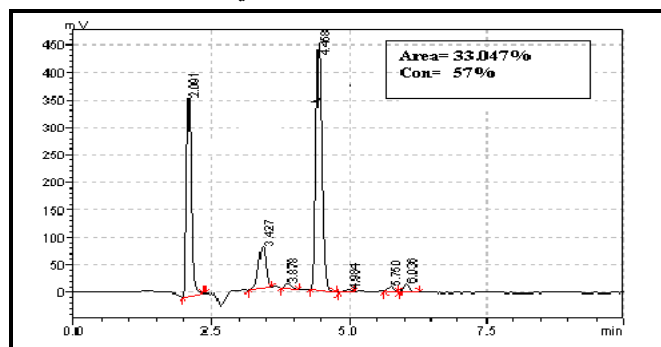
الشكل 175. تفكيك C12-LASs في وسط مياه صرف معقمة

باستعمال *Sal. typhimurium* في الدرجة ٢٥°C.



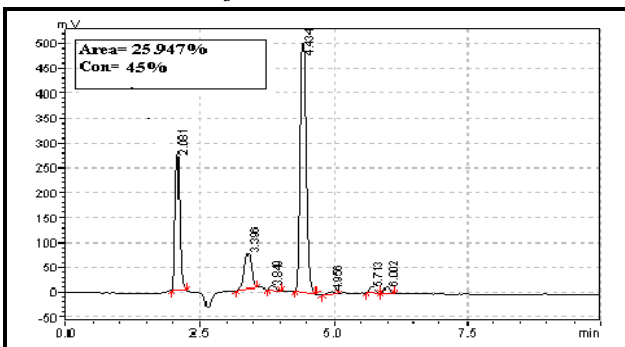
الشكل 174. تفكيك C12-LASs في وسط مياه صرف معقمة

باستعمال *Sta. epidermidis* 2 في الدرجة ٢٥°C.



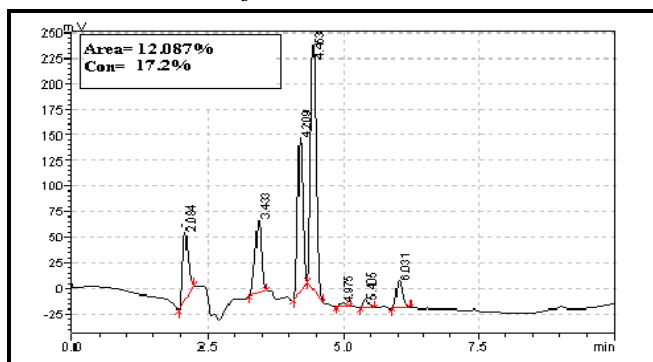
الشكل 177. تفكيك C12-LASs في وسط مياه صرف معقمة

باستعمال *Sta. epidermidis* 1 في الدرجة ٢٥°C.

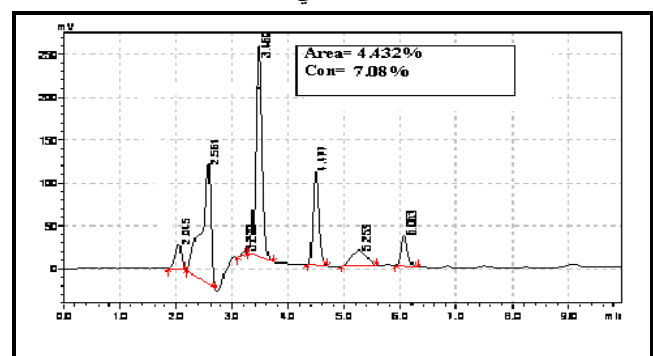


الشكل 176. تفكيك C12-LASs في وسط مياه صرف معقمة

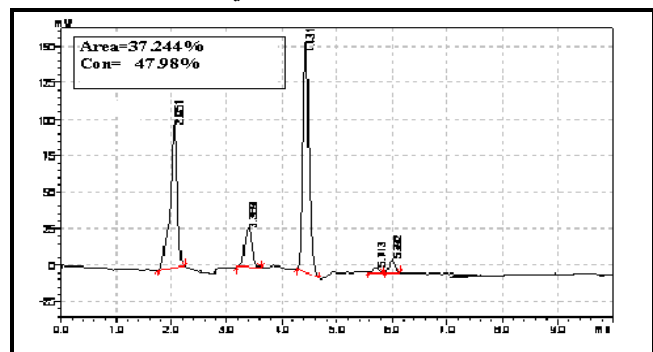
باستعمال *Pseudomonas sp* في الدرجة  $25^{\circ}\text{C}$ .



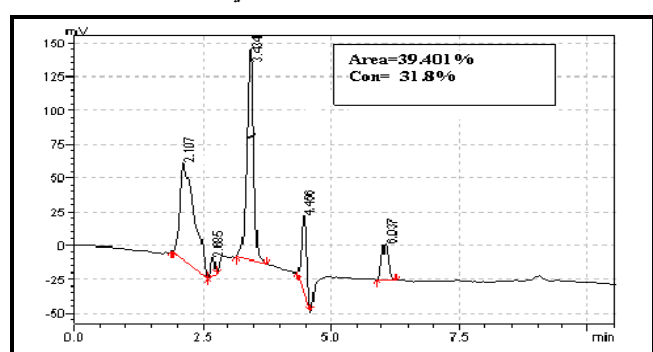
الشكل 179. تفكيك C12-LASs في وسط مياه صرف معقمة باستعمال *E. coli* 1 في الدرجة  $35^{\circ}\text{C}$ .



الشكل 181. تفكيك C12-LASs في وسط مياه صرف معقمة باستعمال *Sal. taphimurium* في الدرجة  $35^{\circ}\text{C}$ .

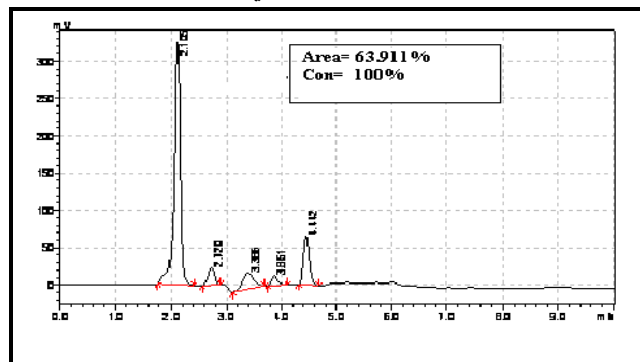


الشكل 183. تفكيك C12-LASs في وسط مياه صرف معقمة باستعمال *Sta. epidermidis* 1 في الدرجة  $35^{\circ}\text{C}$ .

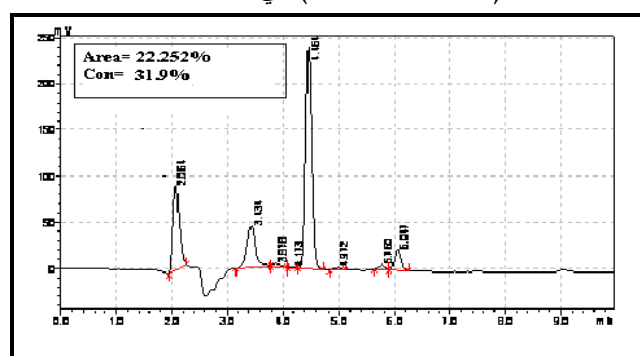


الشكل 185. تفكيك C12-LASs في وسط مياه صرف معقمة

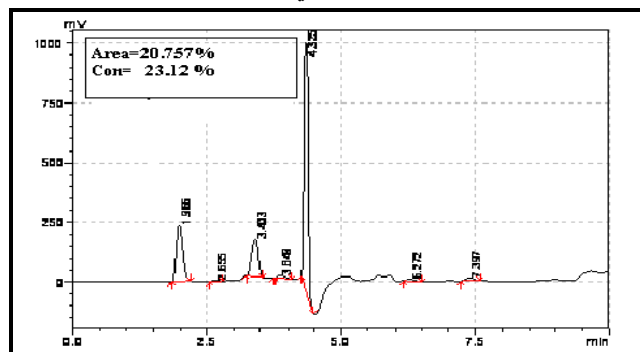
باستعمال *Ps.aeruginosa* في الدرجة  $25^{\circ}\text{C}$ .



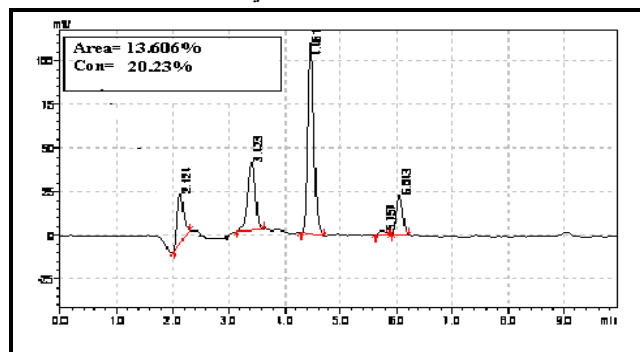
الشكل 178. تحليل C12-LASs في الشاهد في وسط طبيعي سائل (مياه صرف معقمة) في الدرجة  $35^{\circ}\text{C}$ .



الشكل 180. تفكيك C12-LASs في وسط مياه صرف معقمة باستعمال *E. coli* 2 في الدرجة  $35^{\circ}\text{C}$ .



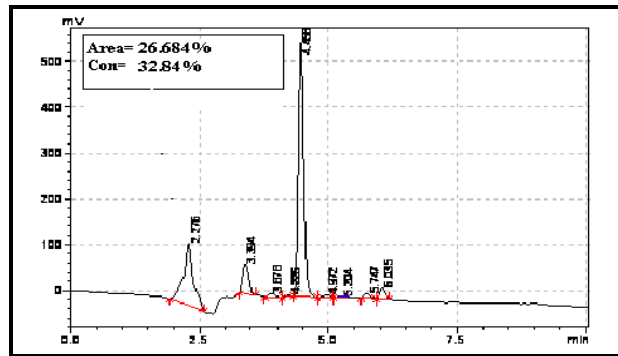
الشكل 182. تفكيك C12-LASs في وسط مياه صرف معقمة باستعمال *Sal. enteritidis* في الدرجة  $35^{\circ}\text{C}$ .



الشكل 184. تفكيك C12-LASs في وسط مياه صرف معقمة

باستعمال *Ps.aeruginosa* في الدرجة ٣٥°C.

باستعمال *Sta. epidermidis* 2 في الدرجة ٣٥°C.



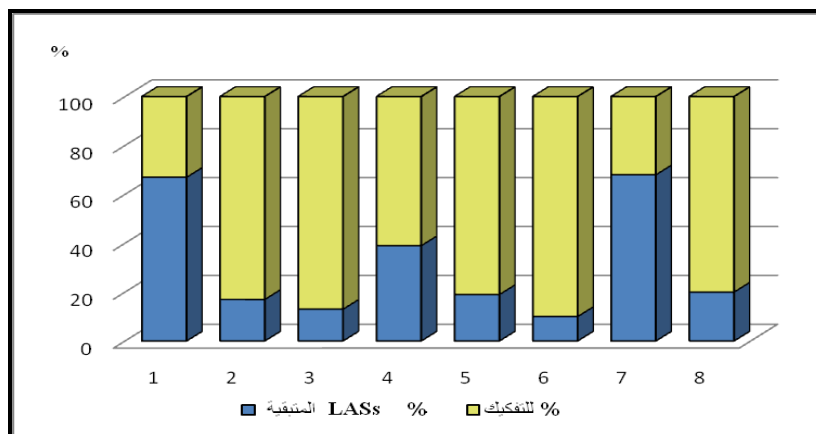
الشكل 186. تفكيك C12-LASs في وسط مياه صرف معقمة باستعمال *Pseudomonas sp* في الدرجة ٣٥°C.

2.8.3- التفكيك الحيوي لمركبات C12-LASs في وسط طبيعي غير معقم من مياه الصرف.

طبقت التجربة على عينة من موقع أفاميا والرمل الجنوبي، كلاً على حدة.

1.2.8.3- وسط طبيعي غير معقم من موقع أفاميا:

يلاحظ في الشكل 187 أن جميع السلالات كانت قادرة على تفكيك C12-LASs بشكل منفرد، وكان أفضلها تفكيكاً *Sta. epidermidis* 2 و *Sal. taphimurium*، و *E.coli* 2 و *Sta. epidermidis* 1 و *Pseudomonas sp* وفق النسب (90%، 87%، 83%، 81%، 80%) على الترتيب من الأفضل إلى الأقل تفكيكاً، في عينة مياه الصرف من موقع أفاميا (غير معقمة) بتأثير درجة الحرارة ١٥°C.

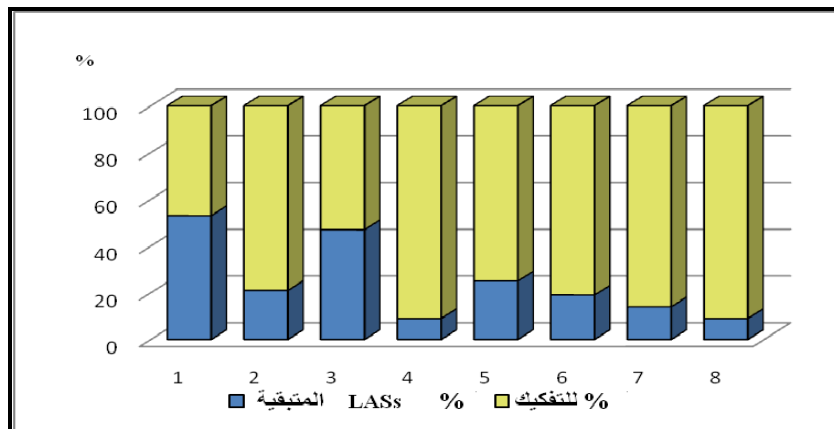


1	<i>E. coli</i> 1
2	<i>E. coli</i> 2
3	<i>Sal. taphimurium</i>
4	<i>Sal. enteritidis</i>
5	<i>Sta. epidermidis</i> 1
6	<i>Sta. epidermidis</i> 2
7	<i>Ps. aeruginosa</i>
8	<i>Pseudomonas sp</i>

الشكل 187. النسب المئوية لتفكيك C12-LASs في وسط طبيعي سائل (غير معقم) من موقع أفاميا

باستعمال الجراثيم المنتقاة منفردة في درجة الحرارة ١٥°C.

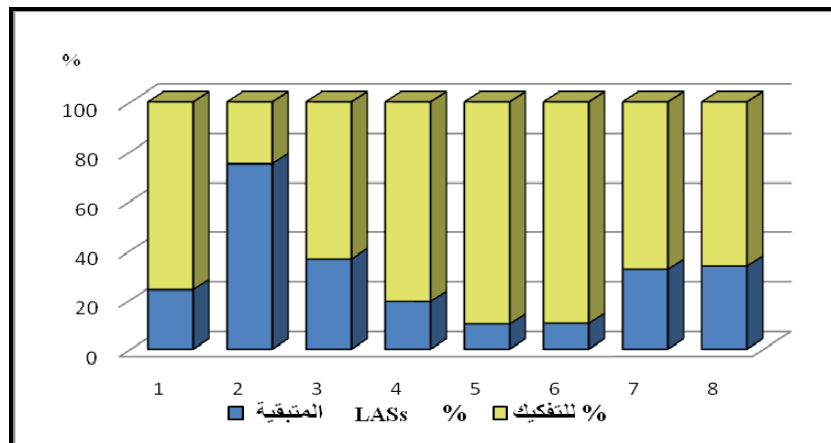
أما الشكل 188 فيبين أن تلك السلالات استطاعت تفكيك C12-LASs بشكل متوسط إلى جيد جداً بنسب مرتفعة في أغلب الحالات، وكان أفضلها تفكيكاً *Sal. enteritidis* و *Pseudomonas sp* (91%) لكل منهما، تلتها *Ps.aeruginosa* (86%)، بتأثير درجة الحرارة ٢٥°C في عينة مياه الصرف الصحي المأخوذة من موقع أفاميا (غير معقمة).



1	<i>E. coli 1</i>
2	<i>E. coli 2</i>
3	<i>Sal. taphimurium</i>
4	<i>Sal. enteritidis</i>
5	<i>Sta. epidermidis 1</i>
6	<i>Sta. epidermidis 2</i>
7	<i>Ps. aeruginosa</i>
8	<i>Pseudomonas sp</i>

الشكل 188. النسب المئوية لتفكيك C12-LASs في وسط طبيعي سائل (غير معقم) من موقع أفاميا باستعمال الجراثيم المنتقاة منفردة في درجة الحرارة ٢٥°C.

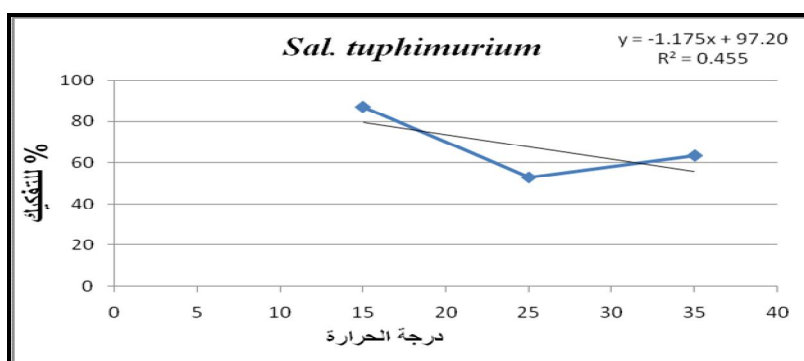
أما عند تأثير درجة الحرارة ٣٥°C في عينة مياه الصرف من موقع أفاميا (غير معقمة) فتبين أن تلك السلالات قادرة على تفكيك C12-LASs بشكل متوسط إلى جيد في أغلب الحالات، وأفضلها تفكيكاً *Sta. epidermidis 1* و *Sta. epidermidis 2* (90%) لكل منهما، كما هو موضح بالشكل 189.



1	<i>E. coli 1</i>
2	<i>E. coli 2</i>
3	<i>Sal. taphimurium</i>
4	<i>Sal. enteritidis</i>
5	<i>Sta. epidermidis 1</i>
6	<i>Sta. epidermidis 2</i>
7	<i>Ps. aeruginosa</i>
8	<i>Pseudomonas sp</i>

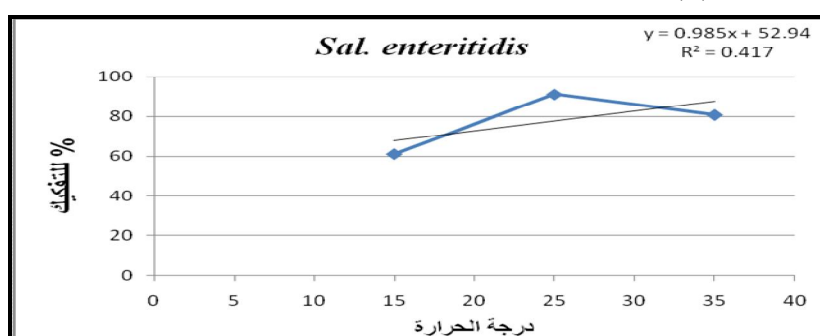
الشكل 189. النسب المئوية لتفكيك C12-LASs في وسط طبيعي سائل (غير معقم) من موقع أفاميا باستعمال الجراثيم المنتقاة منفردة في درجة الحرارة ٣٥°C.

وتبين الدراسة الإحصائية كما يُلاحظ بالشكل 190 أن *Sal. taphimurium* استطاعت تفكيك C12-LASs الموجودة في مياه الصرف (غير معقمة) من موقع أفاميا في درجات الحرارة المختلفة، وكانت أفضل نسبة 87% عند الدرجة ١٥°C، وهذه العلاقة تحقق المعادلة ( $Y = -1.175x + 97.20$ ) ذات معامل الارتباط  $R = 0.455$ ، والعلاقة مذبذبة.



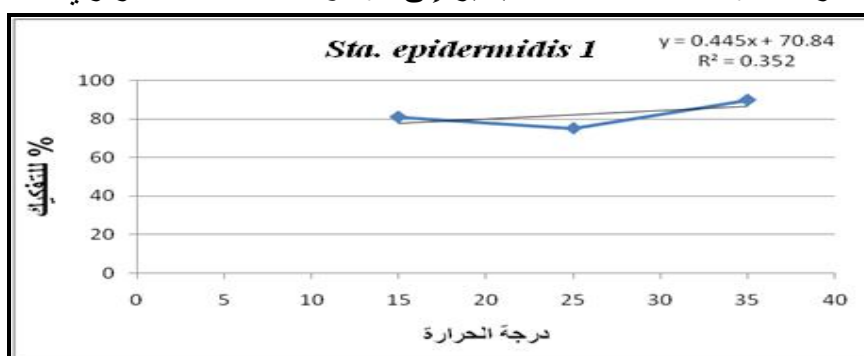
الشكل 190. النسبة المئوية لتفكيك C12-LASs الموجودة في عينة مياه صرف من موقع أفاميا (غير معقم) بوجود *Sal. taphimurium* في درجات الحرارة المختلفة.

أما من الشكل 191 فيلاحظ أن *Sal. enteritidis* استطاعت تفكيك C12-LASs بنسب جيدة بشكل عام، ولكن أفضل نسبة تفكيك كانت في الدرجة 25°C (91%)، وتحقق المعادلة ( $Y = 0.985x + 52.94$ ) ذات معامل الارتباط  $R = 0.417$ ، والعلاقة مذبذبة.



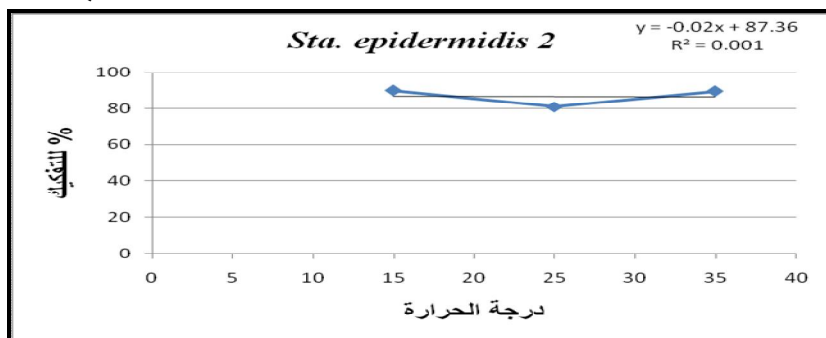
الشكل 191. النسبة المئوية لتفكيك C12-LASs الموجودة في عينة مياه صرف من موقع أفاميا (غير معقم) بوجود *Sal. enteritidis* في درجات الحرارة المختلفة.

أما الشكل 192 فيبين أن *Sta. epidermidis 1* استطاعت تفكيك C12-LASs الموجود في العينة المدروسة، وكانت نسبة التفكيك جيدة في درجات الحرارة المدروسة، وأفضل النتائج (89.9%) في درجة الحرارة 35°C علماً أن هذه السلالة فككت C12-LASs بنسب قريبة من النسبة المذكورة في درجتَي الحرارة الأخريتين، والعلاقة بين نسبة التفكيك وتغيرات درجة الحرارة ضعيفة، وهذه العلاقة تحقق المعادلة ( $Y = 0.445x + 70.84$ ) إذ إنَّ معامل الارتباط لها  $R = 0.352$ ، مما يشير إلى أنها واسعة المجال الحراري.



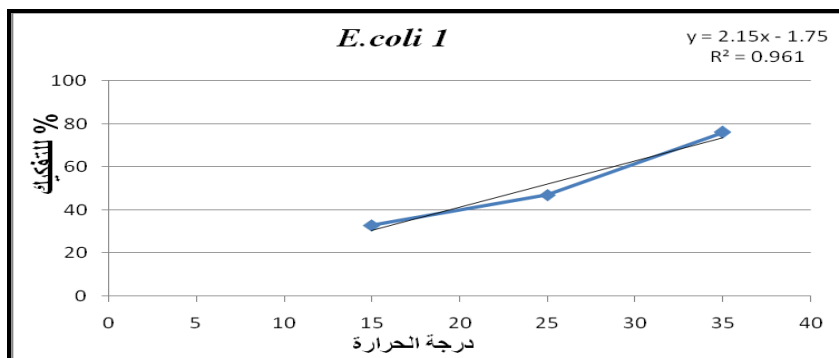
الشكل 192. النسبة المئوية لتفكيك C12-LASs الموجودة في عينة مياه صرف من موقع أفاميا (غير معقم) بوجود *Sta. epidermidis* 1 في درجات الحرارة المختلفة.

ويبين الشكل 193 أن عمل *Sta. epidermidis* 2 لا يتعلق بتغير درجة الحرارة أيضاً نظراً إلى تقارب نسب التفكيك في درجات الحرارة المدروسة والمطبقة على مياه صرف من موقع أفاميا، وتحقق المعادلة ( $Y = -0.02x + 87.36$ ) ذات معامل الارتباط  $R = 0.001$ ، إذ يلاحظ عدم وجود ارتباط، وبلغت أفضل نسبة تفكيك بدرجة الحرارة  $35^{\circ}\text{C}$  (90%)، والعلاقة مذبذبة، مما يشير إلى أنها واسعة المجال الحراري، ويمكن أن نقول أن السلالتين *Sta. epidermidis* 1، *Sta. epidermidis* 2 واسعتا المجال الحراري.



الشكل 193. النسبة المئوية لتفكيك C12-LASs الموجودة في عينة مياه صرف من موقع أفاميا (غير معقم) بوجود *Sta. epidermidis* 2 في درجات الحرارة المختلفة.

ويوضح الشكل 194 أن *E. coli* 1 استطاعت تفكيك C12-LASs بشكل ضعيف إلى متوسط، وازدادت فعاليتها في التفكيك مع ارتفاع درجة الحرارة، والعلاقة بين تغير درجة الحرارة مع النسبة المئوية للتفكيك طردية، وكانت أفضل نسبة تفكيك في درجة الحرارة  $35^{\circ}\text{C}$  (76%)، وأقرب معادلة يمكن تطبيقها هي ( $Y = 2.15x - 1.75$ ) إذ إن معامل الارتباط لها  $R = 0.961$ ، مما يشير إلى أنها أليفة حرارة.

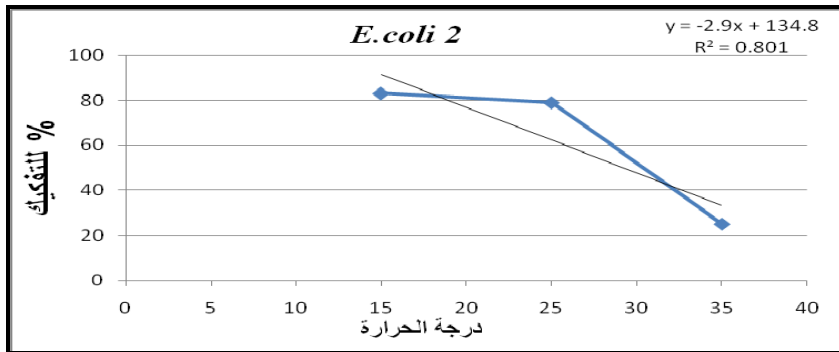


الشكل 194. النسبة المئوية لتفكيك C12-LASs الموجودة في عينة مياه صرف من موقع أفاميا (غير معقم) بوجود *E. coli* 1 في درجات الحرارة المختلفة.

أما في حالة *E. coli* 2 فيلاحظ أنها فككت C12-LASs بنسب جيدة ومقاربة في درجتي الحرارة  $15^{\circ}\text{C}$  و  $25^{\circ}\text{C}$ ، وانخفضت بشكل كبير في الدرجة  $35^{\circ}\text{C}$  والعلاقة أقرب إلى علاقة عكسية، إذ وصلت أفضل نسبة تفكيك إلى 83% في الدرجة  $15^{\circ}\text{C}$ ، ويمكن في هذه الحالة تطبيق المعادلة ( $Y = -2.9x + 134.8$ ) ومعامل الارتباط لها  $R = 0.801$  والارتباط جيد كما هو موضح بالشكل 195، ويمكن تفسير هذه النتيجة بوجود منافسين لهذه الكائنات الحية أو وجود تراكيز من مواد أخرى معيقة لعملها تحررت مع ارتفاع درجة الحرارة، ويمكن أن

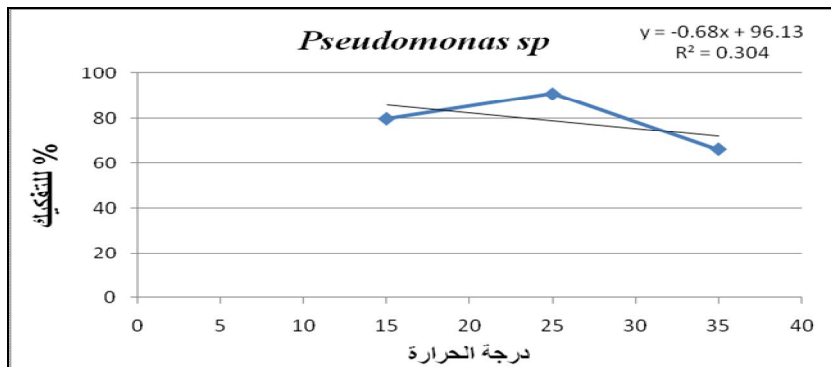


تكون أليفة برودة، و يلاحظ عند مقارنة السلالتين معاً (من نوع واحد) أن *E.coli 1* هي الأكثر ارتباطاً مع تغيّر درجة الحرارة.



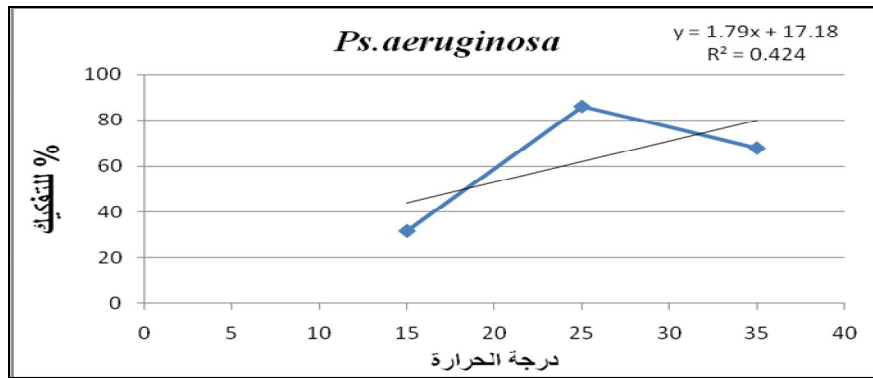
الشكل 195. النسبة المئوية لتفكيك C12-LASs الموجودة في عينة مياه صرف من موقع أفاميا (غير معقم) بوجود *E.coli 2* في درجات الحرارة المختلفة.

ويبين الشكل 196 قدرة *Pseudomonas sp* على تفكيك C12-LASs ولكن العلاقة مع درجة الحرارة مذبذبة، إذ لوحظ أن أفضل نسبة تفكيك في درجة الحرارة  $25^{\circ}\text{C}$  بلغت 91%، وأقرب معادلة يمكن تطبيقها هي  $(Y = -0.68x + 96.13)$  إذ إنّ معامل الارتباط لها  $R = 0.304$ ، ويلاحظ أيضاً أن العلاقة طردية حتى تجاوزت الحرارة الدرجة  $25^{\circ}\text{C}$ ، ثم أصبحت عكسية، ويمكن تفسير ذلك بوجود مثبطات لعمل هذه الأحياء نشطت مع ارتفاع درجة الحرارة.



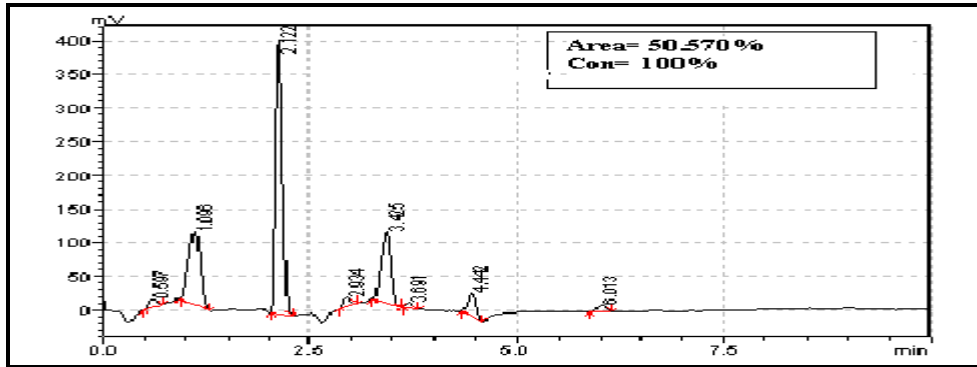
الشكل 196. النسبة المئوية لتفكيك C12-LASs الموجودة في عينة مياه صرف من موقع أفاميا (غير معقم) بوجود *Pseudomonas sp* في درجات الحرارة المختلفة.

أما بوجود *Ps.aeruginosa* فيلاحظ أن تفكيك C12-LASs تراوح بين الضعيف إلى الجيد، وكانت أفضل نسبة تفكيك في الدرجة  $25^{\circ}\text{C}$  (86%)، والعلاقة مذبذبة، وأقرب معادلة يمكن تطبيقها هي  $(Y = 1.79x + 17.18)$  ومعامل الارتباط لها  $R = 0.424$ ، كما هو موضح بالشكل 197.

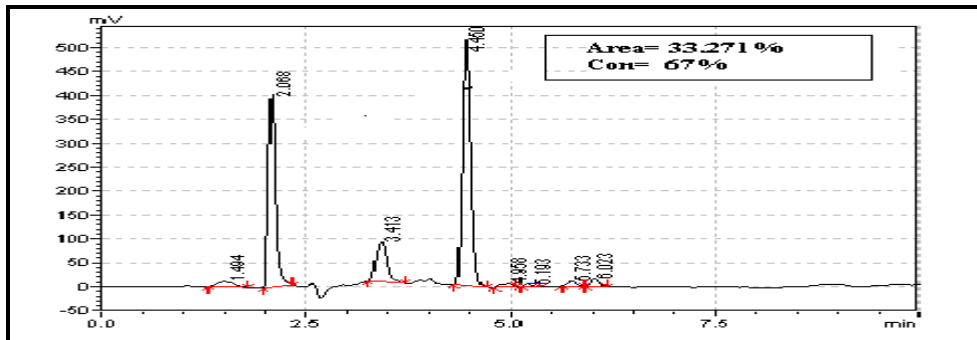


الشكل 197. النسبة المئوية لتفكيك C12-LASs الموجودة في عينة مياه صرف من موقع أفاميا (غير معقم) بوجود *Ps.aeruginosa* في درجات الحرارة المختلفة.

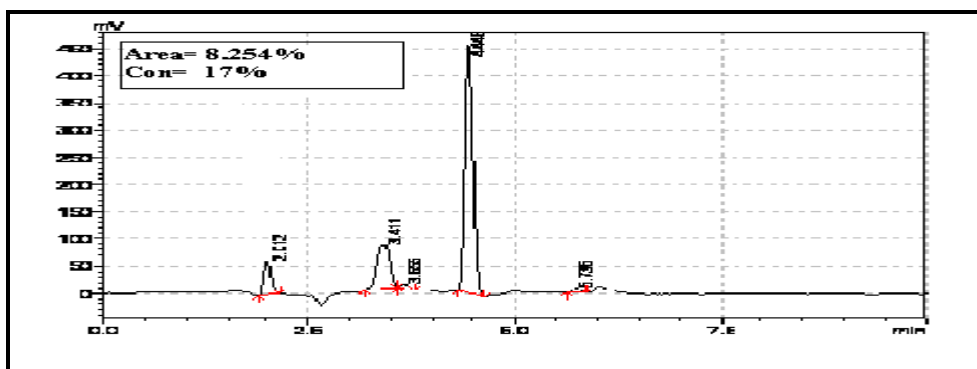
عند مقارنة عمل *Ps.aeruginosa* و *Pseudomonas sp* (من جنس واحد) يلاحظ أن *Pseudomonas sp* هو الأفضل تفكيكاً مع ارتفاع درجة الحرارة، مع ملاحظة أن كليهما فضلاً درجة الحرارة ٢٥°C، والأشكال 198 - 224 تبين نتائج تحليل C12-LASs في وسط طبيعي من مياه صرف غير معقمة، من موقع أفاميا باستعمال جهاز الكروماتوغرافيا السائلة.



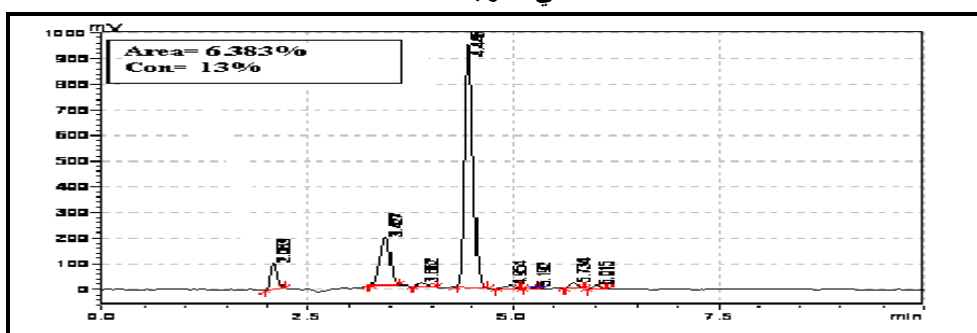
الشكل 198. تحليل C12-LASs في الشاهد من مياه صرف من موقع أفاميا (غير معقم) في الدرجة ١٥°C.



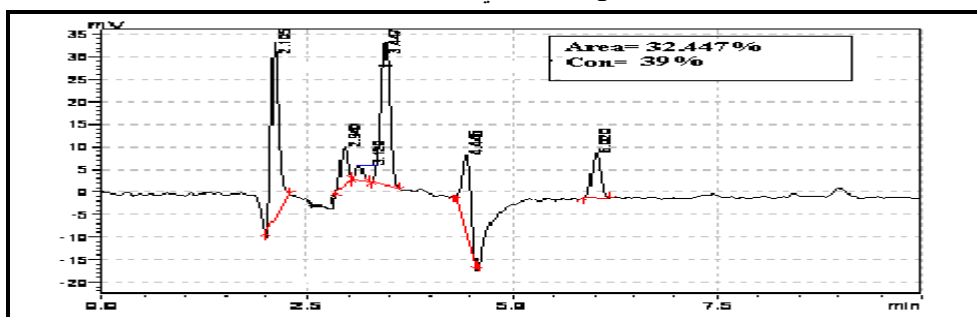
الشكل 199. تفكيك C12-LASs في وسط طبيعي سائل من مياه صرف من موقع أفاميا (غير معقم) باستعمال *E.coli* 1 في الدرجة ١٥°C.



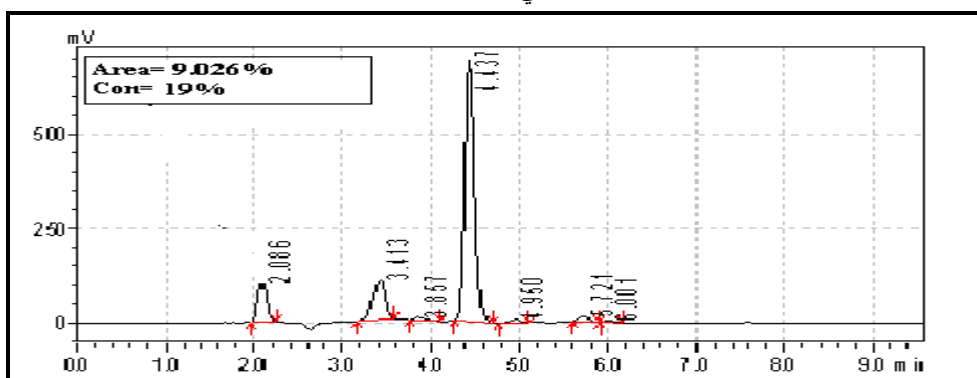
الشكل 200. تفكيك C12-LASs في وسط طبيعي سائل من مياه صرف من موقع أفاميا (غير معقم) باستعمال *E. coli 2* في الدرجة ١٥°C.



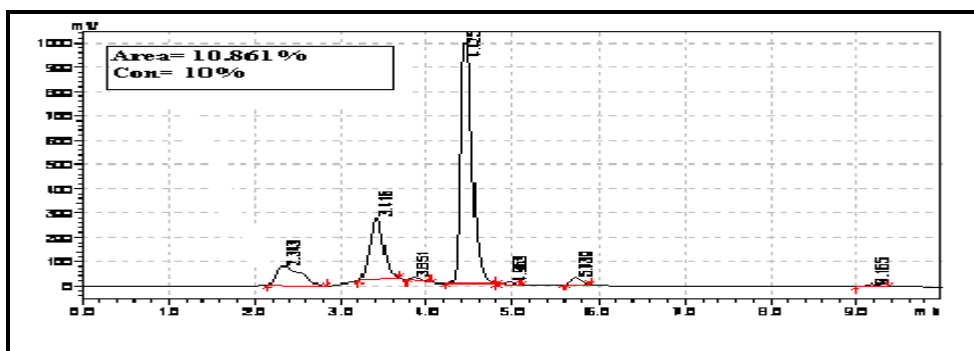
الشكل 201. تفكيك C12-LASs في وسط طبيعي سائل من مياه صرف من موقع أفاميا (غير معقم) باستعمال *Sal. taphimurium* في الدرجة ١٥°C.



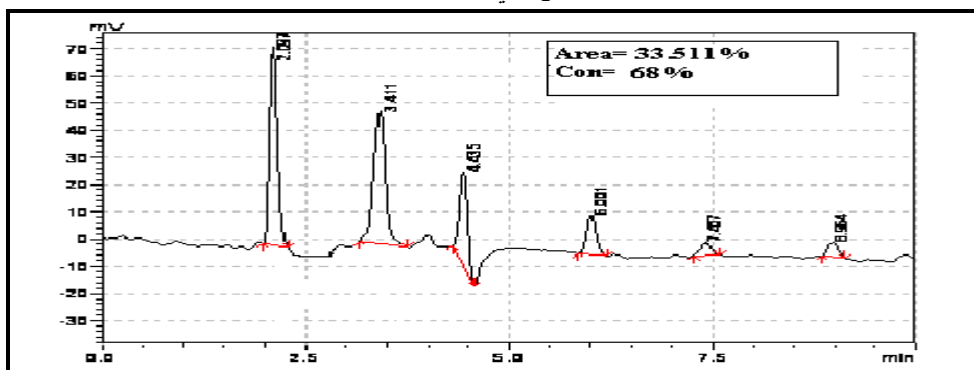
الشكل 202. تفكيك C12-LASs في وسط طبيعي سائل من مياه صرف من موقع أفاميا (غير معقم) باستعمال *Sal. enteritidis* في الدرجة ١٥°C.



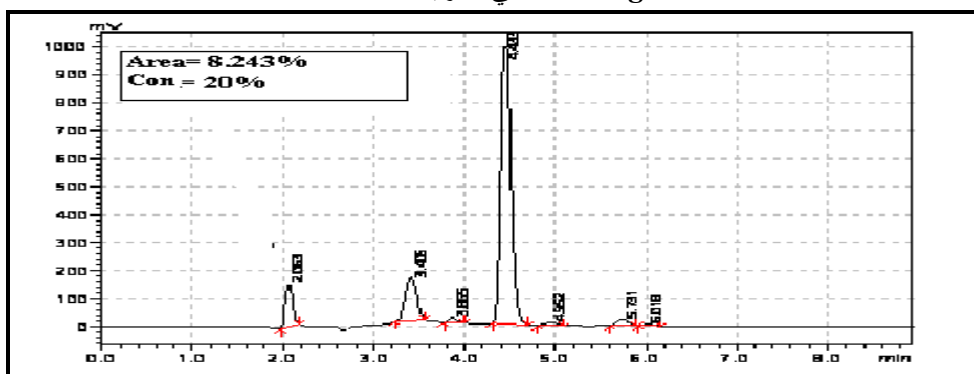
الشكل 203. تفكيك C12-LASs في وسط طبيعي سائل من مياه صرف من موقع أفاميا (غير معقم) باستعمال *Sta. epidermidis 1* في الدرجة ١٥°C.



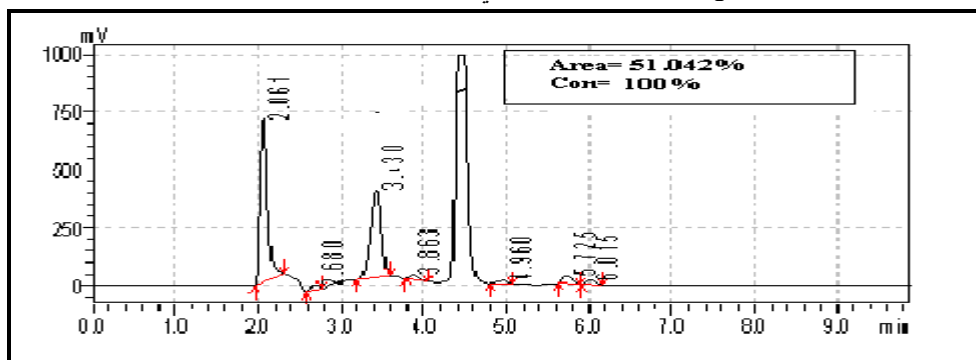
الشكل 204. تفكيك C12-LASs في وسط طبيعي سائل من مياه صرف من موقع أفاميا (غير معقم) باستعمال *epidermidis 2* في الدرجة  $15^{\circ}\text{C}$ .



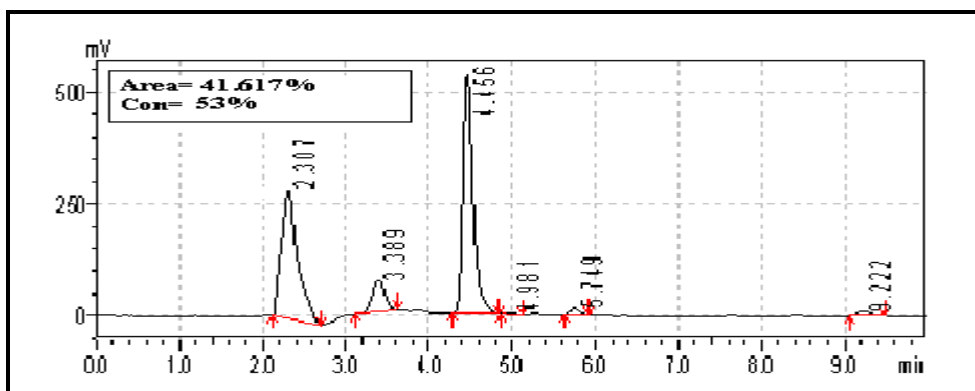
الشكل 205. تفكيك C12-LASs في وسط طبيعي سائل من مياه صرف من موقع أفاميا (غير معقم) باستعمال *Ps.aeruginosa* في الدرجة  $15^{\circ}\text{C}$ .



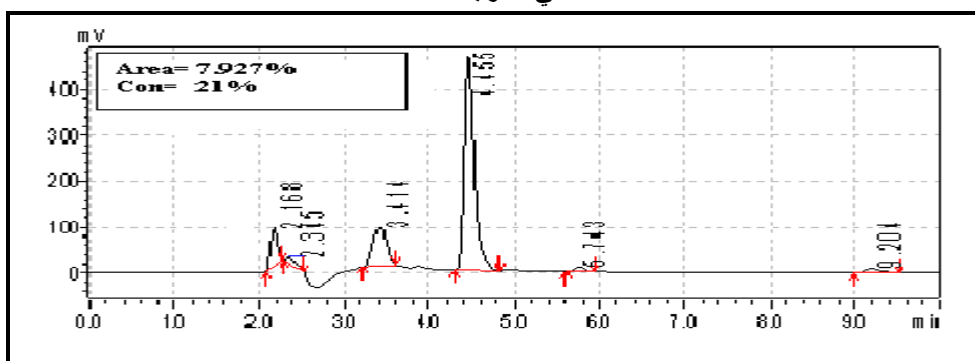
الشكل 206. تفكيك C12-LASs في وسط طبيعي سائل من مياه صرف من موقع أفاميا (غير معقم) باستعمال *Pseudomonas sp* في الدرجة  $15^{\circ}\text{C}$ .



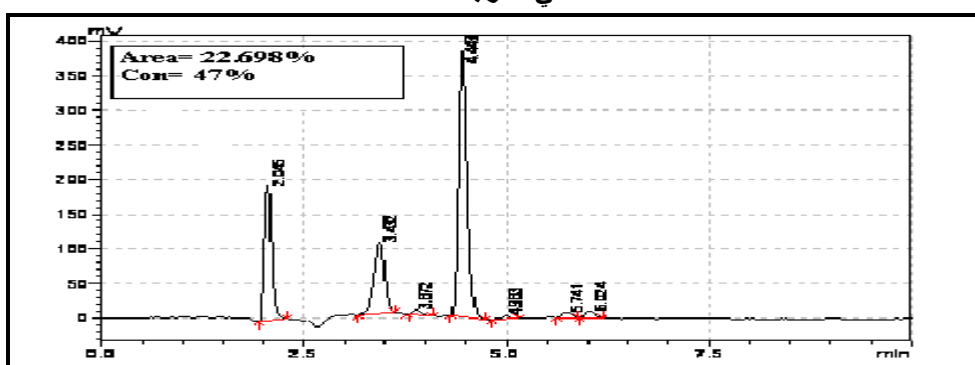
الشكل 207. تحليل C12-LASs في الشاهد في وسط طبيعي سائل من مياه صرف من موقع أفاميا (غير معقم) في الدرجة  $25^{\circ}\text{C}$ .



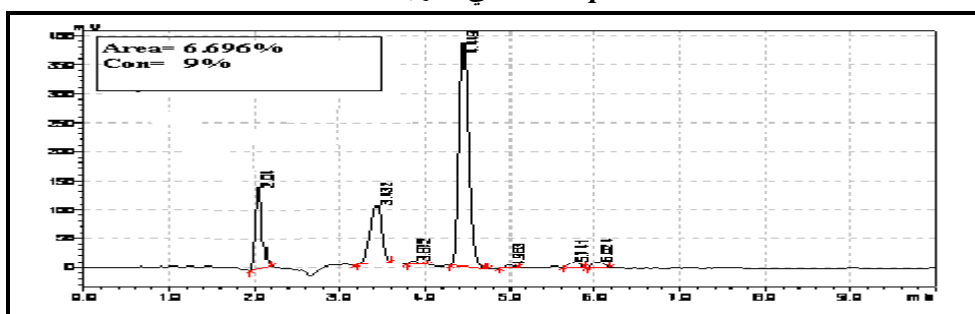
الشكل 208. تفكيك C12-LASs في وسط طبيعي سائل من مياه صرف من موقع أفاميا (غير معقم) باستعمال *E. coli 1* في الدرجة ٢٥°C.



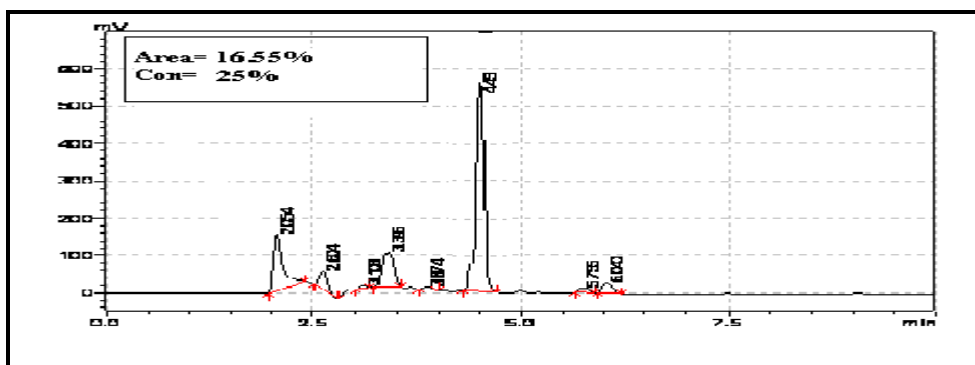
الشكل 209. تفكيك C12-LASs في وسط طبيعي سائل من مياه صرف من موقع أفاميا (غير معقم) باستعمال *E. coli 2* في الدرجة ٢٥°C.



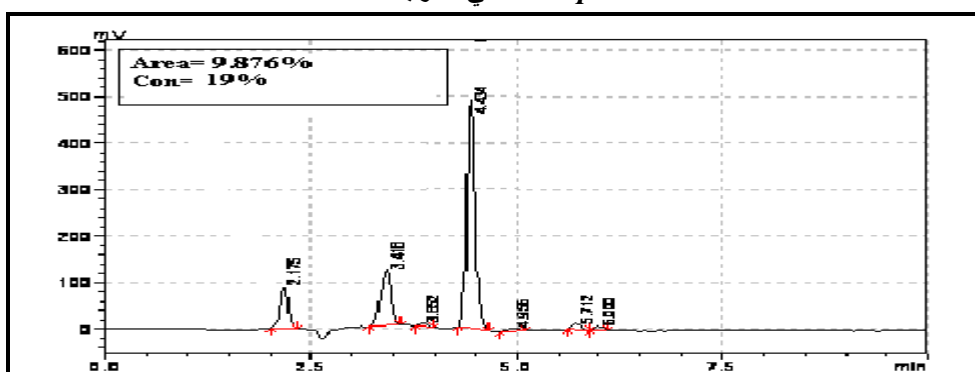
الشكل 210. تفكيك C12-LASs في وسط طبيعي سائل من مياه صرف من موقع أفاميا (غير معقم) باستعمال *Sal. taphimurium* في الدرجة ٢٥°C.



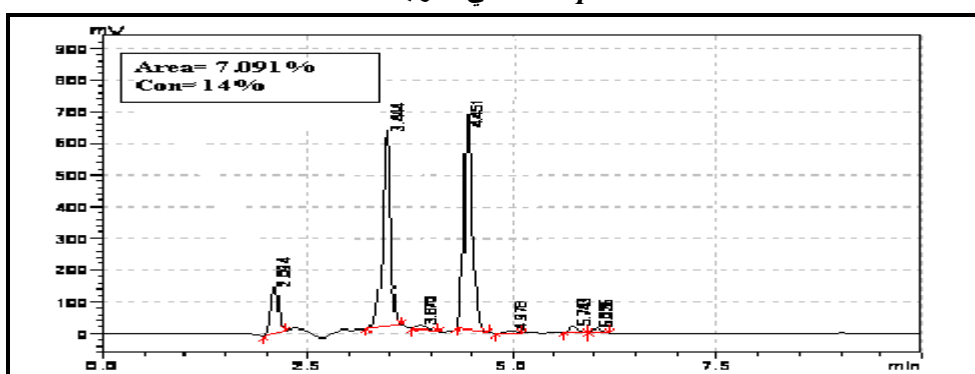
الشكل 211. تفكيك C12-LASs في وسط طبيعي سائل من مياه صرف من موقع أفاميا (غير معقم) باستعمال *Sal. enteritidis* في الدرجة ٢٥°C.



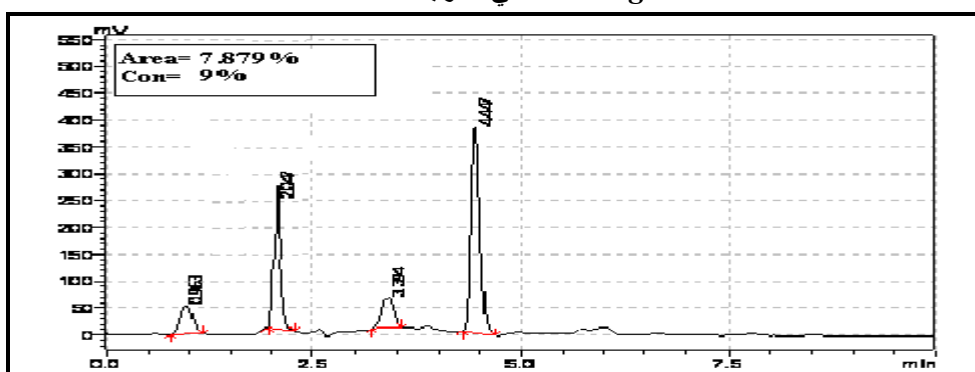
الشكل 212. تفكيك C12-LASs في وسط طبيعي سائل من مياه صرف من موقع أفاميا (غير معقم) باستعمال *Sta. epidermidis 1* في الدرجة  $25^{\circ}\text{C}$ .



الشكل 213. تفكيك C12-LASs في وسط طبيعي سائل من مياه صرف من موقع أفاميا (غير معقم) باستعمال *Sta. epidermidis 2* في الدرجة  $25^{\circ}\text{C}$ .

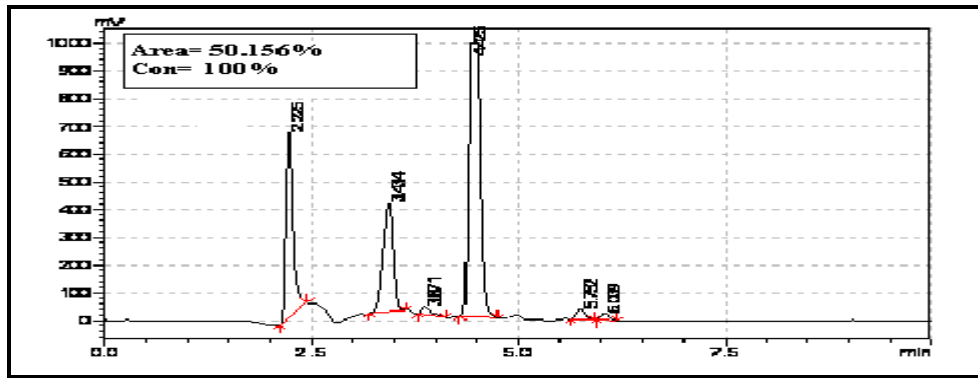


الشكل 214. تفكيك C12-LASs في وسط طبيعي سائل من مياه صرف من موقع أفاميا (غير معقم) باستعمال *Ps.aeruginosa* في الدرجة  $25^{\circ}\text{C}$ .

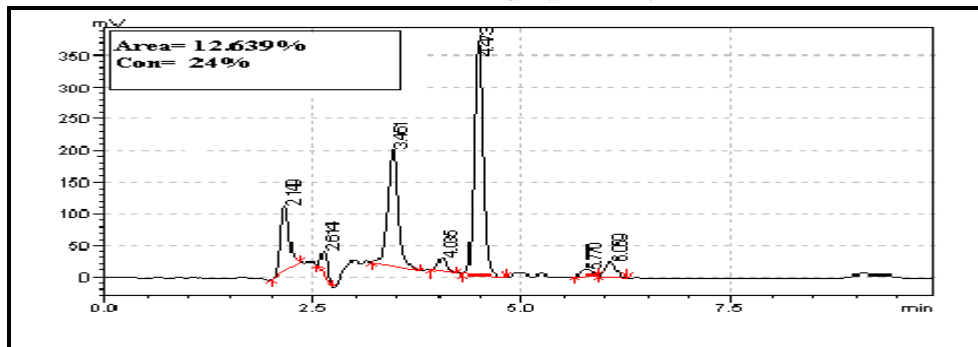


الشكل 215. تفكيك C12-LASs في وسط طبيعي سائل من مياه صرف من موقع أفاميا (غير معقم) باستعمال

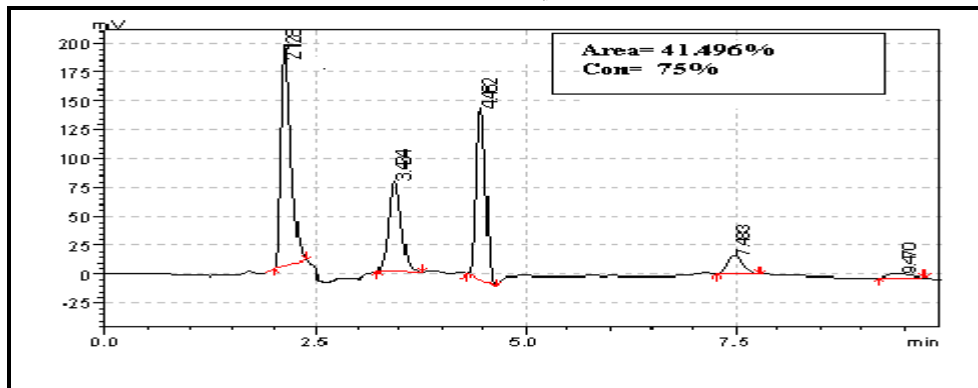
*Pseudomonas sp* في الدرجة ٢٥°C.



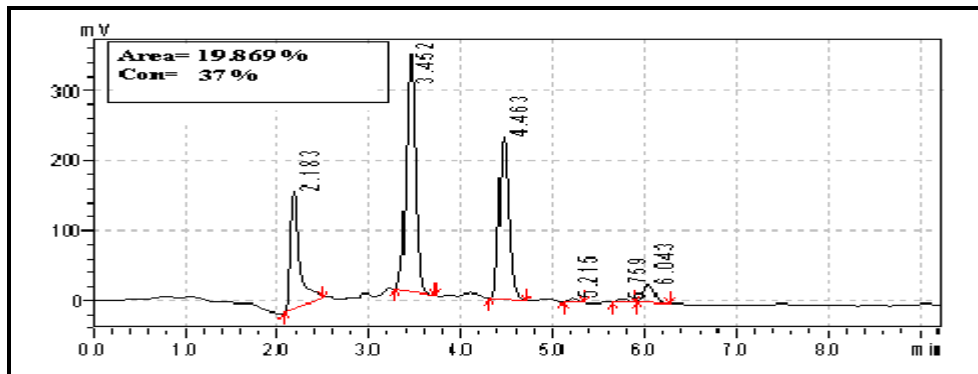
الشكل 216. تحليل C12-LASs في الشاهد في وسط طبيعي سائل من مياه صرف من موقع أفاميا (غير معقم) في الدرجة ٣٥°C.



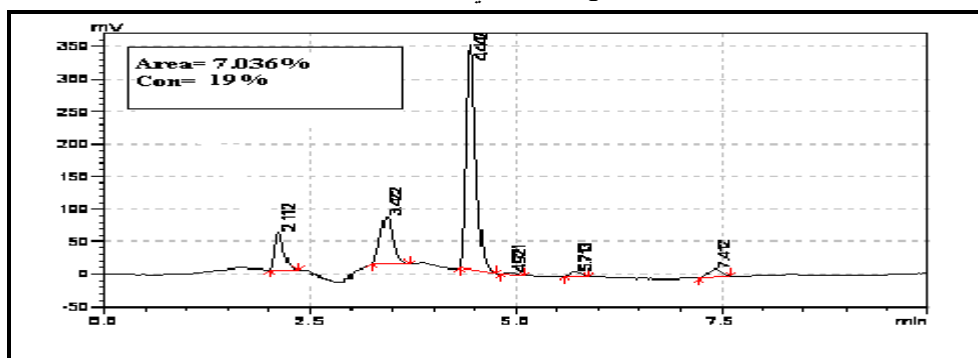
الشكل 217. تفكيك C12-LASs في وسط طبيعي سائل من مياه صرف من موقع أفاميا (غير معقم) باستعمال *E. coli* 1 في الدرجة ٣٥°C.



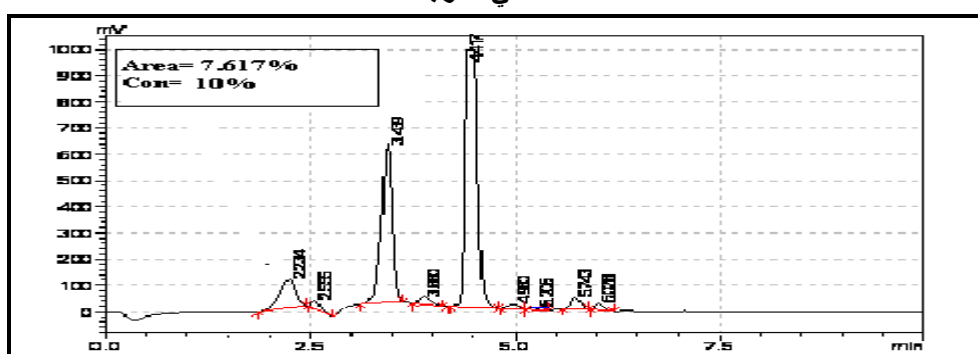
الشكل 218. تفكيك C12-LASs في وسط طبيعي سائل من مياه صرف من موقع أفاميا (غير معقم) باستعمال *E. coli* 2 في الدرجة ٣٥°C.



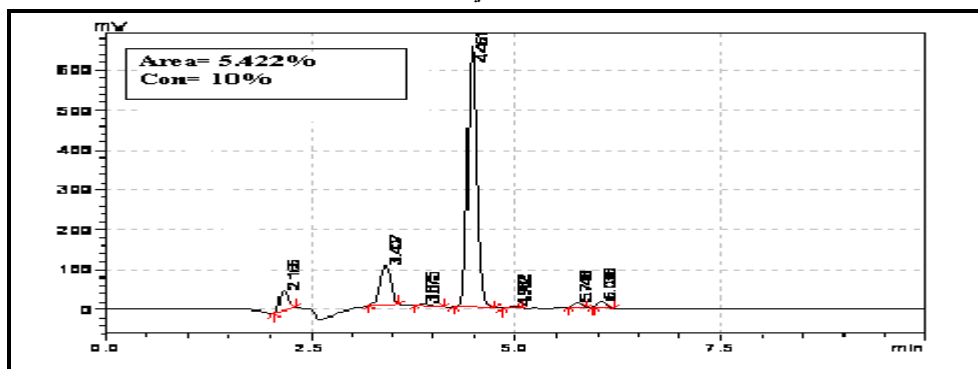
الشكل 219. تفكيك C12-LASs في وسط طبيعي سائل من مياه صرف من موقع أفاميا (غير معقم) باستعمال *Sal. taphimurium* في الدرجة ٣٥°C.



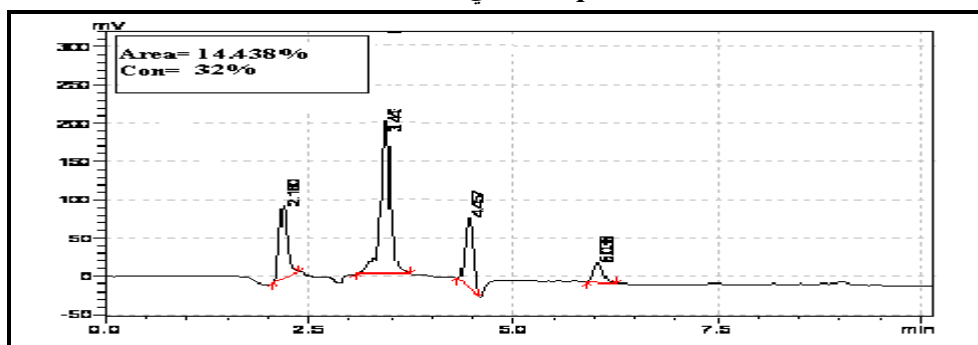
الشكل 220. تفكيك C12-LASs في وسط طبيعي سائل من مياه صرف من موقع أفاميا (غير معقم) باستعمال *Sal. enteritidis* في الدرجة ٣٥°C.



الشكل 221. تفكيك C12-LASs في وسط طبيعي سائل من مياه صرف من موقع أفاميا (غير معقم) باستعمال *Sta. epidermidis* 1 في الدرجة ٣٥°C.

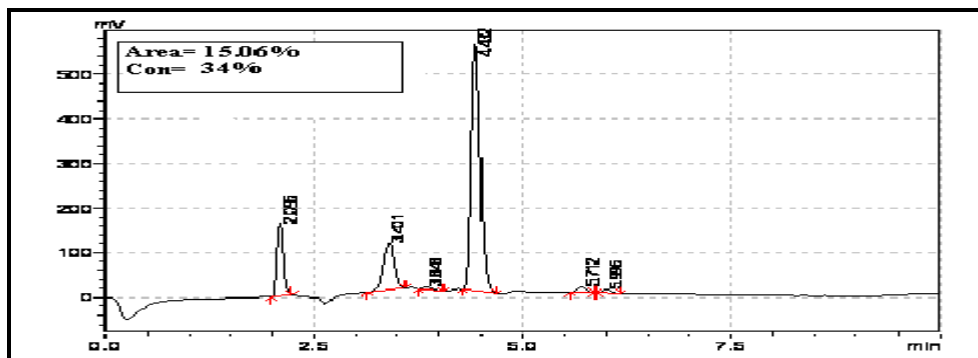


الشكل 222. تفكيك C12-LASs في وسط طبيعي سائل من مياه صرف من موقع أفاميا (غير معقم) باستعمال *Sta. epidermidis* 2 في الدرجة ٣٥°C.





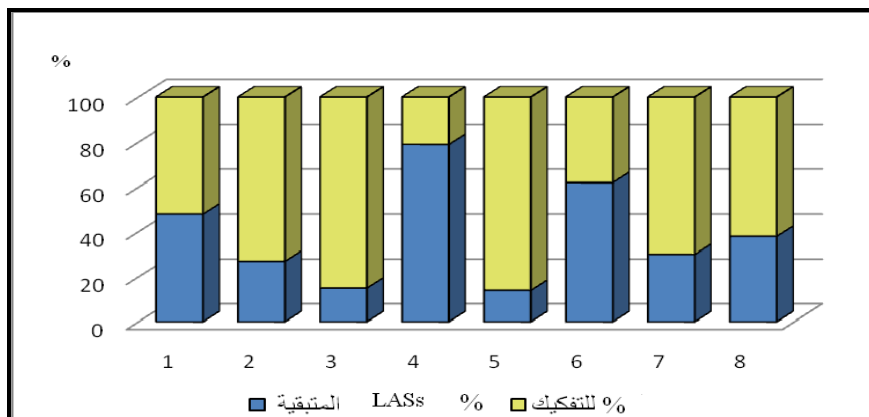
الشكل 223. تفكيك C12-LASs في وسط طبيعي سائل من مياه صرف من موقع أفاميا (غير معقم) باستعمال *Ps.aeruginosa* في الدرجة ٣٥°C.



الشكل 224. تفكيك C12-LASs في وسط طبيعي سائل من مياه صرف من موقع أفاميا (غير معقم) باستعمال *Pseudomonas sp* في الدرجة ٣٥°C.

### 2.2.8.3- وسط طبيعي (غير معقم) من موقع الرمل الجنوبي:

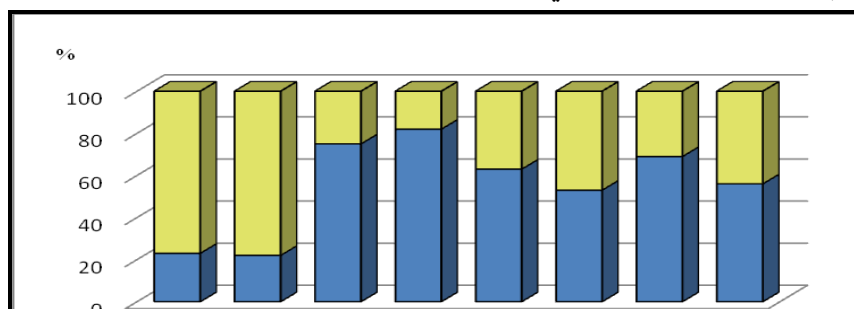
يلاحظ بالشكل 225 أن الجراثيم المنتقاة استطاعت تفكيك C12-LASs بشكل منفرد بنسب متفاوتة، ولكن أفضلها تفكيكاً كان *Sta. epidermidis 1*، *Sal. taphimurium* بنسبة 86%، 85% على الترتيب، في عينة مياه الصرف من موقع الرمل الجنوبي (غير معقمة) وذلك في درجة الحرارة ١٥°C.



1	<i>E. coli 1</i>
2	<i>E. coli 2</i>
3	<i>Sal. taphimurium</i>
4	<i>Sal. enteritidis</i>
5	<i>Sta. epidermidis 1</i>
6	<i>Sta. epidermidis 2</i>
7	<i>Ps. aeruginosa</i>
8	<i>Pseudomonas sp</i>

الشكل 225. النسب المئوية لتفكيك C12-LASs في وسط طبيعي سائل (غير معقم) من موقع الرمل الجنوبي باستعمال الجراثيم المنتقاة منفردة في درجة الحرارة ١٥°C.

أما في الشكل 226 فيلاحظ أن معظم الجراثيم المنتقاة كانت ضعيفة التفكيك منفردة، ما عدا *E.coli 2* و *E.coli 1* (78%، 77% على الترتيب) كانت جيدة التفكيك، في درجة الحرارة ٢٥°C.

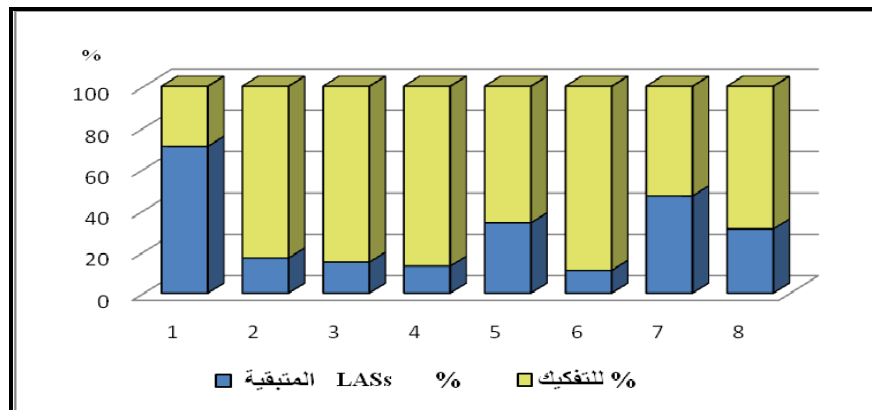


1	<i>E. coli 1</i>
2	<i>E. coli 2</i>
3	<i>Sal. taphimurium</i>
4	<i>Sal. enteritidis</i>
5	<i>Sta. epidermidis 1</i>
6	<i>Sta. epidermidis 2</i>

7	<i>Ps. aeruginosa</i>
8	<i>Pseudomonas sp</i>

الشكل 226. النسب المئوية لتفكيك C12-LASs في وسط طبيعي سائل (غير معقم) من موقع الرمل الجنوبي باستعمال الجراثيم المنتقاة منفردة في درجة الحرارة ٢٥°C.

يلاحظ من الشكل 227 أن جميع السلالات استطاعت تفكيك C12-LASs بشكل منفرد بنسب تتراوح بين المتوسطة والجيدة في الغالب، وأفضلها تفكيكاً *Sal. taphimurium*، *Sal. enteritidis*، *Sta. epidermidis* 2 و *E. coli* 2 بنسبة 89%، 87%، 85%، 83% على الترتيب، في عينة مياه الصرف من موقع الرمل الجنوبي (غير معقمة) وفي درجة الحرارة ٣٥°C.

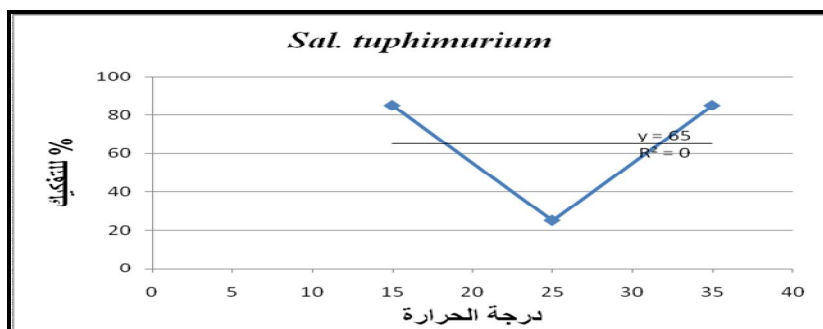


1	<i>E. coli 1</i>
2	<i>E. coli 2</i>
3	<i>Sal. taphimurium</i>
4	<i>Sal. enteritidis</i>
5	<i>Sta. epidermidis 1</i>
6	<i>Sta. epidermidis 2</i>
7	<i>Ps. aeruginosa</i>
8	<i>Pseudomonas sp</i>

الشكل 227. النسب المئوية لتفكيك C12-LASs في وسط طبيعي سائل (غير معقم) من موقع الرمل الجنوبي باستعمال الجراثيم المنتقاة منفردة في درجة الحرارة ٣٥°C.

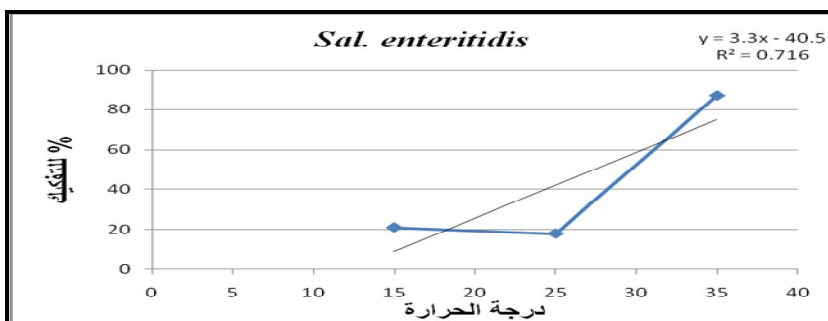
وتبين الأشكال 225 - 227 أن معظم السلالات فضلت درجتي الحرارة ١٥°C و ٣٥°C، نستنتج أن هذه الأحياء واسعة المجال الحراري.

وتبين الدراسة الاحصائية كما يلاحظ في الشكل 228 أن *Sal. taphimurium* استطاعت تفكيك C12-LASs الموجودة في مياه الصرف (غير معقمة) من موقع الرمل الجنوبي في درجات الحرارة المختلفة، وكانت أفضل نسبة 85% في درجتي الحرارة ١٥°C و ٣٥°C، وهذه العلاقة تحقق المعادلة ( $y = 65$ ) ذات معامل الارتباط  $R = 0$ ، ويلاحظ غياب حالة الارتباط بين تغير درجة الحرارة مع نسبة تفكيك C12-LASs باستعمال *Sal. taphimurium*.



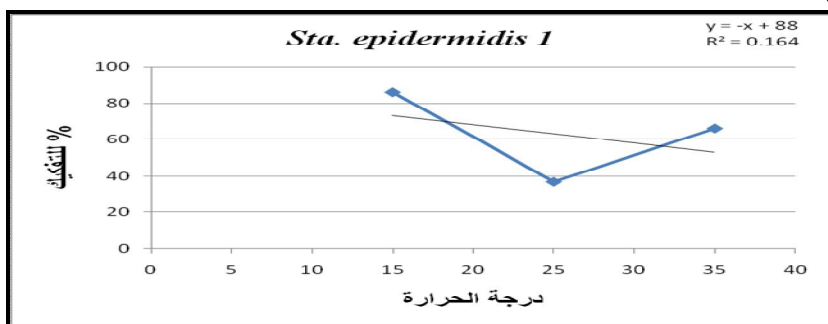
الشكل 228. النسبة المئوية لتفكيك C12-LASs الموجودة في عينة مياه صرف من موقع الرمل الجنوبي (غير معقم) بوجود *Sal. taphimurium* في درجات الحرارة المختلفة.

اما الشكل (229) فيبين أن *Sal. enteritidis* قادر على تفكيك C12-LASs لكن بنسب ضعيفة حتى الدرجة ٢٥°C، ثم ترتفع نسبة التفكيك بشكل ملحوظ بتأثير درجة ٣٥°C، إذ بلغت 87%، وتحقق المعادلة ( $Y = 3.3x - 40.5$ ) ذات معامل الارتباط  $R = 0.716$ ، مما يشير إلى أنها أليفة حرارة.



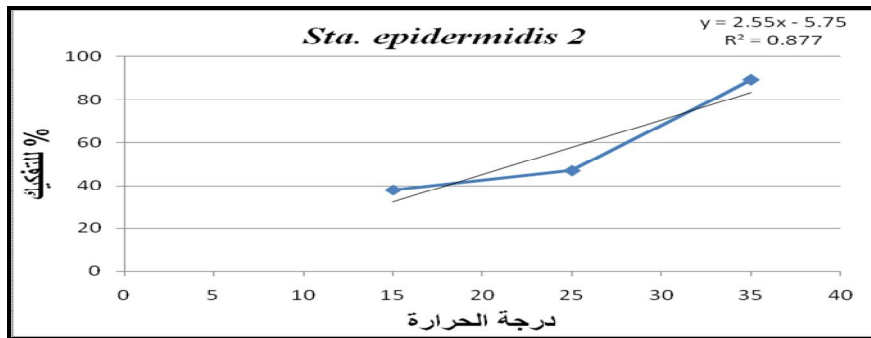
الشكل 229. النسبة المئوية لتفكيك C12-LASs الموجودة في عينة مياه صرف من موقع الرمل الجنوبي (غير معقم) بوجود *Sal. enteritidis* في درجات الحرارة المختلفة.

ويوضح الشكل 230 أن *Sta. epidermidis 1* استطاعت تفكيك C12-LASs ونسبة جيدة في درجة الحرارة ١٥°C، إذ بلغت 86%، والعلاقة بين نسبة التفكيك وتغيرات درجة الحرارة ضعيفة جداً، وهذه العلاقة تحقق المعادلة ( $Y = -x + 88$ ) ومعامل الارتباط لها  $R = 0.164$ .



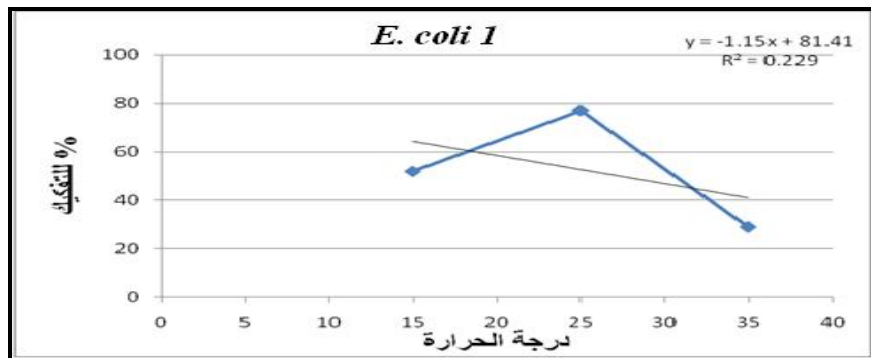
الشكل 231. النسبة المئوية لتفكيك C12-LASs الموجودة في عينة مياه صرف من موقع الرمل الجنوبي (غير معقم) بوجود *Sta. epidermidis 1* في درجات الحرارة المختلفة.

ويبين الشكل 232 أنه بوجود *Sta. epidermidis* 2 تكون العلاقة طردية، تحقق المعادلة  $(Y = 2.55x - 5.75)$  ذات معامل الارتباط  $R = 0.877$ ، وبلغت أفضل نسبة تفكيك في درجة الحرارة  $35^{\circ}\text{C}$  (89%)، مما يشير إلى أنها أليفة حرارة.



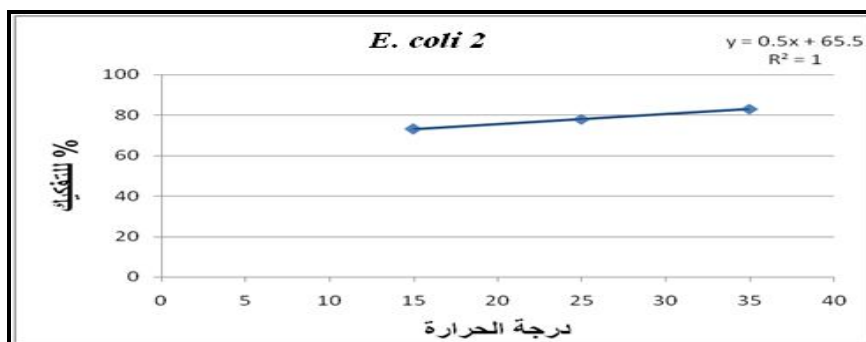
الشكل 232. النسبة المئوية لتفكيك C12-LASs الموجودة في عينة مياه صرف من موقع الرمل الجنوبي (غير معقم) بوجود *Sta. epidermidis* 2 في درجات الحرارة المختلفة.

أما في الشكل 233 فيلاحظ أن *E. coli* 1 استطاعت تفكيك C12-LASs بشكل ضعيف إلى جيد، والعلاقة بين تغير درجة الحرارة مع النسبة المئوية للتفكيك غير واضحة، نظراً إلى تفضيلها لدرجة الحرارة  $25^{\circ}\text{C}$  إذ بلغت 77%، وأقرب معادلة يمكن تطبيقها هي  $(Y = -1.15x + 81.41)$  إذ إنَّ معامل الارتباط لها  $R = 0.229$ .



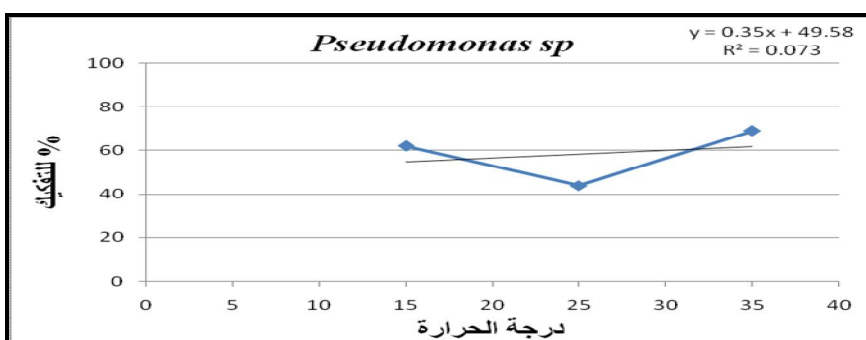
الشكل 233. النسبة المئوية لتفكيك C12-LASs الموجودة في عينة مياه صرف من موقع الرمل الجنوبي (غير معقم) بوجود *E. coli* 1 في درجات الحرارة المختلفة.

أما في حال وجود *E. coli* 2 فيلاحظ أنها فككت C12-LASs بنسب جيدة، والعلاقة طردية، إذ وصلت أفضل نسبة تفكيك إلى 83% في الدرجة  $35^{\circ}\text{C}$ ، ويمكن في هذه الحال تطبيق المعادلة  $(Y = 0.5x + 65.5)$  ومعامل الارتباط لها  $R = 1$  كما هو موضح بالشكل 234، ويلاحظ عند مقارنة السلالتين معاً (من نوع واحد) أن *E. coli* 2 هي الأكثر ارتباطاً مع تغير درجة الحرارة والأكثر فعالية، مما يشير إلى أنها واسعة المجال الحراري.



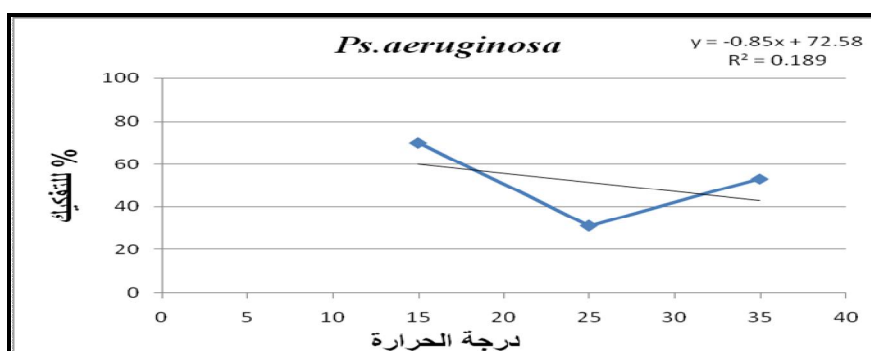
الشكل 234. النسبة المئوية لتفكك C12-LASs الموجودة في عينة مياه صرف من موقع الرمل الجنوبي (غير معقم) بوجود *E. coli 2* في درجات الحرارة المختلفة.

أما الشكل 235 فيبين قدرة *Pseudomonas sp* على تفكك C12-LASs، ولا يوجد علاقة بينهما إذ لوحظ أن أفضل نسبة تفكك في درجة الحرارة 35°C قد بلغت 69%، وأقرب معادلة يمكن تطبيقها هي  $Y = -0.35x + 49.58$  ومعامل الارتباط لها  $R = 0.073$ .



الشكل 235. النسبة المئوية لتفكك C12-LASs الموجودة في عينة مياه صرف من موقع الرمل الجنوبي (غير معقم) بوجود *Pseudomonas sp* في درجات الحرارة المختلفة.

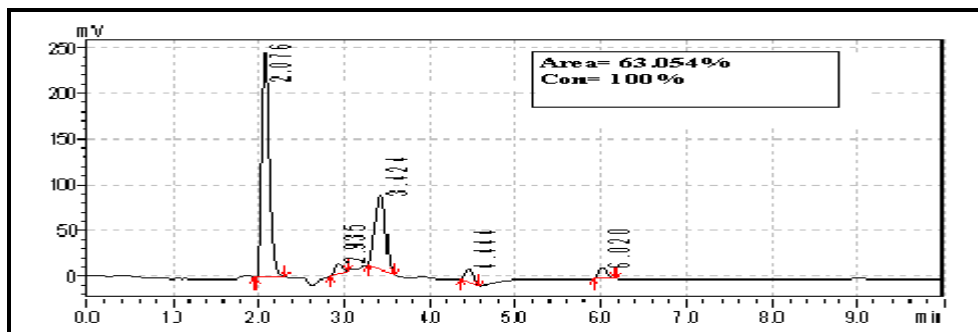
أما بوجود *Ps. aeruginosa* فيلاحظ أن تفكك C12-LASs تراوح بين الضعيف والمتوسط، وكانت أفضل نسبة تفكك في الدرجة 15°C (70%)، وأقرب معادلة يمكن تطبيقها هي  $Y = -0.85x + 72.58$  ومعامل الارتباط لها  $R = 0.189$  والعلاقة ضعيفة جداً، كما هو موضح بالشكل 236.



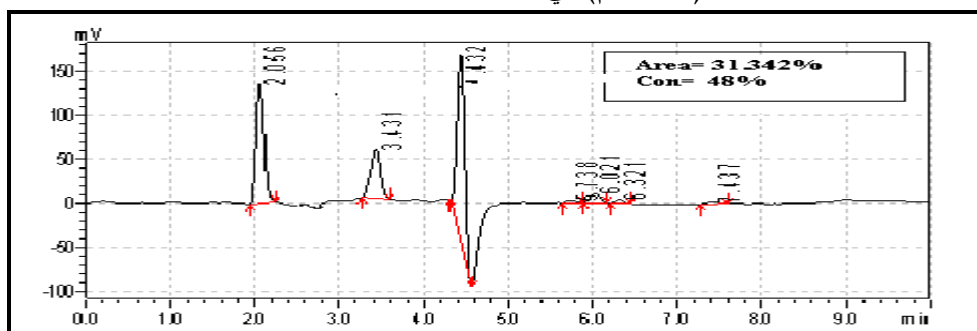
الشكل 236. النسبة المئوية لتفكك C12-LASs الموجودة في عينة مياه صرف من موقع الرمل الجنوبي (غير معقم)

## وجود *Ps.aeruginosa* في درجات الحرارة المختلفة.

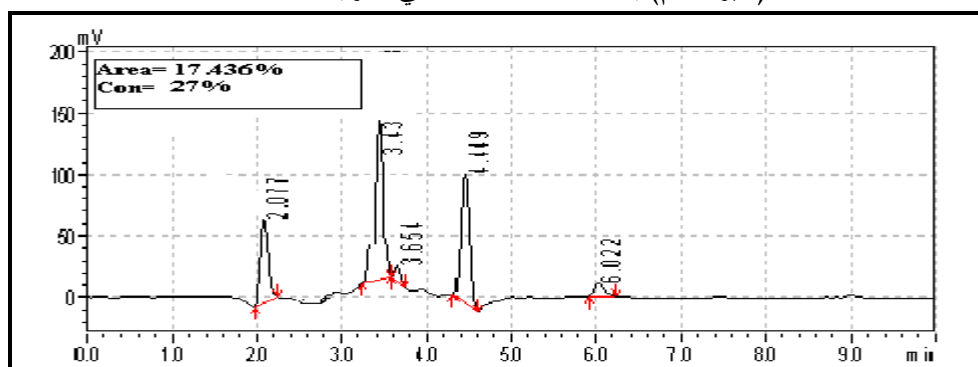
عند مقارنة عمل *Pseudomonas sp* و *Ps.aeruginosa* (من جنس واحد) يلاحظ أن *Pseudomonas sp* الأفضل تفكيكاً مع ارتفاع درجة الحرارة مع ملاحظ أن كليهما فضلاً درجة الحرارة  $25^{\circ}\text{C}$ ، والأشكال 237 - 263 تبين نتائج تحليل C12-LASs في مياه صرف طبيعية غير معقمة، من موقع الرمل الجنوبي باستعمال جهاز الكروماتوغرافيا السائلة.



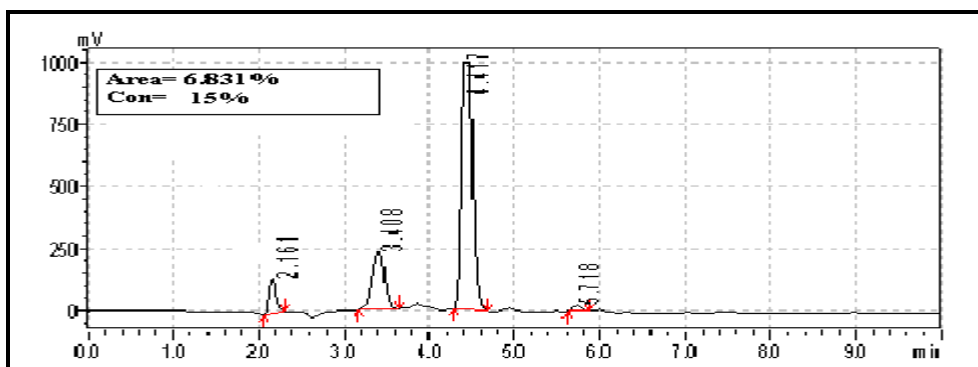
الشكل 237. تحليل C12-LASs في الشاهد في وسط طبيعي سائل من مياه صرف من موقع الرمل الجنوبي (غير معقّم) في الدرجة  $15^{\circ}\text{C}$ .



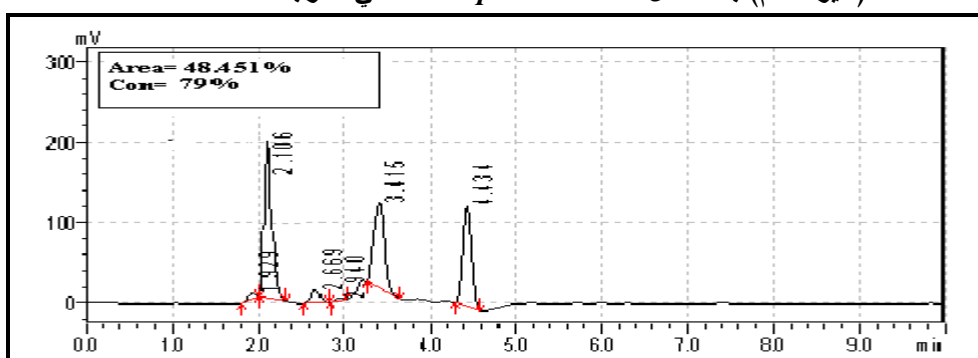
الشكل 238. تفكيك C12-LASs في وسط طبيعي سائل من مياه صرف من موقع الرمل الجنوبي (غير معقّم) باستعمال *E.coli* 1 في الدرجة  $15^{\circ}\text{C}$ .



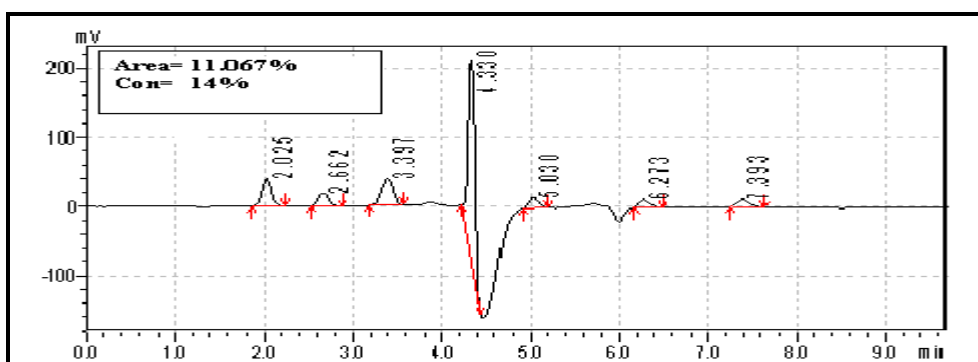
الشكل 239. تفكيك C12-LASs في وسط طبيعي سائل من مياه صرف من موقع الرمل الجنوبي (غير معقّم) باستعمال *E.coli* 2 في الدرجة  $15^{\circ}\text{C}$ .



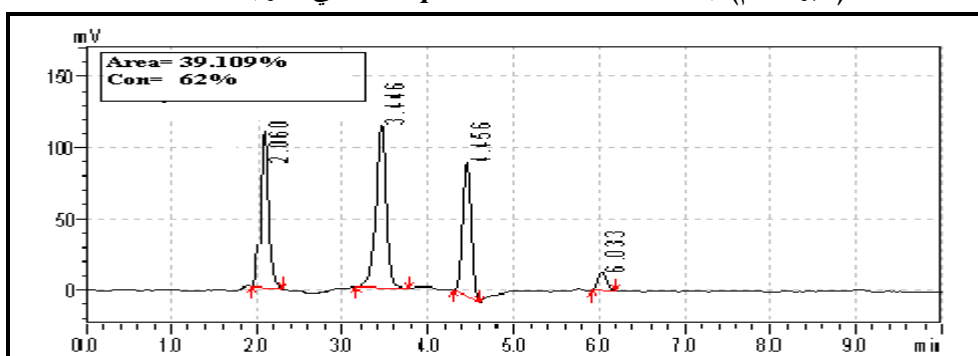
الشكل 240. تفكيك C12-LASs في وسط طبيعي سائل من مياه صرف من موقع الرمل الجنوبي (غير معقم) باستعمال *Sal. taphimurium* في الدرجة ١٥°C.



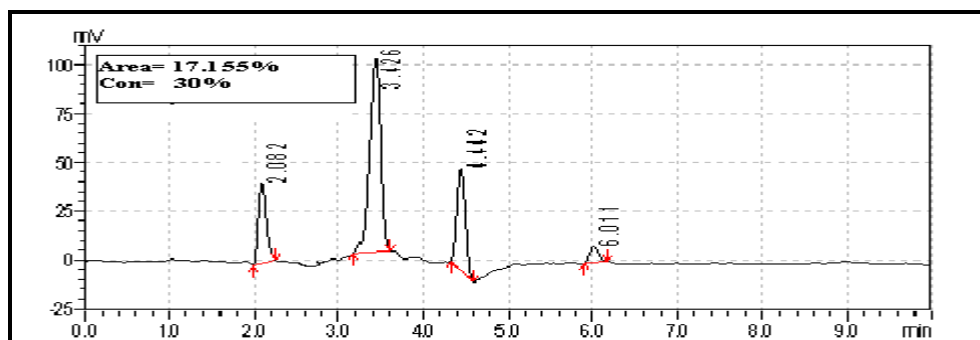
الشكل 241. تفكيك C12-LASs في وسط طبيعي سائل من مياه صرف من موقع الرمل الجنوبي (غير معقم) باستعمال *Sal. enteritidis* في الدرجة ١٥°C.



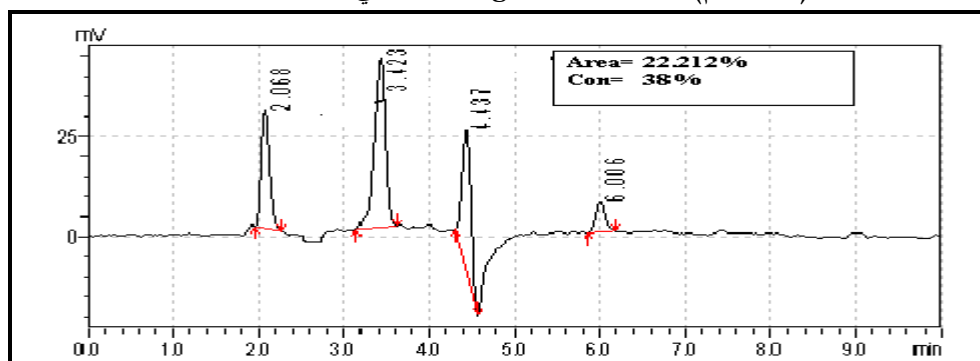
الشكل 242. تفكيك C12-LASs في وسط طبيعي سائل من مياه صرف من موقع الرمل الجنوبي (غير معقم) ب استعمال *Sta. epidermidis* 1 في الدرجة ١٥°C.



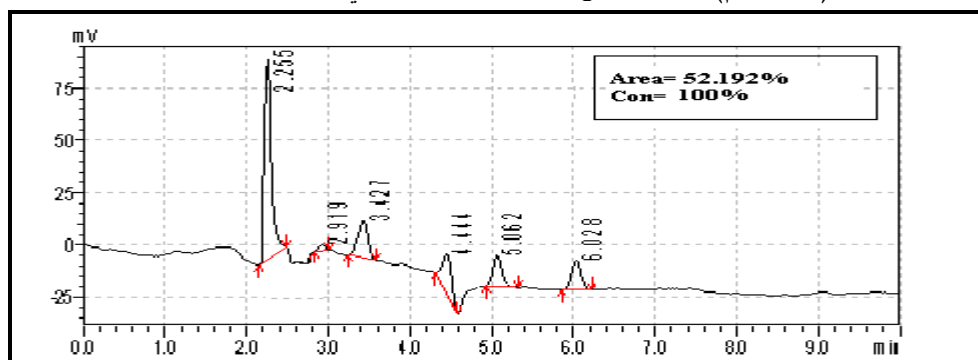
الشكل 243. تفكيك C12-LASs في وسط طبيعي سائل من مياه صرف من موقع الرمل الجنوبي (غير معقم) باستعمال *Sta. epidermidis* 2 في الدرجة ١٥°C.



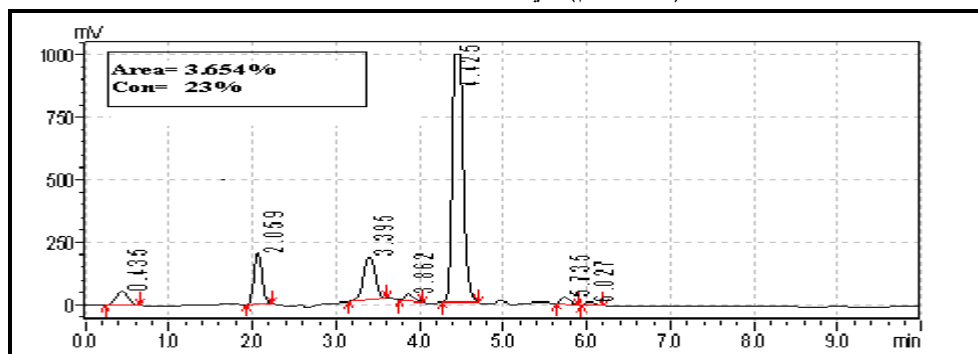
الشكل 244. تفكيك C12-LASs في وسط طبيعي سائل من مياه صرف من موقع الرمل الجنوبي (غير معقم) باستعمال *Ps.aeruginosa* في الدرجة  $15^{\circ}\text{C}$ .



الشكل 245. تفكيك C12-LASs في وسط طبيعي سائل من مياه صرف من موقع الرمل الجنوبي (غير معقم) باستعمال *Pseudomonas sp* في الدرجة  $15^{\circ}\text{C}$ .

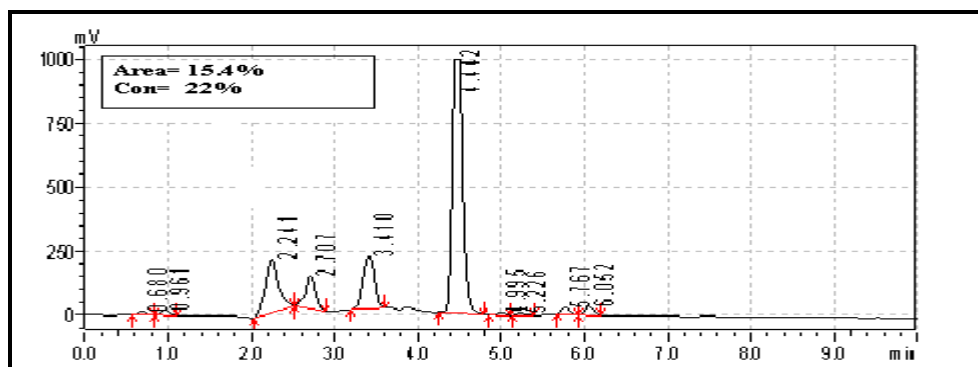


الشكل 246. تحليل C12-LASs في الشاهد في وسط طبيعي سائل من مياه صرف من موقع الرمل الجنوبي (غير معقم) في الدرجة  $25^{\circ}\text{C}$ .

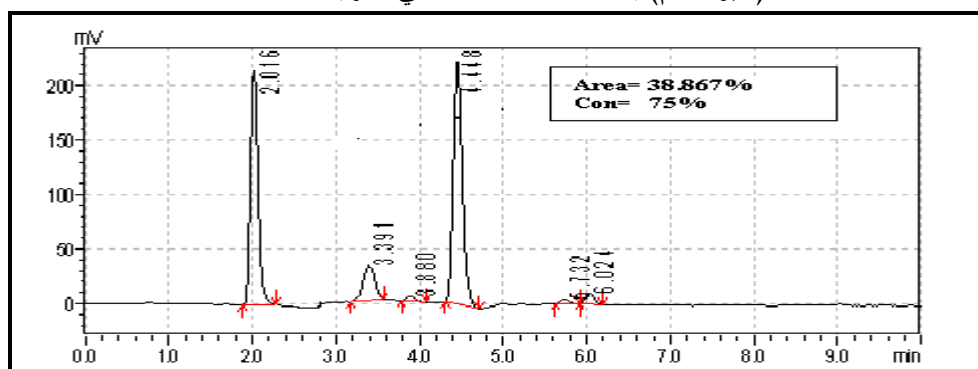


الشكل 247. تفكيك C12-LASs في وسط طبيعي سائل من مياه صرف من موقع الرمل الجنوبي (غير معقم) باستعمال *E.coli* 1 في الدرجة  $25^{\circ}\text{C}$ .

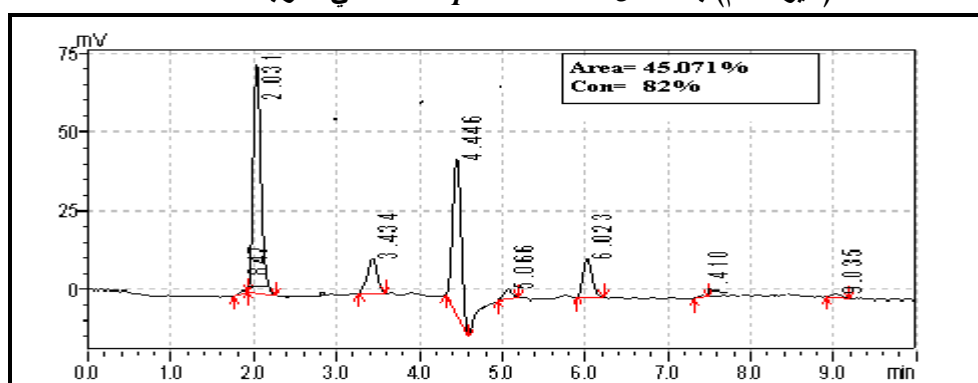




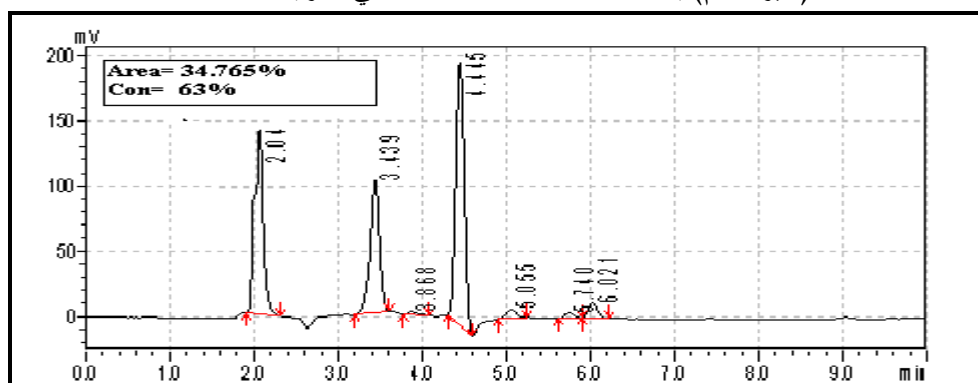
الشكل 248. تفكيك C12-LASs في وسط طبيعي سائل من مياه صرف من موقع الرمل الجنوبي (غير معقم) باستعمال *E. coli* 2 في الدرجة  $25^{\circ}\text{C}$ .



الشكل 249. تفكيك C12-LASs في وسط طبيعي سائل من مياه صرف من موقع الرمل الجنوبي (غير معقم) باستعمال *Sal. typhimurium* في الدرجة  $25^{\circ}\text{C}$ .

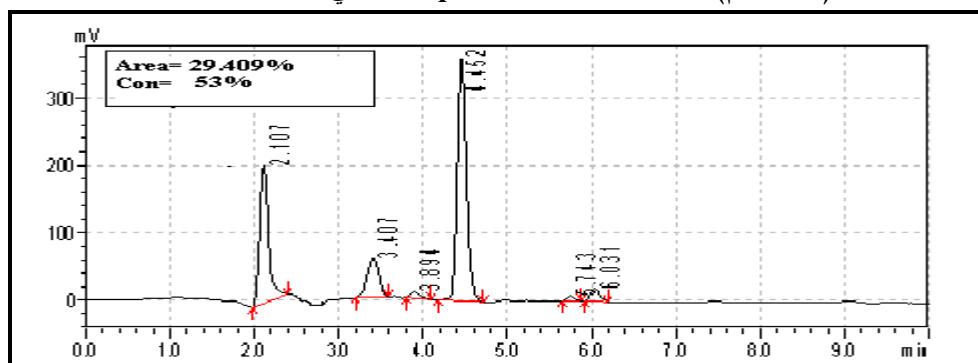


الشكل 250. تفكيك C12-LASs في وسط طبيعي سائل من مياه صرف من موقع الرمل الجنوبي (غير معقم) باستعمال *Sal. enteritidis* في الدرجة  $25^{\circ}\text{C}$ .



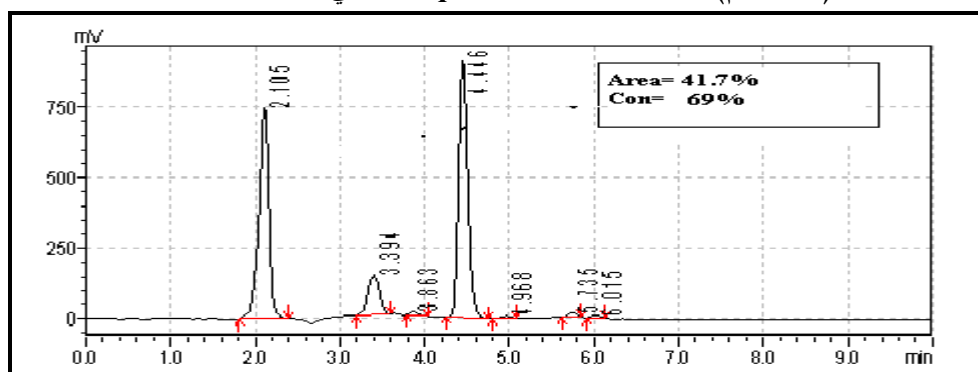
الشكل 251. تفكيك C12-LASs في وسط طبيعي سائل من مياه صرف من موقع الرمل الجنوبي

(غير معقم) باستعمال *Sta. epidermidis* 1 في الدرجة ٢٥°C.



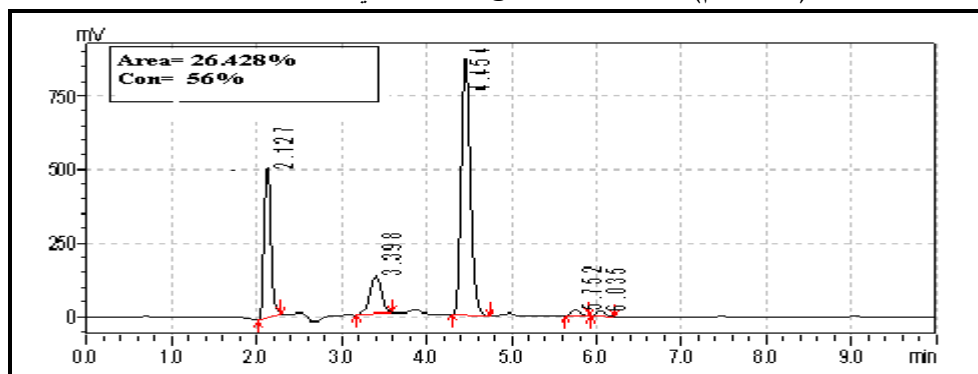
الشكل 252. تفكيك C12-LASs في وسط طبيعي سائل من مياه صرف من موقع الرمل الجنوبي

(غير معقم) باستعمال *Sta. epidermidis* 2 في الدرجة ٢٥°C.



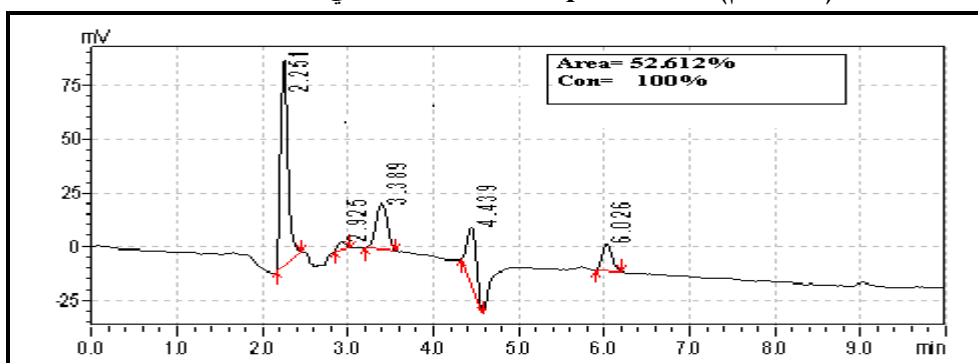
الشكل 253. تفكيك C12-LASs في وسط طبيعي سائل من مياه صرف من موقع الرمل الجنوبي

(غير معقم) باستعمال *Ps.aeruginosa* في الدرجة ٢٥°C.



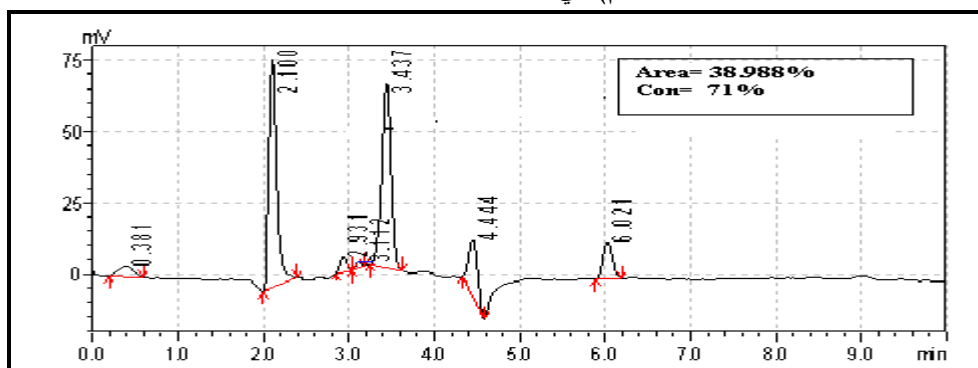
الشكل 254. تفكيك C12-LASs في وسط طبيعي سائل من مياه صرف من موقع الرمل الجنوبي

(غير معقم) باستعمال *Pseudomonas sp* في الدرجة ٢٥°C.

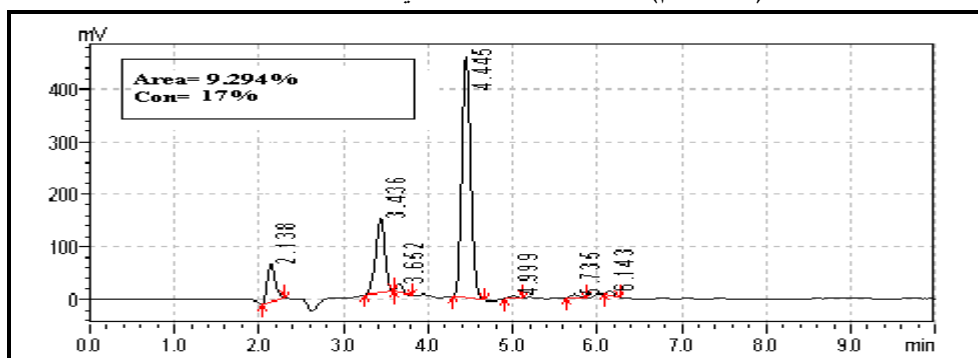


الشكل 255. تحليل C12-LASs في الشاهد في وسط طبيعي سائل من مياه صرف من موقع الرمل الجنوبي (غير

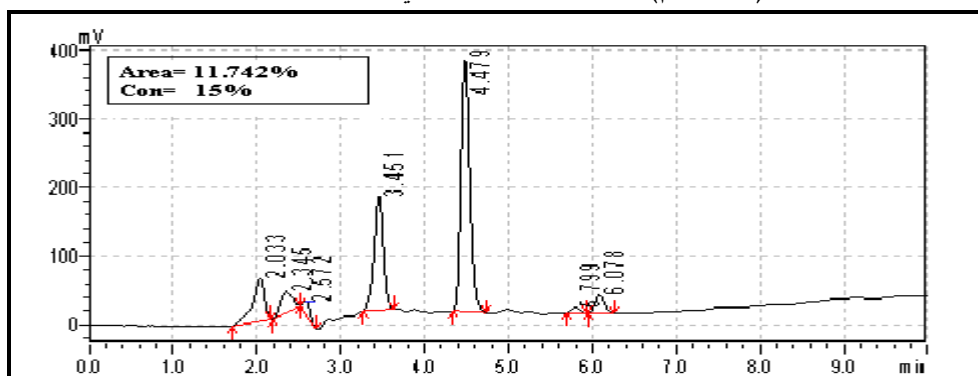
معقم في الدرجة ٣٥°C.



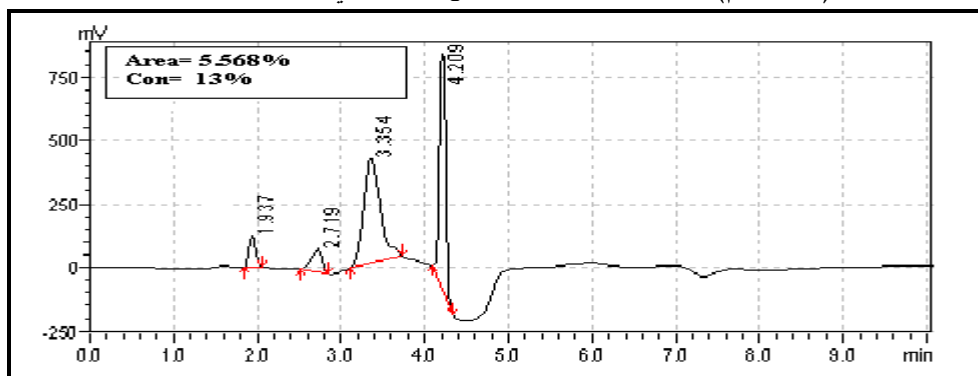
الشكل 256. تفكيك C12-LASs في وسط طبيعي سائل من مياه صرف من موقع الرمل الجنوبي (غير معقم) باستعمال *E.coli* 1 في الدرجة ٣٥°C.



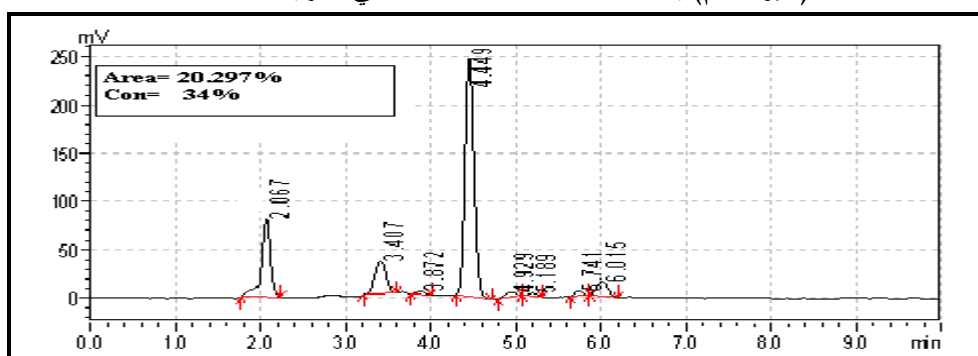
الشكل 257. تفكيك C12-LASs في وسط طبيعي سائل من مياه صرف من موقع الرمل الجنوبي (غير معقم) باستعمال *E.coli* 2 في الدرجة ٣٥°C.



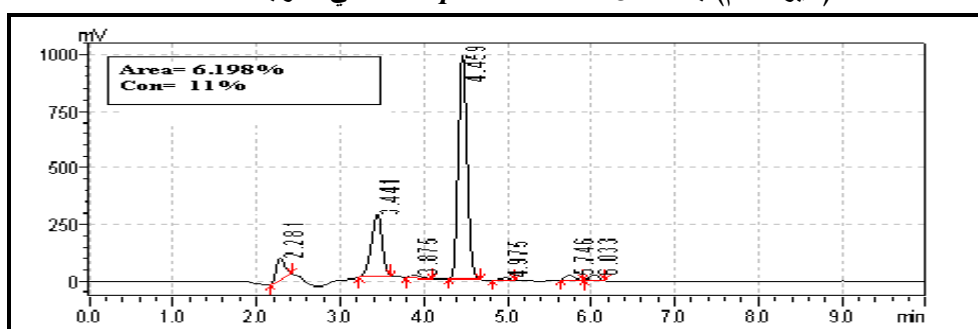
الشكل 258. تفكيك C12-LASs في وسط طبيعي سائل من مياه صرف من موقع الرمل الجنوبي (غير معقم) باستعمال *Sal. taphimurium* في الدرجة ٣٥°C.



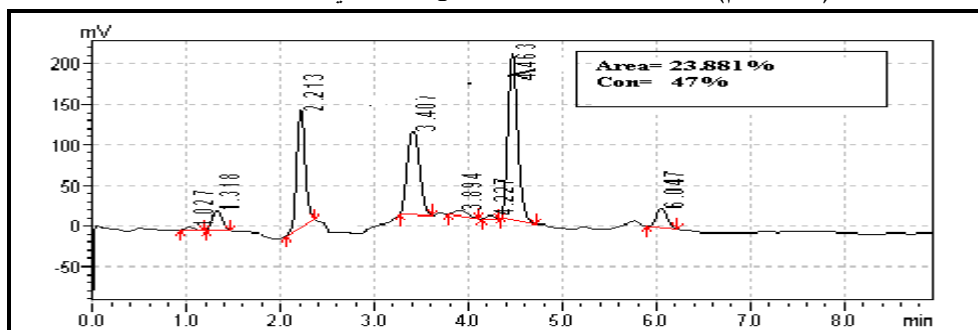
الشكل 259. تفكيك C12-LASs في وسط طبيعي سائل من مياه صرف من موقع الرمل الجنوبي (غير معقم) باستعمال *Sal. enteritidis* في الدرجة ٣٥°C.



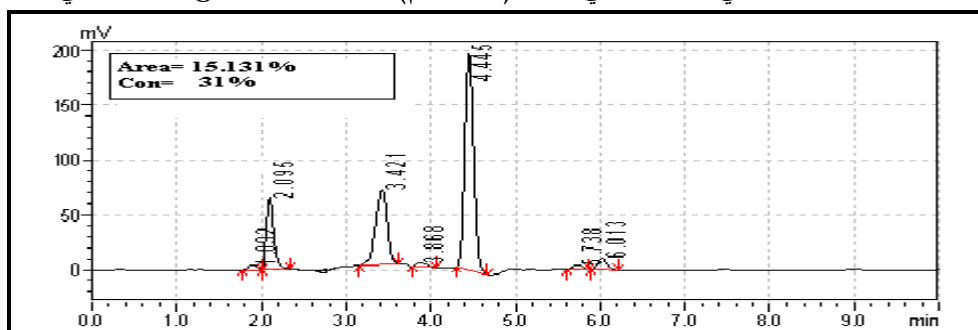
الشكل 260. تفكيك C12-LASs في وسط طبيعي سائل من مياه صرف من موقع الرمل الجنوبي (غير معقم) باستعمال *Sta. epidermidis* 1 في الدرجة ٣٥°C.



الشكل 261. تفكيك C12-LASs في وسط طبيعي سائل من مياه صرف من موقع الرمل الجنوبي (غير معقم) باستعمال *Sta. epidermidis* 2 في الدرجة ٣٥°C.



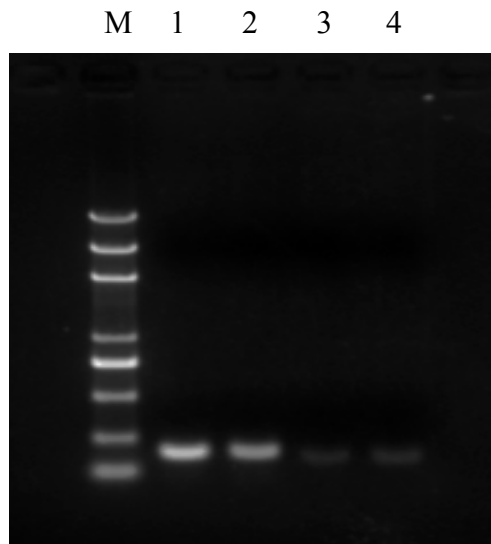
الشكل 262. تفكيك C12-LASs في وسط طبيعي سائل (غير معقم) باستعمال *Ps.aeruginosa* في الدرجة ٣٥°C.



الشكل 263. تفكيك C12-LASs في وسط طبيعي سائل (غير معقم) باستعمال *Pseudomonas* sp في الدرجة ٣٥°C.

9.3- الدراسة الوراثية الجزيئية لإحدى الجراثيم المنتقاة والمفككة للمواد الفعالة سطحياً.

أمكن الحصول على تضخيم كافٍ لجزء المورثة المسؤولة عن إنتاج Sulphoxidase بحجم قدره ١٨٠ قاعدة نروجينية من جراثيم *Pseudomonas aeruginosa*، وأجري تخفيض تركيز الحموض النووية المستعملة في تفاعل PCR إلى النصف في كلا التفاعلين؛ أي مع بادئات المورثة المسؤولة وبادئات المورثة 16S rRNA (للتأكد من مدى كفاءة عملية التضخيم)، إذ استعمل ١ و ٠.٥ ميكرو لتر من المادة الوراثية، وبناءً عليه أمكن الحصول على تضخيم للمورثة أعلى تركيزاً في التفاعل الأول منه في التفاعل الثاني، كما هو موضح بالشكل 265.

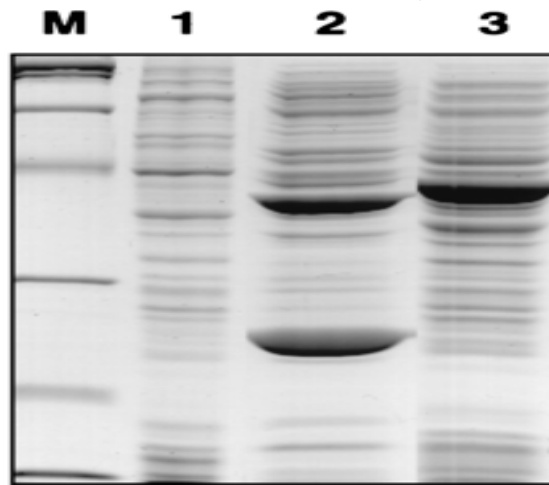


الشكل 265. تضخيم جزء من المورثة المسؤولة عن Sulphoxidase عند *Pseudomonas aeruginosa*.

يبين الشكل 265 تحليل نتائج تفاعل PCR على هلامية من الأغاروز بنسبة ١%.

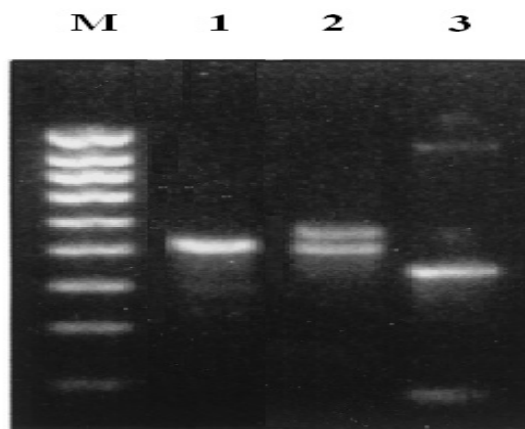
- العمود الأول M من الهلامية يحتوي مؤشر الأحجام الذي يتكون من 8 حزم من الدنا DNA بأحجام متباينة وهي: 100-200-300-400-500-1000-1500-2000 قاعدة نروجينية.
  - العمود (١) ناتج تفاعل التضخيم للمورثة المسؤولة باستعمال ١ ميكرو لتر من DNA.
  - العمود (٢) ناتج تفاعل التضخيم للمورثة 16S rRNA باستعمال ١ ميكرو لتر من DNA.
  - العمود (3) ناتج تفاعل التضخيم للمورثة المسؤولة باستعمال 0.5 ميكرو لتر من DNA.
  - العمود (٤) ناتج تفاعل التضخيم للمورثة 16S rRNA باستعمال 0.5 ميكرو لتر من DNA.
- وبذلك أمكن الكشف عن المورثة المسؤولة عن التركيب الحيوي لإنزيم Sulphoxidase انطلاقاً من المادة الوراثية المستخلصة من السلالة الجرثومية *Pseudomonas aeruginosa*، بمساعدة البادئات الخاصة بهذه المورثة، وبصفته شاهداً على خصوصية وكفاءة هذا التفاعل أجري تضخيم المورثة 16S rRNA الذي يستعمل عادة شاهداً عاماً لهذا النوع من التجارب الذي أعطى نتائج إيجابية، كما أثبتت كفاءة هذا التضخيم من خلال استعمال تراكيز متفاوتة من المادة الوراثية لأن تخفيض تركيزها أدى إلى تخفيض كمية ناتج تفاعل PCR. أمكن في أبحاث سابقة تحديد مورثات قادرة على إنتاج إنزيمات قادرة على تفكيك مواد فعالة سطحياً، موجودة في العديد من الأحياء الدقيقة ( Ellis, 2003. Pogorevc, M & Faber, K. 1999. Kertesz, M.A.et al.

2002 A.J.et al.)، مثل المورثة المسؤولة عن تركيب إنزيم Methanesulphonate Sulphonatase وهي موجودة في *E.coli* ، ويبين الشكل 266 تضخيم جزء من هذه المورثة في *E.coli*.



الشكل 266. تضخيم جزء من المورثة المسؤولة عن تركيب إنزيم Methanesulphonate Sulphonatase في *E.coli*

إن هذه المورثة موجودة أيضاً في *Ps.aeruginosa* و *E.coli* و *Sal. typhimurium* التي اختيرت في هذا البحث، وهذا يدل على احتواء هذه الأنواع الجرثومية المورثات القادرة على إنتاج نوع أو أكثر من الإنزيمات القادرة على تفكيك المواد الفعالة سطحياً، كما يوضح بالشكل 267.



الشكل 267. تضخيم جزء من المورثة المسؤولة عن تركيب إنزيم Methanesulphonate Sulphonatase في *Sal. typhimurium* و *E.coli* و *Ps.aeruginosa*

العمود الأول M يحتوي دالة الأحجام، أما العمود 1 فيعبر عن تضخيم جزء من هذا المورث عند *Ps.aeruginosa*، أما العمود 2 فهو تضخيم جزء من هذه المورثة في *E.coli*، والعمود 3 هو تضخيم جزء من هذه المورثة في *Sal. typhimurium* (Kertesz, M.A.et al. 1999). إن الكشف عن وجود إنزيم Sulphoxidase أكد النتائج التي تمّ التوصل إليها بالنسبة لتفكيك المواد الفعالة سطحياً المدروسة، وذلك باستعمال الجراثيم المنتقاة مجتمعة ومنفردة.

### 10.3 - مقارنة بين نتائج الدراسة مع نتائج محطة معالجة السلمية.

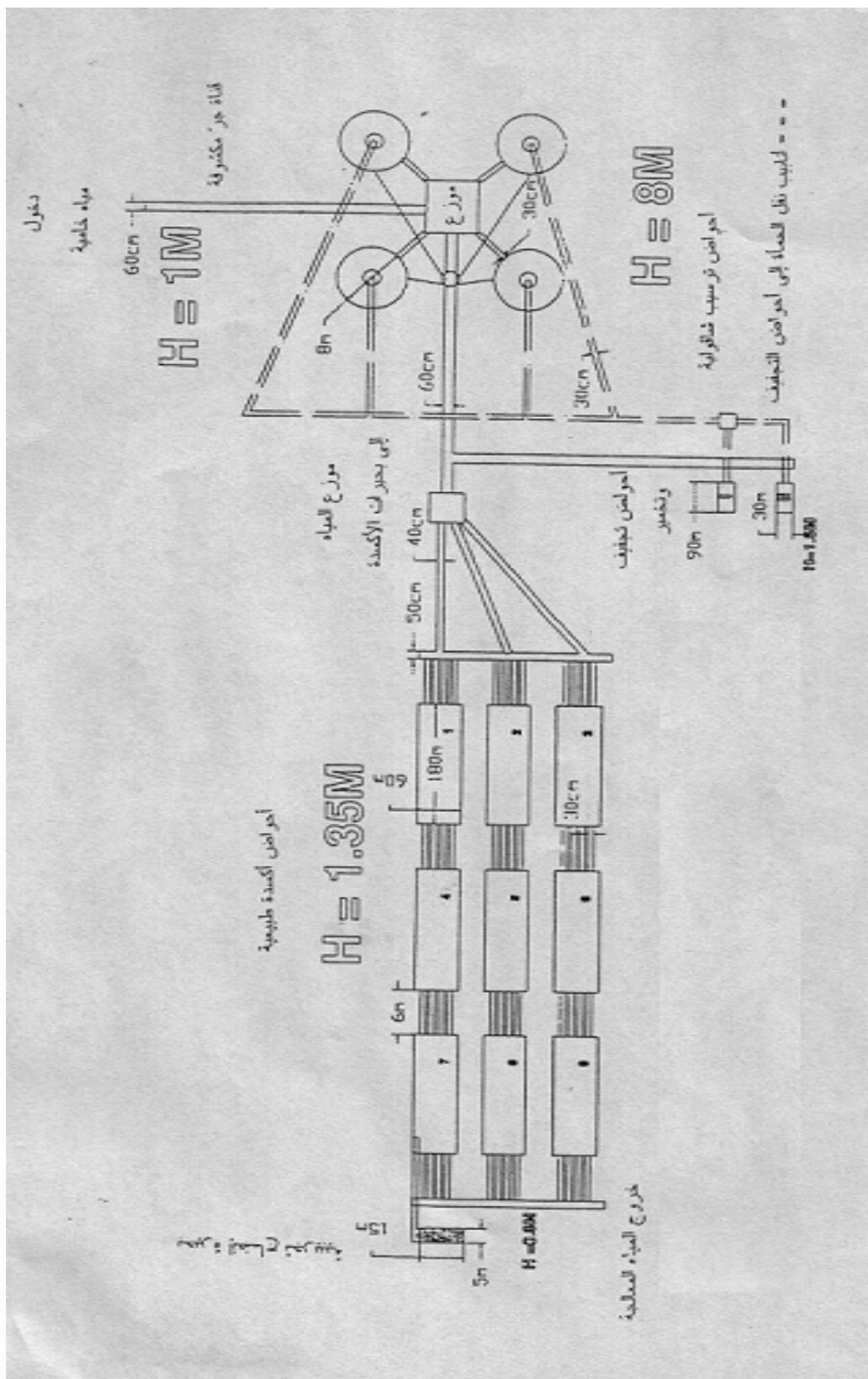
تعدّ مياه الصرف (الصحي والصناعي والزراعي) من المصادر المائية غير التقليدية والمهمة جداً، ولاسيما إذا عولجت جيداً لتلبي الحاجة إلى المياه في بعض مجالات الاستعمال، ويبين تطبيق التقانة الحيوية في هذا البحث أن السلالات المنتقاة للتطبيق العملي كان لها تأثير متنوع ومختلف بحسب السلالات المستعملة، وبحسب الشروط المختلفة أيضاً، وبلغت قيمة مرتفعة في تخفيض نسبة المواد الفعّالة سطحياً في العديد من الحالات.

إن نتائج عمل السلالات الجرثومية المستعملة في هذه الدراسة كانت جيدة بشكل عام في تخفيض نسب المواد الفعّالة سطحياً في الأوساط الصناعية التي حضرت في المختبر في كلا حالتي LASs و SDSs وتجاوزت نسبة 70% في حالات كثيرة بحسب التركيز المستعمل، ودرجة الحرارة، حتى تجاوزت 90% في حال التراكيز المنخفضة، ونسبة 60% بحسب درجة الحموضة، عند استعمال كلٍّ منها على حدة. أما نسب التخفيض للمواد الفعّالة سطحياً في برك الأكسدة الاختيارية الموجودة في محطة السلمية المستعملة أحواض معالجة حيوية، فإنه يلاحظ أن نسبة تفكيك المواد الفعّالة سطحياً في محطة المعالجة في السلمية كانت منخفضة ولم تتجاوز 25%.

يلاحظ مما سبق أن الجراثيم المستعملة في هذا البحث قد زادت من نسبة تفكيك المواد الفعّالة سطحياً بشكل عام، مع وجود بعض الفروق بحسب السلالات بنسب أعلى مما هو في محطة معالجة السلمية، مما يشجع على تطبيقها بشكل واسع خاصة في أحواض الأكسدة، وبالتالي فإن تطبيق هذه الطريقة في مرحلة المعالجة الحيوية لعمل محطات المعالجة، سيعمل على زيادة فعالية تلك المحطات بشكل واضح ويرفع من مردودها، ومن هنا تتبع الأهمية التطبيقية لنتائج هذه الدراسة.

إن احتواء السلالات الجرثومية المستعملة في هذا البحث على المجموعات الإنزيمية القادرة على استقلاب الكبريت ساهم في تفكيك العديد من المواد الفعّالة سطحياً الموجودة في مياه الصرف، ومن أهم هذه الإنزيمات (SsuABC) Aliphatic sulphonates و FMNH<sub>2</sub>- desulphonative monooxygenase SsuD و NADPH:FMN reductase SsuE وهي تفكيك السلفونات الأليفاتية .

أما عند استعمال هذه السلالات مجتمعة لتفكيك المواد الفعّالة سطحياً (LASs , SDSs) في المختبر في وسط صناعي، فقد لوحظ أن هذه الأحياء استطاعت تفكيك تلك المواد بنسب جيدة جداً في تركيز 500 ملغ/ل في حالتي LASs و SDSs، أما بوجود تركيز 1000 ملغ/ل فكانت جيدة في حال LASs وضعيفة في حال SDSS ولكنها بشكل عام أفضل من نتائج محطة المعالجة في السلمية.



الشكل (268) مخطط وحدة معالجة مياه الصرف الصحي في السلمية بنظام بحيرات الأكسدة الطبيعية



### 11.3- استبانة خاصة بالمنظفات المستعملة في اللاذقية

أُعدت استبانة خاصة بالمنظفات المستعملة في اللاذقية، ووزعت على عينة من الأسر والمنشآت الموجودة في مختلف المدن والبلدات والقرى بمحافظة اللاذقية، وشملت مختلف المستويات العلمية والاقتصادية والاجتماعية، والغاية منها هي "معرفة وتقدير استهلاك المنظفات لتقدير كميات المواد الفعالة سطحياً، التي تصل إلى البيئة في محافظة اللاذقية بشكل عام ومياه الصرف خصوصاً، وفيما إذا كانت نسبة هذه المواد مقبولة أم لا"، والشكلان 269، 270 يوضحان استمارة الاستبانة.

استبانة عن المنظفات المستعملة في محافظة اللاذقية (الأسر)			
<ul style="list-style-type: none"> <li>الرجاء عدم ذكر الاسم.</li> <li>البيانات الواردة في هذه الاستمارة تستعمل لأغراض البحث العلمي فقط.</li> </ul>			
أسئلة استمارة بحث			
السؤال الأول : مكان الإقامة	ريف (تحديد المنطقة)،	مدينة (تحديد المنطقة)	
السؤال الثاني : عدد أفراد الأسرة	الحالة التعليمية لرب الأسرة		
السؤال الثالث: إجمالي الإنفاق الشهري للأسرة	(المصروفات المالية الشهرية على المأكّل والملبس وغير ذلك)		
السؤال الرابع: الإنفاق الشهري للأسرة على المنظفات	(غسيل، جلي، تنظيف، منتجات العناية مثل الشامبو وغيره)		
السؤال الخامس: المنظف المستعمل؟	ملاحظة: كمية المنظف تكون موجودة على علبته.		
اسم المنظف	نوع المنظف	كمية الاستهلاك الشهري	ثمن الاستهلاك الشهري
	سائل	( ) مل	
	معجون	( ) كغ	
	مسحوق غسيل	( ) كغ	
	صابون	( ) قطعة (أو كغ)	
	شامبو	( ) مل	
	معجون أسنان	( ) غ	
	معقم (كلور، فلاش، جت، ديتول)	( ) مل	
	أخرى يرجى ذكرها	( ) مل (أو كغ)	
السؤال السادس: الجهة المصنعة للمنظف المستعمل			
السؤال السابع: تأثير المنظفات في صحة أفراد الأسرة:			
التأثير السلبي	عدد الأفراد المتأثرين	التأثير الإيجابي	عدد الأفراد المتأثرين
تحسس جلدي		نعومة بشرة	
تحسس عيني		نضارة بشرة	
تنفس			
حالات أخرى يرجى ذكرها إذا وجدت			
شكراً لتعاونكم معنا			
الباحثة لمى جرعا			

الشكل 269. الاستبانة الخاصة باستعمال المنظفات في محافظة اللاذقية خلال عام ٢٠١٠.

استبانة عن المنظفات المستعملة في المنشآت بمحافظة اللاذقية

- الرجاء عدم ذكر اسم المنشأة أو اسم مالكيها.
- البيانات الواردة في هذه الاستمارة تستعمل لأغراض البحث العلمي فقط.

أسئلة استمارة بحث

السؤال الأول : مكان وجود المنشأة  ريف (تحديد المنطقة)، مدينة (تحديد المنطقة)

السؤال الثاني : نوع المنشأة  خاصة،  عامة

السؤال الثالث : طبيعة عمل المنشأة؟

منشآت حكومية ( إدارية )	مغاسل (غسيل وكوي)
منشآت تعليمية	مطاعم - فنادق - مقاهي
منشآت طبية	مصانع أغذية
ورش غسيل السيارات	تجارة أغذية (محلات تقديم الأطعمة)
ورش التنظيف المختلفة	محلات لحوم - فروج
ورش ميكانيك	حرف متنوعة

السؤال الرابع : عدد العاملين

السؤال الخامس : الإنفاق الشهري على المنظفات

السؤال السادس : المنظف المستعمل؟ ملاحظة: كمية المنظف تكون موجودة على علبته

المنظف	سائل	معجون	مسحوق	صابون	معقم	أنواع أخرى يرجى ذكرها
اسم المنظف						
كمية الاستهلاك الشهري						
ثمن الاستهلاك الشهري						

السؤال السابع: الجهة المصنعة للمنظف المستعمل ☐ مصنع معروف (عبوة نظامية ) - ☐ ورشة صغيرة (فلش)

وبشكراً لتعاونكم معنا

الباحثة لمى جرجا

الشكل 270. الاستبانة الخاصة باستعمال المنظفات في منشآت محافظة اللاذقية خلال عام ٢٠١٠.

بلغ عدد الأسر المشمولة بالعينة 222 أسرة، وعدد الأفراد في هذه الأسر 1051 فرداً، أما عدد المنشآت (خاصة، وعامة) فقد بلغ 25 منشأة، توزعت بين الريف والمدينة وشملت العديد من الأنشطة، وقد تم التوصل إلى النتائج الآتية:

١. أعلى نسبة لعدد أفراد الأسرة الواحدة (5 أفراد) بلغ 26 % (الشكل 2 في الملحق).
٢. أكثر الأسر استعمالاً للمنظفات هي الأسر التي يحمل فيها رب الأسرة شهادة معهد وما فوق، إذ يؤدي دخل الأسرة دوراً في ذلك (الشكلان 3، 6 في الملحق).
٣. إن 25% من الأسر ذات إنفاق شهري يتراوح بين 10 - 15 ألف ليرة سورية، و20% من الأسر ذات إنفاق شهري يتراوح بين 20 - 25 ألف ليرة سورية (الشكل 4 في الملحق).

٤. بلغ إجمالي الإنفاق 4087000 ليرة سورية، ومتوسط الإنفاق الكلي شهرياً 18409 ليرة سورية، وإجمالي الإنفاق على المنظفات 305630 ليرة سورية، ومتوسط الإنفاق على المنظفات شهرياً 1375 ليرة سورية، ويبلغ متوسط إنفاق الفرد الواحد على المنظفات شهرياً 290 ليرة سورية، ويشكل الإنفاق على المنظفات شهرياً نحو 7.5% من الإنفاق الكلي، وهي نسبة مرتفعة قياساً للاحتياجات الأخرى وذلك في حال الأسر، أما في حال المنشآت فإن أعلى نسبة للإنفاق كانت عند مجموعة 2000 ليرة سورية، وبلغت 28%، وهذا يتناسب مع كون النسبة الأكبر من المنشآت التي تعتمد عدد قليل من الأفراد العاملين وعلى حجم المنشأة الصغير أيضاً، في الغالب (الشكل 40 في الملحق).
٥. أعلى نسبة إنفاق شهري للأسر على المنظفات بلغت 36%، تتراوح بين 1000 - 1500 ليرة سورية شهرياً (الشكل 5 في الملحق).
٦. المنتجات النظامية هي الأكثر استعمالاً في حالة الأسر بينما، كانت جميع المنتجات المستعملة في المنشآت المشمولة بالعينة نظامية ومعروفة المصدر (الشكل 31 في الملحق).
٧. إن أعلى نسبة تأثير سلبي كانت في حال التحسس التنفسي، وكانت جميع الحالات عند استعمال المعقمات الكلور والفلاش (الشكل 32 في الملحق).
٨. أعلى نسبة تأثير إيجابي في حال نعومة البشرة وبلغت 64%، وغالباً ما كانت أنواع الصوابين هي السبب الرئيس لذلك (الشكل 33 في الملحق).
٩. إن واحداً على الأقل من أفراد الأسرة حدثت لديه حالة تحسس جلدي عند 20% من العينة، أما في حال التحسس العيني فبلغت 14%، في حين كانت 25% في حال التحسس التنفسي (الشكل 34 في الملحق).
١٠. 25% من العينة تأثر فيها فرد واحد على الأقل بنعومة البشرة، و20% في حال نضارة البشرة (الشكل 35 في الملحق).
١١. توزع عدد العمال في المنشآت في عدة مجموعات بلغ أعلاها نسبة مجموعة عاملين فقط في المنشأة الواحدة، ويمكن تفسير ذلك بأن أكثر المنشآت الخاصة تعتمد غالباً على أفراد الأسرة نفسها أو الأفراد القادرين على العمل في الأسرة، إلى ذلك غالباً ما يكون عدد أفراد تلك المنشآت قليلاً، أما المنشآت ذات عدد الأفراد الكبير فهي منشآت حكومية خدمية وتعليمية غالباً (الشكل 39 في الملحق).
١٢. ويبين الجدول 27 النتائج الأخرى التي تم الحصول عليها من الاستبانة.

الجدول 27. النسبة المئوية الأعلى لنوع المنظف وكميته وكلفته.

المنظف	الأسر	%	الشكل في الملحق	المنشآت	%	الشكل في الملحق
التنوع	سائل	39	7	مدار	32	41
	معجون جلي	16	8	ندى، داليا	44	42
	مسحوق غسيل	50	9	مدار	28	43
	صابون	21	10	حياة	56	44
	شامبو	20	11	—	—	—
	معجون أسنان	44	12	—	—	—
	معقمات	76	13	كلور الأرز	70	45
	منظفات أخرى	—	14	—	—	—
الكمية	سائل	23	15	لترين	16	47
	معجون جلي	11	16	3 كغ	14	48
	مسحوق غسيل	37	17	4 كغ	10	49
	صابون	29	18	1 كغ	24	50
	شامبو	44	19	—	—	—
	معجون أسنان	24	20	—	—	—
	معقمات	34	21	8 لتر	12	51
	منظفات أخرى	34	22	3 لتر	8	52
الكلفة	سائل	34	23	200 ل. س	20	53
	معجون جلي	15	24	100 ل. س	20	54
	مسحوق غسيل	12	25	250 ل. س	20%	55
	صابون	33	26	100 ل. س	32%	56
	شامبو	13	27	—	—	—
	معجون أسنان	21	28	—	—	—
	معقمات	36	29	200 ل. س	24%	57
	منظفات أخرى	20	30	200 ل. س	8%	58

## 12.3- الدراسة الإحصائية:

بعد جمع كميات المنظفات في حالتَي عَيِّنة الأسر وعَيِّنة الشركات، وتوحيد واحدة القياس بالميلي غرام للمقارنة بكمية المنظفات المسموح بها في المياه، وفق المواصفات القياسية السورية التي تبلغ (20 ملغ/لتر). جرى تحديد الفرضية الابتدائية وفق الآتي:

لا يوجد فروق ذات دلالة إحصائية بين متوسط كمية المنظفات التي تصل إلى البيئة شهرياً باللاذقية (مدينة وريف) ومتوسط كمية المنظفات المسموح بها وفق المواصفات القياسية السورية (20 ملغ/لتر).

$$H_0 : \bar{x} = \bar{x}_0$$

وبالتالي تكون الفرضية البديلة:  $H_1 : \bar{x} \neq \bar{x}_0$  عندئذ يكون الاختبار ثنائي الجانب.

$$|t| = \frac{|\bar{x} - \bar{x}_0|}{s / \sqrt{n}}$$

ومنه فإن دالة الاختبار:

إذ أن:

$\bar{x}$  : متوسط كمية المنظفات المأخوذة من عينة الاستبانة.

$\bar{x}_0$  : المتوسط بحسب المواصفات القياسية.

$S$  : الانحراف المعياري للعينة.

$n$  : عدد المفردات (عدد أنواع المنظفات المستعملة).

$$|t| = \frac{|1114327 - 20|}{763196.41 / \sqrt{8}} = 4.1296$$

العينات الصغيرة  $n < 30$  وإن القيمة الجدولية لتوزيع ستيودنت عند مستوى معنوية  $\alpha$  يساوي ٥% ودرجات حرية  $n - 1 = 7$ . وفي حال الاختبار ثنائي الجانب هي:

$$t_{(1-\alpha/2, n-1)} = t_{(1-0.025, 7)} = t_{(0.975, 7)}$$

ومن جدول توزيع ستيودنت تقابل 2.365، وبمقارنة القيمة المحسوبة مع القيمة الجدولية يتبين أن القيمة المحسوبة أكبر من الجدولية لذلك (ترفض) الفرضية بعدم وجود فروق جوهرية بين متوسط كمية المنظفات، التي تصل إلى البيئة شهرياً في محافظة اللاذقية (مدينة وريف)، ومتوسط كمية المنظفات المسموح بها وفق المواصفات القياسية السورية، وهذا ما ظهر في نتائج الاستبانة عند تقدير كمية المنظفات التي تصل إلى البيئة باللاذقية إذ بلغت كمية المنظفات 8915 كغ تقريباً من المنظفات المختلفة.

تكون  $\alpha = 0.01$  في الدراسات الإحصائية الحيوية أي مستوى المعنوية يكون 1% عالمياً، و عندئذ

بالقيمة الجدولية يتبين أن القيمة المحسوبة أكبر من الجدولية. إلى ذلك ترفض الفرضية بعدم وجود فروق جوهرية بين متوسط كمية المنظفات التي تصل إلى البيئة شهرياً باللاذقية (مدينة وريف)، وبين متوسط كمية المنظفات المسموح بها وفق المواصفات القياسية السورية عند مستوى معنوية 1%.

وجرى الافتراض أن الاختبار أحادي الجانب فتكون الفرضيات:

$$H_0 : \bar{x} = \bar{x}_0$$

$$H_1 : \bar{x} > \bar{x}_0$$

$\bar{x}$  : متوسط كمية المواد الفعالة سطحياً المأخوذة من عينة الاستبانة.

$\bar{x}_0$  : المتوسط بحسب المواصفات القياسية السورية.

$S$  : الانحراف المعياري للعينة.

$n$  : عدد المفردات ( عدد أنواع المنظفات المستعملة والتي أخذت منها المواد الفعالة سطحياً).

$$|t| = \frac{|\bar{x} - \bar{x}_0|}{s/\sqrt{n}} \quad \text{ومنه فإن:}$$

والقيمة الجدولية لتوزيع ستيودنت عند مستوى معنوية 5% ودرجات حرية  $n - 1 = 7$ .

$$t_{(1-\alpha, n-1)} = t_{(1-0.05, 7)} = t_{(0.95, 7)}$$

وهي تقابل في جدول توزيع ستيودنت 1.895، وبمقارنة القيمة المحسوبة بالقيمة الجدولية، يتبين أن القيمة المحسوبة أكبر من الجدولية لذلك ترفض الفرضية بعدم وجود فروق جوهرية بين متوسط كمية المنظفات التي تصل إلى البيئة شهرياً باللاذقية (مدينة وريف) ومتوسط كمية المنظفات المسموح بها وفق المواصفات القياسية السورية.

أما عند مستوى المعنوية 1% فإن: (7, 0.99)  $t$ ، وهي تقابل 2.998 في جدول توزيع ستيودنت، وبمقارنتها بالقيمة المحسوبة يتبين أن القيمة المحسوبة أكبر من الجدولية لذلك ترفض الفرضية. ثم حسب تركيز المواد الفعالة سطحياً، الموجودة في المنظفات (في حالتي عينة الأسر وعينة الشركات) بالملي غرام للمقارنة بكمية المواد الفعالة سطحياً المسموح بها في المياه، وفق المواصفات بالمغرب العربي التي تبلغ 3 ملغ/ل، لعدم وجود قيمة لها محددة في المواصفات القياسية السورية. (المغرب دولة عربية تتشابه ظروفه مع الظروف في سورية إلى حد ما).

جرى تحديد الفرضية الابتدائية (فرضية العدم، أو فرضية الصفر) وفق الآتي:

لا يوجد فروق ذات دلالة إحصائية بين متوسط كمية المواد الفعالة سطحياً التي تصل إلى البيئة شهرياً في محافظة اللاذقية، ومتوسط كمية المواد الفعالة سطحياً المسموح بها وفق المواصفات القياسية المغربية (3 ملغ/لتر).

$$|t| = \frac{|126784 - 3|}{75837.104/\sqrt{8}} = 4.727 \quad \text{ومنه فإن دالة الاختبار:}$$

إن القيمة الجدولية لتوزيع ستيودنت عند مستوى معنوية 5% ودرجات حرية  $n - 1 = 7$  في حال الاختبار ثنائي الجانب، ومن جدول توزيع ستيودنت تقابل 2.365 وبمقارنة القيمة المحسوبة بالقيمة الجدولية يتبين أن القيمة المحسوبة أكبر من الجدولية، لذلك ترفض الفرضية بعدم وجود فروق جوهرية بين متوسط كمية المواد

الفعالة سطحياً، التي تصل إلى البيئة شهرياً في محافظة اللاذقية (مدينة وريف)، ومتوسط كمية المواد الفعالة سطحياً المسموح بها وفق المواصفات القياسية المغربية، إذ بينت التحاليل التي أجريت في بعض تجارب البحث على مياه الصرف الصحي باللاذقية، أن تراكيز المواد الفعالة سطحياً قد تجاوزت 450 ملغ/ل في موقعي الدراسة.

تكون  $\alpha = 0.01$  في الدراسات الإحصائية الحيوية أي مستوى المعنوية 1%، ومن جدول توزيع ستودنت تقابل 3.499 وبمقارنة القيمة المحسوبة بالقيمة الجدولية، يتبين أن القيمة المحسوبة أكبر من الجدولية، لذلك ترفض الفرضية لعدم وجود فروق جوهرية، بين متوسط كمية المواد الفعالة سطحياً، التي تصل إلى البيئة شهرياً باللاذقية (مدينة وريف)، ومتوسط كمية المواد الفعالة سطحياً المسموح بها وفق المواصفات القياسية المغربية عند مستوى معنوية 1%.

و جرى الافتراض أن الاختبار أحادي الجانب وإن القيمة الجدولية لتوزيع ستودنت عند مستوى معنوية 5% ودرجات حرية  $n - 1 = 7$ . تقابل في جدول توزيع ستودنت 1.895 وبمقارنة القيمة المحسوبة بالقيمة الجدولية تبين أن القيمة المحسوبة أكبر من الجدولية لذلك ترفض الفرضية لعدم وجود فروق جوهرية، بين متوسط كمية المواد الفعالة سطحياً، التي تصل إلى البيئة شهرياً باللاذقية (مدينة وريف)، ومتوسط كمية المواد الفعالة سطحياً المسموح بها وفق المواصفات القياسية المغربية.

أما عند مستوى المعنوية 1% فإن:  $t_1 (0.99, 7)$ ، وتقابل 2.998 في جدول توزيع ستودنت وبمقارنتها بالقيمة المحسوبة تبين أن القيمة المحسوبة أكبر من الجدولية لذلك ترفض الفرضية.

وجرت مقارنة كمية المواد الفعالة سطحياً الموجودة في المنظفات (في حالتها عينة الأسر وعينة الشركات) بالميلي غرام بكمية المواد الفعالة سطحياً المسموح بها في المياه، وفق المواصفات القياسية التونسية (تونس) والصينية (الصين) والتي تبلغ (5 ملغ/ل).

جرى تحديد الفرضية الابتدائية (فرضية عدم، أو فرضية الصفر) وفق الآتي.

لا يوجد فروق ذات دلالة إحصائية بين متوسط كمية المواد الفعالة سطحياً، التي تصل إلى البيئة شهرياً باللاذقية، ومتوسط كمية المواد الفعالة سطحياً المسموح بها وفق المواصفات القياسية التونسية والصينية.

$$|t| = \frac{|126784 - 5|}{75837.104 / \sqrt{8}} = 4.728 \quad \text{ومنه فإن دالة الاختبار:}$$

إن القيمة الجدولية لتوزيع ستودنت عند مستوى معنوية 5% ودرجات حرية  $n-1=7$ . في حال الاختبار ثنائي الجانب، ومن جدول توزيع ستودنت تقابل 2.365 وبمقارنة القيمة المحسوبة بالقيمة الجدولية، تبين أن القيمة المحسوبة أكبر من الجدولية، لذلك ترفض الفرضية لعدم وجود فروق جوهرية بين متوسط كمية المواد الفعالة سطحياً، التي تصل إلى البيئة شهرياً باللاذقية (مدينة وريف)، ومتوسط كمية المواد الفعالة سطحياً المسموح بها وفق المواصفات القياسية التونسية والصينية.

تكون  $\alpha = 0.01$  في الدراسات الإحصائية الحيوية أي مستوى المعنوية يكون 1%، ومن جدول توزيع ستودنت تقابل 3.499 وبمقارنة القيمة المحسوبة بالقيمة الجدولية، تبين أن القيمة المحسوبة أكبر من الجدولية، لذلك ترفض الفرضية لعدم وجود فروق جوهرية بين متوسط كمية المواد الفعالة سطحياً، التي تصل إلى البيئة شهرياً باللاذقية (مدينة وريف)، ومتوسط كمية المواد الفعالة سطحياً المسموح بها وفق القياسية التونسية والصينية، عند مستوى معنوية 1%.

وجرى إفتراض أن الاختبار أحادي الجانب، فالقيمة الجدولية لتوزيع ستودنت عند مستوى معنوية 5% ودرجات حرية  $n - 1 = 7$ . تقابل في جدول توزيع ستودنت 1.895، وبمقارنة القيمة المحسوبة بالقيمة الجدولية تبين أن القيمة المحسوبة أكبر من الجدولية، لذلك ترفض الفرضية لعدم وجود فروق جوهرية بين متوسط كمية المواد الفعالة سطحياً التي تصل إلى البيئة شهرياً باللاذقية (مدينة وريف)، ومتوسط كمية المواد الفعالة سطحياً المسموح بها وفق القياسية التونسية والصينية.

أما عند مستوى المعنوية 1% فإن:  $t_1 (0.99, 7)$ ، وهي تقابل 2.998 في جدول توزيع ستودنت وبمقارنتها بالقيمة المحسوبة تبين أن القيمة المحسوبة أكبر من الجدولية لذلك ترفض الفرضية. أما في محطة المعالجة التي تصل فيها نسبة تفكيك المنظفات إلى 25% فقط، ويبقى في المياه المعالجة 30 ملغ/ل فقد جرى تحديد الفرضية الابتدائية (فرضية العدم، أو فرضية الصفر) بالنص الآتي:

لا يوجد فروق ذات دلالة إحصائية بين متوسط كمية المنظفات، التي تصل إلى البيئة شهرياً باللاذقية (مدينة وريف)، ومتوسط كمية المنظفات التي تبقى في المياه المعالجة في السلمية والتي تبلغ 30 ملغ/ل.

$$|t| = \frac{|1114327 - 30|}{763196.41/\sqrt{8}} = 4.1295 \quad \text{ومنه فإن دالة الاختبار:}$$

إن القيمة الجدولية لتوزيع ستودنت عند مستوى معنوية 5% ودرجات حرية  $n - 1 = 7$  في حال الاختبار ثنائي الجانب. ومن جدول توزيع ستودنت تقابل 3.499 وبمقارنة القيمة المحسوبة بالقيمة الجدولية، تبين أن القيمة المحسوبة أكبر من الجدولية لذلك ترفض الفرضية لعدم وجود فروق جوهرية بين متوسط كمية المنظفات التي تصل إلى البيئة شهرياً باللاذقية (مدينة وريف)، ومتوسط كمية المنظفات التي تبقى في المياه المعالجة في السلمية.

وعندما تكون  $\alpha = 0.01$  أي مستوى المعنوية 1%، فإنها تقابل 3.499 وبمقارنة القيمة المحسوبة بالقيمة الجدولية تبين أن القيمة المحسوبة أكبر من الجدولية، لذلك ترفض الفرضية لعدم وجود فروق جوهرية بين متوسط كمية المنظفات التي تصل إلى البيئة شهرياً باللاذقية (مدينة وريف)، ومتوسط كمية المنظفات التي تبقى في المياه المعالجة في السلمية عند مستوى معنوية 1%.

وتبين أيضاً في حال الاختبار أحادي الجانب (عند مستوى معنوية 5%، ومستوى المعنوية 1% ودرجات حرية  $n - 1 = 7$ ) أن القيمة المحسوبة أكبر من الجدولية، لذلك ترفض الفرضية لعدم وجود فروق جوهرية بين



متوسط كمية المنظفات التي تصل إلى البيئة شهرياً باللاذقية (مدينة وريف)، ومتوسط كمية المنظفات التي تبقى في المياه المعالجة في السلمية.

## الاستنتاجات Conclusions

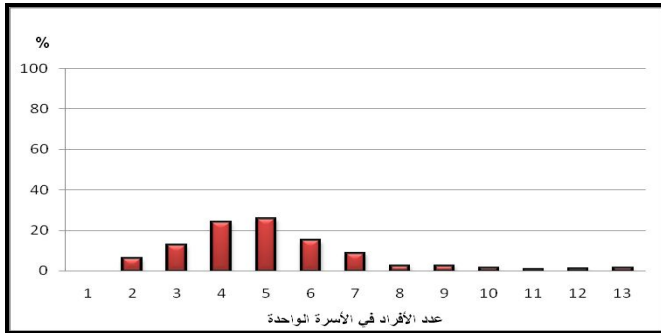
- ١- إن مياه الصرف الصحي لمدينة اللاذقية ذات محتوى مرتفع من المواد العضوية المختلفة، وخاصة المنظفات بشكل عام، والمواد الفعالة سطحياً بشكل خاص.
- ٢- عزلت وصنفت 8 مزارع جرثومية تنتمي إلى 5 أنواع منتمية لـ 4 أجناس من مياه الصرف الصحي، من موقعي الدراسة (أفاميا، والرمل الجنوبي) وهي *Salmonella* و *Salmonella enteritidis* و *Staphylococcus epidermidis* 1 و *Staphylococcus epidermidis* 2 و *E.coli* 1 و *E.coli* و *typhimurium* و *Pseudomonas sp* و *Pseudomonas aeruginosa*..
- ٣- أفضل نتائج تفكيك المواد الفعالة سطحياً كانت بوجود النترات بصفته مصدراً آزوتياً، وأفضل الجراثيم المفككة كانت *Pseudomonas.sp* وبنسبة وصلت إلى 85.5%.
- ٤- فككت الأحياء المعزولة LASs في حالتي (الحدود الدنيا والعظمى) للمؤشرات الخاصة بمياه الصرف لمدينة اللاذقية، ولكن بنسبة أعلى في حالة الحدود الدنيا، بأفضل نسبة تفكيك 89% بوجود *Pseudomonas sp* (الحدود الدنيا)، وأفضل نسبة 78% بوجود *Ps. aeruginosa* (الحدود العظمى).
- ٥- أفضل نتائج تفكيك تراكيز مختلفة من SDSs كانت بوجود تراكيز منخفضة من SDSs في الوسط، إذ تجاوزت نسبة التفكيك 75% بشكل عام.
- ٦- أفضل نتائج تفكيك تراكيز مختلفة من SDSs عند دراسة تأثير درجة الحرارة °C (15-25-35) كانت عند درجة الحرارة °C 35.
- ٧- أفضل نتائج تفكيك تراكيز مختلفة من SDSs مع تغيير درجة الحموضة كانت عند الدرجتين 5 و 6، وكانت *E.coli* 1 الأفضل تفكيكاً بنسبة 71% عند pH=6.
- ٨- أفضل نتائج تغيرات سلفونات الألكيل بنزن الخطية LASs في وسط يحويها بصفته مصدراً وحيداً للكربون والكبريت خلال أشهر مختلفة كانت في شهر حزيران.
- ٩- فككت الجراثيم المعزولة والمنقاة مجتمعة SDSs في وسط صناعي سائل بنسبة عالية في تركيز 500 ملغ/ل.
- ١٠- أفضل نسبة تفكيك للمواد الفعالة سطحياً التي تدخل في تركيب المنظفات (المستعملة محلياً) كانت في حالة مسحوق الغسيل من برسيل ووصلت لـ 90% خلال أسبوع.
- ١١- استطاعت جميع الجراثيم المستعملة تفكيك LASs في وسط صناعي سائل بشكل منفرد ومجموعة.

- ١٢- استطاعت الجراثيم المعزولة تفكيك مركبات LASs الموجودة في وسط طبيعي معقم بالحرارة، وأفضل نتائج التفكيك كانت بالدرجة 35°C، عند *Sal. taphimurium* بنسبة 92%.
- ١٣- استطاعت الجراثيم المعزولة تفكيك مركبات LASs الموجودة في وسط طبيعي غير معقم بالحرارة (أفاميا)، وأفضل النتائج كانت بالدرجة 25°C، عند *Sal. enteritidis*، و *Pseudomonas sp*، بنسبة 91%. بينما كان أفضلها تفكيكاً في الرمل الجنوبي *Sta. epidermidis* بنسبة 89%، وذلك في درجة الحرارة 35°C.
- ١٤- زادت نسبة تفكيك المواد الفعالة سطحياً بوساطة الجراثيم المعزولة من مياه الصرف الصحي بالمقارنة مع نتائج محطة معالجة السلمية.
- ١٥- تبين نتائج الاستبيان وجود فروق جوهريّة بين متوسط كمية المنظفات التي تصل إلى البيئة شهرياً في محافظة اللاذقية، وبين متوسط كمية المنظفات التي تبقى في المياه الناتجة عن محطة المعالجة في السلمية، وهذا يدل على أهمية معالجة مياه الصرف.
- ١٦- تبين هذه الدراسة الأهمية الاقتصادية للمعالجة البيولوجية لمياه الصرف الصحي، بتقليل التأثيرات البيئية السلبية الناجمة عن تلويث تلك المياه للمصادر البيئية المختلفة وخاصة المائية منها، إضافة لأنها تعدّ أقل كلفة مقارنة بالمصادر الأخرى لتوفير المياه.

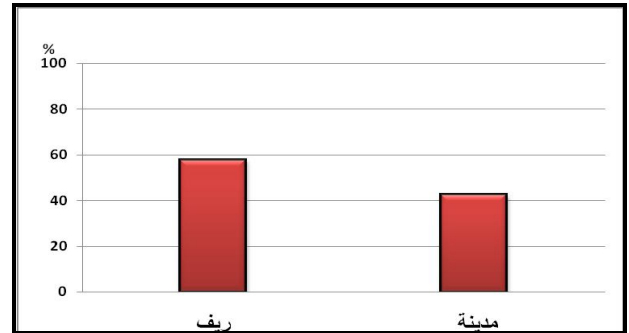
## المقترحات

- ١- إنتاج واستعمال منظفات ومواد فعّالة سطحياً صديقة للبيئة، قابلة للتفكيك الحيوي بشكل جيد، بفعل الأحياء المختلفة الموجودة في البيئة، وبأقل التأثيرات في البيئة بشكل عام والإنسان بشكل خاص.
- ٢- إنشاء محطات لمعالجة مياه الصرف الصحي تحقق المواصفات العالمية وتتناسب مع الظروف المحلية، للأهمية البيئية والاقتصادية والاجتماعية.
- ٣- إنشاء بنك خاص بالأحياء وخاصة الأحياء الدقيقة، بالإضافة لإنشاء بنك خاص بالمورثات بالتعاون مع المؤسسات العلمية العالمية.
- ٤- استمرار الأبحاث المتعلقة بتحسين فعالية الأنواع المستعملة في هذه الدراسة للتخلص من الملوثات.
- ٥- استعمال التقانات الحيوية الحديثة لمعالجة التلوث البيئي بشكل عام، وتلوث المصادر المائية بمياه الصرف الصحي بشكل خاص.

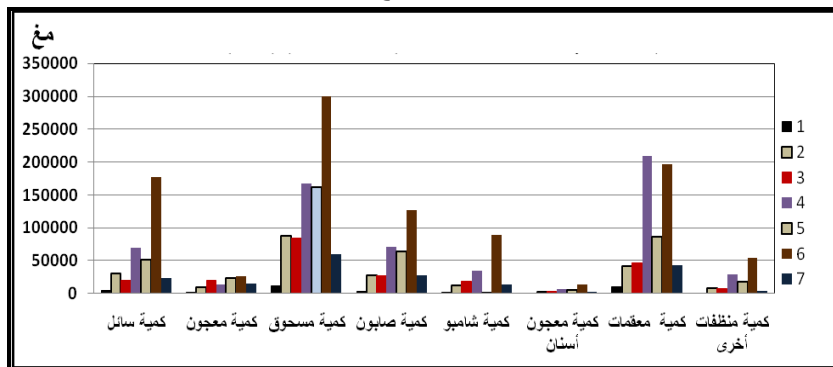
## الملحق:



الشكل 2. توزيع العينة بحسب عدد أفراد الأسرة.

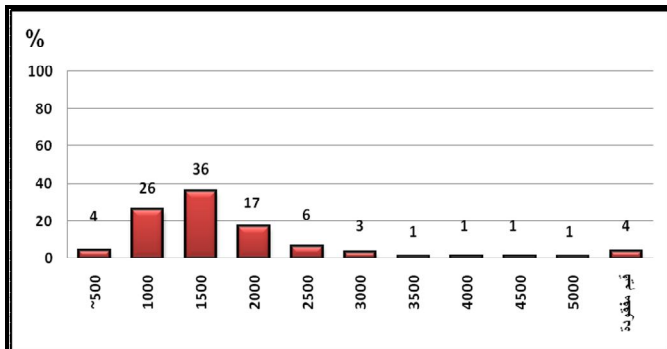


الشكل 1. توزيع العينة بحسب مكان الإقامة.

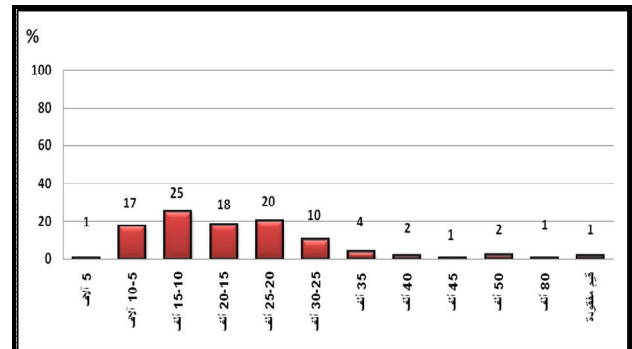


الحالة التعليمية	
1	أمي
2	ملم
3	ابتدائية
4	إعدادية
5	ثانوية
6	معهد وما فوق
7	قيم مفقودة

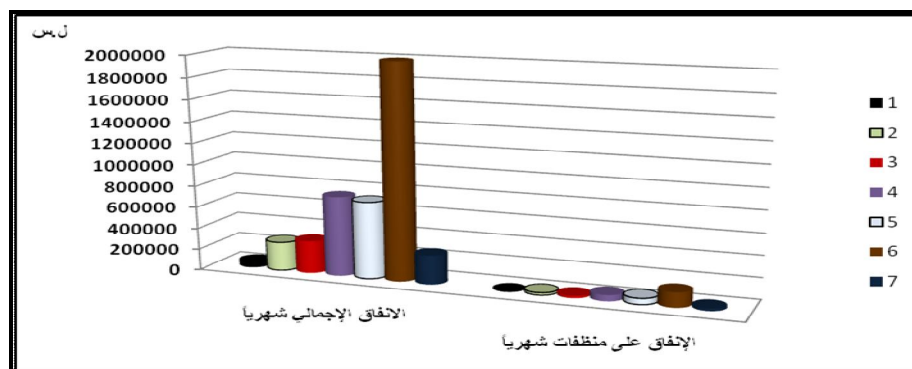
الشكل 3. توزيع الكميات المستعملة من المنظفات بحسب الحالة التعليمية لرب الأسرة خلال عام ٢٠١٠.



الشكل 5. توزيع العينة بحسب إنفاق الأسر على المنظفات شهرياً خلال عام ٢٠١٠.

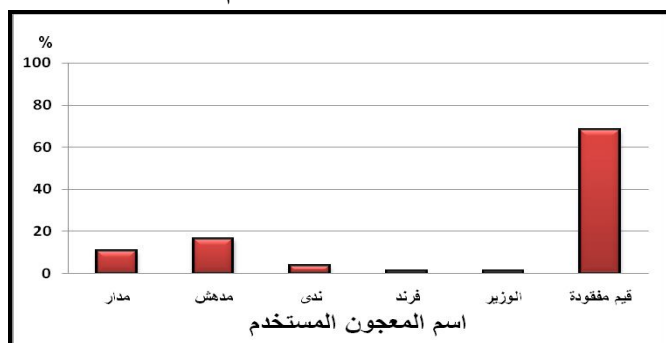


الشكل 4. توزيع العينة بحسب إجمالي الإنفاق الشهري للأسرة خلال عام ٢٠١٠.

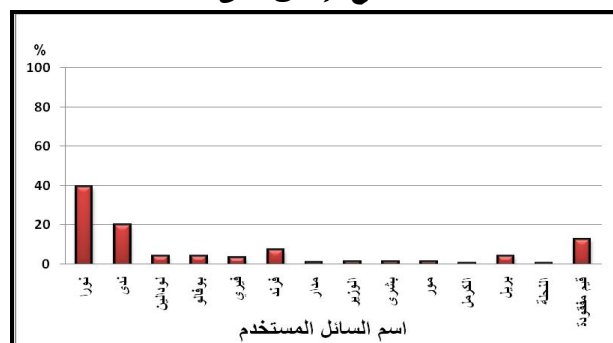


الحالة التعليمية	
1	أمي
2	ملم
3	ابتدائية
4	إعدادية
5	ثانوية
6	معهد وما فوق
7	قيم مفقودة

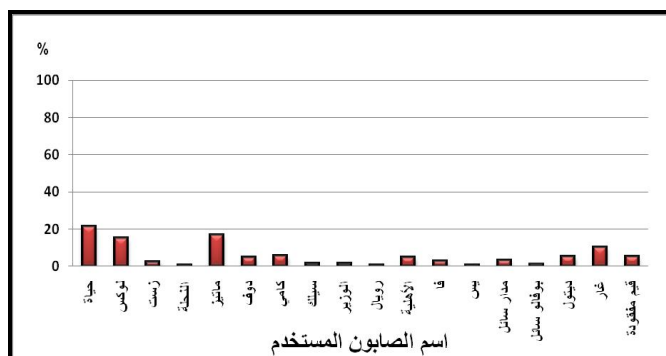
الشكل 6. توزيع الإنفاق على المنظمات المستعملة بحسب الحالة التعليمية لرب الأسرة خلال عام ٢٠١٠.



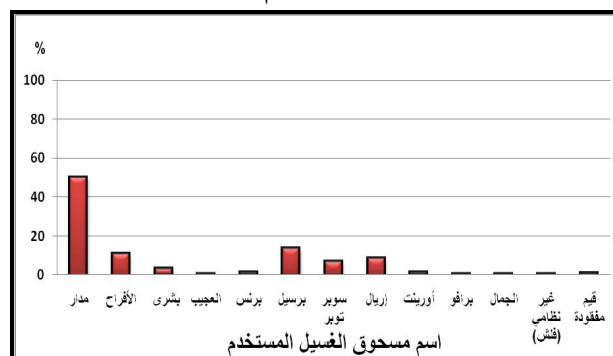
الشكل 8. النسبة المئوية لتوزيع المعجون المستعمل خلال عام ٢٠١٠.



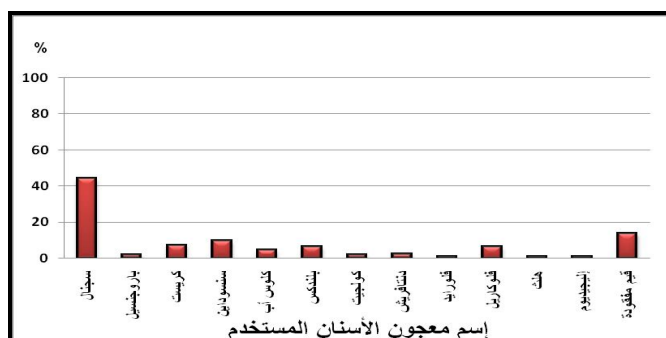
الشكل 7. النسبة المئوية لتوزيع المنظف (سائل الجلي) المستعمل خلال عام ٢٠١٠.



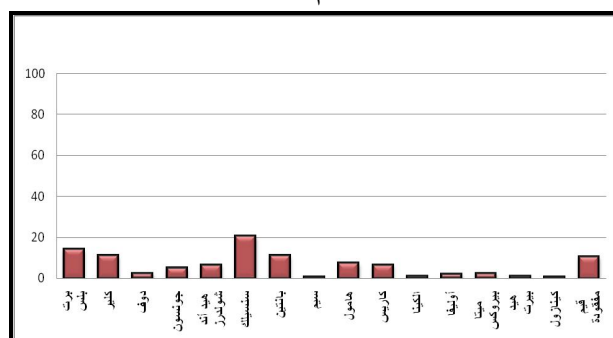
الشكل 10. النسبة المئوية لتوزيع الصابون المستعمل خلال عام ٢٠١٠.



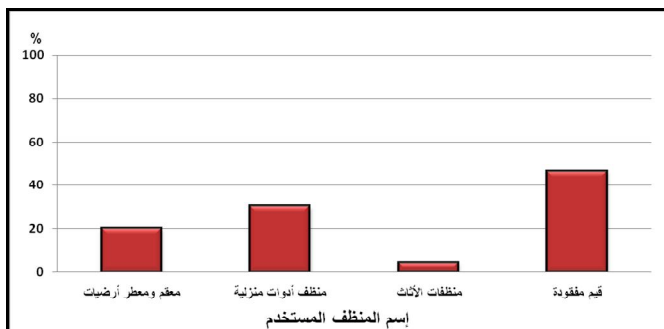
الشكل 9. النسبة المئوية لتوزع مسحوق الغسيل المستعمل خلال عام ٢٠١٠.



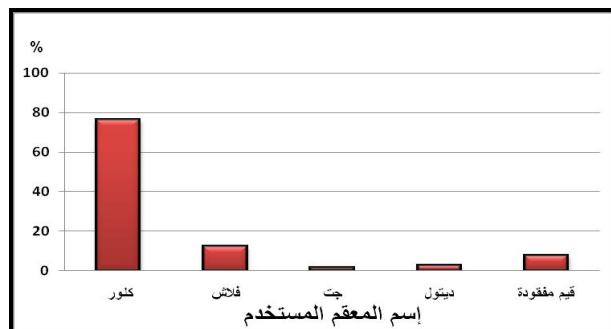
الشكل 12. النسبة المئوية لتوزيع معجون الأسنان المستعمل خلال عام ٢٠١٠.



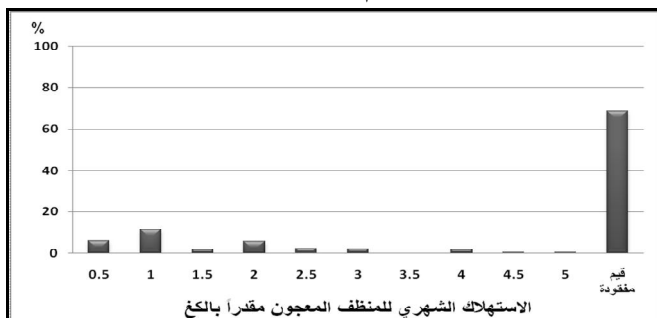
الشكل 11. النسبة المئوية لتوزيع الشامبو المستعمل خلال عام ٢٠١٠



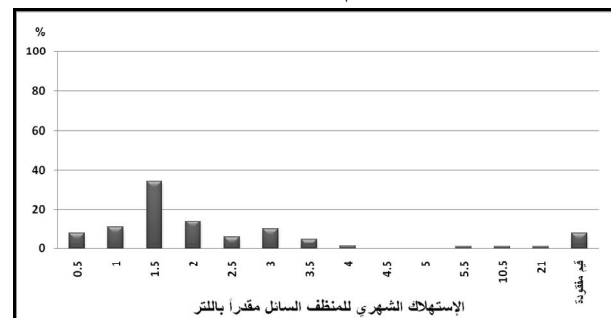
الشكل 14. النسبة المئوية لتوزيع منظفات أخرى مستعملة خلال عام ٢٠١٠.



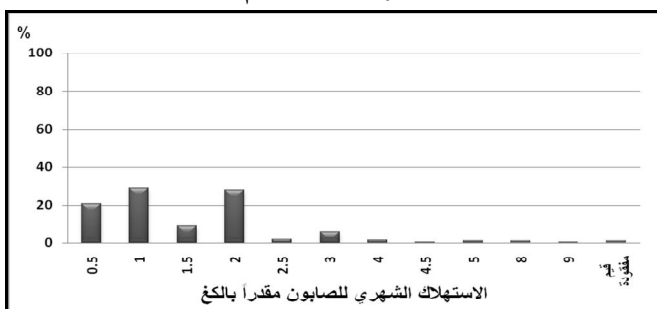
الشكل 13. النسبة المئوية لتوزيع المعقّمات المستعملة خلال عام ٢٠١٠.



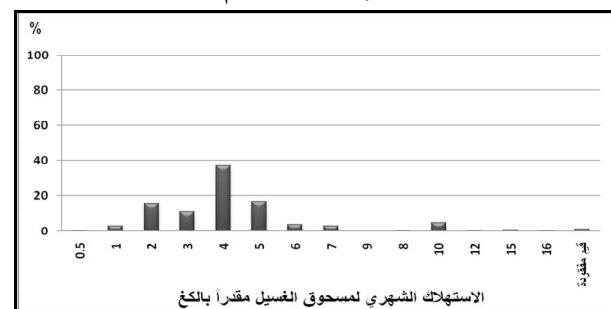
الشكل 16. النسبة المئوية لكمية المنظف (معجون الجلي) المستعمل شهرياً خلال عام ٢٠١٠.



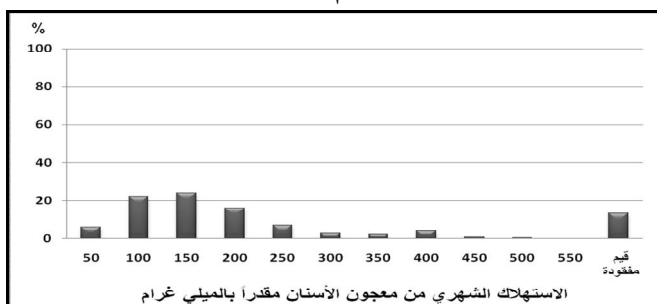
الشكل 15. النسبة المئوية لكمية المنظف (سائل الجلي) المستعمل شهرياً خلال عام ٢٠١٠.



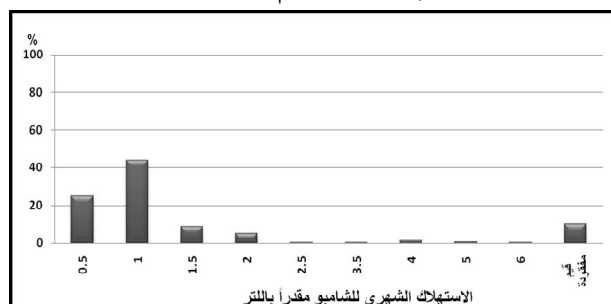
الشكل 18. النسبة المئوية لكمية الصابون المستعمل شهرياً خلال عام ٢٠١٠.



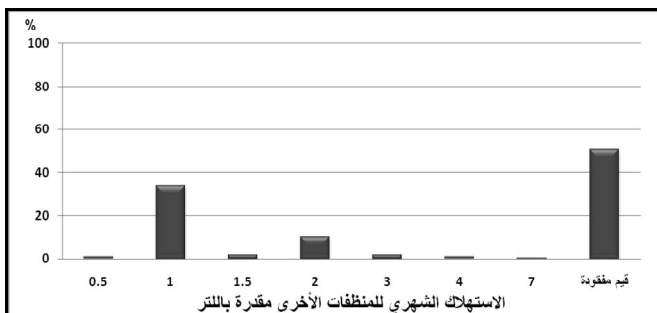
الشكل 17. النسبة المئوية لكمية مسحوق الغسيل المستعمل شهرياً خلال عام ٢٠١٠.



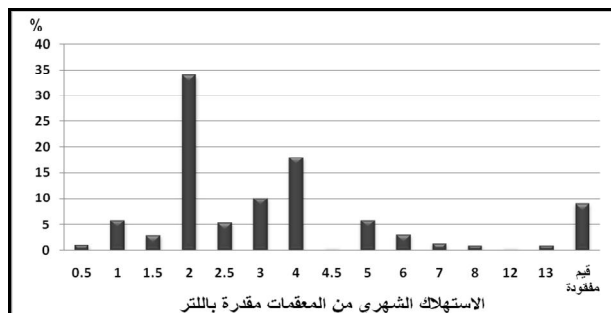
الشكل 20. النسبة المئوية لكمية معجون الأسنان المستعمل شهرياً خلال عام ٢٠١٠.



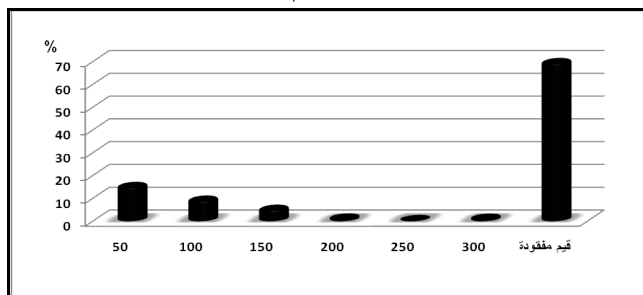
الشكل 19. النسبة المئوية لكمية الشامبو المستعمل شهرياً خلال عام ٢٠١٠.



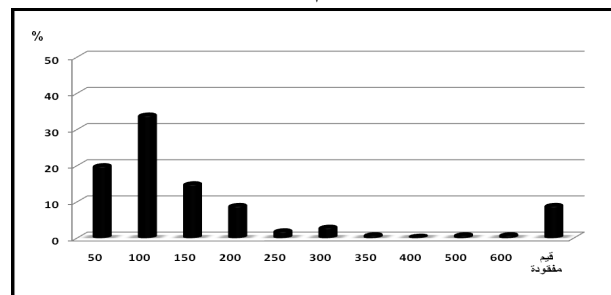
الشكل 22. النسبة المئوية لكمية المنظفات الأخرى المستعملة شهرياً خلال عام ٢٠١٠.



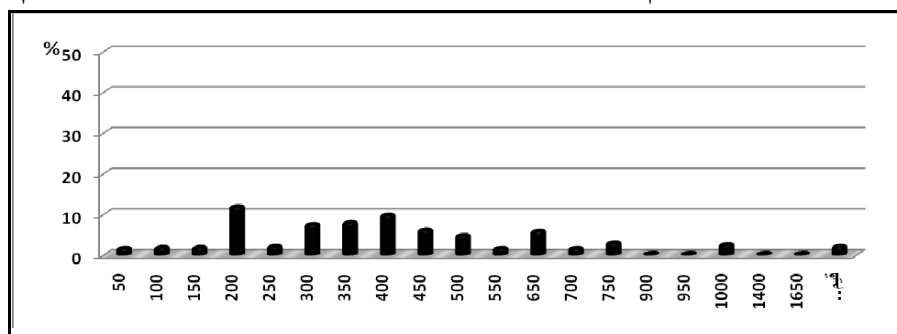
الشكل 21. النسبة المئوية لكمية المعقمات المستعمل شهرياً خلال عام ٢٠١٠.



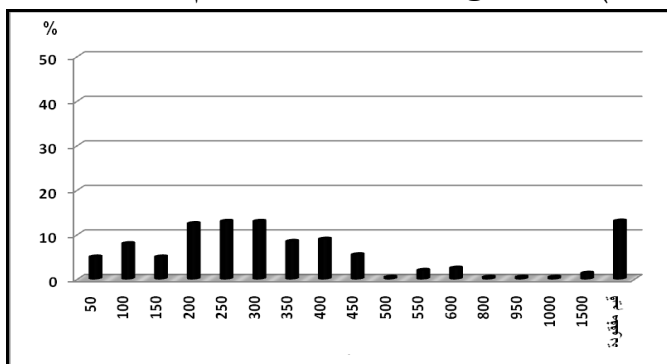
الشكل 24. النسبة المئوية لتكلفة الاستهلاك الشهري (ل . س) من المعجون المنظف خلال عام ٢٠١٠.



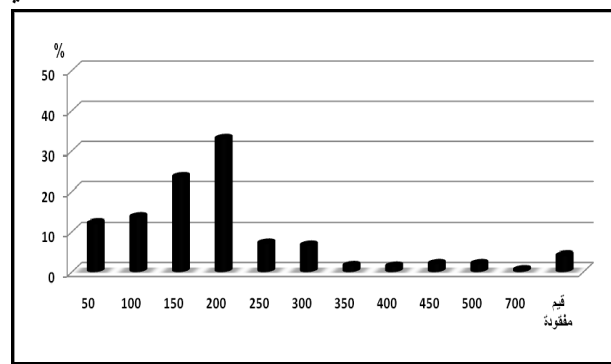
الشكل 23. النسبة المئوية لتكلفة الاستهلاك الشهري (ل . س) من السائل المنظف خلال عام ٢٠١٠.



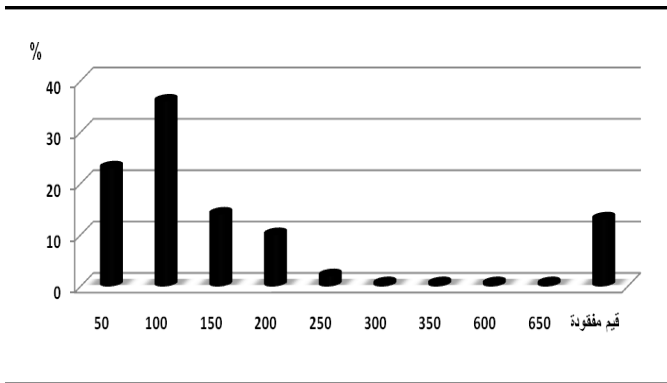
الشكل 25. النسبة المئوية لتكلفة الاستهلاك الشهري (ل . س) من مسحوق الغسيل المنظف خلال عام ٢٠١٠.



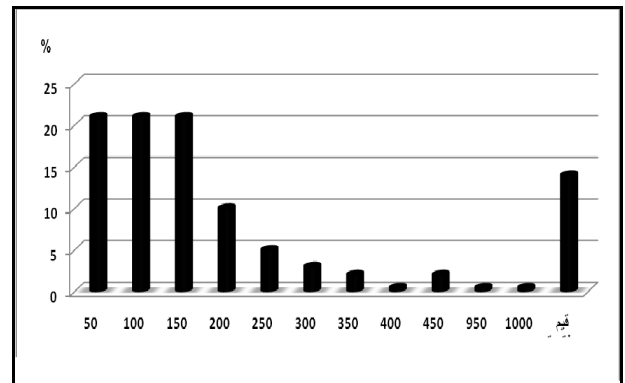
الشكل 27. النسبة المئوية لتكلفة الاستهلاك الشهري (ل . س) من الشامبو خلال عام ٢٠١٠.



الشكل 26. النسبة المئوية لتكلفة الاستهلاك الشهري (ل . س) من الصابون خلال عام ٢٠١٠.



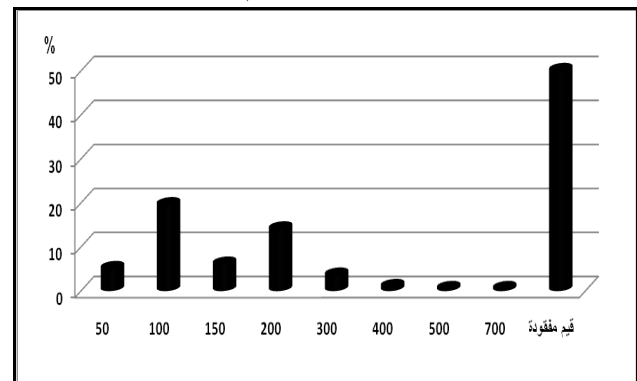
الشكل 29. النسبة المئوية لتكلفة الاستهلاك الشهري (ل. س) من المعقمات خلال عام ٢٠١٠.



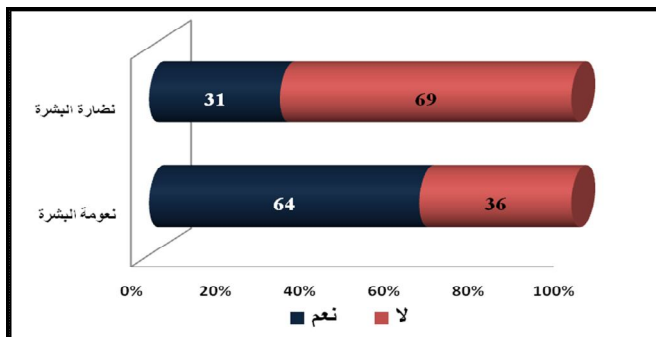
الشكل 28. النسبة المئوية لتكلفة الاستهلاك (ل. س) من معجون الأسنان خلال عام ٢٠١٠.



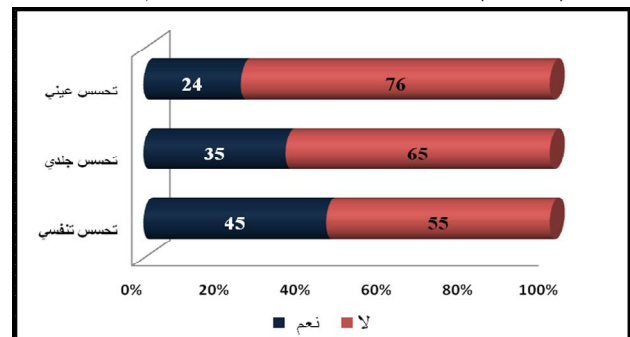
الشكل 31. الجهة المصنعة للمنظف.



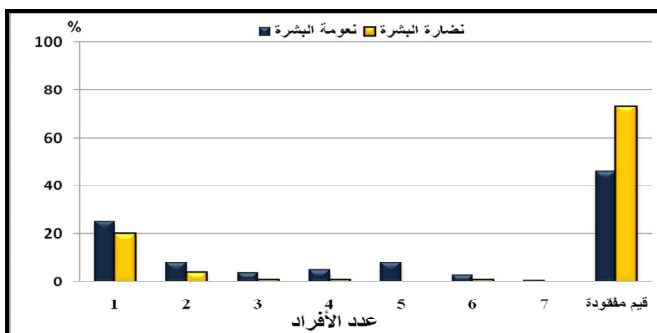
الشكل 30. النسبة المئوية لتكلفة الاستهلاك الشهري (ل. س) من المنظفات الأخرى خلال عام ٢٠١٠.



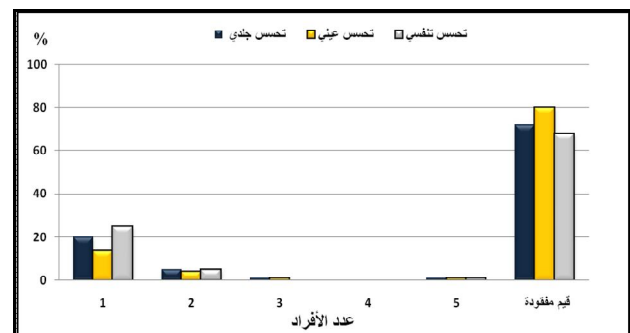
الشكل 33. النسبة المئوية لحالات التأثير الإيجابي خلال عام ٢٠١٠.



الشكل 32. النسبة المئوية لحالات التأثير السلبي خلال عام ٢٠١٠.

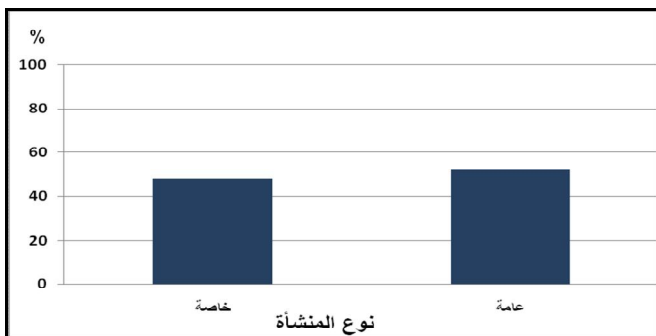


الشكل 35. النسبة المئوية لعدد أفراد الأسرة المتأثرين إيجاباً خلال عام ٢٠١٠.

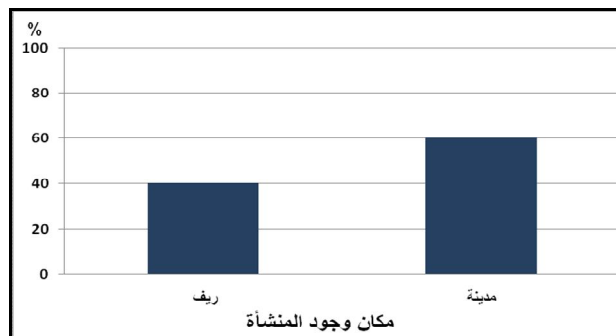


الشكل 34. النسبة المئوية لعدد أفراد الأسرة المتأثرين سلباً خلال عام ٢٠١٠.

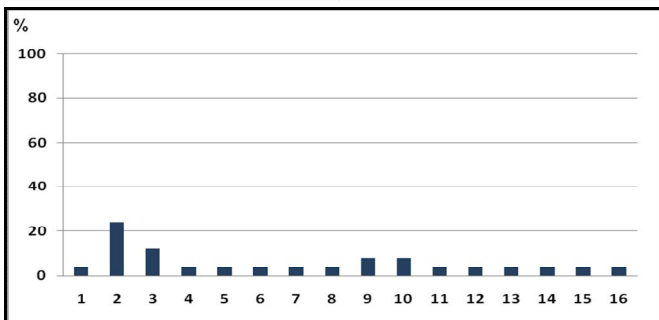




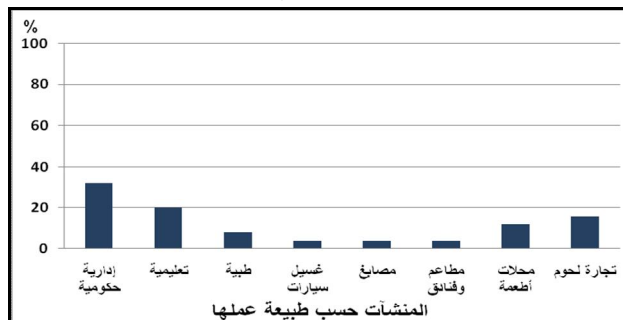
الشكل ٣٧. النسبة المئوية لتوزيع المنشآت بحسب نوعها خلال عام ٢٠١٠.



الشكل ٣٦. النسبة المئوية لتوزيع المنشآت بحسب مكان وجودها خلال عام ٢٠١٠.

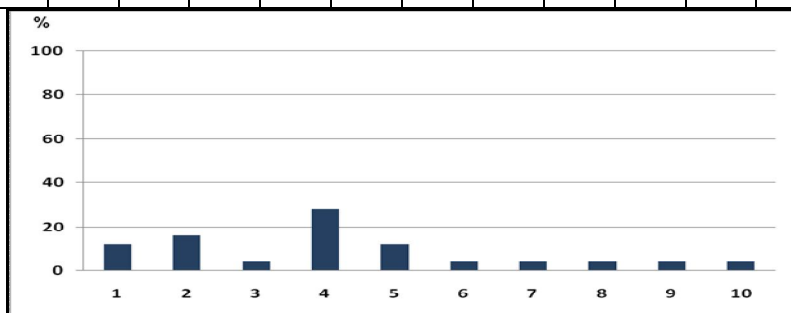


الشكل ٣٩. النسبة المئوية لتوزيع المنشآت بحسب عدد العاملين خلال عام ٢٠١٠.



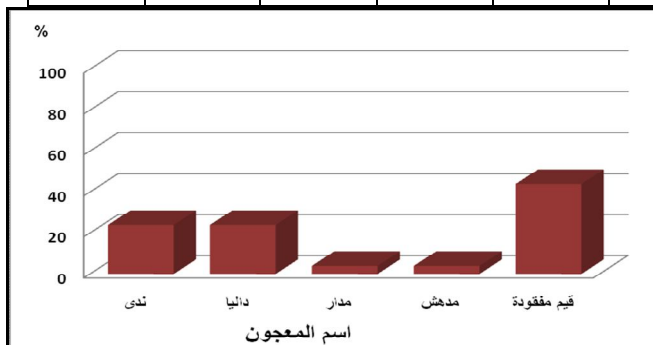
الشكل ٣٨. النسبة المئوية لتوزيع المنشآت بحسب طبيعة عملها خلال عام ٢٠١٠.

16	15	14	13	12	11	10	9	8	7	6	5	4	3	2	1	المجموعة
800	400	200	160	130	120	65	50	46	26	20	6	5	3	2	1	عدد الأفراد

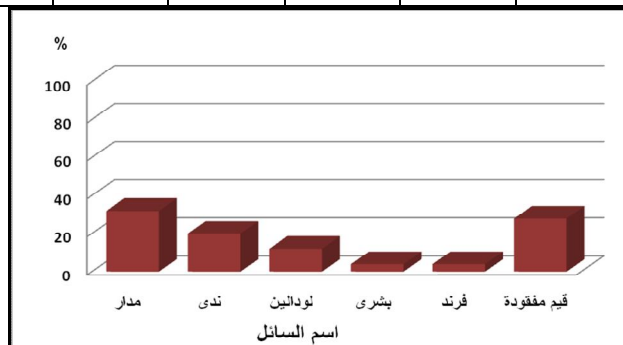


الشكل 40. النسبة المئوية لتوزيع المنشآت بحسب الانفاق الشهري على المنظفات خلال عام ٢٠١٠.

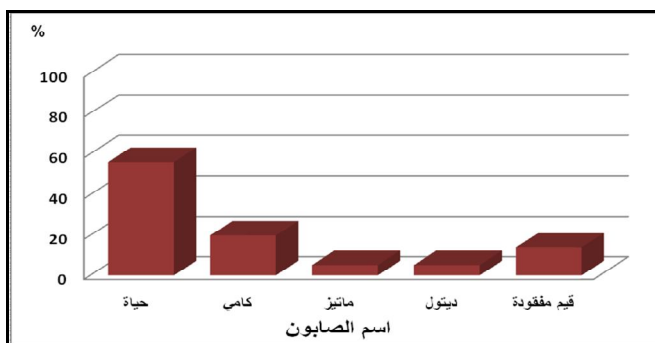
10	9	8	7	6	5	4	3	2	1	المجموعة
50000	40000	25000	12000	6000	3000	2000	1500	1000	500	الانفاق



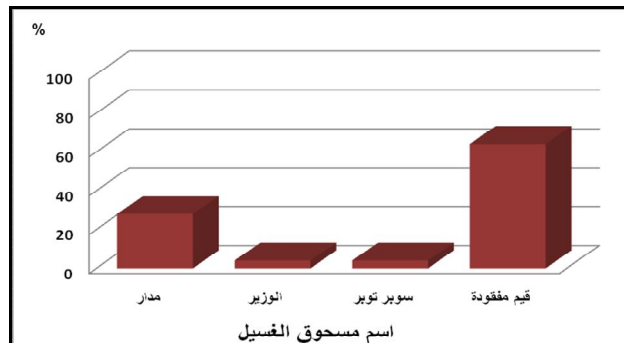
الشكل 42. النسبة المئوية لتوزيع المعجون المستعمل خلال عام ٢٠١٠.



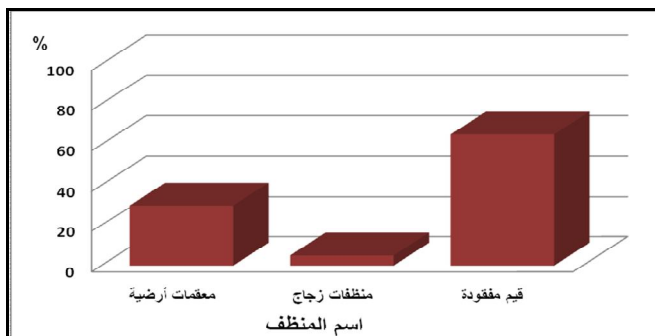
الشكل 41. النسبة المئوية لتوزيع المنظف (سائل الجلي) المستعمل في المنشآت خلال عام ٢٠١٠.



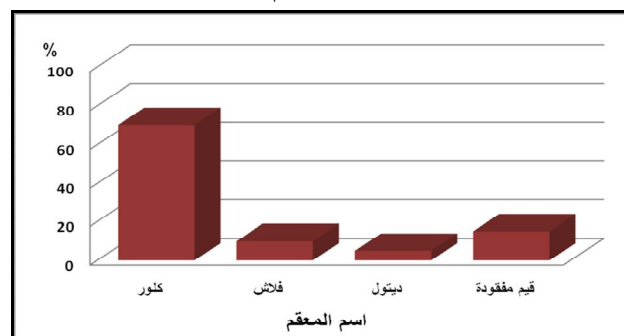
الشكل 44. النسبة المئوية لتوزيع الصابون المستعمل خلال عام ٢٠١٠.



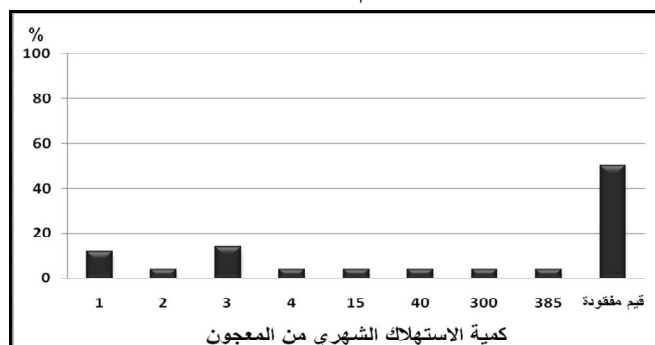
الشكل 43. النسبة المئوية لتوزيع مسحوق الغسيل المستعمل خلال عام ٢٠١٠.



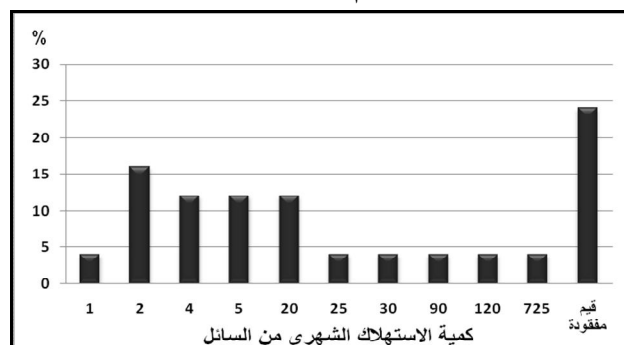
الشكل 46. النسبة المئوية لتوزيع منظفات أخرى مستعملة خلال عام ٢٠١٠.



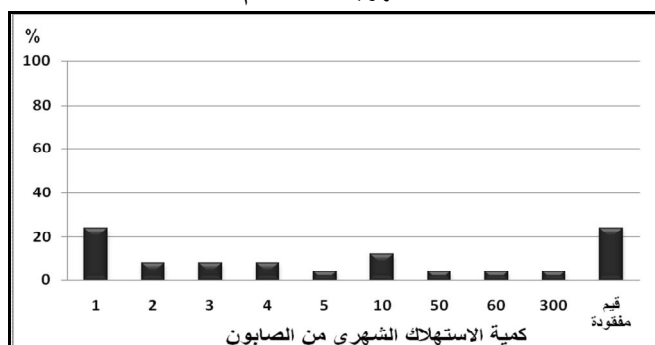
الشكل 45. النسبة المئوية لتوزيع المعقمات المستعملة خلال عام ٢٠١٠.



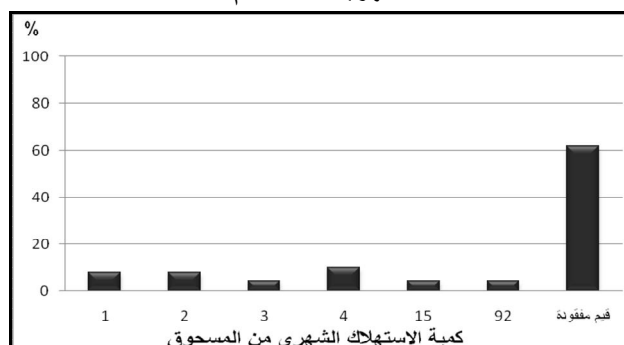
الشكل 48. النسبة المئوية لكمية المنظف (معجون الجلي) المستعمل شهرياً خلال عام ٢٠١٠.



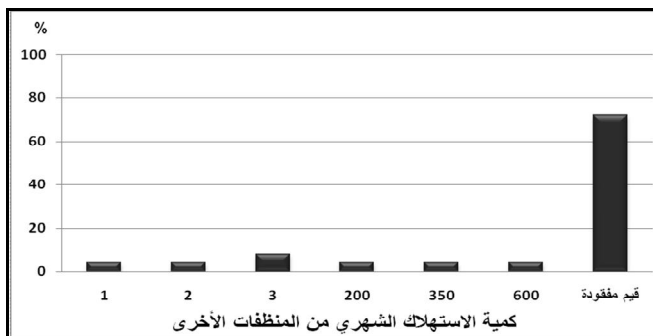
الشكل 47. النسبة المئوية لكمية المنظف (سائل الجلي) المستعمل شهرياً خلال عام ٢٠١٠.



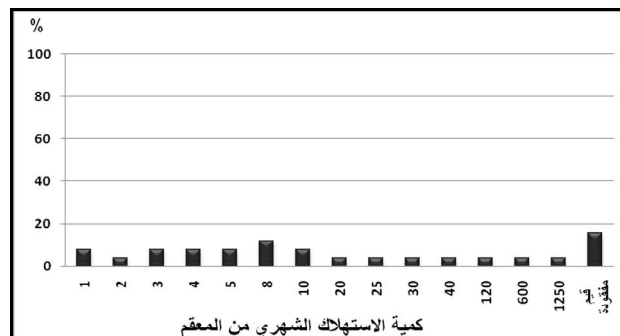
الشكل 50. النسبة المئوية لكمية الصابون المستعمل شهرياً خلال عام ٢٠١٠.



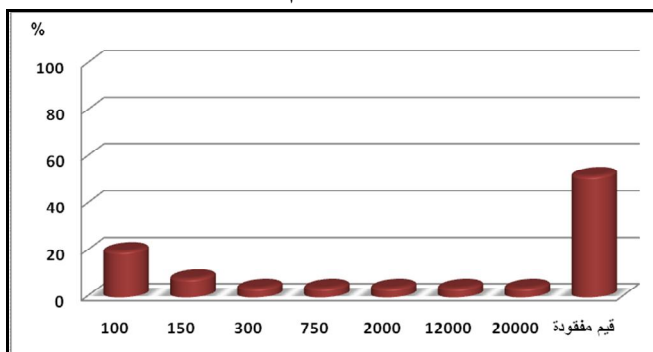
الشكل 49. النسبة المئوية لكمية المنظف (مسحوق الغسيل) المستعمل شهرياً خلال عام ٢٠١٠.



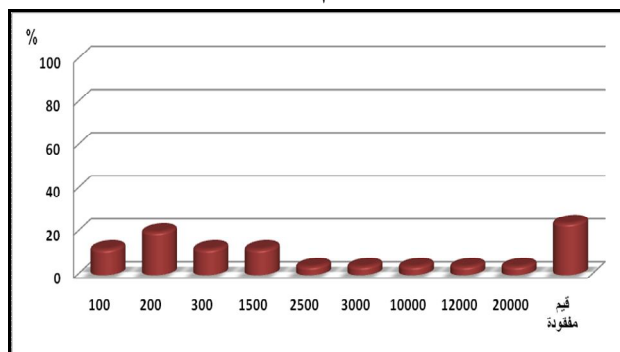
الشكل 52. النسبة المئوية لكمية المنظفات الأخرى المستعملة شهرياً خلال عام ٢٠١٠



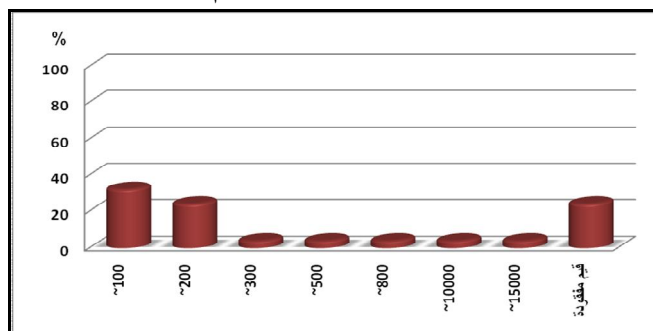
الشكل 51. النسبة المئوية لكمية المعقمات المستعمل شهرياً خلال عام ٢٠١٠.



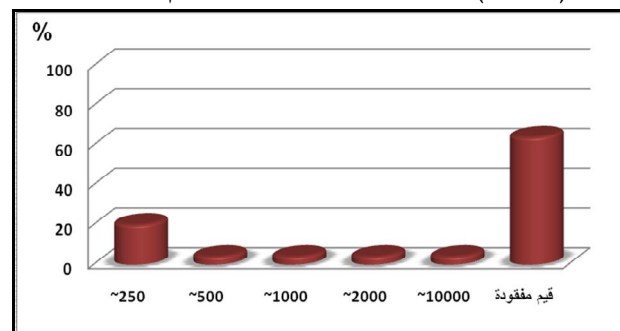
الشكل 54. النسبة المئوية لتكلفة الاستهلاك الشهري (ل. س) من المعجون المنظف خلال عام ٢٠١٠



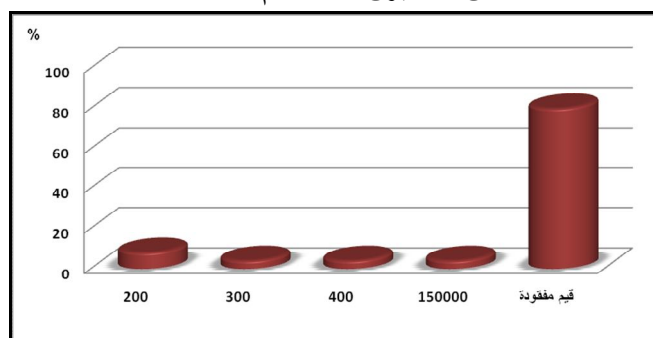
الشكل 53. النسبة المئوية لتكلفة الاستهلاك الشهري (ل. س) من السائل المنظف خلال عام ٢٠١٠.



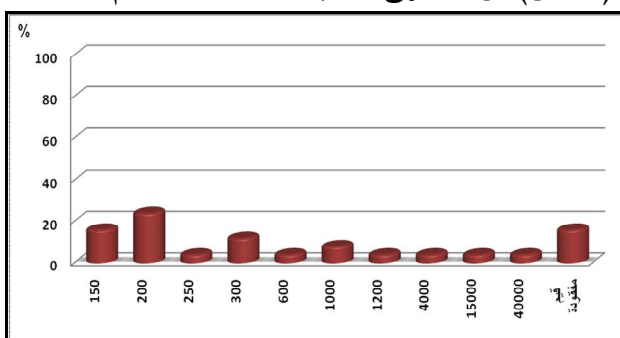
الشكل 56. النسبة المئوية لتكلفة الاستهلاك الشهري (ل. س) من الصابون خلال عام ٢٠١٠.



الشكل 55. النسبة المئوية لتكلفة الاستهلاك الشهري (ل. س) من مسحوق الغسيل المنظف خلال عام ٢٠١٠



الشكل 58. النسبة المئوية لتكلفة الاستهلاك الشهري (ل. س) من المنظفات الأخرى خلال عام ٢٠١٠.



الشكل 57. النسبة المئوية لتكلفة الاستهلاك (ل. س) من المعقمات خلال عام ٢٠١٠.

ملاحظة: إن المقصود بتعبير قيم مفقودة هي معلومات لم يتم ذكرها في استمارة الاستبانة أو كانت غير تامة.

## المراجع

١. أبو علام، رجاء محمود. التحليل الإحصائي للبيانات باستخدام برنامج SPSS. دار النشر للجامعات، القاهرة، مصر، 2003، 394.
٢. باسيل، نجاة. منظفات الغسيل السائلة: خواص المنتجات وحالة السوق الحالية في أوروبا. الندوة الثانية للمنظفات، دمشق، سورية، 2003، 51 - 60.
٣. بشير، سعد زغول. دليلك إلى البرنامج الإحصائي SPSS الإصدار العاشر. المعهد العربي للتدريب والبحوث الإحصائية، بغداد، العراق، 2003، 261.
٤. هيئة التخطيط والتعاون الدولي. الفصل التاسع عشر، البيئة في الخطة الخمسية العاشرة. دمشق، سورية، 2006.
٥. ياسين، مفيد؛ جرجا، لمى. 2005. اقتصاديات تطبيق التقانات الحيوية في معالجة مياه الصرف الصحي. جامعة تشرين، سورية، 182.
٦. ياسين، مفيد؛ معروف، ابتسام؛ جرجا، لمى. استخدام تركيز شوارد الكبريتات للدلالة على التفكيك الحيوي لسلفونات الألكيل بنزن الخطية LAS باستخدام بعض الأحياء الدقيقة المعزولة من مياه الصرف الصحي لمدينة اللاذقية. مجلة جامعة تشرين، العلوم البيولوجية (31)، العدد الأول، 2009 (a)، 51-62.
٧. ياسين، مفيد؛ معروف، ابتسام؛ جرجا، لمى. دراسة تفكيك المنظفات (سلفات دودييسيل الصوديوم) ميكروبيولوجياً بتركيز ودرجات حرارة مختلفة، العلوم البيولوجية (31)، العدد الثالث، 2009 (b)، 149-164.

## References

1. Abboud, M. M.; Khleifat, K. M.; Batarseh, M.; Tarawneh, K. A.; Al-Mustafa, A. & Al-Madadhah, M. *Different optimization conditions required for enhancing the biodegradation of linear alkylbenzenesulfonate and sodium dodecyl sulfate surfactants by novel consortium of Acinetobacter calcoaceticus and Pantoea agglomerans*. Enzyme Microbiol Technol. Vol. 41, 2007, 432 - 439.
2. Aiba, H.; Baba, T.; Fujita, K.; Hayashi, K.; Inada, T.; Isono, K.; Itoh, T.; Kasai, H.; Kimura, S.; Kitakawa, M.; Kitagawa, M.; Makino, K.; Miki, T.; Mori, H.; Mori, T.; Motomura, K.; Nakade, S.; Nakamura, Y.; Nishio, Y.; Oshima, T.; Saito, N.; Sampei, G.; Seki, Y.; Sivasundaram, S.; Tagami, H.; Takeda, J.; Takemoto, K.; Takeuchi, Y.; Wada, C.; Yamamoto, Y. & Horiuchi, T. *A 570-kb DNA sequence of the Escherichia coli K-12 genome corresponding to the 28.0-40.1 min region on the linkage map*. DNA Res. Vol. 20, N<sup>o</sup>. 3, 1996, 363-377.
3. Akatsuka, H.; Kawai, E.; Omori, K. and Shibatani, T. *The three genes lipB, lipC, and lipD involved in the extracellular secretion of the Serratia marcescens lipase which lacks an N-terminal signal peptide*. J Bacteriol. Vol. 177, N<sup>o</sup>. 22, 1995, 6381– 6389.
4. Alani, D. I. & Young, M.M. *Perspectives in Biotrchnology and Applied Microbiology*. Elsevier Applied Science, 1986, 379.
5. AL-Delamiy, K. S. *Microbial Enzymes & Biotechnology*. Amman, Jordan. 2002, 337.
6. Alexander, M. *Biodegradation of Organic Chemicals of Environmental*. Concern, Science. N<sup>o</sup>. 211, 1981, 132–138.
7. Alexander, M. *Biodegradation and Bioremediation (2nd ed.)*. Academic Press, San Diego. 1999, 99.
8. Beatty, A. L.; Malloy, J. L. and Wright, J. R. *Pseudomonas aeruginosa Degrades Pulmonary Surfactant and Increases Conversion In Vitro*. American Journal of Respiratory Cell and Molecular Biology. Vol. 32, 2005, 128-134.
9. Arafah, Sh. *Mediterranean Environmental Technical Assistance Program (METAP), 15 years of corporations with Medal East and North Africa countries*. Tarablos algareb. Labia. 2005, 27.
10. Baba, T.; Ara, T.; Hasegawa, M.; Takai, Y.; Okumura, Y.; Baba, M.; Datsenko, K. A.; Tomita, M.; Wanner, B. L. & Mori, H. *Construction of Escherichia coli K-12 in-frame, single-gene knockout mutants: the Keio collection*. Mol. Syst. Biol. Vol. 20, N<sup>o</sup>. 2, 2006, 2006-2008.
11. Bagha, A.T & Holmberg, K. *Cleavable surfactants*. Current Opinion in Colloid & Interface Science. N<sup>o</sup>. 12, 2007, 81–91.
12. Balba, M.T.; Al-Shayji, Y.; Al-Awadhi, N. & Yateem, A. *Isolation and characterization of biosurfactant-producing bacteria from oil-contaminated soil*. Soil and Sediment Contamination. N<sup>o</sup>. 11, 2002, 41-55.

13. **Banat, I. M.; Makkar, R. S. and Cameotra, S. S.** *Potential commercial applications of microbial surfactants.* Applied Microbiology and Biotechnology. Vol. 53, No. 5, 2000, 495-508.
14. **Bandala,E.R.; Pelaez, M. A.; Salgado, M. J. and Torres, L.** *Degradation of sodium dodecyl sulphate in water using solar driven Fenton-like advanced oxidation processes.* Journal of Hazardous Materials, Vol. 151, 2007, 578-584.
15. **Bardi, L.; Mattei, A.; Steffan, S. & Marzona, M.** *Hydrocarbon degradation by a soil microbial population with CEB2-cyclodextrin as surfactant to enhance bioavailability.* Enzyme and Microbial Technology. Vol. 27, 2000, 709-713.
16. **Barrachina, S.M.; Del Valle, M.; Matia, L.; Prats, R & Alonso, J.** *Determination of polyethoxylated non-ionic surfactants using potentiometric flow injection systems. Improvement of the detection limits employing an on-line pre-concentration stage.* Analytica Chimica Acta. N<sup>o</sup>.454, 2002, 217-227.
17. **Battersby, N.S.; Sherren, A.J.; Bumpus, R.N.; Eagle, R & Molade, I.K.** *Effect of branching on the biodegradability of alcohol-based surfactants.* 5<sup>th</sup> World Surfactants Congress, Vol. 2, 2000, 1397-1407.
18. **Bauer, H. P.; Schimmel, G. & Jurges, P.** *The evolution of detergent builders from phosphates to zeolites to silicates.* Tenside Surfact. Det, N<sup>o</sup>. 36, 1999, 225-229.
19. **Becker,R.** *Silicon oils as antifoam, methods and tests.* 2<sup>ed</sup> Detergents Committee. Damascus. Syria. 2003, 61-74.
20. **Belanger, S.E. and Rupe, K.L.** *A flow-through laboratory microcosm suitable for assessing effects of surfactants on natural periphyton.* Environmental Toxicology and Water Quality: An International Journal. N<sup>o</sup>. 11, 1996, 65-76.
21. **Belanger, S.E.; Guckert, J.B.; Bowling, J.W.; Davidson, D.H.; LeBlanc, E.M.; Hamm, B.G.; Lee, D.M. and Walker, D.D.** *Responses of Aquatic Communities to 25-6 Alcohol Ethoxylate in Model Stream Ecosystems.* Aquatic Toxicology. N<sup>o</sup>. 48, 2000, 135-150.
22. **Belanger, S.E.; Bowling, J.W.; Lee, D.M.; LeBlanc, E.M.; Kerr, K.M. and McAvoy, D.C.** *Integration of Aquatic Fate and Ecological Responses to Linear Alkyl Benzene Sulphonate (LASS) in Model Stream Ecosystems.* Ecotoxicology and Environmental Safety. N<sup>o</sup>. 52, 2002, 150-171.
23. **Belanger, S.E.; Dorn, P.B.; Toy, R.; Boeije, G.; Marshall, S.J.; Wind,T.; Van Compennolle, R. and Zeller, D.** *Aquatic Risk Assessment of Alcohol Ethoxylates in North America and Europe.* Ecotoxicology and Environmental Safety. N<sup>o</sup>. 64, 2006, 85-99.
24. **Benincasa. M.; Abalos, A.; Oliveira, I. and Manresa, A.** *Chemical structure, surface properties and biological activities of the biosurfactant produced by Pseudomonas aeruginosa LBI from soapstock.* Antonie van Leeuwenhoek. N<sup>o</sup>. 85, 2004, 1-8.
25. **Benjdia, A.; Deho, G.; Rabot, S. & Berteau, O.** *First evidences for a third sulphatase maturation system in prokaryotes from E. coli aslB and ydeM deletion mutants.* FEBS Lett. Vol.581, 2007, 1009-1014.
26. **Berna, J.L.; Cassani, G.; Hager, C.D.; Rehman, N.; Lopez, I.; Schowanek, D.; Steber, J.; Toeger, K. & Wind, T.** *Anaerobic Biodgradation of Surfactants-Scientific Review.* Tenside Surfactants Deterg. Vol. 44, N<sup>o</sup>. 6, 2007, 312-347.
27. **Bester,K.; Theobald, N. & Schroder, H. Fr.** *Nonylphenol, nonylphenol-ethoxylates, linear alkylbenzenesulphonates (LASS) and bis (4-chlorophenyl)-sulphone in the German Bight of the North Sea.* Chemosphere. Vol. 45, 2001, 817-826.
28. **Bettinetti, R. & Provini, A.** *Toxicity of 4-nonylphenol to tubifex tubifex and chironomus riparius in 28-day whole-sediment tests.* Ecotoxicology and Environmental Safety. Vol. 53. N<sup>o</sup>. 1, 2002, 113-121.
29. **Bizukojc.E.L. ; Scheumann, R.; Drews, A.; Bracklow, U. and Kraume, M.** *Effect of anionic and nonionic surfactants on the kinetics of the aerobic heterotrophic biodegradation of organic matter in industrial wastewater.* Water Research. Vol. 42, 2008, 923-930.

30. **Blattner, F.R.; Plunkett, G.; Bloch, C.A.; Perna, N.T.; Burland, V.; Riley, M.; Collado-Vides, J.; Rode, C.K.; Mayhew, G.F.; Gregor, J.; Davis, N.W.; Kirkpatrick, H.A.; Goeden, M.A.; Rose, D.J.; Mau, B. & Shao, Y.** *The complete genome sequence of Escherichia coli K-12*. Science. Vol. 277, 1997, 1453-1474.
31. **Boczar, B.A.; Forney, L. J.; Begley, W. M.; Larson, R.J. and Federle, T. W.** *Characterization and Distribution of Esterase Activity in Activated Sludge*. Water Res. Vol. 35, 2001, 4208-4216.
32. **Bodour, A. & Miller-Maie, R.M.** *Biosurfactants: types, screening methods, and applications*. Encyclopedia of environmental microbiology. NY: Wiley. 2002, 750–770.
33. **Boeije, G. M.; Schowanek, D. R. & Vanrolleghem, P.A.** *Incorporation of biofilm activity in river biodegradation modeling: a case study for Linear Alkyl Benzene Sulphonate (LAS)*. Wat. Res. Vol. 34, No. 5, 2000. 1479-1486.
34. **Boonchan, S.** *Biodegradation of Polycyclic Aromatic Hydrocarbons: Application of Fungal-Bacterial Co-cultures and Surfactants*. Victoria University of Technology. Melbourne, Australia. PhD Degree. 1998, 420.
35. **Boopathy, R.** *Effect of food-grade surfactant on bioremediation of explosives-contaminated soil*. Journal of Hazardous Materials. N°. 92, 2002, 103–114.
36. **Brandt, K. K. ; Hesselsoe, M.; Roslev, P.; Henriksen, K. & Sorensen, J.** *Toxic effects of linear alkyl benzene sulphonates on metabolic activity, growth rate, and microcolony formation of Nitrosomonas and Nitrospira strains*. Appl Environ Microbiol. Vol. 67, N°. 6, 2001, 2489-2498.
37. **Broughton, K. S.; Floden, T. B. & Gooden, W. S.** *Effects of a laundry additive on the community structure of epidendric algae in Douglas Lake*. Deep Blue at the University of Michigan Biological Station, University of Michigan. 1998.
38. **Brunner, C.; Baumann, U.; Pletscher, E. & Eugster, M.** *Total degradation or environmental experiment?*. Tenside Surf. Det. N°. 37, 2000, 276-280.
39. **Buhl, K. J. & Hamilton, S. J.** *Acute toxicity of fire-control chemicals, nitrogenous chemicals, and surfactants to rainbow trout*. Transactions of the American Fisheries Society. Vol. 129, N°. 2, 2000, 408-418.
40. **Bykowski, T.; van der Ploeg, J. R.; Iwanicka-Nowicka, R. & Hryniewicz, M.M.** *The switch from inorganic to organic sulphur assimilation in Escherichia coli: adenosine 5'-phosphosulphate (APS) as a signalling molecule for sulphate excess*. Molecular Microbiology. Vol. 43, 2002, 1347-1358.
41. **Cain, R.B.** *Biodegradation of detergents*. Current Opinion in Biotechnology. N°. 5, 1994, 266-274.
42. **Cattaneo-Vietti, R.; Benatti, U.; Cerrano, C.; Giovine, M.; Tazioli, S. & Bavestrello, G.** *A marine biological underwater depuration system (MUDS) to process waste waters*. Biomol. Eng. N°. 20, 2003, 291– 298.
43. **CESIO.** *European Committee of Organic Surfactants and their Intermediates. CLASsification and labelling of surfactants for human health hazards according to the Dangerous Substances Directive*. CESIO recommendations for anionic and non-ionic surfactants. CESIO Toxicology Advisory Group (CTAG), 2000, 20.
44. **CESIO.** *Comite European des Agents de Surface et de Leurs Intermediaires Organiques (CESIO)*. CESIO surfactants statistics for Western Europe 2007. CESIO News, 2008, 12.
45. **Cestone, A.; Di Natale, M. & De Rosa, S.** *Toxicity and biodegradation of the LASS surfactant 1-(p-sulphophenyl)nonane in presence of the ascidian Styela plicata*. Chemosphere. Vol. 71, 2008, 1440–1445.
46. **Chamarro, E. & Esplugas, S.** *Use of Fenton reagent to improve organic chemical biodegradability*. Wat. Res. Vol. 35, 2001, 1047-1051.

47. **Chang, J. S.; Radosevich, M.; Jin, Y. & Cha, D. K.** *Enhancement of phenanthrene solubilization and biodegradation by trehalose lipid biosurfactants.* Environ Toxicol Chem. Vol. 23, N<sup>o</sup>. 12, 2004, 2816-2822.
48. **Chapra, S. C.** *Surface Water Quality Modeling.* McGraw-Hall, New York, 1997, 844.
49. **Chaturvedi, V. & Kumar, A.** *Bacterial Utilization of Sodium Dodecyl Sulphate.* International Journal of Applied Biology and Pharmaceutical Technology . Vol. 1, 2010, 1126-1131.
50. **Chen, B . Y. and Wang, H. T.** *Utility of enzymes from Fibrobacter succinogenes and Prevotella ruminicola as detergent additives.* Journal of Industrial Microbiology and Biotechnology. N<sup>o</sup>. 35, 2008, 923–930.
51. **CIRP.** *Final report on the safety assessment of sodium dodecyl benzene sulphonate.* Cosmetic Ingredients Review Program. Vol. 12, N<sup>o</sup>. 3. 1993.
52. **Clara.M.; Scharf, S.; Scheffknecht, C. & Gans, O.** *Occurrence of selected surfactants in untreated and treated sewage.* Water research. Vol. 41, 2007, 4339-4348.
53. **Cloves,J.M.et al.** *Specificity of P2 primary alkylsulphohydrolase induction in the detergent degrading bacterium Pseudomonas C12B.* J.Biochem. N<sup>o</sup>. 185, 1980, 23-31.
54. **Comber. M. H. I.; de Wolf, W. ; Cavalli, L.; van Egmond, R.; Steber, J.; Tattersfield, L. & Priston, R. A.** *Assessment of bioconcentration and secondary poisoning of surfactants.* Chemosphere. N<sup>o</sup>. 52, 2003, 23-32.
55. **Cook, A. M.; Laue, H. & Junker, F.** *Microbial desulphonation.* FEMS Microbiology Reviews. Vol. 22, 1999, 399 - 419.
56. **Cserhati, T.; Forgacs, E. & Oros, G.** *Biological activity and environmental impact of anionic surfactants.* Environ. Int. Vol. 2, N<sup>o</sup>. 28, 2002, 337–348.
57. **Daley D.O.; Rapp, M.; Granseth, E.; Melen, K.; Drew, D. & von Heijne, G.** *Global topology analysis of the Escherichia coli inner membrane proteome.* Science. N<sup>o</sup>. 308, 2005, 1321-1323.
58. **Dalborg, H. & Lange,L.** *Using molecular techniques to identify new microbial biocatalysts.* Trends in biotechnology. N<sup>o</sup>. 16, 1998, 265-272.
59. **Daniels, D. L. Plunkett, G. & Blattner F. R.** *Analysis of the Escherichia coli genome: DNA sequence of the region from 84.5 to 86.5 minutes.* Science, N<sup>o</sup>. 257, 1992, 771-778.
60. **Davis. G. A, Dickey, P. Duxbury, D. Griffith, B. Oakley, B and Cornell, K.** *Household Cleaners: Environmental Evaluation and Proposed Standards for General Purpose Household Cleaners.* Clean Products and Clean Technologies, Green Seal, Inc. Tennessee. USA. 1992, 115.
61. **Deleu, M. & Paquot, M.** *From renewable vegetables resources to microorganisms: new trends in surfactants.* Comptes Rendus Chimie. Vol. 7, 2004, 641- 646.
62. **de Lucas, A.; Rodriguez, L.; Sachez, P.; Carmona, M.; Romero, P. & Lobato, J.** *Comparative study of the solubility of the crystalline layered silicates  $\alpha$ -Na<sub>2</sub>Si<sub>2</sub>O<sub>5</sub> and  $\delta$ -Na<sub>2</sub>Si<sub>2</sub>O<sub>5</sub> and the amorphous silicate Na<sub>2</sub>Si<sub>2</sub>O<sub>5</sub>.* Ind. Eng. Chem. Res. Vol. 43, 2004, 1472-1477.
63. **Delvalls, T. A.; Lubian, L. M.; Foria, J.M. & Gomez-Parra, A.** *Comparative ecotoxicity of interstitial waters in littoral ecosystems using microtox and the rotifer brachionus plicatilis.* Environmental Toxicology and chemistry, Vol. 16, 1997, 2323 - 2332.
64. **Delvalls, T. A.; Foria, J.M. & Gomez-Parra, A.** *Seasonality of contamination, toxicity, and quality values in sediments from littoral ecosystem in the Gulf of Cadiz (SW Spain).* Chemosphere. Vol. 46, 2002, 1033 – 1043.
65. **Deming. J. W. & Baross . J. A.** *The early diagenesis of organic matter: bacterial activity.* In: *Organic Geochemistry: Principles and Applications.* Plenum Press, New York, 1993, 119-144.



66. **Denger, K.; Ruff, J.; Schleheck, D. and Cook, A. M.** *Rhodococcus opacus* expresses the *xsc* gene to utilize taurine as a carbon source or as a nitrogen source but not as a sulphur source. *Microbiology*, Vol. 150, 2004, 1859-1867.
67. **Deshpande, N. M. & Dhakephalkar, P. K.** *Plasmid-mediated dimethoate degradation in Pseudomonas aeruginosa* MCMB-427. *Letters in Applied Microbiology*, N<sup>o</sup>. 33, 2001, 275-279.
68. **Dhouib, A.; Hamad, N.; Hassairi, I. & Sayadi, S.** *Degradation of anionic surfactants by Citrobacter braakii*. *Process Biochemistry*. Vol. 38 , 2003, 1245-1250.
69. **Di Gioia, D.; Fambrini, L.; Coppini, E.; Fava, F. and Barberio, C.** *Aggregation-based cooperation during bacterial aerobic degradation of polyethoxylated nonylphenols*. *Res. Microbiol.* Vol.155 , 2004, 761-769.
70. **Ding, W. H.; Tzing, S. & Lo, J.** *Occurrence and concentrations of aromatic surfactants and their degradation products in river waters of Taiwan*, *Chemosphere*. Vol. 38, 1999, 2597-2606.
71. **Doan, H.D.; Wu, J.; Boithi, E. & Storrar, M.** *Biological and electro chemical treatment of wastewater*. Vol. 78, No. 6, 2003, 632-641.
72. **Doll, T. E. & Frimmel, F. H.** *Removal of selected persistent organic pollutants by heterogeneous photocatalysis in water*. *Catalysis Today*. Vol. 101, N<sup>o</sup>. 4, 2005, 195-202.
73. **Dong, W.; Eichhorn, P.; Radajewski, S.; Schleheck, D.; Denger, K.; Knepper, T.P.; Murrell, J.C. & Cook, A.M.** *Parvibaculum lavamentivorans* converts linear alkylbenzenesulphonate (LASs) surfactant to sulphophenylcarboxylates,  $\alpha,\beta$ -unsaturated sulphophenylcarboxylates and sulphophenyldicarboxylates, which are degraded in communities. *J. Appl. Microbiol.* Vol. 96, 2003, 630-640.
74. **Du, Z.; Feng, C.; Li, Q.; Zhao, Y. & Tai, X.** *Photodegradation of NPE-10 surfactant by Au-doped nano-TiO<sub>2</sub> Colloids and Surfaces A: Physicochemical and Engineering Aspects*. Vol. 315, 2008, 254-258.
75. **Duran, N. & Esposito, E.** *Potential applications of oxidative enzymes and phenoloxidase-like compounds in wastewater and soil treatment: a review*. *Applied Catalysis : Environmental*. N<sup>o</sup>. 28, 2000, 83-99.
76. **Eadsforth, C. V.; Sherren, A. J.; Selby, M. A.; Toy, R.; Eckhoff, W.S.; McAvoy, D.C. & Matthijs, E.** *Monitoring of environmental fingerprints of alcohol ethoxylates in Europe and Canada*. *Ecotoxicol. Environ. Saf.* N<sup>o</sup>. 64, 2006, 14-29.
77. **Eichhorn, P.; Rodriguez, S. V.; Baumann, W. & Knepper, T, P.** *Incomplete degradation of linear alkylbenzene sulphonate surfactants in Brazilian surface waters and pursuit of their polar metabolites in drinking waters*. *Sci. Total Environ.* N<sup>o</sup>. 284 , 2002, 123-134.
78. **Ellis, A. J.; Hales, S. G.; Ur-Rehman, N. G. and White, G. F.** *Novel alkylsulphatases required for biodegradation of the branched primary alkyl sulphate surfactant 2-butyloctyl sulphate*. *Appl Environ Microbiol.* Vol. 68, N<sup>o</sup>. 1, 2002, 31-36.
79. **Elsgaard, L.; Petersen, S. O. & Debosz, K.** *Effects and risk as sessment of linear alkylbenzene sulphonates in agricultural soil. I. Short term effects on soil microbiology*. *Environ. Toxicol. Chem.* Vol. 20, N<sup>o</sup>. 8, 2001(a), 1653-1663.
80. **Elsgaard, L.; Petersen, S. O. & Debosz, K.** *Effects and risk as sessment of linear alkylbenzene sulphonates in agricultural soil. I. Effects on soil microbiology as influenced by sewage sludge and incubation time*. *Environ. Toxicol. Chem.* Vol. 20, N<sup>o</sup>. 8, 2001(b), 1664-1672.
81. **Enichem Augusta Ind.** *Benzene C10-13 Alkyl derivs. Hedset Data Sheet*, CAS-No. N<sup>o</sup>. 6774, 2001, 74 - 77.
82. **Ensley, B. D.** *Designing pathways for environmental purposes*. *Current Opinion in Biotechnology*. N<sup>o</sup>. 5, 1994, 247-248.
83. **Environmental Protection Agency EPA.** *Acitizen's guide to bioremediation*. 1996. Available online.(<http://www.clu-in.org/download/remed/bioremed.pdf>)

84. **ESCWA.** *Updating the Assessment of Water Resources in ESCWA Member Countries.* 2003, 43.
85. **ESCWA.** *ESCWA Water Development Report 2005.* 2005 (a), 37.
86. **ESCWA.** *Formulate and implement national strategies for the application of Integrated Water Resources Management (IWRM) plans in Economic and Social Commission for Western Asia (ESCWA).* 2005(b), 94.
87. **ESCWA.** *Water Resources Issues in The Western Asia Region.* Regional Preparatory Meeting for "The 4<sup>th</sup>, 2005 (c), 33.
88. **ESCWA.** *Assessing Water Quality Management in the ESCWA region.* 2007, 96.
89. **Espinoza Rodezno, L. A.** *Biological treatment of industrial wastewater containing high concentrations of Linear Alkyl benzene Sulphonate (LASs).* (Ph.M) Degree of Master of Science in Civil Engineering. B.S. Universidad Nacional Autonoma de Honduras. 2004, 136.
90. **Fang, M.; Wan, C.K. & Wang, J. W. C.** *Enhancement of PAHs degradation by nonionic surfactants in composting.* Ex Situ Biological Treatment Technologies, Battelle Press, Columbus, OH. 2001, 75–80.
91. **Federle, T. W. and Itrich, N. R.** *Fate of free and linear alcohol-ethoxylate-derived fatty alcohols in activated sludge.* Ecotoxicology and Environmental Safety. N°. 64, 2006, 30 – 41.
92. **Ferani , M.** *Zeolite vs Sodium tripolyphosphate.* Second Committee of Detergents. Damascus, Syria. 2003, 165-176.
93. **Farzaneh, H.; Fereidon, M.; Noor, A. and Naser, G.** *Biodegradation of dodecylbenzene sulfonate sodium by Stenotrophomonas maltophilia Biofilm.* African Journal of Biotechnology Vol. 9, N°. 1, 2010, 55 - 62.
94. **Field, J. A.** *Limits of anaerobic biodegradation.* Water Science and Technology. Vol. 45, N°. 10, 2002, 9 – 18.
95. **Filipkowska, Z.** *Sanitary and bacteriological aspects of sewage treatment.* Acta microbial. Vol. 52, 2003, 57- 66.
96. **Fransman, M.** *Biotechnology: Generation, Diffusion and Policy.* United Nations University. 1992, 93.
97. **Franzetti, A.; Di Gennaro, P.; Bestetti, G.; Lasagni, M.; Pitea, D. & Collina, E..** *Selection of surfactants for enhancing diesel hydrocarbons-contaminated media bioremediation.* Journal of Hazardous Materials, Vol. 152, 2008, 1309-1316.
98. **Fromel, T. & Knepper, T. P.** *Mass spectrometry as an indispensable tool for studies of biodegradation of surfactants.* Trends in Analytical Chemistry, Vol. 27, N°. 11, 2008, 1091-1107.
99. **Gadler, P. and Faber, K.** *New enzymes for biotransformations: microbial alkyl sulphatases displaying stereo- and enantioselectivity.* Trends in Biotechnology. Vol. 25, N°. 2, 2007(a), 83-88.
100. **Gadler, P. and Faber, K.** *Highly Enantioselective Biohydrolysis of sec-Alkyl Sulphate Esters with Inversion of Configuration Catalysed by Pseudomonas spp.* European Journal of Organic Chemistry. N°. 33, 2007(b), 5527 – 5530.
101. **Garcia-Luque, E.; Gonzalez-Mazo, E.; Forja, J. M. and Gomez- Parra, A.** *Use of dynamic simulation to assess the behavior of linear alkyl benzene sulfonates and their biodegradation intermediates (sulfo phenyl carboxylic acids) in estuaries.* Estuarine, Coastal and Shelf Science. Vol. 81, 2009, 353-358.
102. **Garcia. T. M.; Campos, E. & Robosa, I.** *Biodegradability and ecotoxicity of amine oxide based surfactants.* Chemosphere. Vol. 69, 2007, 1574-1578.
103. **Garcia, M. T.; Campos, E.; Marsal, A. & Robosa, I.** *Fate and effects of amphoteric surfactants in the aquatic environment.* Environ. Int. Vol. 34, 2008, 1001-1005.
104. **Garcia, M. T.; Campos, E.; Marsal, A & Robosa, I.** *Biodegradability and toxicity of sulphonatebased surfactants in aerobic and anaerobic aquatic environments.* Wat. Res. Vol. 43, N°. 2, 2009, 295-302.

105. **Gerson, D. F.** *Biosurfactants*. Marcel Dekker, New York, 1993, 269–286.
106. **Giangrande, A.; Cavallo, M.; Licciano, E.; Mola, C. & Pierri, L.** *Utilization of filter feeder polychaete Sabella spallanzanii Gmelin (Sabellidae) as bioremediator in aquaculture*. Aquacult. Int. N°. 13, 2005, 129–136.
107. **Giger, W. & Alder, A. C.** *Sediments-Archives of detergents*. EAWAG news, N°. 52, 2002, 10-11.
108. **Gilbert, P. A. & Pettigrew, R.** *Surfactants and the environment*. International Journal of Cosmetic Science. Vol. 6, 2007, 149 – 158.
109. **Giolando, S.; Rapaport, R. A.; Larson, R. J. & Federle, T. W.** *Environmental fate and effects of DEEDMAC: a new rapidly biodegradable cationic surfactant for use in fabric softeners*. Chemosphere, Vol. 30, N°. 6, 1995, 1067-1083.
110. **Gledhill, W. E.; Saeger, V. W. and Trehy, M. L.** *An Aquatic Environmental Safety Assessment of Linear Alkyl benzene*. Env. Tox. and Chem. N°. 10, 1991, 169 – 178.
111. **Glockner, F.O.; Kube, M.; Bauer, M.; Teeling, H.; Lombardot, T.; Ludwig, W.; Gade, D.; Beck, A.; Borzym, K.; Heitmann, K.; Rabus, R.; Schlesner, H.; Amann, R. and Reinhardt, R.** *Complete genome sequence of the marine planctomycete Pirellula sp. strain 1*. Proc. Natl. Acad. Sci. Vol. 100, N°. 14, 2003, 8298-8303.
112. **Gloxhuber, C & Kunstler, K.** *Anionic surfactants: Biochemistry, Toxicology, Dermatology*. 2.ed., Vol. 43. Marcel Dekker, Inc., New York, United States. 1992.
113. **Grimaux, J. M.** *Fragrances of detergents*. Second Committee of Detergents. Damascus, Syria. 2003, 97-102.
114. **Gron, C.; Laturus, F.; Mortensen, G. K.; Egsgaard, H.; Samsøe-Petersen, L.; Ambus, P. and Jensen, E. S.** *Plant uptake of LAS and DEHP from sludge amended soil*. American Chemical Society. N°. 772, 2001, 99-111.
115. **Guerjen, H.** *New builders compounds for powder detergents, Henkel, Dusseldorf, Germany*. Second Committee of Detergents. Damascus, Syria. 2003, 143-152.
116. **Guo Ying, G.** *Fate, behavior and effects of surfactants and their degradation products in the environment*. Environment International, Vol. 32, 2006, 417-431.
117. **Haba E.; Pinazo, A.; Jauregui, O.; Espuny, M. J.; Infante, M. R. & Manresa, A.** *Physicochemical characterization and antimicrobial properties of rhamnolipids produced by Pseudomonas aeruginosa 47T2 NCIM 40044*. Biotechnol. Bioeng. N°. 81, 2003, 316–322.
118. **Hackign, A. J.** *Economic aspects of biotechnology*. Cambridge studie in biotechnology .UK. 1986, 306.
119. **Hadibarata, T.** *Oxidative Degradation of Benzo[a]pyrene by the Ligninolytic Fungi*. Interdisciplinary Studies on Environmental Chemistry-Environmental Research in Asia. 2009, 309-316.
120. **Hagelueken, G.; Adams, T. M.; Wiehlmann, L.; Widow, U.; Kolmar, H.; Tummler, B.; Heinz, D. W. and Schubert, W. D.** *The crystal structure of SDSsAl, an alkylsulphatase from Pseudomonas aeruginosa, defines a third cLASs of sulphatases*. Proc. Natl. Acad. Sci. Vol. 103, 2006, 7631–7636.
121. **Hager, C. D.** *Tensidische Reinigungsmittel für die Food- und Nonfoodindustrie*. Tenside Surf. Det. N°. 36, 1999, 334-339.
122. **Hager, C. D.** *CESIO Surfactants' Statistics*. In CESIO news, 2008, 10.
123. **Haigh, M.D.F. & James.C.P.** *Water and Environmental Management, design and construction of works*. Ellis Harwood Limited, U.K. 1991. 581.
124. **Hall, Ch.; Brachat, S. and Dietrich, F. S.** *Contribution of Horizontal Gene Transfer to the Evolution of Saccharomyces cerevisiae*. Eukaryot Cell. Vol. 4, N°.6, 2005, 1102-15.
125. **Hall, Ch.; Brachat, S. and Dietrich, F.S.** *The Contribution of Horizontal Gene Transfer to the Evolution of Fungi*. (Ph.D) Degree of Doctor of Philosophy in the Department of Molecular Genetics and Microbiology in the Graduate School of Duke University. USA. 2007, 163.

126. **Hargreaves, T. & Hargreaves, A. E.** *Chemical formulation: an overview of surfactant-based preparations used in Everyday Life*. Royal Society of Chemistry. 2003, 180.
127. **Harvey, P. J. & Thurston, C. F.** *Fungi in Bioremediation*. Cambridge University Press, Cambridge. 2001, 500.
128. **Harwell, J. H.; Sabatini D.A. & Knox, R. C.** *Surfactants for ground water remediation*. Colloids Surf. N°. 151, 1999, 255–268.
129. **Hauthal, H. G.** *CESIO 2004 – Dynamic Surfactants and Nanostructured Surfaces for an Innovative Industry*. 6<sup>TH</sup> World Surfactants Congress. SOFW Journal, English version, Vol. 130, N°. 10, 2004, 1-17.
130. **Hayashi, K.; Morooka, N.; Yamamoto, Y.; Fujita, K.; Isono, K.; Choi, S.; Ohtsubo, E.; Baba, T.; Wanner, B. L.; Mori, H. & Horiuchi, T.** *Highly accurate genome sequences of Escherichia coli K-12 strains MG1655 and W3110*. Mol. Syst. Biol. Vol. 20, N°. 2, 2006, 1 - 5.
131. **Hellberg, P.E.; Bergstrom, K. & Holmberg, K.** *Cleavable surfactants*. J Surfactants Deterg. N°. 3, 2000, 81–91.
132. **Heller, H. J.** *Tenside in der Umwelt - von der Vergangenheit in die Zukunft*. Tenside Surf. Det. N°. 21, 1984, 281-291.
133. **Hemminger, P.** *Bioremediation of contaminated soils*. Biocycle Journal. Vol. 46, N°. 8, 2005, 35.
134. **Hera** report on AS. 2002. Available online (<http://www.heraproject.com/files/HERA>).
135. **HIMEDIA.** *The HiMedia Manual for Microbiology Laboratory practice*. 1998, 524.
136. **Holmberg, K.; Jossion, B.; Kronberg, B. & Lindman, B.** *Surfactants and Polymers in Aqueous Solution 2<sup>nd</sup> Edition*, Culinary and Hospitality Industry Publications Services, 1992, 545.
137. **Holt, J. G. & Krieg, N. R. S.** *Bergey's Manual of Determinative Bacteriology, 9th ed.*, Williams and Wilkins, Baltimore, U.S.A, 1994, 816.
138. **Horan, N. J.** *Biological Waste Water Treatment Systems: Theory and Operation*. John Wiley & Sons Ltd. England, 1991, 223-230.
139. **Hosseini, F.; Malekzadeh, F.; Amirmozafari, N. & Ghaemi, N.** *Biodegradation of anionic surfactants by isolated bacteria from activated sludge*. International Journal of Environmental Science and Technology, Vol. 4, N°. 1, 2007, 127-132.
140. **Hoque, M. A.; Aravinthan, V. and Porter, M.** *Respirometric and Titrimetric Techniques for monitoring Aerobic Biodegradation of Surfactant*. University of Southern Queensland (USQ), Australia. Available online. [www.usq.edu.au](http://www.usq.edu.au)
141. **Huls - Bericht** Report N°. 143. *Prufung auf hautsensibilisierende Wirkung am Meerschweinchen von Marlican*. 1983.
142. **Husain, S.** *Effect of surfactants on pyrene degradation by Pseudomonas fluorescens 29L*. World J Microbiol Biotechnol. Vol. 24, 2008, 2411–2419.
143. **Ikehata, K. & Gamal El-Din, M.** *Degradation of recalcitrant surfactants in wastewater by ozonation and advanced oxidation processes: A review*. Ozone: Science and Engineering. Vol. 26. N°. 4, 2004, 327-343.
144. International Programme on Chemical Safety **IPCS**. *Linear alkylbenzene sulphonates and related compounds*. Environmental Health Criteria 169. World Health Organization, Geneva, Switzerland. 1996
145. **Isobe, H. & Takada, H.** *Determination of degradation products of alkylphenol polyethoxylates in municipal wastewaters and rivers in Tokyo, Japan*. Environ. Toxicol. Chem. Vol. 23, 2004, 599 – 605.
146. **Itrich, N. R. & Federle, T. W.** *Effect of ethoxylate number and alkyl chain length on the pathway and kinetics of linear alcohol ethoxylate biodegradation in activated sludge*. Environ. Toxicol. Chem. Vol. 23, 2004, 2790–2798.

147. **IUCLID.** *International Uniform Chemical Information Database, Public data on high volume chemicals.* Year 2000 edition, Joint Research Centre, European Chemicals Bureau. Ispra, Italy. 2000, 59.
148. **Janosh, K.** *Detergent-induced cell aggregation in subpopulations of Pseudomonas aeruginosa as a preadaptive survival strategy.* *Enviro, Micro.* Vol. 9, N<sup>o</sup>. 9, 2007, 2247-2259.
149. **Jensen, J.; Lokke, H.; Holmstrup, M.; Krogh, P. H. & Elsgaard, L.** Effect and risk assessment of Linear Alkylbenzene Sulphonates (LASs) in agricultural soils. V. Risk Assessment of LASs in sludge amended soils. *Environmental Toxicology and Chemistry.* Vol. 20, N<sup>o</sup>. 8. 2001, 1690-1697.
150. **Jensen, G.** *Are amylasse and lipase important in detergents?. Second Committee of Detergents.* Damascus, Syria, 2003, 109-126.
151. **Jerabkova, H.; Kralova, B.; Krejè, V.; Sanchez, J. L. I. and Roig, M. G.** *Use of polyurethane foam for the biodegradation of n-alkane by immobilised cells of Pseudomonas.* *Biotechnology Techniques.* N<sup>o</sup>. 11, 1997, 391-394.
152. **Jerabkova, H.; Blanka, K. and Nahlik, J.** *Biofilm of Pseudomonas C12B on glass support as catalytic agent for continuous SDSs removal.* *International Biodeterioration & Biodegradation.* N<sup>o</sup>. 44, 1999, 233-241.
153. **Jeworski, M. and Heinzle, E.** *Combined chemical-biological treatment of wastewater containing refractory pollutants.* *Biotechnology Annual Review,* Vol. 6, 2000, 163-196.
154. **Jin Kim, S.; Choi, D. H.; Sim, D. S. and Oh, Y. S.** *Evaluation of bioremediation effectiveness on crude oil-contaminated sand.* *Chemosphere.* Vol. 59, 2005, 845-852.
155. **Johnson. S. J.; Barry, D. A.; Christofi, N. and Patel, D.** *Potential for anaerobic biodegradation of linear alkyl benzene cable oils: Literature review and preliminary investigation.* *Land Contam.Reclam,* N<sup>o</sup>. 9, 2001, 269-291.
156. **Jonkers, N.; Laane, R. W. P, M. & De Voogt, P.** *Fate of nonylphenol ethoxylates and their metabolites in two Dutch estuaries: evidence of biodegradation in the field.* *Environ. Sci. Technol.* N<sup>o</sup>. 37, 2003, 321- 327.
157. **Jonkers, N.; Laane, R. W. & De Voogt, P.** *Sources and fate of nonylphenol ethoxylates and their metabolites in the Dutch coastal zone of the North Sea.* *Mar. Chem.* N<sup>o</sup>. 96, 2005, 115 - 135.
158. **Jovcic, B.; Begovic, J.; Lozo, J.; Topisirovic, L. and Kojic, M.** *Dynamics of sodium dodecyl sulphate utilization and antibiotic susceptibility of strain Pseudomonas sp A TCC19151.* *Arch. Biol. Sci.* Vol. 61, N<sup>o</sup>. 2, 2009, 159-164.
159. **Jun Wang, X.; Song, Y. & Mai, J. S.** *Combined Fenton oxidation and aerobic biological processes for treating a surfactant wastewater containing abundant sulphate.* *Journal of Hazardous Materials.* 2008, 102-117.
160. **Kaczorek, E.; Chrzanowski, L.; Pijanowska, A. and Olszanowski, A.** *Yeast and bacteria cell hydrophobicity and hydrocarbon biodegradation in the presence of natural surfactants: Rhamnolipides and saponins.* *Bioresource .Technology.* Vol. 99, 2007, 4285 - 4291.
161. **Kahnert, A. & Kertesz, M, A.** *Characterization of a Sulphur-regulated Oxygenative Alkylsulphatase from Pseudomonas putida S-313.* *The Journal of Biological Chemistry.* Vol. 275, N<sup>o</sup>. 41, 2000, 31661-31667.
162. **Kasching, J.** *Fluorescent Bleaching compounds in detergents.* *Second Committee of Detergents.* Damascus, Syria. 2003, 75 - 96.
163. **Kertesz, M.A.; Schmidt-Larbig, K. & Wuest, T.** *A novel reduced flavin mononucleotide-dependent methanesulphonate sulphonatase encoded by the sulphur-regulated msu operon of Pseudomonas aeruginosa.* *J. Bacteriol.* Vol. 181, 1999, 1464 -1473
164. **Khleifat, K. M.** *Biodegradation of linear alkylbenzene sulphonates by a tow-member facultative anaerobic bacterial consortium.* *Enzyme and Microbial Technology* Vol. 39, N<sup>o</sup>. 5, 2006, 1030-1035.

165. **Kim, I. S. Park. J. & Kim, K.** *Enhanced biodegradation of polycyclic aromatic hydrocarbon using nonionic surfactants in soil slurry.* Appl. Geochem. N<sup>o</sup>. 16 , 2001, 1419 – 1428.
166. **Kimerle, R. A.** *Aquatic and Terrestrial Ecotoxicology of Linear Alkylbenzene Sulphonate.* Tenside Surf. Det. Vol. 26, N<sup>o</sup>. 2, 1989, 169-175.
167. **Kirk, O.; Borchert, T. V. and Fuglsang, C. C.** *Industrial enzyme applications.* Current Opinion in Biotechnology. N<sup>o</sup>. 13, 2002, 345-351.
168. **Kitagawa, M.; Ara, T.; Arifuzzaman, M.; Ioka-Nakamichi, T.; Inamoto, E.; Toyonaga, H. and Mori, H.** *Complete set of ORF clones of Escherichia coli ASKA library (A Complete Set of E. coli K-12 ORF Archive): Unique Resources for Biological Research.* DNA Res, N<sup>o</sup>. 12, 2005, 291-299.
169. **Klebenschger, J.; Lautenchlager, K.; Bressler, D. & Wingender. J.** *Detergent-induced cell aggregation in subpopulations of Pseudomonas aeruginosa as a preadaptive survival strategy.* Environmental Microbiology. Vol. 9, N<sup>o</sup>. 9, 2007, 2247-2259.
170. **Klein, J.** *Possibilities, limits, and future developments of soil bioremediation.* In: *Rehm, H.J., Reed, G. (Eds.), Environmental processes II. Soil Decontamination, Biotechnology*, Vol. 11, 2<sup>nd</sup> Edition. Wiley-VCH, Weinheim, FRG, 2000, 465–476.
171. **Kosaric. N.** *Biosurfactants for Soil Bioremediation.* Food Technol. Biotechnol. Vol. 39, N<sup>o</sup>. 4, 2001, 295–304.
172. **Kusk, O. & Petersen. S.** *Acute and chronic toxicity of tributyltin and linear alkylbenzene sulphonate to the marine copepod Acartia tonsa.* Environ. Toxicol. Chem. Vol. 11, 1997, 1629-1633.
173. **Lang, S. & Wagner, F.** *Biosurfactants.* Surfactants Science series, Vol. 48, 1993, 251 - 268.
174. **Lara-Martin, P. A.; Petrovic, M.; Gomez-Parra, A.; Barcelo, D. & Gonzalez-Mazo, E.** *Presence of surfactants and their degradation intermediates in sediment cores and grabs from the Cadiz Bay area.* Environ. Poll. N<sup>o</sup>. 144, 2006, 483 – 491.
175. **Lara-Martin, P. A.; Gomez-Parra, A. & Gonzalez-Mazo, E.** *Sources, transport and reactivity of anionic and non-ionic surfactants in several aquatic ecosystems in SW Spain: A comparative study.* Environmental Pollution. 2008, Available online 4 March 2008.
176. **Lara-Martin, P. A. Gmez-Parra, A.; Luis Sanz, J. L. and Gonzlez-Mazo, E.** *Anaerobic Degradation Pathway of Linear Alkylbenzene Sulphonates (LASs) in Sulphate-Reducing Marine Sediments.* Environ. Sci. Technol. Vol. 44, N<sup>o</sup>. 5, 2010, 1670–1676.
177. **Larson, R. J.; Rothgeb, T. M.; Shimp, R. J.; Ward, T. E. and Ventullo, R. M.** *Kinetics and practical significance of biodegradation of linear alkylbenzene sulphonate in the environment.* The CLER review. N<sup>o</sup>. 1, 1993, 4-19.
178. **Leahy, J. G. & Colwell. R.** *Microbial degradation of hydrocarbons in the environment.* Micro-biol. Rev. N<sup>o</sup>. 54, 1990, 305 - 315.
179. **Leon, V. M.; Saez, M.; Gonzalez-Mazo, E. & Gomez-Parra, A.** *Occurrence and distribution of linear alkylbenzene sulphonates and sulphophenylcarboxylic acids in several Iberian littoral ecosystems.* Sci. Total Environ. N<sup>o</sup>. 288, 2002, 215–226.
180. **Lewis, P. A. & Horning. W. B.** *Differences in acute toxicity test results of three reference toxicants on Daphnia at two temperatures.* Environ. Toxicol. Chem. Vol. 10, 1991, 1351-1357.
181. **Li, L.; Zhang, X. Y.; Wang, Z. W. and Li, G. Z.** *Structure–Biodegradation Relationship Study of Commercial Linear Alkylbenzene Sulphonates.* Internet Electronic Journal of Molecular Design, Vol 2, N<sup>o</sup>. 6, 2003, 383 – 391.
182. **Liarska-Bizukojc E, et al.** 2005. Acute toxicity of five selected anionic and nonionic surfactants. Chemosphere. Vo 58, pp: 1249-1253.
183. **Lundberg, D. & Holmberg. K.** *NMR Studies on hydrolysis kinetics and micellar growth in solutions of surface-active betaine esters.* J Surfactants Deterg. N<sup>o</sup>. 7, 2004, 239 – 246.

184. **Madsen, T.; Petersen, G.; Seiero, C. & Torslov, J.** *Biodegradability and aquatic toxicity of glycoside surfactants and a nonionic alcohol ethoxylate*. J. Am. Oil Chem. Soc. Vol. 73, 1996, 929 - 933.
185. **Mampel, J.; Hitzler, T.; Ritter, A. & Cook, A.M.** *Desulphonation of biotransformation products from commercial linear alkylbenzenesulphonates (LASs)*. Environ. Toxicol. Chem. Vol. 17, 1998, 1960 - 1963.
186. **Mann, R. M. & Boddy, M. R.** *Biodegradation of nonylphenol ethoxylate by the autochthonous microflora in lake water, with observations on the influence of light*. Chemosphere, N°. 41, 2000, 115-123.
187. **Marchesi, J. R.; Owen, S. A.; White, G. F.; House, W. A. & Russell, N. J.** *SDSs-degrading bacteria attach to riverine sediment in response to the surfactant or its primary biodegradation product dodecan-1-ol*. Society for General Microbiology, Vol. 140, 1994, 2999-3006.
188. **Marcomini, A. & Giger, W.** *Simultaneous determination of linear alkyl benzene sulfonates, alkylphenol polyethoxylate and nonylphenol by high- performance chromatography*. Anal. Chem, Vol. 59, 1987, 1709 – 1715.
189. **Martin, S.; Marquez, M. C.; Sanchez-Porro, C.; Mellado, E.; Arahall, D. R. and Ventosa, A.** *Marinobacter lipolyticus sp. a novel moderate halophile with lipolytic activity*. J. Syst. Evol. Microbiol. Vol. 53, 2003, 1383 - 1387.
190. **Matthew, J. S. & Malcolm, N. J.** *The biodegradation of surfactants in the environment*. Biochim. Biophys. Acta. Vol. 1508, 2000, 235–251.
191. **Matthijs, E. & De Hanau, H.** *Determination of LAS*. Tenside Surf. Det, N°. 24, 1987, 193 – 199.
192. **Matthijs, E. & Hennes, E. C.** *Determination of surfactants in environmental samples*. Tenside Surf. Det, N°. 28, 1991, 22- 27.
193. **Mauffret, A.; Temara, A. and Blasco, J.** *Exposure of the marine deposit feeder to sediment spiked with LASs congeners*. Water Research. Vol. 44, 2010, 2831-2840.
194. **McGhee, T. J.** *Water supply and sewerage ,Sixth Edition* .McGraw- Hill, Inc. USA. 1991. 628.
195. **Mehrvar, M.; Tabrizi, G.B. & Abdel-Jabbar, N.** *Effects of pilot-plant photochemical pre-treatment (UV/H<sub>2</sub>O<sub>2</sub>) on the biodegradability of aqueous linear alkylbenzene sulphonate (LASs)*. International Journal of Photoenergy. Vol. 7. 2005, 169-174.
196. **Merrettig-Bruns, U. & Jelen, E.** *Anaerobic Biodegradation of Detergent Surfactants*. Materials, N°. 2, 2009, 181-206
197. **Michizoe, J.; Uchimura, Y.; Ichinse, H.; Maruyama, T.; Kamiya, N.; Wariishi, H.; Furusaki, S. & Goto, M.** *Activation of manganese peroxidase in an organic medium using a mediator*. Biochem. Eng. J. N°. 19. 2004, 43–46.
198. **Michizoe, J.; Ichinse, H.; Kamiya, N.; Maruyama, T. & Goto, M.** *Biodegradation of phenolic environmental pollutants by a surfactant–laccase complex in organic media*. Journal of Bioscience and Bioengineering. Vol. 99, 2005, 642-647.
199. **Milanese, M.; Chelossi, E.; Manconi, R.; Sara, A.; Sidri, M. and Pronzato, R.** *The marine sponge Chondrilla nucula Schmidt, 1862 as an elective candidate for bioremediation in integrated aquaculture*. Biomol. Eng. N°. 20, 2003, 363 – 368.
200. **Mileva, E. & Exerowa, D.** *Amphiphilic nanostructures in foam films*. Current Opinion in Colloid & Interface Science. Vol. 13, 2008, 120-127.
201. **Miller, L.E. et al.** 2001. *Environmental and Health Assessment of Substances in Household Detergents and Cosmetic Detergent Products*. Environmental Project, p 615.
202. **Monsanto Report BT-65-3.** Available online. (<http://www.monsanto.com>).
203. **Monsanto Report BT-65-4.** Available online. (<http://www.monsanto.com>).
204. **Monsanto Report BD-84-315.** Available online. (<http://www.monsanto.com>).
205. **Monsanto Report ML-80-58.** Available online. (<http://www.monsanto.com>).

206. **Monsanto Report ML-80-71.** *One month toxicity of Alkylate 215 Vapour/Aerosol to Male and Female Sprague-Dawley Rats by Inhalation Expousure.* Available online. (<http://www.monsanto.com>). 1982.
207. **Monsanto Report ML-82-1.** *Three month toxicity of Alkylate 215 Vapour/Aerosol to Male and Female Sprague-Dawley Rats by Inhalation Expousure.* Available online. (<http://www.monsanto.com>). 1986.
208. **Monsanto Report SH-81-1.** *Evaluation of Potential Hazards by Dermal Contact of C<sub>10</sub>-C<sub>12</sub>, alkylbenzene.* 1981. Available online. (<http://www.monsanto.com>)
209. **Mori, M.; Kawakubo, N. and Wakabayashi, M.** *Cytotoxicity, of surfactants to the fhm-sp cell line.* Fisheries Science. Vol. 68, N<sup>o</sup>. 5, 2002, 1124-1128.
210. **Moses, V. and Cape, R. E.** *Biotechnology: The science and the business.* Harwood Academic Publishers. 1991. 596.
211. **Mullick, M. A.** *Wastewater Treatment Processes in the Middle East.* The Book Guild Ltd, Sussex, England, 1987, 328.
212. **Mulligan.C. N.; Young, R. N. & Gibbs, B. F.** *Surfactant-enhanced remediation of contaminated soil: a review.* Engineering Geology. N<sup>o</sup>. 60. 2001(a), 371- 380.
213. **Mulligan.C. N.; Yong, R. N. Gibbs, B. F.** *Heavy metal removal from sediments by biosurfactants.* J. Hazard. Mater. N<sup>o</sup>. 85, 2001(b), 111–125.
214. **Mulligan.C. N.; Yong, R. N. Gibbs, B. F.** *An evaluation of technologies for the heavy metal remediation of dredged sediments.* J. Hazard. Mater. N<sup>o</sup>. 85, 2001(c), 145–163.
215. **Myers.D.** *Surfactant Science and Technology Third Edition.* 2005, 400.
216. **Nakamura, K. & Morikawa, Y.** *Seperation of surfactant mixtures and their homologs by high- performance chromatography.* J. Am. Oil.Chem. Soc. N<sup>o</sup>. 59, 1982, 64 - 68.
217. **Nelson. R.** *Dispersing Powders in Liquids, part 3.* Educ. Reso. For Part. Techno. N<sup>o</sup>. 32. 2003, 4-16.
218. **Nielsen, A. M.; Britton, L. N.; Becall, C. E.; McCormick, T. P. & Russell, G. L.** *Biodegradation of co-products of commercial linear alkylbenzene sulphonate.* Environmental Science & Technology. Vol. 31, N<sup>o</sup>. 12, 1997, 3397 - 3404.
219. **Nomura,Y.; Ikebukuro, K.; Yokoyama, K.; Takeucki, T.; Arikawa, Y.; Ohno, Sh. & Karube, I.** *Application of a linear alkylbenzene sulphonate biosensor to river water monitoring.* Biosensors & Bioelectronics . Vol. 13, 1998, 1047–1053.
220. **Nowak, O.; Kuehn, K. V. & Zessner, M.** *Sludge management of small water and wastewater treatment plants.* Water Science and Technology. Vol. 48, N<sup>o</sup>. 11, 2004, 33 -41.
221. **Nuck, B.A. & Federle,T.W..** *Batch test for assessing the mineralization of <sup>14</sup>C-radiolabeled compounds under realistic anaerobic conditions.* Environ. Sci. Technol. Vol. 30, 1996, 3597 - 3603.
222. **Odom, J. M.** *Industrial and environmental activities of sulphate-reducing bacteria.* In:Odom JM, Rivers Singleton, Jr. (eds) *The sulphate-reducing bacteria: contemporary perspectives.* Springer-Verlag, New York, 1993, 189 - 210.
223. **Ogbulie, T. E.; Ogbulie, J. N. and Umezuruike, I.** *Biodegradation of detergents by aquatic bacterial flora from Otamiri River, Nigeria.* African Journal of iotechnology. Vol. 7, N<sup>o</sup>. 6, 2008, 824 - 830.
224. **Organsation for Economic co-Operation and Development OECD SIDS, OECD,** *Harmonised integrated classification system for human health and environmental hazards of chemical substances and mixtures.* OECD Series on Testing and Assessment, UNEP PUBLICATIONS.2001, 247. <http://www.oecd.org>.
225. **OECD SIDS.** *Benzene, C10-C16 alkyl derivatives (123-01-3, 6742-54-7, 68648-87-3,129813-58-7, 68442-69-3, 129813-59-8, 12813-60-1).*UNEP PUBLICATIONS. 2002, 79. <http://www.oecd.org>.
226. **OECD SIDS.** *OECD, 202 Daphnia sp, Acute Immobilisation Test OECD Guidelines for Testing of Chemicals.* Paris. 2004, 206. <http://www.oecd.org>.



227. **Oya, M. and Hisano, N.** *Decreases in Surface Activities and Aquatic Toxicities of Linear Alkylbenzene Sulphonate and Alcohol Ethoxylates during Biodegradation.* Journal of Oleo Science. Vol. 59, N<sup>o</sup>. 1, 2010, 31- 39.
228. **Painter, H. A.** *Anionic surfactants. Detergents.* The Handbook of Environmental Chemistry, Springer-Verlag, Berlin Heidelberg, Germany. Vol. 3. Part F. 1992, 1- 88.
229. **Pant, P. & Pant, S.** *A review: Advances in microbial remediation of trichloroethylene (TCE).* Journal of Environmental Sciences. Vol. 22, 2010, 116-126.
230. **Paria, S.** *Surfactant-enhanced emediation of organic contaminated soil and water.* Advances in Colloid and Interface Science, Vol. 138, 2008, 24-58.
231. **Paschoal, F. M. M.; Anderson, M. A. & Zandoni, M. V.** *Photoelectrocatalytic oxidation of anionic surfactant used in leather industry on nanoporous Ti/TiO<sub>2</sub> eletrodes.* J. Braz. Chem. Soc. Vol. 19, N<sup>o</sup>. 4, 2008, 803-810.
232. **Pedras, M. S. C.; Ismail, N.; Quail, J. W. & Boyetchko, S. M.** *Structure, chemistry, and biological activity of pseudophomins A and B, new cyclic lipodepsipeptides isolated from the biocontrol bacterium Pseudomonas fluorescens.* Phytochemistry .Vol. 62, 2003, 1105–1114.
233. **Petrovic, M. & Barcelo, D.** *Fate and removal of surfactants and related compounds in wastewater and sludges.* The Hand book of Environmental Chemistry, Vol. 5, 2004, 1–28.
234. **Pfafflin, J. R & Ziegler, E. N.** *Encyclopedia of environmental science and engineering.* CRC Press. Vol. 1, 2006, 1383.
235. **Pignatello, J. J.** *Dark and photoassisted Fe<sup>III</sup>-catalyzed degradation of chlorophenoxy herbicides by hydrogen peroxide.* Environ. Sci. Technol. Vol. 26, 1992, 944–951.
236. **Pogorevc, M.; Strauss, U. T.; Riermeier, T. & Faber, K.** *Selectivity-enhancement in enantioselective hydrolysis of sec-alkyl sulphates by an alkylsulphatase from Rhodococcus ruber DSM 44541.* Tetrahedron: Asymmetry, Vol. 13, 2002, 1443-1447.
237. **Pogorevc, M. & Faber, K.** *Purification and characterization of an inverting stereo- and enantioselective sec-alkylsulphatase from the Gram-positive bacterium Rhodococcus ruber DSM 44541.* Appl. Environ. Microbiol. Vol. 69, 2003, 2810-2815.
238. **Pozo, C.; Rodelas, B.; Calvo, C.; Martínez Toledo, M. V. and Gonzalez-Lopez, S.** *Linear alkylbenzene sulfonates (LAS) and soil microbial activity.* Food, Agriculture & Environment. Vol. 1, N<sup>o</sup>. 2, 2003, 348-350.
239. **Rabus, R.; Fukui, M.; Wilkes, H. & Widdel, F.** *Degradative capacities and 16S rRNA-targeted whole-cell hybridization of sulphate-reducing bacteria in an anaerobic enrichment culture utilizing alkylbenzenes from crude oil.* Appllied and Environmental Microbiology. Vol. 62, 1996, 3605-3613.
240. **Rapaport, R. A. & Eckhoff. W. S.** *Monitoring Linear Alkyl Benzene in the Environment: 1973-1986.* Environ. Toxicol. Chem. Vol. 9, 1990, 1245-1257.
241. **Reetz, M.** *Lipases as practical biocatalysts.* Curr. Opin. Chem. Biol. N<sup>o</sup>. 6, 2002, 145 – 150.
242. **Reichenbecher, M & Colin Murrell. J.** *Purification and partial characterization of the hydroxyLASse component of the methanesulphonic acid mono-oxygenase from Methylosulphomonas methylovora strain M2.* Eur. J. Biochem. Vol. 267, 2000, 4763 - 4769.
243. **Richter. M.; Willey, G. M.; Submuth, R.; Jung, G. and Fiedler, H. P.** *Streptofactin, a novel biosurfactant with aerial mycelium inducing activity from Streptomyces tendae Tu 901/8c.* FEMS. Microbiol. Lett. N<sup>o</sup>. 163, 1998, 165–171.
244. **Riley, M.; Abe, T.; Arnaud, M. B.; Berlyn, M. K. B.; Blattner, F. R.; Chaudhuri, R. R.; Horiuchi, T.; Kosuge, T.; Mori, H.; Perna, N. T.; Plunkett, G.; Rudd, K. E.; Serres, M. H.; Thomas, G. H.; Wishart, D. & Wanner, B.L.** *Escherichia coli K-12: a cooperatively developed annotation.* Nucleic Acids Res. N<sup>o</sup>. 34, 2006, 1-9.
245. **Rinzema. A. & Lettinga. G.** *The effect of sulphide on the anaerobic degradation of propionate.* Environ. Technol. Lett. N<sup>o</sup>. 9, 1988, 83 – 88.

246. **Roberts, M. H.; Warinner, J. E.; Tsai, C.F.; Wreight, D. and Cronin, L. E.** *Comparison of estuarine species sensitivity to three toxicants.* Arch. Environ. Contam. Toxicol. Vol. 11, 1982, 681 - 692.
247. **Robinson, E. C. & Nair, R. S.** *The genotoxic potential of linear alkylbenzene mixtures in a short-term test battery.* Fund. Appl. Toxicol. N°. 18, 1992, 540 - 548.
248. **Rodier, J. L.** *analyse de l'eau.* Dunod, Paris, France. 1978, 1136.
249. **Rodriguez, M.; Ben Abderrazik, N.; Contreras, S.; Chamarro, E.; Gimenez, J. and Esplugas, S.** *Iron (III) photooxidation of organic compounds in aqueous solutions.* Appl. Cat. B-Environ. N°. 37, 2002, 131 - 137.
250. **Rodriguez, M.** *Fenton and UV-vis based advanced oxidation processes in wastewater treatment: Degradation, mineralization and biodegradability enhancement.* Barcelona University. Spin. 2003, 322.
251. **Roig, M.; Pedraz, M. A.; Sanchez, J. M.; Huska, J. & Toth, D.** *Sorption isotherms and kinetics in the primary biodegradation of anionic surfactants by immobilized bacteria: II. Comamonas terrigena N3H.* Journal of Molecular Catalysis B: Enzymatic, N°. 4, 1998, 271–81.
252. **Roongsawang N.; Thaniyavarn, J.; Thaniyavarn, S.; Kameyama, T.; Haruki, M.; Imanaka, T.; Morikawa, M. & Kanaya, S.** *Isolation and characterization of a halotolerant Bacillus subtilis BKK-1 which produces three kinds of lipopeptides: bacillomycin L, plipastatin, and surfactin.* Extremophiles. N°. 6, 2002, 499 – 506.
253. **Roth, G.; Oellermann, R. A. and Odhav, B.** *Bacteria in the aerobic biodegradation of wool scouring effluent.* Water. Vol. 15, No. 4, 1989, 209 - 215.
254. **Rump, H. H & Krist, H.** *Laboratory Manual for the Examination of Water, Waste Water and Soil, 2<sup>ed</sup>.* VCH Weinheim, Germany. 1992, 189.
255. **Ruppert, G. & Bauer, R.** *Mineralization of cyclic organic water contaminants by the photo-Fenton reaction: influence of structure and substituents.* Chemosphere . Vol. 27, 1993, 1339–1347.
256. **Salanitro, J. P & Diaz, L. A.** *Anaerobic biodegradability testing of surfactants.* Chemosphere, Vol. 30, 1995, 813 - 830.
257. **Sales, D.; Perales, J. A.; Manzano, M.A. and Quiroga, J. M.** *Anionic surfactant biodegradation in seawater.* Bio.Inst.Esp.Oceanogr. Vol. 15, N°.4. 1999, 517 - 522.
258. **Samir, K. K. & Huang, J. C.** *ORP-based oxygenation for sulphide control in anaerobic treatment of high-sulphate wastewater.* Water Res. Vol. 37 , 2003, 2053 – 2062.
259. **Sancho Valls, J.; Baldris Nacente, R. & Sanchez Coll, M.** *Handbook of Microbiological Media.* Scharlau Chemie. Barcelona, Spain. 1999, 457.
260. **Sanderson, H.; Dyer, S. D.; Price, B. B.; Nielsen, A. M.; Van Compernelle, R.; Selby, M.; Stanton, K.; Evans, A.; Ciarlo, M. & Sedlak, R.** *Occurrence and weight-of-evidence risk assessment of alkyl sulphates, alkyl ethoxysulphates, and linear alkylbenzene sulphonates (LASs) in river water and sediments.* Sci. Total Environ. Vol. 368, 2006, 695 –712.
261. **San Miguel, V.; Peinado, C.; Catalina, F. & Abrusci, C.** *Bioremediation of naphthalene in water by Sphingomonas paucimobilis using new biodegradable surfactants based on poly (3-caprolactone).* International Biodeterioration & Biodegradation. N°. 63, 2009, 217 – 223.
262. **Santa Anna, L. M.; Sebastian, G. V.; Menezes, E. P.; Alves, T. L.; Santos, A. S.; Pereira, N. & Freire, D. M. G.** *Production of Biosurfactants from Pseudomonas aeruginosa PA1 isolated in oil environments.* Brazilian Journal of Chemical Engineering. Vol. 19, N°. 2. 2002, 159 - 166.
263. **Sartoros, C.; Yerushalmi, L.; Beron, P. & Guiot, S. R.** *Effects of surfactant and temperature on biotransformation kinetics of anthracene and pyrene.* Chemosphere. Vol. 61, 2005, 1042 – 1050.
264. **Schleheck, D.** *Biodegradation of synthetic surfactants: linear alkyl benzene sulphonates (LASs) and related compounds.* University of Konstanz, Germany. PhD Degree, 2003(a), 181.

265. **Schleheck, D.; Lechner, M.; Schonenberger, R.; Suter, M. J. F. & Cook, A. M.** *Desulphonation and Degradation of the Disulpho diphenyl ethercarboxylates from Linear Alkyldiphenyletherdisulphonate Surfactants*. Applied and Environmental Microbiology, Vol. 69, N<sup>o</sup>. 2, 2003, 938 - 944.
266. **Schleheck, D.; Knepper, T. P.; Eichhorn P. & Cook A. M.** *Parvibaculum lavamentivorans DS-1T Degrades Centrally Substituted Congeners of Commercial Linear Alkylbenzenesulphonate to Sulphophenyl Carboxylates and Sulphophenyl Dicarboxylates*. Appl. Environ. Microbiol. Vol. 73, 2007, 4725 - 4732.
267. **Schleheck, D.; von Netzer, F.; Fleischman, T.; Rentsch, D.; Huhn, T.; Cook, A. M. and Kohler, H. P. E.** *The missing link in LAS surfactant degradation: 4-sulfoacetophenone as a transient intermediate in the degradation of 3-(4-sulphophenyl)butyrate by Comamonas testosteroni KF-1*. Appl. Environ. Microbiol. N<sup>o</sup>. 76, 2010, 196 - 202.
268. **Schoberl, P. M.** *Basic Principles of LASS Biodegradation*, Tenside, Surfactants, Deterg. Vol. 26, N<sup>o</sup>. 2, 1989, 86 – 94.
269. **Schoberl, P. M.; Klotz, H. K.; Spilker, R. and Nitschke, L.** *Alkyl benzen sulphonat- (LASs) Monitoring*. Tenside Surf. Det. Vol. 31, N<sup>o</sup>. 4, 1994, 243 - 252.
270. **Schoberl, P. M.** *Liner Alkyl benzene sulphonate monitoring in Germany*. Tenside, Surfactants, Deterg. N<sup>o</sup>. 34, 1997, 233 - 237.
271. **Schroder, H. Fr.; Jose, H. J.; Gebhardt, W.; Moreira, R. F. P. M. and Pinnekamp, J.** *Biological wastewater treatment followed by physicochemical treatment for the removal of fluorinated surfactants*. Water Science & Technology. Vol. 61, N<sup>o</sup>. 12, 2010, 3208 – 3215.
272. **Schuler, W.** *Basic formula to make liquid detergents*. Second Committee of Detergents. Damascus, Syria. 2003, 35 - 50.
273. **Scott, M. J. & Jones, M. N.** *The biodegradation of surfactants in the environment*. Biochimica Et Biophysica Acta-Biomembranes .Vol. 1508, N<sup>o</sup>. (1-2), 2000, 235 - 251.
274. **Sekowska, A . Kung, H. F. & Danchin, A.** *Sulphur metabolism in Escherichia coli and related bacteria: Facts and Fiction*. J. Mol.Microbiol.Biotechnol.Vol. 2, N<sup>o</sup>. 2, 2000, 145 -177.
275. **Seo, Y.; Lee, W. H.; Sorial, G. & Bishop, P. L.** *The application of a mulch biofilm barrier for surfactant enhanced polycyclic aromatic hydrocarbon bioremediation*. Environmental Pollution. N<sup>o</sup>. 157, 2009, 95 – 101.
276. **Shreve . G. S.; Inguva, S. & Gunnam, S.** *Rhamnolipid biosurfactant enhancement of hexadecane biodegradation by Pseudomonas aeruginosa*. Mol. Mar. Biol. Biotechnology. Vol. 4, N<sup>o</sup>. 4, 1995, 331 - 337.
277. **Shukor, M. Y.; Husin, W.S.W.; Rahman, M.F.A.; Shamaan, N.A. and Syed, M.A.** *Isolation and characterization of an SDS-degrading Klebsiella oxytoca*. J. Environ. Biol. Vol. 30, N<sup>o</sup>. 1, 2009, 129-134.
278. **Sibila, M. A.; Garrido, M. C.; Perales, J. A. & Quiroga, J, M.** *Ecotoxicity and biodegradability of an alkyl ethoxysulphate surfactant in coastal waters*. Science of The Total Environment. Vol. 394, 2008, 265 - 274.
279. **Siemering, G.** *Aquatic Pesticide Monitoring Program Phase 2: Monitoring Project Report Final Version*. San Francisco Estuary Institute. Oakland, USA. 2004, 87.
280. **Sigollot, J. C & Nguyen, M. H.** *Complete Oxidation of liner alkyl benzene sulphonate by bacterial communities selected from Coastal sea water*. Appl. Environ. Microbiol. Vol. 58, 1992, 1308-1312.
281. **Singh, A.; Van Hamme, J. D. & Ward, O. P.** *Surfactants in microbiology and biotechnology: Part 2. Application aspects*. Biotechnology Advances. Vol. 25, 2007, 99 – 121.
282. **Siscart, N.** *Using LEVENOL in liquid detergents*. Second Committee of Detergents. Damascus, Syria. 2003, 21 - 34.
283. **Smith, J. E.** *Biotechnology, 3rd edition*. Cambridge University Press, U.K, 1996, 236.
284. **Smith, N. J.** *Levels of the herbicide glyphosate in well water*. Bull. Environ. Contam. Toxicol. Vol. 57, 1996, 759- 756.

285. **Song, B. & Ward, B.** *Nitrite reductase genes in halobenzoate degrading denitrifying bacteria*. FEMS Microbiol. Ecol. 43, 2003, 349 - 357.
286. Stanford Research Institute **SRI**, *Chemical Economics Handbook*, 1995, 610.
287. **Steber, J. & Berger, H.** *Biodegradability of anionic surfactants*. Biodegradability of Surfactants. 1995, 134 - 182.
288. **Steber, J.; Guhl, W.; Stelter, N. and Schoder, R.** *Alkyl polyglycocides – ecological evaluation of a new generation of nonionic surfactants*. Tenside Surfactants Detergents, Vol 32, 1995, 515 - 521.
289. **Steinbrecher, R.** *What is Genetic Engineering?*. Green Social Thought. Vol. 18, 1999, 9-12.
290. **Stjerndahl, M. & Holmberg, K.** *Synthesis and chemical hydrolysis of surface active esters*. J Surfactants Deterg. Vol. 6, 2003, 308 – 311.
291. **Stjerndahl, M.; van Ginkel, G. G. & Holmberg, K.** *Hydrolysis and biodegradation studies of surface active esters*. J Surfactants Deterg. Vol. 6, 2003, 319 – 324.
292. **Stjerndahl, M. & Holmberg, K.** *Hydrolyzable nonionic surfactants: Stability and physicochemical properties of surfactants containing carbonate, ester, and amide bonds*. Journal of Colloid and Interface Science. Vol. 291, 2005, 570 – 576.
293. **Sun, X. X.; Han, K. N.; Choi, J. K. and Kim, E. K.** *Screening of surfactants for harmful algal blooms mitigation*. Marine Pollution Bulletin. Vol. 48, 2004, 937 - 945.
294. **Sutterlin, H.; Alexy, R.; Coker, A. & Kummerer, K.** *Mixtures of quaternary ammonium compounds and anionic organic compounds in the aquatic environment: Elimination and biodegradability in the closed bottle test monitored by LC-MS/MS*. Chemosphere, Vol. 72, 2008, 479 - 484.
295. **Swisher, R. D.; Gledhill, W. E.; Kimerle, R. A. & Taulli, T. A.** *Carboxylated intermediates in the biodegradation of LAS* Surfactant Congress, Proc. Of the VIIth International Congress on Surface Active Substances, N<sup>o</sup>. 4, 1978, 218 – 224.
296. **Swisher, R. D.** *Surfactant biodegradation*, 2<sup>nd</sup> ed. Vol. 18. Marcel Dekker, Inc. New York, N.Y. 1987, 1083.
297. **Syn, C.K.; Teo, W. L. & Swarup, S.** *Three-Detergent Method for the Extraction of RNA from Several Bacteria*. BioTechniques, Vol. 27, 1999, 1140 – 1145
298. **Szymanski, A.; Bubien, E.; Kurosz, T.; Wolniewicz, A. & Lukaszewski, Z.** *Biodegradation of Fatty Alcohol Ethoxylates under the Conditions of the Die-Away Test*. Polish Journal of Environmental Studies. Vol. 11, N<sup>o</sup>. 4, 2002, 429 - 433.
299. **Tabor, C. F. & Barber, L. B.** *Fate of linear alkyl benzene sulphonates in the Mississippi River*. Environ. Sci. Technol. N<sup>o</sup>. 30, 1996, 161-171.
300. **Tan, H. M.** *Biosurfactants and their roles in bioremediation*. Environmental Biotechnology. N<sup>o</sup>. 2, 2000, 1-12.
301. **Tchobanoglous, G; Burton, S. F. & Stensel, H. D.** *Waste water treatment*. McCraw-Hill, U.S.A, 1996. 1848.
302. **Terzic, S.; Hrsak, D. and Ahel, M.** *Primary biodegradation kinetics of linear alkylbenzene sulphonates in estuarine waters*. Water Res. Vol. 26, 1992, 585 - 591.
303. **Terzic, S.; Matosic, M.; Ahel, M. & Mijatovic, I.** *Elimination of aromatic surfactants from municipal wastewaters: Comparison of conventional activated sludge treatment and membrane biological reactor*. Water Science and Technology. Vol. 51, 2005, 447 - 453.
304. **Thomas, O. R. T. & White, G. F.** *Immobilization of the surfactant-degrading bacterium Pseudomonas C12B in polyacrylamide gel. Part III: Biodegradation specificity for raw surfactants and industrial wastes*. Enzyme and Microbial Technology. N<sup>o</sup>. 13, 1991, 338-343.
305. **Tolls, J.** *Bioconcentration of Surfactants*. Ph.D. Thesis. Utrecht University, Utrecht, The Netherlands, 1998, 208.

306. **Torres, L. G.; Rojas, N.; Bautista, G. & Iturbe, R.** *Effect of temperature, and surfactant's HLB and dose over the TPH-diesel biodegradation process in aged soils.* Process Biochem. Vol. 40, 2005, 3296 – 3302.
307. **Trevan, M. D.** *Immobilized enzymes.* John Wiley & Sons, Inc., Publication; USA. 1980. 249.
308. **Tsai, T. T.; Kao, C. M.; Hong, A.; Liang, S. H. & Chien, H. Y.** *Remediation of TCE-contaminated aquifer by an in situ three-stage treatment trainsystem.* Colloids and Surfaces A: Physicochemical and Engineering. Vol. 322, 2008, 130 - 137.
309. **Tsai, T. T.; Kao, C. M.; Yeh, T. Y.; Liang, S.H. & Chien, H.Y.** *Application of surfactant enhanced permanganate oxidation and biodegradation of trichloroethylene in groundwater.* Journal of Hazardous Materials, N°. 161, 2009, 111–119.
310. **Tunay, O.** *Developments in the application of chemical technologies to waste water treatment.* Water Science and Technology. Vol. 48, N°. 11, 2004, 43 - 52.
311. **Urum, K.; Pekdemir, T. & Gopur, M.** *Optimum conditions for washing of crude oil-contaminated soil with biosurfactant solutions.* Process Safety and Environm. Protect.: Transact. of the Institut. of Chem. Engin. N°. 81, 2003, 203 - 209.
312. **Utsunomiya, A.; Watanuki, T.; Matsushita, K. and Tomita, I.** *Toxic effects of linear alkyl benzene sulphonates, quaternary alkyl ammonium chloride and their complexes on Dunaliella sp and Chlorella pyrenoidosa.* Environ. Toxicol. Chem. Vol. 16, 1997, 1247 -1254.
313. **Valles, B.** *Toxicity values for cationic surfactants.* Tenside Surfactants Deterg. N°. 37, 2000, 290 - 295.
314. **Van der Ploeg, J. R.; Cummings, N. J.; Leisinger, T. & Connerton, I.F.** *Bacillus subtilis genes for the utilization of sulphur from aliphatic sulphonates.* Microbiology. Vol. 144, 1998, 2555 – 2561.
315. **Van der ploeg, J. R.; Eichhorn, E. & Leisinger, T.** *Sulphonate- sulphur metabolism and its regulation in Escherichia coli.* Arch Microbiol. Vol. 176, 2001, 1 - 8.
316. **Van Dyke, M. I.; Lee, H. & Trevors, J. T.** *Applications of microbial surfactants.* Biotechnology Advances. N°. 9. 1991, 241 - 252.
317. **Van Hamme, J. D.; Singh, A. & Ward, O. P.** *Physiological aspects Part 1 in a series of papers devoted to surfactants in microbiology and biotechnology.* Biotechnology Advances. Vol. 24, 2006, 604 – 620.
318. **Vasileva-Tonkova, E. & Galabova, D.** *Hydrolytic Enzymes and Surfactants of Bacterial Isolates from Lubricant- Contaminated Wastewater.* Z. Naturforsch. N°. 58, 2003, 87-92.
319. **Venhuis, S. H. & Mehrvar, M.** *Health effects, environmental impacts, and photochemical degradation of selected surfactants in water.* International Journal Of Photoenergy. Vol. 6, 2004, 115 - 125.
320. **Verge, C.; Moreno, A and Roque, S.** *Toxicity of anionic surfactants to green microalgae "Scenedesmus subspicatus" and "Selenastrum capricornutum".* Tenside Surf. Detergents, N°. 33, 1996, pp: 166 - 169.
321. **Verge, C. & Moreno, A.** *Effects of anionic surfactants on Daphnia magna.* Tenside Surf. Det. N°. 37, 2000, 172 - 175.
322. **Verge, V.; Bravo, J.; Moreno, A. & Berna, J. L.** *Acute toxicity of linear alkylbenzene (LAB) to Daphnia magna.* Tenside Surf. Det. Vol. 6, N°. 2, 1999, 127 - 129.
323. **Visser, A.; Hulshoff, P. L. W. & Lettinga, G.** *Competition of methanogenic and sulphidogenic bacteria,* Water Sci. Technol. N°. 33, 1996, 99–110.
324. **Wang, S. & Mulligan, C. N.** *An evaluation of surfactant foam technology in remediation of contaminated soil.* Chemosphere, Vol. 57, 2004, 1079 – 1089.
325. **Werner, F. & Kimerle, R. A.** *Uptake and distribution of C12 alkyl benzene in bluegill (Lepomis macrochirus).* Environ. Toxicol. Chem. N°. 1, 1982, 143-146.
326. **Wickbold, R.** *Biodegradation of the Surfactant Linear Alkylbenzenesulphonate.* Tenside Detergents. N°. 12, 1975, 25–31.

327. **Wistreich, G. A.** *Microbiology Laboratory Fundamentals and Applications*. Prentice Hall.USA. 1997, 682.
328. **Witthuhn, B.; Pernyeszi, T.; Klauth, P.; Vereecken, H.; Klumpp, E.** *Sorption study of 2,4-dichlorophenol on organoclays constructed for soil bioremediation*. Colloids and Surfaces A: Physicochem. Eng. Aspects. N°. 265. 2005, 81 – 87.
329. **Wouter, H. N & Dick, B. J.** *Rhamnolipid stimulates uptake of hydrophobic compounds by Pseudomonas aeruginosa*. Appl. and Environm. Microb. Vol. 68, 2002, 4502 - 4508.
330. **Yan, G. A.; Jiang, J. W.; Wu, G. & Yan, X.** *Disappearance of Linear Alkylbenzene Sulphonate from Different Cultures with Anabaena sp. HB 1017*. Bull. Environ. Contam. Toxicol. N°. 60, 1998, 329 - 334.
331. **Yan, G. & Viraraghavan, T.** *Heavy-metal removal from aqueous solution by fungus Mucor rouxii*. Water Res. Vol. 37, N°. 18, 2003, 4486 – 4496.
332. **Yan, X.; Yang, Y.; Li, Y.; Sheng, G. & Yan, G.** *Accumulation and biodegradation of anthracene by Chlorella protothecoides under different trophic conditions*. Ying Yong Sheng Tai Xue Bao. N°. 13. 2002, 145-150.
333. **YU, Y.; ZHAO, J. & Bayly, A. E.** *Development of Surfactants and Builders in Detergent Formulations*. Chinese Journal of Chemical Engineering, Vol. 16, 2008, 517 - 527.
334. **Zar, J. H.** *Biostatistical analysis*. Prentice Hall. 1999. 663.
335. **Zhang, C.; Vasaraj, K. T.; Constnt, W. D. & Roy, D.** *Aerobic biodegradation kinetics of four anionic and nonionic surfactants at sub- and supra-critical micelle concentrations (CMCs)*, Water Res. Vol. 33, N°. 1, 1999, 115 – 124.
336. **Zhang, G. L.; Wu, Y. T.; Qian, X. P. & Ming, Q.** *Biodegradation of crude oil by Pseudomonas aeruginosa in the presence of rhamnolipids*. J.Zhejiang Univ SCI. Vol. 8, 2005, 725-730.
337. **Zhang, P. F.; Avudzega, D. M. & Bowman, R. S.** *Removal of perchlorate from contaminated waters using surfactant-modified zeolite*. J. Environ. Qual. Vol. 36, 2007, 1069 – 1075.
338. **Zhang, Y.; Meng, K.; Wang, Y.; Luo, H.; Yang, P.; Shi, P.; Wu, N.; Fan, Y.; Li, J. & Yao, B.** *A novel proteolysis-resistant lipase from keratinolytic Streptomyces fradiae var. k11*. Enzyme and Microbial Technology. Vol. 42. 2008, 346 – 352.
339. **Zhao, B.; Zhu, L.; Li, W. & Chen, B.** *Solubilization and biodegradation of phenanthrene in mixed anionic–nonionic surfactant solutions*. Chemosphere, N°. 58, 2005, 33– 40.
340. **Zheng, Z. and Obbard, J. P.** *Removal of polycyclic aromatic hydrocarbons from soil using surfactant and the white rot fungus Phanerochaete chrysosporium*. Journal of Chemical Technology and Biotechnology. Vol. 75, N°. 12, 2000, 1183-1189.
341. **Zhou, C & Ma, H.** *Ultrasonic Degradation of Polysaccharide from a Red Algae (Porphyra yezoensis)*. J. Agric. Food Chem. Vol. 54. N°. 6, 2006, 2223–2228.
342. **Zhou, J.; Wu, Y.; Henderson, F.; McCoy, D. M.; Salome, R. G.; McGowan, S. E. and Mallampalli, R. K.** *Adenoviral gene transfer of a mutant surfactant enzyme ameliorates pseudomonas-induced lung injury*. Gene Therapy. Vol. 13, 2006, 974–985.
343. **Zhou, Y.; Zhang, J.; Su, E.; Wei, G.; Ma, Y. & Wei, D.** *Phenanthrene biodegradation by an indigenous Pseudomonas sp. ZJF08 with TX100 as surfactant*. Annals of Microbiology, Vol. 58, N°. 3. 2008, 439- 442.
344. **Zhu, H. and Aitken, M. D.** *Surfactant-Enhanced Desorption and Biodegradation of Polycyclic Aromatic Hydrocarbons in Contaminated Soil*. Environ. Sci. Technol. Vol. 44, No. 19, 2010, 7260 - 7265.
345. **Zhu, L. & Chiou, C.T.** *Water solubility enhancements of pyrene by single and mixed surfactant solutions*. J. Environ. Sci. Vol. 13, 2002, 491– 496.
346. **Zoller, U.** *Handbook of detergents*. CRC press. 2004, 1120.

**Internet web sites:**

<http://www.lasinfo.org>  
<http://www.euro.who.int/eprise/main/WHO/Progs/WSN/Home>  
[http://www.U\\_S\\_EPA-OPPT-Design for the Environment Industrial and Institutional Laundry Publications - Considerations for Partnership.htm](http://www.U_S_EPA-OPPT-Design%20for%20the%20Environment%20Industrial%20and%20Institutional%20Laundry%20Publications%20-%20Considerations%20for%20Partnership.htm)  
<http://www.SIGMA-ALDRICH.com>  
<http://www.heraproject.com/files/HERA>  
<http://www.unesco.org>  
[http://www. Brazilian Chemical Society.com](http://www.BrazilianChemicalSociety.com)  
[www.elsevier.com/locate/ecoenv](http://www.elsevier.com/locate/ecoenv)  
<http://www.erpt.org/Nelsc-00.htm>  
<http://europa.eu.int/comm/enterprise/chemicals/detergents/index.htm>  
<http://surfactants.net/huibers/Huibers>  
<http://www.surfactants.net>  
<http://water.usgs.gov/wid/html/bioremed.htm>  
[www.biochempress.com](http://www.biochempress.com)  
[E.coli\Search Obtaining Data Trace Archive v4\\_2 NCBI-NLM-NIH.mht](http://www.ncbi.nlm.nih.gov/entrez/seq/efetch.fcgi?db=genbank&rettype=table)  
<http://www.oecd.org>  
<http://www.monsanto.com>

### Abstract

Water pollution is one of the important problems in the world; many people try to find the best methods to treat water, especially water resources pollution which came from waste water (Sewage, Industrial waste water, Agricultural waste water), many classical methods (physical, chemical, biological methods) used for that, and the new methods depend on biotechnology, for this point the importance of this research comes to decrease the pollution which comes from wastewater biotechnologically, reusing that water again, and preserving the biological variety in Syrian environment for sustainable development.

The conclusions are:

1. Lattakia wastewater has high content of different organic compounds, especially detergents and surfactants.
2. Eight bacterial strains isolated from wastewater belong to five species and four genus, taken from sampling places (Afamia and South Sand), these species are *Salmonella enteritidis*, *Salmonella typhimurium*, *Staphylococcus epidermidis*1, *Staphylococcus epidermidis*2, *E.coli*1, *E.coli* 2, *Pseudomonas* sp, *Pseudomonas aeruginosa*.
3. Nitrate was the best Nitrogen source, and *Pseudomonas.sp* is the best degrading bacteria surfactants to 85.5%.
4. Isolated bacteria degraded Linear Alkyl Benzene Sulphonates LASs in two cases of maximum and minimum Lattakia wastewater parameters, but best results were in minimum parameters with 89% by *Pseudomonas.sp* (min), and *Pseudomonas aeruginosa* (max).
5. Best results to degrade many concentrations of Sodium Dodecyl Sulphates SDSs were in low concentrations (100 – 200- 300 – 400) mg/l, more than 75% generally.
6. Best results to degrade many SDSs in different temperatures (15- 25- 35) °C were in 35°C.

7. 5 and 6 pH degrees was the best to degrade SDSs by bacterial strains and *E.coli* was the best with 71% in pH=6.
8. The best results to degrade LASs in different months were June.
9. Isolated bacteria (together) degrade SDSs with high percentage in 500 mg and more than in 1000 mg.
10. The best result to degrade surfactants in detergent powder was in Persil, reach to 90% after week.
11. All bacterial strains degrade LAS in broth artificial medium in tow cases (single, and together).
12. All isolated bacteria degraded C12-LASs in autoclaved natural medium by heat, and a best result was 92% by *Sal.tuphimurium* in 35°C.
13. In natural medium (without autoclave) from Afamia all isolated bacteria degraded C12-LASs, and best results were 91% by *Pseudomonas.sp* & *Sal. enteridis* in 25°C, but in South Sand was *Sta. epidermidis*2 (89%) in 35°C.
14. Surfactants degradation by isolated bacteria was more than degradation in Salamia wastewater treatment plant.
15. The manifest results shows different between the average of detergents quantity which reach to Lattakia environment monthly and the average of detergents quantity which exists in retreatment water from Salamia wastewater treatment plant, and this refer to the importance of wastewater treatment.

This study focus on the economical importance to treatment of wastewater, by decrease the negative environmental effects which come from wastewater polluted the environmental resources especially water, and it's very low cost compared with another available water resources.

**SYRIAN ARAB REPUBLIC**  
**MINISTRY OF HIGHER EDUCATION**  
**TISHREEN UNIVERSITY- FACULTY OF SCIENCE**  
**DEPARTMENT OF ZOOLOGY**



## **Biotechnological Application for Treatment of some Detergents Surfactants in Lattakia Waste Water for Sustainable Development**

**A Thesis Submitted for the degree of Doctor of Aqua Environment**

**By**

**LAMA SULEIMAN JARAA**

**(Master of Aqua Environment)**



## Supervision

**Dr. IBTISAM MAAROUF**

**Dr. MOUFID YASSINE**

### Arbitrator Committee:

**Dr. Mohamed YACINE - KASSAB:** professor in Zoology Department- Faculty of Science - Tishreen University. **Member**

**Dr. Mohamed Mojahed BATTAL:** professor in Zoology Department- Faculty of Science - Tishreen University. **Member**

**Dr. Mohamed NASSER:** professor in chemistry Department- Faculty of Science - Tishreen University. **Member**

**Dr. Adnan ALI NIZAM:** professor in Plant biology Department- Faculty of Science - Damascus University. **Member**

**Dr. Moufid YASSINE:** Associate professor in Food & Analytical Chemistry Department - Faculty of Pharmacy- Tishreen University. **Member & Supervisor**

**Lattakia**

**3 / 02 /2011**